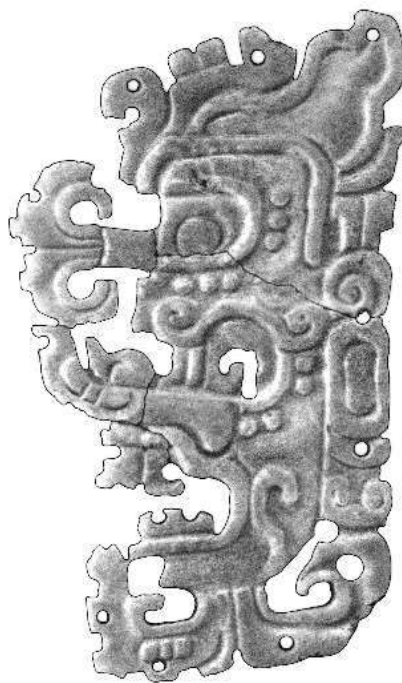




Proyecto Arqueológico
LA CORONA

INFORME FINAL

Temporada 2014



Tomás Barrientos Q.
Marcello A. Canuto
Eduardo Bustamante

Guatemala, Abril de 2015

© Proyecto Regional Arqueológico La Corona

17 Avenida "B" 0-76 Zona 15, Colonia El Maestro. 01015 Guatemala

lacorona.project@gmail.com

Edición General: Tomás Barrientos, Marcello Canuto y Eduardo Bustamante

Traducciones: Eduardo Bustamante y Tomás Barrientos

Edición electrónica en: <http://mari.tulane.edu/PRALC/research.html>

Figura de la portada: Joya de jade con la efigie del Dios K'awiil, Entierro 18, Estructura 13Q-2

Dibujo por Luis Fernando Luin

CONTENIDO

Capítulo I	
Proyecto Regional Arqueológico La Corona: Antecedentes y objetivos de la Temporada 2014	
<i>Marcello Canuto y Tomás Barrientos</i>	1
Capítulo II	
Nomenclatura de las Esculturas de La Corona	
<i>David Stuart, Marcello Canuto y Tomás Barrientos</i>	25
Capítulo III	
Operaciones CR-20A, CR-20C, CR20-E, CR-20P y CR-20R: Excavaciones en el sector Sur y Túneles en el Palacio de La Corona	
<i>José Eduardo Bustamante</i>	39
Capítulo IV	
Operaciones CR200 y CR210: Excavaciones en la Fachada Oeste del Palacio de La Corona (Estructura 13Q-4)	
<i>José Eduardo Bustamante</i>	55
Capítulo V	
Investigaciones en los Patios Noreste y Noroeste del Palacio de La Corona	
<i>Máxime Lamoureux St.-Hilaire</i>	75
Capítulo VI	
Operación CR31: Excavaciones en la Estructura 13Q-1, Temporada 2014	
<i>Camilo Álvarez</i>	119
Capítulo VII	
Operación CR32: Excavaciones en la Estructura 13Q-2, Temporada 2014	
<i>Erika Gómez</i>	161
Capítulo VIII	
Operación CR16: Excavaciones en la Estructura 13R-10, Temporada 2014	
<i>Jocelyne Ponce Stokvis</i>	215
Capítulo IX	
Operación CR116 Excavaciones en el Grupo 13R-I, Estructuras 13R-13 y 13R-43	
<i>Alejandra Roche</i>	277
Capítulo X	
Operación CR120: Excavaciones en la Estructura 12R-9	
<i>Alejandra Roche</i>	297

Capítulo XI	
Análisis Preliminar de las Vasijas Completas, Temporada 2014	
<i>Caroline Parris</i>	307
Capítulo XII	
Análisis del Material Lítico de La Corona y La Cariba	
<i>Chloé Andrieu y Alejandra Roche</i>	341
Capítulo XIII	
Análisis Preliminar de los Restos Humanos de La Corona y La Cariba, Temporadas de Campo 2013 y 2014	
<i>Erin Patterson y Emily Kate</i>	355
Capítulo XIV	
Investigaciones Arqueológicas en La Cariba, Temporada 2014	
<i>David Chatelain</i>	381
Capítulo XV	
Reconocimiento y Mapeo en el Sitio Las Guacamayas	
<i>Ernesto Arredondo, Alejandro Gillot y Eduardo Bustamante</i>	409
Capítulo XVI	
Resultados Generales y Conclusiones de la Temporada de Campo 2014	
<i>Tomás Barrientos y Marcello Canuto</i>	475
Bibliografía	493
Anexo I	
Inventario de materiales especiales, Temporada 2014	507
Anexo II	
Inventario y análisis de artefactos de jade, Temporada 2014	513
Anexo III	
Inventario de materiales, Temporada 2014	533

ÍNDICE DE FIGURAS

Capítulo 1

Figura 1.1 Sitios principales en el área de PRALC	6
Figura 1.2 Mapa con elevaciones (zonas amarillas son las más altas) localizando los 46 sitios registrados en la zona de estudio PRALC hasta 2012.....	6
Figura 1.3 Ubicación de La Corona al oeste de la Meseta Cárstica Central	7
Figura 1.4. Tapadera de vaso proveniente del Palacio	8
Figura 1.5. Plato proveniente de la Ofrenda 1, Estructura 13R-10	9
Figura 1.6. Platos de “estilo La Florida” proveniente de una colección privada en Bruselas (izquierda) y de Pomoná (derecha)	9
Figura 1.7 Mapa de la ruta <i>Kaanal</i> y su posible conexión con La Florida.....	10
Figura 1.8 Mapa tridimensional de La Corona, Temporada 2012	11
Figura 1.9 La Corona, Plaza Principal.....	12
Figura 1.10 La Corona, Grupo Coronitas	12
Figura 1.11 Cronología de La Corona y detalle de la “Era Dorada”	14
Figura 1.12 Secuencia dinástica de La Corona durante la “Era Dorada”	15
Figura 1.13 Relaciones de parentesco de dinastía de La Corona	15
Figura 1.14 Zona de Estudio con límites aproximados	19
Figura 1.15 Mapa de la RBM con zonas naturales recuperadas desde 2008, donde se incluye el Corredor Biológico La Corona.....	19
Figura 1.16 Delimitación del sitio La Corona y ubicación del Campamento PRALC	20
Figura 1.17 Edificios de oficina y bodega de materiales y herramientas, campamento PRALC.....	21
Figura 1.18 Ranchos para carpas de personal operativo y profesional, campamento PRALC.....	21
Figura 1.19 Organigrama del Proyecto	22

Capítulo 2

Figura 2.1 Ejemplo del sistema original de designación del Sitio Q (“Paneles Glíficos”) desarrollado por Peter Mathews.....	28
Figura 2.2 Altar 2 de La Corona.....	29
Figura 2.3 Bloques de la Escalinata Jeroglífica 1 de La Corona.....	30
Figura 2.4 Marcello Canuto con el Panel 1 de La Corona en 2005. Dibujo del Panel 1 de La Corona.....	31
Figura 2.5 Vista general de los bloques <i>in situ</i> de la Escalinata Jeroglífica 2 de La Corona.....	32
Figura 2.6 Bloques 9, 10 y 11 de la Escalinata Jeroglífica 2 de La Corona.....	35

Capítulo 3

Figura 3.1 Planta de excavación de Túneles	42
Figura 3.2 Perfil Este CR-20E-7-2/3. Fachada Oeste Estructura Wo	46
Figura 3.3 Gradas y acceso al cuarto 2 estructura Wo	47
Figura 3.4 Perfil Este CR-20E-10. Plataforma Halcón	50
Figura 3.5 Perfil Sur Unidades CR-20C-1 y CR-20A-10.....	51
Figura 3.6 Estructura Iguana	52
Figura 3.7 Reconstrucción hipotética de la plataforma Halcón.....	54

Capítulo 4

Figura 4.1 Ubicación de unidades de excavación.....	57
Figura 4.2. Planta de excavación mostrando las unidades CR21O-1, CR20O-1 y CR20O-2.....	57
Figura 4.3 Perfil norte de las unidades CR21O-1 y CR20O-1	59
Figura 4.4a: piedra tallada en alto relieve con motivo de diagonales.....	63
Figura 4.4b: estuco modelado con motivo de plumas	63
Figura 4.5 Piedra de bóveda (izquierda) y piedra tallada (derecha) al momento de Excavación.....	63
Figura 4.6. Interior del Cuarto 1, Estructura 13Q-4O, mostrando detalle de corte en el Piso.....	65
Figura 4.7. Planta de interior del cuarto 1 de estructura 13Q-4O y Entierro 17.....	67
Figura 4.8 Sección torácica del Entierro 17, detalle en mala conservación de huesos	69
Figura 4.9 Pinturas murales en la pared norte del Cuarto 1, Subestr. 13Q-4O-Sub1	69
Figura 4.10 Detalle de pinturas murales en la pared norte del Cuarto 1, Estructura 13Q-4O-Sub1	69
Figura 4.11. Planta de la Estructura 13Q-4O-Sub1	70
Figura 4.12. Isométrico a 30° de la Estructura 13Q-4O-Sub1. Se muestra en gris las paredes con evidencia de pintura mural.....	71
Figura 4.13 a). Bifacial de pedernal "chocolate". b) Sección de aguja de hueso tallado c) Sección de cornamenta de venado tallada	72

Capítulo 5

Figura 5.1 Plano del palacio mostrando excavaciones en 2014 y croquis del nuevo patio Descubierto	77
Figura 5.2: Perfil norte de la Unidad CR20F-4	79
Figura 5.3 Planta del nivel 3 y 5 de la Unidad CR20F-4	80
Figura 5.4. Planta de la Unidad CR20F. Arquitectura terminal del Cuarto Noroeste de la Estructura 13Q-4F	83
Figura 5.5 Perfil este de la Unidad CR20F-7, Cuarto Noroeste Estructura 13Q-4F	84
Figura 5.6 Perfil Norte de la Unidad CR20F-7. Arquitectura final, penúltima y antepenúltima del Cuarto Noroeste, Estructura 13Q-4F.....	86
Figura 5.7 Planta de la Unidad CR20F-8. Cuarto Norte de la Estructura 13Q-4F.....	89
Figura 5.8 Perfil Norte de la Unidad CR20F-8. Cuarto Norte de la Estructura 13Q-4F..	89
Figura 5.9. Perfil interior Este de la Unidad CR20F-8. Cuarto Norte, Estr. 13Q-4F.....	91
Figura 5.10. Perfil exterior sur de la Unidad CR20F-8. Cuarto Norte, Estr. 13Q-4F	92
Figura 5.11 Perfil norte interno de la Unidad CR20F-8. Cuarto Norte, Estr.13Q-4F	93
Figura 5.12 Planta del Entierro 16, unidad CR20F-8.....	95
Figura 5.13. Reconstrucción de la planta de la última versión de la Estructura 13Q-4F. El Patio Noreste se encuentra en la parte inferior y el Patio Noroeste en la esquina superior derecha. La línea a la derecha corresponde a la plataforma de la Estructura 13Q-4G.	97
Figura 5.14. Planta de las unidades CR20H-1 y CR20H-2 (estructuras 13Q-4H-1 y 13Q-4H-2	100
Figura 5.15. Perfil norte de las unidades CR20H-1 y CR20H-2 (estructuras 13Q-4H-1 y 13Q-4H-2	100

Figura 5.16. Planta superior de la unidad CR20H-1, penúltima y antepenúltima fase arquitectónica de la Estructura 13Q-4H-1	101
Figura 5.17. Planta de la unidad CR20I-1, Estructura 13Q-4I	104
Figura 5.18. Perfil oeste de la Unidad CR20I-1, Estructura 13Q-4I	105
Figura 5.19. Reconstrucción arquitectónica de la Estructura 13Q-4F, con la Estructura 13Q-4E a su izquierda y la Estructura 13Q-3I a la derecha. La vista es hacia el suroeste.....	107
Figura 5.20. Bifaciales del lote CR20F-1-2.....	114
Figura 5.21. Bifaciales del lote CR20F-1-4.....	114
Figura 5.22 Bifacial del lote CR20F-1-6.....	115
Figura 5.23 Bifaciales del lote CR20F-3-2.....	115
Figura 5.24 Bifaciales del lote CR20F-7-3.....	116
Figura 5.25 Bifacial del lote CR20F-7-4.....	116
Figura 5.26 Bifaciales del lote CR20F-8-2.....	117
Figura 5.27 Bifacial del lote CR20F-8-3.....	117
Figura 5.28 Bifacial del lote CR20H-1-1.....	118
Figura 5.29 Bifacial del lote CR20H-2-1.....	118
Figura 5.30 Bifacial del lote CR20I-1-3.....	118
Figura 5.31 Bifaciales del lote CR20I-1-4.....	119

Capítulo 6

Figura 6.1 Plano de la Estructura 13Q-1 y ubicación de las excavaciones	122
Figura 6.2 Piso 4 de la Estructura 13Q-1, perfil este de la unidad CR31A-1.....	124
Figura 6.3 Perfil este de la unidad CR31A-1, Estructura 13Q-1.....	124
Figura 6.4 Piso 1 de la Estructura 13Q-1, perfil norte unidad CR31A-2.....	125
Figura 6.5 Piso 1 de la Estructura 13Q-1, unidad CR31A-2.....	125
Figura 6.6 Dibujo del perfil norte de la unidad CR31A-2.....	126
Figura 6.7 Perfil norte, unidad CR31A-2.....	127
Figura 6.8 Borde de la unidad CR31A-3.....	127
Figura 6.9 Perfil oeste de la unidad CR31A-3.....	128
Figura 6.10 Borde de la unidad CR31A-4.....	128
Figura 6.11 Perfil norte de la unidad CR31A-4.....	129
Figura 6.12 Perfil sur de la unidad CR31A-5.....	130
Figura 6.13 Perfil oeste de la unidad CR31B-1.....	131
Figura 6.14 Perfil este de la unidad CR31B-1.....	132
Figura 6.15 Perfil norte de la unidad CR31B-2.....	132
Figura 6.16 Perfil norte de la unidad CR31B-2, trinchera de saqueo.....	133
Figura 6.17 Perfil oeste de la unidad CR31B-3.....	134
Figura 6.18 Perfil norte de la unidad CR31B-3.....	135
Figura 6.19 Perfil norte de la unidad CR31B-4.....	136
Figura 6.20 Muro del Cuerpo 3 del basamento de la Estructura 13Q-1. Perfil norte, unidad CR31B-5	136
Figura 6.21 Muro del Cuerpo 2 del basamento de la Estructura 13Q-1. Perfil norte, unidad CR31B-5	137
Figura 6.22 Detalle del muro del Cuerpo 1 del basamento de la Estructura 13Q-1. Perfil norte, unidad CR31B-6.....	138

Figura 6.23 Perfil norte, unidad CR31B-6. Muro del Cuerpo 1 del basamento de la Estructura 13Q-1	138
Figura 6.24 Esquina remetida del Cuerpo 1 del basamento de la Estructura 13Q-1. Perfil norte, unidad CR31B-6	139
Figura 6.25 Perfil norte, unidad CR31B-6a.....	140
Figura 6.26 Perfil este, unidad CR31B-6a.....	140
Figura 6.27 Desnivel en el piso de plaza, unidad CR31B-6b.....	141
Figura 6.28 Perfil oeste, unidad CR31B-6b	142
Figura 6.29 Perfil este, unidad CR31B-7	143
Figura 6.30 Esquina suroeste del basamento, unidad CR31B-7	143
Figura 6.31 Esquina formada por el muro oeste del basamento (derecha) y la plataforma adosada (izquierda) Unidad CR31B-8	144
Figura 6.32 Fachada oeste de la plataforma adosada, unidad CR31B-9	145
Figura 6.33 Perfil este, unidad CR31B-9	145
Figura 6.34 Fachada oeste de la plataforma adosada, unidad CR31B-10	146
Figura 6.35 Fachada oeste y escalinata basal de la plataforma adosada, unidad CR31B-10. Nótese los cuatro pequeños escalones en la parte superior	147
Figura 6.36 Detalle del relleno de la plataforma, perfil este de la unidad CR31B-10	147
Figura 6.37 Detalle del piso de plaza roto, unidad CR31B-10.....	148
Figura 6.38 Lajas en el nivel de la roca madre, unidad CR31B-10.....	149
Figura 6.39 Concha <i>spondylus</i> fracturada y fragmento de disco de jade, Entierro 19	150
Figura 6.40 Primera parte del Entierro 19	151
Figura 6.41 Primera parte del Entierro 19	152
Figura 6.42 Vasijas 5, 6 y 7 del Entierro 19	153
Figura 6.43 Restos del cráneo del Entierro 19	154
Figura 6.44 Placa de jade del Entierro 19.....	154
Figura 6.45 Vasijas 8 y 9 del Entierro 19	155
Figura 6.46 Parte 2 del Entierro 19	156
Figura 6.47 Dibujo de la Parte 2 del Entierro 19.....	157
Figura 6.48 Objetos de jade del Entierro 19.....	158
Figura 6.49 Cuenta tubular de jade del Entierro 19.....	158
Figura 6.50 Joya de jade con efigie de deidad, del Entierro 19.....	160

Capítulo 7

Figura 7.1 Vista general de las excavaciones de la temporada 2014 en la Estructura 13Q-2	162
Figura 7.2. Planta de la Estructura 13Q-2 mostrando la distribución de unidades de excavación en 2014.....	163
Figura 7.3. Planta mostrando la distribución de unidades de excavación	164
Figura 7.4. Planta mostrando los hallazgos principales de la subestructura de 13Q-2. Niveles con respecto a <i>datum</i>	167
Figura 7.5. Escalones de la última etapa constructiva en la unidad CR32D-72.....	168

Figura 7.6. Vista desde el oeste, de los vestigios de la escalinata frontal de la Estructura 13Q-2-Sub3. Izquierda: sector norte. Centro: proceso de excavación el sector sur, unidad CR32H-18. Derecha: detalle de gradas parcialmente destruidas y registro en el este de la misma unidad	169
Figura 7.7 Corte Este-Oeste, mostrando entre otros, los escalones, asociados a la penúltima etapa constructiva (13Q-2-Sub3), localizados en el sector norte de las excavaciones	169
Figura 7.8. Corte Este-Oeste, mostrando entre otros, los escalones localizados en el sector sur de las excavaciones.....	170
Figura 7.9. Vista del corte del piso “Venado” ...	171
Figura 7.10. Perfil norte de la unidad CR32D-72 y vista en planta, mostrando los pisos encontrados	172
Figura 7.11. Vista de la Estructura 13Q-2-Sub1 desde el noroeste.....	173
Figura 7.12. Elevación frontal de la plataforma ritual (Estructura 13Q-2-Sub1) y columnas de la Estructura 13Q-2 Sub2.....	174
Figura 7.13. Columna sur decorada, Estructura 13Q-2-Sub2. Vista desde el noroeste....	174
Figura 7.14. Lado oeste de la columna sur, Estructura 13Q-2-Sub2.....	175
Figura 7.15. Lado norte de la columna sur, Estructura 13Q-2-Sub2.....	176
Figura 7.16. Columna norte de la Estructura 13Q-2-Sub2, definida en la unidad CR32D-73. La flecha negra indica el punto donde se adosó una Alineación burda de piedra	177
Figura 7.17. Vista desde el suroeste de la unidad CR32D-77	178
Figura 7.18 Vista del muro que sobresale del nivel de la Estructura 13Q-2-Sub1, unidad CR32H-19	179
Figura 7.19. Vista de los muros de contención localizados en las unidades CR32H-19 y CR32H-18 al frente y al fondo, respectivamente, señalados con flechas	180
Figura 7.20 Especie de cajuela de la Ofrenda 1, Estructura 13Q-2-Sub1, unidad CR32H-72	182
Figura 7.21. Depósito de cerámica sobre el Piso 1, Estructura 13Q-2-Sub1	182
Figura 7.22. Ofrenda 2, Estructura 13Q-2-Sub1	183
Figura 7.23. Perfiles de la excavación dentro de la Estructura 13Q-2-Sub1, unidad CR32H-19	185
Figura 7.24. Detalle del perfil norte y parte del este de la excavación dentro de la Estructura 13Q-2-Sub1, unidad CR32H-19.....	186
Figura 7.25. Detalle del segmento de muro asentado sobre el piso 4 dentro de la Estructura 13Q-2-Sub1	186
Figura 7.26. Detalle de perfiles de la unidad CR32H-19. Izquierda: detalle del perfil oeste, donde se observa el piso Danta cortado (registro en CR32D-74); Derecha: detalle del corte de gradas y referencia al piso Danta en el perfil sur.....	187
Figura 7.27 Vista en planta de las lajas “blanquecinas” sobre el Entierro 18	188
Figura 7.28. Planta de las lajas que cubrían el Entierro 18 y otras piedras en el mismo contexto. Niveles con referencia al Piso Venado.....	188
Figura 7.29. Vista en planta del Entierro 18 y su contexto inmediato	190
Figura 7.30. Vista en planta del entierro 18	190
Figura 7.31. Planta del Entierro 18.....	191

Figura 7.32. Detalle de las “capas” 1, 9 y 10 recuperadas en el Entierro 18.....	192
Figura 7.33. Planta de las capas 1, 2, y 3 de ornamentos del Entierro 18	183
Figura 7.34. Planta de las capas 4 a 9 de ornamentos del Entierro 18	194
Figura 7.35. Planta de las capas 10 y 11 de ornamentos del entierro 18.....	195
Figura 7.36. Pendiente de piedra verde con representación antropomorfa	196
Figura 7.37. Joya de piedra verde con representación de <i>K'awiil</i>	197
Figura 7.38. Joya de piedra verde con representación de dios con nariz larga	198
Figura 7.40. Adornos tubulares de piedra verde, Entierro 18.....	199
Figura 7.41. Cuentas tubulares de piedra verde, Entierro 18	199
Figura 7.42. Cuenta tubular y elemento de orejera de piedra verde, Entierro 18.....	200
Figura 7.43. Anillos de piedra verde, Entierro 18	200
Figura 7.44. Anillos de piedra verde, Entierro 18	201
Figura 7.45. Placas lisas de piedra verde, Entierro 18.....	202
Figura 7.46. Placas de piedra verde con elementos de concha nácar	203
Figura 7.47. Orejeras de piedra verde.....	203
Figura 7.48. Orejeras de piedra verde, Entierro 18	204
Figura 7.49. Conchas <i>spondylus</i> del entierro 18.....	205
Figura 7.41. Vasija 1 del Entierro 18, plato Saxché-Palmar Naranja Policromo con diseño pintado de "Elemento La Corona	207
Figura 7.42. Vasija 2 del Entierro 18, plato de tipo indeterminado	207

Capítulo 8

Figura 8.1 Mapa de los grupos 13R-1 y 13R-II mostrando ubicación de la Estructura 13R-10.....	215
Figura 8.2 Ubicación de las unidades excavadas en la Temporada 2014.....	219
Figura 8.3 Planta del Piso Aceituno mostrando rasgos encontrados	220
Figura 8.4 Perfiles de la unidad CR16C-23, mostrando pisos y rasgos encontrados	222
Figura 8.5 Huella de poste encontrada en la Unidad CR16C-27. A) Vista desde la parte superior. B) Detalle de huella de poste y perfil.....	224
Figura 8.6 Depósito de carbón y cerámica en el relleno de la plataforma de barro	225
Figura 8.7 Fachada Sur del muro encontrado en las unidades CR16C-28 y CR16C-36..	226
Figura 8.8 Agujero y Piso Aceituno quemado en la Unidad CR16C-28.....	228
Figura 8.9 Ofrenda encontrada en la Unidad CR16C-31	229
Figura 8.10 Obsidiana y pedernal asociados a la Ofrenda	230
Figura 8.11 Perfiles de la Unidad CR16C-32.....	231
Figura 8.12 Vista del Entierro 12 desde el Oeste	232
Figura 8.13 Vista desde el Sur del Entierro 12	232
Figura 8.14 Fragmento de piedra verde tallado recuperado en el Entierro 12	233
Figura 8.15 Fachada Sur del muro asociado al Piso Aceituno	234
Figura 8.16 Vista desde el Este de la fachada de la plataforma de Aceituno A	236
Figura 8.17 Detalle de la fachada de la plataforma de Aceituno A.....	237
Figura 8.18 Agujero encontrado en el borde exterior de la plataforma de Aceituno. A) Vista desde el Sur. B) Detalle del agujero	238
Figura 8.19 Perfil Este de las unidades CR16C-29, CR16C-30 y CR16C-33.....	240
Figura 8.20 Perfil Oeste de las unidades CR16C-34, CR16C-35, CR16C-37, CR16C-38, CR16C-39, CR16A-48 y CR16A-51	241
Figura 8.21 Agujero asociado al Piso Aceituno	242

Figura 8.22 Fragmentos de vasija sobre el Piso Chico-Zapote en el Perfil Este de la Unidad CR16C-33.....	243
Figura 8.23 Ofrenda hallada sobre el Piso Aceituno	245
Figura 8.24 Materiales encontrados en el interior de las vasijas como parte de la Ofrenda.....	245
Figura 8.25 Fragmentos de plato encontrados sobre el Piso Poité	246
Figura 8.26 Fragmentos de estuco modelado <i>in situ</i>	247
Figura 8.27 Estuco modelado con posible ojo tallado.....	247
Figura 8.28 Posible bloque de escalinata recuperado en el Nivel 4-Lote 4.....	248
Figura 8.29 Entierro 13. A) Vista desde la parte superior. B) Vista desde el Oeste	251
Figura 8.30 Planta del Entierro 13.....	252
Figura 8.31. Materiales recuperados en el Entierro 13. A) Cuentas de piedra verde y jade. B) Cuentas de pirita. C) Orejera y cuenta de jade	253
Figura 8.32 Materiales recuperados en el Entierro 13 A) Collar y arte de jade. B) Cuentas de concha. C) Malacates	254
Figura 8.33 Materiales recuperados en el Entierro 13. A) Agujas de hueso. B) Huesos tallados. C) Fragmentos de cerámica de posible mosaico	255
Figura 8.34 Detalle de hueso tallado	256
Figura 8.35 Espina de raya con texto recuperada en el Entierro 13	256
Figura 8.36 Rasgo tallado en la piedra caliza.....	257
Figura 8.37 Agujero sobre el Piso Aceituno.....	260
Figura 8.38 Nicho remodelado en Fachada Este de la Banqueta 1	261
Figura 8.39 Fachada Oeste de plataforma de Aceituno A.....	263
Figura 8.40 Muro sobre el Piso Aceituno en la Unidad CR16C-40.....	265
Figura 8.41 Perfiles de la Unidad CR16A-47.....	265
Figura 8.42 Cuellos de cántaro encontrados en el relleno de la plataforma de barro.....	267
Figura 8.43 Planta de escalones encontrados en la Fachada Sur.....	269
Figura 8.44 Cuarto a octavo escalón en las unidades CR16A-47, CR16A-48 y CR16C-35	270
Figura 8.45 Posible escalón de etapa previa; primero, segundo y tercer escalón.....	271

Capítulo 9

Figura 9.1 Localización de las unidades de la Operación CR116.....	277
Figura 9.2 Perfiles y planta de la unidad CR116-1	278
Figura 9.3 Perfiles y planta de la unidad CR116-2	279
Figura 9.4 Perfiles de la unidad CR116-3	280
Figura 9.5 Estructura estucada de piedra, unidad CR116-4	281
Figura 9.6 Perfiles y planta de la unidad CR116-4	281
Figura 9.7 Perfiles y planta de la unidad CR116-5	282
Figura 9.8 Localización de la Suboperación CR116A	283
Figura 9.9 Perfiles y planta de la unidad CR116A-1.....	284
Figura 9.10 Entierro 15, unidades CR116A-1 y CR116A-3	285
Figura 9.11 Entierro 15, unidades CR116A-1 y CR116A-3	286
Figura 9.12 Perfiles de la unidad CR116A-2	287
Figura 9.13 Perfiles y planta de la unidad CR116A-3.....	288
Figura 9.14 Perfiles y planta de la unidad CR116A-4.....	289
Figura 9.15 Suboperación CR116B.....	290

Figura 9.16 Perfiles y planta unidad CR116B-1	291
Figura 9.17 Entierro 14, unidades CR116B-1, CR116B-2 y CR116B-3	291
Figura 9.18 Entierro 14. Unidades CR116B-1, CR116B-2 y CR116B-3	292
Figura 9.19 Entierro 14, unidades CR116B-1, CR116B-2 y CR116B-3	292
Figura 9.20 Perfiles de la unidad CR116B-2.....	293
Figura 9.21 Perfiles de la unidad CR116B-3.....	294
Figura 9.22 Perfiles de la unidad CR116B-4.....	294
Figura 9.23 Estructura estucada de piedra, unidades CR116-4 y CR116-5	295

Capítulo 10

Figura 10.1 Localización de la Suboperación CR120A	297
Figura 10.2 Cuerpo posterior de la Estructura 12R-9, unidad CR120A-1	298
Figura 10.3 Perfiles y planta de la unidad CR120A-1.....	298
Figura 10.4 Perfiles y planta de la unidad CR120A-2.....	299
Figura 10.5 Perfiles y planta de la unidad CR120A-3.....	300
Figura 10.6 Perfiles y planta de las unidades CR120A-4 y CR120A-4EXT	301
Figura 10.7 Unidad CR120A-4EXT.....	302
Figura 10.8 Perfiles y planta de la unidad CR120A-5.....	303
Figura 10.9 Fachada trasera de la Estructura 12R-9, unidades CR120A-3 y CR120A-6	304
Figura 10.10 Perfiles y planta de la unidad CR120A-6.....	304
Figura 10.11 Perfiles de la unidad CR120A-7	405

Capítulo 11

Figura 11.1 Foto y perfil de CR-V048	308
Figura 11.2 Fotografía y perfil de CR-V049	309
Figura 11.4 Fotografía de CR-V050. Izquierda: interior. Derecha: exterior.....	311
Figura 11.5 Perfil de CR-V050.....	311
Figura 11.6 Fotografía y perfil de CR-V051	312
Figura 11.7 Fotografía y perfil de CR-V052	313
Figura 11.8 Fotografía y perfil del interior de CR-V053	314
Figura 11.19 Fotografía y perfil de CR-V054	316
Figura 11.10 Fotografía y perfil de CR-V055	317
Figura 11.11 Fotografía de CR-V056. Izquierda: exterior, Derecha: interior.....	318
Figura 11.12 Perfil de CR-V056.....	318
Figura 11.13 Fotografía de CR-V057. Izquierda: exterior. Derecha: interior.....	319
Figura 11.14 Perfil de CR-V057.....	319
Figura 11.15 Fotografía y perfil de CR-V058	320
Figura 11.16 Fotografía y perfil de CR-V059	321
Figura 11.17 Fotografía de CR-V060.....	322
Figura 11.18 Fotografía de CR-V061.....	323
Figura 11.19 Fotografía y perfil de CR-V062	324
Figura 11.20 Fotografía y perfil de CR-V063	325
Figura 11.21 Fotografía y perfil de CR-V064	326
Figura 11.22 Fotografía y perfil de CR-V065	327
Figura 11.23 Fotografía y perfil de CR-V066	328
Figura 11.24 Fotografía y perfil de CR-V067	329
Figura 11.25 Fotografía y perfil de CR-V068	330

Figura 11.26 Fotografía y perfil de CR-V069	331
Figura 11.27 Fotografía y perfil de CR-V070	332
Figura 11.28 Fotografía y perfil de CR-V071	333
Figura 11.29 Perfil de CAR-V01	334
Figura 11.30 Fotografía de CAR-V01. Izquierda: exterior. Derecha: interior	335
Figura 11.31 Fotografía de CAR-V002. Izquierda: exterior. Derecha: interior	336
Figura 11.32 Perfil de CAR-V002.....	336
Figura 11.33 Fotografía y perfil de CAR-V003	337
Figura 11.34 Fotografía de CAR-V004. Izquierda: exterior. Derecha: interior	338
Figura 11.35 Perfil de CAR-V004.....	339
Figura 11.36 Fotografía y perfil de CAR-V005	340

Capítulo 12

Figura 12.1 Pedernal opaco	344
Figura 12.2 Punta de Caliza Calcificada	345
Figura 12.3 Bifacial de Pedernal Marrón Fino	347
Figura 12.4 Fragmentos de Pirita	353

Capítulo 13

Figura 13.1 Maxilar derecho, primer incisivo, Ofrenda 2, CR16C-23-8-13	356
Figura 13.2 Dientes maxilares anteriores, Entierro 9 de La Corona	357
Figura 13.3 Entierro 12 de La Corona Entierro, vista de planta	359
Figura 13.4 Canino maxilar izquierdo, Entierro 12 de La Corona	360
Figura 13.5 Canino maxilar izquierdo, Entierro 13 de La Corona	361
Figura 13.6 Porosidad en el hueso occipital, Entierro 16 de La Corona	363
Figura 13.7 Vista lateral del cráneo, Entierro 16 de La Corona	363
Figura 13.8 Incisivo central derecho maxilar, Entierro 17 de La Corona	365
Figura 13.9 Primer incisivo derecho maxilar, CR200-2-1-2	365
Figura 13.10 Canino izquierdo maxilar, Entierro 15 de La Corona	368
Figura 13.11 Diente de leche incisivo derecho maxilar, con defecto en el esmalte, CAR13A-1-4	371

Capítulo 14

Figura 14.1 Ubicación de excavaciones en La Cariba.....	382
Figura 14.2 Perfil de Unidad CAR-1 ^a	384
Figura 14.3 Perfil y planta de Rasgo CAR-1A-1-1	385
Figura 14.4 Rasgo CAR-1A-1-1.....	386
Figura 14.5 Perfil de Unidad CAR-1A-2	387
Figura 14.6 Planta de plataforma, Unidad CAR-1A-2	388
Figura 14.7 Perfil de Unidad CAR-1A-3	389
Figura 14.8 Plataforma asociada con Piso 2 en Plaza A, Unidades CAR-1A-2 y CAR-1A-3, vista al norte.....	390
Figura 14.9 Perfil sur de la trinchera de saqueo de Estr. A-5, Unida CAR-1B-1	392
Figura 14.10 Tumba 1, Estr. A-5, saqueada, vista al sureste.....	393
Figura 14.11 Escalinata, muro de construcción, y cima de Estr. A-5, vista al este.....	393
Figura 14.12 Planta de Entierro 1	387
Figura 14.13 Perfil oeste de la trinchera de saqueo de Estr. A-4, Unidad CAR-1B-2	396

Figura 14.14 Perfil este de la trinchera de saqueo de Estr. A-2, Unidad CAR-1B-3	397
Figura 14.15 Perfil de Unidad CAR-11A-1	399
Figura 14.16 Perfil de Unidad CAR-12A-1	401
Figura 14.17 Perfil de Unidad CAR-12A-2	402
Figura 14.18 Perfil de Unidad CAR-13A-1	405
Figura 14.19 Vasija CAR-V001, <i>in situ</i>	405

Capítulo 15

Figura 15.1 Reserva de la Biósfera Maya y localización del sitio Las Guacamayas	409
Figura 15.2 Ubicación de Las Guacamayas y el Triángulo Las Candelarias, Zona de Uso Múltiple	410
Figura 15.3 Áreas susceptibles a invasiones dentro de la RBM.....	411
Figura 15.4 Rutas de amenazas a la RBM.....	411
Figura 15.5 Ubicación del asentamiento El Reloj y el área de Las Guacamayas.....	412
Figura 15.6 Vista aérea del sitio Las Guacamayas.....	413
Figura 15.7 Estado de la vegetación secundaria en el sitio y áreas aledañas	414
Figura 15.8 Plano de puntos GPS.....	415
Figura 15.9 Mapa de curvas de nivel, indicando el Grupo Triádico	417
Figura 15.10 Levantamiento volumétrico del grupo principal de Las Guacamayas, vista hacia el noreste.....	418
Figura 15.11 Levantamiento volumétrico del grupo principal de Las Guacamayas, vista hacia el sureste	418
Figura 15.12 Levantamiento volumétrico del grupo principal de Las Guacamayas, vista hacia el suroeste	419
Figura 15.13 Levantamiento volumétrico del grupo principal de Las Guacamayas, vista hacia el este	419
Figura 15.14 mapa planimétrico general del sitio Las Guacamayas	421
Figura 15.15 identificación de estructuras por su forma y posible función, el Grupo Triádico en rojo, los edificios piramidales en azul, la estructura palaciega en verde y las plataformas habitacionales en amarillo.....	422
Figura 15.16 vista aérea de 2014 ligeramente hacia el norte del oeste	424
Figura 15.17 vista aérea de 2014 hacia el noroeste	424
Figura 15.18 vista aérea de 2014 vista hacia el norte.....	425
Figura 15.19 vista aérea del Complejo Triádico.....	425
Figura 15.20 fotografía aérea con montaje de arquitectura observada.....	426
Figura 15.21 ubicación del sitio Las Guacamayas (rodeado por círculo rojo) en base a coordenadas GPS y su relocalización en base al mapa 1:50,000	426
Figura 15.22 distancias entre el sitio Las Guacamayas y elementos del entorno natural y construido.....	427
Figura 15.23 vista del Complejo Triádico desde el sector noreste.....	429
Figura 15.24 Estructura 1 vista desde el sector noreste.....	429
Figura 15.25 vista 180° del Complejo Triádico desde el oeste	430
Figura 15.26 Estructura 2 vista desde el oeste.....	431
Figura 15.27 Estructura 2, a) vista desde Estructura 3 (cortesía WCS 2011); b) cima de Estructura 1	431
Figura 15.28 Estructuras tipo “palacio de presentación”, a) estructura piramidal 5N-7 y la plataforma N5-3A; b) plataforma N5-7	431

Figura 15.29 Estructura 3, a) vista desde la base de la Estructura 2; b) vista de Estructura 3 desde su base	432
Figura 15.30 Complejos Triádicos, a) Acrópolis Norte de Yaxuná; b) Complejo Triádico en Naranja	433
Figura 15.31 Complejos Triádicos, a)Complejo Amurallado de Naachtun; b) Acrópolis de Piedras Negras.....	434
Figura 15.32 Estructura 5E-13 del sitio La Joyanca. Edificio largo de carácter administrativo y de dimensiones similares a la Estructura 5 de Las Guacamayas	437
Figura 15.33 Estructura AXVIII de Uaxactun datada para el Clásico Temprano y con funciones habitacionales y de gobierno; a) vista lateral; y b) vista en planta.	437
Figura 15.34 Aguada 1 vista desde el sur	445
Figura 15.35 Aguada 1 vista desde la esquina sureste	445
Figura 15.36 graderío en la sección sur de la Aguada 1	446
Figura 15.37 piedra grande o posible “laja” en la orilla sur de la Aguada 1	446
Figura 15.38 piedra con asa en la orilla sur de la Aguada 1	447
Figura 15.39 apilación de piedras en la orilla noroeste de la Aguada 1, a) vista desde la base de la estructura 6 hacia el sureste; y b) vista desde su inicio a orillas de la aguada.....	447
Figura 15.40 Vista aérea de la Aguada 1 durante el sobrevuelo en 2014, vista hacia el Sur	448
Figura 15.41 Aguada 2, vista desde el noroeste	448
Figura 15.42 Mapa planimétrico general del sitio Las Guacamayas mostrando los Saqueos	450
Figura 15.43 Saqueo 4 en 2012	451
Figura 15.44 Saqueo 7, vista hacia el norte; el machete a la izquierda indica el ancho del mismo.....	442
Figura 15.45 Saqueo 8 visto desde el este; abajo el machete indica el ancho.....	452
Figura 15.46 imagen comparativa de los sitios Las Guacamayas (arriba derecha), Zapote Bobal (arriba izquierda) y La Corona (abajo).....	455
Figura 15.47 Brechas en el complejo principal del sitio	456
Figura 15.48 Montículos principales vista desde el área noreste	457
Figura 15.49 vista general del sitio desde el sur.....	458
Figura 15.50 ubicación de las zonas de reconocimiento para recolección.....	460
Figura 15.51 área noreste vista desde el sur, nótese que el área ha sido limpiada	461
Figura 15.52 cerámica del lote GUAC 2A-1-1; a) Encanto Estriado; b) Engobe Naranja, Azote; c) Polícromo erosionado; d) Tinaja Rojo	466
Figura 15.53 cerámica del lote GUAC 2A-2-1; a) Encanto Estriado; b) Tinaja Rojo	466
Figura 15.54 cerámica del lote GUAC 2A-3-1; a) Encanto Estriado; b) Infierno Negro	467
Figura 15.55 lítica del lote GUAC 2A-3-1; Fragmento de mano de moler.....	467
Figura 15.56 cerámica del lote GUAC 2A-4-1; a) Encanto Estriado; b) Polícromo erosionado; c) y d) Tinaja Rojo	467
Figura 15.57 Ubicación de las Guacamayas y la ruta comercial entre sitios de El Petén	472

Capítulo 16

Figura 16.1 Vasija tipo Altamira Acanalado (CAR-V005) del Preclásico Tardío, proveniente de un escondite en el Grupo D del sitio La Cariba.....	476
Figura 16.2 Fotografía aérea del sitio Las Guacamayas, con montaje de arquitectura Observada.....	477
Figura 16.3 Secuencia dinástica de La Corona durante la “Era Dorada.....	479
Figura 16.4 Reconstrucción hipotética de la plataforma Halcón. Vista de noroeste a Suroeste	481
Figura 16.5 Pinturas murales en la pared norte del Cuarto 1, Subestructura 13Q-4O-Sub1	481
Figura 16.6 Reconstrucción arquitectónica de la Estructura 13Q-4F, con la Estructura 13Q-4E a su izquierda y la Estructura 13Q-3I a la derecha. La vista es hacia el suroeste.....	482
Figura 16.7 Relieve del lado norte de la columna sur, Estructura 13Q-2-Sub2	483
Figura 16.8 Joya de jade ("Huunal") proveniente del Entierro 18	484
Figura 16.9 Excavación de las subestructuras 13Q-2Sub1 y 13Q-2Sub2	485
Figura 16.10 Excavación en el lado sur de la Estructura 13Q-1	486
Figura 16.11 Excavación de la fachada oeste de la Estructura 13Q-1	486
Figura 16.12 Joya de jade ("Huunal") proveniente del Entierro 19	487
Figura 16.13 Espina de raya con texto recuperada en el Entierro 13	489
Figura 16.14 Presencia del "Elemento La Corona" en cinco platos policromados	490
Figura 16.15 Selección de objetos de jade del Entierro 18	491

ÍNDICE DE TABLAS

Capítulo 2

Tabla 2.1 Registro de las Inscripciones de La Corona	37
--	----

Capítulo 3

Tabla 3.1 Materiales CR-20P-5	44
Tabla 3.2 Materiales CR-20E-7-1	45
Tabla 3.3 Materiales CR-20E-7-2	48
Tabla 3.4 Materiales CR-20E-9.....	49
Tabla 3.5 Materiales CR-20E-10.....	50
Tabla 3.6 Materiales CR-20R-1.....	51
Tabla 3.7 Materiales CR-20C.....	52

Capítulo 4

Tabla 4.1 Materiales CR-21O-1-1	59
Tabla 4.2 Materiales CR-21O-1-2	60
Tabla 4.3 Materiales CR-21O-1-3	61
Tabla 4.4 Materiales CR-21O-1-4	61
Tabla 4.5 Materiales CR-21O-1-5	64
Tabla 4.6 Materiales CR-20O-1	66

Tabla 4.7 Materiales CR-200-1	68
Tabla 4.8 Materiales CR-200-1	72
Tabla 4.9 Materiales CR-200-2	74

Capítulo 5

Tabla 5.1 Análisis lítico.....	109
--------------------------------	-----

Capítulo 6

Tabla 6.1 Material encontrado en la unidad CR31A-1.....	123
Tabla 6.2 Material encontrado en la unidad CR31A-2.....	126
Tabla 6.3 Material encontrado en la unidad CR31A-3.....	127
Tabla 6.4 Material encontrado en la unidad CR31A-4.....	128
Tabla 6.5 Material encontrado en la unidad CR31A-5.....	129
Tabla 6.6 Material encontrado en la unidad CR31B-1	130
Tabla 6.7 Material encontrado en la unidad CR31B-2.....	131
Tabla 6.8 Material encontrado en la unidad CR31B-3.....	132
Tabla 6.9 Material encontrado en la unidad CR31B-4.....	134
Tabla 6.10 Material encontrado en la unidad CR31B-5.....	135
Tabla 6.11 Material encontrado en la unidad CR31B-6.....	137
Tabla 6.12 Material encontrado en la unidad CR31B-6a.....	139
Tabla 6.13 Material encontrado en la unidad CR31B-6b.....	141
Tabla 6.14 Material encontrado en la unidad CR31B-7.....	142
Tabla 6.15 Material encontrado en la unidad CR31B-8.....	144
Tabla 6.16 Material encontrado en la unidad CR31B-9.....	145
Tabla 6.17 Material encontrado en la unidad CR31B-10.....	145

Capítulo 7

Tabla 7.1. Resumen de datos de las unidades excavadas	164
Tabla 7.2 Materiales asociados al entierro	208

Capítulo 12

Tabla 12.1 Composición de la muestra analizada de pedernal del Entierro 6.....	350
Tabla 12.2 Composición de la muestra analizada de obsidiana del Entierro 6	351

Capítulo 13

Tabla 13.1 Inventario, Ofrenda 1, CR16C-23-6-9.....	372
Tabla 13.2 Inventario, Ofrenda 2, CR16C-23-8-13.....	373
Tabla 13.3 Inventario Dental, La Corona Entierro 9.....	375
Tabla 13.4 Inventario Dental, La Corona Entierro 10.....	375
Tabla 13.5 Inventario, Operaciones 16, 20, 32, 116, La Corona, Temporada 2014	375
Tabla 13.6 Inventario Dental, La Corona Entierro 12.....	376
Tabla 13.7 Inventario Dental, La Corona Entierro 13.....	376
Tabla 13.8 Inventario Dental, La Corona Entierro 16.....	377
Tabla 13.9 Inventario Dental, La Corona Entierro 17	377
Tabla 13.10 Inventario, CR200-2-1-2	377
Tabla 13.11 Inventario Esquelético, CR200-2-2	377
Tabla 13.12 Inventario Dental, CR200-2-2	378

Tabla 13.13 Inventario Dental, La Corona Entierro 19.....	378
Tabla 13.14 Inventario Dental, La Corona Entierro 15.....	378
Tabla 13.15 Inventario Dental, La Corona Entierro 14.....	378
Tabla 13.16 Inventario, Operaciones 1y 13, La Cariba, Temporada 2014.....	378
Tabla 13.17 Inventario Dental, La Cariba Entierro 1A (adulto.....	379
Tabla 13.18 Inventario Dental Deciduo, La Cariba Entierro 1B.....	379
Tabla 13.19 Inventario Dental Permanente, La Cariba Entierro 1B	379
Tabla 13.20 Inventario Dental Deciduo, Cache 1 (adentro), CAR13A-1-4.....	380
Tabla 13.21 Inventario Dental Permanente, Cache 1 (adentro), CAR13A-1-4.....	380
Tabla 13.22 Inventario Dental, Cache 3 (adentro del tazón), CAR13A-1-11	380

Capítulo 15

Tabla 15.1 Diámetros y alturas de las estructuras mapeadas	416
Tabla 15.2 Dimensiones del patio interno del Grupo Triádico	417
Tabla 15.3 Distancias entre estructuras (de cima a cima)	417

Capítulo 16

Tabla 16.1 Listado de mujeres conocidas en la historia de La Corona	489
---	-----

ÍNDICE DE GRAFICAS

Capítulo 12

Gráfica 12.1 Distribución de los tipos de pedernal en La Corona.....	343
--	-----

Capítulo 15

Gráfica 15.1 tipos cerámicos identificados en GUAC 2A-1-1	463
Gráfica 15.2 porcentajes cerámicos en Tríadico #1	463
Gráfica 15.3 porcentajes de cerámica analizada proveniente de Tríadico #2	464
Gráfica 15.4 porcentajes de cerámica analizada proveniente de Tríadico #3	464
Gráfica 15.5 porcentajes cerámicos presentes en GUAC 2A-4-1	465
Gráfica 15.6 tipos cerámicos presentes en la muestra del sector noreste	465

CAPÍTULO I

PROYECTO REGIONAL ARQUEOLÓGICO LA CORONA: OBJETIVOS Y ANTECEDENTES DE LA TEMPORADA 2014

Marcello A. Canuto y Tomás Barrientos Q.

Después de ocho temporadas de campo entre 2005 y 2012, el sitio arqueológico La Corona es, junto a El Perú/Waka', el centro más importante de la región noroccidental de Petén, especialmente por su papel histórico en el desarrollo de la dinastía *K'aanal* durante el siglo VII d.C. El Proyecto Regional Arqueológico La Corona (PRALC) continuó en 2014 sus actividades, para recuperar más información arqueológica del sitio y sus alrededores, así como proteger el patrimonio cultural y natural de la zona sur del Corredor Biológico La Corona. PRALC constituye un esfuerzo conjunto de varias personas e instituciones, especialmente la Universidad de Tulane y la Universidad del Valle de Guatemala, representadas por sus directores, el doctor Marcello A. Canuto y el doctor Tomás Barrientos.

Modalidad de la investigación

Las investigaciones realizadas en 2014 se circunscriben dentro de los incisos “4”, “5” y “6” del Artículo 6, Capítulo I, del Reglamento para Desarrollar Proyectos de Investigación Arqueológica de la Dirección General del Patrimonio Cultural y Natural del Ministerio de Cultura y Deportes, Acuerdo Ministerial 001-2012 (MCD 2012), los cuales literalmente dicen:

- 4. Investigaciones integrales a largo plazo e interdisciplinarias sobre las sociedades desaparecidas, las que requieren de excavaciones de sitios, así como de la protección, conservación y restauración de bienes muebles e inmuebles que lo ameriten.*
- 5. Investigaciones que no impliquen excavación, que conlleven el estudio de las evidencias expuestas, como son los análisis sobre arquitectura, pintura mural, epigrafía, iconografía y otros, actividades que requieren fotografía especial, dibujos, copias y otras técnicas documentales.*
- 6. Estudios de gabinete sobre patrimonio cultural mueble depositado en museos, laboratorios, bodegas y colecciones en general.*

Justificación

Desde sus inicios, las investigaciones en el sitio La Corona han logrado contribuir al entendimiento del ente político más grande y complejo del periodo Clásico en las Tierras Bajas—el reinado de *K'aanal*. Desde el punto de vista de La Corona, se ha podido sugerir de manera general que durante el siglo VII d.C., la dinastía en Calakmul dominó el territorio sur de las Tierras Bajas Mayas a través de líneas o rutas de comunicación y comercio ancladas por sitios aliados y subordinados (Canuto y Barrientos 2013b). Dentro de este contexto, las investigaciones de PRALC en 2014 lograron ampliar el entendimiento del papel regional que jugó este sitio.

Asimismo, las investigaciones en La Corona constituyen una colaboración científica contra la depredación natural y saqueo arqueológico de la zona, la cual es una de las menos investigadas del Petén, especialmente los casi 40 km entre este sitio y la frontera norte de Guatemala. La ubicación de varios sitios importantes en una zona desconocida justifica entonces el interés en la investigación de La Corona y sus alrededores.

Planteamiento Teórico

El alcance del proyecto plantea un estudio amplio de varios temas básicos y fundamentales en los estudios arqueológicos de la cultura Maya. En cuanto a las investigaciones en 2014, se enfocaron mayormente en el estudio de la organización sociopolítica de los mayas del período Clásico (250-900 d.C.) a través de la relación entre capitales regionales y sitios secundarios. Por lo tanto, las investigaciones del Proyecto Regional Arqueológico La Corona se enfocan en el registro, inventario e investigación de los sitios de la región noroccidental de Petén. Esta zona representa uno de los lugares menos estudiados de las Tierras Bajas Mayas Centrales, a pesar que se cuenta con uno de los conjuntos de inscripciones más grandes de las Tierras Bajas. Las investigaciones epigráficas han revelado una historia de estrechas relaciones políticas entre Calakmul y La Corona. Sin embargo, resulta inesperado que a pesar de estar tan vinculada a la dinastía de Calakmul, la familia real de La Corona carece del título de *k'ujul ajaw*, por lo que al sitio no se identifica por medio de un glifo emblema. Por lo tanto, desde el punto de vista de los modelos de la organización política Maya, La Corona presenta una serie de contradicciones que se pueden esclarecer por medio de la investigación arqueológica. Es

probable que La Corona no fuese un centro secundario gobernando por aliados de Calakmul de forma típica, sino era un centro de función e importancia pragmática, como una *colonia*, *puesto fronterizo*, u *estación de abastecimiento remota* de Calakmul, a cargo de un ramal de la propia dinastía de Calakmul.

Esta interpretación se ha apoyado por medio de: 1) textos jeroglíficos que relatan detalles de la relación entre estos dos sitios, 2) la relación entre el paisaje y los patrones de asentamiento, y 3) las relaciones espaciales entre los sitios, especialmente en relación con las fronteras políticas antiguas entre reinos distintos.

Por razones todavía poco comprendidas, La Corona representaba un punto de importancia estratégica para los gobernantes de Calakmul en su expansión territorial en los siglos VI y VII d.C. y la competencia con Tikal para adquirir control de las rutas y recursos de las Tierras Bajas (Canuto y Barrientos 2013a). Además, el estudio de PRALC está contribuyendo a corregir el desnivel de datos históricos entre las dos grandes capitales Mayas, complementando la información ya obtenida de investigaciones realizadas en la zona de Campeche, en sitios como Calakmul (Benavides 2005), Oxpemul (Šprajc, Folan y González 2005, Robichaux y Pruett 2005), Dzibanché (Martin 2005, Velásquez 2008) y Uxul (Grube 2007). También se ha complementado la interpretación de otras zonas estratégicas, como la de Waka'/El Perú en el Río San Pedro Mártir (Freidel y Escobedo 2004, Freidel y Escobedo 2005, Freidel y Escobedo 2006, Freidel y Escobedo 2007, Freidel *et al.* 2007) y el antiguo reino de *Hix Witz'* en la zona de La Joyanca (Arnauld, Breuil-Martínez y Ponciano 2004) y Zapote Bobal (Fitzsimmons 2006).

Objetivos y metas de investigación:

De manera más específica, la temporada de investigación 2014 tuvo los siguientes objetivos y metas, enumerados desde los más específicos a los más generales:

- 1) Continuar con las excavaciones intensivas en el Palacio (Estructura 13Q-4) para identificar su secuencia constructiva y función de sus superestructuras.
- 2) Continuar con las excavaciones intensivas en la Estructura 13R-10 para identificar su secuencia constructiva.
- 3) Continuar con las excavaciones intensivas en la fachada de la Estructura 13Q-2, para definir sus etapas anteriores.

- 4) Iniciar las excavaciones en la Estructura 13Q-1, para comprobar su función funeraria y determinar el grado de daño debido a saqueos.
- 5) Realizar excavaciones en áreas domésticas para buscar depósitos cerámicos y líticos fechados para el siglo VII d.C.
- 6) Llevar a cabo estudios cerámicos, líticos y osteológicos de los materiales recuperados a partir de las excavaciones realizadas en ésta y otras temporadas.
- 7) Iniciar las excavaciones en el sitio arqueológico La Cariba
- 8) Realizar el primer mapa del sitio arqueológico Las Guacamayas
- 9) Continuar con los análisis de las inscripciones provenientes de los monumentos de piedra.
- 10) Formular modelos políticos, económicos y culturales que expliquen la relación de La Corona y otros reinos Mayas asociados al Reino *K'aanal* entre los siglos VI y VIII d.C., así como sus relaciones con Tikal y otros sitios de las Tierras Bajas Mayas durante el Período Clásico.
- 11) Fortalecer las acciones de protección y conservación de la antigua ciudad de La Corona y los bienes culturales y naturales de la región de estudio.

Investigaciones previas

Los estudios llevados a cabo antes de 2009 proporcionaron una visión bastante preliminar de La Corona, y a partir de 2010 se iniciaron las investigaciones intensivas en la Plaza Principal y el Grupo Coronitas, incluyendo el descubrimiento de la Escalinata Jeroglífica 2 en 2012. A continuación se presenta una síntesis de los resultados alcanzados en las temporadas previas, que sirven como base para la realización de investigaciones en 2014.

Las investigaciones en la zona de La Corona iniciaron como resultado de la búsqueda del “Sitio Q”, que había sido relevante desde la década de 1970 en las discusiones referentes a la investigación del sistema político de los mayas clásicos. No se incluye la historia detallada estas investigaciones, ya que esto ha sido incluido en los informes previos de PRALC de 2008 y 2009 (Canuto y Barrientos 2009, Barrientos y Canuto 2010).

En 2005 y 2006 se organizaron dos expediciones al sitio La Corona por parte del Proyecto El Perú-Waka', dirigido por David Freidel y Héctor Escobedo (Canuto *et. al.* 2006, Canuto 2007, Acuña 2007, Marken y Guenter 2007). Las expediciones tenían como propósito investigar la correlación entre La Corona y el Sitio Q propuesta por Stuart (2001), lo que finalmente fue comprobado mediante el descubrimiento del Panel 1.

Dos años después, entre 2008 y 2012, se llevaron a cabo la primera, segunda, tercera, cuarta y quinta temporadas del Proyecto Regional Arqueológico La Corona (PRALC), dirigido por Marcello Canuto y Tomás Barrientos (Canuto y Barrientos 2009, Barrientos y Canuto 2010, Barrientos *et al.* 2011, Barrientos *et al.* 2012, Barrientos *et al.* 2013). Además, entre 2009 y 2011 se construyó un campamento permanente, el cual sirve como estación científica tanto para las investigaciones en el sitio de La Corona, sus alrededores y otros proyectos de carácter regional en la zona noroccidental de Petén. A continuación se presenta un resumen de los datos e interpretaciones más recientes de La Corona y su región asociada.

Asentamiento al occidente de la Reserva de la Biósfera Maya

Las temporadas 2010, 2011 y 2012 han incluido reconocimientos regionales, con el resultado del registro de 46 sitios (Figuras 1.1 y 1.2). A pesar del aparente éxito en el uso de imágenes satelitales de alta resolución para identificar sitios en otras áreas de la RBM, la técnica de identificar sitios por medio de su incidencia directa sobre la vegetación actual no ha generado resultados positivos en la zona de estudio de PRALC.

En respuesta, se ha estudiado el drenaje de suelos en relación a la topografía quebrada al este y la topografía plana al oeste. Usando el Índice de Posición Topográfica (Topographic Position Index o TPI) de la Geomorfometría, se ha definido un área de 302 km² que se mantiene arriba de los niveles normales de inundaciones temporales, y es allí precisamente donde se han identificado asentamientos prehispánicos. De estos sitios, más de la mitad han presentado material cerámico del periodo Preclásico, sugiriendo una importante ocupación de este período en la región de la RBM occidental, pero con características distintas a las encontradas en la meseta central cárstica al este y posiblemente compartiendo muchas similitudes con las ocupaciones preclásicas del suroccidente del Petén.

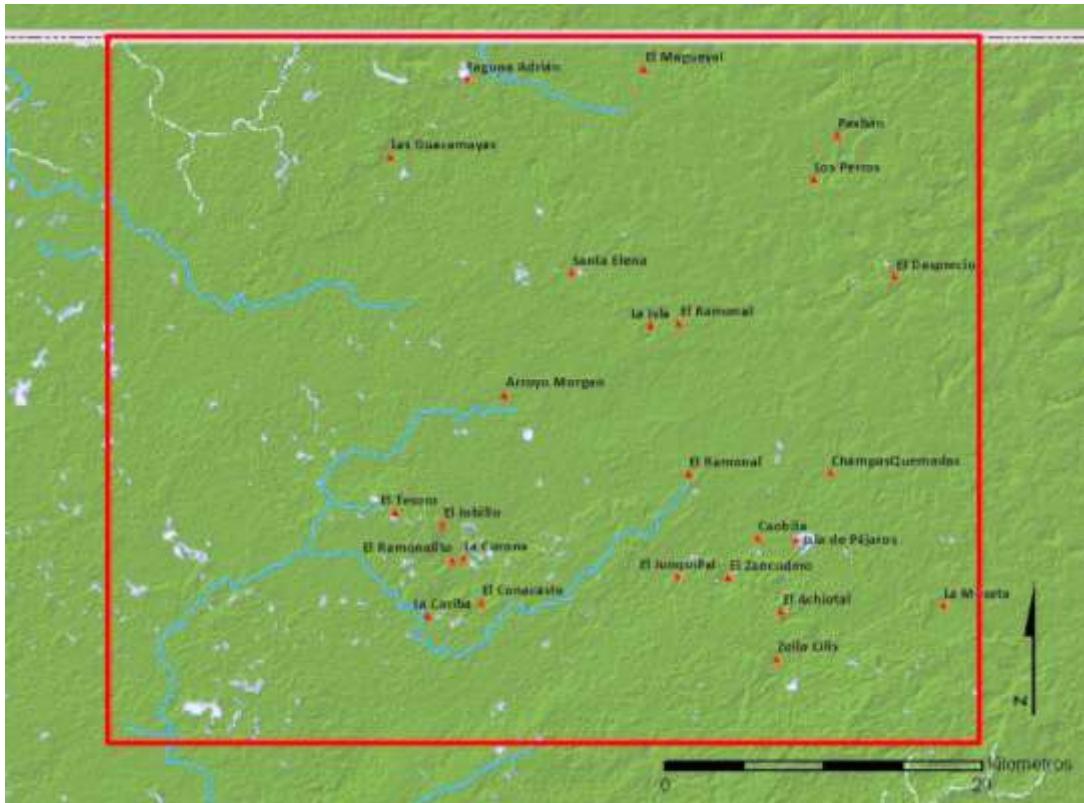


Figura 1.1 Sitios principales en el área de PRALC (Mapa por C. Chiriboga)

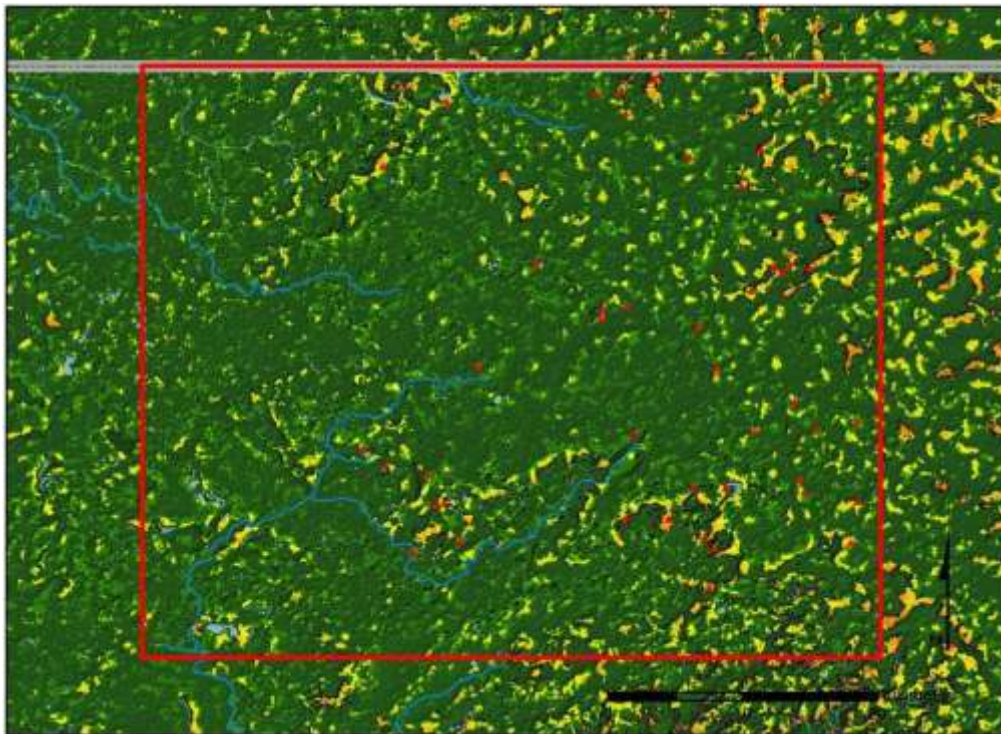


Figura 1.2 Mapa con elevaciones (zonas amarillas son las más altas) localizando los 46 sitios registrados en la zona de estudio PRALC hasta 2012 (Mapa por C. Chiriboga)

Ubicación estratégica de La Corona

La Corona se localiza en el límite occidental de la Meseta Cárstica Central de la Reserva de la Biósfera Maya (RBM) y está dentro de una cadena de *sibales* en una zona que carece de ríos. La presencia de sitios en toda esta área es limitada hacia el oeste, ya que se inunda periódicamente y no es susceptible para el asentamiento humano. Hacia el este, el terreno se eleva continuamente en dirección a la meseta cárstica central de las Tierras Bajas, donde se ubican sitios como Tikal, Uaxactun, Naachtun y El Mirador. A unos pocos kilómetros al suroeste de La Corona se encuentran los nacimientos de los ríos Xan y Chocop, que drenan hacia el oeste hacia el Río San Pedro Mártir, el cual proveyó acceso hacia el Bajo Usumacinta y el Golfo de México (Figura 1.3).

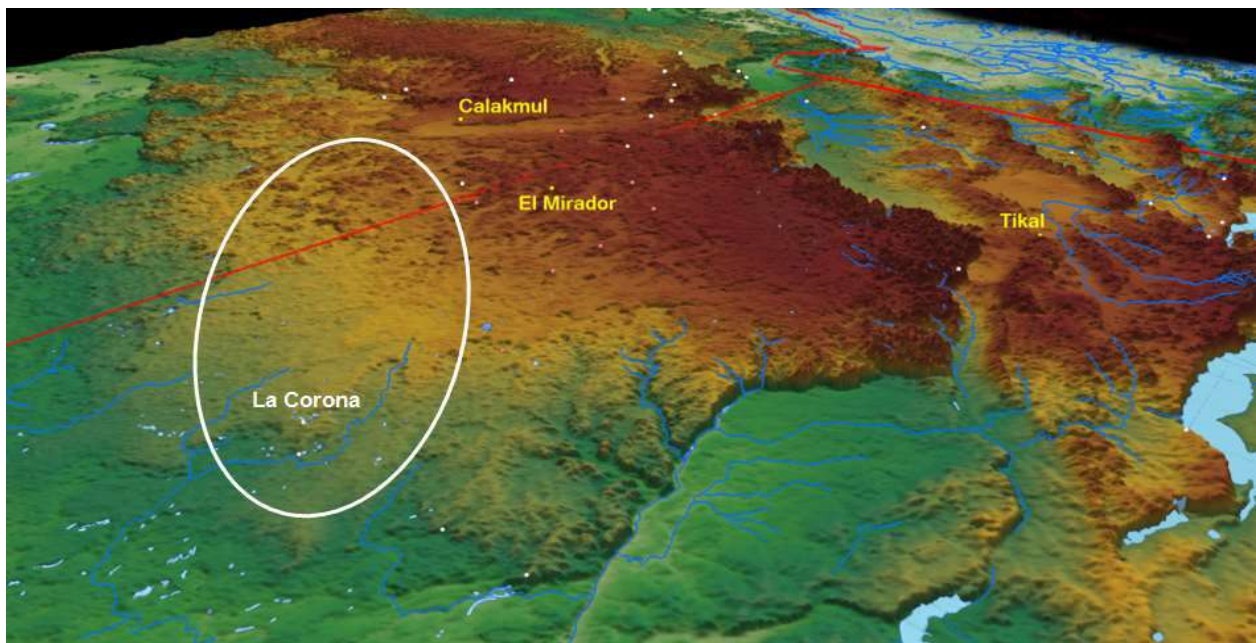


Figura 1.3 Ubicación de La Corona al oeste de la Meseta Cárstica Central (Mapa por M. Canuto)
Las áreas verdes son de menor altura y las de color café son de mayor altitud

Conexiones con La Florida

En las investigaciones del 2013, en las excavaciones de dos contextos distintos, se halló evidencia de una relación política entre La Corona y el sitio La Florida (antiguamente nombrado *Namaan*), ubicado en la aldea moderna de El Naranjo-Frontera. La evidencia vino en la forma de dos distintas vasijas de cerámica con textos jeroglíficos (Figuras 1.4 y 1.5). Es probable que estos dos objetos eran regalos entre élites de los dos centros quienes probablemente mantuvieron relaciones de aliados.

En el primer caso (Figura 1.4), en un relleno del Palacio en La Corona que fecha a finales del séptimo siglo d.C., se hallaron los restos de una tapadera de una probable vasija trípode de estilo Teotihuacano. Esta tapadera tenía pintado 12 glifos en 4 columnas. El texto incompleto tiene una secuencia larga de nombres personales y títulos. El último glifo de la primera columna y el primer glifo de la segunda columna se leen na-MAAN-ni AJAW, *namaan ajaw*, ósea el glifo emblema del sitio La Florida. Los siguientes dos glifos representan el nombre *Siyaj Chan* (*K'awiil*), quien es un gobernante conocido de La Florida, también nombrado en la vasija K1670. Curiosamente, en esta segunda vasija, este rey también está nombrado *k'uhul chatahn winik*, un título hallado en La Corona, Uxul y Calakmul (D. Stuart, comunicación personal).

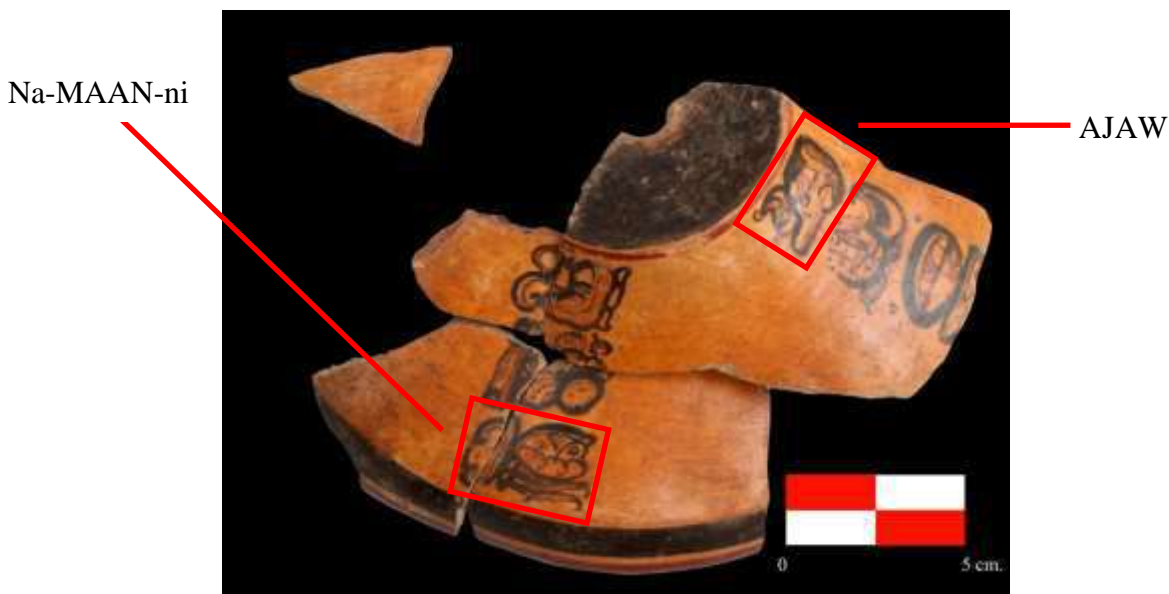


Figura 1.4. Tapadera de vaso proveniente del Palacio (Foto por E. Bustamante, lectura por D. Stuart)

En el segundo caso (Figura 1.5), en otra ofrenda de vasijas cerámicas ubicado en una plataforma de función ritual (Estra. 13R-10) en el conjunto Las Coronitas, se halló un plato—de Fase Tepeu 1 (Caroline Parris, comunicación personal) — con un texto jeroglífico. Aunque el texto contiene varios elementos típicos de una Secuencia Primaria Estándar, la palabra utilizada en la frase posesiva “su plato”, *yajaljib*, es muy rara, y solamente se ha documentado en ejemplos de platos provenientes de La Florida (D. Stuart, comunicación personal) (Figura 1.6).

ya-ja-li-bi



Figura 1.5. Plato proveniente de la Ofrenda 1, Estructura 13R-10 (Foto por J. Ponce, lectura por D. Stuart)



Figura 1.6. Platos de “estilo La Florida” proveniente de una colección privada en Bruselas (izquierda) y de Pomoná (derecha) (Fotos cortesía de D. Stuart)

Ubicado a lo largo del San Pedro Mártir, La Florida era un puerto importante para el comercio fluvial (Morales 1998). El sitio, ubicado hoy en el pueblo de El Naranjo-Frontera, está compuesto por varios conjuntos arquitectónicos monumentales y varios monumentos esculpidos. De su historia, destaca la alianza con Piedras Negras a través del matrimonio del Gobernante 3 con la Señora *K'atun Ajaw*, así como un conflicto con Yaxchilán.

Por la ubicación de La Corona en relación con La Florida, es muy posible que la conexión documentada entre los dos sitios refleje la expansión de la influencia *Kaanal* no solamente hacía el sur y el Río Pasión, sino también hacía el oeste a lo largo del río San Pedro. Por lo tanto, esta conexión sugiere que La Corona era más que un punto a lo largo de una ruta; posiblemente era el punto donde convergía una red de rutas asociadas con el reino *Kaanal* (Figura 1.7).

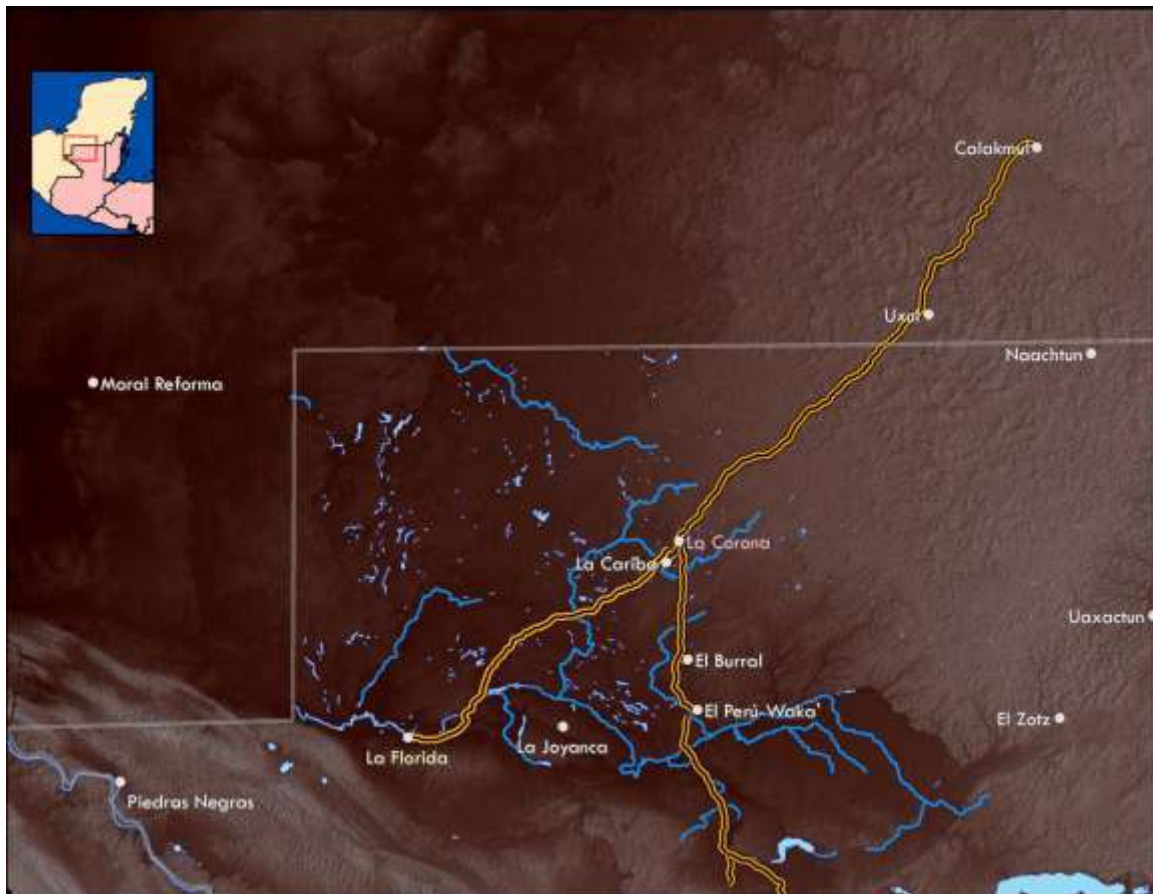


Figura 1.7 Mapa de la ruta *Kaanal* y su posible conexión con La Florida (Mapa por M. Canuto)

Patrón de Asentamiento de La Corona

Por lo tanto, La Corona es un sitio que está estratégicamente localizado en un área que tiene drenaje suficiente para permitir asentamiento durante todo el año y está rodeada por una riqueza de sibales de agua dulce. La Corona se compone de dos “complejos” arquitectónicos principales con una serie de grupos piramidales y grupos residenciales intercalados entre ellos (Figura 1.8).

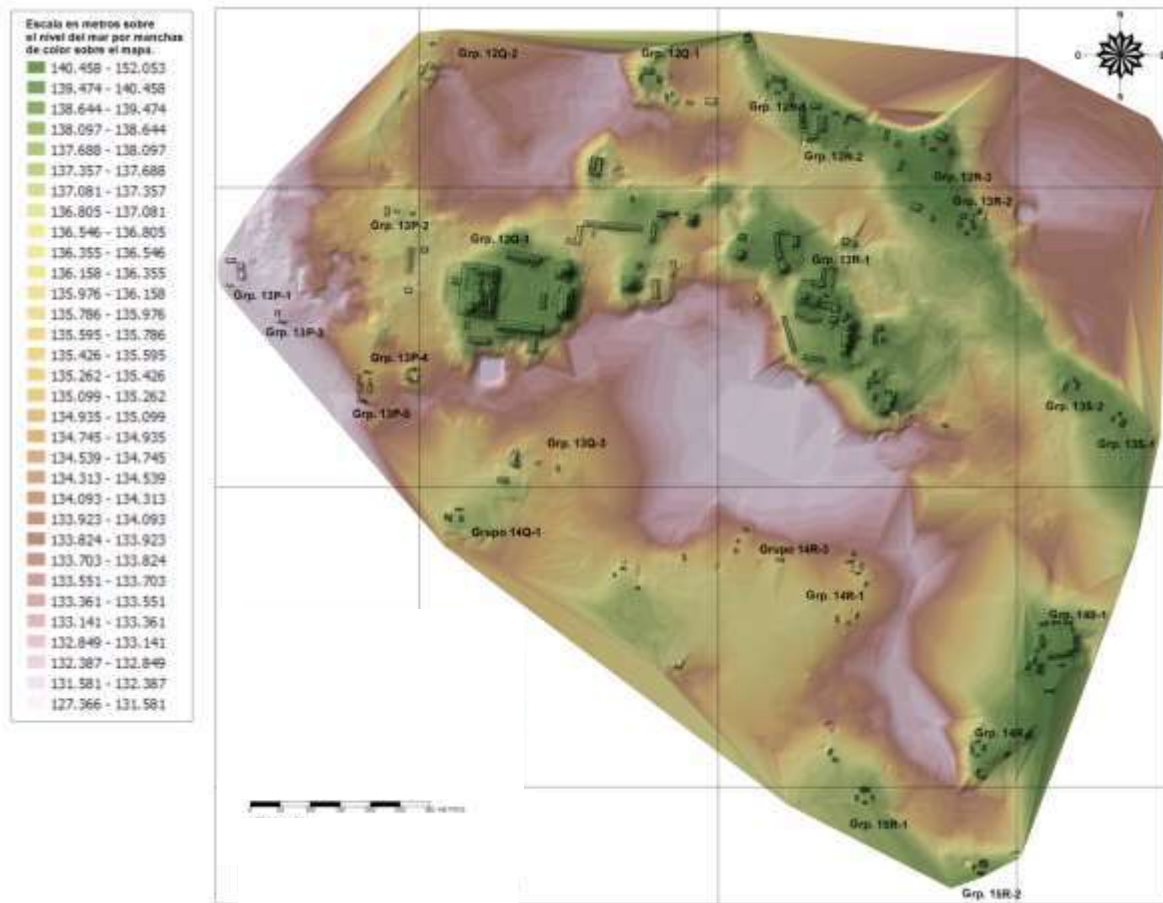


Figura 1.8 Mapa tridimensional de La Corona, Temporada 2012 (Mapa por R. Guzmán)

Los complejos de arquitectura monumental que definen el centro de La Corona tienen singularidades que los distinguen entre sí. El grupo al oeste —llamado “Grupo Principal”— está construido en una elevación natural entre los dos sibales “Pato” y “Colmoyote” al norte y sur, respectivamente. Consiste de una plaza estucada cuadrangular de aproximadamente 10,000 m² rodeada de edificios monumentales y donde se encuentra la mayoría de altares y estelas (Figura 1.9). Destaca el complejo Palacio (Estructura 13Q-4) en el lado oeste de la plaza, que es un edificio tipo acrópolis cuyo basamento cubre alrededor de 4,000 m² y se eleva 10 m sobre la plaza, sosteniendo 4 patios internos y 10 estructuras en su etapa final. Hacia el sur se encuentra una aguada cuadrangular que pudo ser la cantera original que resultó de la construcción del Grupo Principal.

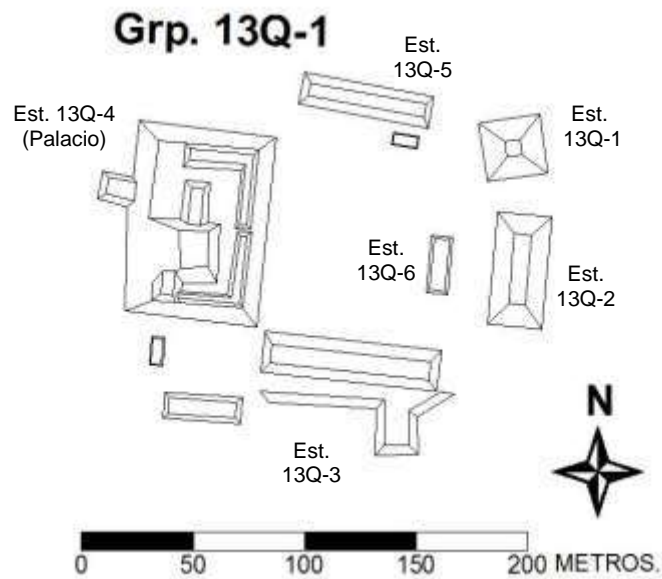


Figura 1.9 La Corona, Plaza Principal (Mapa realizado por R. Guzmán)

Por su parte, el Grupo Coronitas presenta características menos convencionales, donde destaca el conjunto de cinco pequeños templos alineados en eje norte-sur (Grupo 13R-I) y un grupo de templo y palacio en el límite norte del grupo (Grupo 13R-II). Hacia el sur y este, la plaza es casi abierta, ya que solamente presenta dos estructuras bajas y alargadas (Figura 1.10).

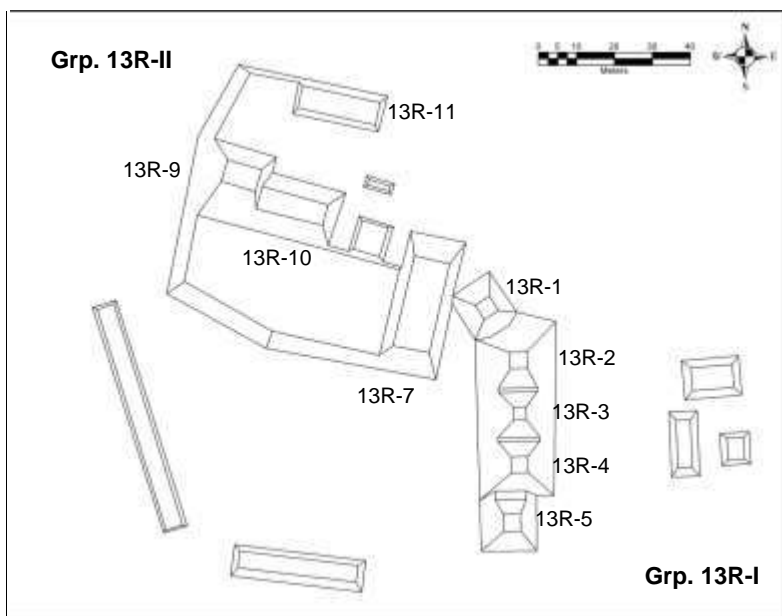


Figura 1.10 La Corona, Grupo Coronitas (Mapa por M. Canuto)

La Plaza Principal fue el escenario para actividades rituales y políticas de carácter público, dada la presencia de monumentos con inscripciones. Actualmente hay una estela y cuatro altares, y la Escalinata Jeroglífica 1 en la Estructura 13Q-3. De acuerdo a los descubrimientos recientes, la fachada de la Estructura 13Q-2 seguramente contuvo bloques tallados que posteriormente se recolocaron en la Estructura 13R-10 como parte de la Escalinata Jeroglífica 2. En el Grupo Coronitas se han recuperado inscripciones en el Panel 7 y se sabe también que el Panel 6 o Altar de Dallas se encontraba en la Estructura 13R-10. Por supuesto, lo más relevante es la presencia del Panel 1 en la Estructura 13R-5 y la Escalinata Jeroglífica 2 en la fachada de la Estructura 13R-10, descubierta en 2012. Además, es relevante que las investigaciones en la Estructura 13R10 durante 2013 ratificaron su función ceremonial mediante la presencia de siete ofrendas u escondites en sus cinco fases arquitectónicas.

Las diferencias en diseño arquitectónico y presencia de monumentos con inscripciones en ambos grupos pueden sugerir funciones distintas durante el siglo VII d.C., que corresponde al apogeo del sitio. En ese momento parece que la Plaza Principal tuvo un carácter más dinástico, relacionado con la conmemoración de eventos políticos, mientras que el Grupo Coronitas pudo haber sido transformado de un área de culto a ancestros, a un lugar dedicado a deidades patronas o tutelares del sitio. Esta hipótesis se basa en el contenido del texto del Panel 1, que incluye pasajes de carácter ritual y mitológico, especialmente la descripción de la fundación del templo como santuario en 677 d.C. para la efigie de un dios patrón. Se supone entonces que cada uno de los cinco templos de este conjunto pudo haber sido dedicado a deidades específicas y que fueron particulares al sitio de *Sak Nikte'*. Además, la remodelación de estos templos cubrió totalmente entierros de reyes antiguos, posiblemente de algún linaje distinto.

Los estudios arquitectónicos y epigráficos de estas dos plazas constituyen la principal fuente para reconstruir la cronología ocupacional del sitio. El Grupo Coronitas cuenta con seis fases constructivas: *K'inich* (314–400? d.C.), *Mam* (400–500? d.C.), *Muk* (500?–658 d.C.), *K'uh* (658–677 d.C.), *Ub* (677–750? d.C.) y *Unen* (750?–850? d.C.), las cuales muestran cambios drásticos en cuanto a su función. De la misma manera, la secuencia de las Estructuras 13R-9 y 13R-10 apunta a cambios funcionales de esta plaza en la segunda parte del Clásico Tardío y Clásico Terminal, cuando se colocó la Escalinata Jeroglífica 2, con bloques provenientes de otros edificios de la Plaza Principal. En cuanto al Palacio (13Q-4), hasta 2013 se han identificado tres grandes etapas, aunque no se ha podido determinar su fechamiento absoluto.

Cronología de La Corona

La cronología actual del sitio ha sido designada mediante una “cronología arquitectónica”, que se complementa principalmente en datos epigráficos de los textos de La Corona y otros patrones generales de las Tierras Bajas Centrales durante el período Clásico (Figura 1.11). Esta cronología ha sido designada de la siguiente manera:

- Fase *Aneel* (314-500 d.C.)
- Fase *Naah Ek'* (520-625 d.C.)
- Fase *Yuknoom* (625-700 d.C.)
- Fase *Ti' Kann* (700-750 d.C.)
- Fase *Ix Mutal* (750-820 d.C.)

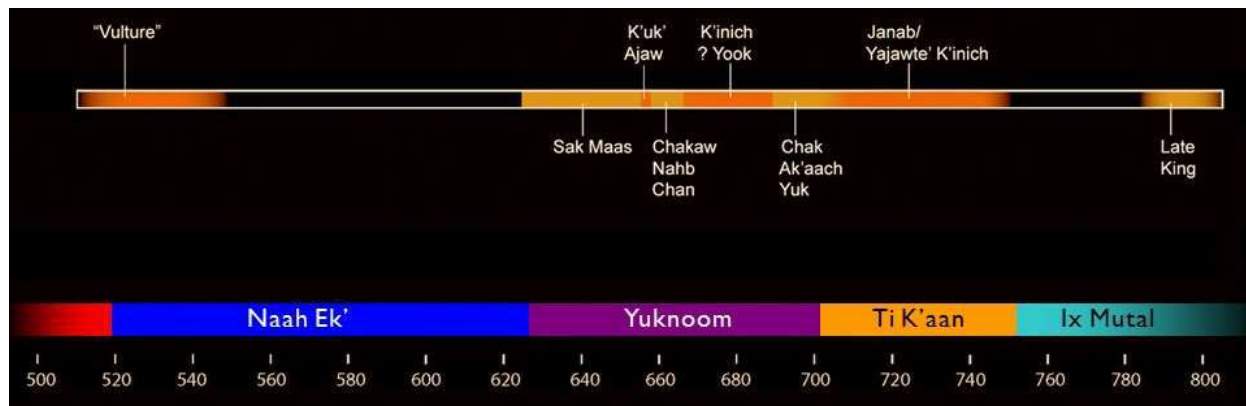


Figura 1.11 Cronología de La Corona y detalle de la “Era Dorada” (Gráfica por J. Baron y T. Barrientos)

La Fase *Aneel* comienza con la llegada del fundador del linaje de La Corona, posiblemente en 314 d.C., mientras que la Fase *Naah Ek'* comienza con la llegada de la primera princesa proveniente de *Kaanal* (Dzibanche) en 520 d.C. La Fase *Yuknoom* comienza con el reinado de *Sak Maas* y abarca el período de tiempo donde se tiene la mayor cantidad de datos epigráficos, que corresponde a la mayor expansión de Calakmul y la llamada “Era Dorada” de La Corona (Figura 1.12). La Fase *Ti' Kaan* comienza poco después que Tikal vence a Calakmul en 695 d.C. y la Fase *Ix Mutal* comienza con la derrota de El Perú-Waka' y Naranja por parte de Tikal a mediados del siglo octavo, hasta el abandono final del sitio de La Corona. Todo este desarrollo se caracteriza por varias alianzas matrimoniales con Calakmul y Tikal, en por lo menos cuatro de sus fases (Figura 1.13)

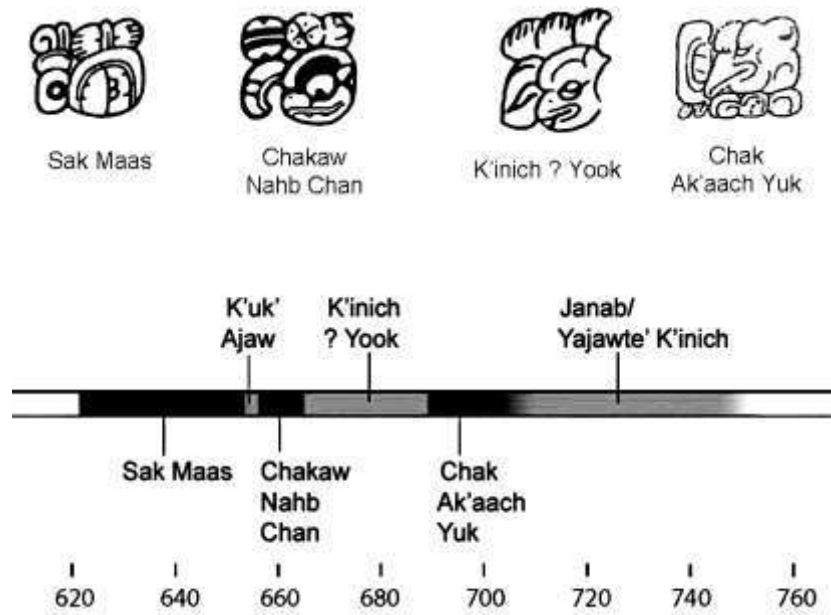


Figura 1.12 Secuencia dinástica de La Corona durante la “Era Dorada” (Gráfica por J. Baron)

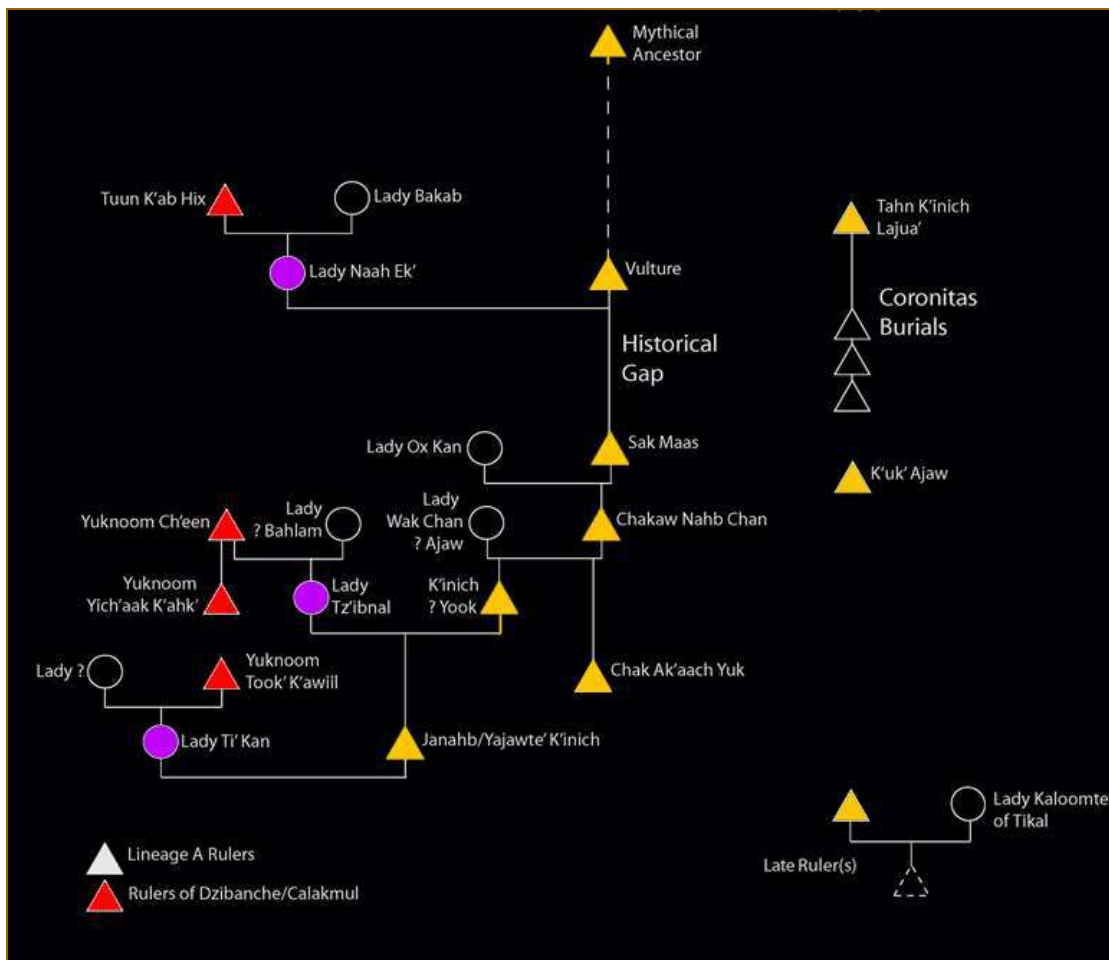


Figura 1.13 Relaciones de parentesco de dinastía de La Corona (Gráfica por J. Baron)

Este esquema cronológico se basa mayormente en los datos epigráficos de La Corona, pero aún no se sabe si está apoyado por la cronología cerámica. Se requiere todavía desarrollar una cronología cerámica basada en cambios de formas de vasija y tratamiento de superficie a través del tiempo para demostrar cambio tecnológico y estilístico local a través del tiempo. Sin embargo, si se toma en cuenta lo corto de los períodos definidos, es poco probable que el ambiente político regional y los cambios políticos locales en La Corona influenciaron de gran manera las tendencias locales en estilo y tecnología cerámica.

Conclusiones preliminares: 2005-2013

Después de cinco años de investigación intensa en el sitio, el Proyecto Regional Arqueológico La Corona ha logrado superar varios retos para lograr definir algunas conclusiones preliminares de la función, importancia, papel de este sitio de tamaño modesto en el extremo oeste del área central de la civilización maya clásica de las tierras bajas. Por el momento se pueden plantear las siguientes conclusiones:

- 1) El modelo de asentamiento predictivo para la RBM (lado oeste) en el cual se elaboró una buena base ha proporcionado resultados satisfactorios. Con este modelo, se siguen registrando sitios nuevos. Hasta ahora, la gran mayoría de sitios visitados y reportados permanecen en la zona más elevada (la franja este) de la región.
- 2) En cuanto al Preclásico, los datos revelan una presencia contundente por toda la región que se ha investigado. Los datos son demasiado preliminares para ofrecer conclusiones ahora; sin embargo, se ha mostrado que la ocupación Preclásica parece ser extensa en la RBM occidental.
- 3) El Achiotal parece ser una cabecera de la ocupación preclásica. La arquitectura, los murales, las decoraciones arquitectónicas y la iconografía sugieren que éste era la sede de un linaje dinástico que probablemente controlaba rutas de intercambio entre la zona central y el occidente de Petén.
- 4) Los templos del Grupo Coronitas fungieron inicialmente como recintos funerarios, pero a mediados del siglo VII d.C. se cambiaron a santuarios para deidades patronales, posiblemente como una estrategia que acompañó cambios políticos en el sitio, asociados a la expansión del reino *Kaanal*.

- 5) La relación entre La Corona y el Reino *Kaanal* en los siglos VI, VII y VIII d.C. fue muy estrecha mediante y a través de lazos consanguíneos. De hecho, La Corona pudo funcionar como un tipo de colonia, definida como una extensión directa del linaje reinante en Calakmul.
- 6) Parece que en la última etapa de ocupación de La Corona, el patrocinio político del sitio y sus gobernantes estaba en manos de Tikal. Con los varios cambios arquitectónicos tardíos en la Plaza Principal y la colocación de la Escalinata Jeroglífica 2 en la Estructura 13R-10, se evidencia un cambio notorio en el sitio durante la segunda parte del siglo VIII d.C.
- 7) La importancia estratégica de la zona de La Corona, como parte del “Escudo” del Corredor Biológico de la Reserva de la Biósfera Maya, se ha demostrado mediante el paro del avance de la frontera agrícola y ganadera desde el Parque Nacional Laguna del Tigre. Por lo tanto, constituye un punto clave para la conservación de los recursos naturales y culturales de la reserva.

Organización del Proyecto

Zona de Estudio

El proyecto PRALC consiste en un estudio regional de una zona de Petén donde La Corona representa el sitio clásico Maya con arquitectura monumental más noroccidental de Guatemala. Aunque ya se han hecho algunos estudios de reconocimiento (Kaufman y Leal 1988; Leal y López 1993; Leal, López *et al.* 1988), no se han realizado investigaciones intensivas en esta zona. De hecho, al norte de La Corona hasta la frontera Guatemala-México, yacen más de 30 kms de territorio inexplorado donde podrían estar ubicados varios sitios monumentales. Por lo tanto, se pretende estudiar una zona que abarca la región entre Waka’ y La Corona hasta la frontera norte de Guatemala, que incluye unos 50 km al oeste de la Zona de El Mirador (Figura 1.14). En total, la zona mide casi 2,200 km². Aunque no se podrá realizar un estudio arqueológico exhaustivo de esta zona completa, se espera que el uso de sensores remotos permita explorar de manera “virtual” toda la región entre La Corona y la frontera norte. A continuación se describen los límites del área de estudio:

- a) Límite occidental: nacimiento de los ríos Chocoo, Xan, y Candelaria. Los tres afluentes llevan hacia el oeste y probablemente representan importantes rutas de comunicación entre el centro del Petén y el occidente. Se considera posible que existen sitios a lo largo de ellos.
- b) Límite sur: entre Waka' y La Corona, justo donde nace el Río San Juan, que fluye al sur hacia el Río San Pedro Mártir.
- c) Límite oriental: definido arbitrariamente, colindante con la región de El Mirador, aproximadamente a 6 km al oeste de Carmelita, cerca del nacimiento del Arroyo Sac Chich.

La zona de estudio, como polígono, tiene sus esquinas aproximadamente en las coordenadas N 17° 49' 04" W90° 35' 00" (punto noroeste); N 17° 49' 07" W90° 07' 00" (punto noreste); N 17° 25' 00" W90° 35' 00" (punto suroeste) y N 17° 25' 00" W90° 07' 00" (punto sureste). El área se encuentra en varias zonas distintas de la Reserva Biosfera Maya, que son: Parque Nacional Laguna del Tigre, Zona de Manejo Especial Laguna del Tigre y Corredor Biológico. En cuanto a concesiones, están Paxbán al noreste y San Andrés (AFISAP), Carmelita y La Colorada al sureste. La zona de estudio está en la jurisdicción del municipio de San Andrés, departamento de Petén. La zona no incluye comunidades actuales, aparte de algunos asentamientos ilícitos o invasiones. El sitio La Corona se ubica en las coordenadas N 17° 31' 42" W 90° 22' 46.1"

Alianza para la Protección e Investigación del Corredor Biológico PNLDT-PNMR

En 2008 se propuso una alianza llamada "Escudo Jaguar", formada por varias ONGs (WCS, ProPetén, Asociación Balam), entes gubernamentales (DGPCN, CONAP, DIPRONA), comunidades locales (ACOFOP, AFISAP) y proyectos arqueológicos para la protección de esta área. Consecuentemente, el proyecto propuesto aquí hace parte de este esfuerzo multilateral necesario para la conservación de los bienes culturales y naturales de la región (Figura 1.15). Recientemente se ha contado con el apoyo del Batallón de Selva, con base en Pozo Xan.

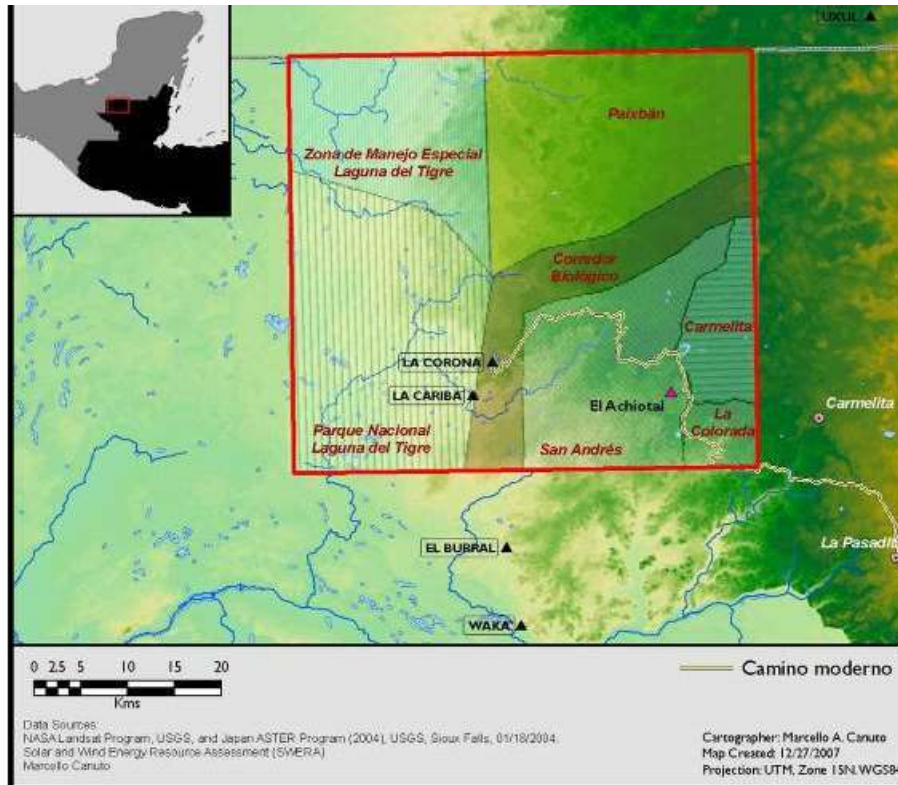


Figura 1.14 Zona de Estudio con límites aproximados (Mapa por M. Canuto)

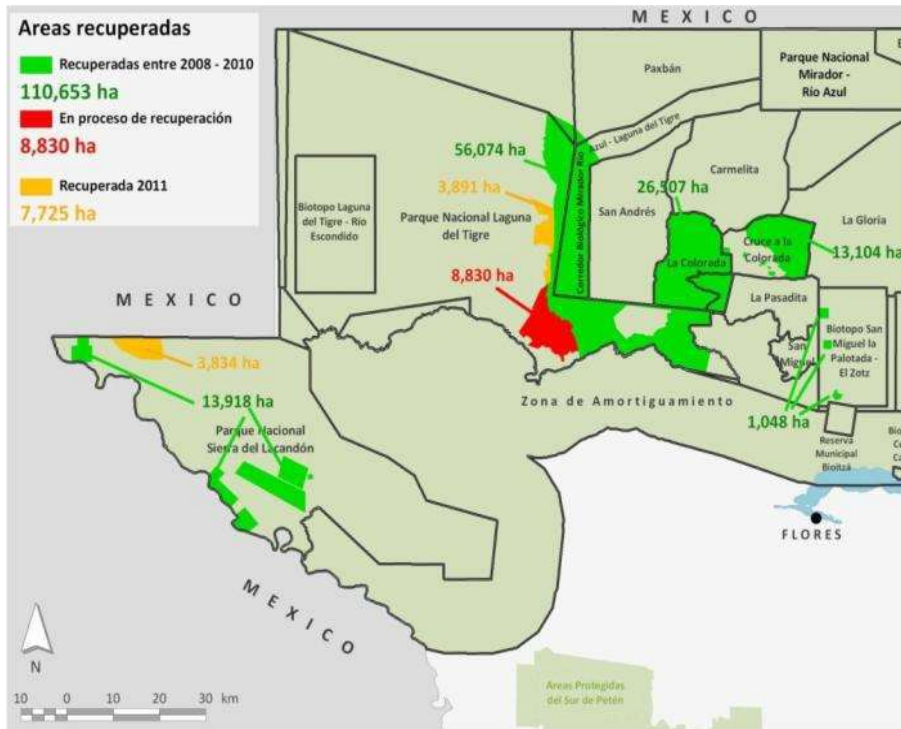


Figura 1.15 Mapa de la RBM con zonas naturales recuperadas desde 2008, donde se incluye el Corredor Biológico La Corona (Mapa por WCS)

Campamento

PRALC cuenta con un campamento permanente para los investigadores y trabajadores del proyecto, para lo cual se cuenta con el aval del Ministerio de Ambiente y Recursos Naturales, después de realizarse una Evaluación Ambiental Inicial (EAI). Se encuentra cerca del camino y con fuentes de agua suficientes, ya que está ubicado en la orilla del sibal nombrado Jabirú, que queda a menos de 500 m al este del Grupo Coronitas (Cuadrante 12S) (Figura 1.16).

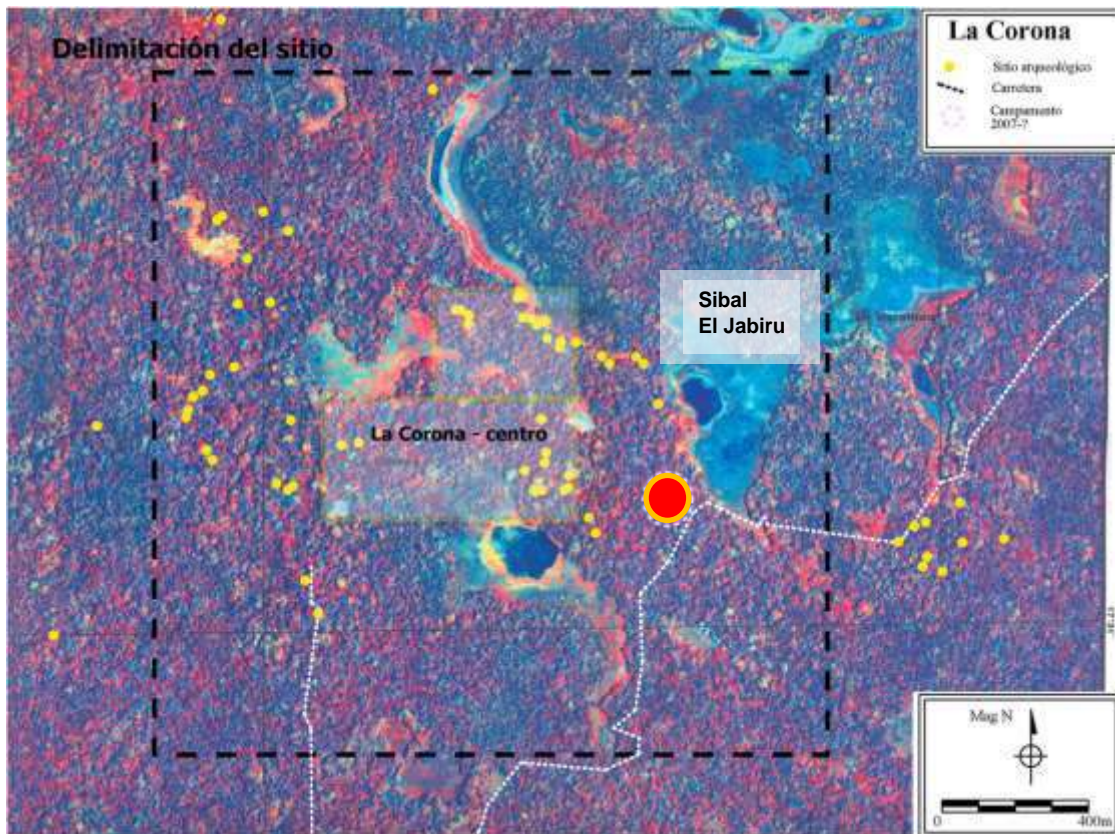


Figura 1.16 Delimitación del sitio La Corona y ubicación del Campamento del PRALC (Foto satelital, MARI)

El diseño del campamento es de bajo impacto ambiental, por lo que se han tomado medidas en cuanto al manejo de desechos, drenaje y la minimización de materiales que no son propios del lugar (lámina, malla, block, cemento). Este campamento puede servir como base para vigilantes del proyecto, así como personal del IDAEH, CONAP, Ejército de Guatemala y otras instituciones que operan en la zona. Adicionalmente, se cuenta con el apoyo de los campamentos de CONAP en El Achiotal y El Sargazo, y de AFISAP en Buena Vista, para apoyo logístico y como base para investigaciones de carácter regional.

El campamento incluye oficina administrativa, laboratorio, comedor, cocina, bodega de materiales y bodega de equipo y herramientas (Figura 1.17). Adicionalmente se construyeron sanitarios, duchas y un área de lavandería. En cuanto al área de dormitorio, se cuenta con dos ranchos de guano para albergar 60 carpas para el personal operativo (Figura 1.18). Para el personal técnico y profesional se cuenta con 10 ranchos individuales para carpas y dos ranchos grandes para visitantes.



Figura 1.17 Edificios de oficina y bodega de materiales y herramientas, campamento PRALC (Foto por T. Barrientos)



Figura 1.18 Ranchos para carpas de personal operativo y profesional, campamento PRALC (Foto por T. Barrientos)

Personal Científico y Técnico, Temporada 2014

1. Doctor Marcello A. Canuto, *Director General del Proyecto*
2. Doctor Tomás Barrientos Q. (candidato a doctor), *Codirector General del Proyecto*
3. Doctor Ernesto Arredondo, *Arqueólogo, Investigaciones e Las Guacamayas*
4. Doctora Chloé Andrieu, *Arqueóloga, análisis lítico*
5. M.A. Maxime Lamoreaux (candidato a doctor), *Arqueólogo, Estructura 13Q-4E*
6. M.A. David Chatelain (candidato a doctor), *Arqueólogo, Sitio La Cariba*
7. M.A. Erika Gómez, *Arqueóloga, Estructura 13Q-2*
8. M.A. Caroline Parris (candidata a doctora), *Arqueóloga, análisis cerámico*
9. M.A. Erin Patterson (candidata a doctora), *Arqueóloga, análisis de restos óseos*
10. Licenciada Jocelyne Ponce, *Arqueóloga, Estructura 13R-10*
11. Licenciada Alejandra Roche, *Arqueóloga, Áreas residenciales y análisis lítico*
12. Licenciada Lilian Vega de Zea, *Arqueóloga, restauración de materiales*
13. Eduardo Bustamante (candidato a licenciado), *Arqueólogo, Estructura 13Q-4*
14. Camilo Álvarez (candidato a licenciado), *Arqueólogo, Estructura 13Q-1*
15. Alejandro Gillot (candidato a licenciado), *Arqueólogo, Sitio Las Guacamayas*
16. Anly Montenegro (candidato a licenciada), *Administración y Logística*

Organigrama del Proyecto

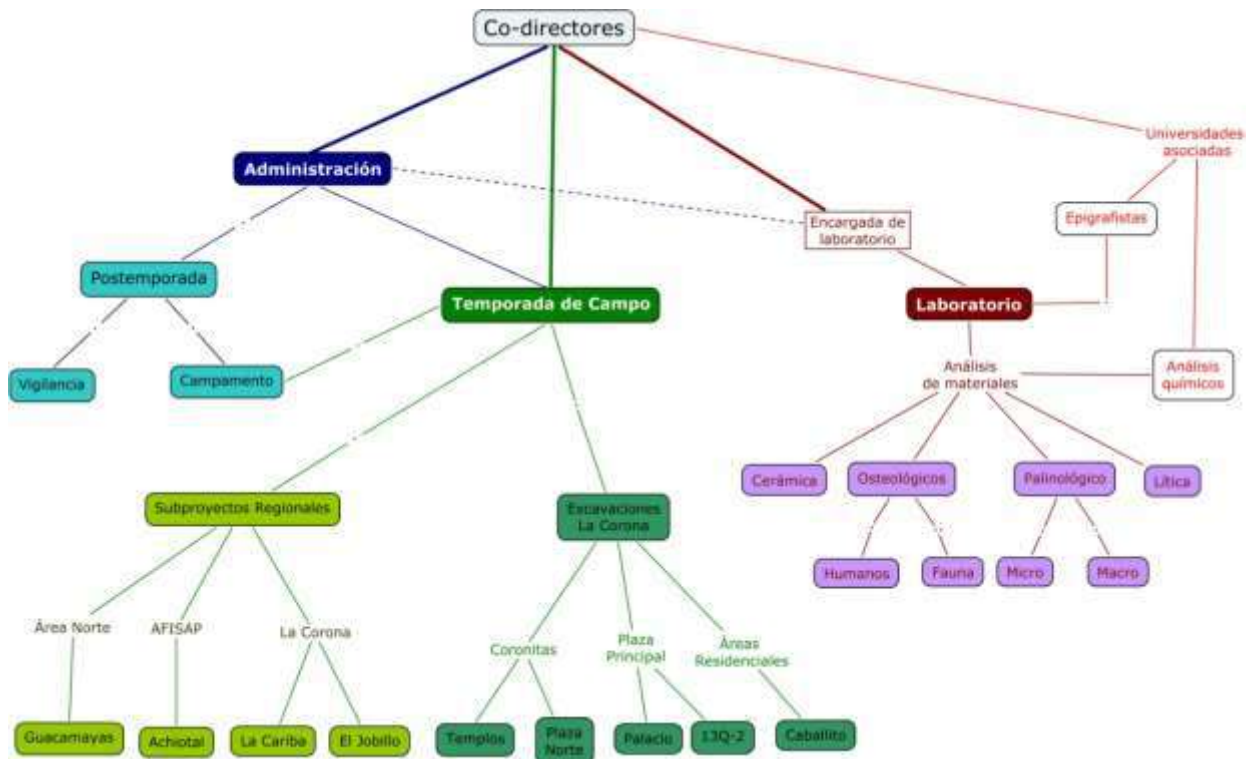


Figura 1.19 Organigrama del Proyecto

Agradecimientos

Los directores y el personal de PRALC agradecen a todas las personas e instituciones que de una u otra manera colaboraron para el desarrollo de la Temporada de Campo 2014. Las instituciones que brindaron apoyo académico y financiero fueron: Middle American Research Institute (MARI), Universidad del Valle de Guatemala (UVG), National Geographic Society (NGS), US Department of the Interior (DOI), Fundación Patrimonio Cultural y Natural Maya (PACUNAM), CNRS - Université de Paris 1 Panthéon-Sorbonne, Fundación Fyssen, Far Horizons y Cernikovsky Friends of Archaeology. Asimismo, el apoyo de las siguientes instituciones: Viceministerio de Patrimonio y Dirección General de Patrimonio Cultural y Natural (DGPCN) del Ministerio de Cultura y Deportes (MCD), Consejo Nacional de Áreas Protegidas (CONAP), Wildlife Conservation Society (WCS) y la Concesión Forestal de San Andrés (AFISAP). Reconocemos también la labor del personal técnico del proyecto, provenientes mayormente de las comunidades de San Andrés y Dolores, Petén. Agradecemos también a todas las personas que nos brindaron consejos académicos, en especial la parte epigráfica, por parte de David Stuart y Marc Zender. En cuanto a la logística, estamos agradecidos con la colaboración de Gloria Argueta de Montenegro, Gamaliel Jiménez, Esau Quixchan “Nejo”, el equipo de vigilantes de PRALC (Luis Morales, Blas Orrego, Santos y Miguel Aldana), el equipo de cocina y mantenimiento del campamento, y todos nuestros proveedores y amigos en San Benito, Santa Elena, San Andrés y Flores. Dada la gran cantidad de colaboradores, nos disculpamos por omitir algún nombre, por lo que nuestro agradecimiento va de manera general a todos.

CAPÍTULO II

NOMENCLATURA DE LAS ESCULTURAS DE LA CORONA

David Stuart, Marcello A. Canuto y Tomás Barrientos

A pesar de su tamaño relativamente pequeño, las ruinas de La Corona, Guatemala, tuvieron una cantidad notablemente grande de monumentos esculpidos y con inscripciones. De hecho, el *corpus* de textos jeroglíficos que se sabe que proviene de La Corona rivaliza y en algunos casos sobrepasa el de otros centros más grandes y poderosos de la región del Petén central. Como es bien conocido, los saqueadores removieron una gran cantidad de todas estas esculturas en la década de 1960, dejando solamente escasos remanentes de los que fueran monumentos imponentes que estaban colocados en las estructuras y plazas del sitio. Las esculturas saqueadas, de varios tipos y estilos, eventualmente terminaron en museos y colecciones privadas de todo el mundo, y muchas otras todavía permanecen sin conocerse. Las investigaciones arqueológicas recientes en La Corona han desenterrado varias esculturas nuevas, muchas de las cuales están relacionadas a las que se removieron hace ya varias décadas. Como resultado de esta historia turbulenta, el actual Proyecto Regional Arqueológico La Corona debe enfrentar una pregunta muy complicada: ¿Cómo se pueden organizar y designar estas piezas y fragmentos de esculturas, tomando en cuenta que algunas tienen buena información de su contexto arqueológico, mientras que otras no tienen nada?

El asignar una serie consistente de números y denominaciones a las varias esculturas saqueadas y excavadas provoca varios problemas y retos. Muchas esculturas individuales son componentes de grandes escalinatas jeroglíficas, las cuales fueron perturbadas por los mayas antiguos y recolocadas en nuevas construcciones, algunas veces mezcladas con otros elementos. Cuando los saqueadores llegaron al sitio, se llevaron muchas de las esculturas mejor conservadas, descartando otras en los alrededores y dejando todavía otras *in situ*. Organizar todas estas piezas en un sistema lógico y útil ha probado ser un reto particularmente difícil. En este número de *La Corona Notes* se intenta entonces abordar esta situación describiendo el sistema de designación de esculturas que se ha generado hasta este momento.

Etiquetas y Categorías

Como punto de partida, la cuestión es: ¿Qué factores son los que determinan un sistema de designación para monumentos y esculturas? En los sitios mayas donde predominan las estelas y altares, el tema presenta un gran reto. Los términos topológicos básicos fueron establecidos hace mucho tiempo por antiguos exploradores como Alfred Maudslay y Teobert Maler, quienes desarrollaron las categorías que se usan comúnmente hoy en día -- estelas, altares, dinteles, etc. Los proyectos arqueológicos de inicios del siglo veinte continuaron esta tendencia con pocas modificaciones. Sin embargo, cuando se formuló por primera vez el *Corpus of Maya Hieroglyphic Inscriptions* a inicios de la década de 1970, Ian Graham dejó las bases para un conjunto más sistemático de categorías (Graham 1975:25). Él estuvo bien consciente que ciertos sitios presentaban patrones y formas locales e inusuales que hacían difícil mantener una consistencia en las designaciones. Por ejemplo, en Tonina, la amplia gama de esculturas y piezas llevó a la formación de un sistema simple de dos partes, que consistió de “Monumentos” y “Fragmentos,” los cuales ignoran cualquier diferencia de función o de localización, como lo son las estelas, paneles, etc. (este sistema de nomenclatura de Tonina no incluye la gran cantidad de fragmentos y relieves de estuco). En el caso de Piedras Negras, el *Corpus* también tuvo que incluir la categoría de “Escultura en Roca (RSc.)”, la cual no fue incluida en la lista original de Graham, y que también era aplicable a otros sitios (Stuart y Graham 2003:11). Parece posible que otras nuevas categorías serán definidas en el futuro para otros sitios más, mientras los sistemas de designación de esculturas se diseñen para reflejar circunstancias y situaciones locales. Los sitios altamente saqueados como La Corona agregan más elementos de complejidad que nunca fueron considerados apropiadamente por los primeros arqueólogos mayistas, ni tampoco por Graham cuando determinó el sistema inicial del programa *Corpus*.

Algunos de estos retos empezaron a surgir a finales de la década de 1970, cuando Peter Mathews inició el difícil proceso de reunir y sistemáticamente numerar las piezas dispersas de escultura afín, que empezaron a aparecer en colecciones y galerías de arte en la década de 1960. Mathews fue el primero que denominó su punto de origen desconocido como el “Sitio Q” (Figura 2.1). Su material base fueron las pocas esculturas que se habían publicado algunos años antes en libros de arte (Boucher 1966, Coe 1973), así como el extenso archivo de Ian Graham en el proyecto *Corpus* del Museo Peabody de Harvard, donde Mathews trabajó por varios años. Sus designaciones aparecieron mayormente en notas no publicadas, las cuales terminaron llegando a

los archivos de varios colegas, por lo que fueron bastante usadas por un buen tiempo. Posteriormente, en una publicación en línea, Mathews compiló y presentó una lista de “Esculturas del Sitio Q” con algunas modificaciones (Mathews 1998).

Dentro de las categorías que Mathews desarrolló para las esculturas del Sitio Q, se encuentran los llamados “Paneles Glíficos” y “Paneles de Jugadores de Pelota.” Esta fue una forma simple de crear un sistema para las esculturas que se conocían en ese entonces, pero en retrospectiva se pueden identificar algunos problemas inevitables. Su “Panel Glífico 1” es claramente de La Corona, pero el “Panel Glífico 2” probablemente no (por lo menos todavía no hay evidencia de ser atribuido al sitio). También fue cada vez más claro que los supuestos “paneles” fueron originalmente bloques más grandes y pesados (probablemente de escalones jeroglíficos o escalinatas) que habían sido aserrados y adelgazados por los saqueadores para facilitar su transporte. Además, muchos de los llamados “Paneles de Jugadores de Pelota” seguramente provinieron de las mismas escalinatas que varios de los “Paneles Glíficos”, lo que quiere decir que originalmente fueron parte de un mismo monumento. A pesar de estos problemas, el sistema de designación del Sitio Q fue ampliamente usado de una forma u otra por casi dos décadas.

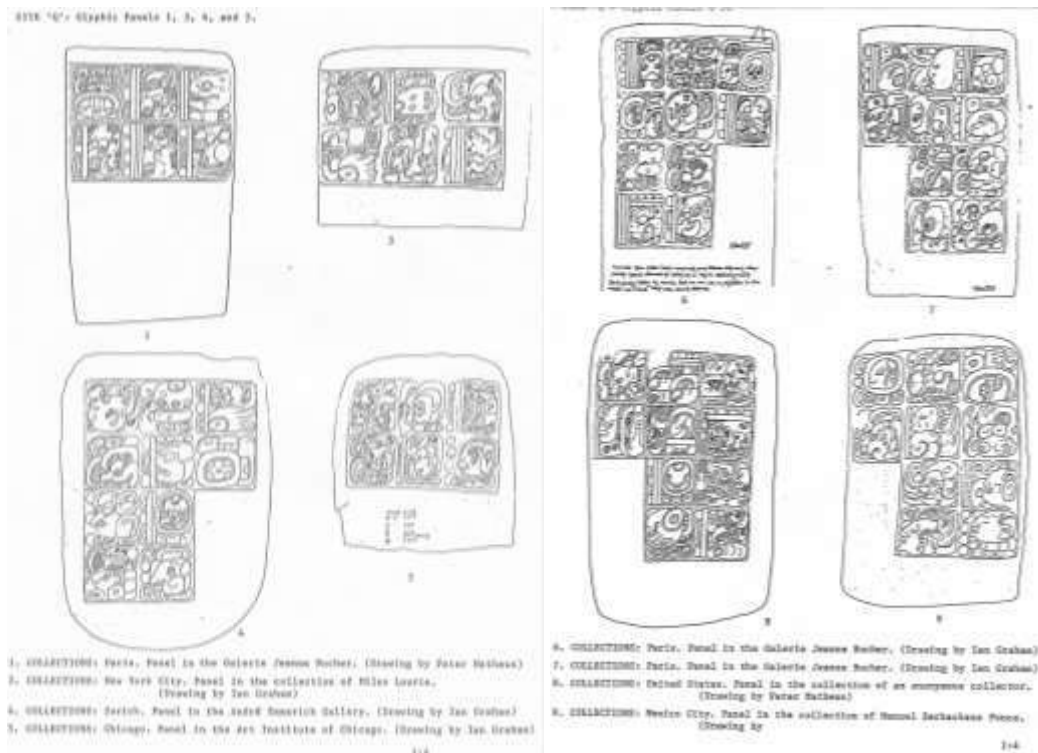


Figura 2.1 Sistema original de designación del Sitio Q (“Paneles Glíficos”) desarrollado por Peter Mathews.

Cuando las ruinas de La Corona fueron exploradas sistemáticamente por primera vez en 1997 por Graham y Stuart, varios monumentos fueron descubiertos y numerados (Graham 1997, 2010; Stuart 2001). Estos fueron las estelas 1 y 2 y los altares 1 al 4, todos *in situ* y mayormente concentrados en la Plaza Principal. El Altar 4, una de las esculturas más tardías de La Corona, fue inicialmente encontrado en varios fragmentos dispersos y se reconstruyó durante esa visita inicial (Figura 2.2) (un fragmento adicional del Altar 4 fue descubierto por Bruce Love en 2011).



Figura 2.2 Altar 2 de La Corona (Fotografía por Y. Desailly)

En esa visita también se descubrieron varias lajas pequeñas con inscripciones, cerca del lado sur de la Plaza Principal (Estructura 13Q-3), las cuales formaron la contrahuella de una escalinata. Éstas se designaron colectivamente como bloques de la Escalinata Jeroglífica 1, así como otros bloques que se han recuperado desde ese entonces en la Estructura 13Q-3 (Figura 2.3).



Figura 2.3 Bloques de la Escalinata Jeroglífica 1 de La Corona (Fotografía por D. Stuart)

Las exploraciones siguientes en La Corona llevaron al descubrimiento de más esculturas. El hallazgo más importante sucedió en 2005, cuando Canuto descubrió la escultura que se bautizó como Panel 1 –un monumento en dos secciones, perfectamente conservadas, las cuales registran muchos detalles de la historia local de La Corona y la vida del gobernante conocido como *K'inich ? Yook* (Figura 2.4).

Con los inicios de las excavaciones sistemáticas en 2006, más piezas siguieron recuperándose en la superficie de varios edificios, incluyendo varios bloques que fueron idénticos en estilo y forma a los “Paneles Glíficos” descritos por Mathews. Cuando se estableció firmemente que La Corona era el origen de las esculturas del Sitio Q, Stuart empezó a desarrollar un nuevo sistema de numeración en colaboración cercana con Canuto y Barrientos.

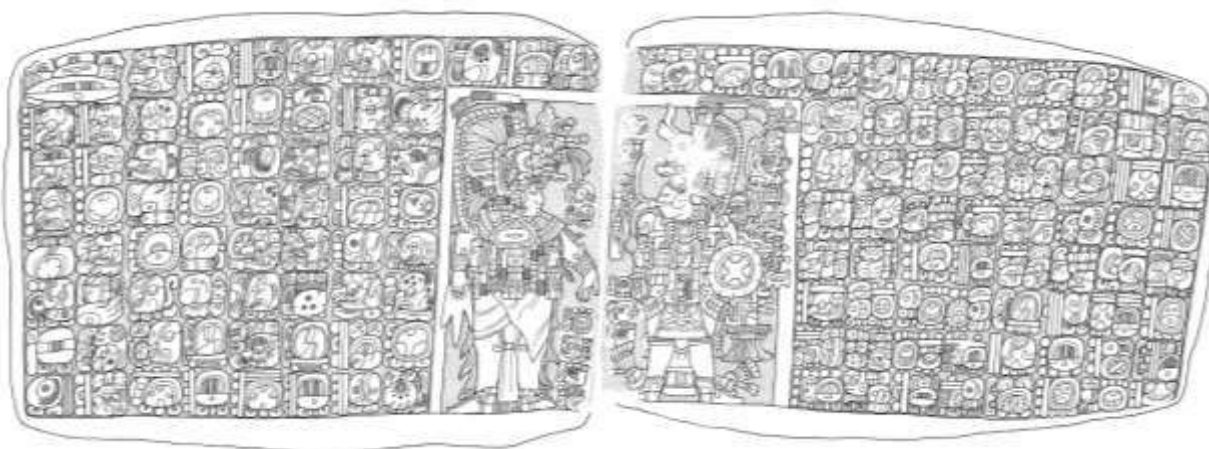


Figura 2.4 Marcello Canuto con el Panel 1 de La Corona en 2005 (Fotografía por S. Guenter) (arriba)
Panel 1 de La Corona (Dibujo por D. Stuart) (abajo).

Parecía lo suficientemente claro que los saqueadores se habían topado con por lo menos otras dos escalinatas jeroglíficas y habían removido muchos de sus bloques. Stuart agrupó tentativamente estos bloques como parte de una “Escalinata Jeroglífica 2” (o “Conjunto A”) y la “Escalinata Jeroglífica 3” (“Conjunto B”), ya que éstos eran obviamente monumentos distintos, tallados en estilos muy diferentes y en momentos diferentes. Dentro de estos conjuntos, Stuart

numeró los bloques de acuerdo a la secuencia de su descubrimiento (más o menos) unificando los materiales saqueados del Sitio Q con los de La Corona. El orden apropiado de los bloques esculpidos permanecía difícil de saber, ya que era claro que todavía faltaban muchos y pocos se podían articular entre sí. El sistema provisional de Stuart no fue publicado o circulado ampliamente, aunque sí apareció en varias fuentes en los últimos años, especialmente en los informes técnicos del proyecto.

El descubrimiento en 2012 de veintidós bloques esculpidos en o cerca de la escalinata de la Estructura 13R-10 (Ponce y Cajas 2013; Ponce 2014b) nos ha obligado a reevaluar estos sistemas previos (Figura 2.5). Este monumento –una escalinata documentada arqueológicamente que consiste de bloques con inscripciones– por todas sus características tuvo que ser designada como “Escalinata Jeroglífica 2”. Sin embargo, fue inmediatamente claro que los antiguos mayas habían construido esta escalinata usando bloques que ellos mismos habían removido de otros monumentos más antiguos, los cuales fueron intencionalmente colocados en un arreglo mezclado (y textualmente incomprensible).



Figura 2.5 Vista general de los bloques *in situ* de la Escalinata Jeroglífica 2 de La Corona (Fotografía por David Stuart)

Algunos muestran conexiones claras con los “Paneles Glíficos” del Sistema previo del Sitio Q, mientras que otros son de estilos previamente desconocidos. En una ironía suprema, los antiguos mayas que construyeron la fase final de la Estructura 13R-10, usaron bloques que fueron saqueados de otros monumentos de La Corona. A primera vista pareciera natural asumir que todos los pequeños “Paneles Glíficos” que llegaron al mercado de arte en la década de 1960 provinieron de esta misma ubicación. De hecho, no hay duda que muchos, si no la mayoría, originalmente formaron parte de lo que hoy se conoce como Escalinata Jeroglífica 2. Pero

también hay razones para ser cautelosos. Aunque muchos de los llamados bloques del “Conjunto A” se encontraron en asociación directa con la Estructura 13R-10, uno de ellos (Elemento 21) se encontró a una distancia considerable de la misma, en la Plaza Principal. Por lo tanto dudamos en asumir que todos los “Paneles Glíficos” del Sitio Q fueron parte de este espacio documentado arqueológicamente; es posible que los antiguos mayas tomaran algunas partes de los monumentos anteriores pero dejaron otros en su lugar, o que los hayan recolocado en diferentes partes. Dadas estas ambigüedades, lo mejor es que la designación de Escalinata Jeroglífica 2 se reserve únicamente a los bloques encontrados en asociación directa con la Estructura 13R-10.

Elementos

En el caso de La Corona se ha decidido introducir una nueva categoría, “Elemento.” Esto fue necesario para crear un ordenamiento sistemático de una situación inherentemente desordenada y problemática, donde muchas de las piezas con inscripciones carecen de cualquier contexto arqueológico apropiado, pero que de todas formas tienen claros vínculos con los bloques excavados que si lo tienen. La categoría “Elemento” es entonces un término neutral para designar bloques o secciones de otros monumentos (escalinatas, por ejemplo) donde su ubicación original permanece confusa.

El usar la categoría “Elemento” refleja la necesidad de un término flexible y neutral, que pueda acomodar la naturaleza dispersa de las piezas saqueadas y que también pueda usarse para designar piezas relacionadas que se excaven dentro del sitio. Sin embargo, el “Elemento” tampoco constituye una categoría completamente infinita en términos de su alcance. Se usa como un medio para designar cualquier escultura pequeña portátil, mayormente bloques rectangulares de conjuntos incompletos que no aparecen en contextos primarios. Esta descripción muy general incluye por lo menos dos categorías más específicas: (1) los bloques saqueados que hoy se encuentran mayormente en varias colecciones públicas y privadas; y (2) los varios bloques que los mismos antiguos mayas removieron de otros lugares y colocaron en contextos secundarios, principalmente en y alrededor de la Estructura 13R-10.

Un estudio de caso puede ayudar a comprender estas complejidades— o al menos revelarlas. Si nos enfocamos en los bloques 9, 10 y 11 de la Escalinata Jeroglífica 2, todos fueron descubiertos lado a lado (Figura 2.6). Estos tres bloques claramente no correspondían originalmente al orden en que se encontraron. De hecho, los bloques 9 y 11 son muy similares,

ya que formaron parte de otra escalinata jeroglífica que se designó como “Conjunto A”, caracterizada por un arreglo de doce (3 x 4) cartuchos glíficos tallados en un relieve poco profundo. El Bloque 10, encontrado en medio de los anteriores, es de otro estilo y formó parte de otro grupo llamado “Conjunto B”, que a su vez formó parte de otra escalinata en La Corona. Se reitera nuevamente que los antiguos mayas “saquearon” esos monumentos originales para construir la Escalinata Jeroglífica 2 en algún momento tardío en la historia de La Corona, colocando intencionalmente los bloques en un orden sin sentido.



Figura 2.6 Bloques 9, 10 y 11 de la Escalinata Jeroglífica 2 de La Corona (Fotografías por David Stuart)

Los textos de los bloques 9 y 11 son contiguos y concuerdan con el texto de un bloque saqueado que actualmente se encuentra en el Museo Peabody de la Universidad de Harvard. Por esa razón es imposible designar el bloque de Peabody como “parte” de la Escalinata Jeroglífica 2. Entonces, estos tres bloques han sido designados con números neutrales de “Elemento”, removiéndolos de sus contextos problemáticos (una escalinata recolocada antiguamente en un caso, y una bodega de museo en el otro) y permitiendo que sean reconstituidos entre sí y con otros bloques con designación similar. De hecho, tal como se presentará en un número futuro de *La Corona Notes*, los siete bloques designados como elementos 44, 11, 37, 39, 9, 49 y 50 forman una secuencia de una “proto”-escalinata más antigua, donde todos los bloques del “Conjunto A” evidentemente se originaron.

Conclusiones

El descubrimiento de la Escalinata Jeroglífica 2 en La Corona nos ha forzado a reconsiderar el sistema general de nomenclatura para los monumentos e inscripciones del sitio. En primer lugar, ahora podemos estar seguros al situar los antiguos “Paneles del Sitio Q” con respecto a La Corona y su arqueología, especialmente en referencia a la Estructura 13R-10. Es probable que la mayoría, si no todos los bloques saqueados hace medio siglo se originaran de esa ubicación, consistente de una gran escalinata que los antiguos mayas construyeron usando bloques que fueron a su vez “saqueados” de otros edificios y escalinatas.

Al desarrollar este sistema se ha tratado de ajustar lo más que se pueda a los estándares establecidos en proyectos arqueológicos previos, especialmente a los lineamientos del programa *Corpus of Maya Hieroglyphic Inscriptions*. Sin embargo, es obvio que cada sitio arqueológico presenta sus propias inconformidades especiales, haciendo que la adherencia perfecta a cualquier sistema pre-existente sea un ideal irreal. Los sistemas de designación que se diseñan para los monumentos de un solo sitio deben por lo tanto ajustarse a las realidades y circunstancias locales. No obstante, se ha tratado de seguir algunos de los patrones generales compilados en el sistema original de Mathews para el Sitio Q. Por ejemplo, la secuencia numérica de los Elementos sigue el orden numérico original de los “Paneles Glíficos” y “Panales de Jugadores de Pelota”.

Aunque la numeración actual puede conllevar revisiones menores mientras se hagan nuevos descubrimientos, la flexibilidad al desarrollar este sistema siempre es algo bueno. Pero estamos confiados que la nomenclatura de los monumentos de La Corona esta finalmente encontrando algún orden después de tantos años de caos e inconsistencia.

Tabla 2.1 Registro de las Inscripciones de La Corona

Designación actual	Nombre anterior (fuente)	Diagnóstico
Estela 1		encontrado in situ, 1997
Estela 2		encontrado in situ, 1997
Altar 1		encontrado in situ, 1997
Altar 2		encontrado in situ, 1997
Altar 3		encontrado in situ, 1997
Altar 4		encontrado in situ, 1997
Panel 1 (2 partes)		
Panel 2 (2 partes)	Panel 2a del Sitio Q / Deletaille	5 Cimi 9 Zac
	Panel 2b del Sitio Q / K4677	
Panel 3 (inc.)	Panel 4 del Sitio Q / K5865	
	Panel 1 del Sitio Q /Grolier	
Panel 4	Estela 5 del Sitio Q	
Panel 5	Panel 7 (PRALC Informe 2008)	encontrado en sitio,2006
Panel 6	Altar 1 del Sitio Q	
Escalinata Jeroglífica 1 Bloques 1-72		
Escalinata Jeroglífica 2 Bloques 1-12	Elementos 29-40	encontrado in situ, 2012
Columna 1		encontrado in situ, 2008
Columna 2		encontrado in situ, 2008
Columna 3		encontrado in situ, 2008
Elemento 01	Panel Glífico 1 del Sitio Q	11 Pictunes; Conjunto B
Elemento 02	Panel Glífico 3 del Sitio Q	17 Muan; Conjunto B
Elemento 03	Panel Glífico 4 del Sitio Q	11 Imix; Conjunto B
Elemento 04	Panel Glífico 5 del Sitio Q	4 Manik; Conjunto B
Elemento 05	Panel Glífico 6 del Sitio Q	3 Cauac; Conjunto B
Elemento 06	Panel Glífico 7 del Sitio Q	5 Men; Conjunto B
Elemento 07	Panel Glífico 8 del Sitio Q	13 Kan; Conjunto B
Elemento 08	Panel Glífico 9 del Sitio Q	15 Zac; Conjunto B
Elemento 09	Panel Glífico A del Sitio Q	12 Kayab; Conjunto A
Elemento 10	Panel Glífico B del Sitio Q	10 Ahau; Conjunto A
Elemento 11	Panel Glífico C del Sitio Q	8 Xul; Conjunto A
Elemento 12	Panel Glífico D del Sitio Q	1 Chuen; Conjunto A
Elemento 13	Panel de Jugador de Pelota 1 del Sitio Q	
Elemento 14	Panel de Jugador de Pelota 2 del Sitio Q	
Elemento 15	Panel de Jugador de Pelota 3 del Sitio Q	
Elemento 16	Panel de Jugador de Pelota 4 del Sitio Q	
Elemento 17	Panel de Jugador de Pelota 5 del Sitio Q	
Elemento 18	Panel de Jugador de Pelota 6 del Sitio Q	
Elemento 19	Panel 3 del Sitio Q (también 5); K5864	Par masculino-femenino

Elemento 20	Panel Glífico 11 del Sitio Q	Conjunto B
Elemento 21	E.J. 2 Bloque VII (<i>PRALC Informe 2008</i>)	Encontrado en sitio, 2006
Elemento 22	E.J. 2 Bloque V (<i>PRALC Informe 2008</i>); K9126	4 Muan; Conjunto A
Elemento 23	E.J. 2 Bloque VIII (<i>PRALC Informe 2008</i>); K9127	17-la-ta; Conjunto A
Elemento 24	E.J. 2 Bloque VI (<i>PRALC Informe 2008</i>); K9128	9 Chicchan; Conjunto A
Elemento 25	E.J. 2 Bloque XV (<i>Matteo 2010</i>)	ya-na-bi-la; Conjunto B
Elemento 26	E.J. A Bloque 09 (<i>PRALC Informe 2012</i>)	3 Xul; Conjunto A
Elemento 27	E.J. A Bloque 10 (<i>PRALC Informe 2012</i>)	Bakab; Conjunto A
Elemento 28	E.J. 1 Bloque XIV (<i>PRALC Informe 2008</i>)	Encontrado en el sitio, 2008
Elemento 29	E.J. 2 Bloque 01	Conjunto B
Elemento 30	E.J. 2 Bloque 02	Señor de pie
Elemento 31	E.J. 2 Bloque 03	Mujer en trono
Elemento 32	E.J. 2 Bloque 04	Evento de muerte; Conjunto B
Elemento 33	E.J. 2 Bloque 05	Referencia al 13 bak'tun
Elemento 34	E.J. 2 Bloque 06	Escena de trono y tribute
Elemento 35	E.J. 2 Bloque 07	Par con el Elemento 36
Elemento 36	E.J. 2 Bloque 08	Par con el Elemento 35
Elemento 37	E.J. 2 Bloque 09	Evento de llegada; Conjunto A
Elemento 38	E.J. 2 Bloque 10	Evento de captura; Conjunto B
Elemento 39	E.J. 2 Bloque 11	Danza de flauta y plumas; Conjunto A
Elemento 40	E.J. 2 Bloque 12	Glifos sin terminar
Elemento 41	E.J. A Bloque 11 (<i>PRALC Informe 2012</i>)	9 Lamat; Conjunto A
Elemento 42	E.J. A Bloque 12 (<i>PRALC Informe 2012</i>)	5 k'atun ajaw; Conjunto A
Elemento 43	E.J. A Bloque 13 (<i>PRALC Informe 2012</i>)	9 Chuen; Conjunto A
Elemento 44	E.J. A Bloque 14 (<i>PRALC Informe 2012</i>)	12 Ahau; Conjunto A
Elemento 45	E.J. A Bloque 15 (<i>PRALC Informe 2012</i>)	15 Mac; Conjunto A
Elemento 46	E.J. A Bloque 16 (<i>PRALC Informe 2012</i>)	13 Coeficiente; Conjunto A
Elemento 47	E.J. A Bloque 17 (<i>PRALC Informe 2012</i>)	9.18 ND; Conjunto A
Elemento 48	E.J. A Bloque 18 (<i>PRALC Informe 2012</i>)	7 Ahau; Conjunto A
Elemento 49	E.J. A Bloque 19 (<i>PRALC Informe 2012</i>)	8 Caban; Conjunto A
Elemento 50	E.J. 2 Bloque 13 (<i>PRALC Informe 2012</i>)	13 Ch'en; Conjunto A
Elemento 51		Encontrado en relleno, 2011
Elemento 52		Encontrado en relleno, 2012
Elemento 53	Descrito por Boot (<i>2011</i>)	
Elemento 54	Panel 6 (<i>PRALC Informe 2008</i>)	Cadáver

Nota:

La designación original de Mathews de “Paneles Glíficos” se aplicó a un total de diez bloques de piedra. Dos de éstos, los números 2 y 10 forman un grupo separado y aparentemente no son de La Corona. El resto que fue parte del grupo, se designa aquí como “Conjunto A”.

CAPÍTULO III

OPERACIONES CR20A, CR20C, CR20E, CR20P Y CR20R: EXCAVACIONES EN EL SECTOR SUR Y TÚNELES EN EL PALACIO DE LA CORONA (ESTRUCTURA 13Q-4)

José Eduardo Bustamante

Introducción

Desde la temporada de campo realizada en 2011, a cargo de Liliana Padilla, se han realizado investigaciones por medio de túneles en el Palacio de La Corona (Padilla y Roche 2012). En la temporada 2011, por medio de la excavación de túneles en la sección sur del Palacio, se descubrió una fase mayor denominada Fase Cocochan, y que incluía dos estructuras. La primera fue una plataforma alta, de la cual solo se conserva el basamento y sus gradas puesto que la superestructura fue destruida para dar paso a la Estructura 13Q-4A de la fase terminal del Palacio. Esta plataforma fue denominada como *Ayiin* y se ubica en el límite este del palacio. La otra estructura fue de menores dimensiones y contenía al menos un cuarto; fue denominada *Ahk* y se encontraba en el límite oeste del Palacio (Padilla y Roche 2012). Desde entonces, las excavaciones de túneles en este nivel han continuado y se ha revelado un complejo patrón, el cual tuvo al menos tres estructuras, las que fueron modificadas con el tiempo de uso para tener una mejor utilización de los espacios disponibles en esta sección (Bustamante, 2013; 2014).

Durante la fase Cocochan se puede observar un claro patrón de estructuras dispuestas en una plaza cuadrangular cerrada, la cual contrasta con la estructura piramidal elevada –Estructura 13Q-4E- observada en este mismo sector del palacio en su fase terminal. A nivel de la fase Cocochan se han encontrado tres estructuras: *Ayiin* al este, *Ahk* al oeste y *Wo* al norte (Bustamante 2014). Cada una de estas estructuras presenta una morfología muy distinta entre sí. De esta manera, la Estructura *Ayiin* solo conserva su basamento de 2 m de altura. La Estructura *Ahk* por su parte es una estructura baja, con un basamento de 1 m de alto que sostiene una estructura alargada con tres cuartos –un cuarto frontal, un cuarto posterior y un cuarto lateral con acceso desde la fachada norte; la arquitectura de esta estructura es sobria y no se observan elementos arquitectónicos como bancas o nichos (Bustamante 2013, 2014). Finalmente la Estructura *Wo* presenta una

plataforma de 1.5 m de alto que da pie a una estructura alargada con dos cuartos –uno frontal y uno posterior; este último también tiene acceso desde la fachada oeste. A diferencia de *Ahk*, esta estructura presenta una banqueta pequeña y un acceso tipo ventana que comunica ambos cuartos (Bustamante 2014).

Tanto *Ahk* como *Wo* presentan modificaciones a su forma inicial. En ambas se observa un intento en cortar los espacios entre los cuartos anteriores y posteriores. También se crearon accesos a estos cuartos desde el sector noroeste del Palacio (Bustamante 2014). Hasta el momento era incierta la razón por la cual fueron efectuados estos cambios, por lo cual parte de los esfuerzos de la temporada de campo 2014 estuvieron enfocados en la investigación de este sector. Asimismo, durante la temporada 2013 se inició la excavación del sector sur de la fase Coccochan con intenciones de buscar una estructura que cerrara al sur la plaza ya mencionada. Sin embargo las excavaciones revelaron que la fachada sur de la Estructura *Ahk* fue destruida y utilizada como parte de los cimientos de una plataforma que clausuró las estructuras *Ahk*, *Wo* y *Ayiin* (Fase Halcón); sin embargo no clausuró la sección sur de la plaza por lo cual una posible estructura sur podía existir (Bustamante 2014). El hecho que la modificación del palacio no afectara el límite sur del patio, hizo pensar si este hecho fue a causa de una limitante en los recursos de construcción o si fue para conservar una importante estructura en el lado sur. Fuera cual sea el caso, se planteó como objetivo de investigación la exploración del sector sur del palacio.

Objetivos

El principal objetivo fue investigar las secciones sur y noroeste de la plaza de la fase Coccochan. En cuanto a objetivos más específicos, se pueden enumerar los siguientes:

- Determinar si existe una estructura sur para la fase Coccochan.
- Establecer si las modificaciones de la fase Halcón no afectaron el sector sur del palacio por motivos de recursos o por la importancia de sus edificios.
- Explorar el sector noreste de la plaza Coccochan en búsqueda de nuevos edificios.
- Determinar la importancia del sector noroeste y establecer una relación con los intentos de clausura de espacios relacionados con este sector.

Metodología

Las excavaciones siguieron la metodología ya establecida para la excavación de los túneles (Bustamante 2013, 2014). Dependiendo de la ubicación de los túneles en referencia al exterior, se le asignó una suboperación de la operación CR20. A cada sector de los túneles se le asignó una unidad distinta y estos fueron subdivididos en lotes distintos. Para una estructura nueva, las excavaciones asociadas con una misma estructura fueron asignadas con la misma unidad, mientras que los distintos espacios fueron denominados con lotes distintos; de esta manera las excavaciones dentro de una estructura fueron denominadas con un lote distinto a las excavaciones fuera de la estructura. En referencia a los niveles el registro de éstos se hizo de forma horizontal y haciendo una mezcla de niveles arbitrarios y niveles culturales. A cada 2 metros avanzados horizontalmente en el túnel se consideraron como un nivel; si se observó algún cambio en la estratigrafía, aunque no se haya avanzado esta distancia, también se cambió de nivel.

En total este año fueron excavados siete sectores –cuatro en la suboperación CR-20E, dos en la suboperación CR-20C y uno en la suboperación CR-20A (Figura 3.1). También se abrió un acceso nuevo al túnel, este es parte de la Operación CR-20P. En el caso de los sectores de las suboperaciones CR-20A, CR-20E y CR-20P se siguió con la secuencia de unidades que ya habían sido excavadas previamente. El material fue dividido en bolsas dependiendo de su naturaleza y respetando la metodología expuesta anteriormente.

Excavaciones en la Operación CR-20P

Unidad CR20P-5

Debido a la baja altura y amplitud de los túneles en la Estructura *Wo* realizados en la temporada 2013, se consideró que estos podrían representar un peligro para la integridad del Palacio, por lo que se decidió clausurar y rellenar esta sección de los túneles. Este hecho permitió la excavación de un pozo que conectara la superficie, a inmediaciones de la escalinata de la Estructura 13Q-4E, con la Subestructura *Wo*. Esto con vista en entender la secuencia constructiva entre estas dos estructuras. Para ello se trazó un pozo de 2 x 2 m y orientación de 10° norte ubicado en la fachada este de la estructura 13Q-4E.

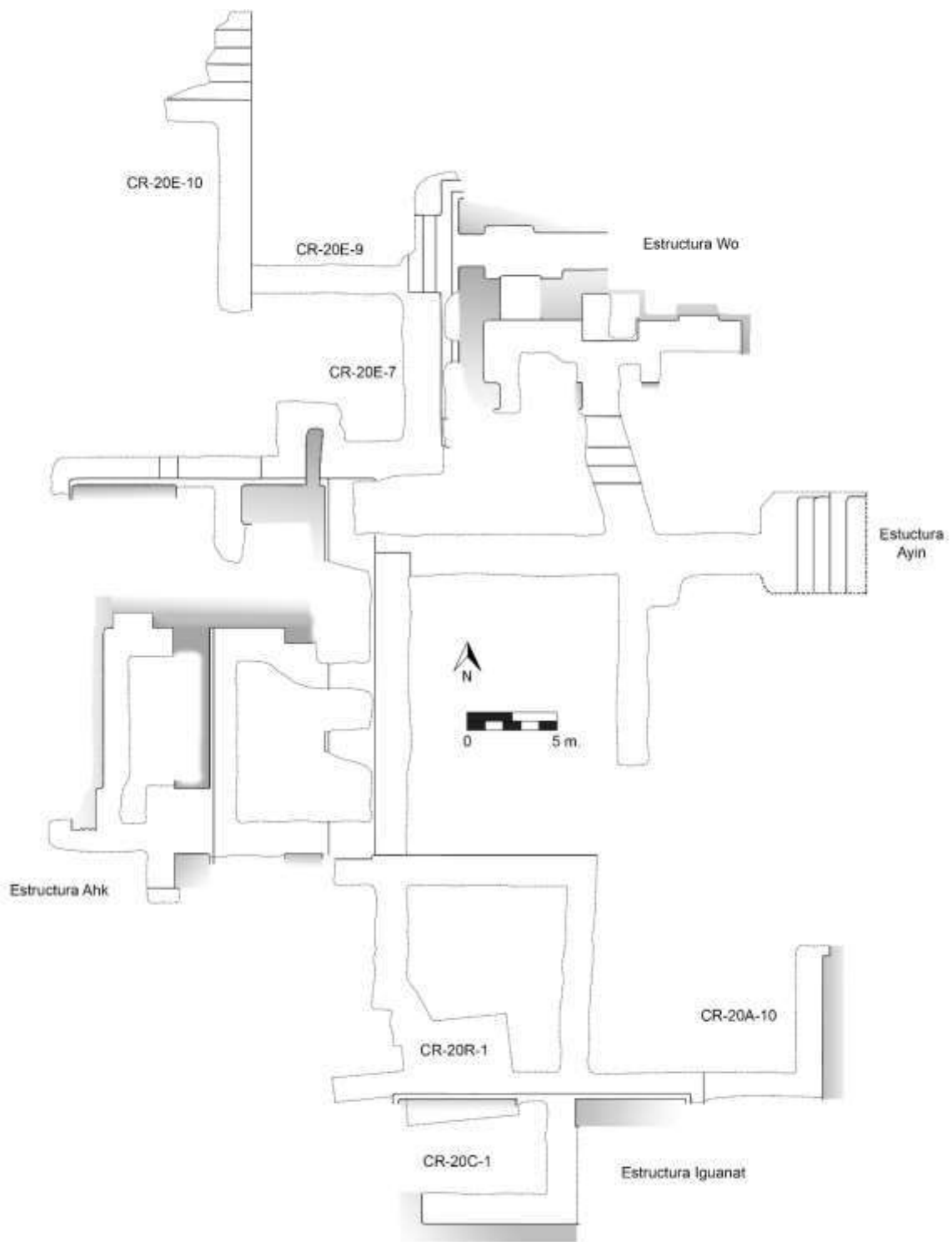


Figura 3.1 Planta de excavación de Túneles (Dibujo por E. Bustamante)

El primer estrato consistió en humus, hojarasca y piedras de derrumbe. Puesto que el pozo fue trazado en el inicio de la pendiente del montículo, este estrato no fue muy grande, aproximadamente 0.05 m de grosor. Aunque en la actualidad no se observaba ningún árbol grande se observó como la presencia raíces antiguas habían dañado la escalinata a tal grado que no fue reconocible ningún escalón en este sector. Aun así se encontraron bloques medianos de piedra tallada (de 0.2 x 0.35 m en promedio) que se considera eran parte de esta escalinata. Bajo el humus y el estrato de derrumbe se encontró el Estrato 2, un relleno de barro café arenoso, mezclado con cal. Este estrato es un tipo de selecto dispuesto en el relleno para ser compactado y nivelar el terreno. En este estrato se encontraron pocas piedras. Alcanzó un grosor máximo de 1.20 m.

Bajo este estrato de relleno se encontró un piso estucado de 0.05 m de grosor. El piso se encontraba relativamente en buen estado. Por la elevación del piso, éste no ha sido relacionado con otro encontrado en el palacio –por lo que tentativamente se le denomina piso E-1-, pero puede que se trate de una versión anterior a la estructura 13Q-4E. Sin embargo y puesto que el pozo se encuentra ubicado en el arranque del montículo y no se ha explorado el interior de éste, no se sabe si el piso se extendió completamente bajo la plataforma o solo algunos metros, por lo cual no se puede establecer si el piso y la estructura fueron construidas en el mismo evento.

Bajo este piso se encontró un estrato de piedras pequeñas colocadas solamente con cal; este relleno sirvió como soporte y nivelación para el piso posterior y no alcanzó un grosor mayor a los 0.1 m. Una capa de estuco blanco de no muy buenas condiciones se encontró abajo del relleno. La cercanía con el piso anterior y el mal estado de esta capa hace pensar que no se trate de un piso en sí, sino de un trabajo de nivelación previo al piso E-1 anteriormente mencionado. Sin embargo también pudiera tratarse de una versión previa del piso, por lo que tentativamente por ahora se le denomina como piso E-2.

Bajo el piso E-2 se encontró un estrato de 0.3 m de grosor, compuesto de arena café, tipo selecto, que sirvió para la nivelación del terreno previa a la construcción del piso. Bajo este estrato se encontró un relleno compuesto de barro negro y piedras medianas mezcladas con cal. Este relleno fue dispuesto en capas, por lo que pueden apreciarse en los perfiles vetas de piedras blanqueadas por la cal. Este estrato se extendió hasta una profundidad de 2.20 m bajo la superficie y comprende en sí el relleno de la Plataforma Halcón. Bajo este

estrato se encontró otro estrato de relleno similar, compuesto por barro negro y piedras grandes. Aunque en estos dos estratos comprenden un solo evento de construcción, han sido separados por la diferencia de materiales –el segundo estrato presenta piedras mucho más grandes y carece de cal. Dichas diferencias corresponden a técnicas de construcción, puesto que el relleno inferior es más pesado y estable mientras que el superior es más liviano. Este último estrato se asienta sobre el piso Coccochan, en el nivel de los túneles excavados.

En el sector este del pozo y muy cerca del perfil se pudieron notar tres estratos más –CR20P-5-9, CR20P-5-9-10 y CR20P-5-9-11. Por su profundidad estos corresponden a una versión previa de la Estructura 13Q-4E de la Fase Halcón. Primero se encontró un muro de contención, de construcción compacta, con gran cantidad de estuco que se encuentra mezclado con barro café-amarillo y piedras grandes. Este muro de contención sirve como cimiento para la construcción de la Fachada Este de esta versión de la estructura. Recubriendo este muro se encontró estuco correspondiente al piso Halcón, por lo que se considera que este es el arranque de la versión de la fase Halcón de la estructura 13Q-4E. Finalmente sobre el piso se encontró un estrato de relleno compuesto por piedras medianas mezcladas con ceniza.

Lote	Fragmentos de cerámica encontrada
CR-20P-5-1 (Humus y derrumbe)	-
CR-20P-5-2 (Relleno, selecto café)	81
CR-20P-5-3 (Piso de estuco E-1)	-
CR-20P-5-4 (Relleno, piedras pequeñas)	-
CR-20P-5-5 (Piso de estuco? E-2)	-
CR-20P-5-6 (Relleno, selecto café)	-
CR-20P-5-7 (Relleno, barro negro)	-
CR-20P-5-8 (Relleno, piedras grandes)	
CR-20P-5-9 (Muro de soporte, café amarillo)	-
CR-20P-5-10 (Tierra gris con ceniza)	-
CR-20P-5-11 (Piso estucado -Halcón)	-

Tabla 3.1 Materiales CR-20P-5

Excavaciones en la Operación CR-20E

Unidad CR-20E-7

Durante la temporada de campo de 2013 se descubrió una estructura en la sección norte de la plaza Coccochan, que se denominó *Wo*. Durante la excavación en dicha temporada se determinó que esta estructura tenía dos cuartos y uno de ellos, el Cuarto 2, se encontraba clausurado en su acceso desde la fachada principal (Bustamante 2014). También se observaron trabajos de modificación en la Estructura *Ahk* que apuntaban a la creación de un espacio cerrado ubicado al noroeste de la plaza Coccochan (Padilla y Recinos 2012; Bustamante 2013, 2014). Con objetivo de estudiar este espacio al noroeste, se planificó la excavación de un túnel que investigaría la intersección de los ejes centrales de las estructuras *Ahk* y *Wo*. Sin embargo se desconocía si la Estructura *Wo* presentaba un acceso desde su fachada oeste, por lo que el primer paso de esta investigación fue la excavación de dicha fachada. A este túnel se le asignó la nomenclatura CR-20E-7 (Figura 3.1).

El túnel fue excavado empezando desde la esquina noreste de la Estructura *Ahk* con dirección al este en búsqueda de la esquina suroeste de la Estructura *Wo*. A esta primera sección del túnel se le denominó como lote CR-20E-7-1; a continuación la excavación se extendió a lo largo de la fachada oeste de la Estructura *Wo*, correspondiente al lote CR-20E-7-2. El lote 1 fue un pequeño túnel de 2.3 m de longitud, 1 m de ancho y 1.4 m de alto. Su excavación consistió básicamente en relleno café oscuro mezclado con piedras de gran tamaño, muy similar al relleno visto en el resto de la fase Coccochan. Este túnel fue excavado a un costado de la plataforma que se encuentra frente a la fachada este de la Estructura *Ahk*, por lo cual se pudo observar la longitud total de esta plataforma –aunque ya había sido obtenida por las excavaciones realizadas en la temporada 2011 (Padilla y Roche 2012). Finalmente este pequeño túnel encontró la esquina suroeste de la Estructura *Wo*, tal como se había planificado.

Lote	Fragmentos de cerámica encontrada
CR-20E-7-1	220

Tabla 3.2 Materiales CR-20E-7-1

Como se mencionó anteriormente, el lote 2 corresponde a la excavación frente a la fachada oeste de la Estructura *Wo*. El lote fue dividido en 2 niveles arbitrarios dada la arquitectura y densidad de material encontrada. La fachada oeste de la Estructura *Wo* consiste en una plataforma de 7.8 m de longitud –la amplitud total del túnel en esta sección es de 8.2 m con un ancho de 0.7 m y una altura que varía entre los 1.4 y los 2.7 m (Figura 3.2). La plataforma presenta un alto de 1.1 m, sin embargo en el extremo sur remata con una pequeña grada, por lo que en esta sección solo tiene una altura de 0.95 m. Sobre la plataforma se asienta otra pequeña plataforma que eleva 0.2 m la estructura y sostiene el piso interno; sobre esta segunda plataforma se asienta un muro, que es la parte externa de los muros excavados en la temporada de 2013 (Bustamante 2013), que alcanza una altura de 2.3 m desde el piso Coccochan – 1 m sobre la segunda plataforma. En general la plataforma presenta un buen estado de conservación, aunque el relleno excavado tenía grandes cantidades de cal que se pegó a las paredes, dándoles un aspecto más deteriorado. Solo en la parte más baja de la plataforma se pudo apreciar cómo la estructura había perdido grandes secciones de estuco, lo que permitió observar el material con que fue construida. Este consiste en pequeños bloques de piedra mezclados con cal.

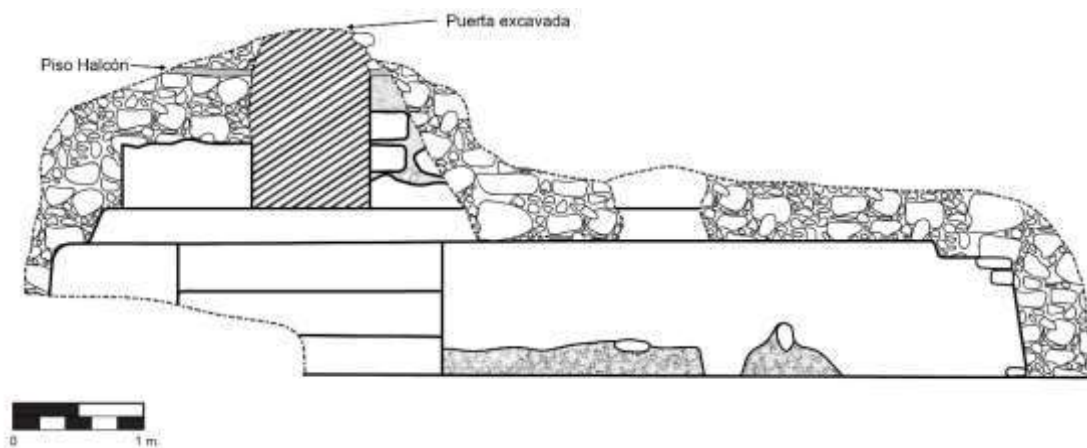


Figura 3.2 Perfil Este CR-20E-7-2/3. Fachada Oeste Estructura *Wo* (Dibujo por E. Bustamante)

En la sección norte de la fachada se encontraron tres gradas de acceso y el acceso al Cuarto 2 (Figuras 3.2 y 3.3); estas gradas tienen una altura de 0.32, 0.36 y 0.38 m –el orden es dado de la grada inferior a la superior. Durante la excavación de la fachada se observó que la densidad de material cerámico encontrado crecía a medida que se acercaba a las

gradas, lo que hizo pensar que se trataba de algún tipo de ofrenda colocada frente a las gradas al momento de la clausura del edificio. Por estas razones se dividió el material en 2 niveles: CR-20E-7-2-1, que corresponde al material encontrado frente a la sección sur de la fachada y CR-20E-7-2-2, que incluye el material encontrado directamente frente a las gradas.



Figura 3.3 Gradas y acceso al cuarto 2 estructura Wo (Fotografía por E. Bustamante)

Al encontrar las gradas se decidió ampliar el túnel con el objetivo de tener una mejor vista de esta sección de la fachada, por lo que sólo en esta sección el túnel rebasó los 1.5 m de altura. Esta expansión permitió la observación de las jambas y la puerta de acceso al Cuarto 2. Tal y como se había observado en la temporada de campo 2013, las paredes habían sido cortadas a una altura de 1 m sobre la plataforma, esto con el objetivo de dar

paso al piso Halcón de la fase posterior. Debido a la destrucción intencional de los muros, ambas jambas solo presentaban el recubrimiento de estuco en la sección más baja, lo que permitió la visibilidad del material constructivo utilizado en los muros. Este consiste en piedras medianas y bien talladas para formar bloques de un promedio de 0.2 m de alto, 0.35 m de largo y 0.2 m de ancho. El corte de la jamba sur era totalmente horizontal y el piso Halcón se asentaba justo encima de él; sin embargo el corte de la jamba norte era inclinado, por lo que la parte externa de la jamba se encontraba 0.55 m más bajo que la parte interna. Debido a este corte irregular, el espacio fue relleno con piedras grandes con el objetivo de cimentar el piso Halcón. A diferencia de lo visto en la Fachada Sur de *Wo*, la Fachada Oeste no presentó indicio alguno de pintura roja.

Lote/Nivel	Material cerámico encontrado
CR-20E-7-2-1	24
CR-20E-7-2-2	332

Tabla 3.3 Materiales CR-20E-7-2

Unidad CR-20E-9

Frente a la escalinata oeste de la Estructura *Wo* se inició la excavación de un túnel con dirección al oeste que buscaba explorar la hipotética plaza noroeste (Figura 3.1). Esta sección del túnel alcanzó los 4.25 m de longitud con un ancho de 0.8 m y una altura de 2 m. Este lote fue dividido en 2 niveles bajo estratos culturales, los que se explican a continuación. Partiendo de la grada inferior de *Wo* hasta 3 m, el relleno permaneció siendo barro negro mezclado con piedras de gran tamaño. Este barro no presentó ningún artefacto. Sin embargo, entre los 3 y 4.25 m al oeste de la grada inferior de *Wo*, el relleno cambió a lo que parece ser un muro de contención, que por su posición se identificó como el mismo muro de contención encontrado a inmediaciones de la extensión del muro en *Ahk* encontrado por Liliana Padilla en 2011 (Padilla y Roche 2012). Éste se encuentra construido de piedras grandes mezcladas con barro café-amarillo y cal. La presencia de la cal hizo que este muro sea muy macizo. Aunque el muro alcanzó 1.25 m de ancho, no contuvo ningún material, pero si se encontró un depósito de cerámica y de huesos de animal justo al este del muro. Puesto que este depósito se encontró asociado al muro se consideró como un nivel distinto.

Lote/Nivel	Material cerámico encontrado
CR-20E-9-1-1	130
CR-20E-9-1-2	166

Tabla 3.4 Materiales CR-20E-9

Unidad CR-20E-10

El muro de contención fue traspasado y se reveló que dicho muro no era tan simple como se consideraba, ya que se encontraba estucado en su cara oeste. Esto indicó que su función era, además de contener, servir como cimiento para la Fachada Oeste de la Plataforma Halcón –la cual clausuró la plaza Cocochan. Una revisión más detenida de la estratigrafía de este mismo muro en la Fachada Norte de la Estructura *Ahk*, reveló que el supuesto muro de contención aquí también se trataba de una fachada que remataba en la Fachada Norte de la Estructura *Ahk* y permitía el acceso al Cuarto 3 de esta estructura. Esto levanta muchas interrogantes, puesto que significa que las estructuras *Ayiin* y *Wo* fueron canceladas en su totalidad por la Plataforma Halcón, pero solo clausuró los cuartos 1 y 2 de la Estructura *Ahk*, dejando el Cuarto 3 aún en uso durante la fase Halcón. Pero ¿Esta modificación de Halcón corresponde a una importancia intrínseca del Cuarto 3 que se buscó conservarlo? O ¿Simplemente se debió a limitaciones de materiales de construcción? En función de resolver estas dudas se inició la excavación de un túnel que siguiera la Fachada Oeste de la plataforma Halcón, por lo que desde el final de la Unidad CR20E-9 se inició un túnel con dirección al norte, el cual fue denominado CR20E-10 (Figura 3.1). Este alcanzó una longitud de 8.25 m y fue detenido por la finalización de la temporada de campo (Figura 3.4). La unidad CR-10 solo tuvo un lote, el cual fue dividido en tres niveles, dos de 3 m y uno de 2.25 m. Los niveles 1 y 2 presentaron el mismo tipo de relleno de barro café oscuro mezclado con piedras medianas y pequeñas. En ambos se observó la fachada oeste de la Plataforma Halcón, que al oeste inicia con una altura de 1.8 m pero luego baja por medio de dos gradas, reduciendo su altura a solo 0.7 m y extendiéndose por 3.4 m. También se constató que remata en otra plataforma que se extiende en dirección este-oeste. Esta segunda plataforma, denominada tentativamente como "Halcón 2", presenta 5 gradas que elevan la plataforma nuevamente a 1.8 m de altura. Los materiales encontrados sobre estas gradas fueron separados en el nivel 3.

Lote/Nivel	Fragmentos de cerámica encontrados
CR-20E-10-1-1	279
CR-20E-10-1-2	80
CR-20E-10-1-3	125

Tabla 3.5 Materiales CR-20E-10

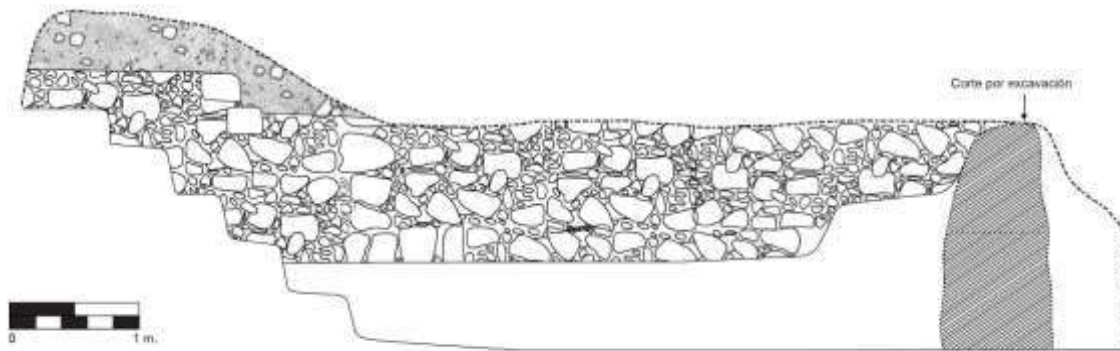


Figura 3.4 Perfil Este CR-20E-10. Plataforma Halcón (Dibujo por E. Bustamante)

Excavaciones en las Operaciones CR-20C y CR-20R

Como se mencionó anteriormente, uno de los objetivos secundarios fue la búsqueda e identificación de una posible estructura que cerrara la sección sur de la fase Coccochan. Para ello se realizó en 2013 el pozo CR20R-1 al sur de la estructura 13Q-4E, el cual fue detenido en el piso Coccochan; sin embargo, por falta de tiempo en esa temporada, no se siguió con la búsqueda de esta estructura. En 2014 se empezó con la excavación de un túnel partiendo del perfil sur de la unidad CR20R-1; esta sección fue denominada como unidad CR20C-1 (Figura 3.1). A escasos 0.2 m de excavación se encontró la fachada de la estructura sur –denominada como Iguana. Se decidió entonces ampliar la unidad CR20R-1 por 0.5 m al sur, con el objetivo de exponer toda la fachada norte de la estructura Iguana. En la ampliación de la unidad CR20R-1 se identificaron los mismos tres estratos que los observados en la temporada pasada: humus, estrato de derrumbe asentado sobre piso Colibrí y relleno café-grisáceo que se asienta sobre el piso Coccochan.

Lote	Fragmentos de cerámica encontrados
CR-20R-1-1	20
CR-20R-1-2	90
CR-20R-1-3	41 (sobre estructura iguana) 161 (frente a estructura iguana)

Tabla 3.6 Materiales CR-20R-1

La excavación de la fachada norte de la Estructura Iguana reveló un edificio alargado que corre en eje este-oeste. Este edificio tiene 7.4 m de largo y una altura de 1.20 m (Figura 3.5). Puesto que en esta sección la modificación de la fase Halcón no afectó la Estructura Iguana, se considera que la altura relativamente baja de esta estructura indica que tenía cimientos de piedra pero la parte superior de la estructura y el techo de la misma se encontraban contruidos con materiales percederos (Figura 3.5 y 3.6).

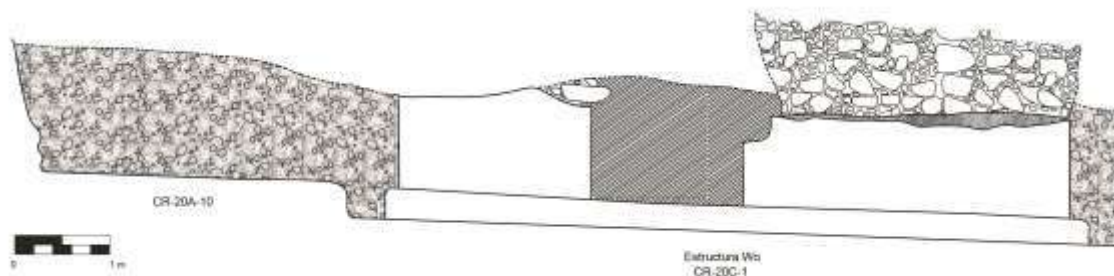


Figura 3.5 Perfil Sur Unidades CR-20C-1 y CR-20A-10 (Dibujo por E. Bustamante)

La sección de la fachada construida en piedra aún presenta un recubrimiento de estuco en condición relativamente buena. A 1.8 m de la esquina noroeste se observaron dos agujeros de 0.3 y 0.15 m de diámetro (Figura 3.6), y se considera que éstos pueden ser agujeros que permitían la colocación de una tarima de madera en la parte frontal de la estructura. La excavación también reveló que la estructura y el piso presentan un ligero desnivel, por lo que la sección oeste se encuentra 0.2 m más abajo que la sección este. La excavación de la fachada fue designada como el lote 1 de la unidad y fue dividida en dos niveles. Debe tomarse en cuenta que la sección de fachada descubierta por la unidad CR20R-1 (lote 3) es el mismo que el lote 1 de la unidad CR20C-1.

Lote/Nivel	Fragmentos de cerámica encontrados
CR-20C-1-1-1	107
CR-20C-1-1-2	123

Tabla 3.7 Materiales CR-20C

La estructura Iguana presenta una puerta en el centro de la estructura, por lo cual se decidió ingresar y explorar el cuarto interno. Esta sección del túnel fue denominada como lote 2 de la unidad CR-20C-1. La excavación fue dividida en 2 niveles: el primero corresponde a la extensión norte-sur del túnel que entra al cuarto de la Estructura Iguana, y el nivel 2 es la sección este-oeste del túnel que inspeccionó el cuarto a inmediaciones de su muro sur. La excavación del nivel 2 solo exploró la mitad oeste del cuarto, aunque no se encontró ningún rasgo arquitectónico. El relleno dentro del cuarto consistía en barro café oscuro mezclado con piedras medianas, similar al encontrado fuera de la estructura. La excavación del único cuarto de esta estructura permitió observar que sus muros son de 0.75 m de grosor y el espacio interno de la estructura es de 2.75 x 5.9 m.



Figura 3.6 Estructura Iguana (Fotografía por E. Bustamante)

Excavación de la Operación CR-20A

Unidad CR-20A-10

Puesto que la fase Halcón no modificó la sección sur del palacio, se deseaba conocer cómo era el límite oeste de la sección sur y si presentaba algún otro edificio que no haya sido clausurado por la fase Halcón. Para ello se decidió extender el túnel hacia el este, partiendo de la esquina noreste de la Estructura Iguana. Esta sección del túnel fue denominada como la unidad CR-20A-10 (Figura 3.1). A 0.4 m al este del límite de la Estructura Iguana se encontró una plataforma baja de 0.36 m de altura, la cual se extendió por otros 3.2 m sin cambiar de altura, rematando en una pared inclinada que se encuentra en muy mal estado de conservación (Figura 3.5). Esta pared corresponde en ubicación con el basamento de la Estructura *Ayiin*, pero no presenta gradas. El estuco en la pared aún se observa pero está en muy malas condiciones. La excavación se continuó por otros 4.25 m hacia el norte, siguiendo esta pared. La excavación de este túnel permitió identificar que la pared no es plana, sino presenta algunos abultamientos en varias partes. Se considera que posiblemente estos se trataban de decoraciones de mampostería o estuco que fueron destruidos al clausurar esta sección del palacio en la fase Colibrí. Sin embargo, no se encontró ningún resto de estuco modelado o piedras talladas que apoyen a esta interpretación. No se encontró cerámica en toda esta unidad.

Interpretaciones y consideraciones finales

Las excavaciones realizadas en la temporada de campo 2014 revelaron una gran complejidad respecto a las modificaciones realizadas por la construcción de la Plataforma Halcón en la sección central del Palacio. Claramente se observa cómo el espacio de plaza cerrada de la fase Cocochan fue reemplazada por una plataforma. Sin embargo ésta conserva parte de la arquitectura de la fase Cocochan, ejemplificada en la Estructura Iguana y en el Cuarto 3 de la Estructura *Ahk*. Sin embargo aún queda la pregunta ¿Estas estructuras fueron mantenidas por una importancia o por falta de recursos? Hasta el momento no se tiene una respuesta clara, puesto que hay evidencias que respaldan ambas posturas.

En primer lugar, en la sección al noroeste de la plaza Cocochan se observa cómo la Plataforma Halcón baja a inmediaciones del Cuarto 3 de *Ahk* y crea un espacio hundido cuyo aparentemente único motivo fue seguir utilizando dicho cuarto. Esto apoyaría la

postura que el cuarto fue mantenido por una importancia intrínseca al mismo. Futuras excavaciones en este cuarto nos ayudarán a entender la importancia del mismo. Sin embargo, al sur se mantuvo la Estructura Iguana, la cual es una estructura baja, simple, con construcción de materiales perecederos en el techo y parte superior de los muros. Por el momento no existe razón aparente por la cual se mantuvo esta sección del palacio, más que la falta de recursos para la construcción. Futuras investigaciones nos ayudarán a esclarecer estas inquietudes.

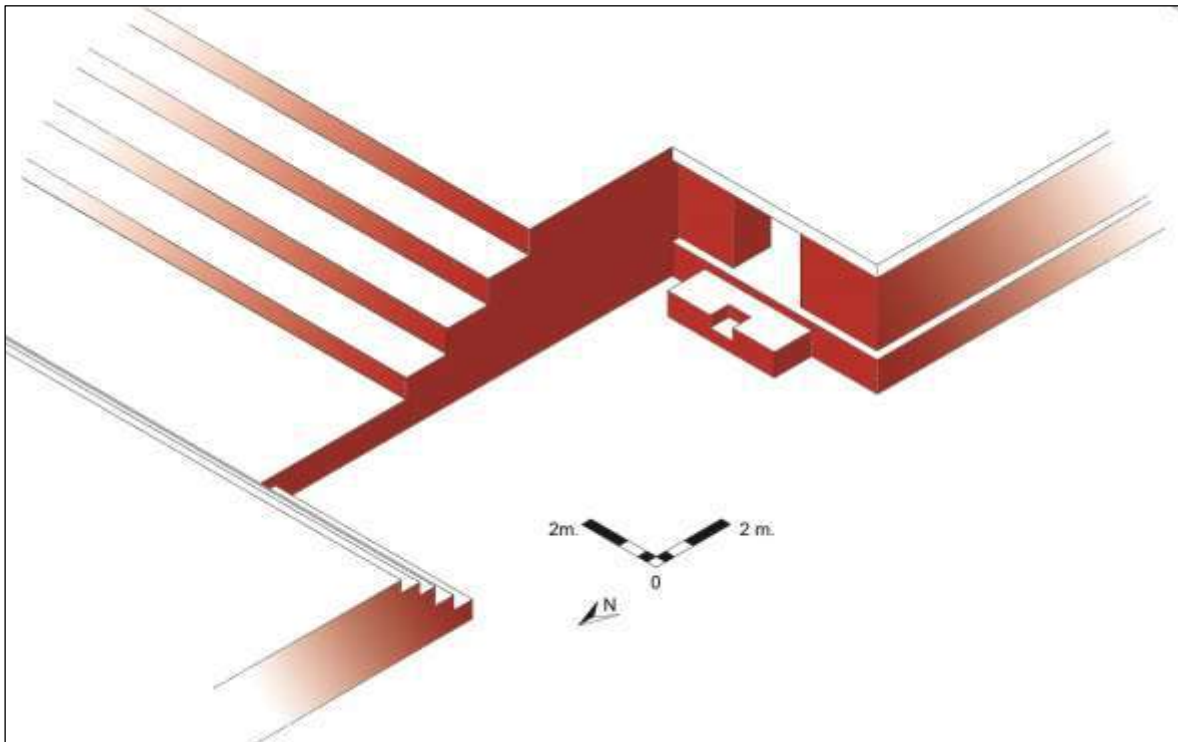


Figura 3.7 Reconstrucción hipotética de la plataforma Halcón. Vista de noroeste a suroeste
(Dibujo por E. Bustamante)

CAPÍTULO IV

OPERACIONES CR200 Y CR210: EXCAVACIONES EN LA FACHADA OESTE DEL PALACIO DE LA CORONA (ESTRUCTURA 13Q-4)

José Eduardo Bustamante

Introducción

En temporadas anteriores las arqueólogas Liliana Padilla y Alejandra Roche (Padilla 2010 y 2011; Padilla y Roche 2012) habían realizado excavaciones en la fachada este de la Estructura 13Q-4, también conocida como el Palacio de La Corona. Siendo ésta la fachada “frontal” o con vista hacia la plaza central del sitio, mostró una arquitectura funcional acorde a las necesidades. De esta manera se pudo constatar la existencia de tres cuerpos constructivos (Padilla y Roche 2012; Padilla y Bustamante 2013) que conforman el basamento donde se encuentran asentadas nueve superestructuras, denominadas con letras desde la A hasta la I. Así mismo la fachada este también presentaba una escalinata central que permitía la ascensión desde la plaza central hasta la parte superior de la estructura (Padilla y Bustamante 2013). Por su parte las superestructuras 13Q-4A y 13Q-4B, ubicadas también en la fachada este, presentan una gran cantidad de molduras de estuco, algunos de ellos aún con rastros de pintura roja, que evidencian una fachada decorada (Padilla 2010, 2011, 2012).

De esta manera el registro intensivo de dicha fachada ha permitido tener una idea muy clara de la parte frontal del palacio. Esto también es un punto de partida para interpretar las funciones de las superestructuras en base a ubicación y accesibilidad. Sin embargo, este tipo de interpretaciones no pudieron ser llevadas a cabo en otras secciones del palacio debido a la poca o nula información que se tenía de otras áreas de acceso hacia el interior del palacio. De esta manera en la temporada de trabajo llevada a cabo en el 2014 se tuvo como objetivo la exploración de otras de las fachadas del palacio, así como la búsqueda de posibles puntos de acceso.

A inicios de la temporada se llevó a cabo una limpieza general en los alrededores del palacio con el objetivo de tener una mejor apreciación de su contexto espacial. Como resultado se identificaron dos plataformas bajas, de no más de 0.5 m de alto, ubicadas hacia el oeste del

basamento del palacio. Como esta área corresponde a la parte posterior de la acrópolis, no se contemplaba la existencia de estructuras en este sector, lo cual hizo que surgieran varias preguntas: ¿Por qué estas plataformas se encuentran aquí? ¿Cuál es su función? Posteriores exploraciones, llevadas a cabo junto con Maxime Lamoureux, revelaron que estas dos plataformas conformaban un patio cerrado junto con la estructura 13Q-4H o “cola” del palacio. Dadas estas características se decidió realizar una trinchera desde la parte inferior, a nivel de plaza, hasta llegar a las superestructuras en la parte superior del basamento. De esta manera se esperaba hacer un registro de cuerpos y rasgos de la fachada oeste.

Objetivos

El objetivo principal fue identificar los cuerpos correspondientes al basamento del palacio, mientras que los secundarios fueron: reconocer rasgos arquitectónicos más importantes de la fachada oeste y determinar posibles áreas de uso de esta fachada.

Metodología

Puesto que el objetivo principal fue el de reconocer los cuerpos correspondientes al basamento del palacio, se determinó que la mejor manera de llevarlo a cabo fue trazando una sola trinchera que abarcara desde el nivel de plaza hasta la parte superior del basamento. Para ello se escogió un área que no tuviera ningún árbol y que se encontrara delimitada dentro de la plaza cerrada recién reconocida, que consiste en un área de la sección sur oeste del palacio, a inmediaciones del límite entre las superestructuras 13Q-4D y 13Q-4E (Figura 4.1).

Siguiendo la nomenclatura utilizada en años anteriores, se definieron dos unidades divididas en dos operaciones. La operación CR20 corresponde a la excavación de superestructuras del palacio y CR21 a la excavación en el basamento principal. Asimismo se decidió abrir una suboperación nueva denominada “O”, haciendo alusión a la ubicación de las excavaciones al oeste del palacio. De este modo las operaciones correspondientes fueron denominadas CR20O y CR21O. En lo correspondiente la clasificación de materiales, se decidió que la excavación sería llevada a cabo por medio de lotes definidos mediante estratos culturales. De esta manera toda la sección de la trinchera correspondiente al basamento sería llamada unidad CR21O-1 y a cada cuerpo identificado se le asignaría un lote y finalmente a cada estrato se le

asignó un número correspondiente a su ubicación vertical. De esta manera la nomenclatura quedó como CR-operación-suboperación-unidad-lote-estrato o CR210-1-1-1.

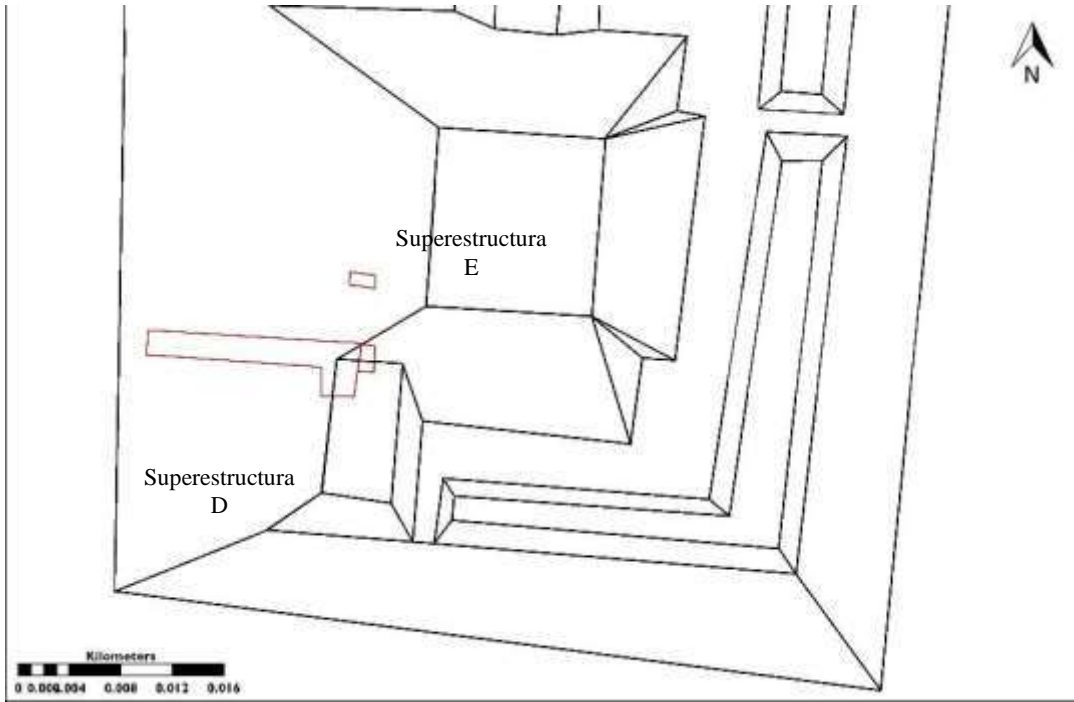


Figura 4.1: Ubicación de unidades de excavación (Mapa por E. Bustamante)

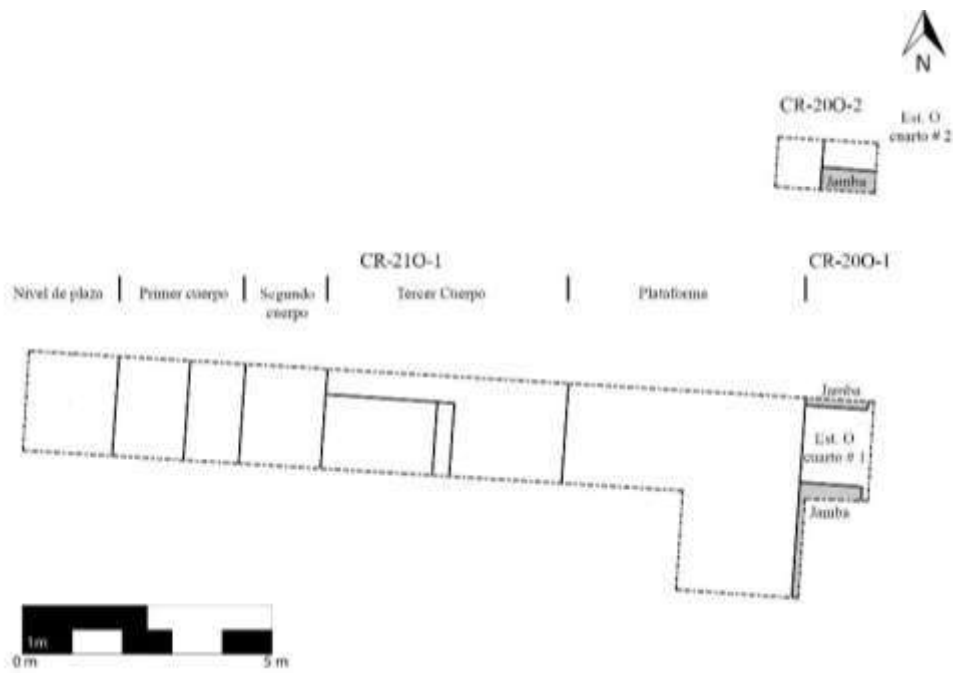


Figura 4.2. Planta de excavación mostrando las unidades CR210-1, CR200-1 y CR200-2 (Dibujo por E. Bustamante)

Puesto que la fachada oeste nunca había sido excavada y se desconocía el nivel de conservación de la misma, se decidió llevar a cabo una excavación desde la parte inferior, lo que permitiría reconocer el piso de plaza, y de allí hasta la parte superior, siguiendo los rasgos arquitectónicos. Esto con el afán de una mejor identificación de rasgos. Por ello, y siguiendo la metodología de nomenclatura explicada anteriormente, se le asignó el lote 1 al material encontrado sobre el piso de plaza, lote 2 a lo correspondiente al cuerpo inferior del basamento y así sucesivamente. En total se asignaron 5 lotes, 1 asignado al nivel de plaza, 3 asignados a cada uno de los cuerpos y 1 asignado a una plataforma en la parte superior del basamento (Figura 4.2).

Unidad CR21O-1

Como se explicó en la sección de metodología, se realizó una trinchera desde la parte más baja del montículo hasta su parte superior. Puesto que en base a excavaciones de años anteriores ya se conoce la orientación de las estructuras de los edificios, que varía cerca de los 10° este del norte, se decidió dar esta orientación a la trinchera, buscando que los rasgos identificados, como paredes y gradas, quedaran perpendiculares a las líneas de excavación. Se planificó una investigación extensiva, que descubriera la mayor cantidad de rasgos posibles, por lo que se decidió hacer la trinchera de 2 m de ancho, extensión norte sur, y con una longitud total de 16.4 m, extensión este oeste. La longitud de la trinchera se determinó hacia el este por la aparición de una superestructura, por lo cual de ese punto en adelante la trinchera pasó a ser la unidad CR20O-1 para respetar la metodología utilizada en el palacio (Figuras 4.2 y 4.3). Solamente en el extremo este de la trinchera se modificó su ancho, por razones que se explicarán más adelante. La extensión fue de 2 x 2 m y se colocó al sur de la trinchera (Figura 4.2).

Lote 1

Se inició con la trinchera CR21O, la cual tuvo su inicio en la parte más baja del montículo y un poco retirado de él; esto tratando de encontrar el nivel de piso de plaza. En total este lote tuvo una extensión de 1.5 m (este-oeste) y una profundidad variable entre 0.84 m en el oeste y 1.66 m al este). Se lograron identificar solo 2 estratos. El primero correspondió al humus, con una profundidad promedio de 0.1 m. El segundo estrato fue barro café claro mezclado con cal y piedras; este estrato fue común en toda la trinchera y se trata de colapso post abandono de las estructuras.

Se identificó el piso de plaza en la base de la estructura con un considerable grado de conservación (Figura 4.3). Sobre el piso se pudo recolectar un gran número de fragmentos de cerámica, por lo que en un principio se consideró que se tratase de un basurero, sin embargo también se contempla la posibilidad que se trate solamente de cerámica de “arrastre”. Como está en un estrato que muestra un proceso de colapso de las estructuras, pudiera ser que esta cerámica cayera desde la parte superior del edificio y se concentrara mayormente en este sector.

Estrato	Fragmentos de cerámica
CR21O-1-1-1 (humus)	225
CR21O-1-1-2 (derrumbe)	734

Tabla 4.1 Materiales CR-21O-1-1

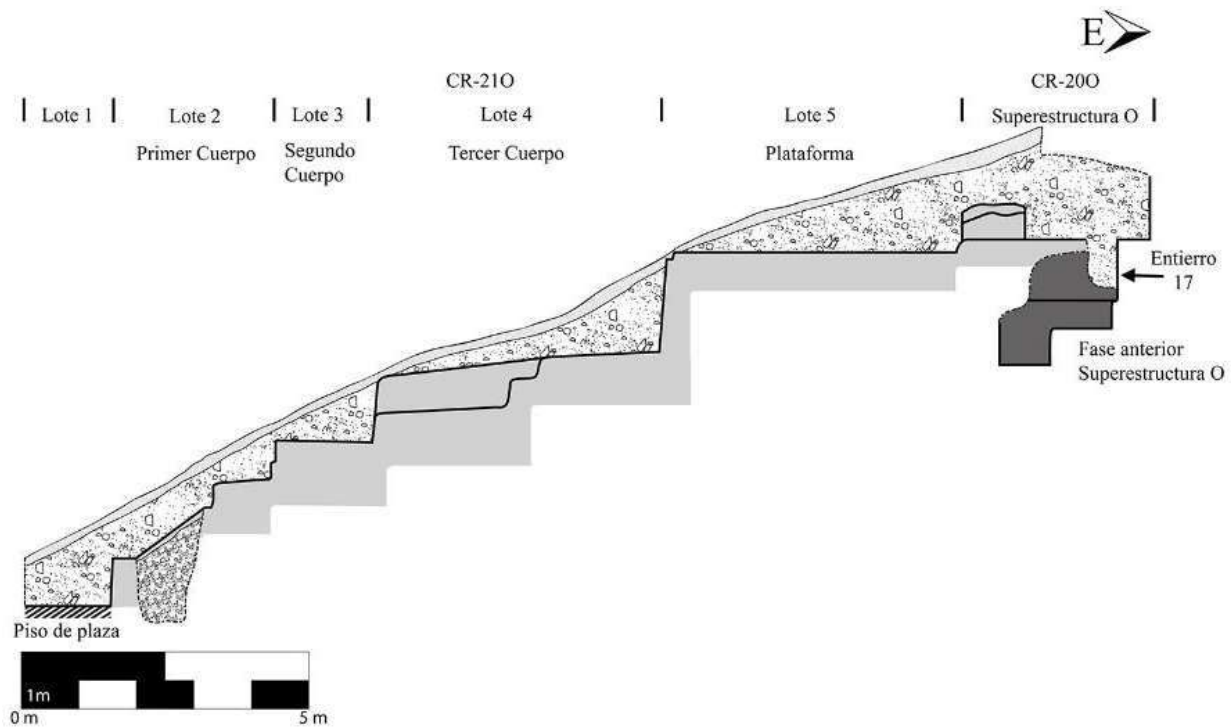


Figura 4.3 Perfil norte de las unidades CR21O-1 y CR200-1 (Dibujo por E. Bustamante)

Lote 2

Este lote corresponde al primer cuerpo del basamento o cuerpo inferior. Las excavaciones revelaron que este cuerpo posee un singular rasgo en forma de talud. La base se encuentra conformada por una grada, que se eleva 0.84 m del piso, con un descanso de 0.44 m. Ésta luego da paso a un talud, de 1.2 m de extensión y 0.9 m de altura, que remata en un pequeño descanso de 0.15 m de ancho y un tablero de 0.4 m de alto y un descanso de 1 m (Figura 4.3). En total el cuerpo y el lote tienen una extensión de 2.79 m. Se identificaron los dos mismos estratos del lote 1.

Por motivos de verificación se decidió continuar la excavación en la sección del “talud”, con el objetivo de identificar si el piso de plaza continuaba bajo este cuerpo; de ser así podría indicarse la existencia de una subestructura bajo el basamento. Este registro alcanzó una profundidad máxima de 1.10 m bajo el talud, en la sección oeste, lo cual indica que se excavó a un nivel de 0.26 m bajo el nivel del piso de plaza. Sin embargo no se identificó la existencia del mismo por lo cual se puede concluir con certeza que la última etapa del piso de plaza se encuentra relacionada con la construcción de esta fase del basamento del palacio. Asimismo no se confirmó ni se negó la existencia de etapas anteriores del piso o del basamento.

El corte en el talud mencionado anteriormente permitió ver el tipo de construcción de esta sección del basamento. Se logró identificar un estuco delgado, de 0.05 a 0.06 m de grosor, como tratamiento final de la fachada. Éste se encontraba en muy mal estado de conservación debido a raíces y acciones naturales. Bajo el estuco se encontró el relleno del basamento (Estrato 3), el cual se encontraba conformado por piedras calizas de tamaño medio, de 0.2 a 0.4 m de diámetro, colocadas sin ningún orden y amalgamadas por barro café mezclado con cal para dar dureza. A diferencia de otras secciones de rellenos encontrados en el palacio, el relleno encontrado aquí poseía un relativo alto número de fragmentos de cerámica, en su mayoría de tipos utilitarios.

Estrato	Fragmentos de cerámica
CR21O-1-2-1 (humus)	85
CR21O-1-2-2 (derrumbe)	173
CR21O-1-2-3 (relleno)	281

Tabla 4.2 Materiales CR-21O-1-2

Lote 3

Este lote corresponde al segundo cuerpo del basamento y la excavación reveló dos pequeñas gradas de 0.3 y 0.36 m respectivamente, distanciadas una de otra por un pequeño descanso de 0.08 m de longitud. El descanso total de este cuerpo es de 1.7 m de longitud (Figura 4.3). La primera grada que parte del primer cuerpo mostró señales de poseer una pequeña moldura en su parte superior que sobresale de la pared; sin embargo dada la poca conservación de este cuerpo no se logró constatar la existencia de la misma. En este lote se recuperaron dos fragmentos mal conservados de molduras de estuco, seguramente provenientes de la parte superior del edificio y que por acciones naturales rodaron hasta este sector.

Estrato	Fragmentos de cerámica
CR21O-1-3-1 (humus)	19
CR21O-1-3-2 (derrumbe)	209

Tabla 4.3 Materiales CR-21O-1-3

Lote 4

Corresponde al tercer cuerpo o cuerpo superior del basamento. Dadas sus dimensiones, éste es el cuerpo más extenso del basamento, ya que cuenta con una longitud total de 4.9 m y se encuentra compuesto por dos niveles o plataformas (Figuras 4.2 y 4.3). La colocación de la trinchera permitió identificar que desde el remate del segundo cuerpo, el tercero se levanta a dos niveles distintos, 0.5 m en la sección sur de la trinchera y 1.2 m en la sección norte. El nivel bajo o plataforma baja se extiende por 1.3 m hasta que remata en una grada que eleva y conecta con la plataforma alta. Es posible que la plataforma alta creara un área similar a un balcón, desde donde se tenía una vista completa del patio oeste del palacio, pero se necesitan hacer más excavaciones que revelen todos los rasgos de esta sección. A pesar de ser el lote más extenso de la unidad CR21O-1, la cerámica en esta sección fue escasa, y su mayor concentración fue el extremo este del cuerpo, bajo el inicio de la pared que da paso a la plataforma superior.

Estrato	Fragmentos de cerámica
CR21O-1-4-1 (humus)	20
CR21O-1-4-2 (derrumbe)	150

Tabla 4.4 Materiales CR-21O-1-4

Lote 5

El tercer cuerpo del basamento remata en una pared de 1.7 m de altura que da paso a una plataforma superior. La identificación de una plataforma superior y no un cuarto cuerpo del basamento coincide con los tres cuerpos de basamento identificados anteriormente por Padilla y Roche (2011) en la fachada este del palacio. Asimismo, la presencia de una superestructura con acceso desde el oeste, muestra una clara utilización de este espacio como parte del acceso a la parte superior del basamento. La plataforma tiene una longitud de 5.2 m y remata hacia el oeste en la superestructura 13Q-4O, identificada hasta la temporada actual por estas excavaciones. A diferencia de los cuerpos del basamento anteriormente descritos, la plataforma presenta un mayor nivel de conservación, principalmente ya que presenta pisos y estucos mucho más gruesos y de mayor calidad, lo cual puede ser resultado de una planificación de mayor uso. Los cuerpos, al ser menos accesibles, no necesitaban revestimientos duraderos. En contraposición, esta plataforma frente a una estructura sufriría más estrés por el paso de las personas, por lo cual fue revestida con estucos más duraderos.

Aunque la plataforma en sí no posee mayores rasgos de importancia, se pudieron encontrar en ella una gran cantidad de materiales de escombros provenientes del colapso de los muros de la superestructura 13Q-4O. Las paredes de esta estructura todavía se conservan a una altura no mayor a los 0.8 m, y aunque no presentaban ninguna decoración *in situ*, se pudo constatar que sí contaban con estucos modelados e inclusive por piedras talladas, puesto que restos de esta decoración fueron encontrados dentro del derrumbe. Estas decoraciones se encontraban a inmediaciones de las paredes de la estructura, por lo que se decidió expandir el ancho de la trinchera a ras de la pared, por lo cual se realizó una extensión de 2 x 2 m al sur de la trinchera (Figura 4.2). Dentro de las decoraciones encontradas sobresalen dos bloques de caliza alargados, de 0.3 y 0.4 m de altura y un grosor de 0.2 m, los cuales se encontraban tallados a manera de permitir un patrón diagonal en alto relieve (Figura 4.4a). Otros cinco bloques tallados también fueron encontrados, sin embargo éstos solo presentan ensanchamientos de secciones o cortes en ángulos (Figura 4.5) por lo que no puede ser inferido de ellas ningún tipo de decoración.



4a

4b

Figura 4.4a: piedra tallada en alto relieve con motivo de diagonales
 Figura 4.4b: estuco modelado con motivo de plumas
 (flechas colocadas con propósitos de escala, Fotografías por E. Bustamante)



Figura 4.5 Piedra de bóveda (izquierda) y piedra tallada (derecha) al momento de excavación.
 (Fotografía por E. Bustamante)

También es de resaltar que fueron encontradas varios bloques de tamaño variable, entre 0.5 m y 0.7 m de largo, con cortes angulares en diagonal (Figura 4.5). Por sus características se considera que pueden tratarse de piedras de bóveda, lo que es relevante porque hasta el momento ninguna de las estructuras excavadas en la sección sur del palacio (Estructura 13Q-4A, Subestructura *Wo*, Subestructura *Ahk*, Subestructura *Ayiin* y Subestructura *Huun*) había presentado indicio alguno de arquitectura abovedada.

Estratos	Fragmentos de cerámica
CR21O-1-5-1 (humus)	85
CR21O-1-5-2 (derrumbe)	401
CR21O-1-5-3 (colapso de muros Estructura 13Q-4O)	9

Tabla 4.5 Materiales CR-21O-1-5

Unidad CR200-1

Como se ha mencionado anteriormente en este capítulo, el extremo este de la trinchera CR21O-1 finalizó con la pared de una superestructura, rasgo que se contemplaba encontrar desde un inicio; sin embargo inicialmente se contemplaba que ésta sería el muro externo de la parte posterior de la Estructura 13Q-4E o en su defecto de la Estructura 13Q-4D, ya que aún no se tiene una clara dimensión de las mismas debido a que no han sido excavadas. Sin embargo la trinchera CR21O-1 reveló una estructura con acceso desde el oeste, característica que no se contemplaba en ninguno de los casos. Por esta razón, se ha definido una nueva estructura, con acceso desde el oeste, como Estructura 13Q-4O. Para seguir con la metodología de excavación que se tiene en el palacio, se decidió que la excavación de esta estructura, en su parte interna, correspondería a la operación CR20 y suboperación CR20-O, por lo cual se cambió la nomenclatura a CR200-1, aunque siguiendo con la misma normativa de la trinchera CR21O-1. Puesto que esta estructura presenta un ambiente, sólo se utilizó un lote y la estratigrafía fue dada de forma vertical y dividida en estratos naturales u arbitrarios, según sea el caso (este tema se tratará más adelante).

La excavación de este cuarto fue realizada a manera de túnel (Figura 4.3), avanzando horizontalmente desde el límite este de la trinchera CR21O-1. Por este motivo no se excavó el nivel del humus en esta sección. Las excavaciones revelaron una puerta de 1.6 m de ancho y

ambas jambas de la puerta fueron identificadas y quedaron como los límites norte y sur de la excavación (Figura 4.2). Las jambas tiene un grosor de 1.2 m, similar al grosor de las paredes de otras estructuras del palacio. El cuarto, denominado como cuarto No. 1 de la estructura 13Q-40, tiene un espacio interno de 1.5 m en su extensión este-oeste, mientras que la longitud del cuarto aún es desconocida por falta de tiempo de excavación. El cuarto no presenta mayores rasgos arquitectónicos más que un piso estucado con gran nivel de conservación y paredes lisas. Sin embargo al momento de su excavación se constató un corte en el piso (Figura 4.6) de forma ovalada y con dimensiones de 1.1 m en su extensión norte sur y 0.55 m en su extensión este oeste. Este corte intrusivo, a pesar de sus notables dimensiones no fue cerrado propiamente, es decir, en lugar de colocarse una capa estucada, el relleno del cuarto fue encontrado en su interior.



Figura 4.6. Interior del Cuarto 1, Estructura 13Q-40, mostrando detalle de corte en el piso
(Fotografía por E. Bustamante)

A diferencia de los estratos observados fuera de la estructura, este cuarto se encontraba relleno por piedras de gran tamaño, entre 0.4 y 0.5 m de diámetro, amalgamadas con una mezcla compacta de arena y cal, similar a los rellenos de las subestructuras encontradas en los túneles del palacio. De forma similar a otras estructuras del palacio, en toda la excavación del cuarto no se encontró un solo fragmento de cerámica o lítica. Llama la atención también que en las afueras de la estructura se encontró gran cantidad de piedras de bóveda, sin embargo en el interior no se encontró ninguna. También es de notar que este mismo relleno se encontró dentro del corte intrusivo. Tomando en cuenta lo compacto del relleno y que el corte del piso no fue re estucado o cerrado propiamente, se considera que esta estructura fue clausurada y rellena por los mismos mayas durante la última fase del palacio. Sin embargo el porqué de este supuesto abandono de la estructura 13Q-4O aún se desconoce.

Estrato	Fragmentos de cerámica
CR200-1-1-1 (humus)	No excavado
CR200-1-1-2 (derrumbe)	No excavado
CR200-1-1-3 (relleno del cuarto)	0

Tabla 4.6 Materiales CR-200-1

Como se mencionó anteriormente, el mismo relleno del cuarto pudo ser identificado dentro del corte en el piso, y durante la excavación de éste se logró la identificación de restos óseos humanos a una profundidad 0.84 m. Una posterior limpieza completa de esta sección permitió la identificación de un cuerpo humano completo (Figura 4.7) que se encontraba extendido en un corte en el relleno a manera de cista. Esta cista tenía una longitud de 1.9 m (0.8 m mayor que el corte en el piso) y un ancho de 0.55 m. Aunque no se trataba de una cista formal, se pudo constatar que para colocar el cuerpo se tuvo que cortar la pared de una versión anterior de la estructura 13Q-4O y usando el grosor de la pared para la cista (Figura 4.7). Dado el espacio reducido del enterramiento, así como la profundidad a la que se encontraban los restos óseos, se decidió que para llevar una mejor excavación de los mismos se cortarían el piso al este de la cista. Para ello se trazó un pozo de 0.5 x 0.5 m (Figura 4.7) con una profundidad máxima de 0.84 m, para que permitiera llegar al nivel de los restos óseos. Al corte del piso se le asignó el Estrato 4 y al relleno excavado se le asignó el Estrato 5, mientras que al enterramiento se le asignó el Estrato 6.

Puesto que el cuerpo (Entierro 17) se encontraba prácticamente dentro del relleno, y éste consistía a su vez de piedras de gran tamaño, el nivel de conservación de los huesos en la parte torácica fue muy mala (Figura 4.8); sin embargo los huesos de las extremidades, en especial los de las extremidades inferiores que quedaron cubiertas por el piso superior, mostraban gran conservación.

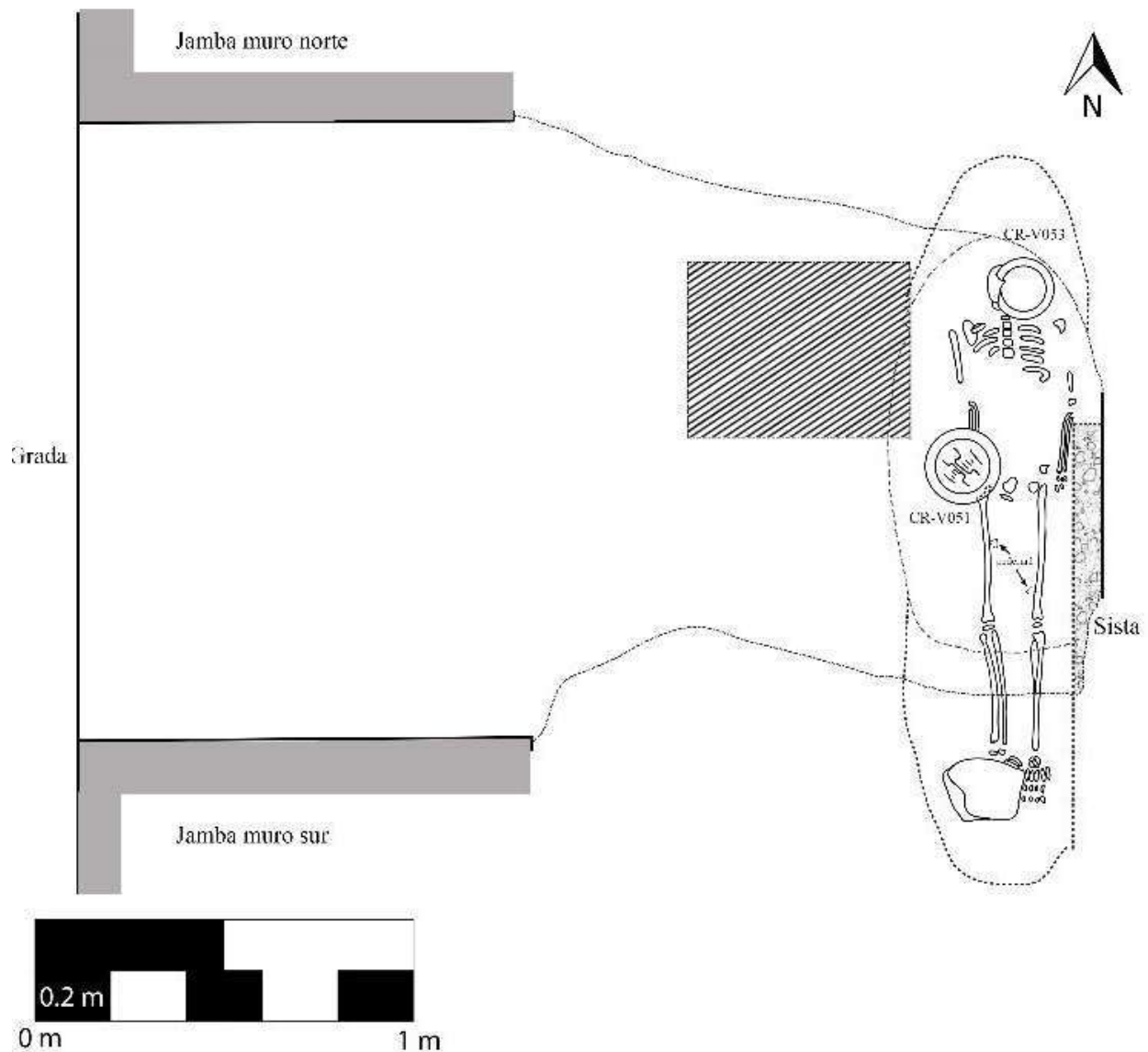


Figura 4.7. Planta de interior del cuarto 1 de estructura 13Q-40 y Entierro 17

Los restos óseos corresponden a un hombre, joven (Erin Patterson, comunicación personal) de 1.37 m de alto. Poseía dos vasijas a manera de ajuar funerario; un cuenco café-negro (CR-V53) colocado boca abajo sobre el rostro del joven y un plato anaranjado con un diseño pintado conocido como “Elemento de la Corona” (CR-V51) colocado sobre su mano izquierda (Figuras 4.7 y 4.8). Ambos se encontraron completos pero fragmentados, por el peso del relleno. También se encontraron dos fragmentos de pedernal cortados en triángulos, cada uno al lado de la parte interna de cada fémur del individuo. Se identificó también una piedra a inmediaciones de los pies, y se constató que esta se encontró allí antes de ingresar el cuerpo del joven, puesto que su pie derecho cayó de lado, sobre su pie izquierdo, por la presencia de esta piedra. Aunque se encontró fragmentos de cerámica bajo el entierro y a los lados (Estrato 6), se considera que éstos se tratan de fragmentos del relleno cortado de la subestructura y no al entierro en sí, ya que se encontraron en su totalidad en la sección sur del entierro, hacia el interior de la subestructura. El entierro es de carácter primario, en una cista improvisada y excavada luego de la construcción del cuarto (por lo cual se debió de romper el piso y la pared de la subestructura), puesto que no fue sellada con piso sino con relleno. Esto, sumado a la relativa pobreza del ajuar funerario, apoya la idea que se trata de una ofrenda a la estructura, posiblemente como parte de su clausura.

Estrato	Fragmentos de cerámica
CR200-1-1-4 (piso cortado)	12
CR200-1-1-5 (relleno de subestructura cortada)	0
CR200-1-1-6 (relleno alrededor del entierro)	682

Tabla 4.7 Materiales CR-200-1-1

Como ya se mencionó, para la colocación del Entierro 17 se cortó la pared de una subestructura (13Q-4O-Sub1), reutilizándola como cista. El relleno de la misma que se encontraba hacia la sección sur del entierro presentaba una gran densidad de cerámica, por lo cual se decidió extender las excavaciones en esta dirección. Como resultado, se reveló la parte interior de un cuarto que presentaba en sus paredes restos de pintura mural (Figuras 4.9 y 4.10). Estas pinturas de tipo geométrico muestran líneas moradas sobre un fondo blanco que forman patrones rectangulares; también se observan dos cuadros con fondo rojo, y algunos círculos con líneas moradas y fondo verde/azul (este color es el menos conservado por lo que cuesta distinguirse). Estas pinturas se encuentran sobre el estuco que recubre las paredes de un cuarto.



Figura 4.8 Sección torácica del Entierro 17, detalle en mala conservación de huesos (Fotografía por E. Bustamante)



Figura 4.9 Pinturas murales en la pared norte del Cuarto 1, Subestructura 13Q-40-Sub1 (collage fotográfico por E. Bustamante)

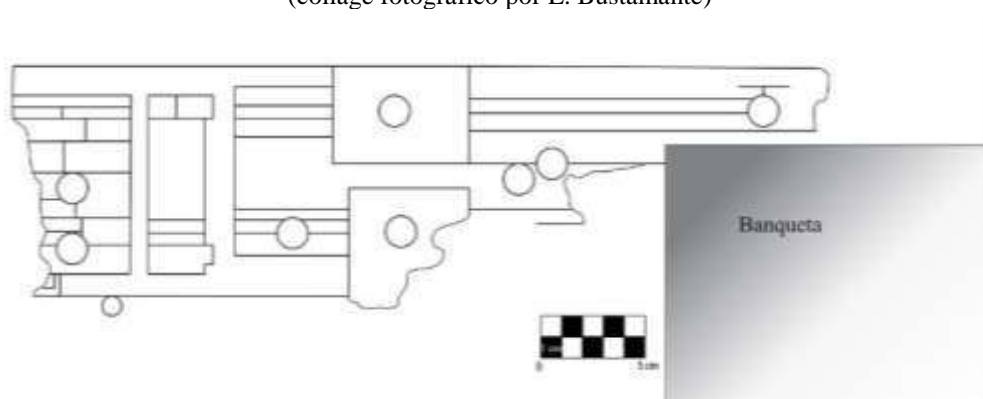


Figura 4.10 Detalle de pinturas murales en la pared norte del Cuarto 1, Estructura 13Q-40-Sub1 (Dibujo por E. Bustamante)

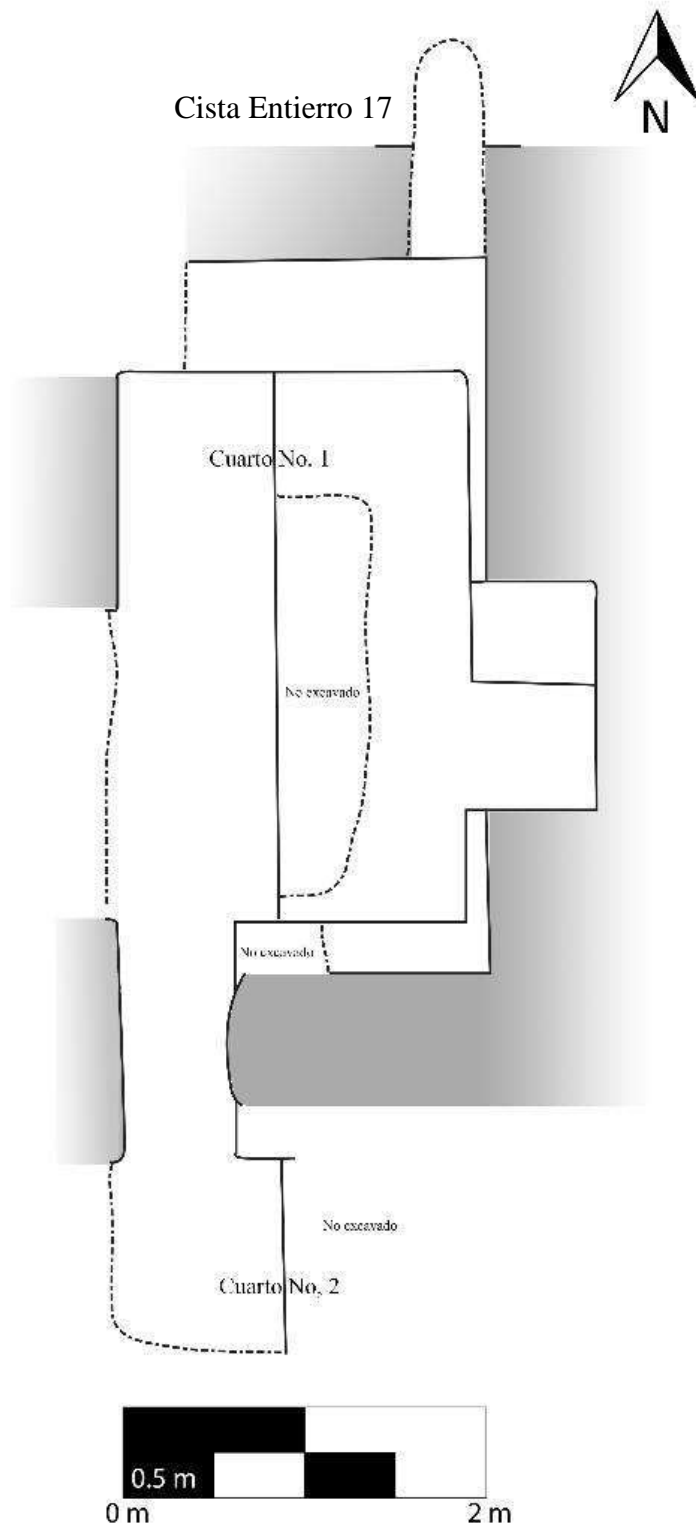


Figura 4.11. Planta de la Estructura 13Q-40-Sub1
(Dibujo por E. Bustamante)

Por la presencia de estos rasgos, se decidió realizar una exploración más extensiva del cuarto, para tratar de determinar si existían otras pinturas de este tipo. Como resultado se descubrió que el cuarto posee una banqueta ancha, que ocupa toda la longitud del mismo y que tiene dos secciones de “nicho”, una en la pared norte y otra en la pared oeste del mismo (Figuras 4.11 y 4.12). Aunque se lograron identificar otras pinturas murales en distintas secciones de la subestructura, ninguna otra presentaba un buen grado de conservación, por lo cual solo se observaban secciones con color pero no se logró la identificación de ningún patrón.

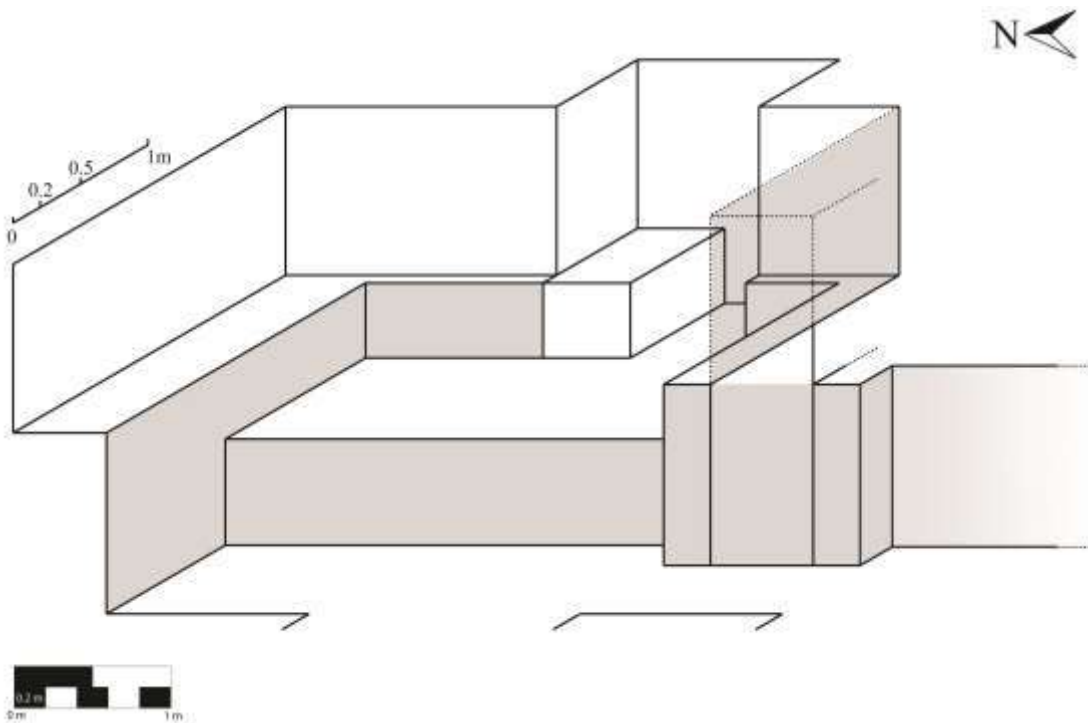


Figura 4.12. Isométrico a 30° de la Estructura 13Q-4O-Sub1. Se muestra en gris las paredes con evidencia de pintura mural (Dibujo por E. Bustamante)

Además de las pinturas murales también se logró recuperar un gran número de fragmentos cerámicos, huesos de animales y algunos objetos líticos. Pero a diferencia de otros sectores del palacio, todos los artefactos aquí encontrados parecían ser de objetos de élite (fragmentos de cerámica polícroma, artefactos de hueso y artefactos de pedernal de alta calidad). Dentro de éstos artefactos sobresale un bifacial de pedernal “chocolate”, importado de Calakmul (Figura 4.13a) (Alejandra Roche, comunicación personal), una sección de una aguja tallada en hueso (Figura 4.13b) y la cornamenta de un venado tallada (Figura 4.13c). Por la presencia de éstos y otros materiales de alta calidad se considera este cuarto como un depósito de élite.

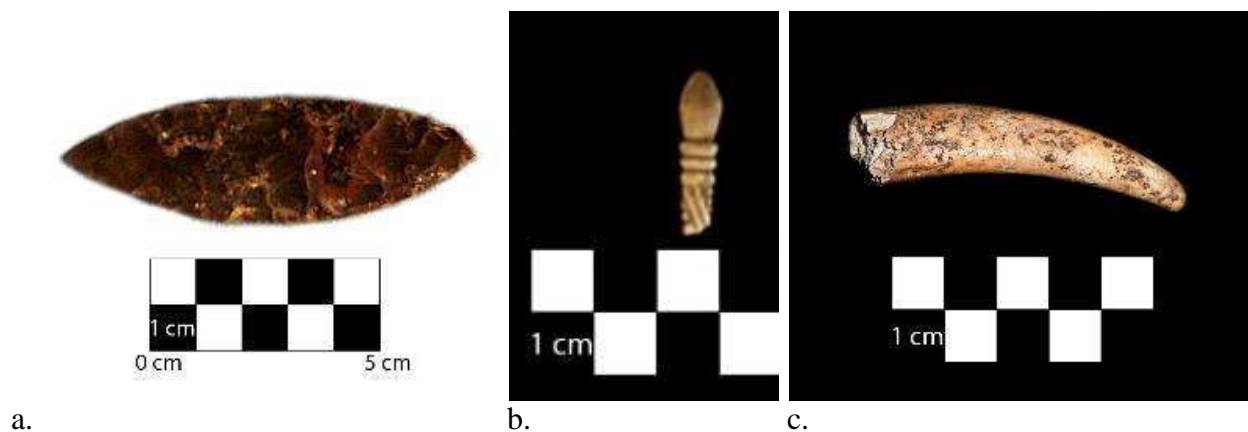


Figura 4.13 a: Bifacial de pedernal "chocolate", b. Sección de aguja de hueso tallado
 c. Sección de cornamenta de venado tallada (Fotos por E. Bustamante)

En resumen, la Estructura 13Q-4O-Sub1 presenta dos cuartos conectados por un corredor interno, ambos con entradas desde el este. Por lo menos el Cuarto 1 o Cuarto Norte presenta una banqueta que se extiende por todo el interior. El Cuarto 2 o Cuarto Sur no ha sido excavado en su totalidad, pero por los rasgos encontrados se considera que sería un cuarto con características similares al anterior. Tanto las banquetas, así como varias de las paredes del Cuarto 1 presentan decoración con pintura mural, la cual en su mayoría parece ser de carácter geométrico. Sin embargo, a excepción de las pinturas de la pared norte del Cuarto 1 (Figuras 4.11 y 4.12), ninguna otra presenta gran conservación, por lo que no se ha podido reconocer patrones en ellas. Aunque las pinturas de la pared sur del Cuarto 1 podrían presentar motivos antropomorfos y las pinturas de la columna que divide el Cuarto 1 del Cuarto 2 podría presentar glifos, futuras investigaciones explorarán con más detalles estas dos paredes.

Por la gran densidad de materiales encontrados en el relleno de este cuarto se decidió separar el material en dos estratos diferentes, diferenciados arbitrariamente. A los materiales encontrados sobre la banqueta del Cuarto 1 se les asignó el Estrato 7 mientras que a los materiales encontrados sobre el piso de la subestructura fueron colocados en el Estrato 8.

Estrato	Fragmentos de cerámica
CR200-1-1-7 (sobre banqueta)	795
CR200-1-1.8 (en piso)	983

Tabla 4.8 Materiales CR-200-1

Unidad CR200-2

Como la Estructura 13Q-4O se desconocía totalmente, se decidió hacer un pozo de sondeo de 2 x 1 m en eje con la pared exterior del Cuarto 1, con el objetivo de determinar si la pared seguía. De ser así, podría que se tratase de una estructura tipo galería con varios cuartos con acceso desde el oeste. Dicho pozo de sondeo se nombró CR200-2 y fue colocado en la parte posterior de la superestructura 13Q-4E (Figuras 4.1 y 4.2). Al igual de inesperado que la unidad CR200-1, este pozo también reveló la existencia de un segundo cuarto (Cuarto 2) de las mismas dimensiones, apoyando a la hipótesis que la estructura 13Q-4O se trata de una galería de múltiples cuartos, similar a la estructura 13Q-4A que ocupa una posición comparable a esta estructura pero en la fachada este del palacio. La unidad CR200-2 presentó la misma estratigrafía que el otro pozo: un estrato de derrumbe a las afueras del cuarto y un relleno sin cerámica en el interior. De forma similar al Entierro 17, se recuperó un cráneo posicionado frente a la pared posterior del cuarto y con vista hacia el frente. El cráneo se encontró completo pero durante la excavación se fragmentó en varios pedazos. Este correspondía a un posible hombre adulto/joven (Erin Patterson, comunicación personal) y no se encontraron otros huesos a los alrededores.

Estrato	Fragmentos de cerámica
CR200-2-1-1 (Humus)	26
CR200-2-1-2 (derrumbe)	84
CR200-2-1-3 (interior del cuarto)	0

Tabla 4.9 Materiales CR-200-2

Conclusiones y consideraciones finales

Hasta ahora se desconocía cualquier rasgo sobre la parte oeste del palacio, puesto que anteriormente ésta se consideraba como una sección desocupada y posterior; sin embargo, la nueva evidencia obtenida en la presente temporada ha demostrado que fue una sección con gran importancia y predominancia dentro de este complejo arquitectónico de la Plaza Principal.

La existencia de un grupo cerrado, antes no identificado, que se encuentra adjunto a esta fachada del palacio, así como los rasgos identificados en la parte superior del basamento (el posible “balcón” del tercer cuerpo y una galería de cuartos en la fachada de 13Q-4O) pueden indicar un uso de carácter semiprivado de esta sección. Aunque las exploraciones en la Estructura 13Q-4O aún comienzan, se pueden observar algunos paralelismos con la Estructura

13Q-4A en la fachada este del Palacio. Ambas presentan galerías con múltiples cuartos. En años anteriores se ha considerado que la 13Q-4A servía como un palacio de presentación (Padilla y Bustamante 2011). De manera similar, la Estructura 13Q-4O puede tratarse de un espacio de recepción de visitantes, pero al contrario de la Estructura 13Q-4A que se abre a la plaza pública del sitio, la Estructura 13Q-4O pudo albergar visitas con un carácter más privado.

La importancia de esta sección del palacio también se ve reflejada con las muestras decorativas de piedra tallada y estucos modelados que se encontraron frente a las paredes de la Estructura 13Q-4O. Además, la existencia del Entierro 17 y el cráneo colocado en el Cuarto 2 presentan un carácter ceremonial, a manera de ofrenda a la estructura, y son rasgos de los cuales carece la Estructura 13Q-4A. Asimismo, la existencia de pinturas murales en la versión anterior de la Estructura 13Q-4O y un depósito de artefactos de gran calidad remarca la importancia de este sector. Puesto que por el momento aún solo se cuenta con excavaciones exploratorias, se requiere de más investigaciones para tener un cuadro completo de este sector del palacio.

CAPÍTULO V

INVESTIGACIONES EN LOS PATIOS NORESTE Y NOROESTE DEL PALACIO DE LA CORONA

Maxime Lamoureux St-Hilaire

Introducción

Los palacios y sus "cortes reales" asociadas son considerados como el corazón de las esferas políticas y económicas de la organización política maya (Harrison 1970; Inomata y Houston 2001; Proskouriakoff 1960). El desarrollo, tanto de forma, como de función de los palacios reales es un amplio reflejo de la organización sociopolítica de los Mayas del Clásico. Nuestro entendimiento de estas antiguas instituciones proviene en su mayoría de modelos construidos en base a la iconografía y epigrafía palaciega, la cual se encuentra presente en varios palacios de todo el Mundo Maya (p.e. Delvendahl 2010:104-105, Folan et al. 2001, Inomata y Triadan 2010). Mientras la iconografía palaciega retrata una gran cantidad de personajes (reyes, cortesanos, visitantes, señores subordinados, sacerdotes, damas, guerreros, prisioneros, escribas, músicos, y enanos; Delvendahl 2010: 101), las escenas en las que éstos aparecen son limitadas a los cuartos de trono. Aunque el cuarto de trono ciertamente representa el nexo en las actividades reales, las investigaciones arqueológicas en los palacios a través del Mundo Maya claramente indican la existencia de una variedad de estructuras dentro de los grupos palaciegos. Este capítulo reporta la segunda temporada de excavaciones que se han llevado a cabo en la sección norte del palacio real de La Corona. Esta investigación busca entender esta sección del palacio tanto en forma como en función. Anteriormente, en las excavaciones llevadas a cabo en 2013, se expuso lo que parece ser el cuarto del trono (Lamoureux St-Hilaire 2014), por lo que este año las investigaciones fueron llevadas a cabo para exponer diferentes elementos estructurales y arquitectónicos que se encuentran asociados al "gobierno" de La Corona.

El palacio real de La Corona se encuentra localizado en el límite oeste de la Plaza Principal del sitio y consiste en una acrópolis de 90 m de largo por 60 m de ancho y cerca de 6 m de alto. Esta acrópolis palaciega –la cual posee al menos tres grandes fases constructivas– contiene una estructura piramidal en su centro, la Estructura 13Q-4E, que se

eleva por casi 10 m sobre la Plaza Principal. A los alrededores de esta estructura piramidal se pueden encontrar cuatro diferentes grupos arquitectónicos. El Patio Sur es un corredor estrecho, clausurado por las estructuras 13Q-4C y 13Q-4D, y probablemente una escalinata que conecta el interior del palacio con la parte sur de la plaza, sección donde se encuentra la “Aguada Real”. El Patio Este es estrecho y está delimitado por las estructuras 13Q-4A, 13Q-4E y la entrada principal del palacio, la cual comprende una escalinata central que desciende hasta la Plaza Principal (Padilla 2009, 2010). El Patio Noreste es el único grupo arquitectónico que posee un patio formal; se encuentra definido por las estructuras 13Q-4B, 13Q-4F y 13Q-4G –que se encuentran dispuestas ortogonalmente y a una menor altura que el resto de la arquitectura del palacio. Un último grupo con patio ocupa el cuadrante noroeste del palacio. Este Patio Noroeste posee una forma de “T”, y es el único grupo arquitectónico del palacio que posee tanto arquitectura con bóvedas – estructuras 13Q-4F y 13Q-4G – así como estructuras percederas evidenciadas por montículos bajos (estructuras 13Q-4H y 13Q-4I). Se considera que este último grupo incluye una escalinata con dirección al oeste, conectando con una pequeña plataforma que se encuentra adherida en la sección posterior del palacio – Estructura 13Q-4J -, la cual mide alrededor de 10 x 10 x 2 m. Esta pequeña plataforma ahora es considerada como parte de un patio cerrado de grandes dimensiones, que se encuentra definido por una plataforma baja de gran tamaño en la parte sur y otra plataforma baja y alargada en el límite oeste del patio. Ambos montículos recientemente mencionados aún carecen de una asignación dentro de la nomenclatura del sitio, pero es obvio que su función estuvo directamente relacionada con el palacio (Figura 5.1).

Durante la temporada de campo 2014 se reabrieron seis unidades que expusieron rasgos arquitectónicos en la temporada 2013, y se continuó la excavación de un pozo estratigráfico en el patio. Para ser consistentes se empieza con la descripción de la expansión de la unidad CR20F-4, el cual es un pozo a nivel de patio cuya excavación inició en 2013. Después se reportan las excavaciones de las unidades CR20F-7 y CR20F-8, ambas ubicadas en cada uno de los cuartos adyacentes al pasillo y cuarto de trono identificados también en 2013. Finalmente se describen las excavaciones de tres unidades localizadas en los tres montículos bajos localizados en el Patio Noroeste: Unidades CR20H-1 (Estructura 13Q-4H-1), CR20H-2 (Estructura 13Q-4H-2) y CR20I-1 (Estructura 13Q-4I).

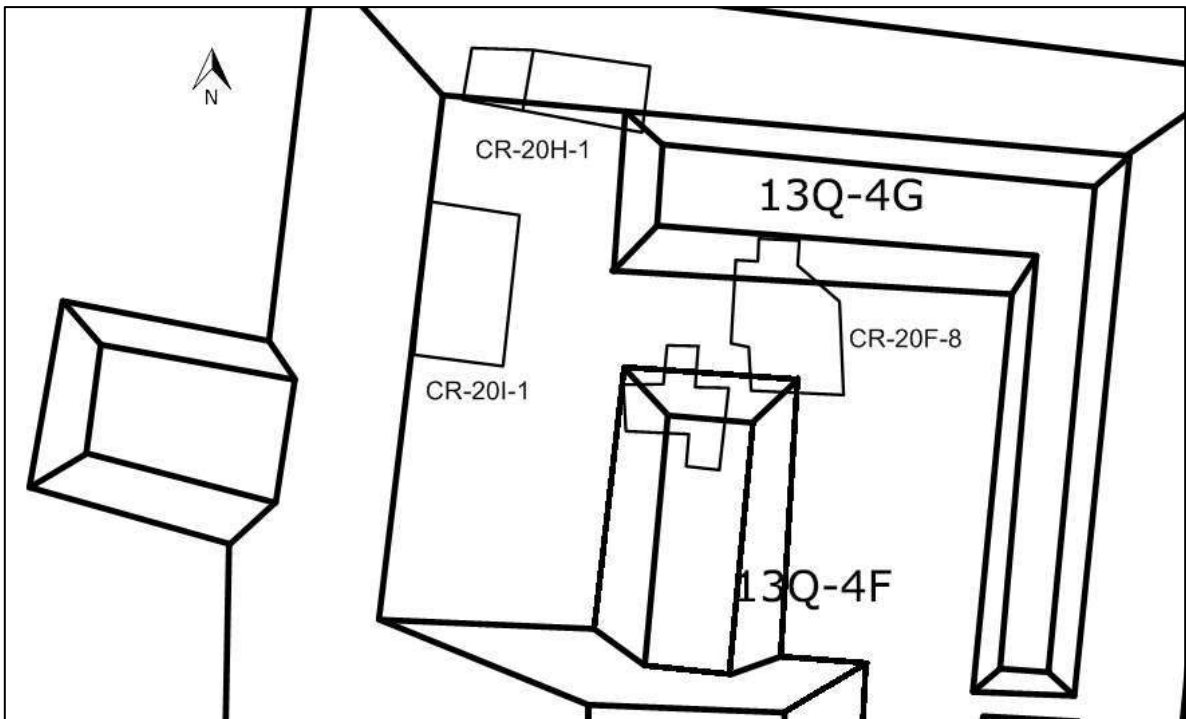
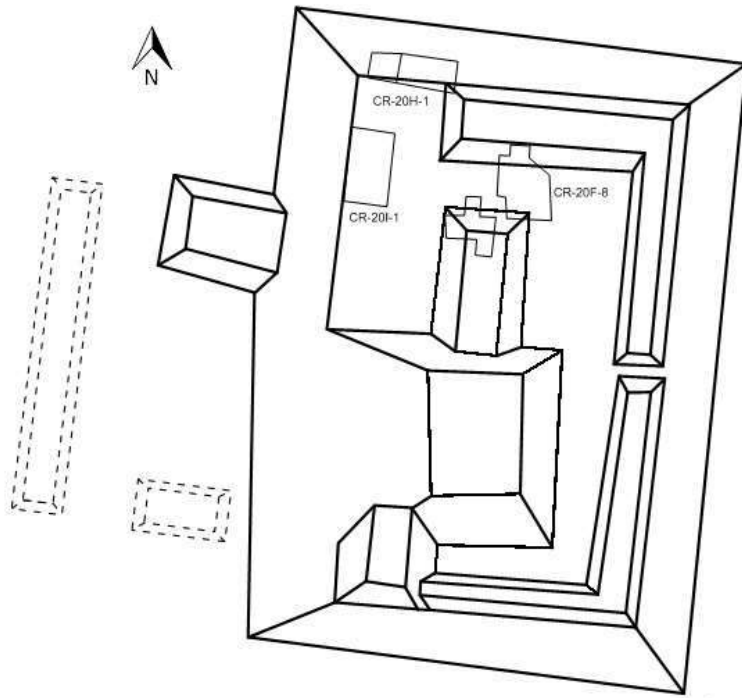


Figura 5.1 Plano del palacio mostrando excavaciones en 2014 y croquis del nuevo patio descubierto (Mapa por E. Bustamante y M. Lamoureux)

Investigaciones en el Patio Noroeste

Unidad CR20F-4 (Piso de patio)

Este pozo de 2 x 2 m se encuentra ubicado a 1 m al este del pasillo frontal de la Estructura 13Q-4F, siguiendo el eje central. La excavación de la unidad CR20F-4 responde a tres objetivos principales: 1) Documentar la cronología del patio y verificar la existencia de la penúltima (Cocochan) y antepenúltima (Canario) fase del palacio, anteriormente reconocidas en la porción sur del palacio y con posibles extensiones hacia la porción norte del mismo; 2) Si es posible, explorar bajo la fase Canario con objetivo de identificar la existencia de una fase constructiva anterior o si la fase Canario se asienta sobre la roca madre; y 3) Preparar el terreno para el inicio de un sistema de túneles, el cual estará dirigido a la exploración y documentación de versiones más tempranas de la estructura 13Q-4F. Durante la temporada 2013, debido a limitantes de tiempo, esta unidad tuvo que ser detenida a una profundidad de 1.96 m. Dado que se deseaba continuar con la excavación, esta unidad no fue rellenada, sino fue tapada con la construcción de una tarima; esto permitió la continuación de la excavación en 2014.

El nivel 3 de la unidad corresponde al patio terminal (lote CR20F-4-3) y se encontraba ya expuesto cuando la unidad fue reabierto. Consistía en el relleno constructivo bajo el piso terminal del patio, asentado a 1.96 m por debajo de la superficie. Esto permitió confirmar que este nivel corresponde a la Fase Tucán, reconocida previamente en la sección sur del palacio. El relleno consiste en piedras medianas y grandes entremezcladas con pequeñas cantidades de barro café oscuro. Esto permitió que el relleno se encontrara suficientemente seco y relativamente estable. Un muro de contención (Figura 5.2) fue identificado con orientación norte-sur en el centro de la unidad; dada su dureza fue necesario dejarlo en su lugar y realizar una extensión de la unidad de 1 x 2 m. El nivel 3 alcanzó una profundidad total de 1.95 m. Una delgada capa compuesta de una mezcla grisácea de tierra, piedra caliza descompuesta y estuco se encontró sobre el penúltimo piso. Los artefactos recuperados durante la excavación del nivel 3 consisten en un lote de 340 fragmentos de cerámica, cuatro fragmentos de pedernal y un fragmento de navaja de obsidiana. Un análisis preliminar de la cerámica¹ indica que este nivel se encuentra fechado para las fases Tepeu 1 y Tepeu 2, o Clásico Tardío.

¹ Todo el análisis preliminar de cerámica fue realizado por Caroline A. Parris

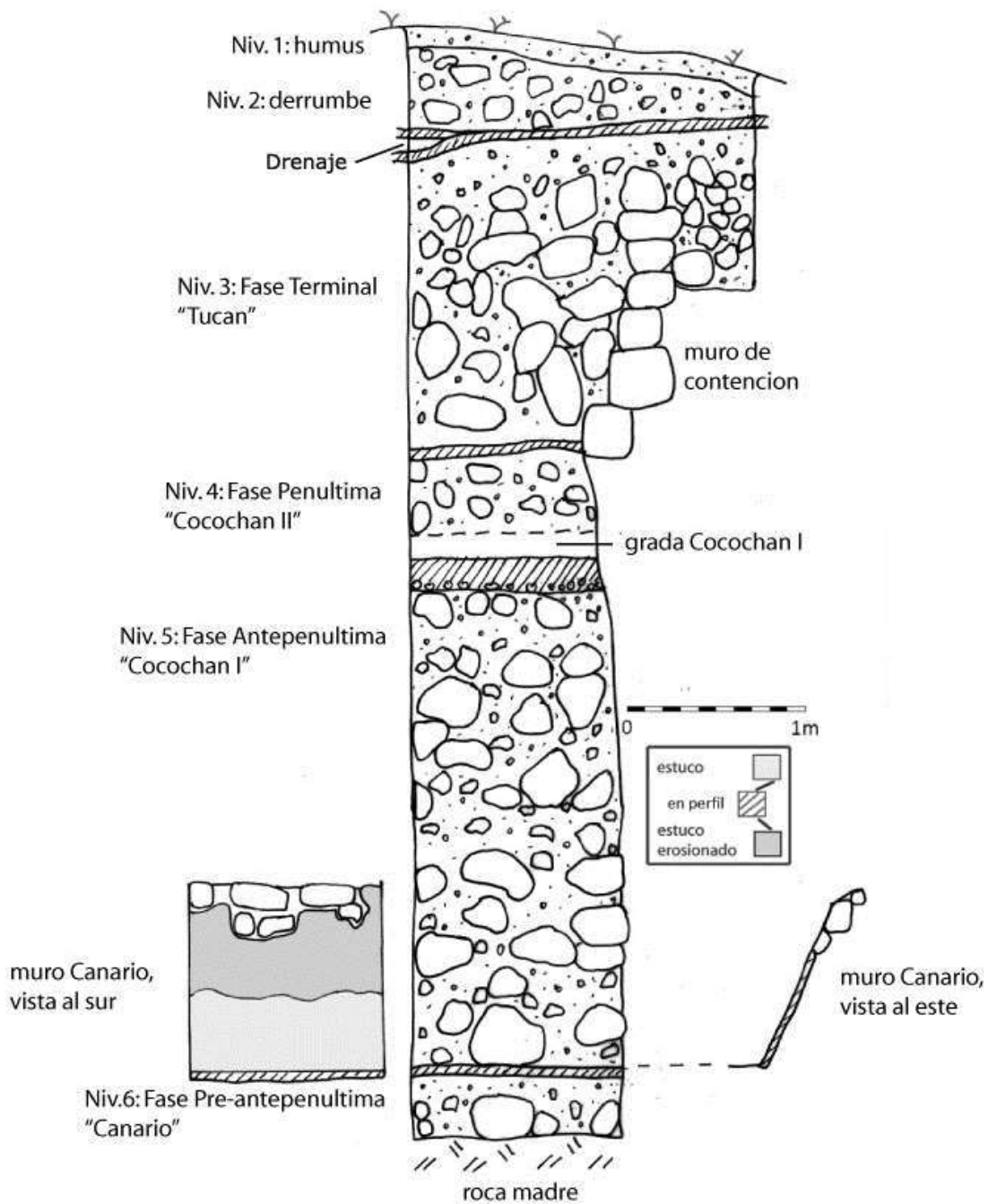


Figura 5.2 Perfil norte de la Unidad CR20F-4 (Dibujo por M. Lamoureux St-Hilaire)

El nivel 4 corresponde al nivel del penúltimo patio, el cual se asienta a 6.1 m bajo el *datum* de la unidad y corresponde al lote CR20F-4-4. Este nivel consiste en un piso de estuco relativamente bien conservado de 0.07 m de grosor en promedio; aún pueden observarse pequeños remanentes de pintura roja en la superficie del mismo. Se considera que este piso es en cierta medida contemporáneo con la penúltima fase identificada en la sección sur del palacio, denominada Coccochan, por lo cual fue nombrado como Coccochan II. El relleno constructivo de Coccochan II consiste en una mezcla de piedras medianas, pedrín, y una capa densa de barro café oscuro. Este nivel alcanzó un grosor de 0.58 m. Los artefactos recuperados durante la excavación del nivel 4 consisten en un lote de 154 fragmentos de cerámica, cuatro fragmentos de pedernal y un fragmento de una cuchilla de obsidiana. El análisis preliminar de cerámica indica que este nivel puede ser fechado para las fases Tepeu 1 y Tepeu 2, o Clásico Tardío.

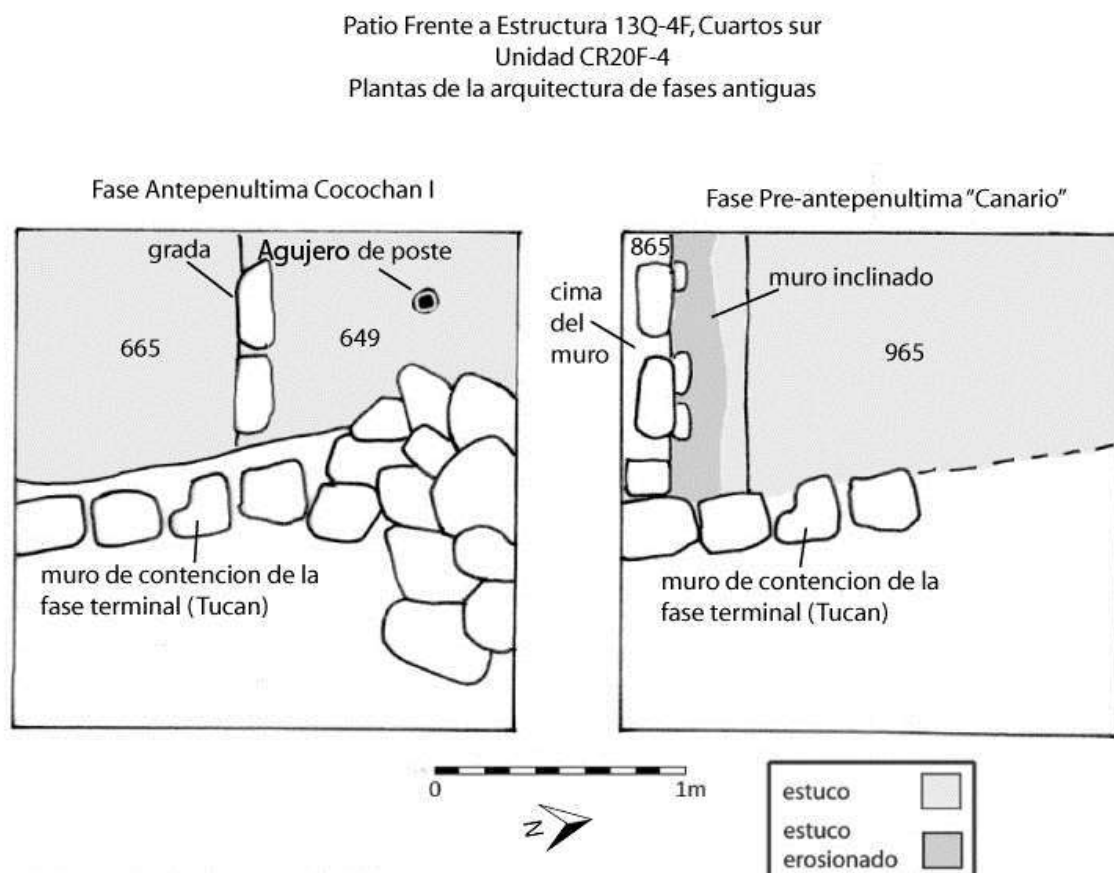


Figura 5.3 Planta del nivel 3 y 5 de la Unidad CR20F-4 (Dibujo por M. Lamoureux St-Hilaire)

El nivel 5, que pertenece al antepenúltimo piso del patio, se asienta a 6.65 m bajo el nivel del *datum* y corresponde al lote CR20F-4-5. Este nivel consiste en un piso muy grueso (0.18 m en promedio), que presenta una pequeña grada (0.16 m) que se eleva hacia la parte norte de la unidad (Figura 5.3). La erosión presente alrededor de la arista de la grada indica que ésta fue construida con piedras y no estrictamente de estuco. Este antepenúltimo nivel también fue encontrado muy cerca del piso penúltimo, coincidiendo con la antepenúltima fase arquitectónica encontrada en la sección sur del palacio, denominada Canario. Sin embargo, este fue llamado como Coccochan I, puesto que se piensa que puede estar más correlacionado con la penúltima fase arquitectónica. El relleno constructivo encontrado bajo Coccochan I consiste en una capa de balasto superpuesto a una matriz compuesta de mezcla de piedra mediana, cantos rodados y barro muy oscuro. El nivel 5 tuvo una profundidad de 2.80 m. Un lote de 226 fragmentos de cerámica y un lote de 36 huesos de animal fueron recuperados del nivel 5. Un análisis preliminar de la cerámica indica que este nivel data para la fase Tepeu 1, o Clásico Tardío.

El nivel 6 es el previo al antepenúltimo piso de plaza, se asienta a 9.65 m bajo el nivel del *datum* y corresponde al lote CR20F-4-6. Este nivel corresponde a un piso de estuco relativamente bien conservado que presenta un grosor promedio de 0.07 m, el cual remata en una pared de 1 m de alto que se encuentra directamente bajo el límite sur de la unidad. La pared se inclina hasta 0.4 m y el estuco original se encuentra totalmente erosionado en la parte superior de la misma. Se desconoce cuál fue la naturaleza de la estructura a la cual pertenecía este muro, pero parece ser que corresponde al límite norte de una pequeña plataforma que se extendía hacia el sur. Esta fase arquitectónica ha sido asignada a la Fase Canario, reconocida en la sección sur de la acrópolis palaciega. El relleno constructivo de este pre-antepenúltimo nivel consiste en barro arcilloso color café oscuro, entremezclado con algunas piedras medianas y cantos rodados. El nivel 6 fue de 0.4 m de profundidad. La roca madre fue alcanzada bajo el nivel 6, lo que indicó la finalización de la excavación de la unidad 4 durante la temporada de campo 2014. Un lote de 151 fragmentos de cerámica y 24 fragmentos de hueso animal fue recuperado del nivel 6. El análisis cerámico preliminar indica que este nivel es fechado para la fase Tepeu 1, o Clásico Tardío.

Unidad CR20F-7 (Cuarto Noroeste de la Estructura 14Q-4F)

La unidad CR20F-7 fue realizada como una continuación de las excavaciones enfocadas en la exposición de arquitectura, que identificaron el cuarto del trono en el Edificio 13Q-4F en 2013. Hacia el final de la temporada 2013 se identificó un “cuarto sellado”, el cual fue parcialmente excavado por la sub-unidad CR20F-6 (Lamoureux St-Hilaire 2014). Las excavaciones revelaron que este “rasgo” bloqueado no correspondía a un cuarto en sí mismo, pero más bien un pequeño “closet” que fue creado bloqueando el espacio localizado directamente al norte del trono. Este espacio tenía un acceso a través de un pequeño pasaje situado en la esquina sureste de un cuarto largo denominado como el “Cuarto Noreste”, dada su localización. El Cuarto Noreste se encuentra orientado perpendicularmente hacia los otros tres cuartos de la Estructura 13Q-4F, y delimita un espacio transicional abierto o patio que conduce hacia el patio noroeste. La extensión original de la unidad CR20F-8 fue expandida varias veces siguiendo la arquitectura original y una pequeña porción del Patio Noroeste, frente a la puerta del Cuarto Noroeste. Cuatro pozos de sondeo fueron abiertos dentro de la unidad CR20F-7 para documentar la cronología constructiva del Cuarto Noreste. El pozo 1 (1 x 1.5 m) fue ubicado dentro de la banca; el pozo 2 (1 x 1 m) se colocó en la puerta del cuarto; el pozo 3 (0.6 x 0.5 m) fue ubicado en el "closet" y pegado al muro; y el pozo 4 (0.25 x 0.25 m) se localizó adyacente al frente de la banca.

El nivel 1 fue el estrato de humus y corresponde al lote CR20F-7-1. Su matriz se encontraba compuesta de barro café oscuro, rico en material orgánico, incluyendo una gran cantidad de raíces, así como piedrín y grava. La profundidad del estrato de humus varió entre los 0.05 y 0.1 m. El lote CR20F-7-1 contuvo solamente 13 fragmentos de cerámica.

El nivel 2 corresponde al estrato de derrumbe y a los lotes CR20F-7-2, 7-3, 7-6, y 7-7. Su matriz corresponde en una mezcla de grava, piedra de canto, piedra tallada y barro café claro entremezclado con raíces. El estrato de derrumbe tuvo una profundidad que varió entre 0.30 y 1.6 m. Una gran cantidad de piedras talladas fueron encontradas en este nivel, incluyendo varias piedras planas y largas que fueron indudablemente parte del ápice del dintel de la bóveda del cuarto. Interesantemente, algunas de las piedras talladas encontradas durante la excavación presentaban señas de haber estado esculpidas. Los diseños esculpidos eran simples y parecían representar versiones iniciales de monumentos esculpidos que

fueron descartados o quebrados, pero que pudieron ser reutilizados para trabajos de mampostería. La presencia de estos monumentos esculpidos descartados puede indicar la posibilidad de un taller de tallado de piedra en las vecindades de la Estructura 13Q-4F. El nivel 2 alcanzó una profundidad entre los 0.30 y 1.65 m. El lote CR20F-7-2 (derrumbe dentro del "closet"), contuvo 41 fragmentos de cerámica, cuatro huesos de animal y un fragmento de concha. El lote CR20F-7-3 (derrumbe del cuarto) incluyó 357 fragmentos de cerámica, un fragmento de figurilla, tres fragmentos de obsidiana, un hueso animal, un fragmento de pedernal y cuatro fragmentos grandes de piedra tallada. En el lote CR20F-7-6 (derrumbe de la puerta norte) se recuperaron 62 fragmentos de cerámica, dos fragmentos de obsidiana y cinco fragmentos de pedernal. El lote CR20F-7-7 (derrumbe sobre el área del patio frente a la puerta) incluyó 78 fragmentos de cerámica.

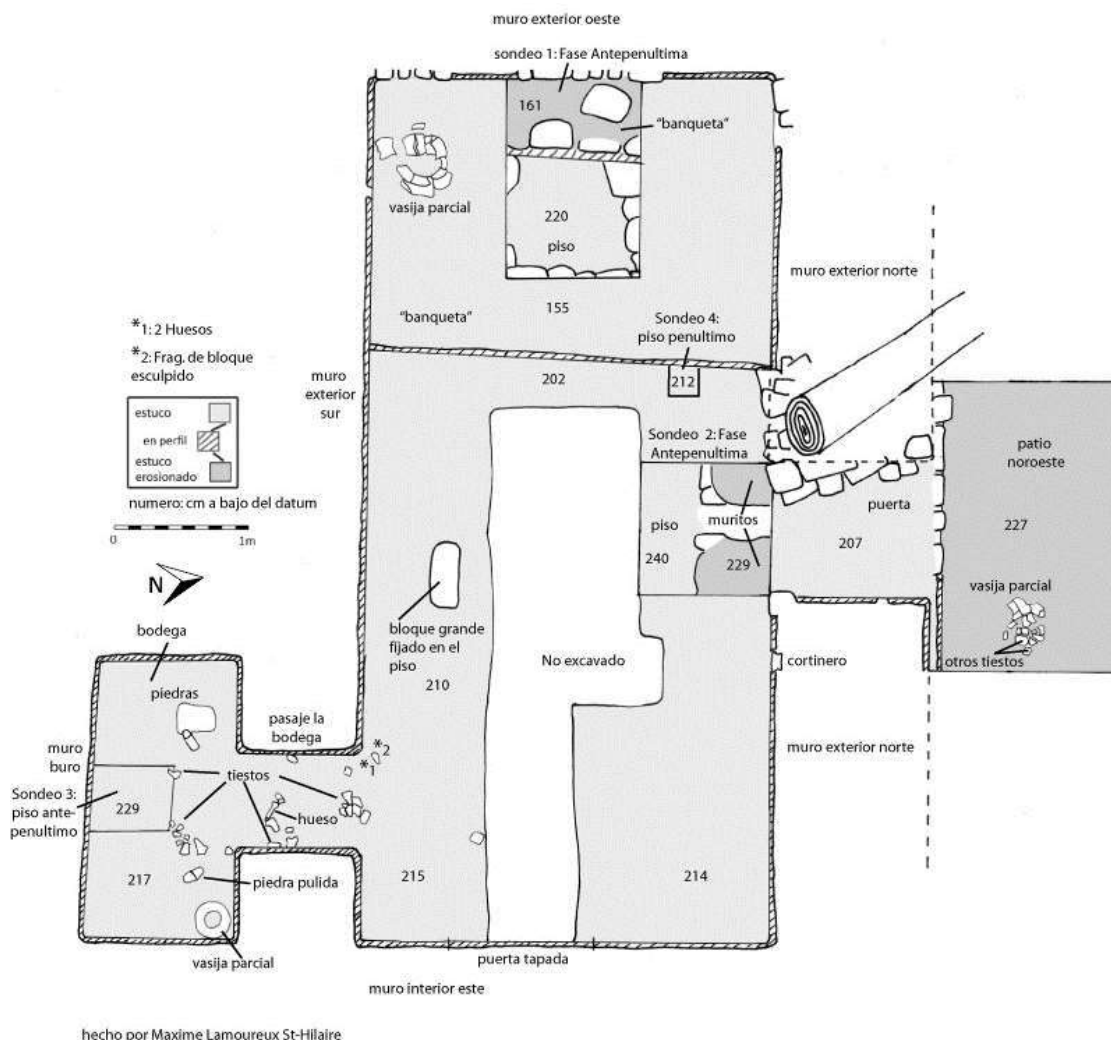


Figura 5.4. Planta de la Unidad CR20F. Arquitectura terminal del Cuarto Noroeste de la Estructura 13Q-4F (Dibujo por M. Lamoureux St-Hilaire)

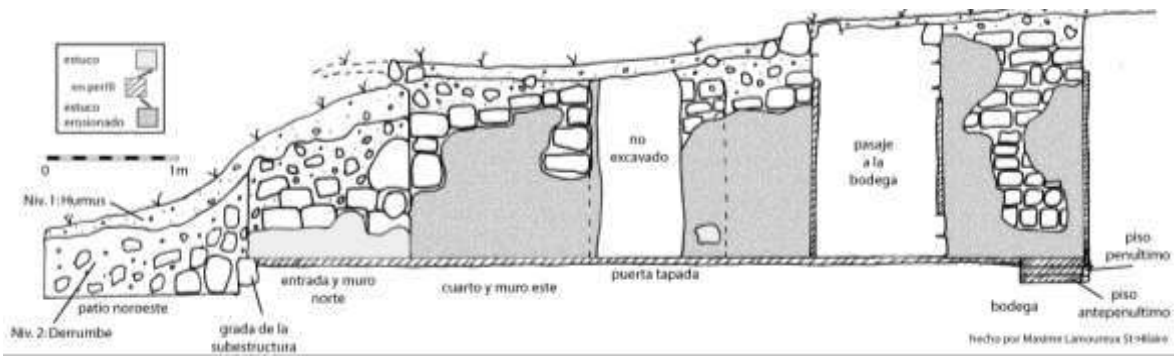


Figura 5.5 Perfil este de la Unidad CR20F-7, Cuarto Noroeste Estructura 13Q-4F
(Dibujo por M. Lamoureux St-Hilaire)

El nivel 3 corresponde a la arquitectura terminal del cuarto (Figuras 5.4, 5.5 y 5.6) y fue dividido en tres componentes. El primer componente –Lote CR20F-7-4 –es el depósito sobre el piso, que consta de importante material encontrado entre los 0.05 y 0.3 m sobre el nivel de piso. El segundo componente –Lote CR20F-7-5 – también se define como parte del mismo depósito, pero ubicado directamente sobre el piso de la ocupación terminal. El tercer componente –Lote CR20F-7-8, 7-11 y 7-14 – se define como los rasgos arquitectónicos.

El Cuarto Noreste mide cerca de 6.4 x 3 m., siendo el cuarto más amplio con techo abovedado excavado hasta ahora en el palacio y posiblemente el más largo también. Esta amplitud debió de requerir un techo abovedado grande, lo cual es corroborado por los anchos muros del cuarto. El muro noroeste, con un grosor de 1.15 m, debió servir como soporte para tal techo, mientras que el muro sur, con un grosor de 0.95 m, fue reforzado por el muro perpendicular al cuarto del trono. Efectivamente, las paredes del cuarto se encontraban bien conservadas, con partes de los muros este y sur con una altura mayor a 1.70 m, y parte del muro norte con una altura mayor a 1.5 m. El acceso al Cuarto Noreste era originalmente de 1 m de ancho, pero el crecimiento y caída de un árbol sobre la sección oeste de la puerta destruyó completamente esta sección (Figura 5.6). Consecuentemente, los elementos de la arquitectura terminal fueron destruidos. El cuarto fue construido sobre una plataforma baja (0.27 m de altura), con un escalón que baja al Patio Noroeste. El tercio oeste del cuarto se encontraba ocupado por una banca de gran tamaño, de unos 6 m², diseño simple y con una altura de 0.54 m durante la fase constructiva terminal. El “closet” se

localiza en la esquina sureste del cuarto y el acceso es a través de un pasillo estrecho (0.68 m de ancho). Como se mencionó anteriormente, este "closet" fue formado tras la construcción de un muro en el límite norte del trono. Originalmente una puerta permitía la circulación de individuos entre la Habitación Frontal y el Cuarto Oeste, pero eventualmente este acceso fue bloqueado (ver más adelante). La profundidad del nivel 3 dentro del pozo 2 alcanzó entre los 0.11 y 0.13 m, mientras que el pozo 3 alcanzó los 0.08 m de profundidad en este nivel. El relleno constructivo del nivel fue compuesto mayormente por barro amarillento mezclado con grava y piedrín.

Se recuperó todo el material en el relleno del "closet", y se hallaron varios depósitos de materiales directamente sobre su piso, a lo largo del acceso y en la esquina suroeste de la banca. En lo que respecta a la arquitectura terminal, el lote CR20F-7-8 corresponde al cortinero extraído del muro del cuarto. El lote CR20F-7-11 se definió como el material encontrado en el relleno del piso terminal, excavado en el pozo 2, frente a la puerta. Finalmente, el lote CR20F-7-14 incluye el material encontrado en el relleno del piso terminal excavado en el pozo 3, localizado en el "closet".

El lote CR20F-7-4 (material sobre el suelo), incluyó 58 fragmentos de cerámica (mayormente fragmentos de una vasija de cuello restringido parcialmente completa), dos huesos de animal y un fragmento de pedernal. El lote CR20F-7-5 (depósito en el piso) contuvo 84 fragmentos de cerámica, una mano de moler fragmentada, un hueso animal, una piedra de moler fragmentada, dos terrones de arcilla dura de un color extraño y un fragmento de monumento esculpido que muestra un glifo sin terminar. El análisis preliminar de la cerámica indica que el material sobre el piso es fechado para el Clásico Terminal, a pesar que la cerámica diagnóstica gris y naranja fino, presente en contextos similares en otras partes del sitio, no se encuentra en este lote. El lote CR20F-7-8 se trata del cortinero y posee 9 fragmentos. El lote CR20F-7-11 (material encontrado en la excavación del pozo 2) incluyó 32 fragmentos de cerámica, mientras que el lote CR20F-7-14 (material encontrado en la excavación del pozo 3) contuvo 11 fragmentos de cerámica y un fragmento de pedernal. El análisis cerámico preliminar indica que este nivel data para la fase Tepeu 2, o segunda mitad del Clásico Tardío.

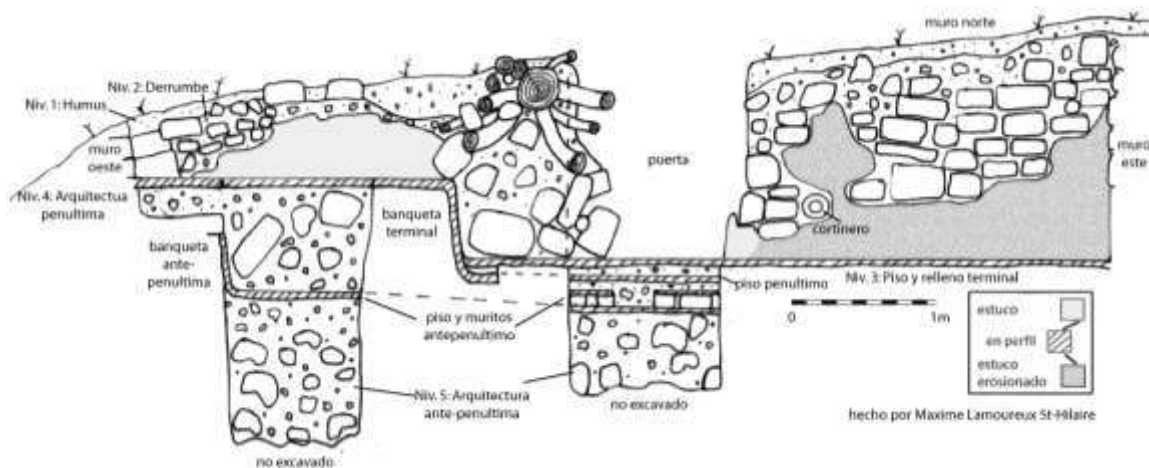


Figura 5.6 Perfil Norte de la Unidad CR20F-7. Arquitectura final, penúltima y antepenúltima del Cuarto Noroeste, Estructura 13Q-4F (Dibujo por M. Lamoureux St-Hilaire)

El nivel 5 se definió como la arquitectura de la antepenúltima fase del edificio (Figuras 5.4, 5.5 y 5.6), la cual fue expuesta en los pozos de exploración 1, 2, y 3, y corresponden a los lotes CR20F-7-13 (pozo 2) y 7-15 (pozo 1). Este último reveló una banca más pequeña (0.55 m de alto y 0.6 m de profundidad) que fue construida durante la antepenúltima fase. El pozo 2 reveló el antepenúltimo piso, que incluye una pequeña grada o rasgo tipo muro de 0.11 m de altura; se encontraba roto al centro o fue construido por dos bloques separados. El pozo 3 reveló el antepenúltimo piso que se encontraba bien preservado. El antepenúltimo piso dentro de los pozos 1 y 2 se encontraba destruido y el relleno bajo éste fue explorado para buscar el nivel constructivo previo. Dados limitantes tanto de tiempo como de espacio, estos niveles no fueron alcanzados y la excavación se detuvo a 1.05 m de profundidad en el pozo 1 y a 0.6 m en el pozo 2. El relleno arquitectónico de la antepenúltima arquitectura consiste en barro café claro mezclado con piedrín, grava, y pequeñas piedras. Esto marcó el final de las excavaciones en la unidad CR20F-7. Se considera que los niveles arquitectónicos más tempranos corresponden estratigráficamente al penúltimo nivel identificado en el pozo del patio (fase Coccochan II) y por lo tanto se pueden colocar con seguridad bajo el nivel alcanzado en las excavaciones de 2014. El lote CR20F-7-13 incluyó solamente 5 fragmentos de cerámica. El lote CR20F-7-15 contuvo 39 fragmentos de cerámica y un hueso animal. El análisis cerámico preliminar data este nivel al período Clásico Tardío.

Unidad CR20F-8 (Cuarto Norte de la Estructura 13Q-4F)

La unidad CR20F-8 fue abierta con el fin de investigar la esquina noroeste del Patio Noreste. La arquitectura de la sección suroeste del patio ya había sido documentada por medio de la unidad CR20F-1, excavada en 2013, la cual reveló una plataforma ancha frente a la Estructura 13Q-4F. Sin embargo, la sección noroeste del patio ha sido particularmente alterada por el material extraído de las trincheras de saqueo de la Estructura 13Q-4G. Por lo tanto se desconocía si el pequeño montículo presente en esta área corresponde a una plataforma o solamente al material dejado por los saqueadores. Originalmente se trazó una trinchera de 2 x 5 m que atraviesa el montículo desde su cima hasta un metro fuera de donde se piensa que puede terminar la plataforma. La unidad reveló la presencia de un Cuarto Norte, y fue consecuentemente extendida hasta que se cubrió toda el área del edificio, siguiendo la arquitectura del mismo. El Cuarto Norte se asienta en la cima de la plataforma, la cual se considera una versión ligeramente más pequeña que la plataforma identificada en 2013, y la profundidad de este cuarto fue similar a la profundidad del pasillo frontal de 13Q-4F. El cuarto no fue tan ancho, y presenta dos bancas una frente a la otra, sirviendo de marco a un pasaje con dos puertas que se abren al oeste y al este. La plataforma frontal y una pequeña porción del patio fueron expuestos en la sección este de la unidad, extendiéndose por toda la sección frontal de la plataforma sur frente a la estructura 13Q-4G. Una pequeña porción del corredor entre el muro norte del cuarto y la plataforma de la estructura 13Q-4G también fue expuesta. En general, la excavación de la unidad CR20F-8 se enfocó en la arquitectura final del edificio y los pozos de exploración 1 (0.85 m x 1.3 m) y 2 (1 x 1m) expusieron elementos de la penúltima y antepenúltima versiones de la arquitectura, así como un entierro.

El nivel uno, fue el estrato de humus y corresponde al lote CR20F-7-1. Se encontró compuesto de barro café oscuro, rico en material orgánico, incluyendo raíces, así como una gran cantidad de piedrín y grava. La profundidad del estrato de humus varió entre los 0.05 y 0.12 m. Los únicos artefactos encontrados en el nivel 1 fueron 33 fragmentos de cerámica.

El nivel 2 se definió como el estrato de derrumbe y comprende los lotes CR20F-8-2, 8-3, 8-4, 8-6 y 8-11. Se encontró mayormente compuesto de una mezcla de piedrín, grava, piedras talladas y barro café claro, entremezclado con una gran cantidad de raíces. La profundidad del estrato de derrumbe varió entre los 0.2 y 1.3 m. La gran cantidad de

piedras talladas encontradas en este estrato incluyeron algunos bloques grandes que fueron sin duda parte del ápice de los dinteles del techo abovedado del cuarto. El lote CR20F-8-5 corresponde al material dejado por los saqueadores y fue mayormente encontrado al norte del cuarto. Se encuentra mayormente compuesto por una mezcla de piedrín, piedras de canto y barro café oscuro mezclado con raíces. La profundidad del nivel de tierra de saqueo varió entre los 0.2 y 0.45 m de profundidad. El lote CR20F-8-2 se definió como el derrumbe sobre el piso del patio y contuvo 404 fragmentos de cerámica, una navaja de obsidiana fragmentada, el fragmento de un hueso de animal, 10 fragmentos de pedernal y un bloque tallado de caliza fina (el mismo tipo utilizado para la elaboración del tallado de paneles). El lote CR20F-8-3 corresponde al derrumbe sobre la plataforma e incluyó 704 fragmentos de cerámica, dos fragmentos de pedernal y 24 fragmentos de molduras de estuco. El lote CR20F-8-4 consiste en el derrumbe en el interior del cuarto y tuvo 450 fragmentos de cerámica, el fragmento de un hueso de animal, un fragmento de concha, y tres fragmentos de pedernal. El lote CR20F-8-6, correspondiente al derrumbe sobre el patio noroeste, incluyó 110 fragmentos de cerámica, 4 huesos de animal fragmentados, un fragmento de concha y tres fragmentos de pedernal. El lote CR20F-8-11 fue el relleno proveniente de los saqueos e incluyó 20 fragmentos de cerámica.

El tercer nivel de la unidad corresponde a los rasgos de la arquitectura terminal de la estructura (Figuras 5.7, 5.8, 5.9, 5.10 y 5.11) y fue dividido en tres componentes. El primer componente (lote CR20F-8-8) consistió en una capa de ceniza en el norte del cuarto, entre el muro divisorio y el colapso de las paredes; y se encontró a 0.2 m sobre el piso. El segundo componente consistió en un depósito de materiales sobre el piso del Patio Noroeste (lote CR20F-8-7) y sobre la plataforma, junto a un muro divisorio (lote CR20F-8-10). Finalmente, el tercer componente consiste en la arquitectura en sí, y fue excavada en ambos pozos de exploración: el Pozo 1 (Lote CR20F-8-12) se excavó dentro de la plataforma, y el Pozo 2 (lote CR20F-8-13, y 8-14) dentro del piso, frente a la puerta este. Aquí se encontró el Entierro 16, por lo que el lote CR20F-8-13 corresponde al relleno sobre el entierro, mientras que el lote CR20F-8-14 corresponde al relleno bajo el entierro.

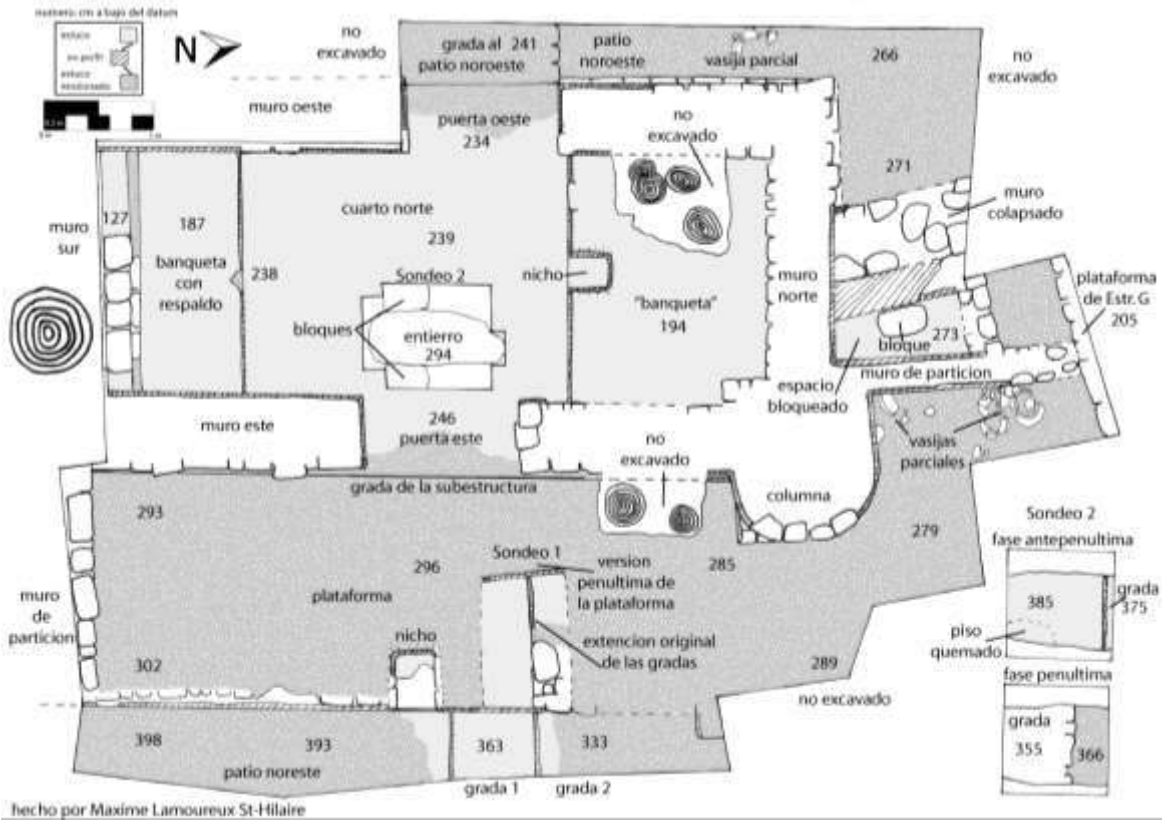


Figura 5.7 Planta de la Unidad CR20F-8. Cuarto Norte de la Estructura 13Q-4F (Dibujo por M. Lamoureux St-Hilaire)

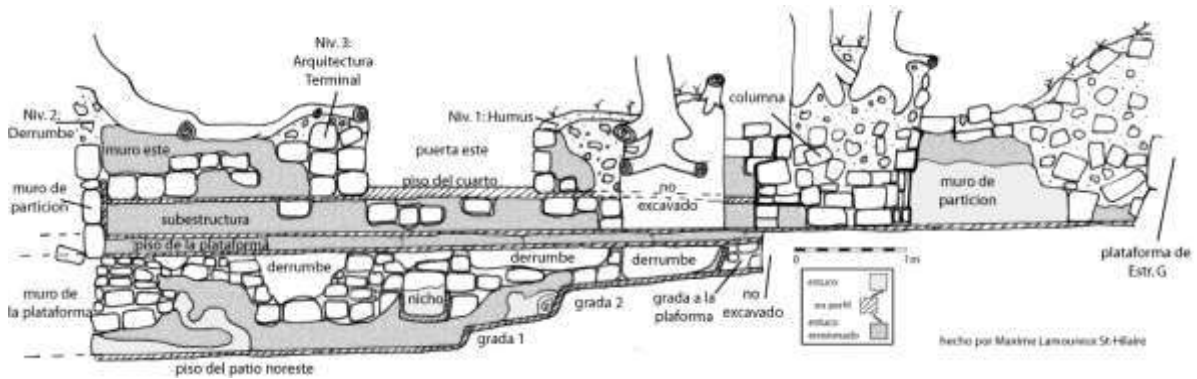


Figura 5.8 Perfil Norte de la Unidad CR20F-8. Cuarto Norte de la Estructura 13Q-4F (Dibujo por M. Lamoureux St-Hilaire)

En general, el Cuarto Norte mide 6.2 x 2.35 m., siendo el más pequeño de los cuatro cuartos de la Estructura 13Q-4F. El cuarto se asienta en una plataforma de 0.33 m de alto. Este cuarto fungió como un área de paso, ya que cuenta con dos puertas dispuestas una frente a la otra, localizadas en los muros este y oeste. Ambas entradas presentan un ancho de 1.40 m, pero no se encuentran perfectamente alineadas, estando la puerta del oeste desviada un poco hacia el norte del eje central de la estructura. Este pasadizo comunicó el Patio Noreste, reservado para la élite, con el Patio Noroeste, de características más sencillas y orientado a actividades de trabajo. El paso entre estas puertas era obligatorio dada la presencia de un muro divisorio que fue construido entre el muro norte del cuarto y la plataforma de la Estructura 13Q-4G, el cual prevenía que los individuos utilizaran este camino alternativo. La única otra vía posible para circular entre estas dos áreas debió de ser a través del acceso norte del pasillo, que originalmente conducía al Cuarto Noroeste (el cual tenía una puerta que conducía hacia el Patio Noroeste), pero como se describió anteriormente, este acceso fue bloqueado durante la construcción de la antepenúltima fase arquitectónica. Un segundo muro divisorio fue construido en la plataforma frente al Cuarto Norte, básicamente posicionado como una extensión al este del muro sur. Este segundo muro divisorio prevendría que cualquier persona que viniera por el pasadizo tuviera que pasar frente al Cuarto del Trono y su pasillo. En otras palabras, el acceso entre los dos patios se encontraba muy bien definido y estrictamente controlado desde el Cuarto Norte. Interesantemente, no se encontraron gradas al frente del Cuarto Norte que permitieran el acceso a la plataforma de 2.15 m desde el Patio Noreste; en cambio, se debía utilizar las amplias gradas que permitían el acceso a la Estructura 13Q-4G. Un nicho estucado de 0.53 x 0.33 m fue localizado en la fachada de la plataforma, frente a las gradas recién mencionadas; sin embargo el nicho se encontraba vacío. Además del nicho se encontró un pequeño fragmento de estuco decorado *in-situ* que sugiere que toda la fachada de la plataforma estaba originalmente decorada, y el nicho probablemente formaba parte de la escena. La decoración de estuco encontrada tenía un diseño circular simple. Durante la excavación, un gran bloque de piedra caliza fina, del mismo material que los monumentos esculpidos, fue encontrado en el piso del patio, recostado en la fachada de la plataforma. Se desconoce cómo llegó este bloque hasta ese punto, pero definitivamente no formaba parte de la mampostería original.

Además de ser el más pequeño de los cuartos de la Estructura 13Q-4F, el Cuarto Norte es también el único que presenta dos banquetas, las cuales se encuentran una frente a la otra. La banca sur presenta un respaldo y mide 1.40 x 2.25 m, por 0.37 m de altura. La banca norte mide 1.90 x 2.25 m, y 0.31 m de altura. Las dos bancas ocupan más de la mitad del espacio disponible dentro del cuarto. La banca sur, con su respaldo, fue claramente diseñada para sentarse, mientras que la banca norte, que es más ancha, presenta un nicho estucado (0.3 x 0.38 m) en su superficie, por lo que probablemente no sirvió para sentarse o acostarse; esto hace que el término “banca” sea un tanto inapropiado para referirse a su función. Efectivamente, la estructura de paso no fue utilizada como vivienda, sino más bien como un punto de control, tanto de personas como de bienes que transitaban ente los patios del palacio. Se sugiere entonces que la banca con respaldo, mejor construida y posiblemente una versión un tanto más pequeña del trono, fue un lugar donde los oficiales se sentaban y monitoreaban las actividades, mientras que la banca más grande era utilizada como un lugar de almacenamiento temporal y/o para la inspección de los bienes que transitaban por el corredor hacia el Patio Real.

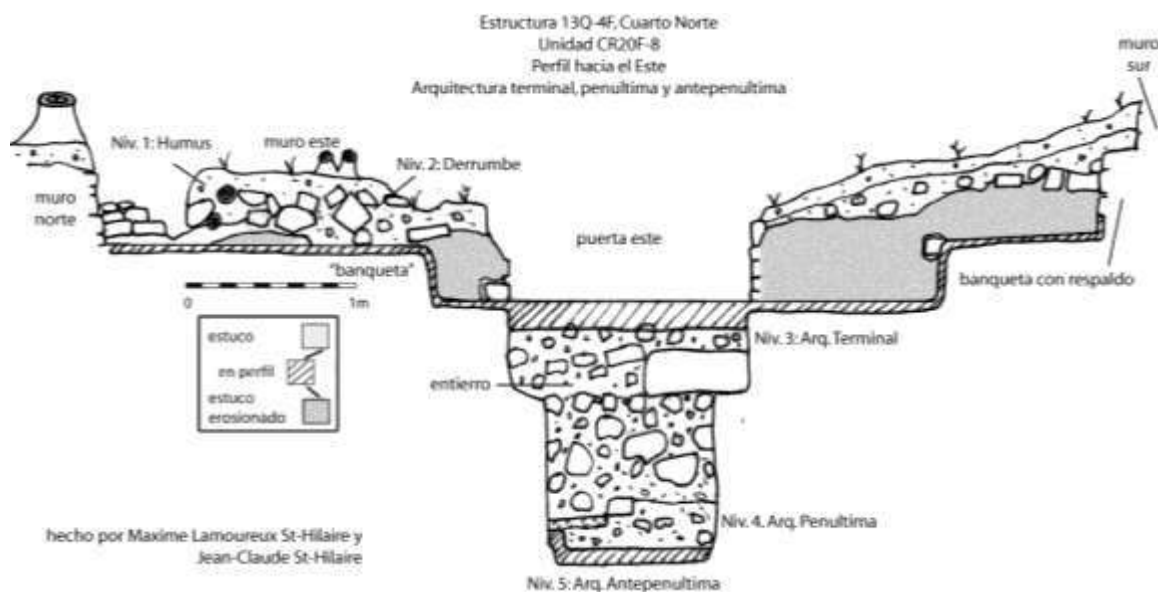


Figura 5.9. Perfil interior Este de la Unidad CR20F-8. Cuarto Norte, Estructura 13Q-4F (Dibujo por M. Lamoureux St-Hilaire)

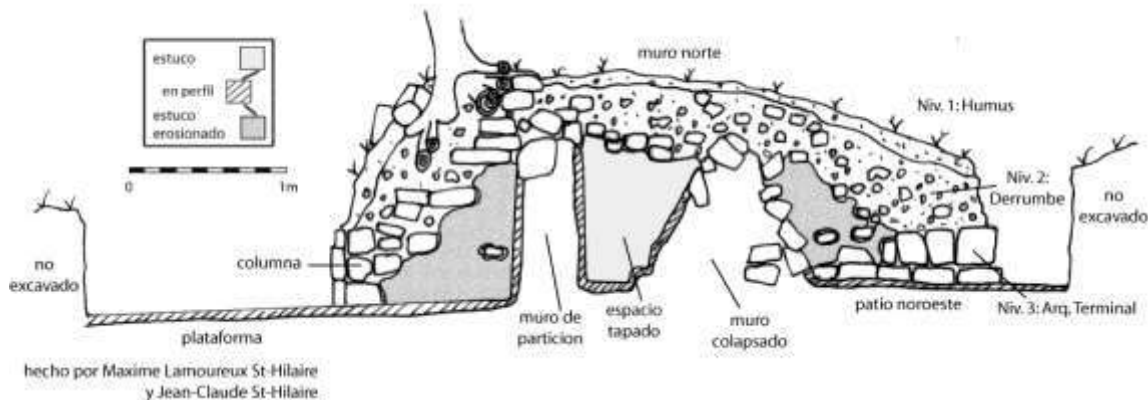


Figura 5.10. Perfil exterior sur de la Unidad CR20F-8. Cuarto Norte, Estructura 13Q-4F
(Dibujo por M. Lamoureux St-Hilaire)

Toda la arquitectura del cuarto debió de estar estucada y se encontraron varios remanentes de pintura roja. Los muros de la parte sur del cuarto, que comparten el ancho muro norte del pasillo, se encontraban relativamente bien preservados (el muro aquí fue de 1.6 m de alto). En cuanto a los muros de la porción norte del cuarto, presentaban una conservación pobre, ya que no sobrepasaron la banca por mucho (muro de solo 0.6 m de altura sobre la banca). La preservación parcial de los muros y la presencia de algunas piedras de bóveda encontradas durante la excavación indican que el Cuarto Norte era abovedado.

Una característica arquitectónica inusual del Cuarto Norte es la columna semicircular que se encuentra en la esquina noreste, a inmediaciones del muro divisorio. Esta gran columna, que mide cerca de 1.4 m de diámetro, presenta su arista este de forma redondeada y se asienta en una pequeña base cuadrada; mientras que la sección oeste, que forma parte de la arquitectura del Cuarto Norte, es cuadrada. Es muy probable que la columna fuera construida antes del cuarto, puesto que la esquina suroeste de la columna queda oculta dentro del cuarto, bajo la esquina noreste de la “banca” norte. Una gran cantidad de molduras de estuco decorado fueron encontradas dispersas en la plataforma frente a la columna, lo cual puede indicar que originalmente la columna presentaba una escena en estuco. La columna se conservó hasta una altura de 1.3 m, pero es probable que se alzara tan alto como el límite del techo de la estructura (más de 2 m). Se encontró una gran cantidad de material sobre el piso a un lado de la columna y el muro divisorio (lote CR20F-8-10).

Se realizaron excavaciones dentro y alrededor del Cuarto Norte, exponiendo una pequeña porción del Patio Noroeste. La puerta oeste se abre ante un escalón que baja al piso del patio, donde fue encontrado un pequeño depósito de materiales directamente sobre el piso, a 1.6 m al norte de la grada (lote CR20F-8-7). El espacio entre el cuarto y la plataforma de la Estructura 13Q-4G crea un corredor relativamente estrecho, donde se encontró un muro mayormente colapsado y que corre paralelamente al muro divisorio. Pareciera que este muro fue construido para crear un pequeño almacén cerrado con acceso desde el norte, a través de una especie de puerta. En esta pequeña bodega se encontró una cantidad considerable de material sobre el piso, entremezclado con una densa capa con apariencia de ceniza, pero que se trataba de estuco en descomposición (lote CR20F-8-8). Un bloque grande de caliza de buena calidad (nuevamente, del tipo utilizado para monumentos) fue incorporado como parte del piso de esta pequeña bodega, pero una vez que se removió, se pudo observar que fue colocado sin ser parte realmente de una ofrenda de algún tipo.

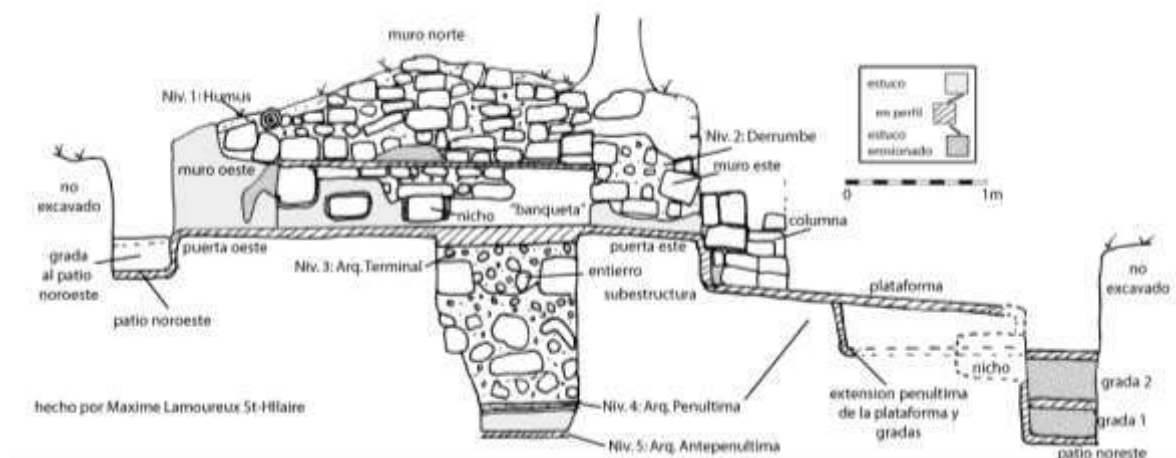


Figura 5.11 Perfil norte interno de la Unidad CR20F-8. Cuarto Norte, Estructura 13Q-4F
(Dibujo por M. Lamoureux St-Hilaire)

El relleno constructivo de la plataforma frente al Cuarto Norte se expuso en el Pozo 1 (lote CR20F-8-12); el cual consiste en una densa mezcla de barro café claro lleno de grava y piedra pequeña, que se asienta bajo un piso estucado de 0.03 a 0.05 m de espesor. La excavación del Pozo 1 alcanzó una profundidad de 0.7 m y mostró que la plataforma fue extendida de 0.91 m a 2.15 m de ancho en algún punto durante la construcción de la última

fase arquitectónica. La excavación también reveló que las gradas de la Estructura 13Q-4G también fueron construidas previo al ensanchamiento de la plataforma tardía. El relleno constructivo de la plataforma basal del Cuarto Norte se evidenció en el Pozo 2 (Lote CR20F-8-13, y -14) y consiste en una mezcla relativamente densa de barro café claro, pedrín y piedra pequeña, el cual sirve de base para un piso estucado de 0.15 m de espesor. El Entierro 16 fue encontrado durante la excavación del Pozo 2, el cual llegó a una profundidad máxima de 1.22 m.

Debe de notarse que mientras los lotes CR20F-8-12, 8-13 y 8-14 fueron adscritos al nivel 3, el lote CR20F-8-12 no, puesto que corresponde a la extensión de la plataforma – colindante con el Cuarto Norte- y por lo tanto de fechamiento posterior al resto de los lotes. El lote CR20F-8-7 correspondió al depósito localizado sobre el piso del Patio Noroeste, conformado por 8 fragmentos de cerámica y un fragmento de pedernal. El lote CR20F-8-8, correspondiente al estrato tipo ceniza encontrado sobre el piso de la pequeña "bodega", incluyó 76 fragmentos de cerámica. El lote CR20F-8-10 se definió como el depósito encontrado sobre el piso de la plataforma junto al muro divisorio, e incluyó 202 fragmentos de cerámica. El análisis preliminar de la cerámica fecha este material para las fases Tepeu 2 o Tepeu 3, o Clásico Tardío/Terminal. El lote CR20F-8-12 corresponde al relleno de la plataforma terminal frente al cuarto y se compone de 114 fragmentos de cerámica y un fragmento de pedernal. El lote CR20F-8-13 fue definido como el relleno que se encontró sobre el Entierro 16 y contuvo 26 fragmentos de cerámica. Finalmente, el lote CR20F-8-14 correspondiente al relleno bajo el Entierro 16 e incluyó 71 fragmentos de cerámica. El análisis cerámico preliminar data estos dos lotes al período Tepeu 2, o Clásico Tardío.

Entierro 16

El Entierro 16 se definió como los restos de un individuo encontrados en la excavación del Pozo Exploratorio 2. El individuo se encontraba en posición extendida con la cabeza hacia el sur, sobre una capa de grava y barro compactado, dentro del relleno constructivo de la arquitectura terminal. La superficie sobre la que se asentó el cuerpo se encuentra a 0.5 m bajo el piso del Cuarto Norte. El único elemento arquitectónico en el entierro fueron dos bloques de piedra con formas rudimentarias, que enmarcan la parte superior del cuerpo del individuo. Un bloque más pequeño fue localizado bajo la cabeza del

individuo, sirviendo algo así como una almohada de piedra. Se considera que pudieron existir tablas de madera asentadas sobre estos bloques, con el objetivo de crear una cista perezcedera (Figura 5.12). El análisis osteológico realizado por Erin Patterson indica que el individuo tenía entre 10 y 12 años de edad (subadulto), de sexo indeterminado. Desde la cabeza hasta los talones el individuo medía 1.23 m. La preservación del cuerpo fue buena, debido a que fue cubierto con una capa gruesa de estuco colocada como piso en la fase terminal de la estructura, lo cual no permitió la entrada de agua y raíces. Los datos osteológicos y dentales indican que el individuo gozaba de buena salud y el cráneo presenta una deformación tabular oblicua bien definida. Dos muestras de tierra fueron tomadas del entierro, una en el área intestinal y otra al oeste del fémur izquierdo.

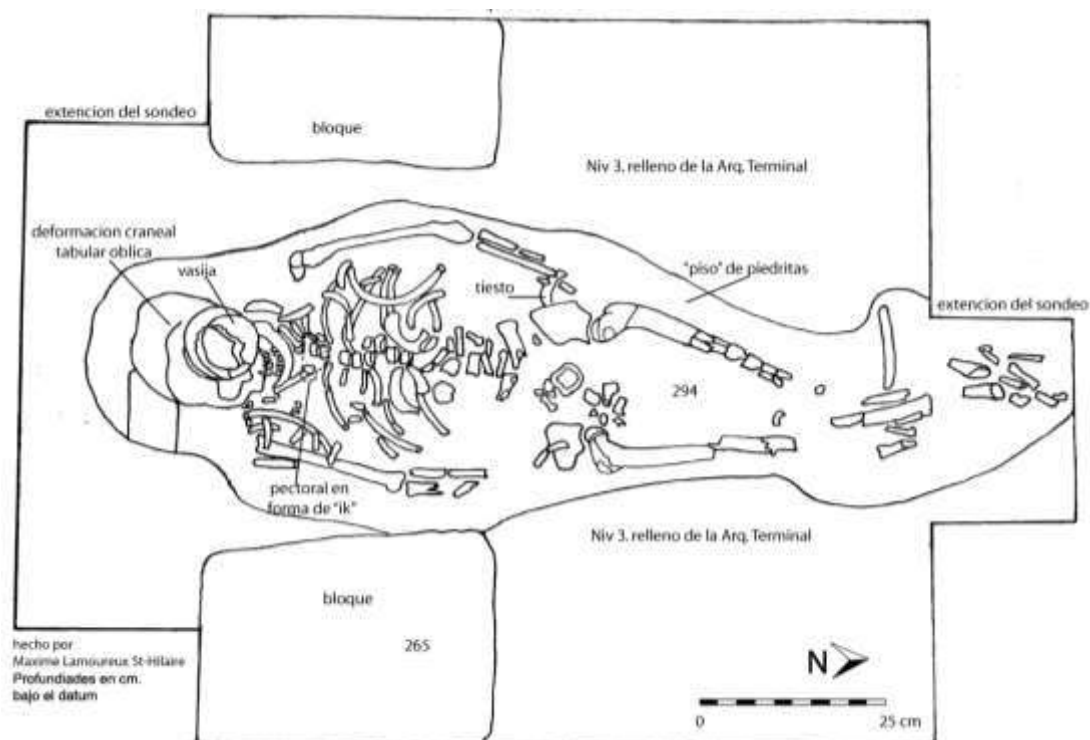


Figura 5.12 Planta del Entierro 16, unidad CR20F-8 (Dibujo por M. Lamoureux St-Hilaire)

Los únicos artefactos encontrados asociados al Entierro 16 fueron: un pequeño cuenco colocado boca abajo sobre el rostro del individuo (el cual desafortunadamente aplastó el lado izquierdo del rostro), un fragmento de cerámica tallado en forma de “T” (posiblemente para representar el glifo *ik*) en el cuello del individuo, y un fragmento de

cerámica localizado a un lado de su mano izquierda. Algunos huesos presentes en el entierro parecieran no ser parte del cuerpo del individuo (incluyendo un fragmento de hueso quemado) pero se desconoce la naturaleza de los mismos. El contexto de este entierro se ubica en el único punto de acceso entre dos secciones complementarias del palacio, por lo que es un tanto prominente. Su posición también se relaciona con el edificio que alberga el trono de gobierno, por lo que garantiza un gran nivel de prestigio a este adolescente. No obstante, los pocos bienes recuperados en el entierro, especialmente la falta de cualquier adorno, no indica que este joven fuera particularmente de un estatus prominente. Es de destacar que el área circular en el piso terminal, localizada directamente sobre el entierro, se encontraba enrojecida y parcialmente destruida por calor. Es posible entonces que este rasgo indicase el uso recurrente de braseros o incensarios en el lugar; una actividad ceremonial que bien pudo haber estado relacionada con el entierro colocado allí.

El nivel 4 de la unidad CR20F-8 corresponde a la penúltima fase arquitectónica de la estructura (Figuras 5.7, 5.9 y 5.11) y al lote CR20F-8-15; sin embargo solamente fue investigado solamente en el interior del Pozo 2, a través de una ventana estrecha de menos de 1 x 1 m. La penúltima arquitectura comprende un piso poco preservado con un escalón bajo (0.11 m de alto) que conduce a un piso completamente erosionado. El relleno constructivo del nivel 4 se encuentra hecho de una mezcla de barro café claro con pedrín y piedras medianas. Este nivel alcanzó una profundidad máxima de 0.3 m y los artefactos asociados fueron 14 fragmentos de cerámica, dos fragmentos de obsidiana y dos fragmentos de pedernal. El análisis preliminar de la cerámica indica que este nivel puede ser datado para el período Clásico Tardío.

El nivel 5 consiste en un piso de estuco bien preservado expuesto en el Pozo 2, cuyo relleno no fue investigado (Figuras 5.7, 5.9 y 5.11). El piso presenta un área quemada y un escalón bajo (0.1 m) adyacente que conduce a otro piso bien conservado. A 3.85 m bajo el nivel del *datum*, la elevación del nivel 5 fue solamente 0.08 m más alta que el nivel del Patio Noroeste frente a la puerta este del Cuarto Norte. Esto sugiere que la superficie original del Cuarto Norte, y probablemente toda la Estructura 13Q-4F, yacía al mismo nivel que el Patio Noreste. Si este era el caso para todas las estructuras que rodean el patio, esto explicaría la naturaleza hundida del mismo. Este nivel marcó el fin de las excavaciones en la unidad CR20F-8 (Figura 5.13).

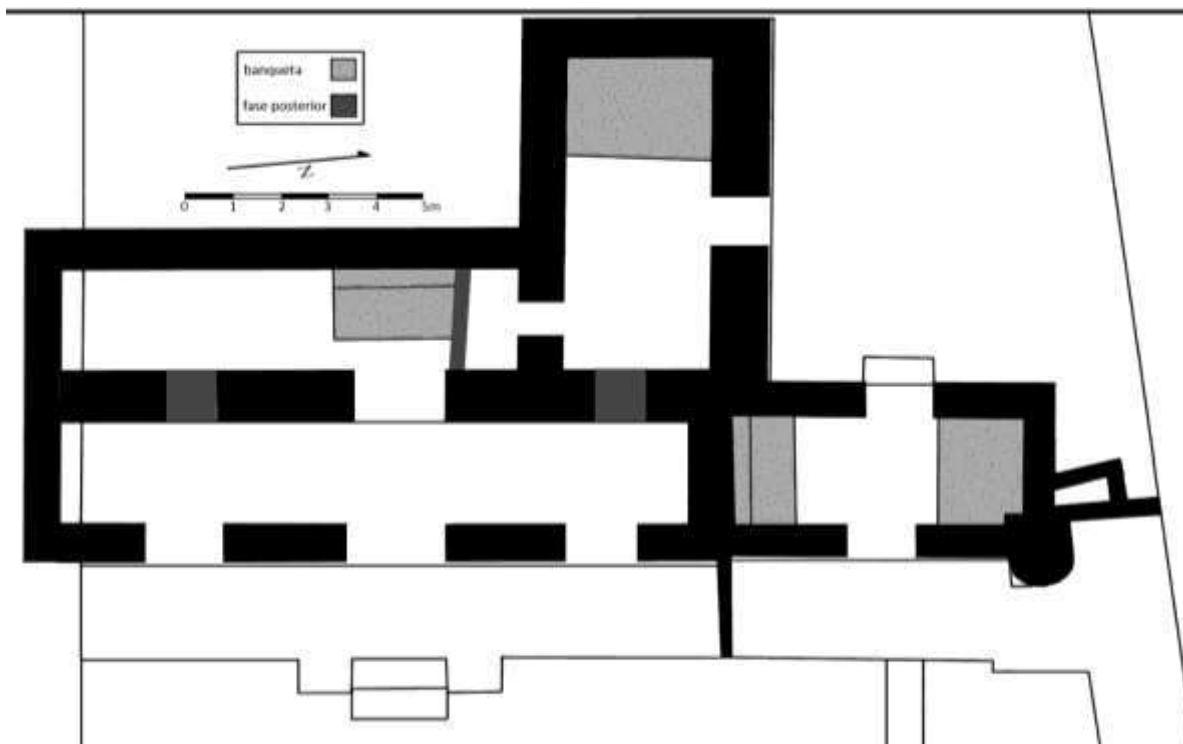


Figura 5.13. Reconstrucción de la planta de la última versión de la Estructura 13Q-4F. El Patio Noreste se encuentra en la parte inferior y el Patio Noroeste en la esquina superior derecha. La línea a la derecha corresponde a la plataforma de la Estructura 13Q-4G (Dibujo por M. Lamoureux St-Hilaire)

Análisis químico de estucos

Andrea Sandoval, estudiante de la Licenciatura en química de la Universidad del Valle de Guatemala, visitó La Corona durante la temporada 2014 con el objetivo de conducir un estudio sobre el contenido de fosfatos en los pisos de estuco. Se decidió que las bancas amplias y bien preservadas expuestas en los cuartos Noroeste y Norte son buenos ejemplos para análisis químico. De hecho, puesto que se piensa que la función de éstas no fue como banca, sino más bien como lugares de almacenamiento, esto se vería reflejado por su contenido de fosfatos. De esta manera, se tomaron cinco muestras de estuco (una de cada esquina y una del centro de la banca) de las superficies de ambas bancas del cuarto Noreste y la banca norte del Cuarto Norte. También, la técnica para obtención de las muestras fue aplicada para el estuco bien preservado del piso del “closet” localizado en el Cuarto Noroeste. Se espera que los resultados de estos análisis estén disponibles en 2015. Los lotes CR20F-7-9 y CR20F-8-9 fueron designados para las muestras de estuco de los cuartos.

Investigaciones en el Patio Noroeste

El Patio Noroeste corresponde al espacio localizado en el cuadrante noroeste del palacio y está definido por las estructuras 13Q-4F, 13Q-4G, 13Q-4H-1, 13Q-4H-2 y 13Q-4I (Figura 5.1). Mientras que la estructuras 13Q-4F y 13Q-4G tuvieron un techo abovedado, siendo obviamente edificios de elite, los otros tres edificios presentan arquitectura de materiales perecederos. Esto hace que el Patio Noroeste sea un grupo arquitectónico único dentro de los confines de la acrópolis palaciega, e indica que su funcionalidad fue diferente a la del resto del palacio. También pareciera que una escalinata funcionó como “entrada trasera” desde el grupo de estructuras localizado en el límite oeste del basamento del palacio. La forma del patio no es perfectamente cuadrangular, más bien presenta una forma de “T”, con un corredor estrecho (cerca de 10 m de ancho) que conecta la estructura de paso (13Q-4F) con las estructuras perecederas. Las excavaciones de 2014 se centralizaron en la excavación de las estructuras 13Q-4H-1, 13Q-4H-2, y 13Q-4I.

Unidad CR20H-1 (Estructura 13Q-4H-1)

La unidad CR20H-1 fue trazada con el objetivo de investigar la Estructura 13Q-4H-1. Esta unidad midió 8 x 4.4 m y fue orientada a 10° este del norte con el fin de coincidir con la orientación de la estructura. La estructura 13Q-4H-1 colinda al este con la estructura alargada 13Q-4G, por lo que algunos elementos arquitectónicos de esta última también fueron revelados. Tras limpiar el montículo de la Estructura 13Q-4G se constató que a diferencia del resto de habitaciones, las cuales parecen estar dirigidas de norte a sur, la habitación en el extremo oeste está dirigida hacia esa dirección, colocándola en directa relación con la Estructura 13Q-4H-1. Los niveles 1 y 2 corresponden a los estratos de humus y derrumbe, respectivamente, y fueron agrupados puesto que el humus poseía muy pocos artefactos. Ambos se definieron dentro del lote CR20H-1-1. La matriz del material de este primer lote consistió en suelo café oscuro, mezclado con material orgánico y con una gran cantidad de pedrín y grava. Algunos bloques y piedras talladas fueron encontrados como parte de este nivel en la mitad este de la unidad, sin embargo estos provienen del colapso de la Estructura 13Q-4G. Los niveles 1 y 2 alcanzaron una profundidad de 0.25 a 0.7 m. El lote CR20H-1-1 incluyó 329 fragmentos de cerámica, parte de una figurilla, cinco fragmentos de obsidiana, un fragmento de concha, y cinco

fragmentos de pedernal. El nivel 3 corresponde a la arquitectura terminal (Figuras 5.14 y 5.15) y debió ser dividido en dos componentes: El lote CR20H-1-2 correspondiente al material encontrado sobre el piso, mientras que el lote CR20H-1-3 corresponde al relleno constructivo de la arquitectura terminal. La Estructura 13Q-4H-1 consistió en un edificio perecedero construido con muros bajos hechos con piedra tallada y una sección superior hecha con madera, posiblemente en forma de bajareque, con techo de guano. El edificio se asienta sobre una plataforma de 0.3 m de alto. La pared frontal fue modestamente más gruesa (0.65 m) y presenta el umbral de una puerta de 1.75 m. de ancho siguiendo el eje central de la estructura. El derrumbe, la erosión, y una trinchera de saqueo destruyeron las paredes oeste y norte del edificio, pero algunos rastros indican que su área total midió aproximadamente 5.5 x 2.8 m. Una banca amplia pero baja (cerca de 0.2 m) cubría la parte oeste del cuarto. La pared este pareciera haber sido construida en el nivel más bajo de la plataforma basal de la Estructura 13Q-4G. El piso de la habitación y el cuarto pudieron haber estado estucados originalmente, pero el estuco estaba totalmente erosionado al momento de la excavación. El piso del patio frontal de la estructura se encontraba casi totalmente erosionado, a no ser por una pequeña sección encontrada en la esquina hecha por las plataformas de 13Q-4G y 13Q-4H-1. En esta sección estucada fue encontrado un depósito sobre el piso (lote CR20H-1-2). Se encontró un escalón bajo (cerca de 0.2 m) muy mal preservado que asciende de norte a sur y que dirige a la plataforma basal de 13Q-4G, de 0.5 m de alto. No se encontraron escalinatas de acceso a la plataforma, pero se cree que éstas se encuentran algunos metros al sur del límite de la unidad. La arquitectura de la fase final fue expuesta gracias a una trinchera de 1.2 x 3.85 m, la cual fue excavada a lo largo del eje central de la estructura (Figura 5.16). El relleno constructivo de la arquitectura consistió en barro café claro mezclado con piedrín y grava, y la arquitectura de la penúltima fase fue encontrada entre 0.19 y 0.32 m abajo. El lote CR20H-1-2 (depósito sobre el piso) incluyó 19 fragmentos de cerámica pertenecientes a dos vasijas parcialmente completas. Un análisis preliminar los coloca en el Clásico Terminal, aunque no hay diagnósticos como gris y naranja fino. El lote CR20H-1-3 (relleno arquitectónico) contuvo 78 fragmentos de cerámica, un fragmento de obsidiana y tres fragmentos de pedernal. El análisis preliminar fecha el nivel para la fase Tepeu 2 o Tepeu 3.

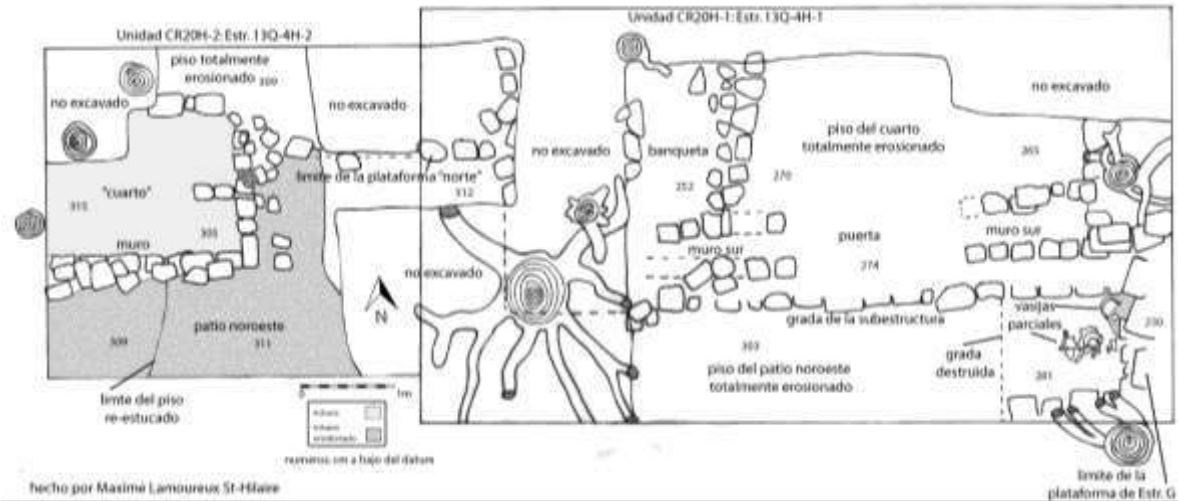


Figura 5.14. Planta de las unidades CR20H-1 y CR20H-2 (estructuras 13Q-4H-1 y 13Q-4H-2)
(Dibujo por M. Lamoureux St-Hilaire)

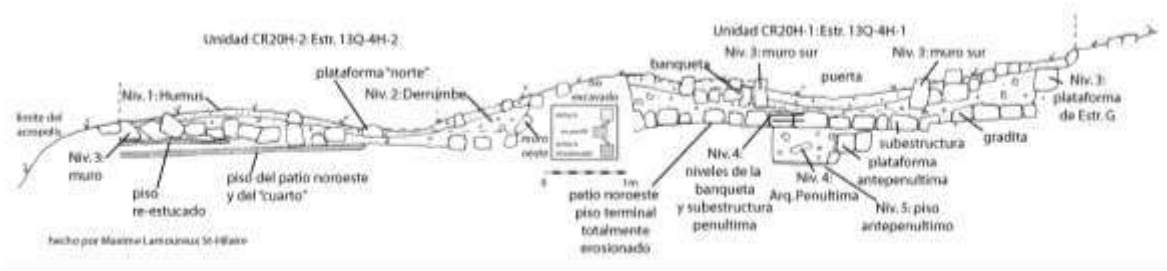


Figura 5.15. Perfil norte de las unidades CR20H-1 y CR20H-2 (estructuras 13Q-4H-1 y 13Q-4H-2)
(Dibujo por M. Lamoureux St-Hilaire)

El nivel 4 corresponde a la penúltima fase arquitectónica, la cual consiste en una plataforma baja (0.1 m) de forma rectangular, asociada a un piso mal conservado (lote CR20H-1-4). La arquitectura de esta penúltima fase parece estar asociada al mismo nivel de patio que la arquitectura final. Esta sutil construcción contrasta con la arquitectura terminal, y representa una fase donde ningún edificio se había construido en esta localidad. La penúltima fase fue expuesta por la misma trinchera y su relleno arquitectónico consistía mayormente de barro café claro mezclado con piedrín y piedras pequeñas. El lote CR20H-1-4 contuvo 90 fragmentos de cerámica, dos fragmentos de obsidiana, dos fragmentos de hueso de animal y dos fragmentos de pedernal. El análisis preliminar de la cerámica indica que este nivel puede ser datado para la fase Tepeu 2 ó 3.

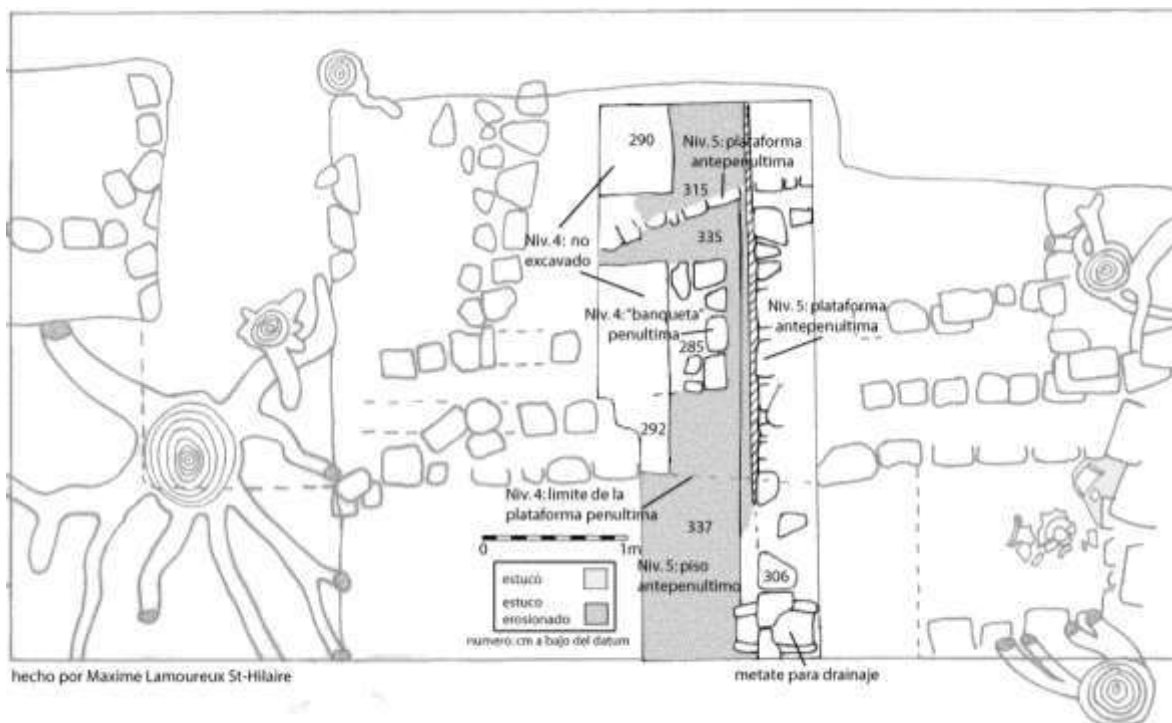


Figura 5.16. Planta superior de la unidad CR20H-1, penúltima y antepenúltima fase arquitectónica de la Estructura 13Q-4H-1 (Dibujo por M. Lamoureux St-Hilaire)

El nivel 5 corresponde a la antepenúltima fase constructiva, y aunque este nivel fue expuesto, no se penetró (Figuras 5.15 y 5.16). La arquitectura consiste en dos plataformas perpendiculares considerablemente bien preservadas que presentan diferentes elevaciones. El piso del patio también se encontraba bien conservado. La plataforma norte, más baja que su paralela, se extiende a lo largo del eje central del edificio terminal con una altura de 0.2 m sobre el piso del patio. La plataforma este es más alta y se extiende también a lo largo del eje central del edificio terminal, elevándose 0.3 m del piso del patio. Cabe destacar que en el límite sur de la unidad se encontró un metate completo reutilizado dentro de la mampostería, y fue claro que se colocó allí con fines de drenaje. Las excavaciones llegaron a su fin tras exponer esta antepenúltima fase.

Unidad CR20H-2 (Estructura 13Q-4H-2)

La Estructura 13Q-5H-2 es la estructura más pequeña que ha sido expuesta en la acrópolis palaciega y se asienta directamente en la esquina noroeste del basamento. El

montículo bajo mide solo 0.25 m de altura, lo cual permitió que la estructura fuera detectada solo después de realizar trabajos de limpieza del material orgánico en el área. Esta pequeña estructura se encontraba adherida a la Estructura 13Q-4H-1 por medio de una plataforma baja de 0.2 m de alto que se extiende este-oeste; debido a esto se decidió designar a esta estructura con la misma nomenclatura. La unidad CR20H-2, de 4 x 3.5 m, fue trazada adyacente a la unidad CR20H-1 (y siguiendo la misma orientación) con el objetivo de exponer toda la estructura y determinar cómo se asociaba a la estructura vecina.

Los niveles 1 y 2 incluyeron el humus y derrumbe, y fueron agrupados puesto que el humus presentaba muy poco material. Juntos forman el lote CR20H-2-1. Este lote consiste mayormente en material orgánico, barro café oscuro y una gran cantidad de grava y piedrín, alcanzando una profundidad máxima de 0.3 m. El lote incluyó 62 fragmentos de cerámica, un fragmento de pedernal y un fragmento de un adorno modelado en estuco. Un análisis preliminar de la cerámica indica que este nivel es fechado al período Clásico Tardío.

El nivel tres corresponde a la arquitectura terminal, la cual fue expuesta pero no explorada. La arquitectura consiste en una estructura asentada directamente en el piso del patio. El muro oeste fue destruido por la erosión, pero las tres otras paredes sugieren que la estructura medía 2.6 x 1.85 m. Las paredes consistían en una sola hilera de piedras talladas, indicando que la estructura era percedera, posiblemente hecha de madera y guano. Curiosamente, no se encontró ningún indicio de una puerta de acceso a este pequeño cuarto, aunque el piso estucado de la habitación se encontraba muy bien conservado. Dos piedras grandes fueron aliñadas a lo largo de la pared este de la estructura, posiblemente indicando la presencia de una pared poco preservada que dividía el cuarto por la mitad en su eje este-oeste. El patio frente a la estructura también se encontraba relativamente bien conservado, ya que presentó signos de un episodio de re-estucado.

Discusión

Las estructuras 13Q-4H-1 y 13Q-4H-2 se encontraban conectadas por medio de una plataforma baja, lo que sugiere que la función de ambas estructuras se encontraba relacionada de algún modo. Se considera también que las estructuras del Patio Noroeste fueron utilizadas por sirvientes de la corte para varias funciones. La pregunta aquí es: ¿Cuál fue la función exacta? Una hipótesis posible es que la Estructura 13Q-4H-1 haya sido usada

para el procesamiento o almacenaje de comida, mientras que la Estructura 13Q-4H-2 sirvió como un troje, granero o espacio de almacenamiento para productos alimenticios. Esta hipótesis se apoya por datos etnohistóricos y etnográficos, los cuales indican que los pequeños espacios o bodegas de material perecedero se localizan cerca de las cocinas. La localización de la pequeña estructura en la esquina de la acrópolis hubiera expuesto ésta a los vientos, lo que hubiera facilitado el proceso de secado de productos alimenticios. El que la estructura no fuera utilizada para actividades domésticas se encuentra apoyado en el poco material encontrado. Con objetivo de confirmar o eliminar la hipótesis del almacén de comida se tomaron 4 muestras del estuco, tres en las esquinas expuestas y una en el centro de la habitación de la Estructura 13Q-4H-2. Dichas muestras serán analizadas en busca de restos de fosfatos. Mientras que la Estructura 13Q-4H-2 es fuerte candidata para tratarse de un granero, la Estructura 13Q-4H-1 carece de metates y manos, por lo que es poco probable que se trate de una cocina.

Unidad CR20I-1 (Estructura 13Q-4I)

La Estructura 13Q-4I es la más grande de las estructuras de construcción perecedera que se encuentran en el Patio Noroeste. Desafortunadamente la erosión destruyó la mayor parte de la sección este del montículo. Esta estructura se localiza a 5 m al oeste de la fachada oeste del Cuarto Norte de la Estructura 13Q-4F. La unidad CR20I-1, de 10 x 6 m., fue trazada sobre estructura que superficialmente se compone de dos montículos rectangulares paralelos y un tercer montículo perpendicular a los dos primeros y sirviendo de conexión entre los mismos. Primero se trazó una trinchera de 2 m de ancho colocada en el espacio entre los dos montículos paralelos. A continuación una segunda trinchera fue trazada perpendicular a la primera y siguiendo el eje central de los dos montículos paralelos. Finalmente se realizaron varias extensiones pequeñas con el objetivo de seguir y exponer la arquitectura y probar la existencia o no de un montículo perpendicular que se encontraba erosionado.

Los niveles 1 y 2 corresponden a los estratos de humus y derrumbe y fueron agrupados juntos puesto que el humus poseía muy poco material; ambos conforman los lotes CR20I-1-1, 1-2, y 1-3. El estrato se compuso principalmente de suelo orgánico, barro café oscuro, y una gran cantidad de gravilla y piedrín. La profundidad de estos tres lotes

varió entre los 0.05 y 0.43 m. El lote CR20I-1-1, correspondiente a los estratos de humus y derrumbe localizados en el eje central del montículo, contuvo 122 fragmentos de cerámica y tres fragmentos de obsidiana. El lote CR20I-1-2, correspondiente a los estratos de humus y derrumbe localizados en el montículo norte, incluyó 191 fragmentos de cerámica, un fragmento de figurilla, dos fragmentos de obsidiana, varios fragmentos de hueso de animal –los que incluyen dientes y fragmentos de caparazón de tortuga-, un fragmento de piedra de moler, y tres fragmentos de pedernal. El lote CR20I-1-3 que se definió en el estrato de humus y derrumbe sobre el montículo sur, se compone de 123 fragmentos de cerámica, 12 fragmentos de hueso de animal, y tres fragmentos de pedernal.

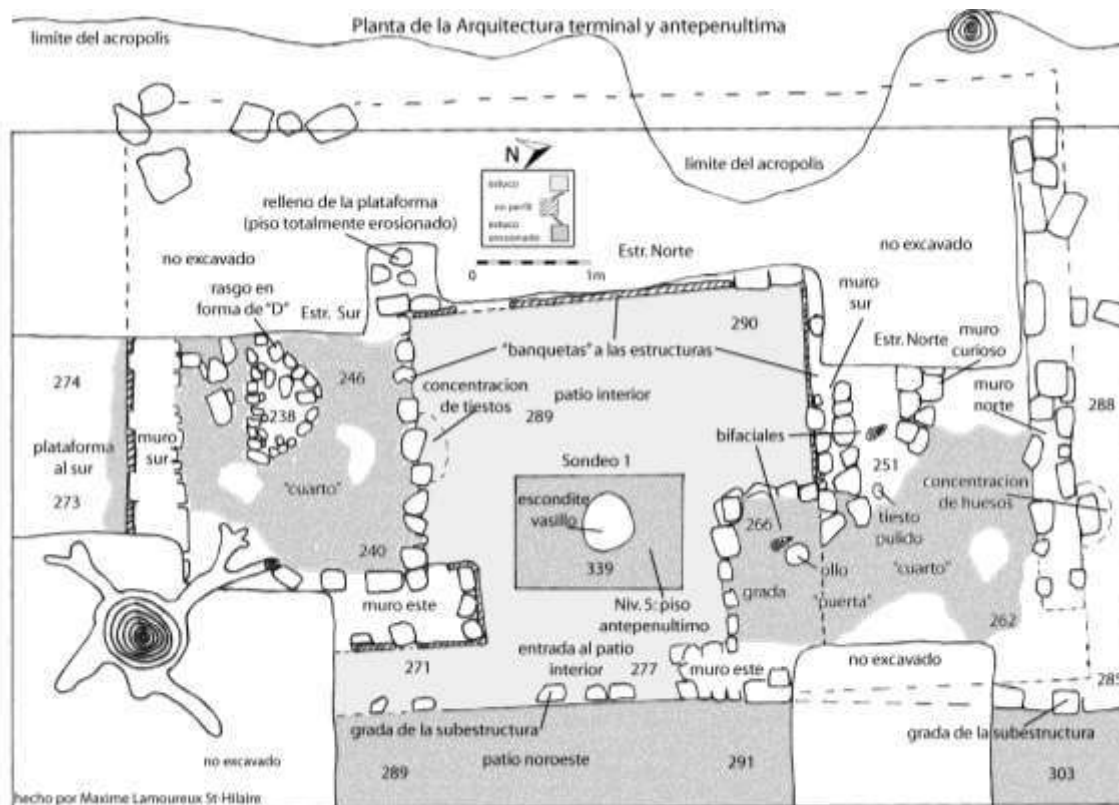


Figura 5.17. Planta de la unidad CR20I-1, Estructura 13Q-4I (Dibujo por M. Lamoureux St-Hilaire)

El nivel 3 corresponde a la arquitectura de la fase final (Figuras 5.17 y 5.18) e incluye el lote CR20I-1-4, definido como el material encontrado sobre el piso. La estructura 13Q-4I es un edificio inusual y la mejor manera de describirlo es como una estructura con

forma de “C”, lo que permite que tenga un pequeño patio interno de unos 8 m². Como se describió anteriormente, al localizarse en el límite de la acrópolis, la sección oeste de la estructura se encontraba casi totalmente destruida por procesos de erosión de la acrópolis palaciega y por la presencia de un árbol caído. Aun así, la única sección preservada que fue expuesta fue una parte del muro este del montículo de 0.35 m de altura y que rodea el pequeño patio interior. Por la intensa erosión se observó que el montículo se inclina hacia el oeste, lo que dificulta la obtención de elevaciones adecuadas. La plataforma perpendicular también se encontraba estucada y tenía una altura media de 0.15 m. Pareciera ser que la plataforma se extendía tanto al norte como al sur de las superestructuras, pero se desconoce su extensión total. El patio estucado frente a la estructura también se encontraba bien conservado.

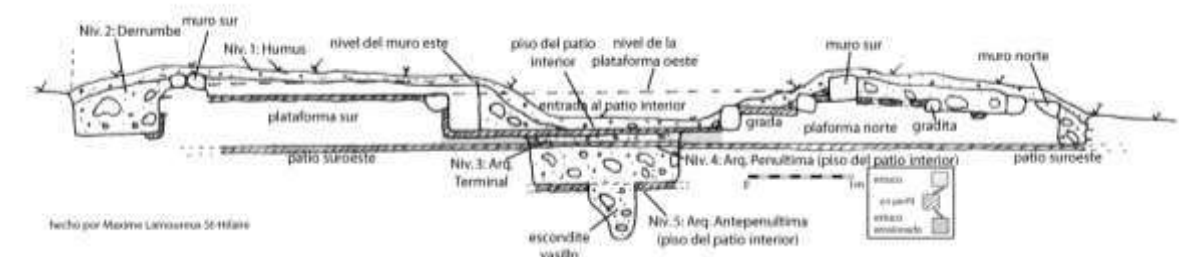


Figura 5.18. Perfil oeste de la Unidad CR20I-1, Estructura 13Q-4I
(Dibujo por M. Lamoureux St-Hilaire)

La estructura sur, que es la más alta de las dos estructuras paralelas, poseía una plataforma de 0.35 m de altura. Este montículo se encontraba rodeado por un grueso muro (0.52 a 0.72 m de ancho) del cual solo se conservaron 0.6 m de altura y presentó algunas superficies de estuco aún preservadas. El piso estucado en ese lado del edificio se encontró parcialmente preservado y un pequeño rasgo de forma triangular hecho con piedras pequeñas se encontró cerca de su centro. La función de este rasgo es desconocida. No se encontró ninguna puerta en la sección sur del edificio, pero pareciera ser que se accedía al mismo por el pequeño patio interno, a través de una posible puerta que se abre al norte. La presencia de un árbol grande evitó que se excavara la esquina sureste del edificio.

La parte norte de la estructura era un poco más pequeña, de solo 0.3 m de altura y con un escalón de 0.2 m frente al borde interno este del edificio. Una pared angosta de 0.4 a

0.5 m de ancho rodeaba la plataforma, con una apertura en su lado norte, lo que sugiere que este lado del edificio tenía dos puertas, una frente a la otra.

Tres pequeñas concentraciones de materiales fueron encontradas sobre el piso y se definieron como parte del lote CR20I-1-4, que incluyó algunos fragmentos de cerámica encontrados contra la pared de la plataforma sur; dos bifaciales completos y un herramienta de piedra pulida se encontraron en el escalón y en la plataforma norte; y una gran cantidad de huesos de animal fue encontrada en el piso de la plataforma, junto a la pared norte de la estructura norte.

El Pozo de exploración 1, de 1.5 x 1 m, fue excavado en la plataforma, dentro del pequeño patio interno. Esta excavación expuso el relleno de la arquitectura terminal, que se compone en barro café claro mezclado con pedrín y gravilla, y se asienta bajo un piso estucado de 0.05 m de grosor. El grosor de la plataforma terminal fue de 0.08 m y no se encontró material asociado. El lote CR20I-1-4, que se definió como el material sobre el piso, incluyó 8 fragmentos de cerámica, dos bifaciales de pedernal, y una gran cantidad de huesos de animal (incluyendo dientes que pueden ser humanos). El análisis preliminar de la cerámica indica que el material sobre el piso data para el Clásico Terminal, aunque no se encontró cerámica diagnóstica gris y naranja fino, presente en otros contextos similares en el sitio.

El nivel 4 corresponde al lote CR20I-1-5, definido por la penúltima fase arquitectónica (Figuras 5.17 y 5.18) que fue expuesta mediante el Pozo de sondeo 1. Este nivel se compone principalmente de barro café oscuro mezclado con pedrín y piedras pequeñas asentadas bajo un delgado piso erosionado. El grosor de la penúltima plataforma fue de 0.38 m. El lote CR20I-1-5 incluyó 36 fragmentos de cerámica que por el análisis preliminar se han fechado para la fase Tepeu 2, o Clásico Tardío.

El nivel 5 se definió por la antepenúltima fase arquitectónica (Figuras 5.17 y 5.18) que fue explorada minuciosamente en el Pozo de exploración 1. Un corte circular de aproximadamente 0.5 m de diámetro fue encontrado en el penúltimo piso estucado. El antepenúltimo piso se encontraba relativamente bien preservado y originalmente medía 0.05 m de grosor. El corte fue explorado hasta los 0.5 m de profundidad, y no reveló nada más que un relleno de barro café oscuro mezclado con pedrín y piedras pequeñas. El corte presentaba una alineación central, por lo que pudo representar un escondite dedicatorio. Sin

embargo, el haberse encontrado vacío puede indicar que fue vaciado al momento de la construcción de la penúltima fase arquitectónica.

Discusión y conclusiones

La excavación de seis unidades durante los 42 días de la temporada 2014 contribuyó a nuestro entendimiento del desarrollo y función del palacio durante su última fase de ocupación.

Primero que nada, los datos de la cerámica (Caroline Parris, comunicación personal) indican que el total de la acrópolis palaciega fue construida durante el período Clásico Tardío, iniciando en algún punto temprano de la fase Tepeu 1. La fase Tepeu 2 pareciera haber estado presente en al menos tres fases constructivas mayores en la historia de la acrópolis y en tres episodios menores de construcción en la arquitectura de superficie. Más aún, pareciera que todas las estructuras superficiales excavadas en el palacio fueron ocupadas durante la primera parte de la fase Tepeu 3 (período Clásico Terminal). Tal vez existieron algunos episodios menores de construcción de edificios precederos en el Patio Noroeste durante el Clásico Terminal.

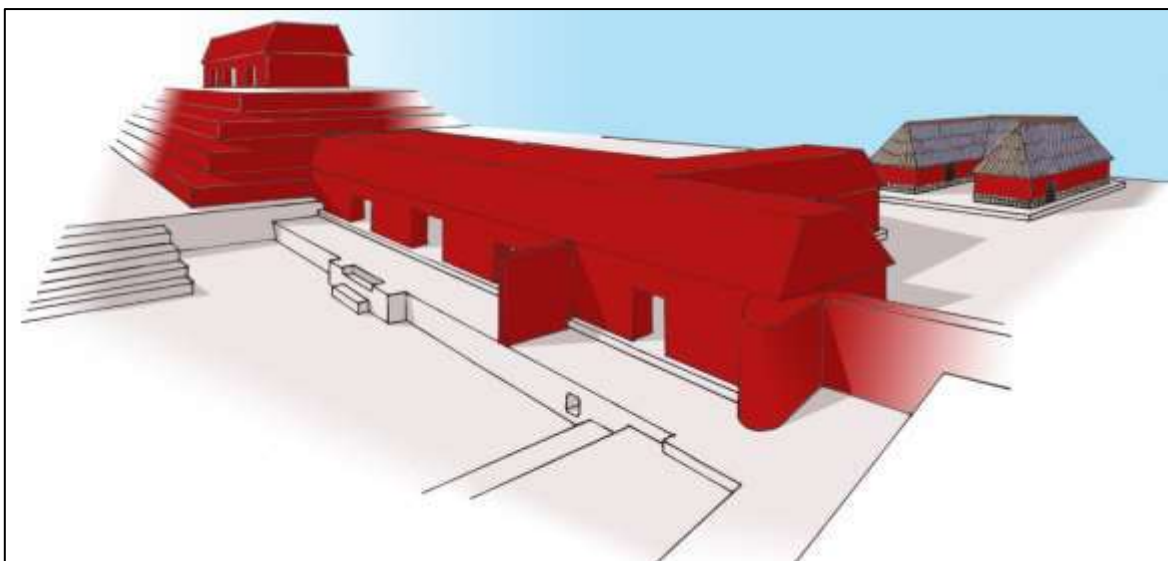


Figura 5.19. Reconstrucción arquitectónica de la Estructura 13Q-4F, con la Estructura 13Q-4E a su izquierda y la Estructura 13Q-3I a la derecha. La vista es hacia el suroeste (Dibujo por M. Lamoureux St-Hilaire)

Segundo, los espacios parecen estar bien definidos y los patrones de acceso fueron rigurosamente controlados durante las últimas dos fases de construcción de la arquitectura de superficie (Figuras 5.13, 5.19). Se sugiere entonces que el Patio Real se localizó en el cuadrante noreste de la acrópolis (Patio Noreste o Patio Hundido) y pudo incluir funciones administrativas, residenciales y lo más probable, fue un centro para recibir eventos. Por otro lado, el Patio Noroeste pareciera tener un grupo de funciones diferentes, mayormente relacionadas con el control de actividades tales como elaboración de artesanías, almacenamiento y posible preparación de comida, las cuales tuvieron lugar en las estructuras 13Q-4H-1, 13Q-4H-2 y 13Q-4I. El Cuarto Norte de la Estructura 13Q-4F fue utilizado como un pasadizo entre estos dos diferentes espacios, donde los bienes y las personas fluían y eran monitoreadas. El Cuarto Noreste de la Estructura 13Q-4F, durante la fase de ocupación terminal, pareciera seguir funciones de almacenamiento, así como otros tipos de actividades.

Las varias funciones de estas diferentes localidades se encuentran en un nivel altamente hipotético. Futuros análisis de artefactos permitirán tener un mejor entendimiento de estas actividades, y los resultados de los análisis químicos del estuco contribuirán en gran medida para nuestra comprensión del palacio. Futuras observaciones preliminares son posibles: los artefactos de pedernal son particularmente comunes en esta sección del palacio, en especial herramientas bifaciales (tanto hachas grandes como puntas de proyectil) así como lascas bifaciales retocadas (Figuras 5.21 a 5.31) (Chloe Andrieu, comunicación personal)².

Las excavaciones de la temporada 2015 tendrán como objetivo continuar con el entendimiento de las funciones del palacio. Entre otras cosas, estas se enfocarán en análisis de estucos a gran escala de las superficies del Patio Noroeste, excavaciones en basureros y más excavaciones arquitectónicas. Con estos nuevos datos, y más análisis de artefactos, se espera en contribuir al entendimiento de la función y organización del palacio y la pequeña corte real de La Corona, y al tema más amplio de la economía política de los mayas del Clásico.

² En el apéndice de este capítulo se encuentran dibujos de todas las herramientas bifaciales encontradas durante las temporadas 2013 y 2014.

Apéndice

Herramientas bifaciales encontradas en las estructuras 13Q-4F, 13Q-4H y 13Q-4I

Tabla 5.1 Análisis lítico realizado por Alejandra Roche y Chloe Andrieu

Operación	Suboperación	Unidad	Nivel	Lote	Contexto	Tipo	Categoría		Fragmento
20	F	7	3	14		Lasca pequeña	Percusión tierna		>2
20	F	4	4	4		Lasca mediana	Percusión dura		>4
20	F	4	4	4		Lasca mediana	Percusión tierna		>3
20	F	4	4	4		Bifaz	Percusión tierna	Punta de bifaz	Prox/ distal
20	F	4	4	4		Lasca mediana	Percusión tierna		>4
20	F	7	2	3	Extensión II	Hoja de laurel	Percusión tierna	Quebrado por la mitad	Medial
20	F	8	3	12	Dentro de plataforma terminal	Trozo	Percusión tierna en lados	Fragmento de bifaz	>2
20	F	8	4	15		Lascas	Percusión tierna	Retoque de bifaz	>4
20	F	2	1/2	1		Hoja de laurel	Percusión tierna	Quemado	Medial prox/dist
20	I	1	1/2	3		Lasca mediana	Percusión dura		>3
20	I	1	1/2	3		Bifaz	Grande y tosco	Forma redondeada	Medial
20	I	1	1/2	3		Bifaz	Quebrado		Prox/ Distal
20	F	7	2	3	Lado este del cuarto	Hoja de laurel	Quebrado		Medial
20	F	7	2	3		Lasca mediana	Percusión dura		>3
20	F	7	2	3		Lasca pequeña	Percusión tierna		>2
20	F	7	2	3		Trozos pequeños	Percusión dura		>2
20	I	1	5	4	Piso	Bifaz grande	Percusión tierna		Completo
20	I	1	1/2	2		Lasca pequeña	Percusión dura		>3
20	I	1	1/2	2		Trozo mediano	Con córtex		>4
20	I	1	1/2	2		Lasca grande	Percusión dura		>7
20	F	8	2	3ExtIV	Sobre plataforma	Hoja de laurel	Percusión tierna	Quebrado	Distal
20	F	8	2	3ExtIV		Bifaz	Tosco		Medial

20	F	8	2	6	Noroeste del cuarto	Trozo grande	Percusión dura y córtex		>5
20	F	8	2	6		Lasca mediana	Percusión tierna		>3
20	F	8	2	4	Dentro del cuarto	Lasca pequeña	Percusión tierna	Quemado a color negro	>2
20	F	7	3	10	Dentro banqueta terminal	Lasca grande	Percusión tierna	Retoque de bifaz	>5
20	F	7	2	3ExtI	Frente al cuarto	Hoja de laurel	Percusión tierna	Córtex en proximal	Completo
20	F	7	2	3ExtI		Bifaz	Percusión dura y tierna	Grande y Tosco	Completo
20	F	7	2	3ExtI		Lasca grande	Percusión dura		>7
20	I	1	1	1	Entre los dos montículos	Hoja de laurel	Percusión tierna	Quebrado por la mitad	Medial
20	I	1	1	1		Trozo grande	Con córtex		>5
20	I	1	1	1		Trozo pequeño			>3
20	I	1	1	1		Percutor/pulidor estuco	Basalto verde?	Piedra pulida verde	>9
20	I	1	1	1		Bifaz	Grande y tosco		Falta prox/dist
20	F	4	3	3		Lasca grande	Percusión dura		>5
20	F	4	3	3		Trozos medianos	Percusión dura		>3
20	F	8	2	4	Adentro del cuarto	Percutor/pulidor estuco	Pedernal local		>11
20	F	8	2	4		Bifaz grande	Grande y tosco	Utilizado para trabajos pesados	Completo
20	F	8	2	4		Lasca pequeña	Percusión tierna	Lasca retoque de bifaz	>2
20	F	8	2	4		Lasca pequeña	Percusión tierna	Lasca retoque de bifaz	>2
20	F	8	2	4		Lasca mediana	Percusión tierna	Lasca retoque de bifaz	>3
20	F	8	2	4		Lasca mediana	Percusión dura		>3
20	F	8	2	4		Lasca grande	Percusión dura		>5
20	F	8	2	4		Trozos medianos	Percusión dura		>4
20	I	1	3	4	Piso	Bifaz grande	Tosco		Completo

20	F	7	3	4	30 cm arriba del piso	Bifaz	Tosco		Completo
20	F	7	2	6	Puerta	Trozo mediano	Trozo de bifaz		>4
20	F	7	2	6		Trozo pequeño			>2
20	F	7	2	6		Lasca pequeña	Percusión tierna		>1
20	F	8	3	7	Frente a estructura. Patio de atrás	Trozo mediano	Percusión dura	Con córtex y quemado	>4
20	F	8	2	2		Lasca grande	Trabajada a percusión tierna		Completo
20	F	8	2	2		Bifaz	Tosco	Partido por la mitad	Distal redondo
20	F	8	2	2		Bifaz	Amorfo	Utilizado para trabajo pesado	Completo
20	F	8	2	2		Lasca mediana	Percusión tierna	Retoque de bifaz	>3
20	F	8	2	2		Trozo mediano	Percusión dura	Trozo de bifaz	>4
20	F	8	2	2		Lasca mediana	Percusión dura		>4
20	F	8	2	2		Hoja de laurel			Medial
20	F	8	2	2		Bifaz	Fragmento de bifaz		-
20	F	8	2	2		Bifaz	Fragmento de bifaz		>3
20	H	1	3	4		Bifaz	Redondo y tosco	Con córtex	Completo
20	H	1	3	4		Lasca mediana	Percusión tierna		>2

Ilustraciones

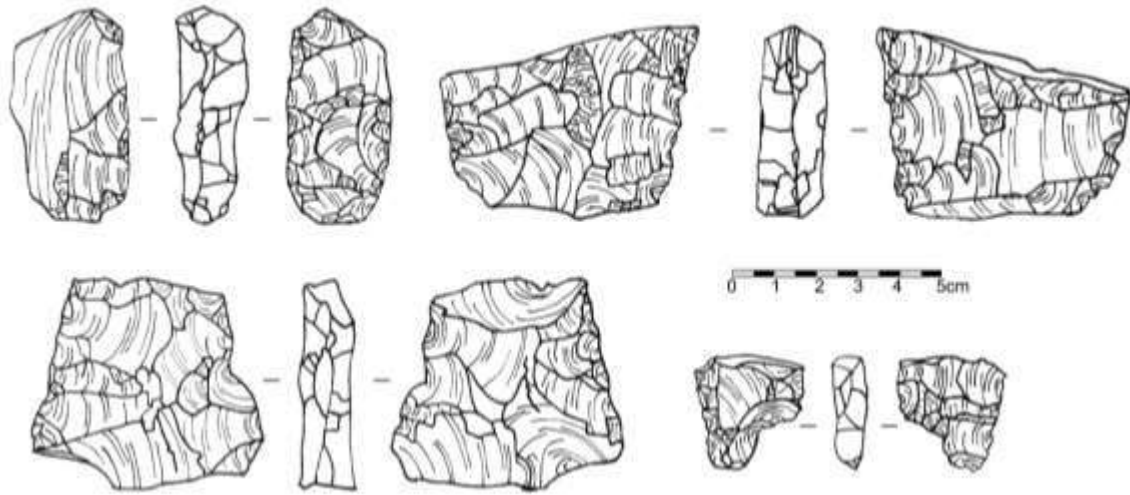


Figura 5.20. Bifaciales del lote CR20F-1-2 (Dibujo por M. Lamoureux St-Hilaire)

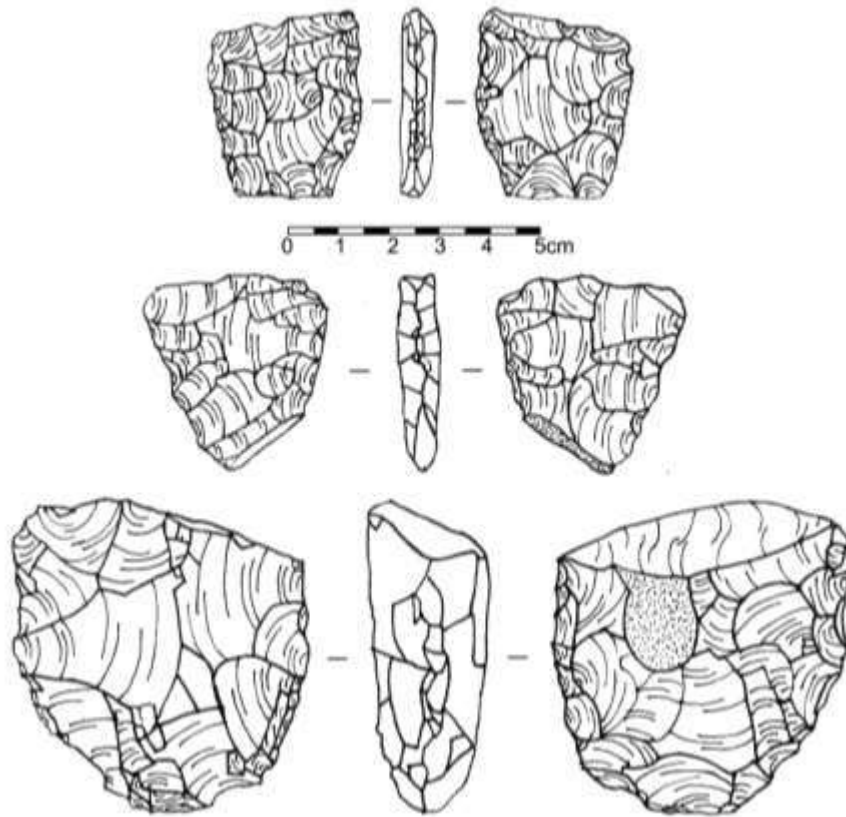


Figura 5.21. Bifaciales del lote CR20F-1-4 (Dibujo por M. Lamoureux St-Hilaire)

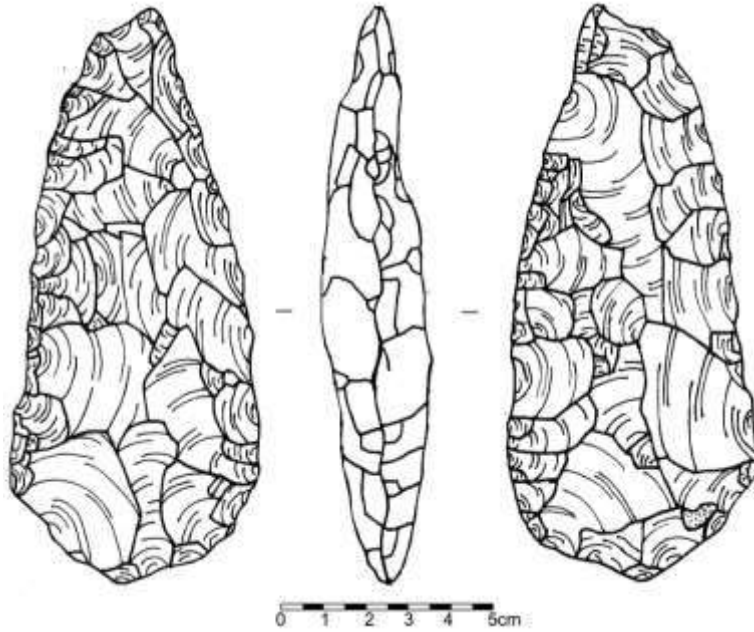


Figura 5.22 Bifacial del lote CR20F-1-6 (Dibujo por M. Lamoureux St-Hilaire)

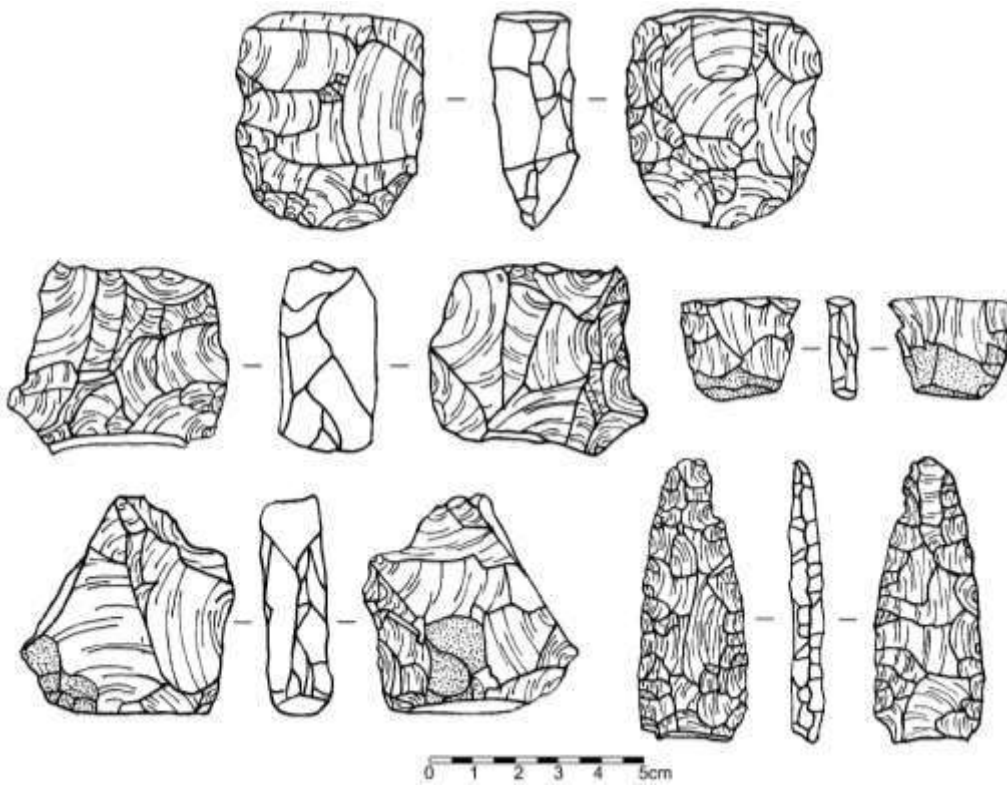


Figura 5.23 Bifaciales del lote CR20F-3-2 (Dibujo por M. Lamoureux St-Hilaire)

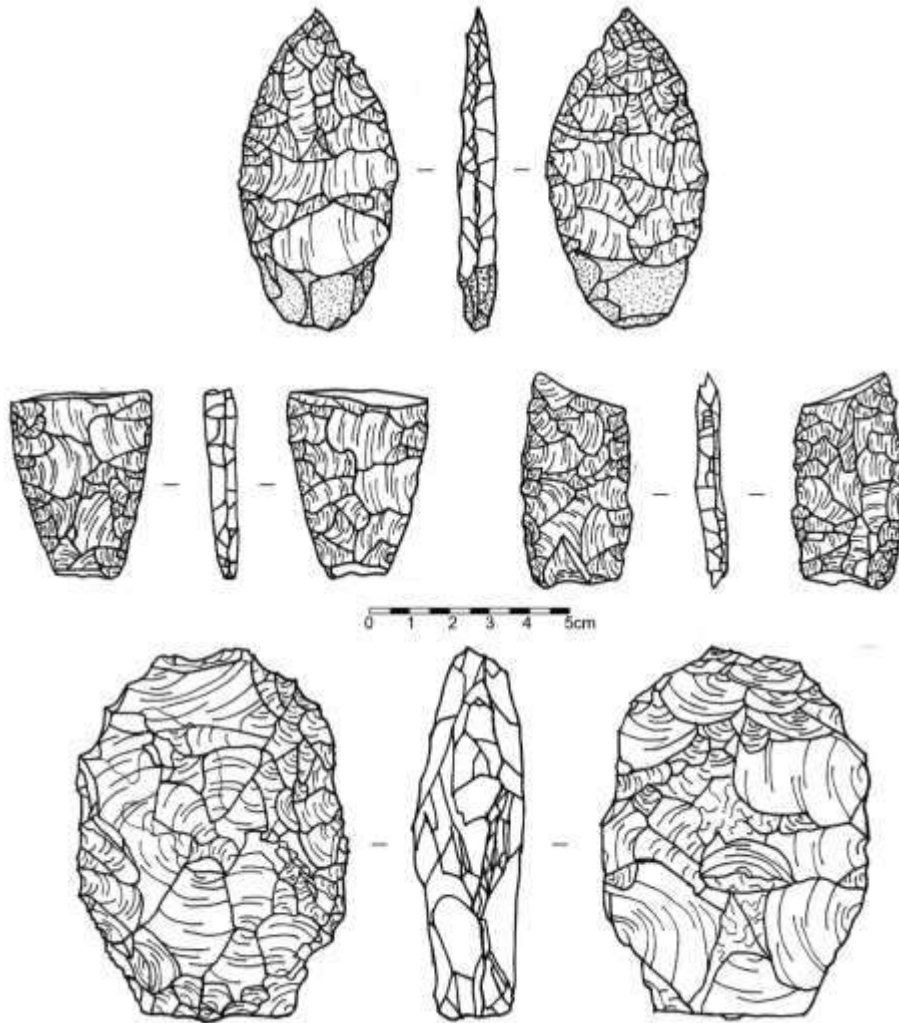


Figura 5.24 Bifaciales del lote CR20F-7-3 (Dibujo por M. Lamoureux St-Hilaire)

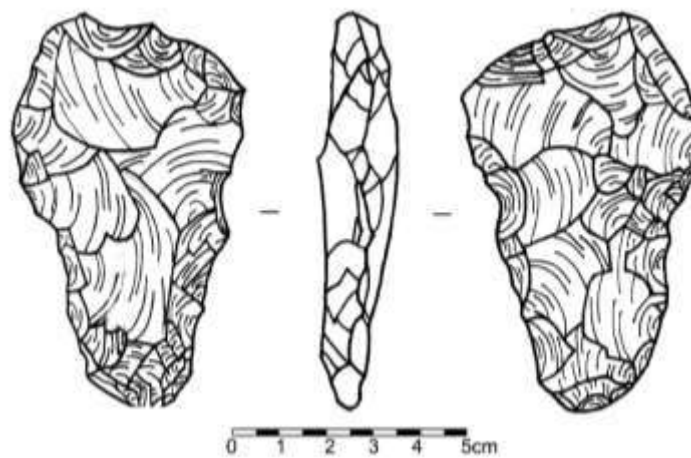


Figura 5.25 Bifacial del lote CR20F-7-4 (Dibujo por M. Lamoureux St-Hilaire)

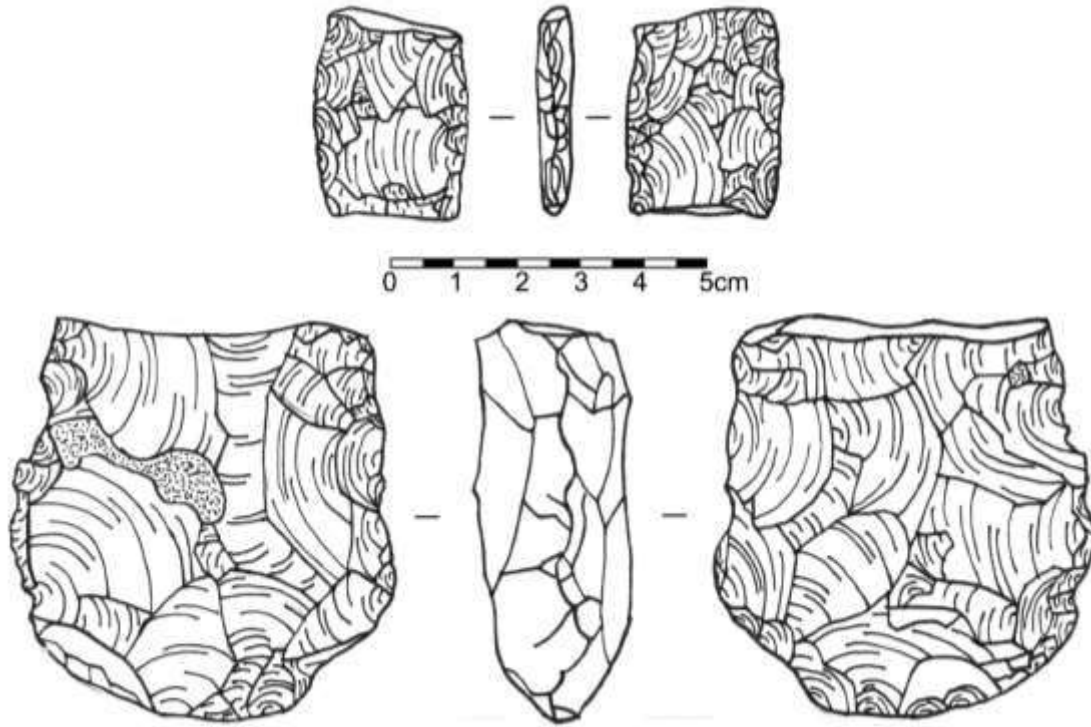


Figura 5.26 Bifaciales del lote CR20F-8-2 (Dibujo por M. Lamoureux St-Hilaire)

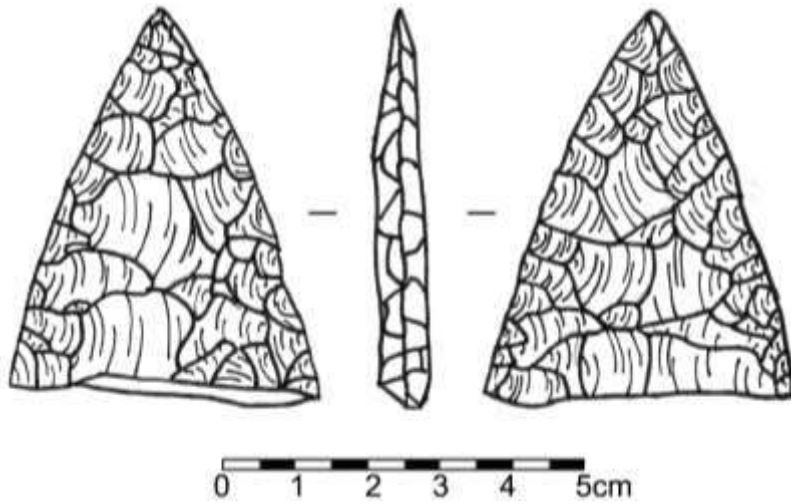


Figura 5.27 Bifacial del lote CR20F-8-3 (Dibujo por M. Lamoureux St-Hilaire)

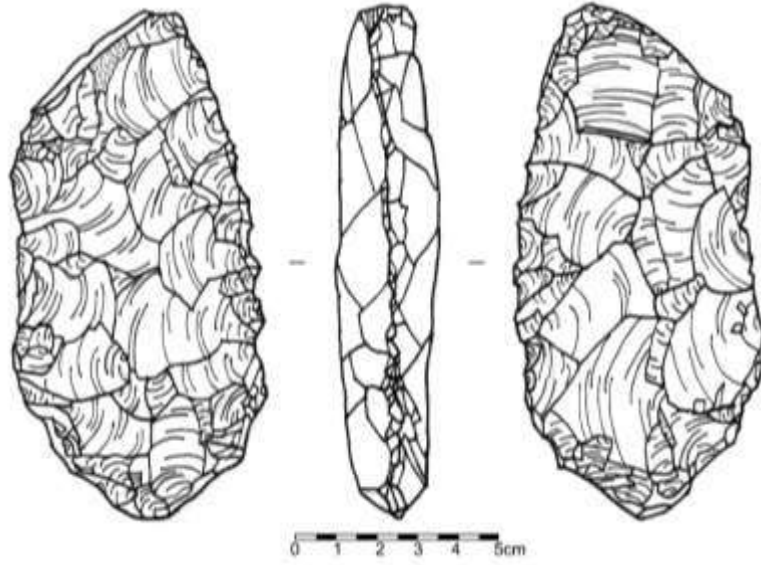


Figura 5.28 Bifacial del lote CR20H-1-1 (Dibujo por M. Lamoureux St-Hilaire)

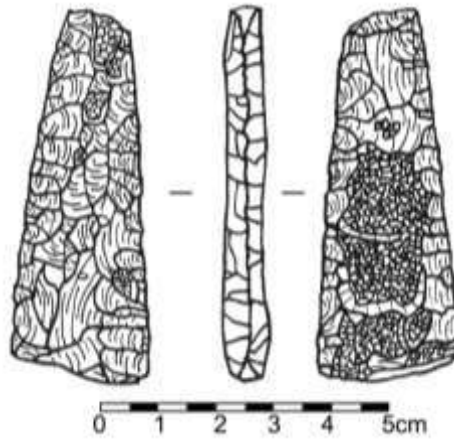


Figura 5.29 Bifacial del lote CR20H-2-1 (Dibujo por M. Lamoureux St-Hilaire)

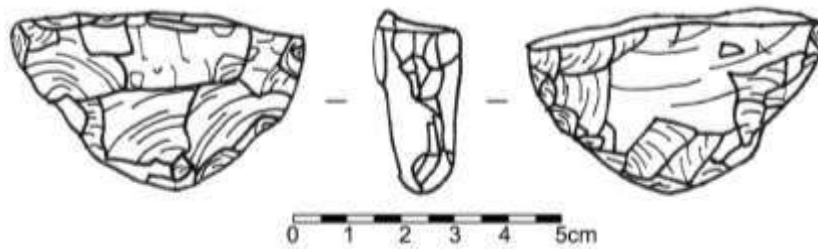


Figura 5.30 Bifacial del lote CR20I-1-3 (Dibujo por M. Lamoureux St-Hilaire)

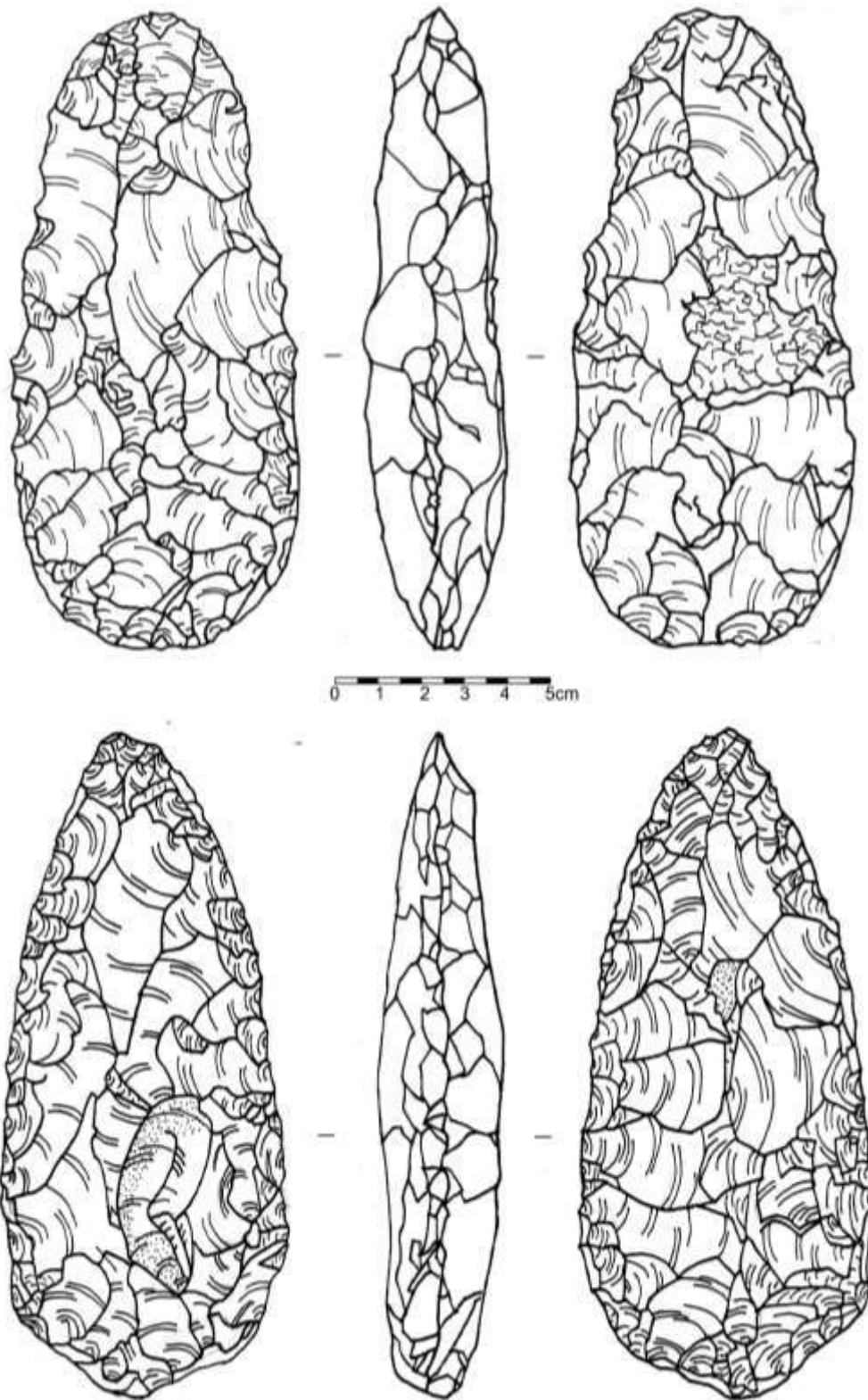


Figura 5.31 Bifaciales del lote CR20I-1-4 (Dibujo por M. Lamoureux St-Hilaire)

CAPÍTULO VI

OPERACIÓN CR31: EXCAVACIONES EN LA ESTRUCTURA 13Q-1, TEMPORADA 2014

Camilo Álvarez

Introducción:

Durante la temporada de campo de abril a julio de 2014 se realizó la primera investigación de la Estructura 13Q-1, que se encuentra ubicada en la esquina noreste de la Plaza Principal. Este es un edificio de cuerpo piramidal, de aproximadamente 8 metros de altura y una base de 10 x 10 metros; cuenta con tres basamentos, cada uno de los cuales pertenece a un estadio constructivo de diferente temporalidad, y distintos acabados arquitectónicos. En su fachada oeste hay una construcción adosada que se construyó sobre los tres basamentos de la estructura original; en este lugar se encontraba la escalinata principal del edificio, la cual fue destruida y modificada como consecuencia de algún cambio político o social.

En la temporada 2014 los objetivos fueron los siguientes: 1) definir el eje central de la estructura; 2) definir la arquitectura de la estructura; y 3) localizar un entierro en la estructura para comprobar su función funeraria. Hay que notar que este es el edificio que presenta la mayor trinchera de saqueo en el sitio, por lo que su parte superior está casi destruida por completo. Es por ello que las investigaciones se enfocaron también en determinar el grado de daño causado por la trinchera, en especial si los saqueadores llegaron o no a alguna cámara funeraria en el interior del basamento

Se utilizó la técnica de excavación por estratos naturales para los pozos y/o trincheras exploratorias y se establecieron los niveles arbitrariamente en cada una de las sub-operaciones. Para la nomenclatura de identificación se utilizó el siguiente esquema: operación, sub-operación, unidad, lote. Se definieron dos sub-operaciones: CR31A con 5 unidades y CR31B con 10 unidades (Figura 6.1).

Con respecto a la sub-operación CR31A, se localizó en la parte superior de la estructura y su objetivo principal fue realizar un pozo que definiera el eje central del edificio mediante algún resto de la superestructura, así como registrar la estratigrafía del montículo a través de la presencia de pisos y rellenos constructivos. Dependiendo de la estabilidad de éstos últimos, se intentaría profundizar para establecer el alcance de la excavación de saqueo y la presencia de

alguna cámara funeraria. No obstante, por motivo de un derrumbe en el límite norte de la trinchera de saqueo, se definieron varias unidades. Las unidades CR31A-1, A-2 y A-3, tuvieron como objetivo dar seguimiento a las fracciones de piso que se observaron luego del derrumbe ya mencionado. Las unidades CR31A-4 y A-5 se excavaron para tratar de ubicar alguna evidencia de las escalinatas principales de la estructura, en la parte superior de ésta.

La sub-operación CR31B se localizó en la base de la estructura, en los lados sur y oeste. Las unidades CR31B-1, B-2, B-3, B-4, B-5, B-6, B-7, B-8 y B-9 tuvieron como objetivo definir los cuerpos y escalinata en la base de la pirámide, y la unidad CR31B-10 se definió al final de la temporada para excavar el Entierro 19 (ver más adelante).

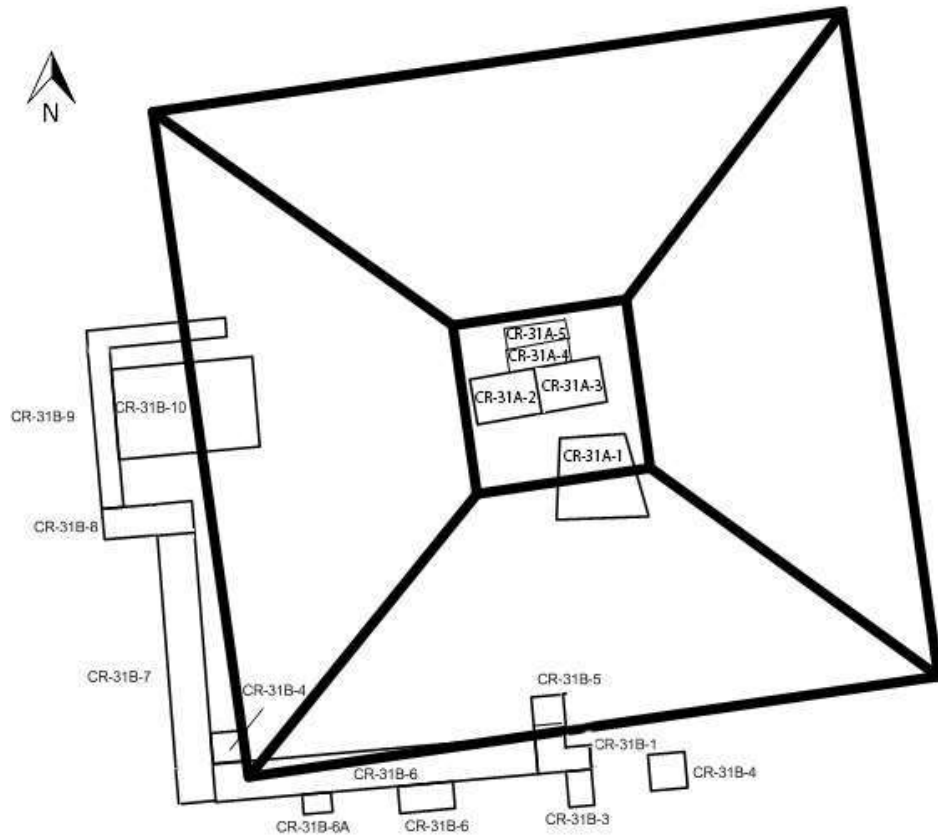


Figura 6.1 Plano de la Estructura 13Q-1 y ubicación de las excavaciones (Mapa por E. Bustamante)

Suboperación CR31A

Unidad CR31A -1

Consistió en un pozo vertical de 2 m de ancho x 2.5 m de largo y 5.7 m de profundidad. En su parte norte colinda con las unidades CR31A-2, CR31A-3, CR31A-4 y CR31A-5 y en la parte sur se encuentra con la trinchera principal de saqueo de la estructura. Se establecieron 5 niveles arbitrarios que revelaron algunos restos de rasgos arquitectónicos de la superestructura. En el primer nivel, a 0.80 m de profundidad se encontró el Piso 4 (Figura 6.2), con un grosor de 0.07 m. En el siguiente nivel, a 0.92 m del Piso 4, se encontraron 29 fragmentos de huesos de fauna y 4 lascas de obsidiana. A una profundidad de 3.20 m se encontró el Relleno 1 y a 3.50 m el Relleno 2. A 4.75 m de profundidad se encontró el Piso 5 con un grosor de 0.1 m y a 5.35 m de profundidad se encontró el Relleno 3. Finalmente, a 5.70 m se encontró el Piso 6, con un grosor de 0.09 m (Figura 6.3). Respecto a los 3 rellenos, éstos se encontraron entre los pisos 4 y 6 y formaban parte del embono de la estructura. El material utilizado fue de tierra color café compactada y no presenta ningún otro tipo de material. Los 2 primeros rellenos se encuentran entre los pisos 4 y 5, y el relleno 3 está entre el piso 5 y 6. Ninguno de los tres se encuentra a la misma distancia de los pisos entre los que se encuentran, por lo que pudieron ser utilizados para nivelación o remate de algún tipo de estructura, en algún estadio constructivo. Por lo que se puede observar en el perfil, se encontraron en la parte norte del pozo y no hay continuidad hasta la pared sur.

Lote	Nivel	Profundidad	Cerámica	Huesos	Obsidiana
1	Piso 4	0.80 m	75 tiestos	0	0
2	Relleno 1	3.20 m	777 tiestos	29	4 lascas
3	Relleno 2	3.50 m	37 tiestos	0	0
4	Piso 5	4.75 m	15 tiestos	0	0
5	Piso 6	5.70 m	0 tiestos	0	0

Tabla 6.1 Material encontrado en la unidad CR31A-1



Figura 6.2 Piso 4 de la Estructura 13Q-1, perfil este de la unidad CR31A-1 (Fotografía por C. Álvarez).

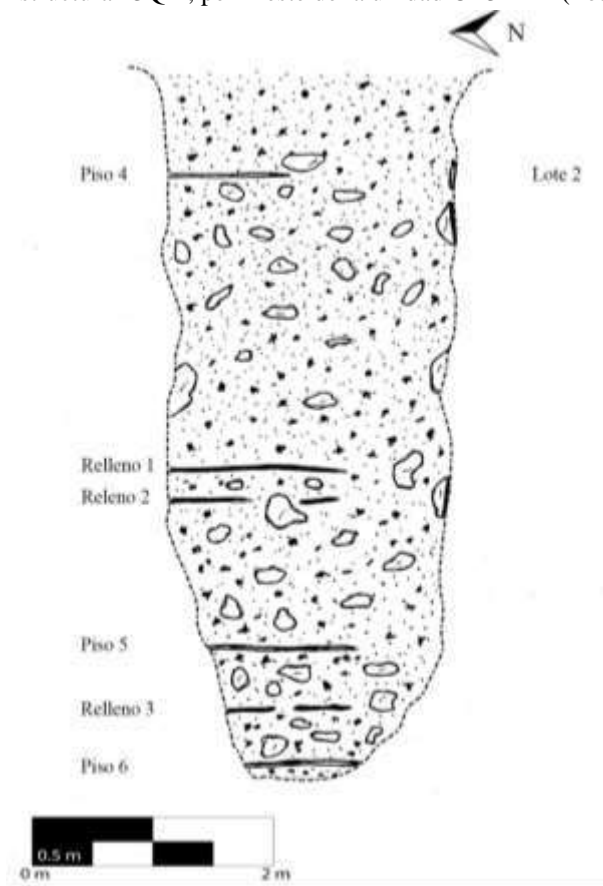


Figura 6.3 Perfil este de la unidad CR31A-1, Estructura 13Q-1 (Dibujo por C. Álvarez).

Unidad CR31A-2

Consistió de una trinchera horizontal de 2 m de ancho por 2 m de largo, ubicada al norte de la unidad CR31A-1 y se desarrolló para darle seguimiento al Piso 1, identificado en la limpieza de la trinchera de saqueo (Figura 6.4). Al realizarse los primeros trabajos de la unidad (lote 1), éstos ocasionaron un derrumbe el cual dio como resultado la exposición de una fracción de piso (Figura 6.5) de 0.56 m de largo por 0.05 m de ancho, el cual se numeró como Piso 1, (Figura 6.4). Al final de la limpieza de la pared también se expuso un segundo piso (Figura 6.6). Debido a la destrucción ocasionada por los saqueadores y las raíces de árboles no fue posible encontrar ningún tipo de evidencia adicional.



Figura 6.4 Piso 1 de la Estructura 13Q-1, unidad CR31A-2 (Fotografía por C. Álvarez).

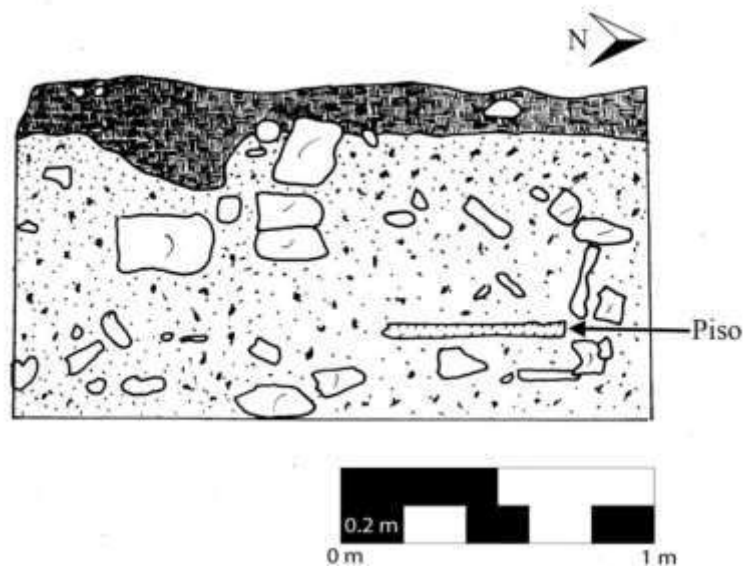


Figura 6.5 Dibujo del perfil norte de la unidad CR31A-2(Dibujo por C. Álvarez).

Lote	Nivel	Profundidad	Cerámica
1	Humus	0.15 m	32 tiestos
2	Tierra café claro	0.83 m	18 tiestos

Tabla 6.2 Material encontrado en la unidad CR31A-2



Figura 6.6 Perfil norte, unidad CR31A-2 (Fotografía por C. Álvarez)

Unidad CR31A-3

Consistió de una trinchera horizontal de 1 m de ancho por 2 m de largo; su ubicación colinda en la parte sur con la unidad CR31A-1 en la parte este con la unidad CR31A-2, y en la parte norte con la unidad CR31A-5. Se establecieron 4 niveles arbitrarios, siendo la mayoría estratos de la excavación de saqueo. Debido al deterioro ocasionado por las raíces de los árboles (Figura 6.7) y al saqueo, que es claramente visible en el perfil oeste, y que tiene 0.69 m. de altura en su parte más ancha, solo fue posible encontrar una fracción del Piso 2. La porción de piso midió 0.40 m de largo por 0.10 m de ancho (Figura 6.8).

Lote	Nivel	Profundidad	Cerámica
1	Humus	0.10 m	25 tiestos
2	Tierra café claro	0.10 m	59 tiestos
3	Tierra café oscuro	0.12 m	0
4	Derrumbe por saqueo	0.69 m	0

Tabla 6.3 Material encontrado en la unidad CR31A-3



Figura 6.7 Borde de la unidad CR31A-3 (Fotografía por C. Álvarez)

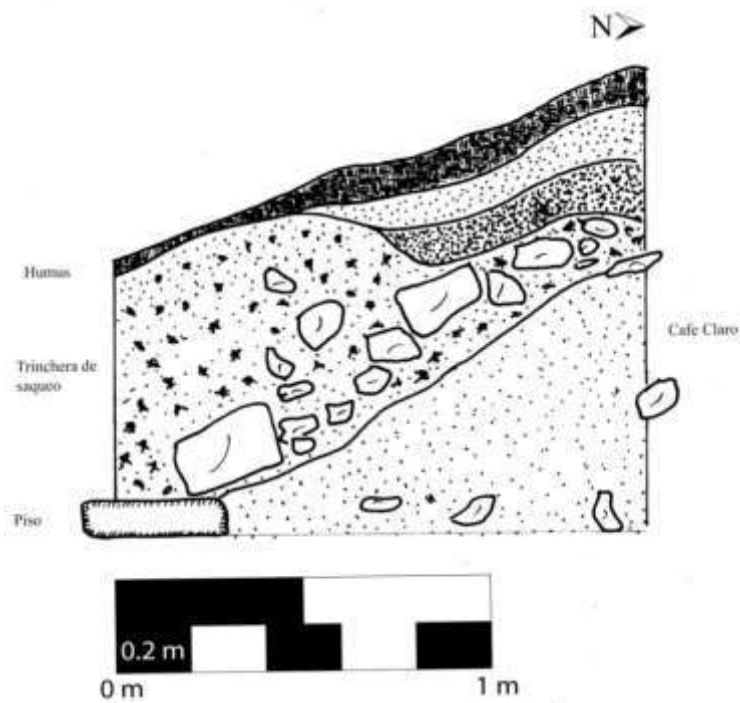


Figura 6.8 Perfil oeste de la unidad CR31A-3 (Dibujo por C. Álvarez)

Unidad CR31A-4

Se definió como una trinchera horizontal de 1.5 m de largo por 1 m de ancho que colinda al sur con la unidad CR31A-3. Se establecieron 2 lotes arbitrarios. Debido a la acción de las raíces de los árboles y a la trinchera realizada por los saqueadores (Figura 6.9), no fue posible encontrar ninguna evidencia adicional además del Piso 2 que en esta parte mide 1.65 m de largo por 0.08 m de ancho (Figura 6.10).

Lote	Nivel	Profundidad	Cerámica
1	Humus	0.09 m	0
2	Derrumbe por saqueo	1.28 m	99 tiestos

Tabla 6.4 Material encontrado en la unidad CR31A-4



Figura 6.9 Borde de la unidad CR31A-4 (Fotografía por C. Álvarez)

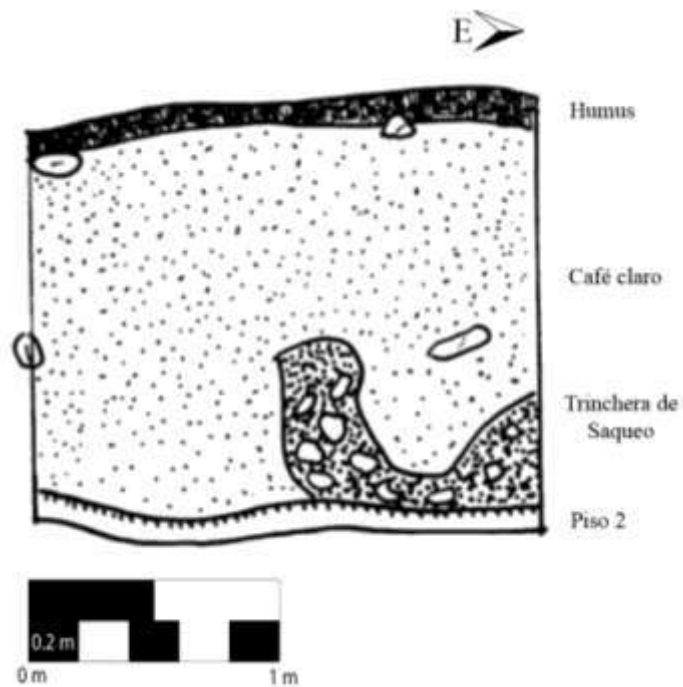


Figura 6.10 Perfil norte de la unidad CR31A-4 (Dibujo por C. Álvarez)

Unidad CR31A-5

Consistió en una trinchera horizontal de 2 m de ancho por 4 m de largo, que colinda al sur con la unidad CR31A-4. Se establecieron 2 lotes arbitrarios que corresponden a la trinchera de saqueo (Figura 6.11).

Lote	Nivel	Profundidad	Cerámica
1	Humus	1.15 m	0
2	Derrumbe saqueo	0.65 m	0

Tabla 6.5 Material encontrado en la unidad CR31A-5

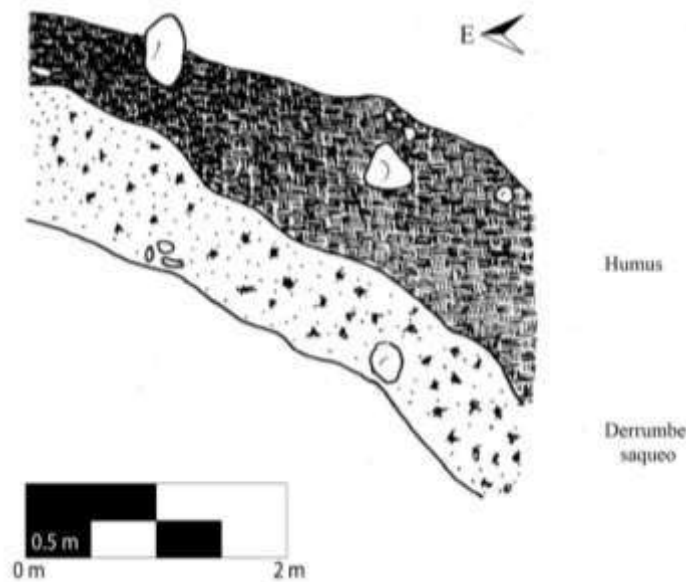


Figura 6.11 Perfil sur de la unidad CR31A-5 (Dibujo por C. Álvarez)

Sub-operación CR31B

Unidad CR31B-1

Se definió como un pozo vertical de 2 m de ancho por 2 m de largo por 3.6 m de profundidad; su ubicación colinda en la parte norte con la unidad CR31B-5 y al oeste con la unidad CR31B-6. Se establecieron 4 niveles arbitrarios. A una profundidad de 0.69 m se localizó un rasgo arquitectónico que se le nombró Muro 1, que presentó un piso estucado de 0.1 m de grosor, y una superficie estucada (Figura 6.12). Al encontrarse esto, se decidió ampliar el pozo 2 m al norte y así poder determinar en donde terminaba. Paralelamente a la excavación en la pared norte, se continuó excavando en la mitad sur del pozo, donde se encontraron 3 niveles de piso y

se llegó al nivel de la roca madre (Figura 6.12). El Muro 1 tuvo una altura de 1.44 m y el piso de su parte superior es estucado, de 0.09 m de grosor. El Muro 2 está también estucado y el piso de su parte superior tiene 0.09 m de grosor. Existen dos niveles de piso por debajo del piso de plaza; la roca madre se encuentra a 0.58 m por debajo de este nivel y el Piso 1 a 0.52 m del nivel de piso de plaza, con un grosor de 0.1 m. Entre el Piso 1 y la roca madre se encuentra una capa de barro café oscuro con una consistencia bastante dura (Figura 6.13) y el Piso 2 se encuentra a 0.18 m del nivel de piso de plaza, con un grosor de 0.1 m. El piso 3 tuvo un grosor de 0.1 m y este nivel corresponde al de piso de plaza.

Lote	Nivel	Profundidad	Cerámica
1	Humus	0.09 m	0
2	Tierra café claro	1.40 m	162 tiestos
3	Tierra café oscuro	0.14 m	0
4	Pisos 1,2,3	0.84 m	0

Tabla 6.6 Material encontrado en la unidad CR31B-1

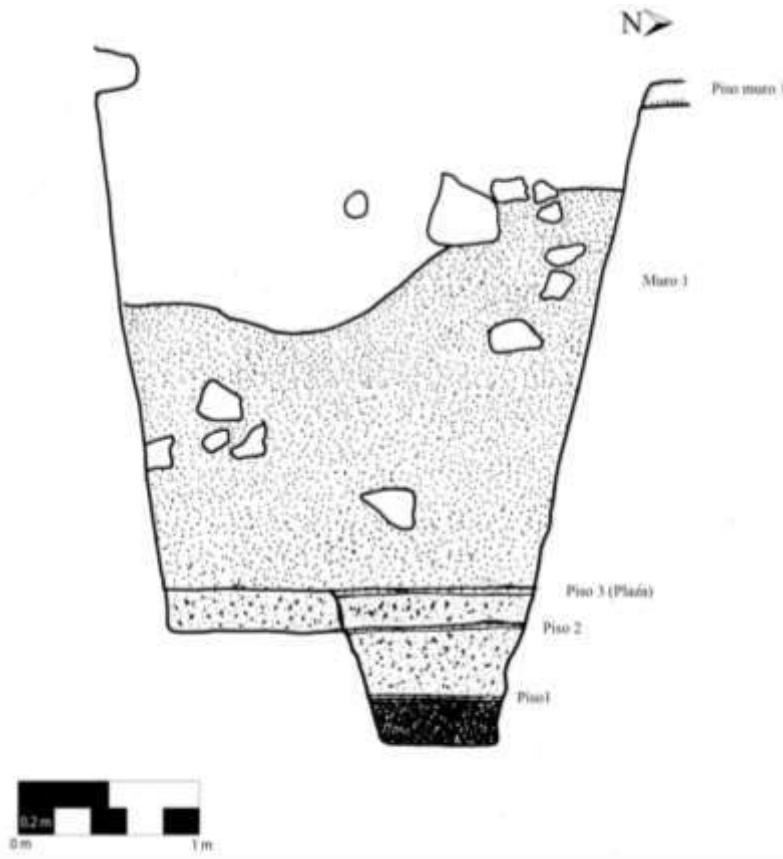


Figura 6.12 Perfil oeste de la unidad CR31B-1 (Dibujo por C. Álvarez)

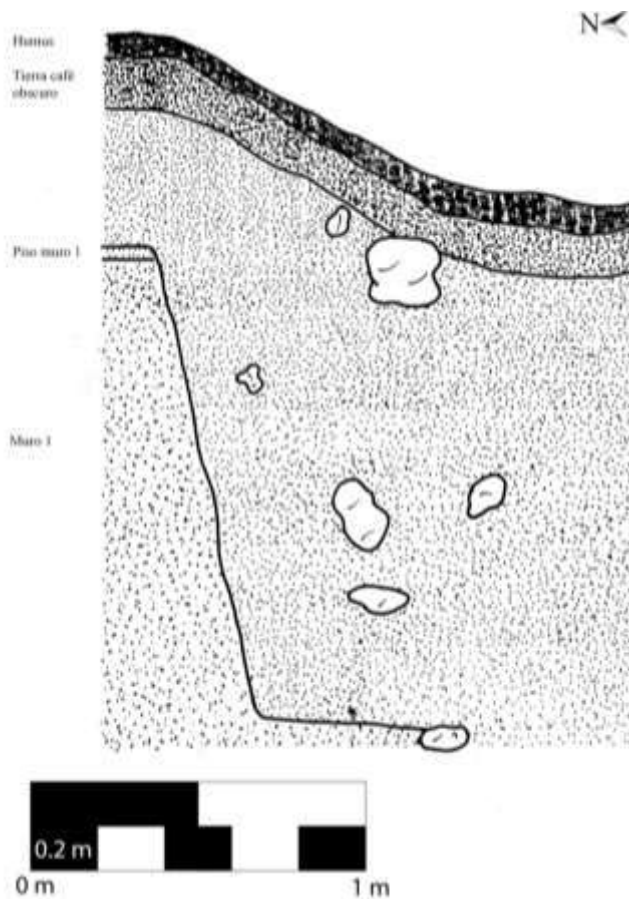


Figura 6.13 Perfil este de la unidad CR31B-1 (Dibujo por C. Álvarez)

Unidad CR31B-2

Trinchera horizontal de 2 m x 2 m, que colinda en el lado oeste con CR32B-1 y al oeste con una de las trincheras de saqueo de la estructura (Figura 6.14). Se establecieron 3 niveles arbitrarios. Como resultado de la excavación se concluyó que el Muro 1 tiene continuidad hacia el este de la estructura, con una altura de 0.6 m pero sin evidencia del estuco que lo revistió. Su mampostería está destruida en buena parte por la acción de las raíces de los árboles (Figura 6.15). Proyectando una línea imaginaria desde la unidad CR31B-2, a la esquina oeste de CR31B-1, se logró establecer la orientación de la estructura en 7 grados oeste del norte.

Lote	Nivel	Profundidad	Cerámica
1	Humus	0.05 m	0
2	Tierra café claro	0.29 m	47 tuestos
3	Tierra café oscuro	0.30 m	0

Tabla 6.7 Material encontrado en la unidad CR31B-2

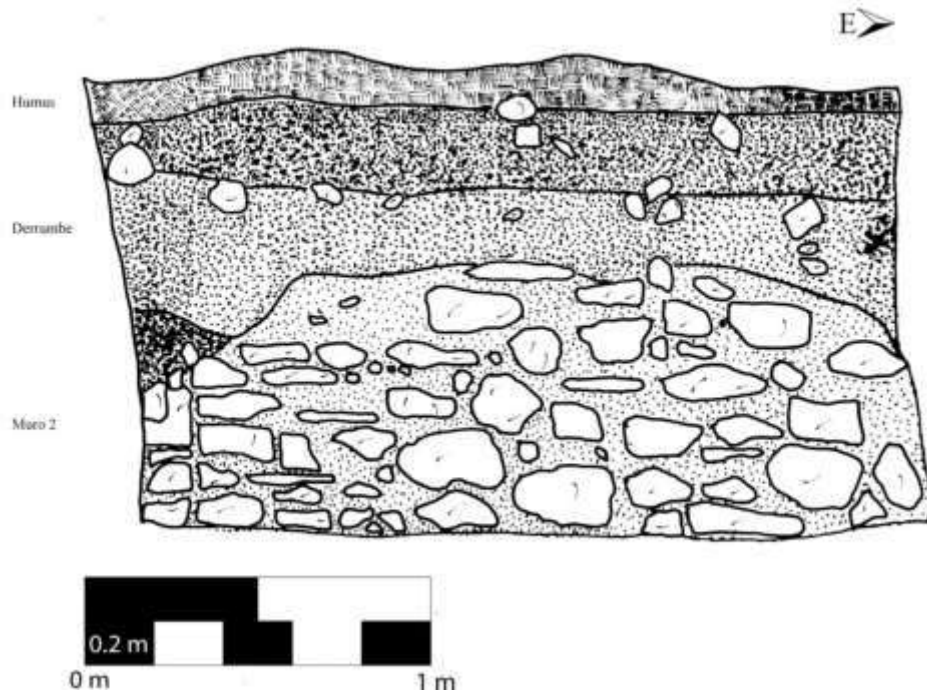


Figura 6.14 Perfil norte de la unidad CR31B-2 (Dibujo por C. Álvarez)

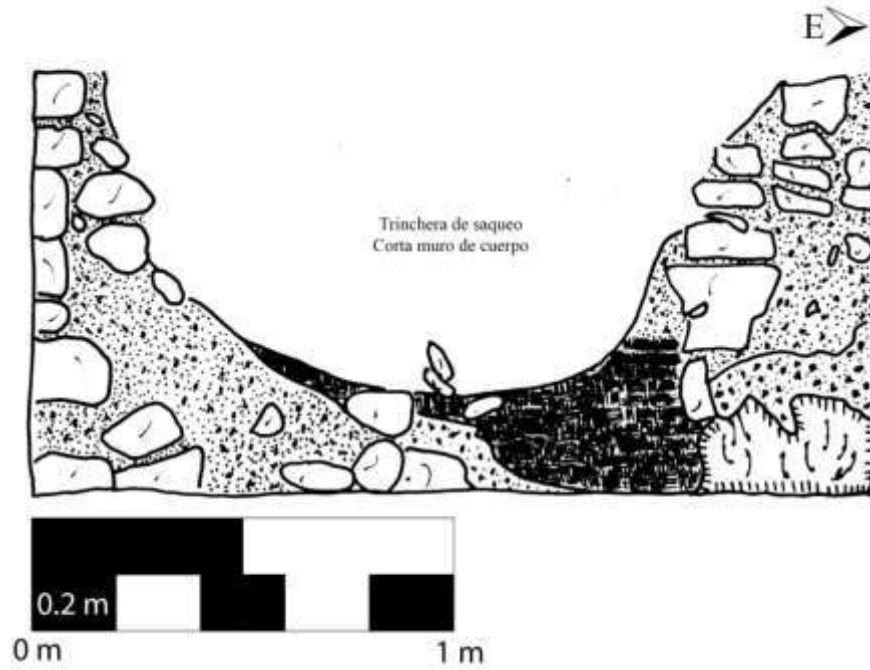


Figura 6.15 Perfil norte de la unidad CR31B-2, trinchera de saqueo (Dibujo por C. Álvarez)

Unidad CR31B-3

Pozo de 2 m de largo por 1 m de ancho, que se ubicó dentro de la parte norte de la trinchera central de saqueo de la estructura. Se establecieron 3 lotes arbitrarios. El pozo se excavó a 4 m del Muro 1 de la estructura en el frente sur, y se determinó que si hay continuidad del Piso 1 de la estructura, y que corresponde al nivel del piso de plaza. Como se pudo observar en la estratigrafía de la operación, el piso se encontró a 0.25 m, aunque este se encuentra destrozado por la trinchera de saqueo que está situada en el frente (Figura 6.16). La tierra café oscuro que se encontró en la unidad CR31B-1 y que al parecer no se encontraba en ningún otro lugar del sitio, se encontró en esta unidad. La profundidad de la roca madre es similar a la de CR31B-1, a 1.10 m de profundidad (Figura 6.17).

Lote	Nivel	Profundidad	Cerámica
1	Superficie saqueo	0.20 metros	0
2	Tierra café claro	0.20 metros	70 tiosos
3	Tierra café oscuro	0.60 metros	0

Tabla 6.8 Material encontrado en la unidad CR31B-3

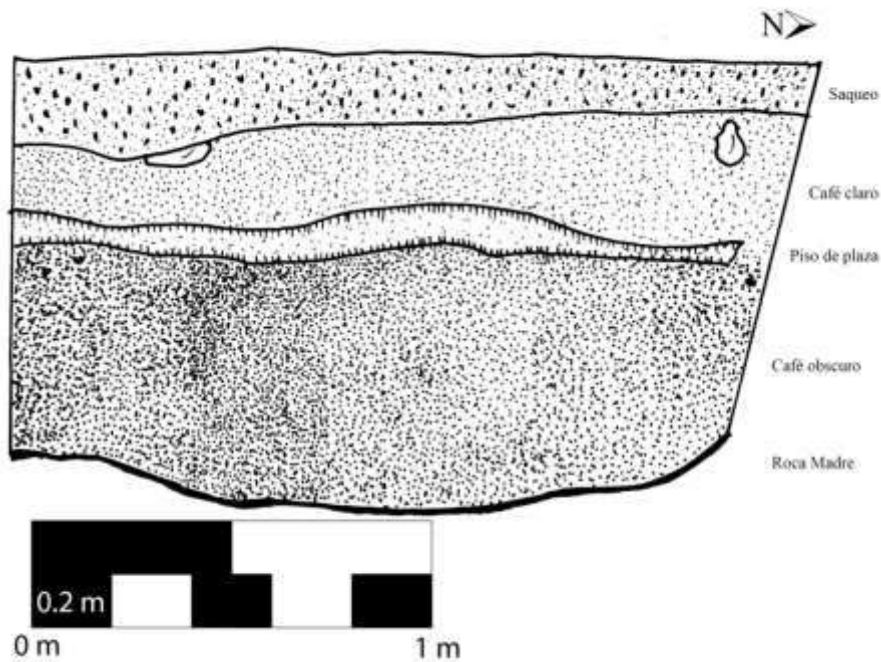


Figura 6.16 Perfil oeste de la unidad CR31B-3 (Dibujo por C. Álvarez)

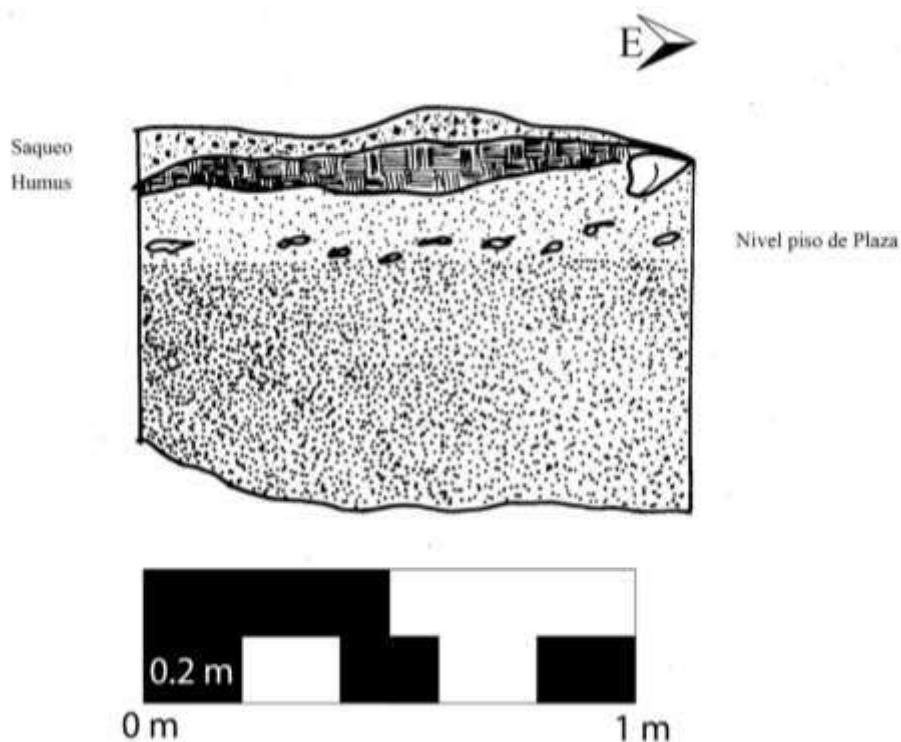


Figura 6.17 Perfil norte de la unidad CR31B-3 (Dibujo por C. Álvarez)

Unidad CR31B-4

Trinchera horizontal de 2 m de ancho por 4 m de largo, que colinda en el lado este con la unidad CR31B-1, al sur con la unidad CR31B-6 y en el lado oeste con CR31B-7. Se establecieron 2 lotes arbitrarios. El objetivo principal fue encontrar la esquina principal oeste del basamento, pero no se logró ya que la mampostería del Muro 1 se encontraba totalmente destruida por la acción de las raíces de los árboles. Se determinó que el Muro 1 forma parte del Cuerpo 1 del basamento, el cual continúa hasta esta parte de la estructura. Finalmente se descubrió una esquina arremetida con un corte a 90° al norte (Figura 6.18).

Lote	Nivel	Profundidad	Cerámica	Obsidiana
1	Derrumbe	0.60 m	0	0
2	Muro	0.40 m	99 tiestos	1 fragmento

Tabla 6.9 Material encontrado en la unidad CR31B-4

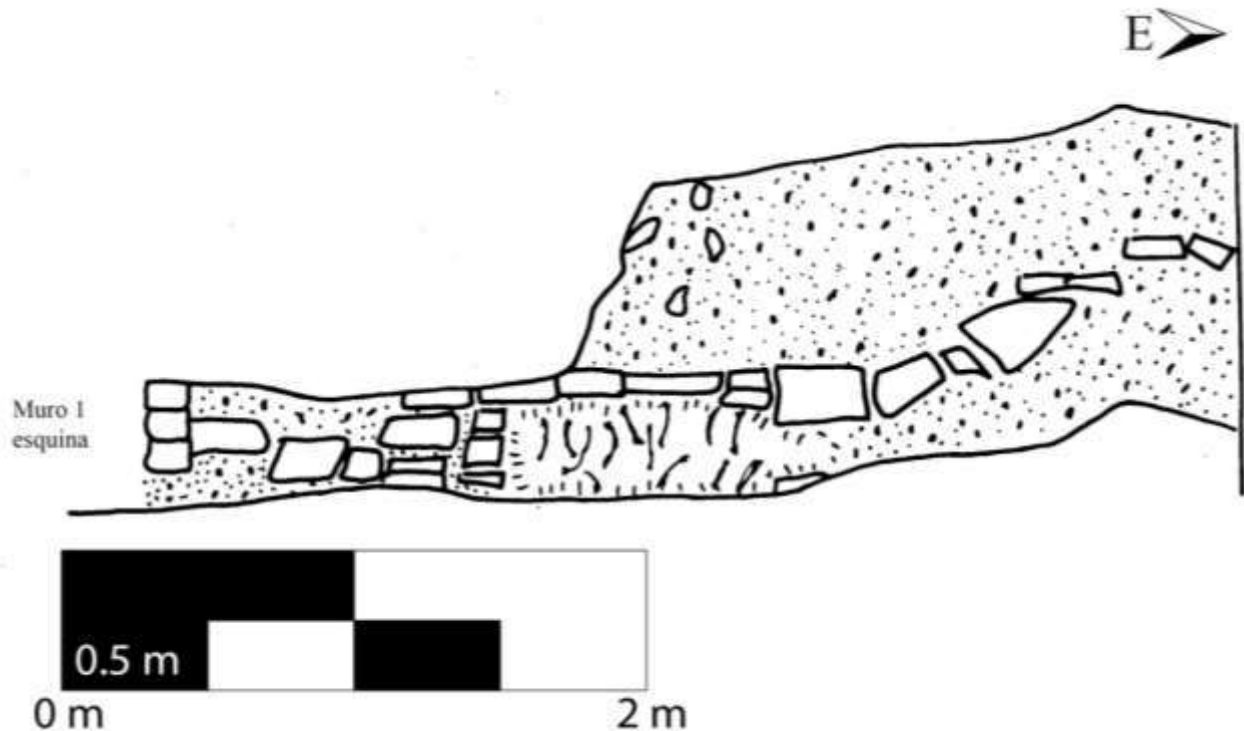


Figura 6.18 Perfil norte de la unidad CR31B-4 (Dibujo por C. Álvarez)

Unidad CR31B-5

Consiste en una trinchera horizontal de 2.5 m de largo por 2.5 m de ancho, que en su lado sur colinda con la unidad CR31B-1 y hacia el este con la trinchera principal de saqueo de la estructura. Se establecieron 2 lotes arbitrarios. Se logró establecer que el ancho del piso del Cuerpo 2 del basamento en su parte superior es de 0.75 m y la altura del Cuerpo 3 es de 0.92 m (Figura 6.19). El estucado de la pared del Cuerpo 2 se encuentra bastante deteriorado y la calidad de material de construcción así como el estilo arquitectónico del Cuerpo 3 son de inferior calidad a la de los cuerpos 1 y 2 (Figura 6.20).

Lote	Nivel	Profundidad	Cerámica
1	Derrumbe	0.96 m	8 tiestos
2	Muro dos	1.40 m	53 tiestos

Tabla 6.10 Material encontrado en la unidad CR31B-5



Figura 6.19 Muro del Cuerpo 3 del basamento de la Estructura 13Q-1. Perfil norte, unidad CR31B-5
(Fotografía por C. Álvarez)



Figura 6.20 Muro del Cuerpo 2 del basamento de la Estructura 13Q-1. Perfil norte, unidad CR31B-5
(Fotografía por C. Álvarez)

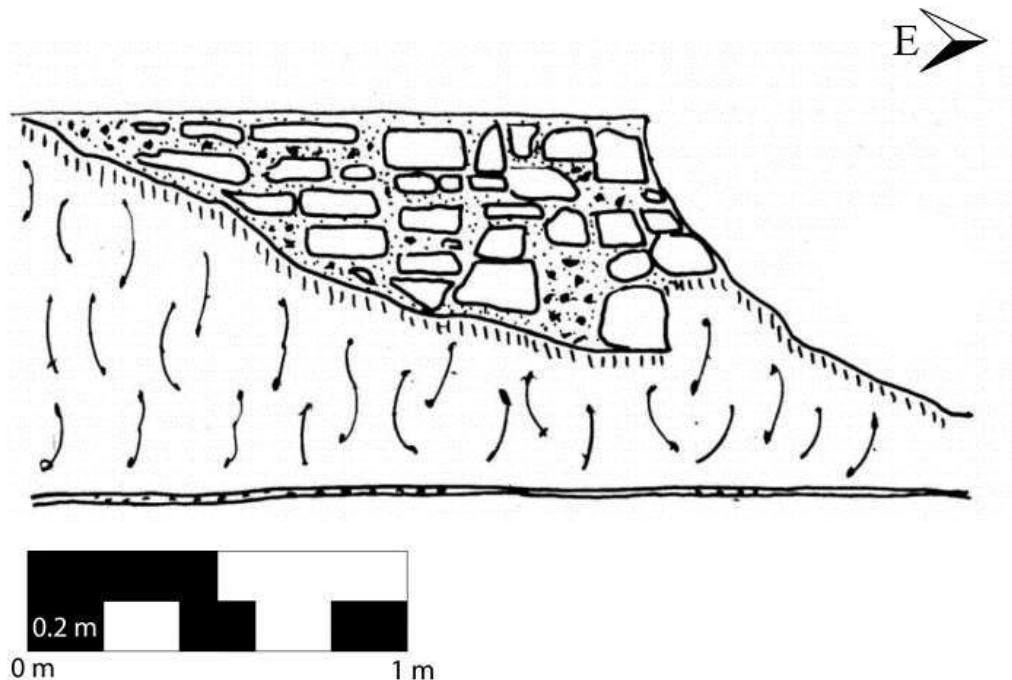


Figura 6.21 Perfil norte, unidad CR31B-5. Muro del Cuerpo 1 del basamento de la Estructura 13Q-1.
(Dibujo por C. Álvarez)

Unidad CR31B-6

Trinchera horizontal de 1.60 m de ancho por 6.40 m de largo; limita en el lado oeste con la unidad CR31B-1 y en límite oeste con la esquina arremetida de la unidad CR31B-7. Se establecieron 3 lotes arbitrarios. Esta trinchera dejó al descubierto 4.5 metros del Cuerpo 1 del basamento de la estructura (Figura 6.22), y se estableció que este se encuentra destruido probablemente en un 75%. En una parte de aproximadamente 1.5 m se pudo observar un buen detalle de la mampostería de este muro, y que conserva su estuco en una parte (Figuras 6.22 y 6.23). La altura promedio del muro es de 1.4 m y el ancho del piso superior es de 1.13 m. El límite oeste de la unidad es la esquina de la unidad CR31B-4 (Figura 6.24) y ésta se definió como el límite de las unidades CR31B-6 y B-7.

Lote	Nivel	Profundidad	Cerámica	Concha
1	Humus		52 tiestos	0
2	Tierra café claro		139 tiestos	12 unidades
3	Relleno		0	0

Tabla 6.11 Material encontrado en la unidad CR31B-6



Figura 6.22 Detalle del muro del Cuerpo 1 del basamento de la Estructura 13Q-1. Perfil norte, unidad CR31B-6 (Fotografía por C. Álvarez)

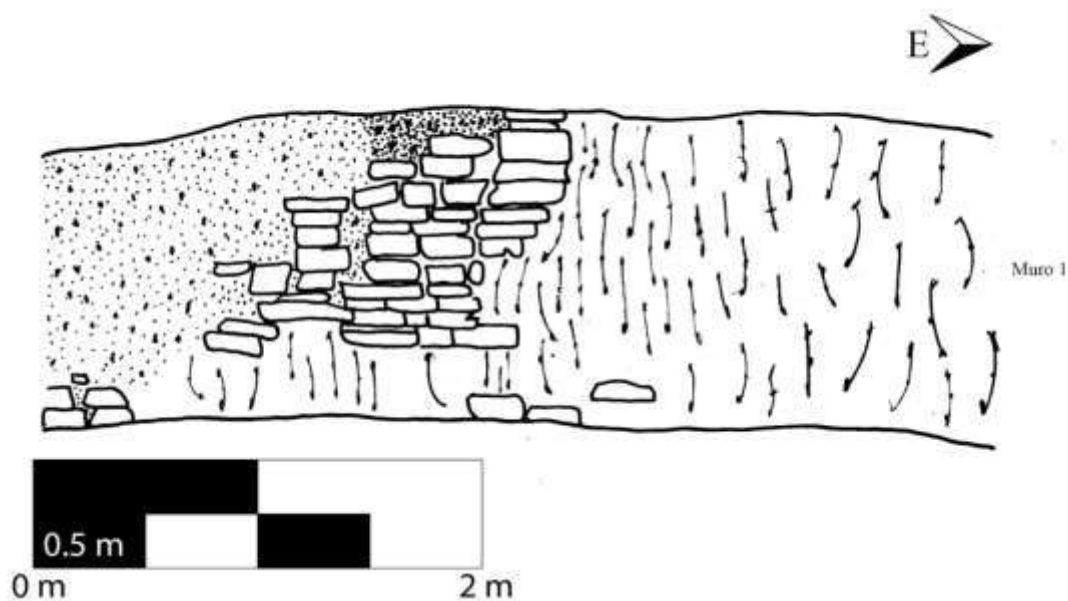


Figura 6.23 Perfil norte, unidad CR31B-6. Muro del Cuerpo 1 del basamento de la Estructura 13Q-1. (Dibujo por C. Álvarez)



Figura 6.24 Esquina remetida del Cuerpo 1 del basamento de la Estructura 13Q-1. Perfil norte, unidad CR31B-6 (Fotografía por C. Álvarez)

Unidad CR31B-6a

Trinchera horizontal de 1 x 2 m, que tuvo como límite la parte norte la unidad CR31B-6 y en el este la unidad CR31B-6b. Se logró establecer que existe continuidad del piso de plaza y se comparó con la estratigrafía de la unidad CR31B-3. También hay similitud en las medidas de profundidad de piso, de la capa de tierra color café oscuro y la profundidad de la roca madre (Figuras 6.25 y 6.26). Se utilizaron 3 niveles arbitrarios:

Lote	Nivel	Profundidad	Cerámica
1	Humus	0.23 m	0
2	Tierra café claro	0.39 m	14 tiestos
3	Tierra café oscuro	0.69 m	74 tiestos

Tabla 6.12 Material encontrado en la unidad CR31B-6a

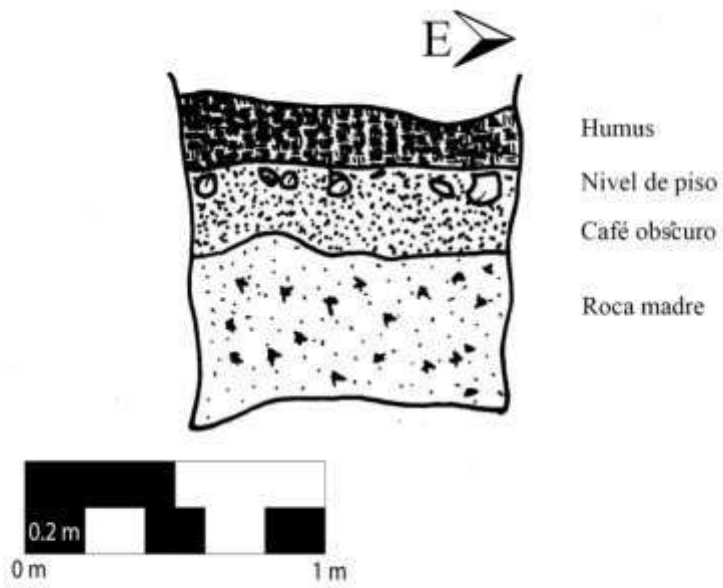


Figura 6.25 Perfil norte, unidad CR31B-6a (Dibujo por C. Álvarez)

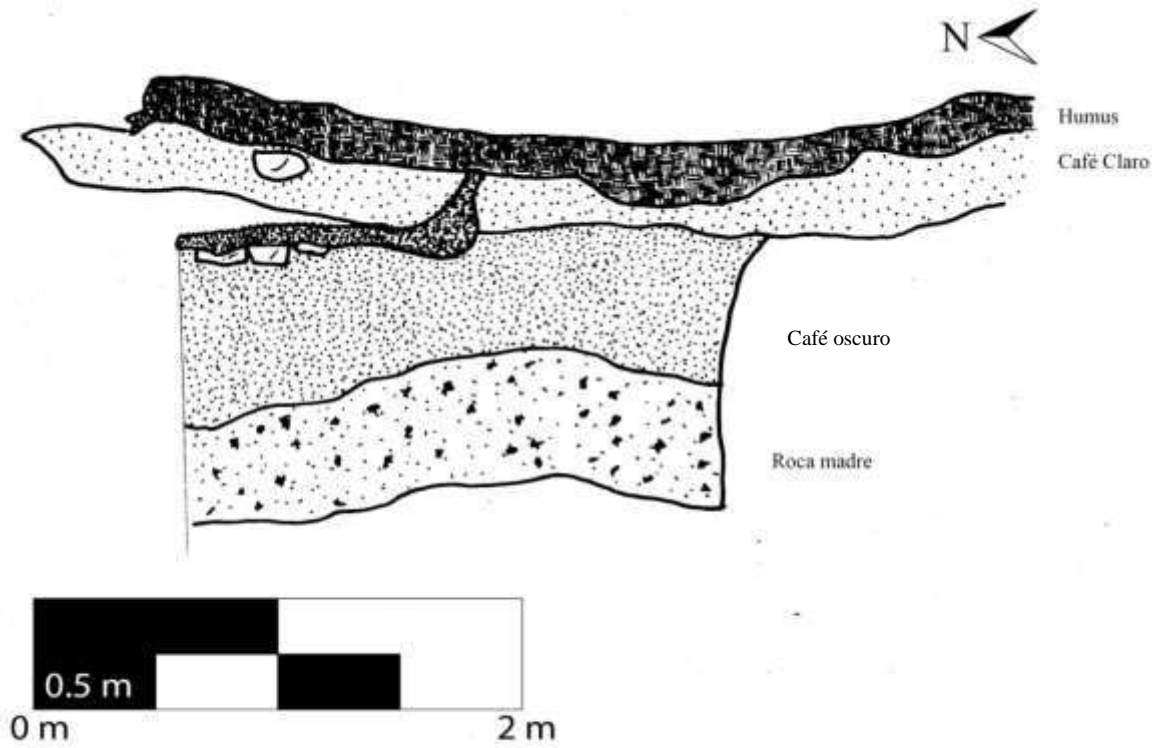


Figura 6.26 Perfil este, unidad CR31B-6a (Dibujo por C. Álvarez)

Unidad CR31B-6b

Pozo de 2 x 2 m que colindó con la parte norte la unidad CR31B-6 y en el oeste con CR31B-6a. Se utilizaron 3 niveles arbitrarios. Se determinó que un desnivel y fracturas encontradas en el piso de plaza (Figura 6.27) fueron producidos por las raíces. El piso continuó hacia el sur y la estratigrafía fue similar a la de la unidad CR31B-6a (Figura 6.28).

Lote	Nivel	Profundidad	Cerámica
1	Humus	0.23 metros	0
2	Tierra café claro	0.39 metros	97 tiestos
3	Tierra café oscuro	0.69 metros	0

Tabla 6.13 Material encontrado en la unidad CR31B-6b



Figura 6.27 Desnivel en el piso de plaza, unidad CR31B-6b (Fotografía por C. Álvarez)

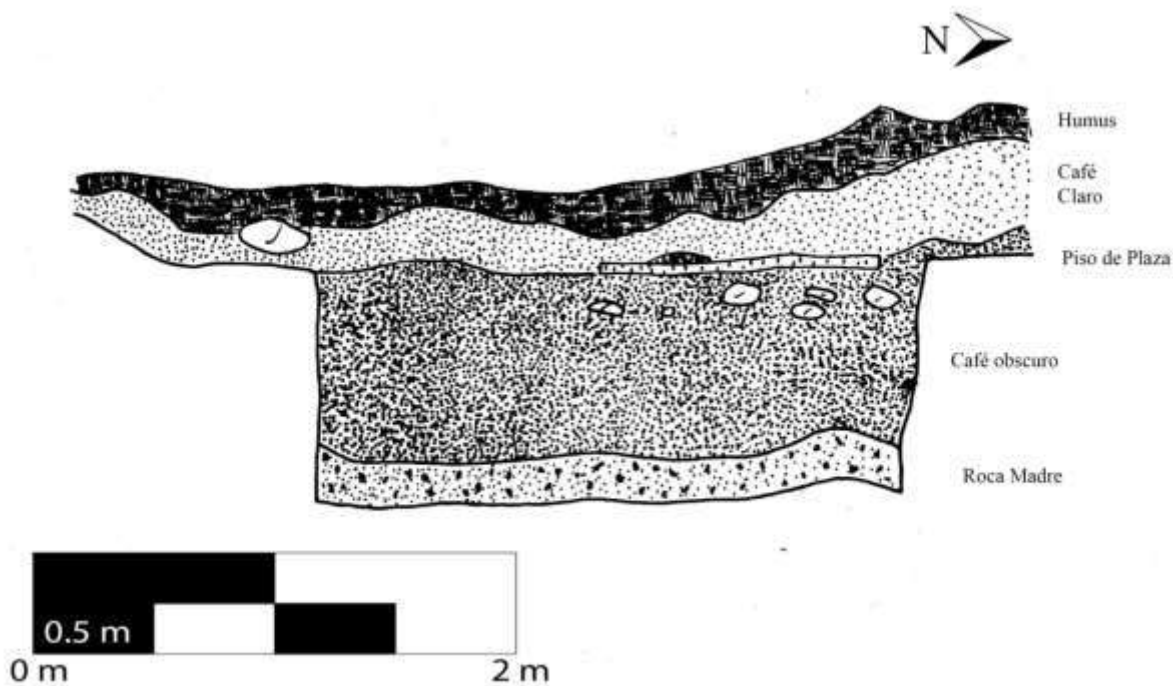


Figura 6.28 Perfil oeste, unidad CR31B-6b (Dibujo por C. Álvarez)

Unidad CR31B-7

Trinchera horizontal de 3 m de ancho por 9 m de largo, que tiene como límite en la parte norte la unidad CR31B-8 y en el sureste la unidad CR31B-6a. Se establecieron 3 niveles arbitrarios. Se encontró la esquina suroeste del basamento de la estructura (Figura 6.29) y la segunda esquina arremetida del Muro 1 (Figura 6.30). De la esquina del muro a la esquina arremetida que se encuentra en el frente oeste de la estructura, hay 2.90 m; de esta esquina a la parte final del Muro 1, en donde intersecciona con otro muro, hay 6.10 m. El nuevo muro presenta una arquitectura más burda que la del muro anterior, por lo que este rasgo es el límite de la unidad y tiene un corte de 90 grados a la izquierda en dirección oeste.

Lote	Nivel	Profundidad	Cerámica	Figurilla	Obsidiana
1	Humus	0.19 m	0	0	0
2	Tierra café claro	1.20 m	216 tiestos	1 zoomorfa	1 fracción

Tabla 6.14 Material encontrado en la unidad CR31B-7

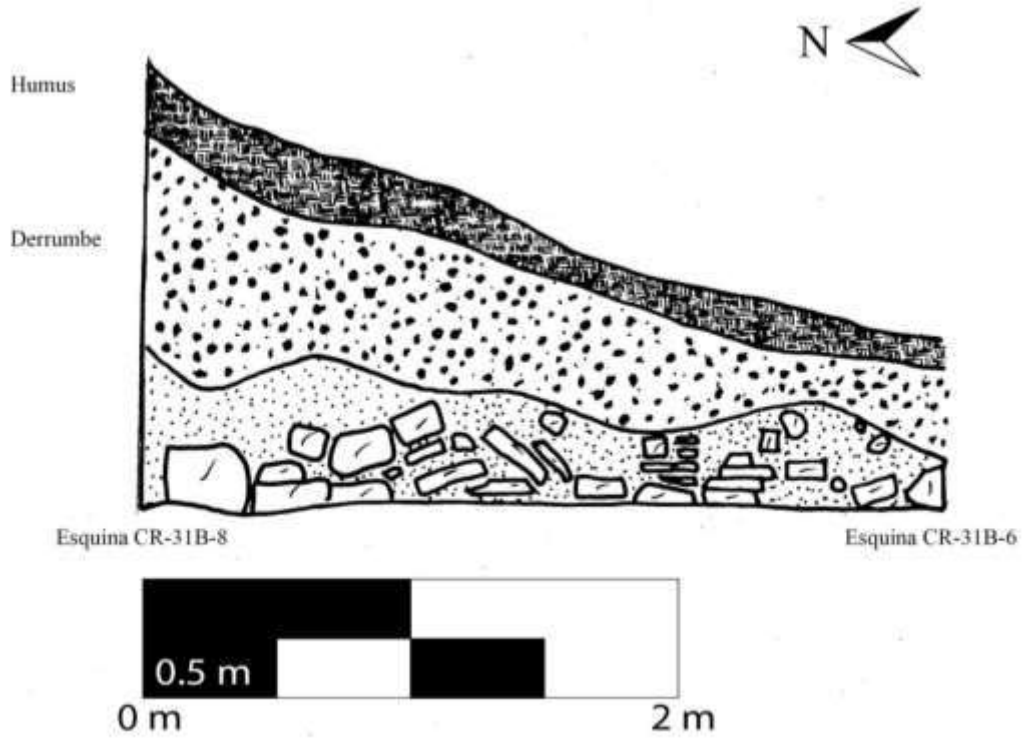


Figura 6.29 Perfil este, unidad CR31B-7 (Dibujo por C. Álvarez)



Figura 6.30 Esquina suroeste del basamento, unidad CR31B-7 (Fotografía por C. Álvarez)

Unidad CR31B-8

Consistió en una trinchera horizontal de 3 m de ancho por 9 m de largo, ubicada en el lado oeste de la Estructura 13Q-1. Tuvo como límite en la parte norte la unidad CR31B-8 y en el sureste la unidad CR31B-6a. Se utilizaron 2 niveles arbitrarios. En la esquina en donde se encuentra el límite este de la unidad (Figura 6.31), se descubrió el inicio de una plataforma adosada a la fachada oeste del edificio, y se logró ubicar la posición de la esquina arremetida de la misma. Con respecto a la parte expuesta de la parte inferior del muro del basamento, se pudo definir un cambio de material constructivo y una arquitectura más burda en la plataforma.

Lote	Nivel	Profundidad	Cerámica
1	Humus	0.30 m	0
2	Tierra café claro	0.30 m	106 tiestos

Tabla 6.15 Material encontrado en la unidad CR31B-8



Figura 6.31 Esquina formada por el muro oeste del basamento (derecha) y la plataforma adosada (izquierda)
Unidad CR31B-8 (Fotografía por C. Álvarez)

Unidad CR31B-9

Trinchera horizontal de 1 m de ancho por 6 m de largo, que colinda en la parte este con la unidad CR21B-10 y en la parte sur con la unidad CR31B-8. Se establecieron 2 lotes arbitrarios. Se logró establecer que la plataforma adosada al oeste de la estructura tenía 3 m de frente por 2.25 m de largo y 0.4 m de alto (Figura 6.32). También se determinó que si existía continuidad del muro del basamento por detrás de la plataforma adosada en esta parte de la pirámide.

Lote	Nivel	Profundidad	Cerámica	Figurillas	Jades
1	Humus	0.20 m	0	0	0
2	Tierra café claro	0.60 m	51 tiestos	1	1

Tabla 6.16 Material encontrado en la unidad CR31B-9



Figura 6.32 Fachada oeste de la plataforma adosada, unidad CR31B-9 (Fotografía por C. Álvarez)

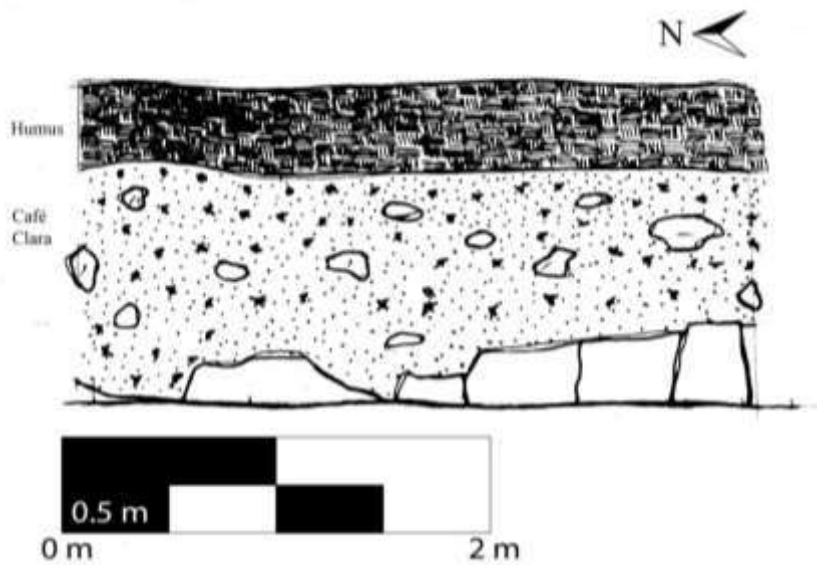


Figura 6.33 Perfil este, unidad CR31B-9 (Fotografía por C. Álvarez)

Unidad CR31B-10

Consistió de una excavación horizontal de 3 x 3 m, que colinda en la parte oeste con la unidad CR31B-9 y en la parte sur con la CR31B-8. Se establecieron 4 niveles arbitrarios. A 2.25 m de la plataforma adosada encontrada e CR31B-9 se encontró un muro con una altura de 1.8 m, asentado en la plataforma. Al continuar con la trinchera exploratoria se encontró una nueva plataforma con piso de estuco, a 0.25 m del muro. La altura de esta fue de 0.19 m y el piso tenía un grosor de 0.06 m. A 0.6 m de la base de esta plataforma se encontró otra de 0.1 m de altura, lo que sugirió entonces la presencia de una escalinata basal (Figura 6.34).



Figura 6.34 Fachada oeste de la plataforma adosada, unidad CR31B-10 (Fotografía por C. Álvarez)

A una altura de 1.65 m desde la parte frontal del muro y a 1.2 m por encima de esta última plataforma, se encontraron 4 pequeños escalones de 0.15 m de altura por 0.15 m de contra huella. Éstas se encontraban parcialmente destrozadas a consecuencia de las raíces de varios árboles (Figura 6.35).



Figura 6.35 Fachada oeste y escalinata basal de la plataforma adosada, unidad CR31B-10. Nótese los cuatro pequeños escalones en la parte superior (Fotografía por C. Álvarez)

Se continuó la excavación dentro de la plataforma adosada, y a 2.8 m al este de la base se encontró un muro de 1.42 m de altura, que es parte del embono de relleno de la estructura adosada y que presentaba señales de una intrusión. Por esta razón se decidió hacer un pozo exploratorio de 1.5 x 2 m (Figura 6.36).



Figura 6.36 Detalle del relleno de la plataforma, perfil este de la unidad CR31B-10 (Fotografía por C. Álvarez)

A 0.3 m se encontró el nivel del piso de plaza fracturado en la esquina que intersectaba con el muro del basamento y la huella de la intrusión. Luego de 0.10 m del piso de plaza se encontró un estrato de tierra café obscura similar al de la unidad CR31B-3, de 0.7 m de grosor. Al finalizar este estrato se llegó al nivel de la roca madre.



Figura 6.37 Detalle del piso de plaza roto, unidad CR31B-10 (Fotografía por C. Álvarez)

Al llegar al nivel de la roca madre se continuó con un registro horizontal hacia el oeste, cuyo límite fue la plataforma que se encontró a 0.25 m del muro del basamento. Las medidas de este pozo exploratorio fueron de 2.8 m de largo por 1.5 m de ancho, y se establecieron basadas en los límites de los trabajos ejecutados en la roca madre. A los 0.85 m de excavación en la roca madre se encontraron 2 lajas de piedra caliza fracturadas por el derrumbe mencionado anteriormente; la primera de ellas medía 1.2 m de largo por 1 m de ancho; la segunda 0.95 m de ancho por 0.55 m de largo (Figura 6.38).



Figura 6.38 Lajas en el nivel de la roca madre, unidad CR31B-10 (Fotografía por C. Álvarez)

Continuando con la excavación se procedió a levantar estas lajas y a hacer una limpieza por debajo de éstas. Luego de realizados estos trabajos se encontraron varias ofrendas pertenecientes al entierro clasificado con el número 19.

Descripción del Entierro 19

Es pertinente aclarar que los trabajos de excavación del entierro se dividieron en dos partes: la primera parte se llevó a cabo del día 29 de mayo al día 5 de junio, y la segunda parte del 21 de junio al 7 de julio. Esto fue necesario porque los primeros restos óseos se encontraron la tarde del día 4 de junio, último día de la temporada de campo, por lo que fue necesario pedir los permisos correspondientes para proceder a terminar la excavación.

Primera parte del Entierro 19

Por debajo de las lajas se encontraron las siguientes ofrendas colocadas sobre la roca madre (Figuras 6.40 y 6.41):

- *Vasija 1*: En el límite suroeste de la excavación de la roca madre se encontró un plato de 26 cm de diámetro, colocado boca arriba, tipo Saxche-Palmar de engobe naranja con borde rojo y decoración pintada en negro, con el motivo "elemento La Corona".

- A 0.2 m en dirección norte, se ubicaron dos conchas *Spondylus*
- *Vasija 2*: vasija color negro parcialmente fracturada, de 71 cm de diámetro
- A 0.15 m de la vasija negra, en dirección norte, otras dos conchas *Spondylus*
- *Vasija 3*: a 0.65 m de la base de vasija, un segundo plato tipo Infierno Negro (Canuto et al 2014), de 23 cm de diámetro, colocado boca abajo
- Incrustada sobre la anterior, una concha *Spondylus* fracturada (Figura 6.39)
- A un costado de la anterior, e incrustada en una piedra, se encontró un disco de jade de 12 cm de diámetro, con diseños incisos en ambas caras (Figura 6.39)



Figura 6.39 Concha *spondylus* fracturada y fragmento de disco de jade, Entierro 19 (Fotografía por C. Álvarez)



Figura 6.40 Primera parte del Entierro 19 (Fotografía por C. Álvarez)

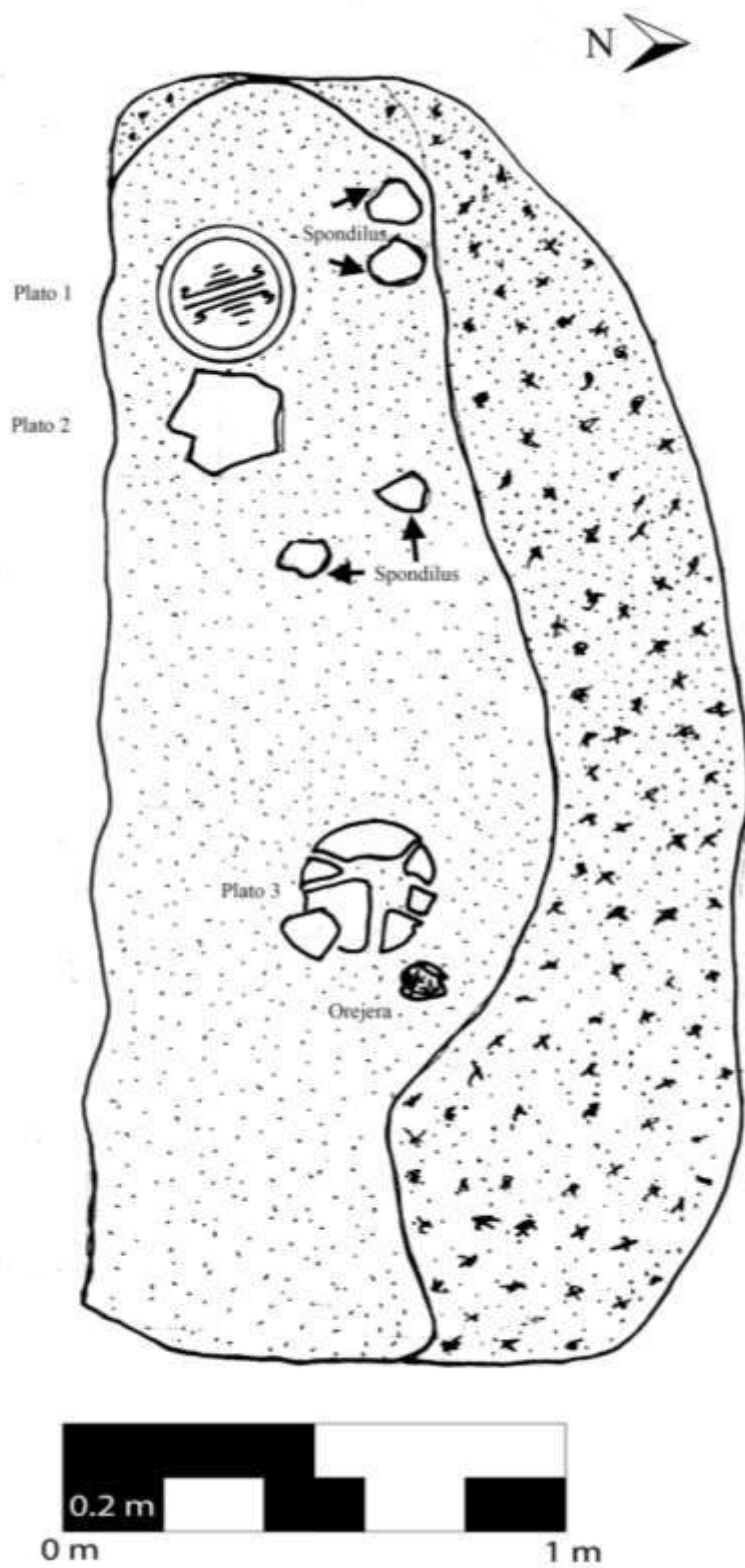


Figura 6.41 Primera parte del Entierro 19 (Dibujo por C. Álvarez)

Segunda parte del Entierro 19:

Al continuar con los trabajos se encontraron restos óseos y más artefactos (Figuras 6.46 y 6.47). Primero se identificó un hueso largo que posiblemente podría sea una tibia, aunque fue difícil comprobarlo por el estado de descomposición del mismo. Los artefactos encontrados fueron los siguientes:

- *Vasija 4:* A 1.40 m del límite oeste de la tumba se halló un vaso de cerámica color negro sin decoración, fracturado totalmente
- *Vasija 5:* A 0.13 m en dirección este del anterior, se encontró un vaso que se encontraba al costado norte del cráneo. Estaba bastante fracturado y tenía evidencias de estuco en su exterior, con pintura azul (Figura 6.42).
- El vaso anterior contenía otros 2 vasos en su interior; uno fue del tipo Pucté Café (Canuto *et al.* 2014), de 9 cm de diámetro y se encontró completo (*Vasija 6*). El otro también se encontró completo; es de color naranja, decorado con bandas rojas y mide 9 cm de diámetro (*Vasija 7*).



Figura 6.42 Vasijas 5, 6 y 7 del Entierro 19 (Fotografía por C. Álvarez)

A 0.44 m del límite de la roca madre en el lado este, y a 0.46 m del límite norte, se encontró una parte del cráneo (Figura 6.43). No se pudo identificar la posición, debido al mal estado de conservación en que se encontraba.



Figura 6.43 Restos del cráneo del Entierro 19 (Fotografía por C. Álvarez)

- A 0.59 m de la tibia, en dirección norte, fue encontrada una placa de jade con efigie de una deidad, posiblemente el Dios *K'awiil* o el Dios del Maíz (Canuto et al 2014).



Figura 6.44 Placa de jade del Entierro 19 (Fotografía por C. Álvarez)

- Finalmente, en el límite este de la tumba se encontraron dos vasijas más. El primero fue un plato de 26 cm de diámetro, color naranja, colocado boca abajo (*Vasija 8*). La otra fue un segundo plato de color negro de 26 cm de diámetro, ubicado directamente del anterior (*Vasija 9*). Por su posición se puede sugerir que el plato superior fue colocado como tapadera del otro, posiblemente para tapar su contenido (Figura 6.45)



Figura 6.45 Vasijas 8 y 9 del Entierro 19 (Fotografía por C. Álvarez)

Lote	Nivel	Profundidad	Cerámica	Jade	Huesos	<i>Spondylus</i>
1	Humus	0.30 m	137 tiestos	0	0	0
2	Tierra café claro	0.90 m	211 tiestos	0	0	0
3	Tierra café oscuro	1.00 m	158 tiestos	1 cuenta tubular de jade	0	0
4	Roca madre	0.98 m	162 tiestos 4 platos, 1 base de vasija, 4 vasos	2 discos incisos 1 placa de efigie	1 tibia, 1 cráneo	5

Tabla 6.17 Material encontrado en la unidad CR31B-10



Figura 6.46 Parte 2 del Entierro 19 (Fotografía por C. Álvarez)

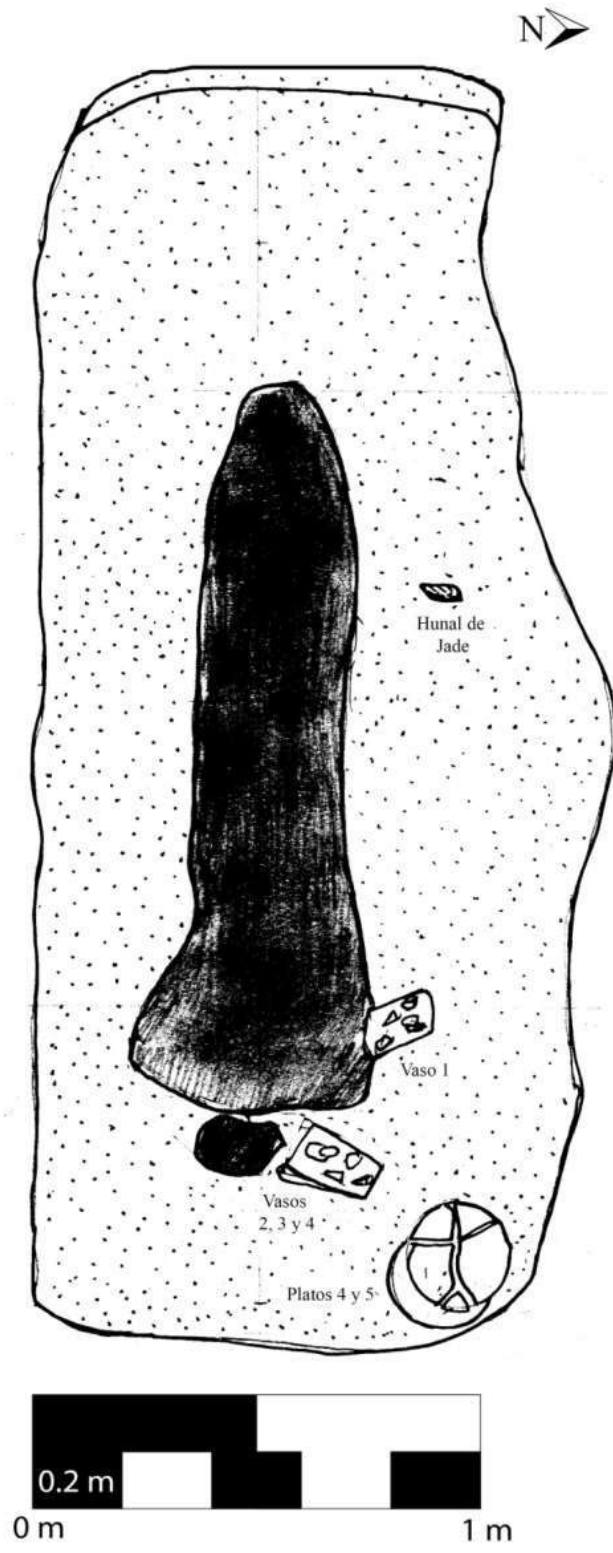


Figura 6.47 Dibujo de la Parte 2 del Entierro 19 (Dibujo por C. Álvarez)



Figura 6.48 Objetos de jade del Entierro 19 (Foto por A. Roche)

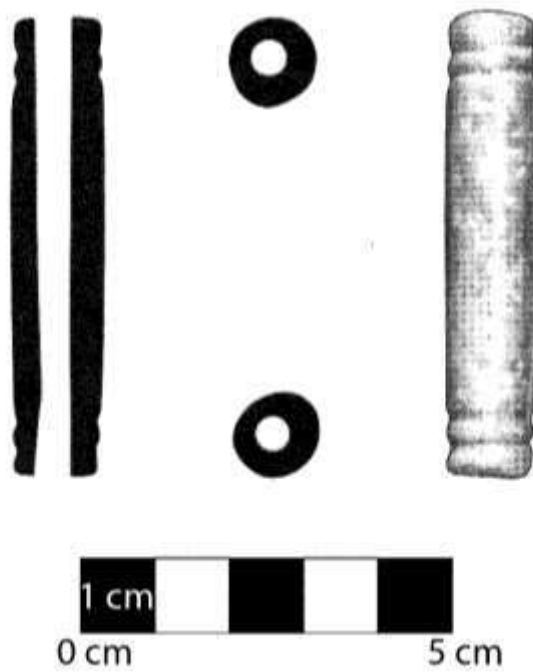


Figura 6.49 Cuenta tubular de jade del Entierro 19 (Dibujo de L. Luin)

Conclusiones

El principal resultado de estas investigaciones en la Estructura 13Q-1 fue el descubrimiento del entierro de un miembro de la realeza. Con las excavaciones en las fachadas sur y oeste de la estructura, se logró determinar que en el basamento se construyeron 3 cuerpos, los cuales presentan diferentes tipos de acabados arquitectónicos: el primero de ellos es el que exhibe los mejores; el segundo es de inferior calidad; y el del tercero tiene un tipo de arquitectura bastante burda y no presenta mampostería estucada ni piso superior, como los dos primeros. Estas diferencias sugieren que cada uno pertenece a 3 diferentes etapas constructivas.

En la fachada oeste de la estructura, la escalinata principal fue destruida y se construyó una estructura adosada sobre sus restos. La plataforma agregada presenta rasgos arquitectónicos similares a los del tercer cuerpo y definitivamente corresponden a una temporalidad más tardía que la estructura principal. Esta destrucción y remodelación seguramente fue ocasionada por un cambio posiblemente político o social a finales del Clásico Tardío (Canuto *et al* 2014). La excavación en esta parte adosada reveló la presencia de 2 banquetas o escalones y 3 niveles de piso, que correspondían a la estructura original. En la parte oeste de la estructura, específicamente en el Muro 1, se encontró un corte que evidencia una intrusión, ya que ocasionó la destrucción de los tres pisos que se encontraban justo por encima de una tumba que fue construida dentro de la roca madre.

La tumba corresponde al Entierro 19 de la Corona y contuvo un individuo que se encontró en una posición este-oeste, con la cabeza ubicada en el límite este de la tumba. Las pocas partes del esqueleto que se encontraron estaban totalmente destruidas, por la acción de las raíces de los árboles, la humedad y un derrumbe. Entonces, a causa de este deterioro solo se logró identificar el cráneo y aparentemente una tibia, por lo que no fue posible identificar su sexo y edad aproximada. Las condiciones de deterioro tampoco permitieron la conservación de los dientes. No hay que descartar que la intrusión identificada en el perfil haya sido una exhumación ceremonial en la cual se hayan extraído huesos, o también una intrusión con el objetivo de desacralizar el contenido de la tumba.

El conjunto de ofrendas encontradas en la tumba incluyeron nueve vasijas: cuatro platos, cuatro vasos y una no identificada. Dos de estos platos son del tipo Saxche Palmar y su decoración incluye el diseño conocido como el "elemento La Corona", que se encuentra en un plato del Entierro 3 y a otro del Entierro 18. Otro plato es del tipo Infierno Negro.

Adicionalmente se encontraron 5 conchas *Spondylus* y 4 piezas de jade (dos discos incisos, una cuenta tubular y una placa con iconografía del Dios *K'awiil* o el Dios del Maíz (Figura 6.50), en un aspecto también conocido como el "Dios Bufón" (Canuto et al 2014). De acuerdo a la estratigrafía asociada a la tumba, y el tipo de vasijas, se sugiere una fecha de la primera mitad del siglo VII d.C. (600-650 d.C.), sin embargo se esperarán los resultados de los análisis de algunas muestras de carbón para tener un dato más exacto. Con respecto al contexto de las ofrendas, es notable que fueron encontradas diseminadas en la tumba: los discos se encontraron a un costado de las extremidades inferiores y la placa de jade se encontró en la parte inferior del cuerpo. Por estas y otras particularidades del contexto, se infiere que el Entierro 19 fue desacralizado en un momento tardío de la ocupación de La Corona.



Figura 6.50 Joya de jade con efígie de deidad, del Entierro 19 (Dibujo por L. Luin)

CAPÍTULO VII

OPERACIÓN CR32: EXCAVACIONES EN LA ESTRUCTURA 13Q-2, TEMPORADA 2014

Erika Gómez

Antecedentes

La Estructura 13Q-2 está situada en el lado este de la Plaza Principal de La Corona y ha sido objeto de investigaciones desde 2008. Debido a tales estudios se han identificado varias etapas constructivas asociadas al período Clásico, más claramente a la etapa tardía. En las investigaciones en la parte superior de la estructura, Guenter (2010) encontró un solo cuarto, que probablemente tuvo 20 m de largo. El mismo autor indica que hubo de tres a cinco puertas hacia el oeste, quizá de 2 m de ancho y divididas por columnas de igual tamaño (Guenter 2010: 83-4, figura 4.8). Se ha investigado también el área del basamento de la estructura en su sector noroeste, localizándose vestigios de muros asociados a la fachada de la estructura (Guenter 2010; Guirola 2011), mientras que al suroeste se han encontrado vestigios de piso de plaza (Guirola 2011). Las gradas de la última etapa constructiva han sido investigadas (Guirola y Slowing 2013, Cajas 2014), así también se han localizado gradas pertenecientes a una subestructura (13Q-2-Sub3) e indicios de una plataforma (13Q-2-Sub1) (Velásquez 2011: 189, figura 7.11; Guirola y Martínez 2012), la cual fue investigada en 2014. De las investigaciones en las gradas de la Estructura 13Q-2-Sub3 es interesante que en las unidades CR32H-6 y CR32H-7 se descubrió un corte de la escalinata, posiblemente debido a la impronta de un elemento posiblemente decorativo (Guirola y Martínez 2011: 184, figura 7.21). Fue también en la temporada 2011 que se encontró la base y muro de la Estructura 13Q-2-Sub2, mismos que se asociaron en 2014 con un elemento en forma de columna (ver más adelante). Entre los hallazgos especiales se pueden mencionar dos puntas de pedernal encontradas en un pozo excavado en el sector norte frontal de la estructura (Guirola 2011: 204, figura 7.34). Por otro lado, se ha detectado actividad ligada al Postclásico dentro de este espacio, evidenciada por la presencia de incensarios, registrándose el primero de ellos en la cima de la estructura (Guenter 2010). La anterior es una de las razones por las que el mencionado autor sugirió un carácter ritual para

este edificio. Otros dos incensarios, uno de ellos fragmentado e incompleto, fueron localizados a poca profundidad en unidades de excavación en la base de la Estructura 13Q-2 (Guirola 2012: 177, figuras 7.5 y 7.6; Guirola 2013: 99, figuras 5.24 y 5.30).

En la temporada comprendida entre el 22 de abril al 7 de junio de 2014 se realizaron 11 unidades de excavación en la estructura 13Q-2. Las excavaciones se concentraron en la parte oeste de la estructura, específicamente en las inmediaciones del eje central de la estructura (Figuras 7.1 y 7.2). Dentro de los objetivos estuvo investigar la subestructura, cuyos indicios aparecieron en temporadas anteriores a manera de un piso estucado y varias plataformas. En especial se concentraron esfuerzos en la que se consideraba desde previas investigaciones como una posible plataforma ritual, de la cual ya se había descubierto la esquina noroeste (Velásquez 2011; Guirola y Martínez 2012). A la vez también se investigaron los vestigios arquitectónicos inmediatos a la plataforma antedicha.



Figura 7.1 Vista general de las excavaciones de la temporada 2014 en la Estructura 13Q-2
(Foto por E. Gómez)

La excavación se dividió en pozos, en general de 2 x 2 m, los cuales fueron orientados conforme a los muros que ya fueron expuestos en anteriores excavaciones. Se continuó con dos unidades que ya habían sido objeto de investigación en los años anteriores, aunque en aquella ocasión se denominaron CR32H-12 y CR32H-11, y en la presente oportunidad se renombraron como unidades CR32H-15 y CR32H-16, respectivamente. Estas iniciaron a cierta profundidad donde terminaron las excavaciones anteriores. Los pozos fueron controlados por estratos culturales y naturales. Las unidades

de excavación en la Estructura 13Q-2 se identificaron con la letra de suboperación que se ha asignado a cada sector de la estructura. Así se trata en este informe las unidades identificadas con la suboperación CR32H para la parte del cuerpo de la estructura, y la suboperación CR32D para el área de la base (Figuras 7.2 y 7.3). Para las profundidades se tomó como referencia un *datum* localizado al frente de la estructura, el cual está a 2.36 m sobre el nivel del piso denominado “Venado”, asociado a la subestructura.

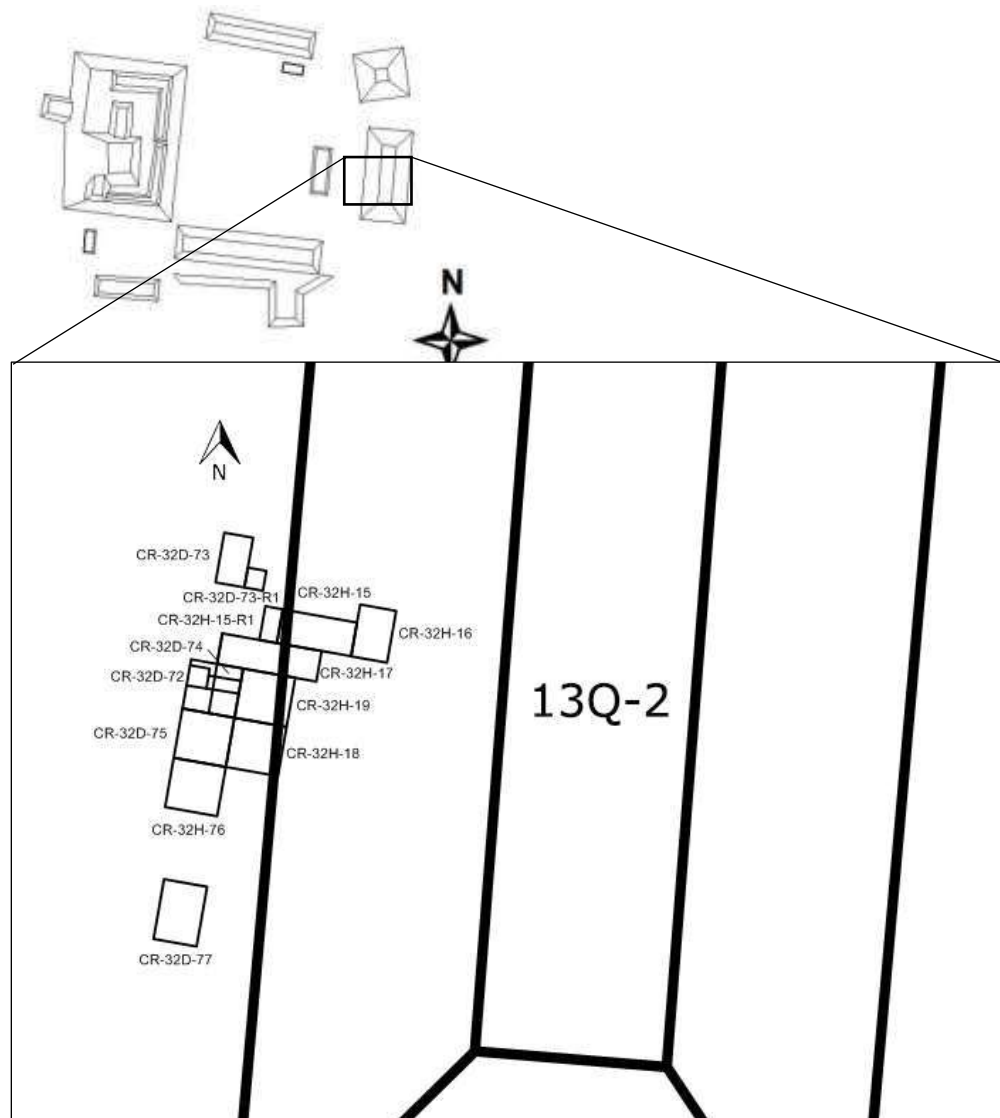


Figura 7.2. Planta de la Estructura 13Q-2 mostrando la distribución de unidades de excavación en 2014 (Mapa por E. Bustamante)

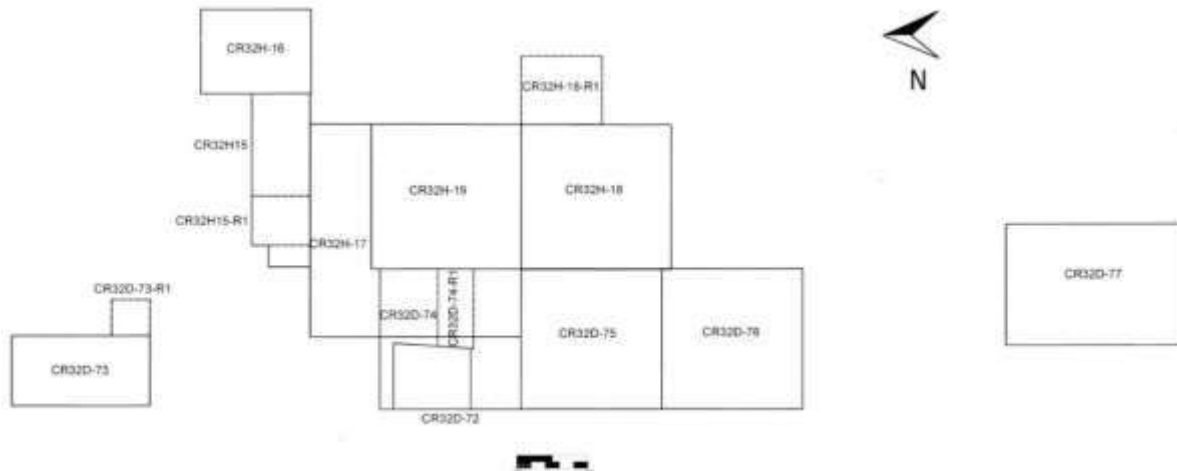


Figura 7.3. Planta mostrando la distribución de unidades de excavación (Esquema por E. Gómez)

Generalidades de las unidades excavadas

A continuación se ofrece una visión muy general de las unidades excavadas, en las inmediaciones del eje central de la fachada frontal de la estructura (Ver Tabla 7.1). Sólo la unidad CR32D-77 fue trazada un tanto aislada del resto de unidades, sin embargo se describe en conjunto por ser parte del mismo sector excavado al oeste de la Estructura 13Q-2.

Unidades CR32H-15 a H-19 y CR32D-72 a D-76

Estas unidades y los registros en algunas de ellas fueron ubicados en el centro de la fachada de la Estructura 13Q-2. Todas están contiguas y generalmente dieron como resultado evidencias arquitectónicas y rituales (Figura 7.4) que se intentan resumir en la Tabla 7.1. Los detalles de los hallazgos se presentan posteriormente.

Unidad	Tipo	Dimensión en metros	Profundidad máxima	Ubicación	Hallazgos relevantes
CR32H-15	Pozo	0.85 x 2.5	0.6 m desde el fin de la excavación del pozo en temporada anterior (a 2.36 m desde el <i>datum</i>)	Sector del cuerpo de la estructura	<ul style="list-style-type: none"> • Escalones de Estr. 13Q-2-Sub3 • Alineación de piedras • Piso de Estructura 13Q-2-Sub3 • Pequeño depósito de fragmentos de

					cerámica
CR32H-15-R1		0.8 x 0.7	0.1 m desde la primera grada de la escalinata de la Estr. 13Q-2-Sub3	Parte suroeste de CR32H-15	<ul style="list-style-type: none"> • Piso y escalón de Estr. 13Q-2-Sub3
CR32H-16	Pozo	1.5 x 1.2	0.5 m desde el fin del pozo en temporada anterior (0.76 m del <i>datum</i>)	Al este de la unidad CR32H-15	<ul style="list-style-type: none"> • Superficie estucada irregular de 13Q-2-Sub3
CR32H-17	Pozo	1 x 3	3.23 m	Sector del cuerpo de la estructura. Al sur de la unidad CR32H-15	<ul style="list-style-type: none"> • Escalones de la última etapa constructiva • Segmento de muro en Estr. 13Q-2-Sub3 • Parte superior de plataforma ritual 13Q-2-Sub1
CR32H-18	Pozo	2 x 2	2.04 m	Sector del cuerpo de la estructura. Al sur de la unidad CR32H-19	<ul style="list-style-type: none"> • Escalones de la última etapa constructiva • Muro de contención en Estr. 13Q-2-Sub3 • Muro truncado en Estr. 13Q-2-Sub3 • Escalones de la Estr. 13Q-2-Sub3
CR32H-18-R1	Registro (cala)	1 x 1	0.85 m	Perfil este de la unidad CR32H-18	<ul style="list-style-type: none"> • Segmento de muro en Estr. 13Q-2-Sub3 • Escalones de Estr. 13Q-2-Sub3
CR32H-19	Pozo	2.15 x 2	3.71 m	Sector del cuerpo de la estructura. Eje central. Al sur de la unidad CR32H-17	<ul style="list-style-type: none"> • Escalones de la última etapa constructiva • Muro de contención en Estr. 13Q-2-Sub3 • Muros en Estr. 13Q-2-Sub3 • Depósitos cerámicos y restos de quema dentro de plataforma 13Q-2-Sub1 • Entierro 18

CR32D-72	Pozo	2 x 1	3.01 m	Eje central	<ul style="list-style-type: none"> • Escalones de la última etapa constructiva • Nicho en plataforma ritual 13Q-2-Sub1 • Depósito pequeño de macrolascas de pedernal • Piso de y bajo Estr. 13Q-2-Sub3
CR32D-73	Pozo	2 x 1	2.09 m	Sector de la base de la estructura	<ul style="list-style-type: none"> • Escalones de la última etapa constructiva
CR32D-73-R1	Registro	0.5 x 0.5	0.5 m	Lateral norte de columna	<ul style="list-style-type: none"> • Muro norte de columna norte
CR32D-74	Pozo	2 x 1	3.6 m	Eje central	<ul style="list-style-type: none"> • Escalones de la última etapa constructiva • Frente de la plataforma ritual 13Q-2-Sub1 • Nicho de la plataforma ritual
CR32D-74-R1	Registro	0.5 x 1.1	2.06 m	Nicho de plataforma. Eje central	<ul style="list-style-type: none"> • Pisos • Ofrenda
CR32D-75	Pozo	2 x 2	2.39 m	Base de la estructura. Al sur de las unidades CR32D-72 y 74	<ul style="list-style-type: none"> • Escalones de la última etapa constructiva • Columna decorada de Estr. 13Q-2-Sub2 • Plataforma ritual 13Q-2-Sub1
CR32D-76	Pozo	2 x 2	2.14 m	Base de la estructura. Al sur de la unidad CR32D-75	<ul style="list-style-type: none"> • Escalones de la última etapa constructiva • Columna decorada de Estr. 13Q-2-Sub2
CR32D-77	Pozo	2.5 x 1.7	1.85 m	Base de la estructura. 2.9 m al sur de la unidad CR32D-76	

Tabla 7.1. Resumen de datos de las unidades excavadas (Tabla por E. Gómez)

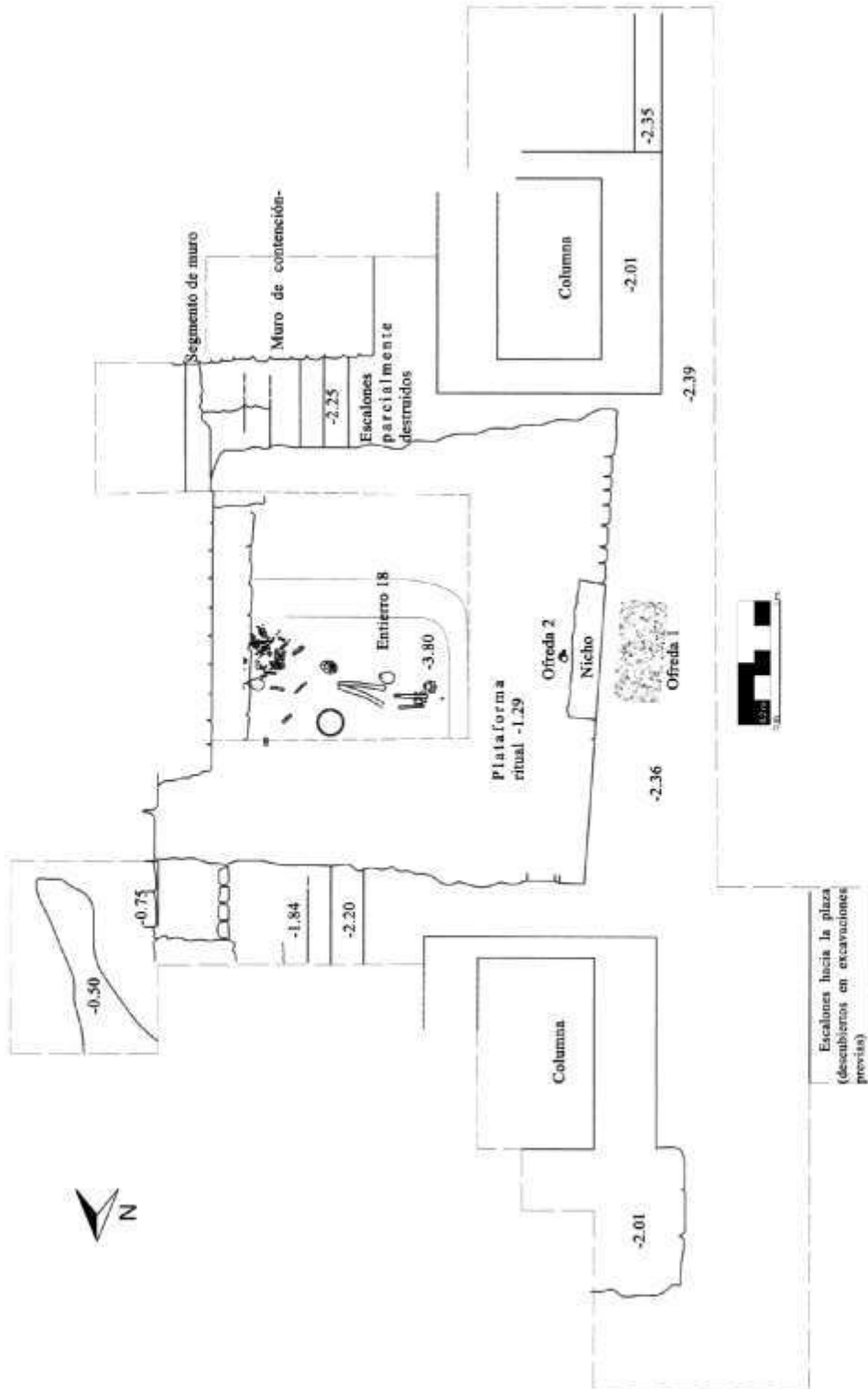


Figura 7.4. Planta mostrando los hallazgos principales de la subestructura de 13Q-2. Niveles con respecto a datum (Dibujo por E. Gómez)

Elementos arquitectónicos investigados

Escalinatas

La escalinata de la última etapa constructiva (Figura 7.5), se identificó en las unidades CR32D-72, D-73, D-74, H-17, H-18, H-19 y D75, a una profundidad mínima de 0.15 m de la superficie. Solamente en las unidades CR32D-72 y D-74 los escalones se definieron de forma más clara, mientras en el resto de unidades se observaron los bloques desplomados. Estas escalinatas pertenecen a la última etapa constructiva de la estructura 13Q-2, por lo que sus bloques se retiraron a fin de investigar la subestructura. Se observó que el relleno previo a la escalinata constó de piedra grande y mediana con tierra café claro compacta. Debajo de tal relleno, se pudo observar piedras de tamaño más homogéneo, de entre 0.15 y 0.2 m, con tierra compacta café rojizo, en el área de las unidades CR32H-18 y H-19. Ese relleno rojizo también fue visible luego de remover los bloques de gradas de la unidad CR32D-73. Aunque no se ha finalizado el análisis de todos los materiales cerámicos de este relleno, el análisis preliminar realizado por Caroline Parris (com. pers.) para la cerámica del pozo CR32H-19, indica que esta última etapa constructiva contó con material del final del Clásico Tardío.



Figura 7.5. Escalones de la última etapa constructiva en la unidad CR32D-72 (Foto por E. Gómez)

En las unidades CR32H-15 y H-18 se encontraron gradas estucadas de la escalinata de una subestructura (Figuras 7.6, 7.7 y 7.8). Las excavaciones de esta temporada evidenciaron que su parte central pudo haber sido cortada, posiblemente como parte de un reingreso al Entierro 18 (ver más adelante).



Figura 7.6. Vista desde el oeste, de los vestigios de la escalinata frontal de la Estructura 13Q-2-Sub3. Izquierda: sector norte. Centro: proceso de excavación el sector sur, unidad CR32H-18. Derecha: detalle de gradas parcialmente destruidas y registro en el este de la misma unidad (Fotos por E. Gómez)

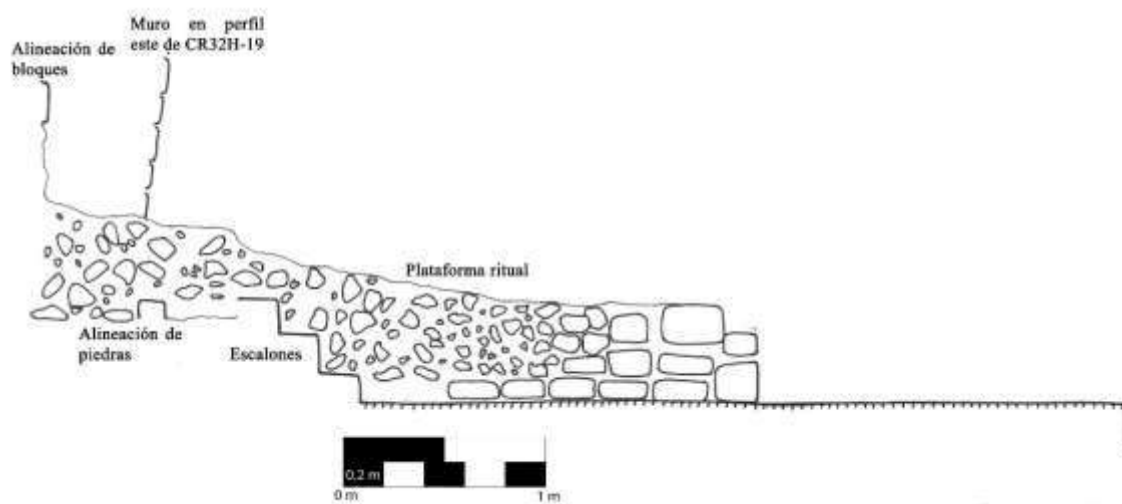


Figura 7.7 Corte Este-Oeste, mostrando entre otros, los escalones, asociados a la penúltima etapa constructiva (13Q-2-Sub3), localizados en el sector norte de las excavaciones (Dibujo por E. Gómez)

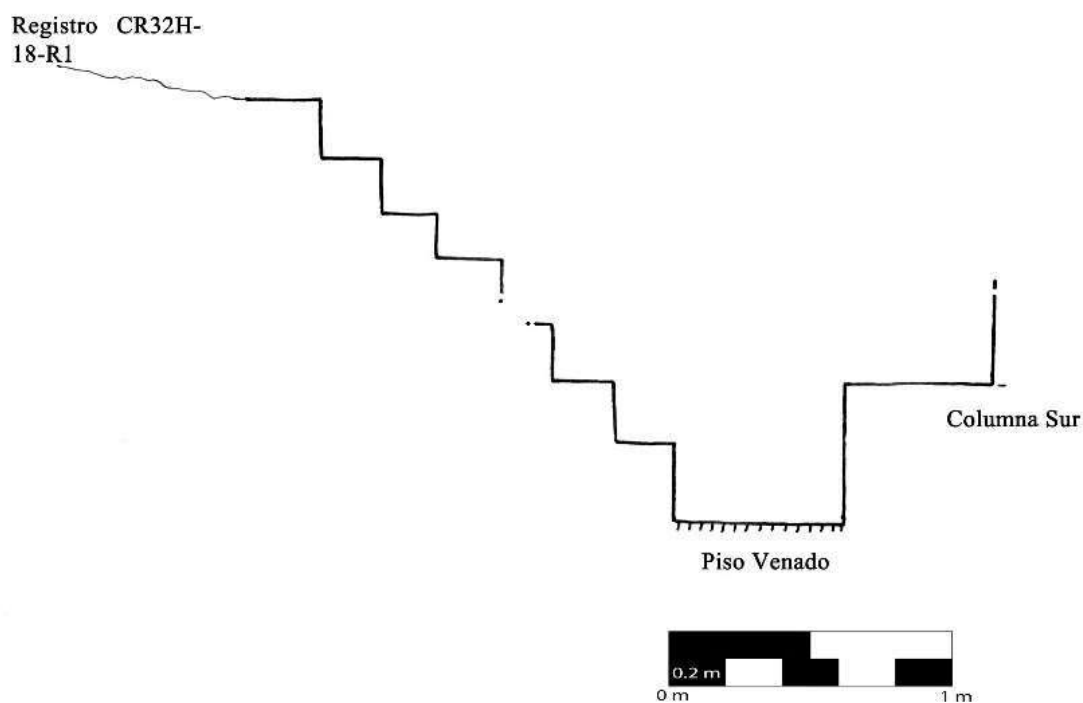


Figura 7.8. Corte Este-Oeste, mostrando entre otros, los escalones localizados en el sector sur de las excavaciones (Dibujo por E. Gómez)

Niveles de piso

Se decidió hacer una separación entre los pisos de la Estructura 13Q-2, puesto que difieren de otros niveles de piso detectados en esta temporada, específicamente dentro del perímetro de una plataforma ritual ubicada en el eje central. Así se tienen los pisos que se han denominado de la siguiente manera:

Piso Venado

Se denominó así al piso de tono blanquizco asociado a la Estructura 13Q-2-Sub3, el cual ya había sido descubierto en el sector central de la base de la estructura. Está asociado a dos escalones que descienden hacia el piso de la plaza central. En la presente ocasión se continuó descubriendo parte de este piso frente al edificio investigado. Se observó asimismo un corte de este piso (Figura 7.9) en un registro hecho en la unidad CR32D-74, bajo el nicho de la Estructura 13Q-2-Sub1 que se describe más adelante. En general, el piso mostró un grosor de 0.08 m y se encontró a una profundidad de 2.36 m desde el *datum*.



Figura 7.9. Vista del corte del piso “Venado” (Foto por E. Gómez)

Piso Danta

Se trata de un piso estucado con núcleo de tonalidad gris, detectado en el perfil sur de la unidad CR32H-19 y en el pozo ubicado en la unidad CR32D-72. En el perfil sur de la unidad CR32H-19 se expuso directamente con el corte que los mayas hicieron en el piso. Se presume que en el perfil norte no se detectó porque dicho corte debe estar a una distancia indeterminada más al norte y quizá también hacia el este. Entretanto en el lado oeste, al hacer un registro bajo un nicho asociado a la Estructura 13Q-2-Sub1, sí se apreció un corte en el piso gris. Este piso contó con un grosor de 0.08 m y se encontró 0.59 m bajo el piso Venado. En la unidad CR32D-72 y un registro en la unidad CR32D-74 se observó una delgada capa de apenas 0.02 m, separada del piso Danta por 0.03 m, la cual estuvo muy erosionada, quizá fue parte de la nivelación. En el registro en la unidad CR32D-74 se

observó un corte en el piso Danta a 0.75 m al este del frente del nicho de la Estructura 13Q-2-Sub1, descrita más adelante.

Al profundizar la unidad CR32D-72 (Figura 7.10), hasta 1.30 m bajo el piso Venado, fueron claramente visibles los rellenos previos a los pisos. Así, bajo el piso Venado hubo un relleno compacto de piedra mediana y tierra café claro, de aproximadamente 0.52 m de grosor. Bajo el piso Danta hubo un relleno compacto de piedra pequeña con tierra café claro y sectores de tierra café rojizo de cerca de 0.12 m de grosor. Bajo este relleno se encontró un estrato natural de tierra café oscuro arcillosa, de textura pastosa de 0.4 m de grosor. Bajo este estrato se encontró la roca madre.

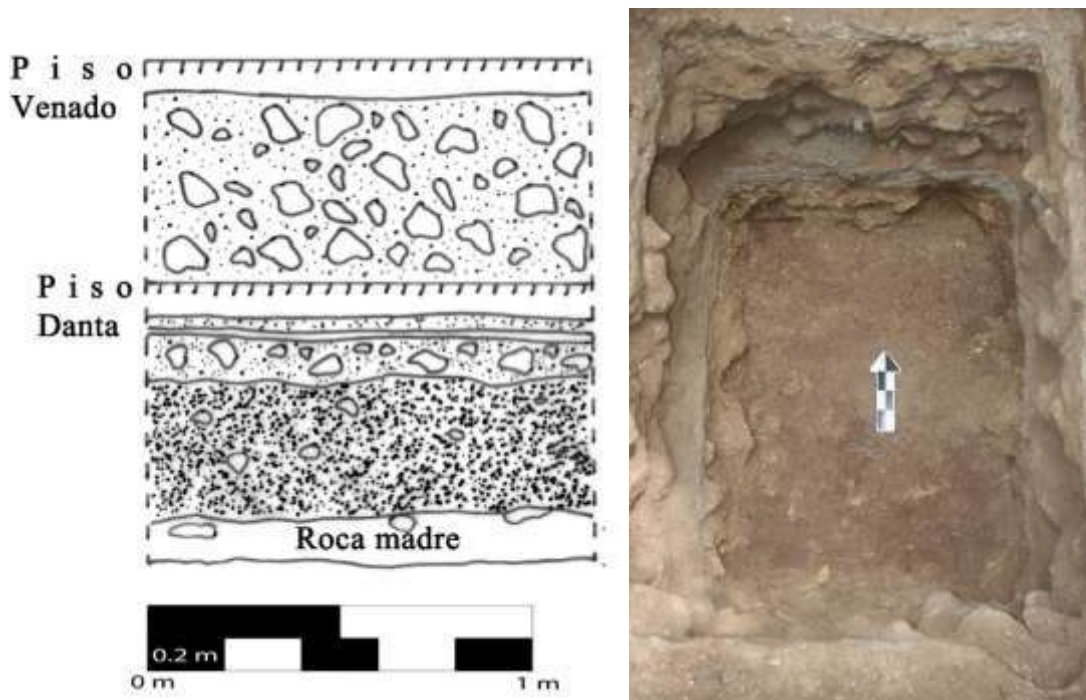


Figura 7.10. Perfil norte de la unidad CR32D-72 y vista en planta, mostrando los pisos encontrados (Dibujo y foto por E. Gómez)

Varios pisos se encontraron en una excavación realizada dentro del perímetro de la Estructura 13Q-2-Sub1, los cuales estuvieron dispuestos a diferentes niveles y cubrieron el Entierro 18 que se describe más adelante. Un rasgo poco claro fue una superficie estucada pero irregular encontrada en la unidad CR32H-16, a una profundidad de 0.5 m bajo el *datum*. No se reconocieron otros rasgos directamente asociados.

estructura 13Q-2-Sub1: Plataforma ritual en el eje

Se eleva a una altura máxima de 1 m sobre el piso Venado y su dimensiones máximas aproximadas son de 4 x 3.2 m (Figuras 7.11 y 7.12). Directamente sobre este piso se colocó una única hilada de bloques bastante regulares conformando la base de la plataforma. Los bloques en general están alineados aunque en la parte frontal y parte del lateral norte hay distorsión. Es notorio que se utilizaron materiales de diversas calidades en la construcción de la plataforma, contando con bloques regulares, e incluyendo piedrín en cierta zona. No hubo gran inversión de trabajo y material en este rasgo puesto que tampoco presentó una superficie estucada, sino solamente compactada e irregular. Es interesante que al frente tampoco se distinguieron restos de estuco. Aproximadamente al centro de la plataforma que coincide con el eje central del edificio, hubo un nicho de 1.20 m de ancho, cuya parte inferior sí mostró su superficie estucada. Por un registro realizado al centro del nicho se observó que su superficie estucada se extiende un total de 0.55 m de este a oeste donde muestra un corte. Debido a que esta plataforma fue investigada, se observó que su interior estuvo conformado por relleno de piedra mediana y grande con tierra café claro compacta. En esta plataforma se encontraron 4 pisos y diversos rellenos que se asociarían al Entierro 18 encontrado en esta temporada (ver más adelante).



Figura 7.11. Vista de la Estructura 13Q-2-Sub1 desde el noroeste (Foto por E. Gómez)

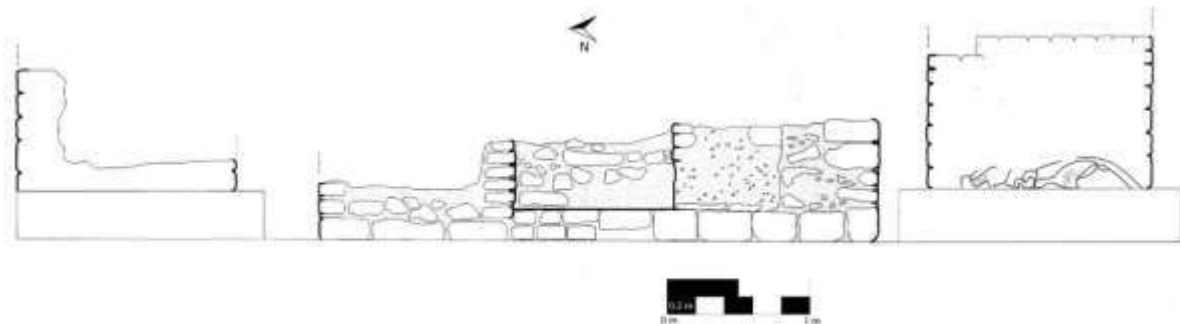


Figura 7.12. Elevación frontal de la plataforma ritual (Estructura 13Q-2-Sub1) y columnas de la Estructura 13Q-2-Sub2 (Dibujo por E. Gómez)

Columnas (Estructura 13Q-2-Sub-2)

Junto al límite sur de la pequeña plataforma situada en el eje central del edificio (Estructura 13Q-2-Sub1), se encontró parte de una columna que muestra en su parte inferior decoraciones de estuco (Figura 7.13). Dicha columna tiene una base cuadrada de 2 x 1.85 m, y conservó como máximo 1.70 m de altura. La base conservó vestigios de pintura roja en su parte posterior. En cuanto a la decoración, la parte oeste de la columna, que fue parte de la fachada, muestra dos motivos con características de aves, una frente a la otra (Figura 7.14). El ave que se ve a la derecha parece tener una cola de largas plumas. En cuanto al ave que se muestra a la izquierda, sólo deja observar una cola de plumas cortas; así como también se advirtió en el cuerpo restos de pintura azul y roja. Estos motivos por el momento no se han relacionado con algún tema específico.



Figura 7.13. Columna sur decorada, Estructura 13Q-2-Sub2. Vista desde el noroeste (Foto por E. Gómez)

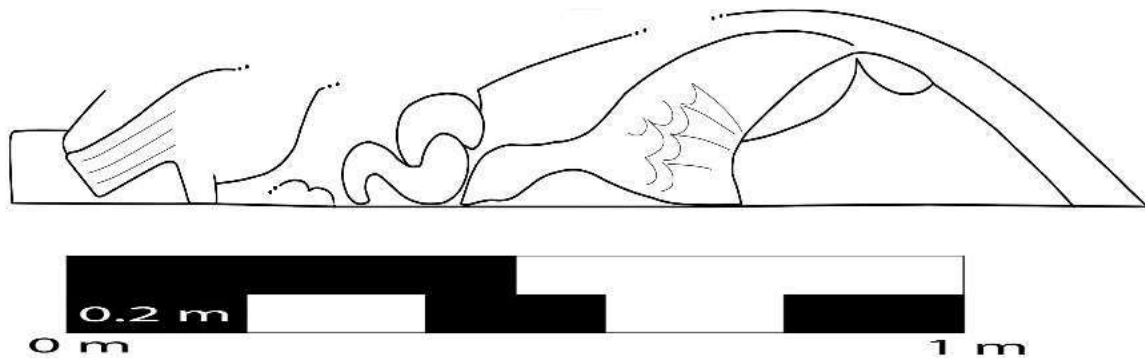


Figura 7.14. Lado oeste de la columna sur, Estructura 13Q-2-Sub2 (Foto y dibujo por E. Gómez)

Otro remanente de estuco se encontró en la cara norte de la columna. Se trata de la representación de dos piernas humanas colocadas verticalmente con los pies hacia afuera (Figura 7.15). Seguramente se trató de una representación de tamaño natural a juzgar por las dimensiones de las extremidades. Los únicos detalles que se distinguen son adornos para las rodillas, así como las sandalias anudadas en ambos pies.

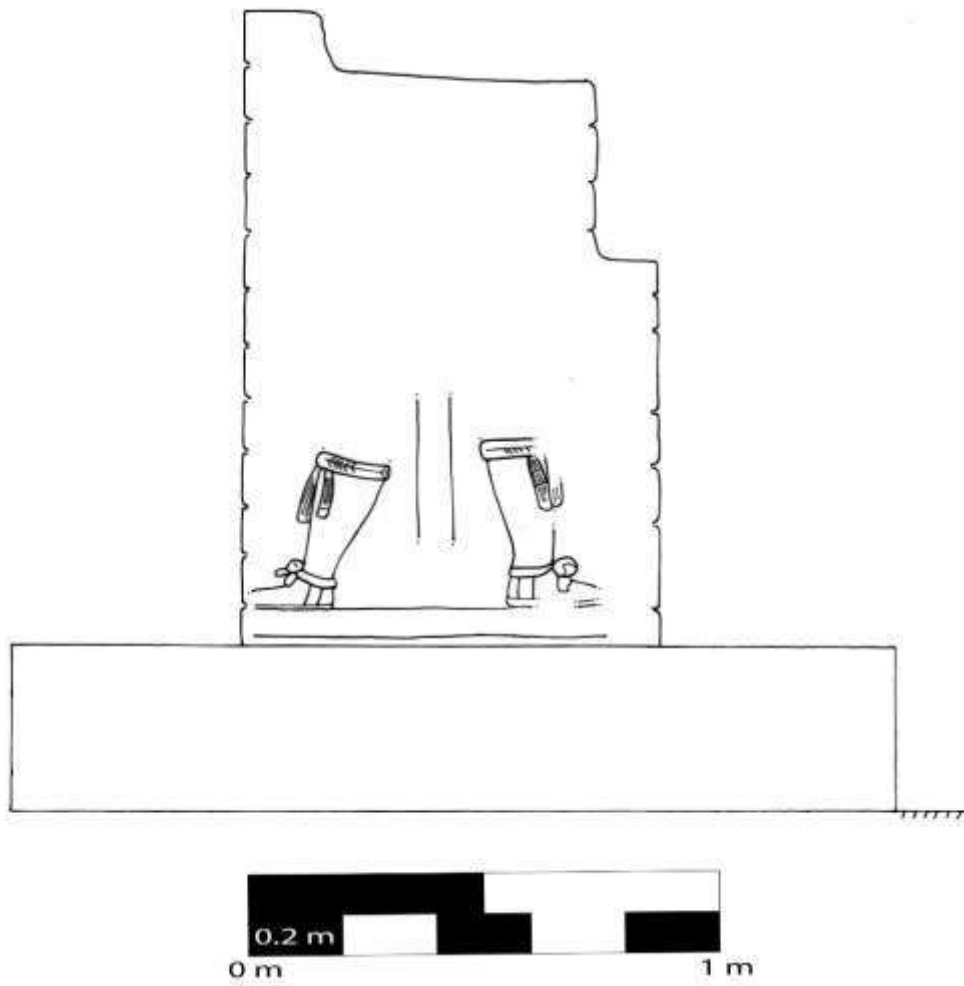


Figura 7.15. Lado norte de la columna sur, Estructura 13Q-2-Sub2 (Foto y dibujo por E. Gómez)

En excavaciones previas hacia el lado norte de la Estructura 13Q-2-Sub1, se descubrió parte de un muro indefinido. Sin embargo, por su morfología se dedujo que se trató de una especie de columna similar a la columna decorada de la Estructura 13Q-2-Sub2. El remanente de columna al norte mostró tenues vestigios de decoración en la parte frontal, solamente permanecieron improntas circulares aunque lamentablemente indefinidas. La columna norte sufrió modificación al norte de su base, donde se adosó burdamente una alineación de piedras cuya función es indefinida (Figura 7.16). Estas columnas al parecer flanquearían la escalinata a manera de pórtico, al centro de la estructura, aunque de ser así en esta temporada sólo se encontró parte de los escalones en los extremos norte y sur. La decoración del lado norte de la columna sur sufrió mutilación casi a la misma altura en que se halla la superficie compacta irregular de la Estructura 13Q-2-Sub1, como parte del evento que conllevó la cancelación de la Estructura 13Q-2-Sub3.



Figura 7.16. Columna norte de la Estructura 13Q-2-Sub2, definida en la unidad CR32D-73. La flecha negra indica el punto donde se adosó una alineación burda de piedra (Foto por E. Gómez)

Inicialmente se consideró la posibilidad de que estas columnas tuvieran continuación en el mismo eje norte-sur, por lo cual se hizo la unidad CR32D-77, atendiendo al espacio existente entre los dos elementos descubiertos (Figura 7.17). Sin embargo no se encontró evidencia de elementos constructivos similares a pesar de haber alcanzado el nivel de piso de la Estructura 13Q-2-Sub3. Ciertas piedras trabajadas observadas al principio aparentaban ser parte de un elemento arquitectónico, sin embargo se determinó que solo estaban sobrepuestas; no es claro si son parte de relleno o escombros de la última etapa constructiva de la estructura investigada.



Figura 7.17. Vista desde el suroeste de la unidad CR32D-77 (Foto por E. Gómez)

Muros

En las unidades CR32H-18, H-19 y parte de H-17, se retiraron los bloques de escalinata de la última etapa constructiva, lo que permitió revelar su relleno de piedra y tierra café rojiza, así como un muro de bloques canteados (Estructura 13Q-2-Sub4). El muro se orienta aproximadamente de norte a sur y conserva 2.3 m de largo y altura de 1.15 m, estando su parte superficial a 0.66 m bajo el *datum*. En esta ocasión no se encontraron vestigios que den idea de que haya formado parte de una construcción, como un cuarto por ejemplo. Este muro delimita el lado este del pozo CR32H-19 y se introduce

aproximadamente 0.4 m dentro de lo que se tomó como la superficie de la Estructura 13Q-2-Sub1 (Figura 7.18). El muro citado arranca sobre el piso más superficial encontrado dentro la Estructura 13Q-2-Sub1, cuyos detalles se describen más adelante. El sector central de este muro parece variar en la disposición de las piedras, dando una primera impresión de acceso tapiado, aunque ello podría aclararse en un futuro. Por otro lado el muro podría tener su límite al sur, aunque el extremo norte observado parece estar truncado, desconociéndose hasta qué punto continuaba. Llama la atención un segmento de muro descubierto en un registro en el límite norte de la unidad CR32H-18. En el espacio se encontró un segmento de muro de similares características al muro citado en CR32H-19, en cuanto a material, aunque su orientación es de este a oeste. Con el registro no fue posible observar el límite del segmento antedicho, por lo que tal aspecto podría ser más claro en próximas investigaciones. Llama la atención que los segmentos de muro descritos se conforman de bloque similares a los de las columnas de la Estructura 13Q-2-Sub2.



Figura 7.18 Vista del muro que sobresale del nivel de la Estructura 13Q-2-Sub1, unidad CR32H-19
(Foto por E. Gómez)

Muros de contención

En las unidades CR32H-18 y H-19 se encontraron muros de contención de 2 m de largo, orientados de este a oeste (Figura 7.19). En la unidad CR32H-18 se localizó a una profundidad de 1.36 m del *datum* y contó con 0.9 m de altura. Se advirtió su cercana alineación con el lado norte de la columna sur de 13Q-2-Sub2, tan solo 0.1 m separado hacia el sur. El muro de contención se unía a un segmento de muro de bloques de piedra encontrados en un registro en el perfil este de la unidad CR32H-18. Otro muro se encontró en la unidad CR32H-19, el cual tuvo 1.5 m como altura máxima, iniciándose justamente sobre la superficie irregular de la Estructura 13Q-2-Sub1 y se unía al muro de bloques que corre en el límite este de la unidad CR32H-19. Se observa entonces que se unificaron y aprovecharon los muros existentes, adicionando muros de contención para colocar el relleno de la última etapa constructiva; utilizando así técnicas constructivas similares a las reportadas para otros sitios del área maya (Muñoz y Vidal 2004: 741-743).



Figura 7.19. Vista de los muros de contención localizados en las unidades CR32H-19 y CR32H-18 al frente y al fondo, respectivamente, señalados con flechas (Foto por E. Gómez)

Alineaciones de piedras

En la unidad CR32H-15 se encontraron varias alineaciones de piedra. Una de ellas se encontró a 1.86 m bajo el *datum* y contuvo piedras pequeñas de unos 0.15 m. Superficialmente parecerían pertenecientes a la etapa del piso Venado pero no se puede aseverar sin tener otros indicios. Otra alineación se colocó sobre un relleno a 0.75 m bajo el *datum*. Tal alineación estuvo en el límite oeste de la unidad CR32H-16. Se trató en este caso de bloques grandes de 0.2 a 0.25 m (Ver Figuras 7.6 y 7.7). Podrían tener una correspondencia aproximada con los escalones hallados de la Estructura 13Q-2-Sub3 en el sector norte. Sin embargo los bloques parecen diferir pues parecen de mejor calidad.

Depósitos y ofrendas encontradas

Se encontraron varios depósitos, algunos de ellos especiales por estar asociados al espacio de la Estructura 13Q-2-Sub1, bajo la cual se halló el Entierro 18.

Ofrenda de macrolascas de pedernal (Ofrenda No. 1)

Ésta se encontró frente al nicho de la Estructura 13Q-2-Sub1. A 1.60 m bajo el *datum* apareció una delimitación de piedras burdas pero alineadas formando una especie de cajuela (Figura 7.20). Cerca de 0.05 m abajo y dentro de este rasgo se contabilizaron 57 ejemplares de pedernal que incluyen macrolascas y desechos de pedernal de 0.05 a 0.15 m. Este depósito abarcó 0.15 m de grosor y estuvo entremezclado con tierra café grisácea muy suelta. Bajo el depósito hubo piedra mediana y pequeña de relleno tierra café rojiza.

Depósitos de cerámica

Un depósito conteniendo grandes fragmentos de cerámica de diversos tipos y una navaja incompleta de obsidiana sin aparente desgaste en los filos fueron encontrados junto con materia quemada, sobre el Piso 1 dentro de la Estructura 13Q-2-Sub1 (Figura 7.21). Se contabilizaron 239 fragmentos cerámicos. Este piso fue el más superficial en el interior de la Estructura 13Q-2-Sub1. Otros depósitos hallados bajo el primer piso incluyeron muy poca cantidad de cerámica y materia quemada (pisos 2 y 4), mientras que en el piso 3 solo se observaron pocos restos de materia quemada en su superficie.



Figura 7.20 Especie de cajuela de la Ofrenda 1, Estructura 13Q-2-Sub1, unidad CR32H-72 (Foto por E. Gómez)



Figura 7.21. Depósito de cerámica sobre el Piso 1, Estructura 13Q-2-Sub1 (Foto por E. Gómez)

Ofrenda de navajas de obsidiana y restos óseos (Ofrenda No.2)

Esta ofrenda fue encontrada bajo el nicho de la Estructura 13Q-2-Sub1, a 2.91 m de profundidad desde el *datum* (Figura 7.22). La ofrenda se encontró colocada directamente sobre el Piso Danta y estuvo compuesta por navajas prismáticas de obsidiana (2 completas y 3 fragmentos). En el mismo contexto de la ofrenda hubo varios dientes y restos óseos cubiertos con pigmento rojo. Erin Patterson (com. pers.) indica que probablemente pertenecieron a un mismo individuo, del cual se depositaron los dientes y restos de cráneo con pigmento rojo, así como pequeños fragmentos de huesos largos. La analista mencionó que debido a lo fragmentario de los vestigios no fue posible determinar sexo o edad.



Figura 7.22. Ofrenda 2, Estructura 13Q-2-Sub1 (Foto y dibujo por E. Gómez)

Entierro 18

Este entierro fue descubierto en el interior de la Subestructura 13Q-2-Sub1, que se localiza al frente de la Estructura 13Q-2-Sub3. El primer indicio se dio al excavar en el interior de la plataforma (unidad CR32H-19), donde se encontró un piso de apariencia cóncava a una profundidad de 1.86 desde el *datum* (Figuras 7.23 y 7.24). Según M. Canuto (com. pers.), esa deformación pudo deberse al colapso de elementos que yacían más profundos, a nivel del entierro. A este primer piso se le asignó el número 1. Sobre su parte central se encontró un depósito con abundantes fragmentos grandes de cerámica utilitaria (Figura 7.21), que parecían ser parte de una gran vasija sin engobe. Sin embargo, en el laboratorio la ceramista Caroline Parris reconoció la presencia de fragmentos de varias formas como platos, cántaros y cuencos grandes y pequeños. Los tipos identificados fueron Saxché-Palmar Naranja Polícromo, Encanto Estriado, Tinaja Rojo y Chaquiste Impreso, los cuales se fechan para el Clásico Tardío en general. Los fragmentos cerámicos contuvieron abundante materia quemada y como parte de este depósito también se recuperó una navaja incompleta de obsidiana cuyos filos aparentemente no tienen desgaste. Bajo este piso de 0.1 m de grosor, se encontró un relleno de piedra mediana con tierra café rojizo, que tuvo un promedio de 0.3 m de grosor.

El Piso 2 se encontró debajo de este relleno, conformado por estuco de 0.12 m de grosor. Sobre este segundo piso también yacía un depósito más reducido, conformado por pocos fragmentos de cerámica y mostrando algunos sectores con vestigios de quema. No fue posible determinar un fechamiento para el material, por presentarse altamente erosionado (C. Parris, com. pers.). Bajo este piso hubo un relleno de piedra mediana y tierra café claro que alcanzó en promedio de 0.25 m de grosor. Bajo el relleno antedicho apareció el Piso 3, de 0.14 m como grosor máximo. Asociado a este piso pero no como depósito, se recolectaron pocos fragmentos cerámicos que según C. Parris posiblemente pertenezcan al Clásico Tardío. Los restos de quema fueron escasos y dispersos. Debajo del piso hubo un relleno muy delgado de piedrín y tierra café claro de aproximadamente 0.05 m. Este relleno cubrió el Piso 4, de 0.03 a 0.05 m de grosor. Sobre el piso se encontraron restos escasos de quema y pocos fragmentos cerámicos de fechamiento indeterminado.

Los materiales cerámicos que se encontraron sobre los pisos y rellenos intermedios no presentaron tipos diagnósticos y estuvieron altamente erosionados, dificultando su fechamiento (Parris, comunicación personal).

En esta profundidad se pudo observar en los perfiles de la unidad CR32H-19 (Figuras 7.23 y 7.24) que sobre el Piso 4 se asienta un muro del cual solo permanece un segmento de 1 m de altura máxima y su extremo sur no se define claramente (Estructura 13Q-2-Sub4). Asimismo es extraño que el piso esté truncado en la parte sur del muro y al parecer se dirige hacia arriba por unos pocos centímetros (Figura 7.25). Llama la atención también que en el sur se advirtieron escalones cortados de la Estructura 13Q-2-Sub3 (Figura 7.26). Como una posibilidad se expone que abarcaban el centro de la estructura por encontrarse peldaños al norte de la plataforma 13Q-2-Sub1, aunque de estos últimos está pendiente realizar un registro para verificar si se cortan en forma similar a los del lado sur. También fue interesante que en perfil oeste de la unidad se observó el punto de corte entre el piso Danta y el área dentro de la Estructura 13Q-2-Sub1 (Figura 7.26).

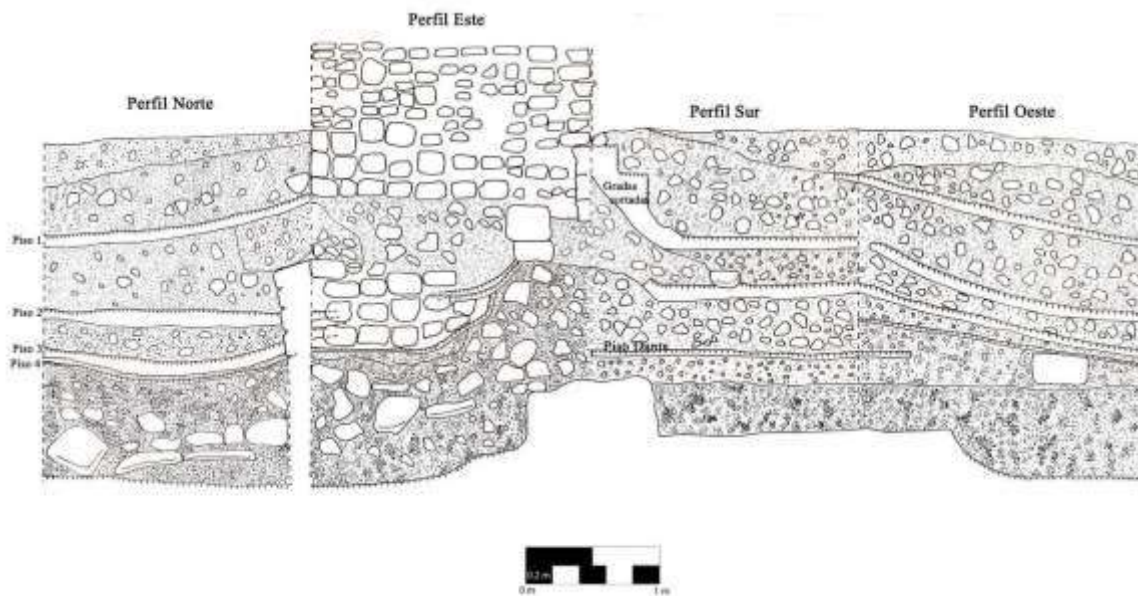


Figura 7.23. Perfiles de la excavación dentro de la Estructura 13Q-2-Sub1, unidad CR32H-19 (Dibujo por E. Gómez)



Figura 7.24. Detalle del perfil norte y parte del este de la excavación dentro de la Estructura 13Q-2-Sub1, unidad CR32H-19 (Foto por E. Gómez)



Figura 7.25. Detalle del segmento de muro asentado sobre el piso 4 dentro de la Estructura 13Q-2-Sub1 (Foto por E. Gómez)



Figura 7.26. Detalle de perfiles de la unidad CR32H-19. Izquierda: detalle del perfil oeste, donde se observa el piso Danta cortado (registro en CR32D-74); Derecha: detalle del corte de gradas y referencia al piso Danta en el perfil sur (Fotos por E. Gómez)

Debajo del Piso 4 hubo un relleno de 0.2 m de grosor, conformado por piedra pequeña y tierra café claro entremezclada con tierra café oscura arcillosa. Bajo tal relleno, aproximadamente 1.2 m bajo el piso Venado, empezaron a aparecer piedras canteadas sin orden aparente, especialmente observables hacia los perfiles norte, este y algunas al oeste. Varias de ellas probablemente fueron parte de una construcción presumiblemente de una cista, algunas alargadas de entre 0.6 y 0.75 m de largo. Grazioso (1993: 126) menciona que una cista puede conformarse por piedras toscas colocadas alrededor de un cuerpo a manera de fosa sin cubierta y rellena de tierra posteriormente a la colocación del difunto, o con más esmero contaría con piedras y mortero o lodo; ocasionalmente se tapanían con lajas o piedra trabajada. En el caso del Entierro 18 no se pudo localizar ninguna piedra claramente *in situ*. Otras piedras que aparecieron dentro de este nivel dan la impresión de haber sido parte de un relleno por mostrarse más dispersas y no ser trabajadas. Sin embargo, hacia el centro de la unidad aparecieron algunas lajas colocadas horizontalmente. Debajo de ellas se encontró otra capa de lajas, de un tono mucho más claro: blanquecinas. Fueron cuatro lajas de entre 0.35 y 0.4 m de largo máximo, dispuestas ordenadamente una al lado de otra; se encontraron aproximadamente cubriendo el área central de la unidad (Figuras 7.27 y 7.28).



Figura 7.27. Vista en planta de las lajas “blanquecinas” sobre el Entierro 18 (Foto por E. Gómez)

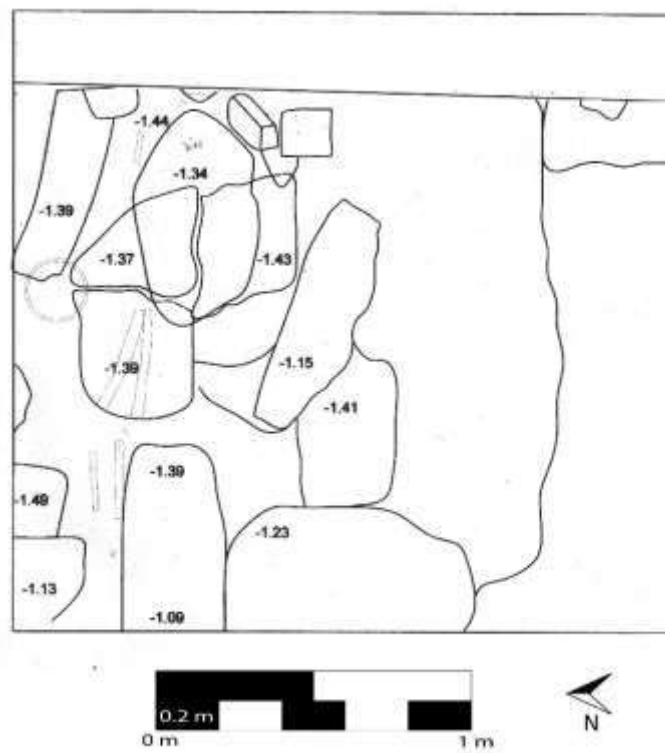


Figura 7.28. Planta de las lajas que cubrían el Entierro 18 y otras piedras en el mismo contexto. Niveles con referencia al Piso Venado (Dibujo por E. Gómez)

Dentro de este nivel T. Barrientos observó una piedra alargada quizá proveniente de área de cuevas, esto en el lado este de la unidad excavada, así como la presencia de una piedra quemada que estaba con la parte quemada hacia abajo, aproximadamente al centro de la unidad donde aparecería el entierro. Las piedras lajas fueron extraídas y se retiraron algunas piedras grandes en los perfiles. De ello resultó el hallazgo de una concha *spondylus* que estaba entremezclada entre piedras, tierra café y tierra café arcillosa. Este sería el primer indicio de la presencia del entierro de un personaje de alto rango, hallazgo del cual se presentan detalles a continuación (Figuras 7.29, 7.30 y 7.31). Los restos óseos del entierro empezaron a aparecer a 1.40 m bajo el nivel del piso Venado. La osamenta y sus bienes se encontraron dentro de un estrato de 15 a 0.2 m de grosor, conformado por tierra café compacta un tanto arenosa y sectores dispersos de tierra café arcillosa, con piedras medianas y pequeñas entremezcladas. La osamenta estuvo colocada sobre una superficie cóncava estucada que fue acondicionada sobre la roca madre. El límite de la cista se determinó en el lado oeste y sur. Al sur se presentó como límite tierra café arcillosa. Aunque los otros límites al momento de la excavación no se definieron claramente, el área cóncava estucada que ocupa el entierro abarca aproximadamente 1.6 x 2 m en la unidad de excavación. Fue notorio que en los perfiles hubo lajas que son del tipo utilizado en cistas, aunque en este caso no se evidenció ninguna *in situ*, por lo cual en principio pareció confuso si pertenecían al contexto o no.

Los restos óseos pertenecen a un individuo que según el análisis osteológico de Erin Patterson, podría tratarse de una mujer, aunque por la ausencia de ciertos restos óseos diagnósticos se menciona solo como una posibilidad. De este individuo adulto apenas fueron claramente observables *in situ* las extremidades inferiores, parte del cráneo y maxilares, así como dientes, algunos de ellos aún dentro de los alveolos. Fue interesante que varios dientes sufrieron modificación intencional. Patterson (com. personal) observó ciertos patrones no coincidentes entre los dientes de mandíbula y maxilar, que la llevan a pensar que representarían más de un individuo en el entierro. Además como parte de la ofrenda hubo una concha utilizada como un contenedor de dientes humanos, algunos limados. La especialista citada sugiere que estos dientes podrían representar a una o más personas.



Figura 7.29. Vista en planta del Entierro 18 y su contexto inmediato (Foto por E. Gómez)



Figura 7.30. Vista en planta del entierro 18 (Foto por E. Gómez)

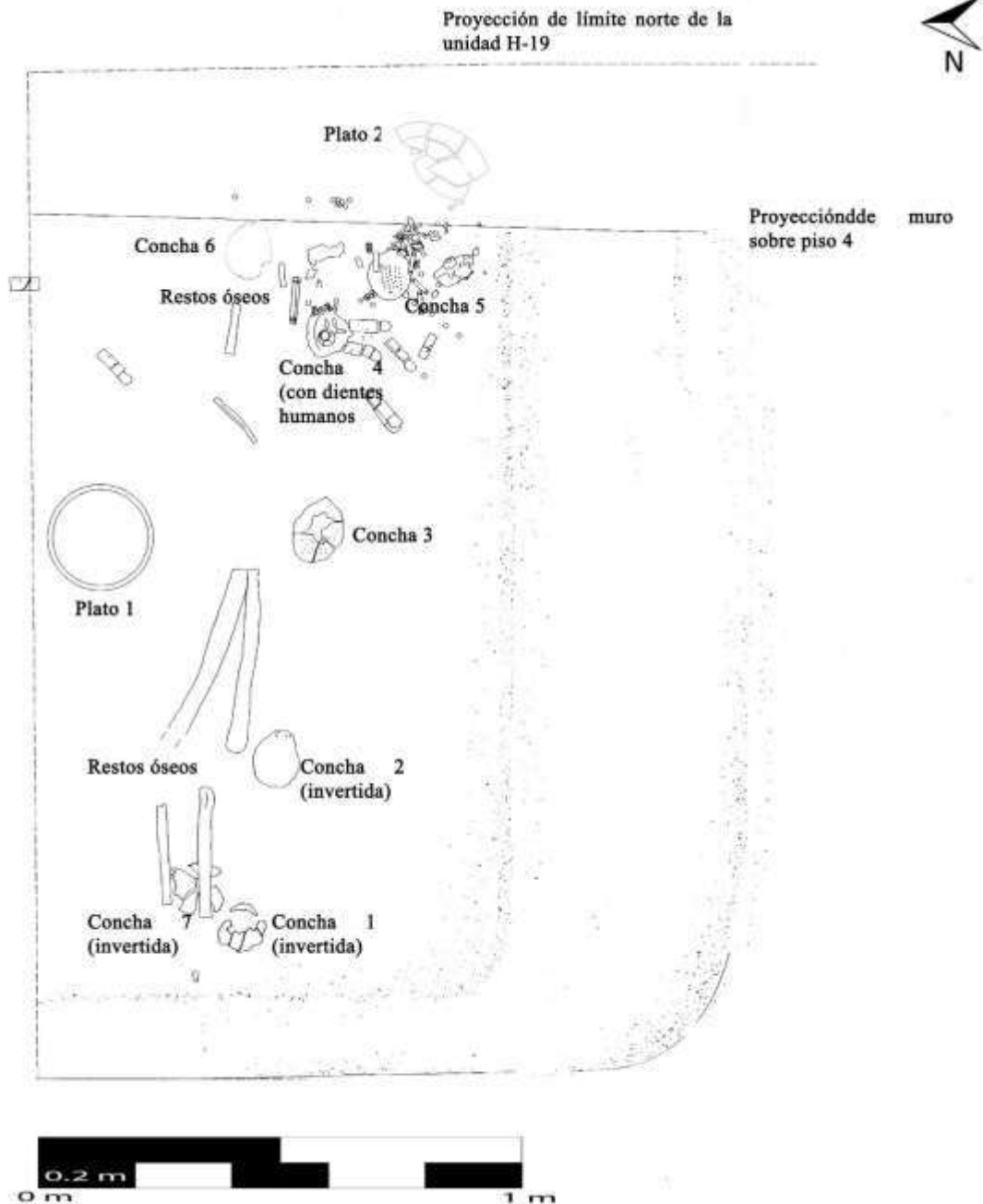


Figura 7.31. Planta del Entierro 18 (Dibujo por E. Gómez)

El mal estado de conservación de los restos óseos dificultó la interpretación del tipo de entierro con mayor detalle. Sin embargo en términos generales se clasificó como un entierro primario extendido en decúbito lateral, siendo interpretado así debido a la posición de los fémures entrecruzados en sus extremos superiores. El cráneo del individuo estuvo orientado al este.

Adornos e insignias y objetos de ofrenda

Los objetos que acompañaban al individuo del Entierro 18 incluyeron varios adornos pequeños, que se presumen son parte de collar o collares, así como otros pendientes y orejeras y un pendiente representando a un ser antropomorfo. Dos pequeñas placas talladas con motivos iconográficos se encontraron en las inmediaciones del lugar donde iba la cabeza, hacia el este, sur y norte de la misma. Al presentarse desplazadas entre la tierra fue necesario recuperar los objetos por capas, aunque éstas estuvieron en general con pocos milímetros de diferencia entre sí (Figuras 7.32, 7.33 7.34 y 7.35). Los objetos empezaron a aparecer desde que se reconocieron los restos óseos del individuo enterrado hasta llegar al fondo de la concavidad donde yacía, es decir que los objetos estuvieron entre una capa de tierra de aproximadamente 0.1 a 0.15 m en promedio.

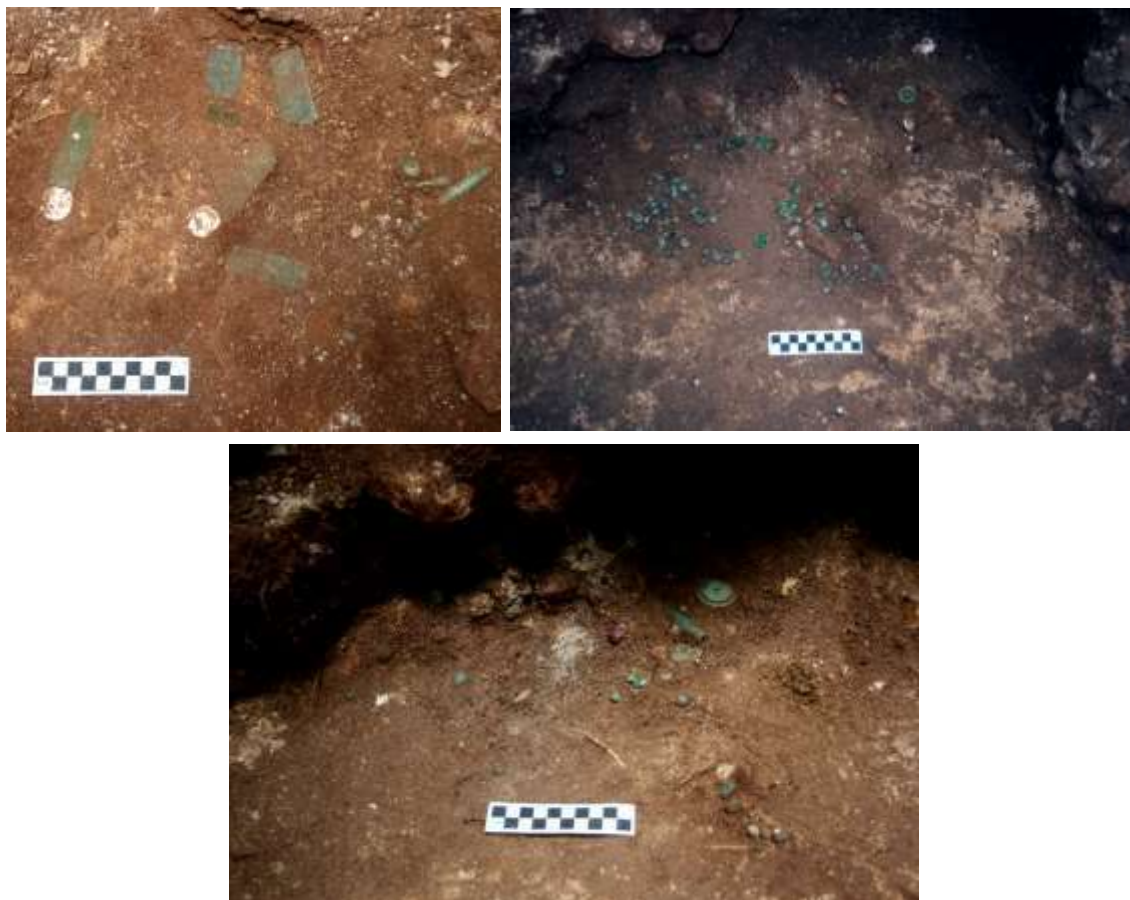


Figura 7.32. Detalle de las “capas” 1, 9 y 10 recuperadas en el Entierro 18 (Fotos por E. Gómez)

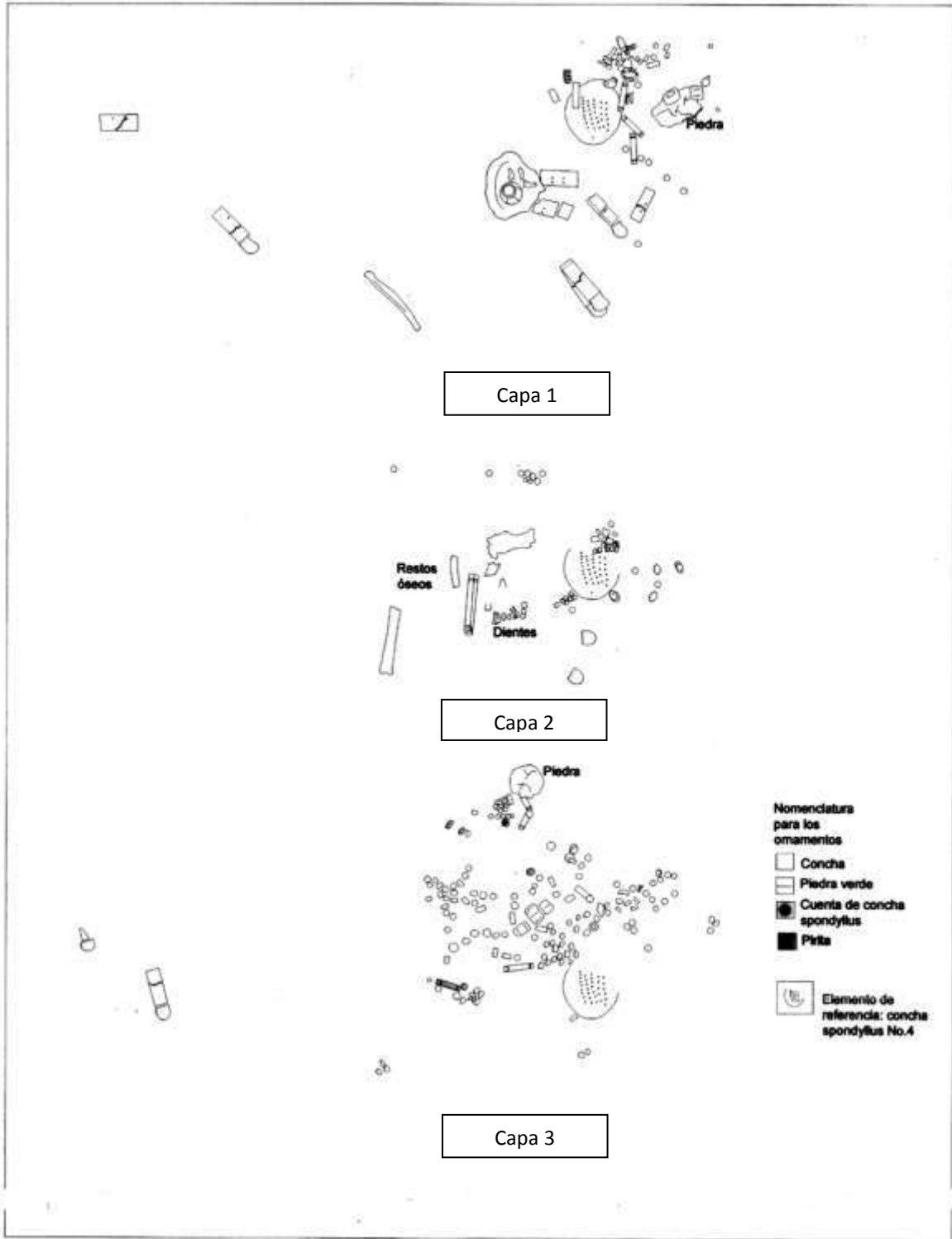


Figura 7.33. Planta de las capas 1, 2, y 3 de ornamentos del Entierro 18 (Dibujos por E. Gómez)

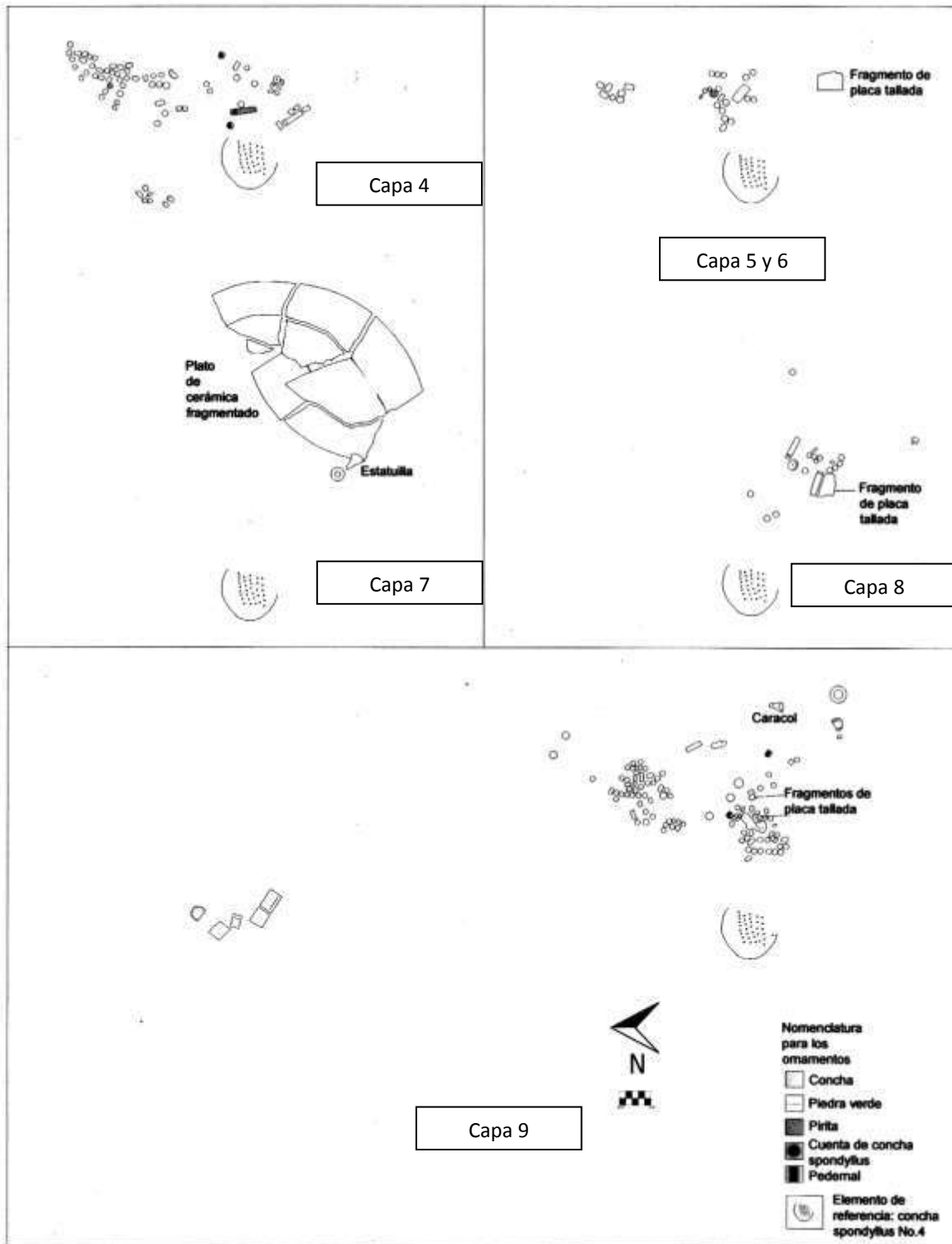


Figura 7.34. Planta de las capas 4 a 9 de ornamentos del Entierro 18 (Dibujos por E. Gómez)

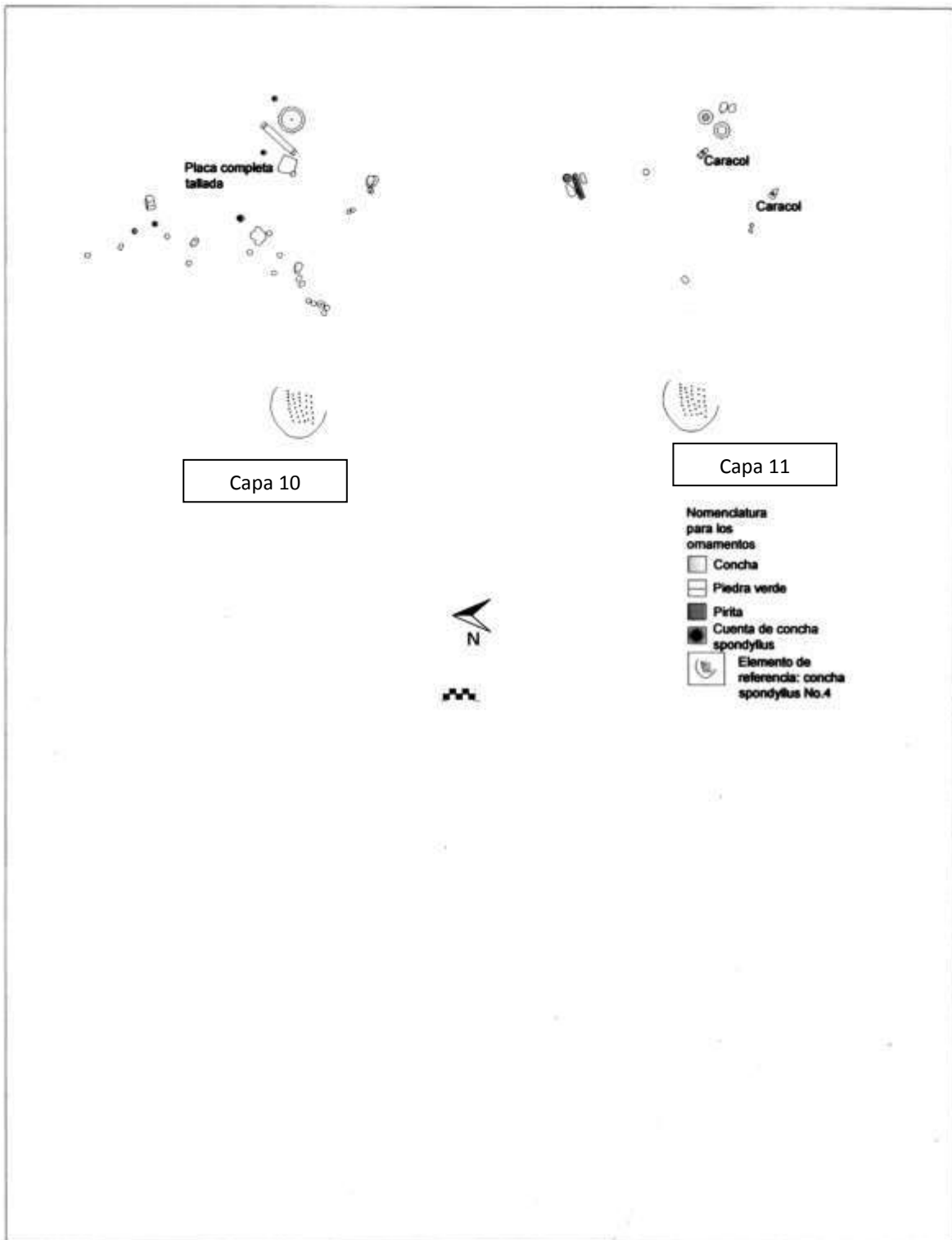


Figura 7.35. Planta de las capas 10 y 11 de ornamentos del entierro 18 (Dibujos por E. Gómez)

El pendiente antropomorfo mencionado es de piedra verde y representa el rostro y al parecer parte del torso de un personaje (Figura 7.36). Las placas antedichas también son de piedra verde o jade. Según M. Canuto y T. Barrientos (com. personal), una de placas es una joya identificativa de la realeza (Figura 7.37), que se ha encontrado con algunas variantes en otros sitios de las Tierras Bajas Mayas, mientras que la otra placa preliminarmente la identifican como una deidad de nariz larga (Figura 7.38). En adición a las anteriores, se encontraron diversos artefactos de piedra verde que se describen someramente a continuación (Ver Tabla 7.2 para un listado general de objetos de adorno del Entierro 18).



Figura 7.36. Pendiente de piedra verde con representación antropomorfa
(Foto por E. Gómez, Dibujo por L. Luin)

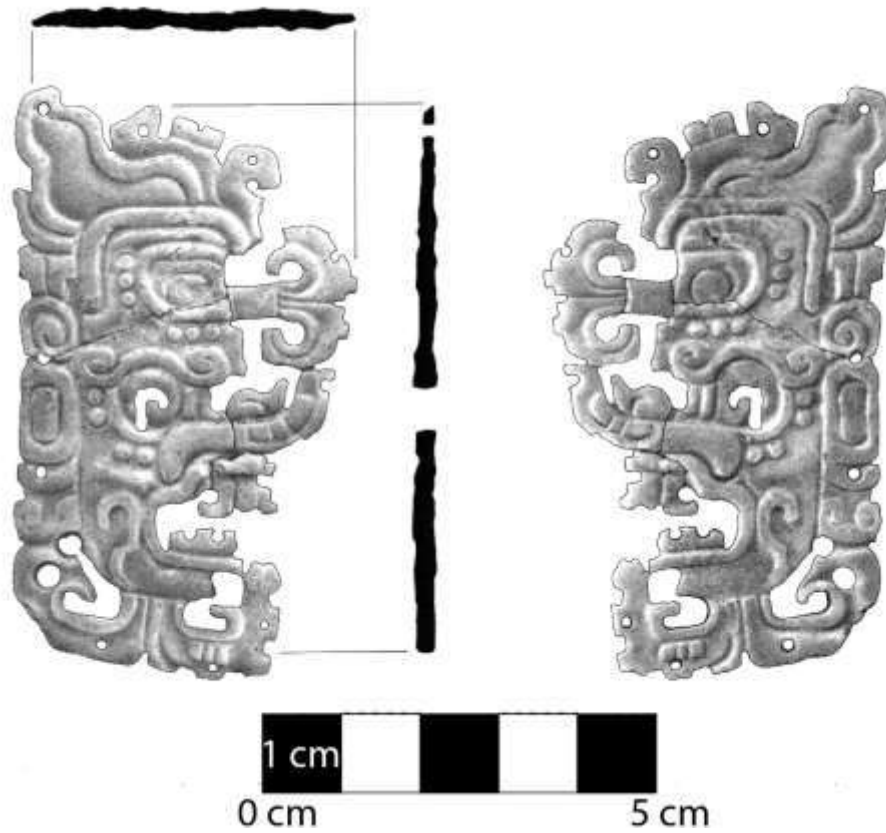


Figura 7.37. Joya de piedra verde con representación de *K'awil* (Foto por E. Gómez, dibujo por L. Luin)

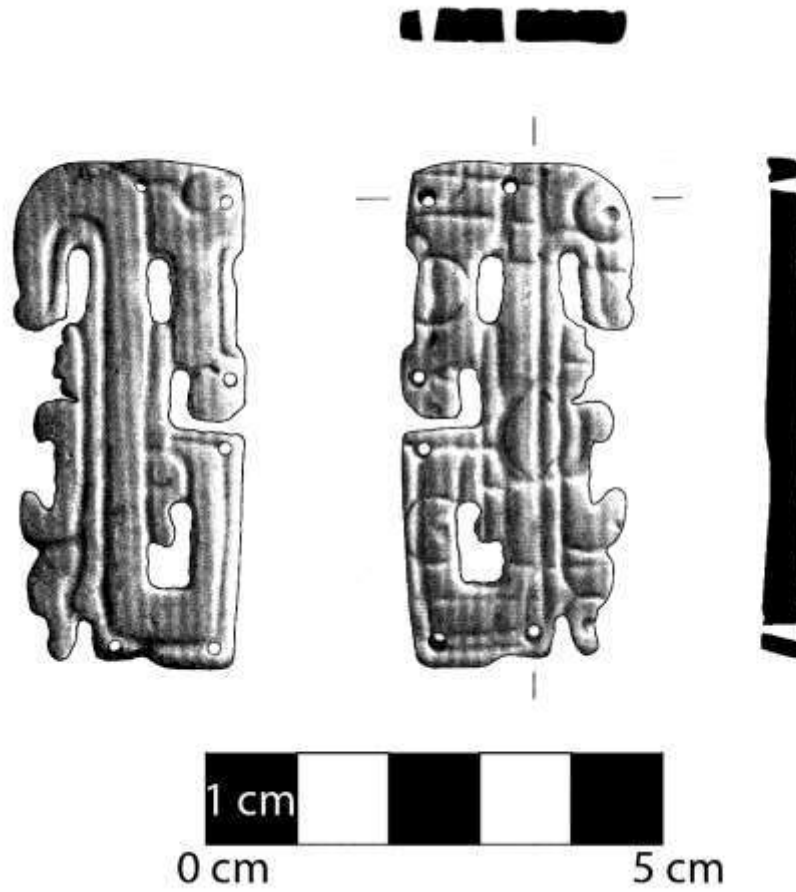


Figura 7.38. Joya de piedra verde con representación de dios con nariz larga
(Foto por E. Gómez, dibujo por L. Luin)

De piedra verde o jade se recuperaron numerosas cuentas esféricas, algunas de forma abarrilada y forma similar a la calabaza. En menor cantidad se encontraron cuentas tubulares de piedra verde. Estas cuentas son de formas diversas y tamaño menor a 2 cm, por lo que debieron formar parte de por lo menos un collar. Varias cuentas tubulares de aproximadamente 4 cm tuvieron una moldura en sus extremos (Figuras 7.39, 7.40). Así también se observaron dos cuentas tubulares de entre 6 y 9 cm, una cilíndrica y la otra de sección cuadrada (Figura 7.41).

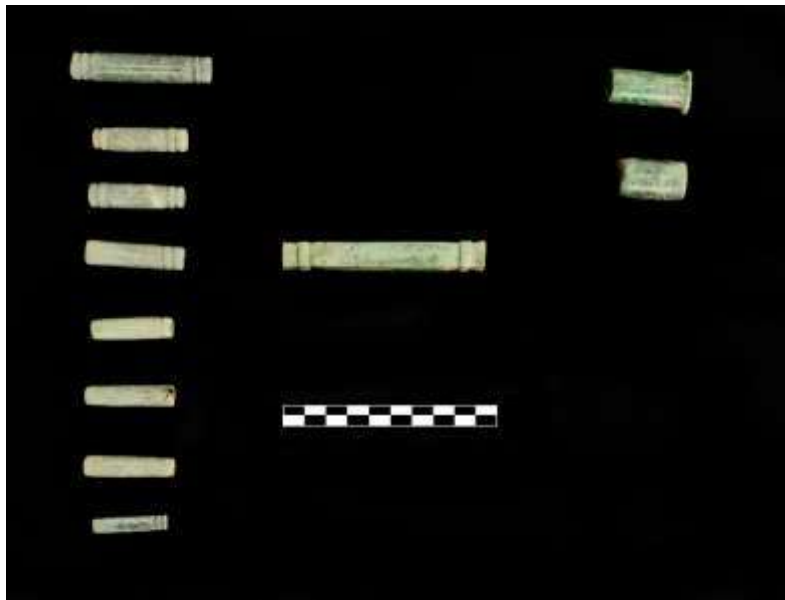


Figura 7.39. Adornos tubulares de piedra verde, Entierro 18 (Foto por E. Gómez)

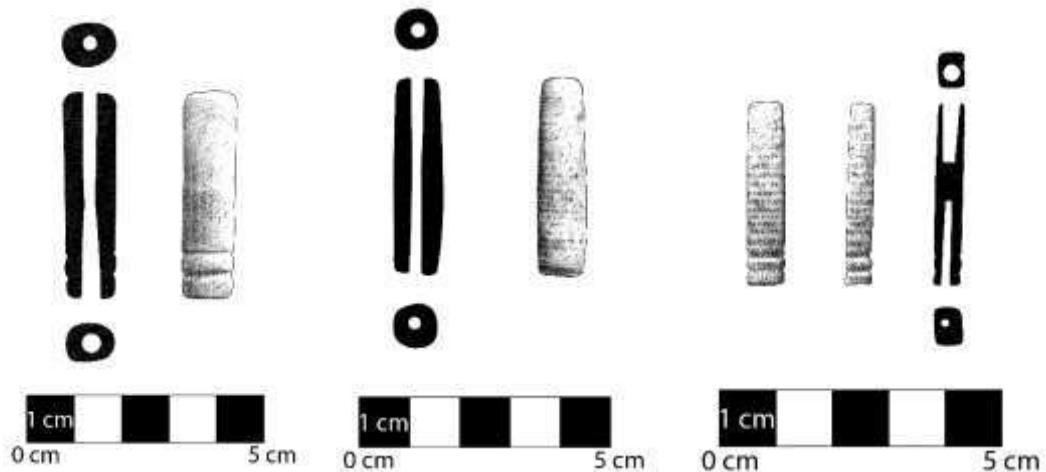


Figura 7.40. Cuentas tubulares de piedra verde, Entierro 18 (Dibujos por L. Luin)



Figura 7.41. Cuenta tubular y elemento de orejera de piedra verde, Entierro 18 (Dibujo por L. Luin)

Otros artefactos interesantes fueron cuentas mayores a 2 cm de diámetro que por sus dimensiones y perforación central podrían clasificarse en algunos casos como anillos (Figuras 7.42 y 7.43).



Figura 7.42. Anillos de piedra verde, Entierro 18 (Foto por E. Gómez)

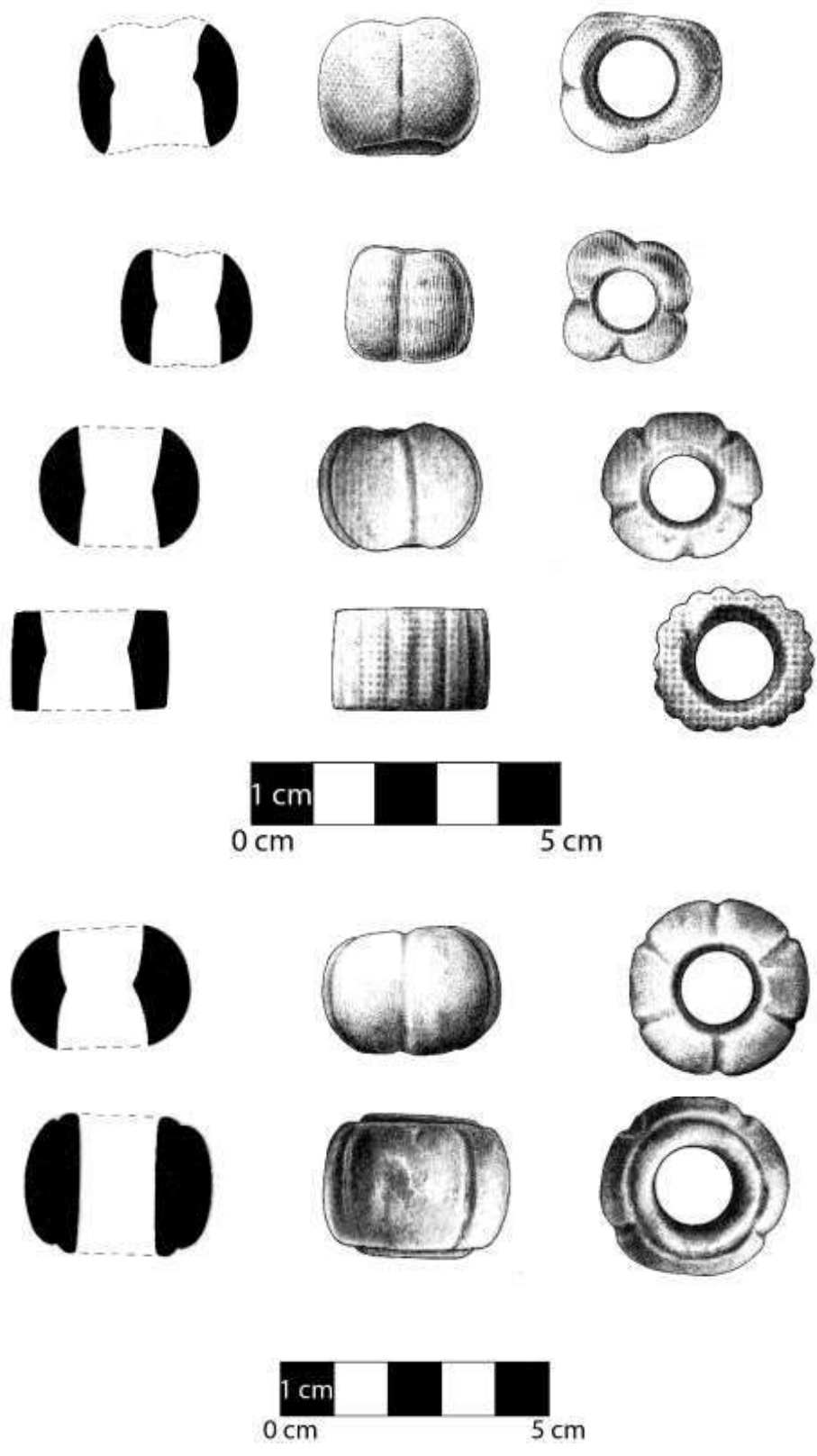


Figura 7.43. Anillos de piedra verde, Entierro 18 (Dibujos por L. Luin)

Un grupo de placas lisas y bien pulidas de entre 6 cm de largo y 2 cm de ancho, tuvieron perforaciones generalmente dispuestas en pares y se encontraron asociadas con adornos de concha, en uno de los extremos (Figuras 7.44 y 7.45). Dichas placas y conchas presumiblemente fueron parte de un pectoral, u otro adorno de tocado. Otros adornos como elementos de orejera también aparecieron en considerable cantidad (Figuras 7.46 y 7.47).

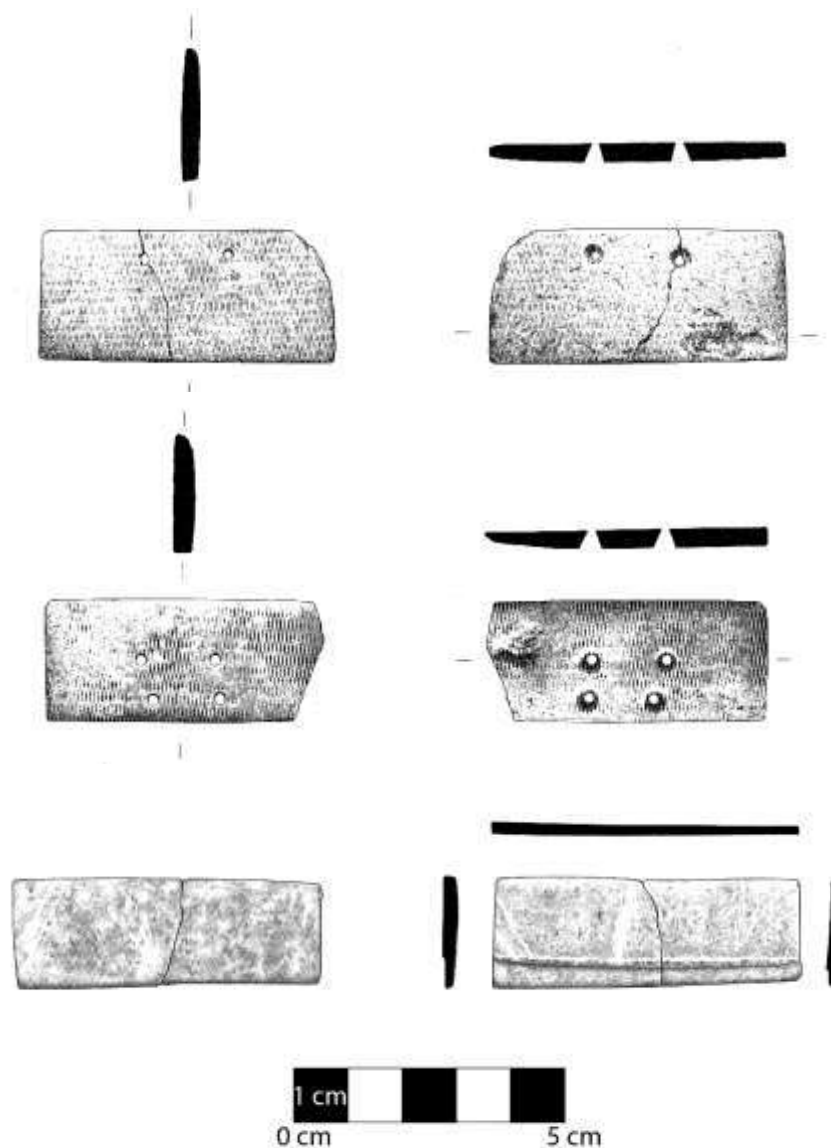


Figura 7.44. Placas lisas de piedra verde, Entierro 18 (Dibujos por L. Luin)



Figura 7.45. Placas de piedra verde con elementos de concha nácar (Foto por E. Gómez)

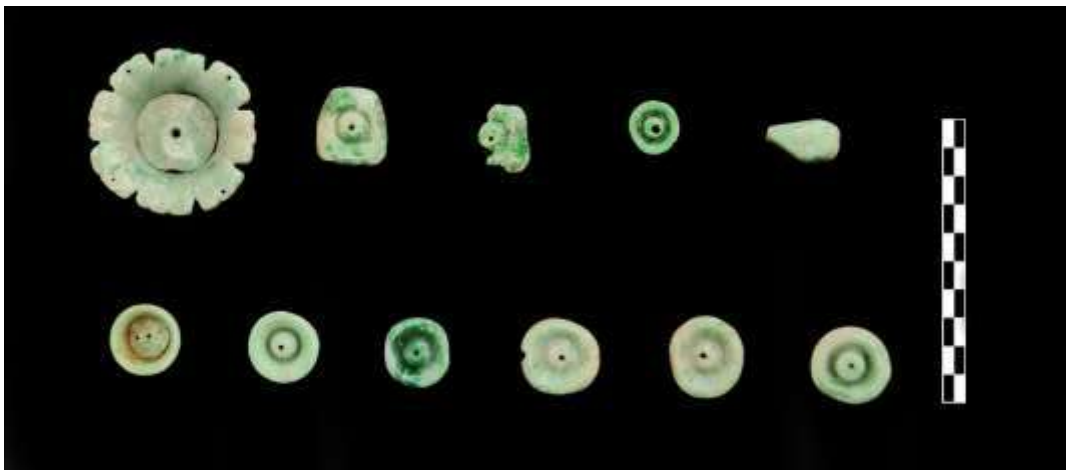


Figura 7.46. Orejeras de piedra verde (Foto por E. Gómez)

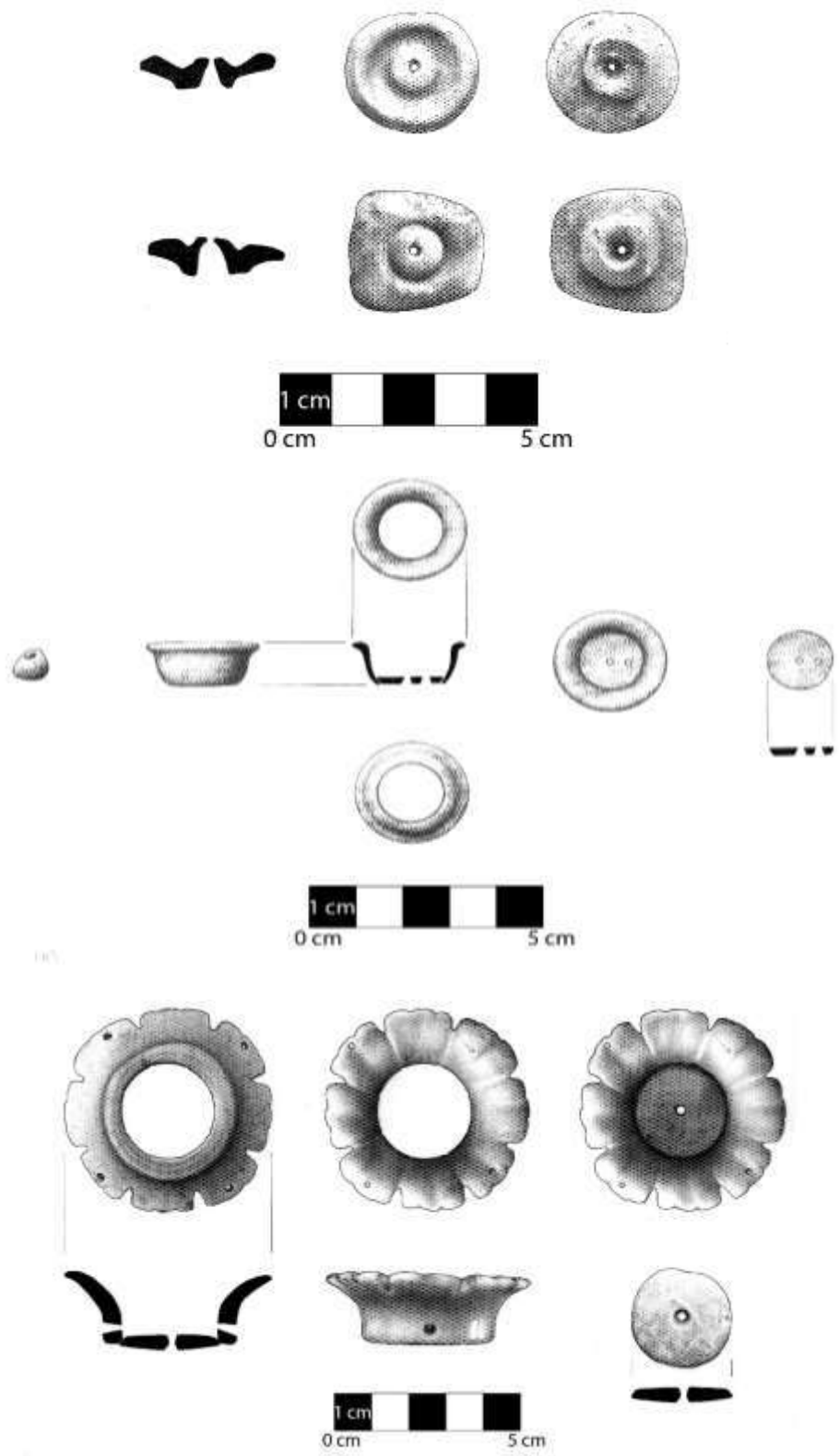


Figura 7.47. Orejeras de piedra verde, Entierro 18 (Dibujos por L. Luin)

Parte de la ofrenda incluyó siete conchas *Spondylus*, completas y fragmentadas (Figura 7.48). Cinco de estos ejemplares se encontraron colocados a lo largo de lo que permaneció de la osamenta, en general sobre su lado izquierdo. Otra yacía parcialmente por debajo del sector de los tobillos. Una más, que fue el primer indicio directo del entierro, se encontró pegada a una piedra, dentro del sector aledaño a la cabeza. La séptima concha se encontró en el área izquierda, aproximadamente sobre el sector donde se encontraría posteriormente la cara del difunto. Esta concha contuvo varios dientes con desgaste intencional que según el análisis de E. Patterson pertenecen a por lo menos un segundo individuo. La especialista mencionada, observó ciertos patrones no coincidentes entre los dientes de mandíbula y maxilar, que sugiere la presencia de más de un individuo.



Figura 7.48. Conchas *spondylus* del entierro 18 (Foto por E. Gómez)

Adicionalmente fueron encontrados pendientes de concha que al parecer serían dispuestos en pares, a juzgar por algunos ejemplos encontrados de tal manera. Asimismo hubo otros pocos pendientes de pequeños caracoles y algunas perlas que también contaron con perforaciones. Por otro lado se recuperaron algunas cuentas de collar de tono violeta

entremezclado con un color blanquecino que según T. Barrientos son de una especie de concha *Spondylus*. Adornos tales como los pendientes de concha nácar y las cuentas de *Spondylus* ya han sido reportados en el Entierro 3, ubicado en la Estructura 13Q-3 de la Plaza Principal (Desailly-Chanson 2012: Figura 8.14). De forma un tanto dispersa se encontraron pequeñas piezas planas semi-ovaladas y algunas cuadradas de concha nácar que pudieron ser parte de mosaicos. Se considera bastante probable que estas pequeñas piezas hayan cubierto objetos colgantes en forma de poliedro irregulares, semejantes a los únicos dos casos encontrados en el entierro. Se trata de pequeños objetos de pedernal cuya forma asemeja dos pirámides truncadas unidas por la base. Estos poliedros se encontraron con cada cara cubierta por un objeto plano de concha nácar. Otros objetos localizados fueron cuentas tubulares y redondas que según T. Barrientos son de pirita que muestran su superficie oxidada.

Dos platos de cerámica también formaron parte de la ofrenda. Uno de ellos (*Vasija 1*) estuvo completo fragmentado y se encontró al lado derecho del individuo, aproximadamente a la altura del fémur. Según el análisis preliminar de la ceramista C. Parris (com. pers.), pertenece al tipo Saxche Naranja Polícromo del Clásico Tardío (Figura 7.49). Parris notó que en el fondo y borde de la vasija habían vestigios de pintura negra que atendiendo a su disposición, debieron conformar el diseño conocido como el "Elemento La Corona", presente en vasijas de otros entierros de la Plaza Principal, tales como el Entierro 3 (Desailly- Chanson: 2012), Entierro 19 (Estructura 13Q-1) y el Entierro 17 (Palacio), estos últimos recuperados en el presente año. El plato del Entierro 18 contuvo abundantes restos de ceniza, aunque de la tierra contenida en el mismo no se recuperaron artefactos. El segundo plato (*Vasija 2*) fue encontrado completo fragmentado, con algunas piezas un tanto desplazadas, pero en general concentrados hacia la parte izquierda y alejado de la cabeza del individuo. Se trata de un plato naranja con un diseño en el fondo consistente en dos triángulos de color negro, unidos por uno de sus vértices, a manera de reloj de arena (Figura 7.50). Según C. Parris (com. pers.), a este ejemplar no se le asigna por el momento un nombre de tipo cerámico, aunque de acuerdo a la ceramista, una vasija similar ha sido reportada dentro del ajuar del Entierro 8 del sitio de El Perú-Waka, así como otro caso en Calakmul.



Figura 7.49. Vasija 1 del Entierro 18, plato Saxché-Palmar Naranja Policromo con diseño pintado de "Elemento La Corona" (Foto por C. Parris)

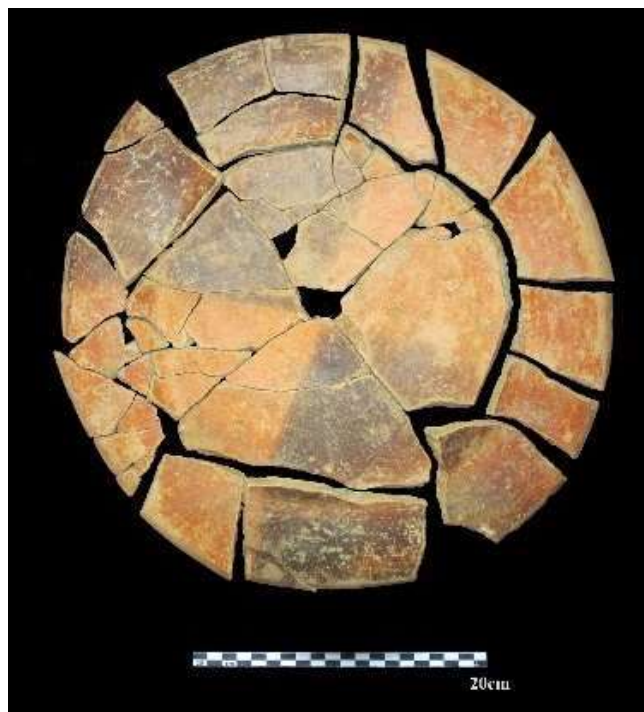


Figura 7.50. Vasija 2 del Entierro 18, plato de tipo indeterminado (Foto por C. Parris)

Sobre los materiales del entierro, en sí presentaron materiales foráneos de acceso restringido como piedra verde o jade, pirita y diversos tipos de conchas marinas. Denota considerable inversión de recursos para este enterramiento de un personaje de alto rango, según M. Canuto y T. Barrientos, perteneciente a la realeza de La Corona.

Material	Cantidad
PIEDRA VERDE O JADE Cuentas esféricas o tubulares menores a 3 cm Cuentas tubulares mayores a 3 cm Anillos (o cuentas decoradas) Placas rectangulares no decoradas Ornamentos (orejeras, pendiente) Piezas talladas con representaciones iconográficas Piezas posibles de mosaico	319 12 8 12 11 3 62
CONCHA <i>Spondylus</i> Adorno de concha asociado a las placas no decoradas de piedra verde Pendientes de concha Piezas posibles de mosaico Cuentas de <i>Spondylus</i>	7 8 36 65 7
PIRITA Cuentas Cuentas tubulares Adornos	8 3 5
PEDERNAL Pendientes	2
CERÁMICA Platos	2

Tabla 7.2 Materiales asociados al entierro (Tabla por E. Gómez)

Resumen e interpretación de los resultados

Con la información disponible de las excavaciones de 2014 se presentan algunas posibilidades sobre la actividad constructiva de la Estructura 13Q-2, que en gran parte pudo estar relacionada directamente con el Entierro 18. Se hace la salvedad que futuras investigaciones que se realicen en el mismo sector podrían confirmar o modificar en parte esta propuesta.

A manera de resumen, los datos que arrojó la investigación de la Estructura 13Q-2 permiten ver por lo menos dos etapas constructivas principales y otra cuyo único indicio es un piso. En breve, la primera estaría asociada con el piso Danta, cuyo núcleo es de tonalidad gris. En esta oportunidad sólo se encontró este piso en el perfil sur de la unidad CR32H-19 y en un registro en las unidades CR32D-74 y D-72, sin encontrarse otros rasgos constructivos asociados. La segunda etapa se liga al piso Venado, con la construcción de columnas ricamente decoradas en la fachada de la Estructura 13Q-2-Sub2 y con una posible escalinata central asociada (Estructura 13Q-2-Sub1); si esto es cierto, solo se encontraron los extremos norte y sur, pocos centímetros detrás de las columnas. Un corte en la escalinata fue observado en el perfil sur de la unidad CR32H-19; no fue posible explorar la parte norte del pozo aunque quizá se encuentre una situación similar en cuanto al corte de gradas. Al finalizar esta etapa es probable que se haya agregado la plataforma ritual 13Q-2-Sub1, con modificaciones ligadas al Entierro 18 y la posterior cancelación de esta versión del edificio. Una tercera etapa principal se asocia a la estructura identificada como Fase A en anteriores investigaciones. De las excavaciones dentro de la plataforma 13Q-2-Sub1 se ha recuperado cerámica, que aunque falta un análisis extenso, dan indicios del Clásico Tardío. Los pocos materiales encontrados entre el relleno sobre el nivel de la plataforma 13Q-2-Sub1, y por ende previos a la construcción de la última etapa de la Estructura 13Q-2, están posiblemente asociados a la parte final del Clásico Tardío, como indicó C. Parris, en su análisis preliminar de material de la unidad CR32H-19. Sin embargo las dataciones pueden ser refinadas en un futuro con una mayor muestra cerámica estudiada y con fechas de radiocarbono.

Otra información interesante resultó del registro CR32D-74, en dirección del nicho de la plataforma 13Q-2-Sub1 hasta llegar a la unidad CR32H-19. Allí se pudo observar la discontinuidad de pisos dentro de la plataforma 13Q-2-Sub1 y los pisos relacionados a versiones o construcciones de la Estructura 13Q-2. Así, tanto el piso Venado y Danta en determinado momento fueron cortados para llegar al área del entierro. Igual suerte tuvieron las gradas mencionadas que fueron cortadas en la parte sur, según se ve en el perfil de la unidad CR32H-19.

En el registro realizado dentro del nicho de la plataforma 13Q-2-Sub1 se encontró una ofrenda de navajas de obsidiana, dientes y pequeños fragmentos óseos humanos. Por el hecho de estar colocada directamente sobre el piso Danta, la ofrenda sugiere una dedicación como parte de un ritual de terminación. Por el momento no se pudo establecer la presencia del piso Danta en los perfiles norte y este de la unidad CR32H-19, por lo que se presume que el corte de tal piso podría estar a poca distancia coincidiendo con los límites norte y este del espacio del entierro.

Propuesta de interpretación sobre la deposición del Entierro 18

Con los datos disponibles de esta temporada se pueden exponer algunas posibilidades referentes a la deposición del Entierro 18 y algunos eventos asociados. Así, inicialmente se considera que al finalizar la primera etapa constructiva, asociada con el piso Danta, se depositó en el eje central una ofrenda conteniendo dientes humanos y pequeños restos óseos, claramente de procedencia desconocida, junto con navajas de obsidiana. La ofrenda quedó cubierta por el relleno de la siguiente etapa asociada al piso Venado (Estructura 13Q-2-Sub3), como un ritual de terminación. Es difícil conocer la intención de la ofrenda pero cabe preguntarse si aludiría a una posible futura función funeraria dentro de este sector, o si tiene alguna relación con el Entierro 18.

En el mismo lapso en que se dedicó la ofrenda, se cortó el piso Danta, tal como se aprecia el perfil sur del pozo CR32H-19 y el registro de la unidad CR32D-74. Lo anterior se hizo con el fin de acondicionar el espacio para el enterramiento de un individuo de alto rango, con ocasión de una nueva versión del edificio, valiéndose quizá de la construcción de una cista. Ha de mencionarse que se encontraron lajas similares a las utilizadas en las cistas, pero mezcladas con bloques canteados similares a los utilizados en muros, algunos mostrando restos de estuco y pintura roja. Como se describió en párrafos anteriores, el espacio excavado no evidenció ninguna de estas piezas *in situ*, desconociéndose su morfología original. Se cuestiona si pueden existir vestigios de esta construcción más al este, detrás o bajo el nivel de los muros observados en la unidad CR32H-19 (Estructura 13Q-2-Sub4? Y Sub3). En la parte inferior del perfil este de la unidad aún se apreciaban piedras grandes y se encontraron adornos del ajuar funerario, siendo una posibilidad que el

límite del entierro se extienda a una distancia indefinida, hacia el este. En cuanto a la cista, habría sido finalmente cubierta por material de relleno previo a la construcción de la etapa asociada al piso Venado. Posteriormente se agregó la Estructura 13Q-2-Sub2, cuyas columnas que debieron estar profusamente decoradas, aunque se encontraron mutiladas. La escalinata central de la Estructura 13Q-2-Sub3 pudo ser tan ancha como el espacio que hay entre las columnas y estas gradas cubrieron el entierro parcialmente. Otra posibilidad es que se haya construido una plataforma baja, de dimensiones inciertas (Estructura 13Q-2-Sub4), y llama la atención que la hilada base de dicha plataforma muestra bloques de mejor calidad en comparación con el material usado en el resto del muro. Un registro realizado dentro del nicho de la plataforma 13Q-2-Sub2 expuso un corte en la superficie estucada que conformaba la base de dicho nicho. Se sugiere entonces que si en efecto existió una plataforma anterior, esta fue cortada al momento de un reingreso al Entierro 18.

Luego de finalizar la versión del edificio correspondiente al piso Venado, con sus columnas decoradas y escalinata, se realizó un corte que se observó únicamente en el perfil sur de la unidad CR32H-19 con gradas cortadas. Si existió una plataforma anterior, según se expresó en el párrafo anterior, igualmente habría sufrido un corte. Es posible entonces que de haber existido una cista elaborada, ésta haya colapsado y al ser objeto de reentrada se dismanteló por motivos simbólicos y a la vez prácticos a fin de alcanzar el entierro. Así, las piedras fueron manipuladas y finalmente dejadas sin ordenamiento. Al alcanzar propiamente el entierro, quizá la combinación del colapso y el factor humano haya resultado en la alteración, rotura y desplazamiento del ajuar funerario, como el plato encontrado hacia el norte y algunas conchas *Spondylus* con fragmentos ausentes. Los restos óseos aunque en muy mal estado de conservación no parecen haber sufrido alto grado de remoción. No se sabe si hubo extracción de reliquias, aunque quizá sí se ingresaron nuevos objetos.

En cuanto a los artefactos que contienen las tumbas es muy difícil saber en qué momento fueron colocados debido a “variaciones en las condiciones de la tumba, técnicas de excavación, prácticas de registro, reentradas episódicas a la tumba, y otros factores humanos pasados y presentes” (Fitzsimmons 2009: 84). En el caso del Entierro 18, posiblemente al momento de la reentrada se haya colocado la concha conteniendo dientes,

pues es sugerente que se haya encontrado cuidadosamente colocada cerca de la parte de la cara. También es interesante el plato Saxché-Palmar Naranja Polícromo que muestra restos de una decoración con el "Elemento La Corona", ya que aunque fragmentado, se encontró *in situ*, lleno de tierra y con carbón y ceniza en su parte superior. Entonces no parece haber sido afectada por remoción como ocurriría con el plato fragmentado hallado en el perfil norte de la unidad CR32H-19, cuyas piezas estuvieron un tanto desplazadas, con algunos fragmentos entremezclados con el relleno del entierro. Lo anterior sugiere que el plato Saxché-Palmar fue colocado al momento de un reingreso. Ello podría cobrar sentido si se contrasta, sin ser exhaustivos, con el caso de tres entierros de Naachtun. Los investigadores indican que los objetos de entierro que no sufrieron alteraciones pueden ser explicados por tres posibilidades: 1) que los objetos ya estaban junto al entierro y no fueron perturbados durante el reingreso; 2) los objetos fueron extraídos y vueltos a colocar; y 3) la más convincente, que se trate de objetos depositados luego del reingreso, como una manera de conmemorar ese acto (Barrientos, Sion, Andrieu, Salazar, Cotom: en preparación). Mientras tanto, los otros objetos del Entierro 18 de La Corona, están notablemente desplazados. Llama la atención que hubo algunos objetos que incluso yacían sobre pequeñas piedras. Una de las posibilidades es que los objetos que ya estaban fuera de su lugar de uso, como algunos adornos, se hayan dejado entremezclados con tierra y pequeñas piedras puesto que parece difícil que esta posición se deba a procesos naturales. En este punto ha de indicarse que solamente se advierte una cuidadosa disposición en las lajas de contornos ovalados encontradas encima y al centro del entierro. Las lajas que circundaban la concavidad estucada no se observaron *in situ*. Según lo expuesto por la excavación de esta temporada, que dejó entrever los límites sur y oeste, no se observaron lajas ordenadas ni dispuestas verticalmente como aparecen comúnmente en otros ejemplos de diversos sitios arqueológicos del área maya. Es posible que de una cista u otra construcción mortuoria probablemente existente en este emplazamiento se haya aprovechado para cubrir el entierro, sin una cuidadosa planificación. Se utilizaron así lajas de diversas formas y dimensiones, incluso algunos bloques canteados que ocasionalmente evidenciaron estuco y pintura roja. Con riesgo de ser una idea errónea, cabe preguntarse si el segmento de muro que se colocó sobre el Piso 4 en el interior de la plataforma 13Q-2-Sub2 es resultado de la

reutilización de bloques de una construcción desmantelada dentro del mismo sector. Igualmente es confusa la presencia de un muro que corre unos centímetros arriba del anterior. Este último tiene bloques que recuerdan a los utilizados en las columnas mutiladas.

De acuerdo al material cerámico de la ofrenda del Entierro 18, de acuerdo al análisis preliminar realizado por C. Parris, la revisita al entierro podría asociarse al Clásico Tardío. Luego del reingreso, se selló el entierro por medio de cuatro pisos, sobre los cuales se realizaron actos rituales, quizá llevados a cabo dentro de un periodo corto. Por otro lado, pudieron darse modificaciones a la plataforma 13Q-2-Sub1 y se colocó una ofrenda de pedernal al frente del nicho, aunque sobre un nivel de relleno sobre el piso Venado. Esta ofrenda pudo ser parte de un ritual con ocasión de una nueva versión del edificio, aunque a la vez parece recordar el entierro que fue sellado con la penúltima etapa constructiva. Se considera que aunque la ofrenda es relativamente reducida y limitada a material de pedernal, pudo tener un significado ligado al Entierro 18. Al respecto, algunos investigadores como Fitzsimmons (2009) han notado que hay una asociación de cerramiento de tumbas con los escondites conformados por capas que pueden contener lascas de pedernal y obsidiana, cantos rodados, navajas, y excéntricos. Esto es especialmente reportado para el Petén central, y abarca temporalidades incluso desde el Protoclásico hasta el Clásico Terminal (Fitzsimmons 2009:103). En varios rituales de terminación de sitios como Copán o Piedras Negras se ha depositado desecho de pedernal u obsidiana (Fitzsimmons 2009: 103). De hecho, en La Corona se ha reportado un ejemplo de entierro en el Grupo Coronitas que estuvo cubierto con abundantes lascas de pedernal y obsidiana (Baron 2012: 240).

Al parecer hasta épocas tardías se seguía teniendo presente en la memoria social un significado especial de este edificio oriental del Grupo Principal de La Corona y el personaje ancestral que albergaba. Esto se evidencia por los incensarios postclásicos encontrados en la cima y base de la estructura. En Palenque, por mencionar un ejemplo conocido del Clásico Tardío, se tiene el caso de dos incensarios efigie, hallados en el exterior de un templo que se han ligado a la veneración de antepasados (de la Garza, Bernal y Cuevas 2012: 188). De manera similar, en el templo de la Cruz Foliada se encontraron

entre los escombros del edificio incensarios pétreos que se relacionaron a un culto a los antepasados importantes de la dinastía e incluso a jefes emblemáticos de algunos linajes subalternos (*Ibíd.* 170). Al respecto, Chase y Chase (2005) refiriéndose a grupos residenciales de Caracol, anotan específicamente que los edificios del este son los que principalmente se asocian a actos rituales como ofrendas, sacrificios y evidencian actividad funeraria de uno a más individuos. Asimismo menciona que los hallazgos de superficie en este tipo de estructura incluyen incensarios en la cima o las escaleras (*Ibíd.* 259).

Por último, dentro de los rasgos que aún resultan confusos, está la presencia de los restos de dos muros localizados en el límite este de la unidad CR32H-19. El muro hallado justo encima del Piso 4 dentro de plataforma 13Q-2-Sub2 no tuvo correspondencia con algún otro rasgo que aclare si se trató de una construcción arquitectónica destinada directamente a actividades rituales. Es confuso que en la parte sur, el Piso 4 asciende casi junto al límite de este pequeño muro, sugiriendo la existencia de un vestigio constructivo no identificado por el momento (Estructura 13Q-2-Sub4?). Por otro lado, el muro que está centímetros más arriba y que sobresale de la plataforma, tiene una disposición diferente de las piedras en un área casi rectangular al centro del muro, recordando la apariencia de un acceso tapiado. Por lo tanto se espera resolver estas dudas en las excavaciones futuras.

CAPÍTULO VIII

OPERACIÓN CR16: EXCAVACIONES EN LA ESTRUCTURA 13R-10, TEMPORADA 2014

Jocelyne Ponce Stokvis

Introducción

La Estructura 13R-10 forma parte del Grupo 13R-II, ubicado al noroeste del Grupo 13R-I o Coronitas, con el cual comparte la misma plaza abierta (Figura 8.1). Esta estructura se encuentra adosada por el lado oeste a la estructura de forma piramidal denominada 13R-9. La Estructura 13R-10 es una plataforma basal rectangular, alargada en su eje este- oeste, de aproximadamente 19 m de ancho y 30 m de largo. La estructura posee una altura de 2.70 m desde la Plaza Sur, con una orientación de aproximadamente 10 grados al noreste. La fachada principal de esta estructura, al igual que de la Estructura 13R-9, se encuentra en el lado sur donde hay tres saqueos que destruyeron gran parte de la escalinata de acceso. El Saqueo 1 es el saqueo ubicado en el lado oeste de la Fachada Sur, el Saqueo 2 se refiere al saqueo al centro de la fachada y el Saqueo 3 es el que se encuentra ubicado en la esquina este de la misma.

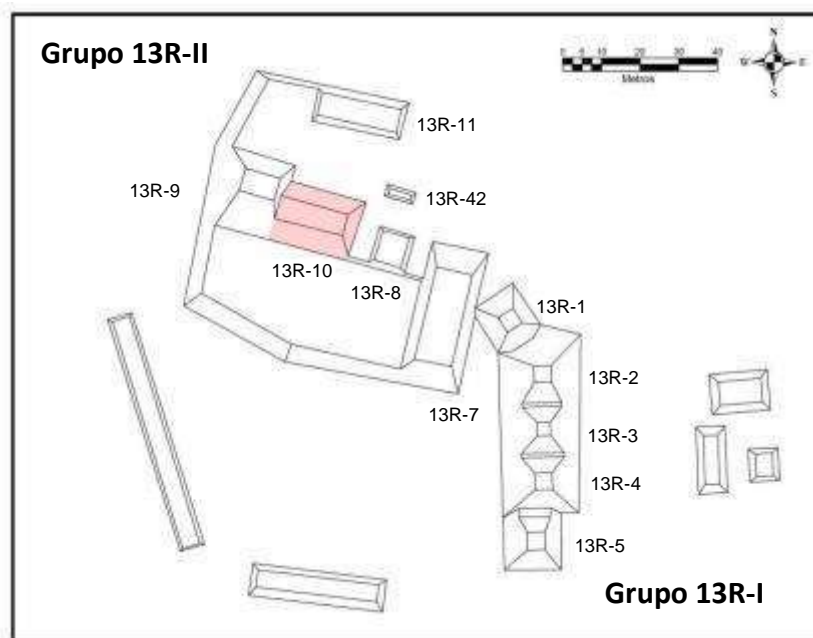


Figura 8.1 Mapa de los grupos 13R-1 y 13R-II mostrando ubicación de la Estructura 13R-10
(Mapa por M. Canuto)

Antecedentes

Las intervenciones arqueológicas de años anteriores en las estructuras 13R-9 y 13R-10 han generado datos que sugieren que fue un área importante de actividad a lo largo del período Clásico, y se cree que ambas estructuras fueron utilizadas por la corte real durante el Clásico Temprano y Tardío. En 2006 Mary Jane Acuña dirigió la elaboración de un pozo de sondeo ubicado entre las estructuras 13R-9 y 13R-11 como parte del programa de reconocimiento del Proyecto Arqueológico El Perú-Waka'. Este pozo dio como resultado un lote de cerámica de 651 tiestos fechados para el Clásico Tardío. Ese mismo año, el equipo de mapeo encontró un depósito de 1,506 tiestos policromos en la superficie cerca de la trinchera de saqueo de la Estructura 13R-9. Algunos poseían glifos de nombres de personajes de la elite local (Acuña 2007).

En 2008, Mary Jane Acuña dirigió la limpieza de la trinchera de saqueo de la Estructura 13R-9 con el objetivo de determinar la procedencia de la cerámica descubierta en la superficie en 2006. Las excavaciones dieron como resultado más cerámica perteneciente al Clásico Tardío, indicando que la edificación posiblemente fue construida durante esta época (Acuña 2009). Posteriormente, en 2009 Erika Gómez coordinó las excavaciones en la Estructura 13R-9 que se concentraron en la Fachada Sur de la estructura y la plaza frente a ésta. Se descubrieron diversos rasgos arquitectónicos y un escondite con material marino y lítico en la superestructura, lo que sugirió que en el área se realizaban actividades rituales (Gómez 2010).

En 2010, Enrique Fernández realizó excavaciones en la Estructura 13R-10 que se concentraron en las fachadas norte y sur de la estructura. Se logró identificar una posible entrada al sur, mientras que en el lado norte se encontró un muro estucado que marca el borde de la plataforma basal de la estructura, un depósito de cerámica en la base del muro y un *chultun* de 2.53 m de profundidad que fue utilizado como basurero (Fernández 2011). Las excavaciones de la Temporada 2011 por parte de la autora se concentraron en identificar rasgos arquitectónicos de la parte superior de la Estructura 13R-10. Camilo Nájera excavó parte de la Fachada Sur de la edificación y Antonieta Cajas investigó la unión de las estructuras 13R-9 y 13R-10, tratando de encontrar evidencia del tipo de actividad que se realizaba en este conjunto arquitectónico (Cajas 2012; Ponce y Nájera 2012).

Como resultado de la Temporada 2011 se definió la esquina sureste de la Estructura 13R-9 y en la Estructura 13R-10 se identificaron tres habitaciones delimitadas por cuatro muros y dos banquetas en la parte superior de la estructura; tres cuerpos de mampostería en el lado oeste de la fachada principal; y el corredor que separaba ambas estructuras. El hallazgo de dos bloques con glifos (elementos 26 y 27 del Conjunto A) en el escombros de saqueo en la Fachada Sur de la Estructura 13R-10 demostró que esta estructura poseía una escalinata jeroglífica, confirmando la importancia de esta estructura para la elite local y posibles vínculos con la dinastía real. Asimismo, se encontraron numerosos y diversos materiales culturales que son indicios que el conjunto fue un área importante de actividad durante el Clásico Terminal (Cajas 2012; Ponce y Nájera 2012).

Las excavaciones de la Temporada 2012 en el lado oeste del basamento de la Estructura 13R-9 dieron como resultado la exposición de cinco cuerpos recubiertos de estuco. También se ampliaron las excavaciones bajo el área donde se halló la ofrenda en 2009, y en uno de los rellenos se descubrió la proveniencia de la cerámica polícroma encontrada en 2006, junto con gran cantidad de huesos de fauna y ceniza, lo que sugiere que podrían ser los restos de un festín ritual realizado durante la construcción de la edificación. En la roca madre se halló un recinto funerario relleno de arena blanca suelta que nunca fue ocupado. Asociado al recinto se halló solamente un cráneo desarticulado de un individuo joven de sexo indeterminado (Cajas 2013).

Las excavaciones de la Temporada 2012 en la Estructura 13R-10 dieron como resultado la identificación e investigación de la Escalinata Jeroglífica 2 de La Corona en la Fachada Sur, la cual tenía doce bloques esculpidos, reposicionados y provenientes de por lo menos cuatro diferentes fuentes originales (Conjuntos A, B, C y D) (Stuart y Baron 2013). Durante la limpieza y remoción del escombros de saqueo se encontraron nueve bloques con glifos que habían sido descartados por los saqueadores (elementos 41 a 49 del Conjunto A) y que pertenecieron a los escalones originales de acceso, a cuyo conjunto se le denominó "Escalinata Jeroglífica A". También se siguió con la identificación de rasgos arquitectónicos en la parte superior de la estructura, donde se excavó la continuación de los cuartos 1 y 3. Por último, se encontraron los restos de dos estructuras de ocupación terminal, una sobre la Plaza Sur a pocos metros al este de la Escalinata Jeroglífica 2 y la otra adosada al muro este del basamento de la Estructura 13R-10 (Ponce 2013).

En la Temporada 2013 se realizó una excavación estratigráfica en una trinchera de 14 m de largo que atravesó el eje central de la Estructura 13R-10, con el objetivo de conocer las etapas constructivas. Esto dio como resultado la identificación de siete pisos de estuco que representan tres diferentes etapas ocupacionales, desde la primera parte del Clásico Temprano hasta la segunda parte del Clásico Tardío. De igual manera, se recuperaron tres entierros (entierros 9, 10 y 11) y cinco ofrendas, haciendo un total de siete ofrendas recuperadas en el eje central de la Estructura 13R-10 (Ponce 2014a).

Excavaciones de la Temporada 2014

Las excavaciones de esta temporada ampliaron la información relacionada con ciertos rasgos identificados el año anterior y proveyeron nuevos datos sobre la cronología, arquitectura y función de la Estructura 13R-10. El objetivo inicial fue tratar de obtener más información de estos rasgos debido a que fueron hallados en los perfiles o muy cerca de los mismos. Éstos fueron el Entierro 9; la Ofrenda 3; el depósito de ceniza en el Perfil Oeste de la Unidad CR16A-45; la alineación de piedras grandes en el Perfil Este asociadas al Piso Poité; y la Escalinata Jeroglífica A (ver Ponce 2014a). El otro objetivo principal fue refinar la cronología establecida la temporada pasada y encontrar más rasgos que pudieran revelar la función de la Estructura 13R-10 a lo largo de su ocupación.

Para ello se trazaron un total de 24 unidades de excavación, 19 de las cuales fueron excavadas al oeste de la trinchera realizada en 2013 y cinco al este de la misma (Figura 8.2). Se continuó con la nomenclatura utilizada en las temporadas pasadas, por lo que la Suboperación CR16A se ubicó en la Plaza y Fachada Sur (9 unidades) y la Suboperación CR16C en la parte superior de la estructura (15 unidades). Los lotes utilizados en las excavaciones fueron culturales. Al igual que en 2013, el *datum* utilizado fue el Piso Aceituno con una elevación absoluta de 102.81 m. Las excavaciones de la Suboperación C fueron estratigráficas, mientras que las de la Suboperación A fueron horizontales (a excepción de la Unidad CR16A-47). La mayoría de los rasgos en las excavaciones de la Suboperación C se encontraron asociados al Piso Aceituno, por lo que se trató de llevar las excavaciones hasta ese nivel (Figura 8.3). Asociado a este piso se hallaron dos entierros (entierros 12 y 13) y dos ofrendas, lo que confirmó la importancia de esta ocupación. Por su parte, las excavaciones de la Suboperación A se centraron en investigar los escalones

asociados a la última ocupación, a excepción de la Unidad CR16A-47 que se excavó estratigráficamente. A continuación se detallan los resultados de las excavaciones. Los lotes no necesariamente se describen estratigráficamente según el orden en que fueron encontrados, sino según la relevancia de cada rasgo. En la mayoría de los pozos, el Lote 1 corresponde al relleno de las excavaciones de años anteriores, por lo que no se incluye en la descripción.

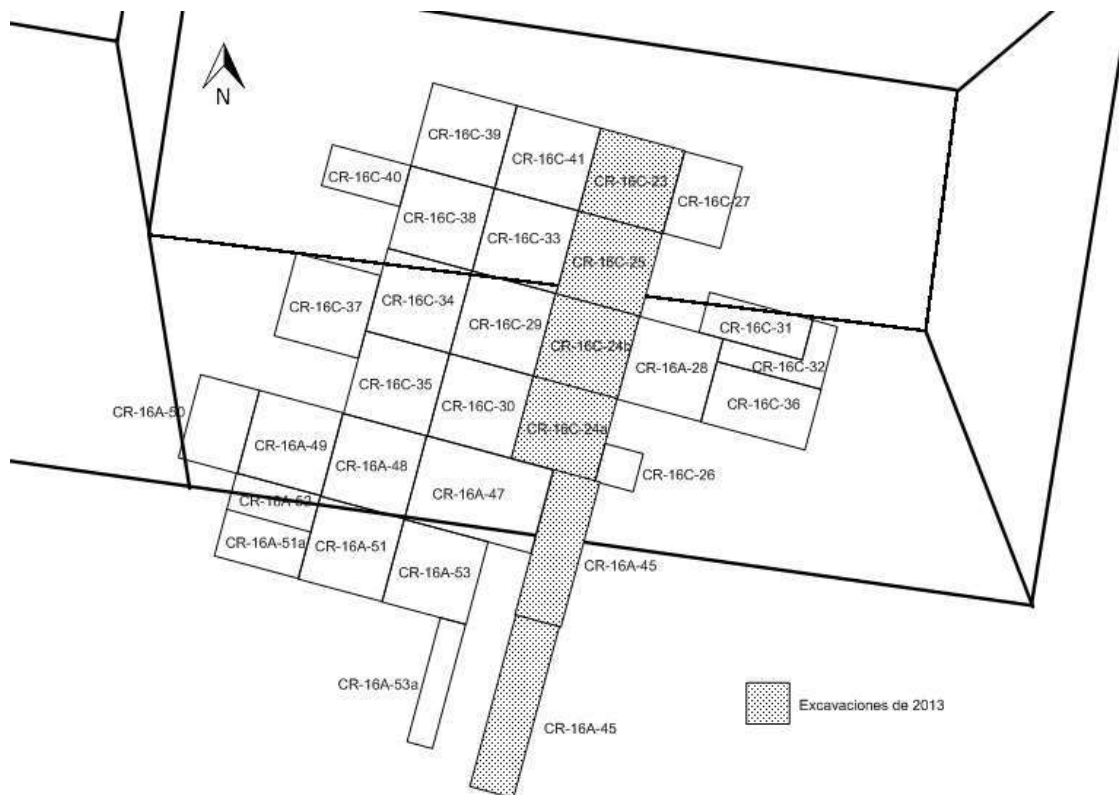


Figura 8.2 Ubicación de las unidades excavadas en la Temporada 2014
(Mapa por E. Bustamante)

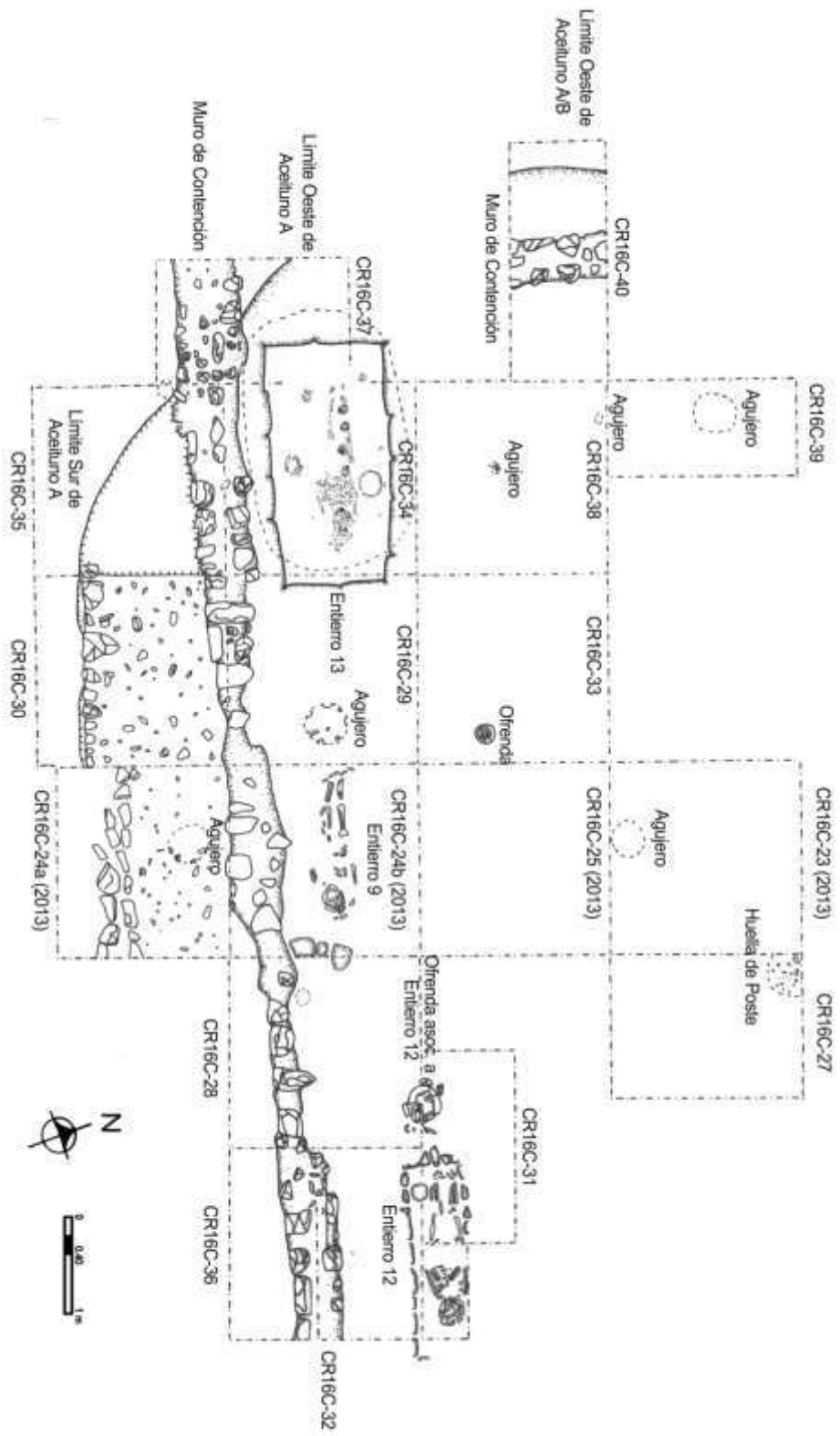


Figura 8.3 Planta del Piso Aceituno mostrando rasgos encontrados
(Dibujo por J. Ponce)

Suboperación CR16C: Excavaciones en la parte superior de la estructura

Unidad CR16C-27

Esta unidad se ubicó al lado oeste de la unidad CR16C-23 (excavada en 2013) y fue de 2 m (N-S) x 1.5 m (E-O). Alcanzó una profundidad máxima de 3.54 m desde la superficie y se identificaron 13 niveles y 14 lotes (Figura 8.4):

Nivel 2-Lote 2 Piso Guaya: El Piso Guaya es un piso de estuco que se identificó en el Cuarto 1 (ver Ponce 2013). Se encontró a una profundidad de 0.44 a 0.48 m desde la superficie y se halló en mal estado de conservación. No se recuperó material cultural.

Nivel 3-Lote 3: Este lote se identificó bajo el Piso Guaya y constó de un relleno de tierra café compacta con pedrín y piedras medianas. Se encontró a una profundidad de 0.48 a 0.52 m desde la superficie y se recuperaron solamente dos fragmentos de cerámica.

Nivel 4-Lote 4 Piso Chico-Zapote: Este piso de estuco, también identificado en temporadas pasadas, tuvo un grosor variable de 0.1 a 0.84 m. Al igual que en años anteriores, este piso se identificó con forma irregular y en varios estratos finos a una profundidad de 0.52 a 1.36 m desde la superficie. En el Perfil Este se encontraron cuatro piedras grandes, de aproximadamente 0.3 m de largo x 0.15 m ancho, similares a las que fueron identificadas en 2013 sobre el Piso Poité. Se recuperaron 51 tiestos cerámicos y dos fragmentos de pedernal.

Nivel 5-Lote 5: Este relleno constó de tierra café compacta con pedrín y piedras medianas bajo el Piso Chico-Zapote. Se encontró a una profundidad de 1.36 a 1.44 m desde la superficie. Se recuperaron 76 tiestos cerámicos, un fragmento de obsidiana, 25 fragmentos de hueso, dos de concha y una muestra de carbón. De igual manera, el hallazgo de tierra negra y algunas piedras quemadas sugiere que pudo haber sido un depósito que en algún momento contuvo material orgánico que fue quemado.

Nivel 5-Lote 9: Este lote le fue asignado a un relleno café compacto con fragmentos de carbón y pedrín que cubrió una huella de poste asociada al Piso Aceituno. La estratigrafía señala que este poste posiblemente fue cancelado durante la ocupación del Piso Chico-Zapote o Guaya. Se encontró a una profundidad de 1 a 2.24 m desde la superficie y no se recuperó material cultural.

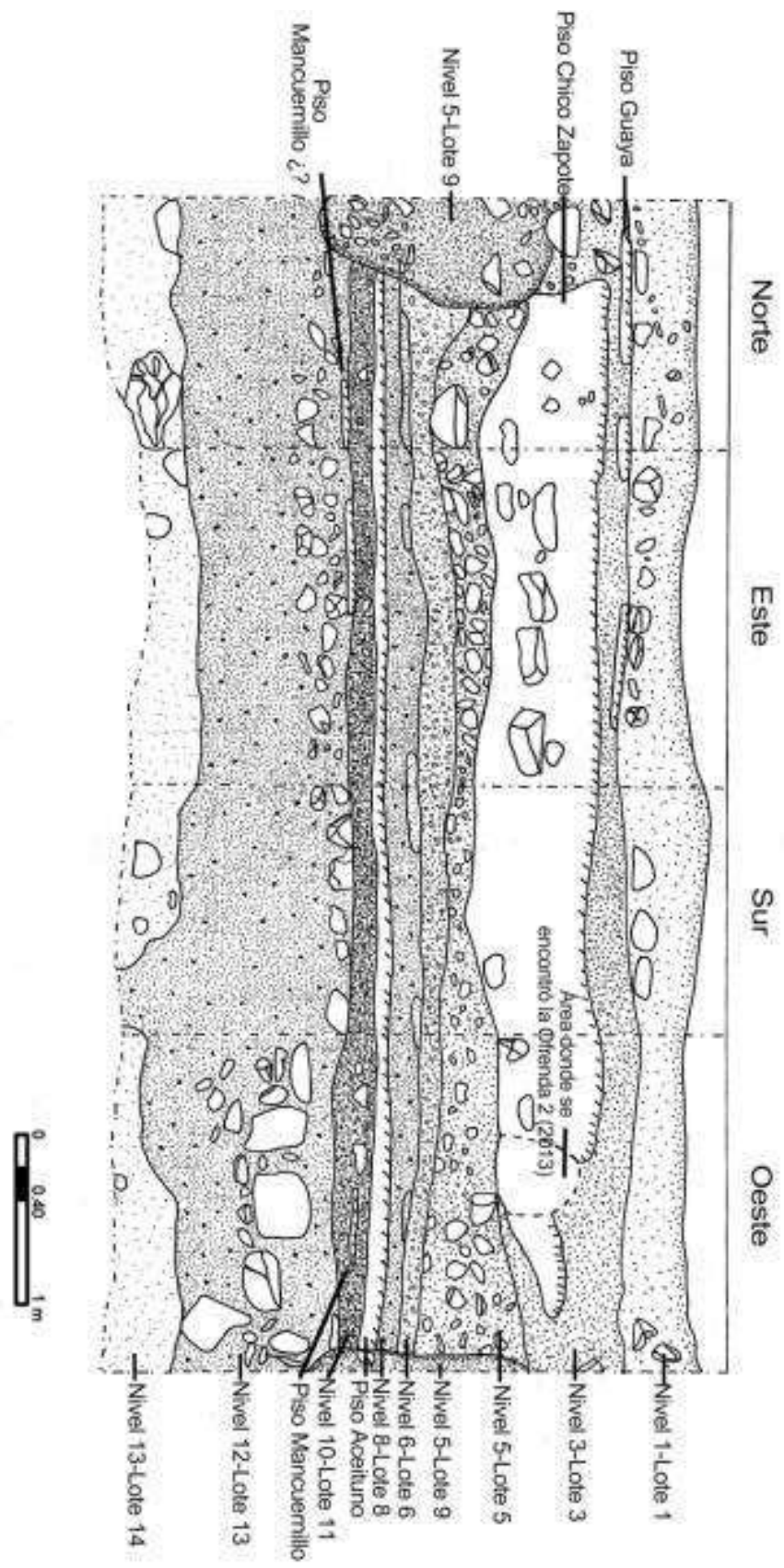


Figura 8.4 Perfiles de la unidad CRI 6C-23, mostrando pisos y rasgos encontrados (Dibujo por J. Ponce)

Nivel 6-Lote 6: Este lote constó de tierra café compacta con pedrín y piedras pequeñas. Tuvo un grosor promedio de 0.2 m y se encontró de 1.44 a 1.7 m desde la superficie. No se recuperó material cultural.

Nivel 7-Lote 7: Este relleno corresponde a una nivelación de piedra caliza y estuco. En 2013 fue identificado como Piso Ramón, pero esta temporada fue descartado como tal. No se encontró de manera uniforme en el pozo y se halló a una profundidad de 1.7 a 1.78 m desde la superficie. No se recuperó material cultural.

Nivel 8-Lote 8: Este lote consistió de un relleno de barro café oscuro compacto mezclado con piedras pequeñas. Tuvo un grosor promedio de 0.2 m, se encontró a una profundidad de 1.7 a 1.84 m desde la superficie, por lo que la nivelación del Nivel 7-Lote 7 se encontró dentro de este relleno. No se recuperó material cultural.

Nivel 9-Lote 10 Piso Aceituno: Este piso de estuco, identificado en 2013, tuvo un grosor promedio de 0.08 m y se encontró a una profundidad de 1.84 a 1.96 m desde la superficie. Aunque no se recuperó material cultural, se encontró un corte circular que corresponde a una huella de poste en la esquina noroeste del pozo, la cual tuvo un diámetro de 0.44 m (E-O) x 0.34 m (N-S) (Figura 8-5). Dicha huella se extendía hacia el norte y oeste respectivamente, por lo que no se encontró sus límites. Como se indicó anteriormente, se cree que esta huella fue rellenada con el relleno de pedrín identificado como Lote 9.

Nivel 10-Lote 11: Este relleno constó de tierra café oscura compacta con piedras de diferentes tamaños. Tuvo un grosor promedio de 0.1 m y se encontró a una profundidad de 1.96 a 2.12 m desde la superficie. No se recuperó material cultural.

Nivel 11-Lote 12 Piso Mancuernillo: Este piso de estuco se encontró muy fragmentado y en mal estado de conservación. Se halló asociado al relleno del Nivel 10-Lote 11 y del Nivel 12-Lote 13, por lo que se encontró a una profundidad variable de 1.98 a 2 m y 2 a 2.04 m desde la superficie respectivamente. Al comparar las diferencias de profundidad de los pisos hallados en 2013, se sugiere que estos fragmentos corresponden al Piso Mancuernillo y no a dos pisos diferentes. Sin embargo, no se debe descartar la posibilidad que los fragmentos asociados al Lote 13 correspondan al Piso Poité.

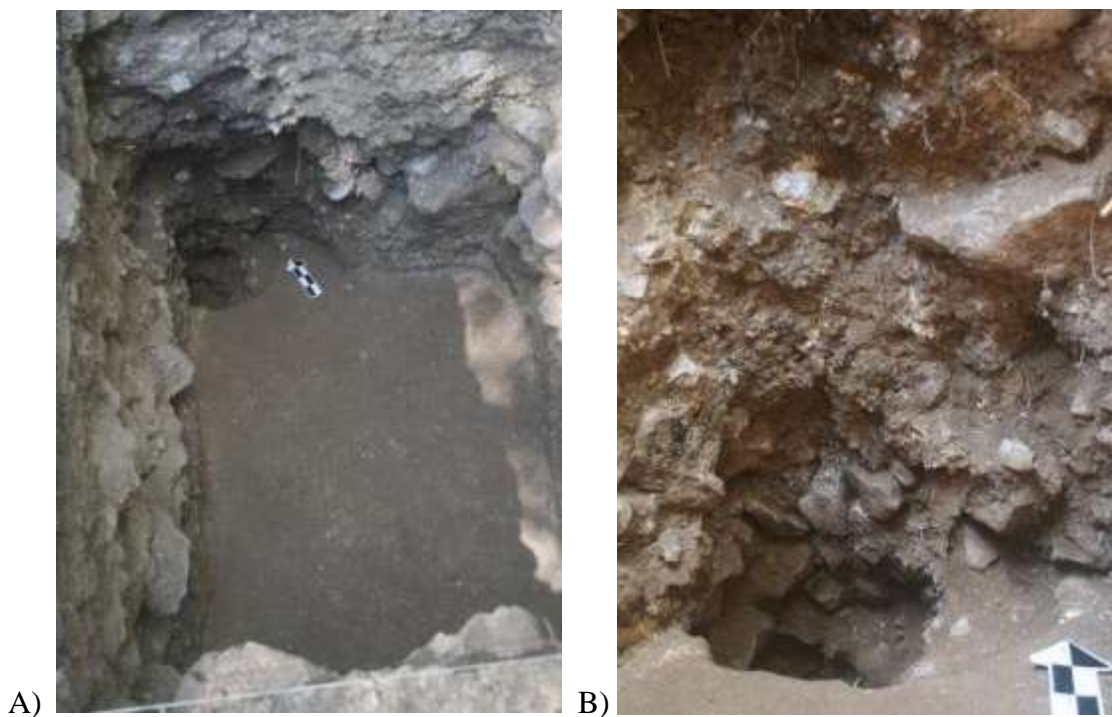


Figura 8.5 Huella de poste encontrada en la Unidad CR16C-27. A) Vista desde la parte superior. B) Detalle de huella de poste y perfil (Fotos por J. Ponce)

Nivel 12-Lote 13 Plataforma de barro: Este lote corresponde a un relleno de barro compacto, color café oscuro, mezclado con piedras pequeñas, identificado en 2013 como una plataforma de barro asociada a la primera ocupación de la Estructura 13R-10. La ubicación de esta unidad indica que la excavación se realizó en la parte superior de la plataforma, la cual se encontró a una profundidad de 2 a 3.38 m desde la superficie. Asociado a este relleno se halló un depósito que probablemente corresponde a un basurero, el cual tuvo 357 tiestos cerámicos, una muestra de carbón, un fragmento de concha, uno de obsidiana y una esfera de estuco. Este depósito se halló en un área de aproximadamente 0.5 x 0.4 m en la parte central del pozo (Figura 8.6). La cerámica ha sido fechada preliminarmente como perteneciente a la transición del Preclásico Tardío al Clásico Temprano y algunos tipos identificados incluyen Sierra Rojo y Polvero Negro (C. Parris com. pers. 2014). Este es el segundo basurero asociado a la plataforma de barro y fecha la primera ocupación para el Clásico Temprano. En el Perfil Oeste se encontró una alineación de tres piedras grandes de aproximadamente 0.2 x 0.2 m. En base a las que fueron encontradas en 2013 sobre el Piso Poité y a las mencionadas anteriormente asociadas al

Piso Chico-Zapote, se sugiere que estas alineaciones fueron una característica de la manera en que se rellenó la estructura.

Nivel 13-Lote 14: Este relleno constó de piedra caliza y piedrín mezclado con arena blanca compacta. Fue identificado en 2013 como un relleno natural. Se encontró a una profundidad que oscilaba entre 3 a 3.54 m desde la superficie y fue estéril culturalmente.



Figura 8.6 Depósito de carbón y cerámica en el relleno de la plataforma de barro
(Foto por J. Ponce)

Unidades CR16C-28, CR16C-31, CR16C-32 y CR16C-36

Este conjunto de unidades se excavó al este de la trinchera excavada en 2013 hasta llegar a nivel del Piso Aceituno. Destaca el hallazgo del Entierro 12 y un muro de contención que se cree que fue construido al momento de convertir la estructura en una plataforma escalonada asociado al Piso Chico-Zapote. A continuación se describe cada unidad con sus lotes y rellenos asociados en detalle:

Unidad CR16C-28

Se ubicó al lado este de la unidad CR16C-24b excavada en 2013 y fue de 2 m x 2 m. Alcanzó una profundidad máxima de 1.70 m desde la superficie y se identificaron 9 niveles y 11 lotes. Cabe mencionar que en el Perfil Oeste se ubicó el área donde se encontró

la Ofrenda 3 en 2013 y no se encontró más material asociado, indicando que posiblemente fue una ofrenda para el Entierro 9.

Nivel 1-Lote 2: este lote corresponde al Muro Sur perteneciente a la arquitectura de la última fase (ver Fernández 2011, Ponce y Nájera 2012). Se recuperaron 7 tiestos.

Nivel 2-Lote 3 Piso Guaya: este piso de estuco se encontró a una profundidad de 0.4 a 0.46 m desde la superficie y no se recuperó material cultural.

Nivel 3-Lote 4: este relleno constó de tierra café mezclada con piedras pequeñas. Se encontró a una profundidad de 0.46 a 0.6 m desde la superficie y no se recuperó material.

Nivel 4-Lote 5 Piso Chico-Zapote: en el Perfil Norte fueron visibles las diversas nivelaciones que sufrió el piso. Se encontró a una profundidad de 0.6 a 0.9 m y se recuperó solamente un fragmento de pedernal.

Nivel 5-Lote 6: este relleno constó de tierra café compacta con piedras medianas y pequeñas. Se encontró a una profundidad de 0.9 a 1.10 m desde la superficie y se recuperaron 58 tiestos, cinco fragmentos de obsidiana y tres de pedernal.

Nivel 5-Lote 7: este lote corresponde una ofrenda hallada en la esquina noreste del pozo a 0.86 m de profundidad. Se encontró asociada al Lote 6 pero se le asignó Lote 7 para mejor manejo del material. Solamente fue visible parte de un plato fragmentado y un hueso largo, por lo que fue necesaria una ampliación al norte denominada CR16C-31. La ofrenda será descrita en detalle más adelante.

Nivel 6-Lote 8: este relleno fue una nivelación de caliza, estuco y pedrín. Se encontró a una profundidad de 1.10 a 1.20 m desde la superficie y no se recuperó material cultural. Sobre esta nivelación se halló un muro de dos hileras que se cree fue de contención al cancelar la ocupación del Piso Aceituno y convertir la estructura en una plataforma escalonada. En 2013 se encontró parte del mismo muro en la unidad CR16C-24b. Cabe mencionar que el muro posee fachada en el lado sur, lo que plantea la posibilidad que no haya sido de contención, si no que posiblemente haya sido funcional durante la ocupación asociada al Piso Aceituno (Figura 8.7).

Nivel 7-Lote 9: este relleno constó de tierra café oscura compacta con piedras pequeñas y medianas, así como pedrín y arena. Se encontró de 1.20 a 1.40 m de profundidad y no se recuperó material.

Nivel 8-Lote 10: este lote consistió de tierra café compacta con pedrín y caliza. Se encontró de 1.40 a 1.70 m desde la superficie y se recuperaron 114 tiestos.



Figura 8.7 Fachada Sur del muro encontrado en las unidades CR16C-28 y CR16C-36
(Foto por J. Ponce)

Nivel 9-Lote 11 Piso Aceituno: este lote corresponde al Piso Aceituno, el cual fue identificado en 2013 y es el piso de estuco de mejor calidad identificado en la Estructura 13R-10. Sin embargo, se halló muy erosionado y quemado en algunas partes. También se encontró un agujero redondo de aproximadamente 0.12 m de diámetro que podría corresponder a una huella de poste o a un depósito vacío (Figura 8.8). No se recuperó material cultural.



Figura 8.8 Agujero y Piso Aceituno quemado en la Unidad CR16C-28
(Foto por J. Ponce)

Unidad CR16C-31

Esta unidad se ubicó al norte de la Unidad CR16C-28 y fue de 1m (N-S) x 2m (E-O). Alcanzó una profundidad máxima de 1.7 m desde la superficie y se identificaron un total de 8 niveles y 11 lotes:

Nivel 1-Lote 1: relleno de tierra café mezclada con escombros y se halló a una profundidad de 0 a 0.60 m desde la superficie. No se recuperó material cultural.

Nivel 1-Lote 2: este lote corresponde al Muro Sur perteneciente a la arquitectura de la última fase (ver Ponce 2013). Se recuperaron solamente dos tiestos.

Nivel 2-Lote 3 Piso Guaya: piso de estuco ya descrito anteriormente; se encontró a una profundidad de 0.50 a 0.84 m desde la superficie. No se recuperó material.

Nivel 3-Lote 4: corresponde a un relleno de tierra café con piedras pequeñas. Se encontró a una profundidad de 0.84 a 0.90 m y no se recuperó material.

Nivel 4-Lote 5 Piso Chico-Zapote: este piso de estuco, descrito anteriormente, se encontró a una profundidad de 0.90 a 1.50 m desde la superficie y se encontraron algunos fragmentos del mismo quemados. No se recuperó material.

Nivel 5-Lote 6: constó de un relleno de tierra café compacta con piedras medianas y pequeñas. Se encontró a una profundidad de 1 a 1.36 m desde la superficie y se recuperaron 51 tiestos.

Nivel 5-Lote 7 Ofrenda asociada al Entierro 12: este lote corresponde a la ofrenda hallada inicialmente en la unidad CR16C-28, en el relleno del Lote 6, a una profundidad de 1 a 1.5 m desde la superficie (Figura 8.9). Al excavarlo, se notó que la ofrenda constaba de un plato colocado boca abajo y un hueso largo encima del mismo, junto con otros huesos humanos. Un vaso fue colocado al lado este, el cual se encontró caído y se cree que originalmente fue colocado de pie. Debajo del vaso se encontraron más fragmentos de cerámica que pertenecen a un segundo plato. Esta ofrenda no fue colocada cuidadosamente y contrasta con la manera en que fueron colocados los escondites hallados en 2013 en el eje central de la estructura. Las tres vasijas poseen pseudoglifos y una descripción completa de las mismas se encuentra en el Capítulo 11 de este informe. Se recuperó un total de 75 fragmentos de cerámica, 13 fragmentos de huesos humanos, un fragmento de obsidiana y dos de pedernal (Figura 8.10).



Figura 8.9 Ofrenda encontrada en la Unidad CR16C-31
(Foto por J. Ponce)



Figura 8.10 Obsidiana y pedernal asociados a la Ofrenda
(Foto por J. Ponce)

Nivel 6-Lote 8: corresponde a una nivelación de caliza, estuco, piedras pequeñas y piedrín. Se encontró a una profundidad de 1.44 a 1.56 m y no se recuperó material cultural.

Nivel 7-Lote 9: este lote constó de un relleno de tierra café oscura con piedras pequeñas, medianas y piedrín. En este lote se encontró la esquina suroeste del muro de una cista y una vasija dentro de la misma, perteneciente al Entierro 12 que será descrito posteriormente. Esto indica que la ofrenda del Lote 7 posiblemente fue colocada para el individuo de este entierro. Se encontró a una profundidad de 1.56 a 1.70 m desde la superficie y se recuperaron 29 tiestos y un fragmento de un pulidor de lítica.

Nivel 7-Lote 10: consistió de tierra café mezclada con piedrín y caliza. Se encontró de 1.3 a 1.7 m de profundidad y no se recuperó material cultural.

Nivel 8-Lote 11: este lote se le asignó al material encontrado en la parte interior de la cista del Entierro 12. Se recuperaron 10 tiestos y se encontró a una profundidad de 1.5 a 1.7 m desde la superficie.

Unidad CR16C-32:

Esta unidad en forma de “L” fue de 2 m (E-O) x 1.5 m (N-S) x 1 m (E-O) x 1 m (N-S) x 0.5 m (E-O) x 1 m (N-S). Se ubicó al este de las unidades CR16C-31 y CR16C-28, con el objetivo de descubrir el Entierro 12. Alcanzó una profundidad máxima de 1.94 m desde la superficie y se identificaron un total de 9 niveles y 11 lotes (Figura 8.11).

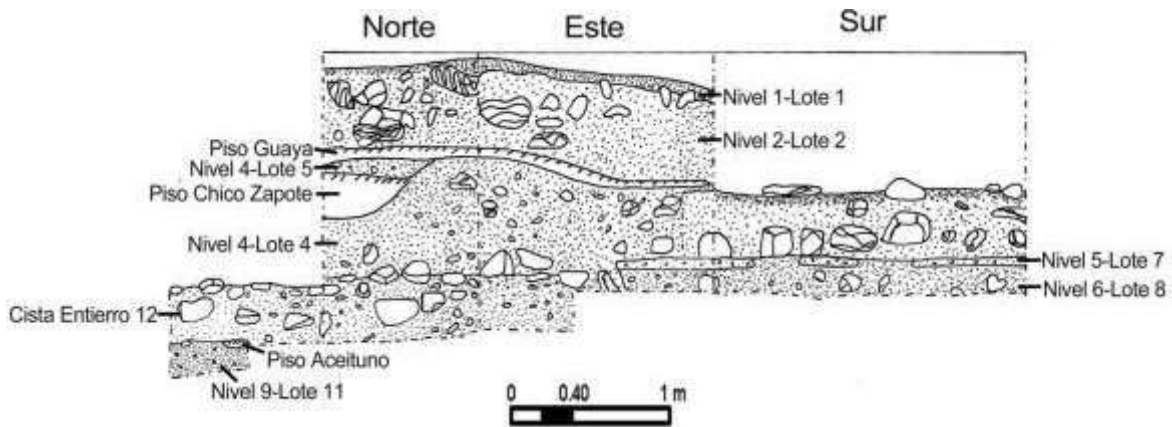


Figura 8.11 Perfiles de la Unidad CR16C-32 (Dibujo por J. Ponce)

Nivel 1-Lote 1: este lote constó del humus suelto mezclado con raíces y materia orgánica. Se encontró de 0 a 0.1 m desde la superficie y no se recuperó material cultural.

Nivel 2-Lote 2: consistió de tierra café mezclada con escombros; se halló de 0 a 0.50 m desde la superficie y no se recuperó material.

Nivel 3-Lote 3 Piso Guaya: este piso se identificó de 0.5 a 0.6 m desde la superficie y no se recuperó material cultural.

Nivel 4-Lote 4: relleno de tierra café mezclada con piedras medianas y pequeñas. Se encontró de 0.6 a 1.70 m desde la superficie y se recuperaron 91 tiestos, un hueso de fauna, un fragmento de pedernal y un pulidor de lítica.

Nivel 4-Lote 5: consistió de un relleno de tierra café con piedras pequeñas bajo el Piso Guaya. Se encontró de 0.6 a 0.7 m desde la superficie y no se recuperó material cultural.

Nivel 4-Lote 6 Piso Chico-Zapote: este piso se identificó de 0.7 a 0.95 m desde la superficie y no se recuperó material cultural.

Nivel 5-Lote 7: relleno que corresponde a una nivelación de estuco, caliza, arena y piedras pequeñas. Sobre éste se encontró la continuación de la parte posterior del muro de contención encontrado en la unidad CR16C-28. Se encontró de 1.20 a 1.28 m desde la superficie y no se recuperó material.

Nivel 6-Lote 8: este lote constó de tierra café oscura compacta con pedrín, piedras medianas y pequeñas. Se halló de 1.28 a 1.40 m desde la superficie y no se recuperó material cultural.

Nivel 7-Lote 9 Entierro 12: corresponde a un entierro dentro de una cista, colocada sobre una superficie empedrada sobre el Piso Aceituno (Figuras 8.12 y 8.13).



Figura 8.12 Vista del Entierro 12 desde el Oeste (Foto por J. Ponce)



Figura 8.13 Vista desde el Sur del Entierro 12 (Foto por J. Ponce)

La cista estaba formada con piedras de muro que delimitaban un espacio rectangular de 1.88 m de largo x 0.6 m de ancho x 0.4 m de alto. En el interior se encontró el relleno del Lote 4. No se encontró techo, pero se cree que posiblemente tuvo una tapadera de material perecedero. Tres piedras de aproximadamente 0.3 x 0.3 m cada una se colocaron al sellar el entierro, las cuales parecían estar alineadas en el interior. Una de estas piedras fue de caliza. El cuerpo fue colocado en posición decúbito dorsal con los brazos cruzados sobre el pecho. La cabeza fue colocada al este y los pies al oeste. Aunque los huesos se encontraron erosionados, el estado de conservación fue bueno en comparación a los entierros encontrados en esta estructura en 2013. Junto a la tibia y peroné izquierdo se encontró una vasija posible imitación Gris Fino o Infierno Negro que fecha el entierro para después de 760 d.C. Sobre el cráneo se encontró un plato polícromo boca abajo con un diseño de un pez en el interior del mismo (ver Capítulo 11 de este informe). También se recuperó un fragmento de piedra verde que posiblemente fue un pendiente (Figura 8.14), una figurilla, tres fragmentos de hueso de fauna, un fragmento de pedernal y dos fragmentos de concha. Cabe mencionar que el entierro fue colocado 2 m al este del Entierro 9 y parece haber sido alineado intencionalmente con los Entierros 9 y 13, aunque se encontró 0.4 m más al norte que el Entierro 9. Se cree que el entierro podría pertenecer a un individuo de élite.

Nivel 8-Lote 10 Piso Aceituno: este piso se halló en mal estado de conservación de 1.70 a 1.74 m desde la superficie. No se recuperó material cultural.

Nivel 9-Lote 11: En el interior de la cista se hizo un registro de 0.5 m en el extremo sur para investigar la superficie sobre la que estaba colocada el entierro. Se descubrió un relleno de tierra café compacta, como barro, mezclada con ceniza debajo del Piso Aceituno. Se encontró a una profundidad de 1.7 a 1.94 m y se recuperaron solamente 11 tiestos.



Figura 8.14 Fragmento de piedra verde tallado recuperado en el Entierro 12 (Fotos por J. Ponce)

Unidad CR16C-36

Esta unidad fue de 1m (N-S) x 2 m (E-O). Se ubicó al este de la unidad CR6C-28 y al sur de la unidad CR16C-36. Se alcanzó una profundidad máxima de 1.60 m desde la superficie y se identificaron un total de 6 niveles y 8 lotes:

Nivel 1-Lote 1: este lote constó de humus suelto con raíces y materia orgánica. Se identificó de 0 a 0.2 m desde la superficie y no se recuperó material cultural.

Nivel 1-Lote 3: estrato de tierra café mezclada con escombros. Se encontró de 0.2 a 1 m desde la superficie y no se recuperó material cultural.

Nivel 2-Lote 4 Piso Guaya: este piso se encontró de 0.3 a 0.4 m desde la superficie en estado muy erosionado y no se recuperó material cultural.

Nivel 3-Lote 5: este relleno constó de tierra café suelta con piedras pequeñas. Se encontró de 0.4 a 0.8 m desde la superficie y se recuperaron 125 tiestos, un fragmento de concha, dos de obsidiana, siete de pedernal y tres de estuco.

Nivel 4-Lote 6: este relleno corresponde a la nivelación de caliza y estuco. Se encontró de 1 a 1.15 m desde la superficie y no se recuperó material. Sobre este relleno se encontró la continuación del muro encontrado en las unidades CR16C-28 y CR16C-24b.

Nivel 5-Lote 7: este lote consistió de tierra café oscura compacta con pedrín, piedras pequeñas y caliza. Se halló de 1.15 a 1.40 m de profundidad y se recuperaron 60 tiestos.

Nivel 6-Lote 8: relleno de tierra café compacta con pedrín y caliza. Se encontró de 1.3 a 1.6 m desde la superficie y se recuperaron 22 tiestos y un fragmento de pedernal.

Unidades CR16C-30 y CR16C-35

Estas dos unidades se ubicaron al oeste de la unidad CR16C-24a excavada en 2013 y resultó en la identificación del límite sur de la plataforma del Piso Aceituno, la cual se había identificado la temporada pasada. Sus dimensiones fueron 2 m (E-O) x 1.5 m (N-S). En esta temporada, las excavaciones en estas dos unidades permitieron identificar dos diferentes etapas relacionadas al Piso Aceituno: Aceituno A fue una plataforma ovalada/circular que luego fue modificada para convertirse en una plataforma cuadrada/rectangular denominada Aceituno B. En ambas unidades se encontró la continuación del muro asociado al Piso Aceituno descrito anteriormente en las unidades

CR16C-28 y CR16C-36, y se descubrió que se encuentra levemente orientado hacia el noreste (Figura 8.15).

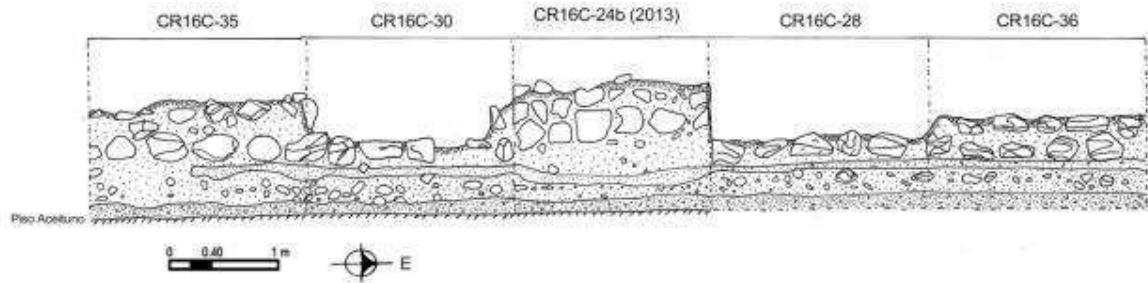


Figura 8.15 Fachada Sur del muro asociado al Piso Aceituno (Dibujo por L. Auld-Thomas y J. Ponce)

Unidad CR16C-30

Esta unidad se ubicó al norte de la unidad CR16A-47, al este de CR16C-35, al oeste de CR16C-24a (excavada en 2013) y al sur de CR16C-29. Alcanzó una profundidad de 1.80 m desde la superficie y se identificaron seis niveles y siete lotes:

Nivel 1-Lote 1: relleno de tierra café mezclada con escombros. Se encontró de 0 a 0.2 m desde la superficie y no se recuperó material cultural.

Nivel 1-Lote 2: este lote corresponde a la arquitectura de la última fase (Muro Sur). No se recuperó material cultural.

Nivel 2-Lote 3: este relleno constó de tierra café compacta con pedrín y piedras medianas. Se encontró de 0.2 a 0.7 m desde la superficie y se recuperaron 58 tiestos, un fragmento de obsidiana, uno de hueso, cinco de concha y tres de pedernal.

Nivel 3-Lote 4: relleno de tierra café oscura, caliza y piedras pequeñas. Se encontró de 0.7 a 1.3 m desde la superficie y se recuperaron 48 tiestos, dos fragmentos de concha y dos de pedernal.

Nivel 4-Lote 5 Aceituno B: este lote corresponde al Piso Aceituno, como parte de plataforma cuadrada/rectangular (Aceituno B). Se encontró de 1.3 a 1.4 m desde la superficie y se recuperaron solamente nueve fragmentos de cerámica. Sobre el piso se encontraron cuatro piedras que parecían haberlo cortado, una de las cuales fue un fragmento de piedra de moler. La exploración de este rasgo llevó a la identificación de Aceituno A.

Nivel 5-Lote 6 Aceituno A: este lote corresponde a un relleno de tierra café mezclada con caliza que cubría la Fachada Sur de la plataforma de la primera fase de Aceituno (Aceituno A). Esta plataforma tuvo una altura de 0.24 m, su forma fue ovalada/circular y poseía estuco en el exterior (Figuras 8.16 y 8.17). El interior de la plataforma estuvo conformado por tierra café compacta mezclada con piedras de diferentes tamaños. Solamente las piedras de la fachada se encontraron alineadas y posteriormente fueron cubiertas con estuco. Se cree que este rasgo podría ser parte de una alineación de piedras encontrada en 2013 en la unidad CR16C-24a e interpretada como un posible escalón. Sin embargo, ahora se conoce la naturaleza de este rasgo. Se encontró de 1.3 a 1.7 m desde la superficie y se recuperaron 37 tiestos y un fragmento de concha.



Figura 8.16 Vista desde el Este de la fachada de la plataforma de Aceituno A
(Foto por J. Ponce)



Figura 8.17 Detalle de la fachada de la plataforma de Aceituno A (Foto por J. Ponce)

Nivel 6-Lote 7: relleno de tierra café oscura con piedras pequeñas, sobre el cual se encontró asentada la plataforma de Aceituno A. Asociado a este relleno se encontró una alineación de tres piedras de aproximadamente 0.2 x 0.2 m cada una, levemente orientadas al noreste. Este rasgo fue interpretado en 2013 en la unidad CR16C-24a como un posible escalón (Ponce 2014a). Sin embargo, ahora se considera que podría ser un rasgo de contención asociado a la construcción de Aceituno. Se encontró de 1.7 a 1.8 m desde la superficie y se recuperaron 28 tiestos y un fragmento de pedernal.

Unidad CR16C-35

Esta unidad se ubicó al norte de la unidad CR16A-48, al oeste de CR16C-30 y al sur de CR16C-34. Alcanzó una profundidad de 1.80 m desde la superficie y se identificaron cinco niveles y siete lotes:

Nivel 1-Lote 1: este lote constó de tierra café mezclada con escombros. Se encontró de 0 a 0.2 m desde la superficie y se recuperaron 56 tiestos.

Nivel 2-Lote 7 Piso Guaya: este piso se encontró de 0.1 a 0.2 m desde la superficie. Sobre el piso se encontraron dos escalones correspondientes al séptimo y octavo escalón de ocho

identificados para la última ocupación de la estructura, los cuales serán descritos más adelante. No se recuperó material cultural.

Nivel 2-Lote 2: relleno de tierra café mezclada con piedrín y piedras medianas. Se encontró de 0.2 a 0.7 m desde la superficie y se encontraron 40 tiestos y dos fragmentos de concha.

Nivel 3-Lote 3: este lote constó de tierra café oscura mezclada con caliza y piedras pequeñas. Se identificó de 0.7 a 1.30 m desde la superficie y se recuperaron 32 tiestos, un fragmento de obsidiana y uno de concha.

Nivel 4-Lote 4 Aceituno B: este lote corresponde al Piso Aceituno como una plataforma cuadrada/rectangular (Aceituno B) identificada también en la unidad CR16C-30. Se encontró de 1.3 a 1.4 m desde la superficie y no se recuperó material cultural.

Nivel 5-Lote 5 Aceituno A: este relleno constó de tierra café mezclada con caliza que cubría la plataforma de la primera fase de Aceituno (Aceituno A). Se encontró de 1.3 a 1.7 m desde la superficie y se recuperaron ocho tiestos y un fragmento de concha.

Nivel 5-Lote 6: este lote se le asignó al relleno encontrado en el interior de una huella de 0.2 m de diámetro que podría haber sido de poste o un depósito vacío en el borde exterior de la plataforma de Aceituno A (Figura 8.18). Constó de tierra café mezclada con piedras pequeñas y en el interior se encontraron cinco tiestos, un fragmento de obsidiana, uno de concha y uno de pedernal.

A)



B)



Figura 8.18 Agujero encontrado en el borde exterior de la plataforma de Aceituno A.
A) Vista desde el Sur. B) Detalle del agujero. (Fotos por J. Ponce)

Unidades CR16C-29, 33, 34, 37, 38, 39, 40 y 41

Este conjunto de unidades se ubicó al lado oeste de la trinchera excavada en 2014. Destaca el hallazgo de varios rasgos relacionados con el Piso Aceituno, incluyendo el Entierro 13, una ofrenda sobre el Piso Aceituno y la continuación del muro encontrado en la Fachada Sur sobre el Piso Aceituno (Figuras 8.19 y 8.20). Todas las unidades fueron de 2 x 2 m, a excepción de la unidad CR16C-40 que fue de 2 m (E-O) x 1 m (N-S). A continuación se describe cada unidad con sus lotes y rellenos asociados en detalle:

Unidad CR16C-29

Esta unidad se ubicó al norte de la unidad CR16C-30, al este de CR16C-34 y al oeste de CR16C-24b, excavada en 2013. Se identificó un total de 15 niveles y 16 lotes y se alcanzó una profundidad máxima de 2.24 m desde la superficie.

Nivel 1-Lote 2: este lote constó de la arquitectura de la última fase sobre el Piso Guaya (Muro Sur). Se encontró de 0 a 0.3 m desde la superficie y al retirarlo se recuperaron dos fragmentos de cerámica.

Nivel 2-Lote 3 Piso Guaya: este lote corresponde al Piso Guaya y se encontró de 0.3 a 0.34 m desde la superficie.

Nivel 3-Lote 4: este relleno constó de tierra café compacta con piedras pequeñas. Se encontró de 0.3 a 0.4 m desde la superficie y no se recuperó material cultural.

Nivel 4-Lote 5 Piso Chico-Zapote: este piso se encontró de 0.4 a 0.7 m desde la superficie y no se recuperó material cultural.

Nivel 5-Lote 6: relleno de tierra café compacta con pedrín y piedras medianas. Se encontró de 0.4 a 1.10 m desde la superficie y se recuperaron solamente 20 fragmentos de cerámica.

Nivel 6-Lote 7: este lote constó de la nivelación de caliza y estuco. Se encontró de 1.10 a 1.16 m desde la superficie y se recuperaron solamente 13 fragmentos de cerámica. Asociado a este relleno se halló la continuación del muro hallado en las unidades CR16C-32, CR16C-28, CR16C-24b (2013), CR16C-30, CR16C-35 y CR16C-37.

Nivel 8-Lote 9: este lote constó de tierra café con pedrín y caliza. Se identificó de 1.3 a 1.5 m desde la superficie y se recuperaron 21 tiestos, un hueso, tres fragmentos de concha y un fragmento de pedernal.

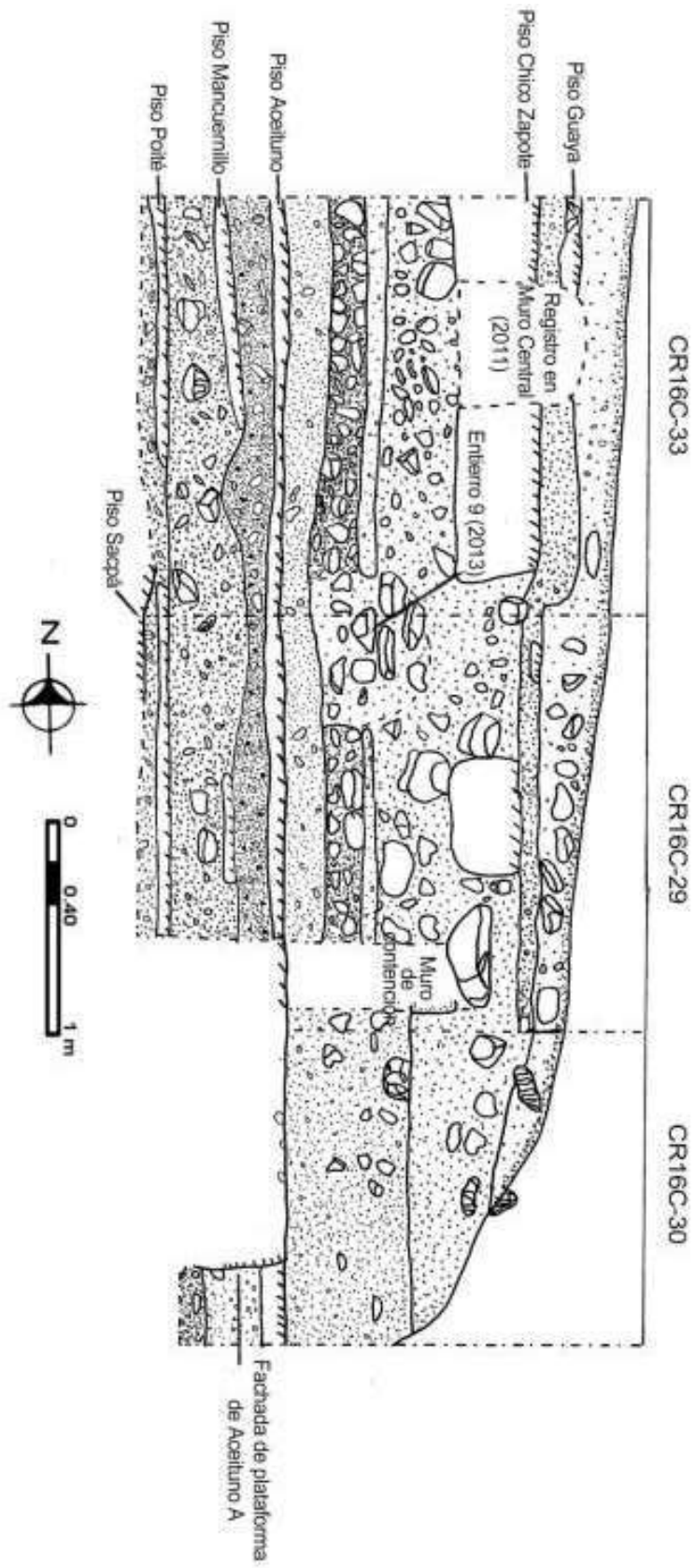


Figura 8.19 Perfil Este de las unidades CR16C-29, CR16C-30 y CR16C-33
(Dibujo por J. Ponce)

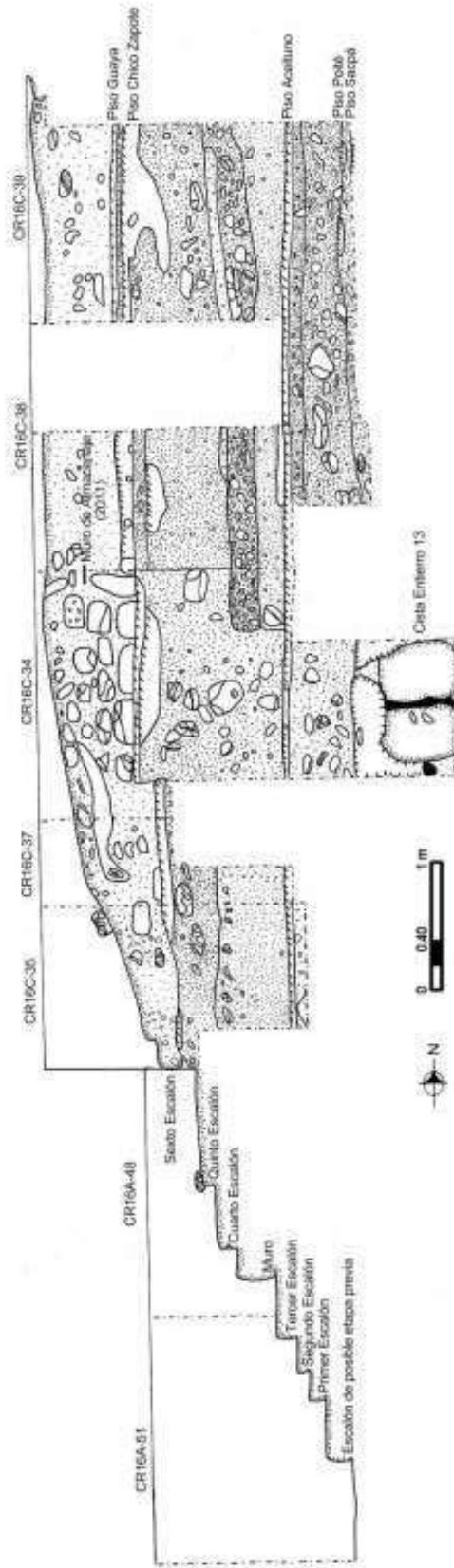


Figura 8.20 Perfil Oeste de las unidades CR16C-34, CR16C-35, CR16C-37, CR16C-38, CR16C-39, CR16A-48 y CR16A-51
(Dibujo por J. Ponce)

Nivel 9-Lote 10 Piso Aceituno: este piso se encontró de 1.5 a 1.6 m desde la superficie y no se recuperó material cultural. Sobre el piso se halló un agujero de 0.47 x 0.4 m (Figura 8.21). Se cree que no corresponde a una huella de poste y podría ser algún depósito que fue vaciado.



Figura 8.21 Agujero asociado al Piso Aceituno (Foto por J. Ponce)

Nivel 10-Lote 11: este lote constó de tierra café compacta de consistencia de barro con piedras pequeñas bajo el Piso Aceituno. Se encontró de 1.6 a 1.76 m desde la superficie y se recuperaron 113 tiestos y un fragmento de pedernal.

Nivel 11-Lote 12 Piso Mancuernillo: este piso se identificó de 1.76 a 1.8 m desde la superficie y no se recuperó material cultural.

Nivel 12-Lote 13: relleno de tierra café compacta con piedras medianas y pequeñas. Se identificó de 1.8 a 2.06 m desde la superficie y se recuperaron solamente 16 tiestos.

Nivel 13-Lote 14 Piso Poité: este piso se identificó de 2.06 a 2.14 m de profundidad y no se recuperó material cultural.

Nivel 14-Lote 15: este relleno constó de tierra café compacta con arena y piedras pequeñas. Se encontró de 2.14 a 2.24 m desde la superficie y no se recuperó material cultural.

Nivel 15-Lote 16 Piso Sacpá: este piso se encontró a 2.24 m de profundidad y no se recuperó material cultural.

Unidad CR16C-33

Esta unidad se ubicó al norte de la unidad CR16C-29. Se identificaron 15 niveles y 19 lotes, y se alcanzó una profundidad máxima de 2.76 m desde la superficie. Destaca el hallazgo de una ofrenda sobre el Piso Aceituno.

Nivel 1-Lote 2: corresponde a la arquitectura de la última fase (Muro Central). Se encontró de 0 a 0.2 m desde la superficie y se recuperaron 108 tiestos y 16 fragmentos de bajareque.

Nivel 2-Lote 3 Piso Guaya: este piso se identificó de 0.2 a 0.3 m desde la superficie y no se recuperó material cultural.

Nivel 3-Lote 4: este lote constó de tierra café mezclada con piedras pequeñas. Se encontró de 0.3 a 0.4 m desde la superficie y no se recuperó material cultural.

Nivel 4-Lote 5 Piso Chico-Zapote: este piso se identificó de 0.4 a 0.8 m desde la superficie y no se recuperó material cultural.

Nivel 4-Lote 6: este lote se le asignó a cuatro fragmentos de una vasija (posiblemente un vaso) y aproximadamente 50 fragmentos de huesos de fauna hallados sobre el Piso Chico-Zapote en el Perfil Este (Figura 8.22). Encima se encontraron dos piedras caliza de aproximadamente 0.1 x 0.1 m cada una, lo que sugiere que pudo haber sido colocado intencionalmente. En el mismo relleno se definió el lote 4 a una profundidad de 0.5 a 0.8 m.



Figura 8.22 Fragmentos de vasija sobre el Piso Chico-Zapote en el Perfil Este de la Unidad CR16C-33
(Foto por J. Ponce)

Nivel 5-Lote 7: este lote constó de tierra café compacta con pedrín y piedras medianas. Se encontró de 0.8 a 1.14 m desde la superficie y no se recuperó material cultural.

Nivel 6-Lote 8: corresponde a la nivelación de caliza y estuco. Se encontró de 1.14 a 1.24 m desde la superficie y no se recuperó material cultural.

Nivel 7-Lote 9: este relleno constó de piedras pequeñas, medianas y pedrín mezclados con tierra café y arena. Se encontró de 1.24 a 1.4 m desde la superficie y se recuperaron 83 tiestos y un fragmento de obsidiana.

Nivel 8-Lote 10: este lote constó de tierra café mezclada con pedrín y caliza. Se encontró de 1.4 a 1.6 m desde la superficie y se recuperaron 100 tiestos y dos fragmentos de concha.

Nivel 9-Lote 11 Piso Aceituno: este piso se encontró de 1.6 a 1.7 m desde la superficie y no se recuperó material cultural.

Nivel 9-Lote 12 Ofrenda sobre Piso Aceituno: este lote se asignó a una ofrenda hallada sobre el Piso Aceituno en el mismo relleno del lote 10 (Figura 8.23). La ofrenda constó de dos cuencos colocados labio a labio, los cuales fueron identificados preliminarmente como Águila Naranja, por lo que se fechan para el Clásico Temprano (ver Capítulo 11 de este informe). El interior se encontró lleno de arena fina y ceniza, dentro del cual se colocó una cuenta de jade, dos cuentas de concha, tres fragmentos de espina de raya y un fragmento de pedernal (Figura 8.24).

Nivel 10-Lote 13: relleno de barro café compacto mezclado con piedras pequeñas. Se halló de 1.7 a 1.9 m desde la superficie y se recuperaron 90 tiestos, un fragmento de obsidiana, 4 fragmentos de hueso y dos fragmentos de pedernal.

Nivel 11-Lote 14 Piso Mancuernillo: este piso se halló de 1.9 a 1.94 m desde la superficie y no se recuperó material cultural.

Nivel 12-Lote 15: este lote constó de tierra café compacta mezclada con piedras medianas y pequeñas. Se encontró de 1.94 a 2.2 m desde la superficie y no se recuperó material cultural.

Nivel 13-Lote 16 Piso Poité: este piso se halló de 2 a 2.28 m desde la superficie y no se recuperó material cultural. Sin embargo, el piso se encontró con un corte que contenía dos piedras de aproximadamente 0.3 m cada una, alineadas en un eje este-oeste. Sin embargo no se halló algún rasgo significativo al remover las piedras.



Figura 8.23 Ofrenda hallada sobre el Piso Aceituno (Foto por J. Ponce)



Figura 8.24 Materiales encontrados en el interior de las vasijas como parte de la ofrenda (Foto por J. Ponce)

Nivel 13-Lote 17: este lote se le asignó a cuatro fragmentos de plato recuperados sobre el Piso Poité en el mismo relleno que el lote 15 (Figura 8.25). Se encontró de 2 a 2.2 m desde la superficie.

Nivel 14-Lote 18: este relleno constó de tierra café con piedras pequeñas y arena, compacto. Se encontró de 2.2 a 2.3 m desde la superficie y se recuperaron 33 fragmentos de cerámica.

Nivel 15-Lote 19 Piso Sacpá: este piso se halló de 2.24 a 2.3 m desde la superficie y no se recuperó material cultural.



Figura 8.25 Fragmentos de plato encontrados sobre el Piso Poité (Foto por J. Ponce)

Nivel 16-Lote 20: este relleno constó de tierra rojiza quemada con arena y piedras pequeñas. Se encontró de 2.3 a 2.44 m desde la superficie y se recuperaron solamente cuatro tiestos.

Nivel 16-Lote 21: este lote fue similar al anterior, de tierra rojiza quemada con arena y piedras pequeñas. Se encontró de 2.3 a 2.4 m desde la superficie y no se recuperó material cultural.

Nivel 17-Lote 22: relleno natural compacto de piedra caliza con arena blanca y piedrín. Se encontró de 2.4 a 2.76 m desde la superficie y no se recuperó material.

Unidad CR16C-34

Esta unidad se ubicó al oeste de la unidad CR16C-29. Se identificaron un total de 11 niveles y 12 lotes, dentro de los cuales destaca el hallazgo del Entierro 13.

Nivel 2-Lote 2 Piso Guaya: este piso se identificó a una profundidad de 0.7 a 0.76 m desde la superficie y no se recuperó material cultural.

Nivel 3-Lote 3 Piso Chico-Zapote: este piso se identificó de 0.76 a 0.9 m desde la superficie y se recuperaron 28 tiestos, tres fragmentos de concha y un fragmento de pedernal.

Nivel 4-Lote 4: relleno de tierra café con piedras de diferentes tamaños y estuco modelado, de consistencia muy compacta. Se halló de 0.7 a 1.9 m desde la superficie y se recuperaron diez tiestos, un fragmento de concha y uno de pedernal, así como dos fragmentos de estuco modelado, uno de los cuales tiene rasgos zoomorfos (Figuras 8.26 y 8.27).



Figura 8.26 Fragmentos de estuco modelado *in situ* (Foto por J. Ponce)



Figura 8.27 Estuco modelado con posible ojo tallado (Foto por E. Bustamante)

Se cree que algunos de los estucos fueron traídos de otras partes del sitio, posiblemente del Palacio. De igual manera, se encontró un bloque de escalinata similar a los que fueron hallados en la Fachada Sur de la Estructura 13R-10 en 2012 (Figura 8.28). Cabe mencionar que este relleno se halló directamente sobre la parte superior del Entierro 13 y los demás rellenos identificados sobre el Piso Aceituno se encontraron cortados por éste. Sin embargo, debido a que el Piso Chico-Zapote no se encontró cortado, se considera que el Entierro 13 fue contemporáneo con la ampliación de la estructura asociada al Piso Chico-Zapote, cuando se convirtió en una plataforma escalonada.



Figura 8.28 Posible bloque de escalinata recuperado en el Nivel 4-Lote 4 (Foto por J. Ponce)

Nivel 5-Lote 5: este lote constó de una nivelación de estuco y caliza. Se encontró de 1.38 a 1.44 m desde la superficie y no se recuperó material cultural. En esta unidad se encontró parte del muro de la Fachada Sur identificado en las unidades CR16C-37, CR16C-35, CR16C-30, CR16C-29, CR16C-24b, CR16C-28 y CR16C-32, ya descrito anteriormente.

Nivel 6-Lote 6: relleno de piedras medianas y pequeñas mezcladas con tierra café suelta y arena. Se encontró de 1.44 a 1.7 m desde la superficie y se recuperaron 71 fragmentos de cerámica, dos de concha, uno de pedernal y uno de lítica.

Nivel 7-Lote 7: este lote constó de tierra café con pedrín y caliza. Se halló de 1.7 a 1.9 m desde la superficie y se recuperaron 63 tiestos, tres fragmentos de concha y cinco de pedernal.

Nivel 8-Lote 8 Piso Aceituno: este piso se halló de 1.9 a 1.96 m desde la superficie. Sobre el piso se halló un corte ovalado de 1.2 m (N-S) x 2.65 m (E-O), levemente orientado al noreste, dentro del cual se colocó el Entierro 13.

Nivel 9-Lote 9: este lote se halló dentro del corte del Piso Aceituno y constó de tierra café oscura con piedras de diferentes tamaños, arena suelta y ceniza. Se recuperaron 126 tiestos, cuatro fragmentos de hueso, dos de concha, ocho de pedernal y uno de lítica indeterminada.

Nivel 10-Lote 10 Piso Mancuernillo: este piso se halló de 2 a 2.05 m desde la superficie, el cual se encontró cortado dentro del agujero y no se recuperó material cultural.

Nivel 11-Lote 11: relleno de arena suelta con ceniza, tierra café y piedras de diferentes tamaños. Se encontró de 2.4 a 3.2 m desde la superficie y se recuperaron 67 tiestos, cuatro fragmentos de concha y uno de pedernal.

Nivel 11-Lote 12: este lote corresponde al Entierro 13 (Figuras 8.29 y 8.30).

Entierro 13

Se encontró de 2.4 a 3.2 m desde la superficie, colocado sobre el relleno natural de piedra caliza y asociado con el relleno del lote 11. La cista del Entierro 13 mide 2.7 m de largo (E-O) x 1.7 m de ancho (N-S), y en las paredes de la misma se encontraron piedras rectangulares de caliza, de aproximadamente 0.6 m de largo x 0.4 m de ancho cada una, colocadas en posición vertical: en el Perfil Norte colocaron seis; en el Perfil Este dos; en el Perfil Sur cinco; y en el Perfil Oeste dos. Algunas de estas piedras se encontraron con restos de estuco, indicando que quizás originalmente las paredes se encontraban estucadas. El hallazgo de varios fragmentos de palos de madera sugiere que originalmente la tapadera de la cista fue de este material, la cual colapsó con el tiempo. El cuerpo se encontró con la cabeza orientada hacia el este y los pies hacia el oeste. Aunque los huesos se encontraron en mal estado de conservación, se determinó que fue colocado en posición decúbito dorsal con los brazos cruzados sobre el pecho.

Las ofrendas funerarias incluyeron vasijas cerámicas, espinas de pez raya, agujas y malacates de hueso, fragmentos de pedernal y conchas de varios tipos (Figuras 8.31, 8.32, 8.33 y 8.34). El cuerpo fue ataviado con cuentas de jade y piedra verde, concha y pirita, las cuales originalmente formaban parte de la indumentaria. En total se recuperaron cuatro vasijas cerámicas. Junto al brazo derecho se encontró un plato Máquina Café con dos

espinas de raya y un lote de cuentas de jade, concha y pirita en el interior. En una de estas espinas de raya se encontró el texto *K'uh Ix Yax ¿? K'ik'*, que significa “Mujer sagrada de sangre verde/azul” (D. Stuart, com. pers. 2014) (Figura 8.35). En base a esto, se identifica a la ocupante del entierro como una mujer de alto rango. Junto a la pierna izquierda se encontró una vasija cilíndrica Zacatal Crema Polícromo. A cada lado de los pies se encontraron dos vasijas miniaturas o "veneneras", que pudieron haber tenido tabaco o algún otro contenido especial.

De igual manera, se encontraron cinco conchas *Spondylus* de aproximadamente 10 x 10 cm cada una, las cuales parecen haber sido colocadas alineadas intencionalmente a lo largo del cuerpo. Tres fueron recuperadas en el área de las piernas, una a nivel de la cadera y otra probablemente cubría la boca. El área del pecho y abdomen se encontró cubierta con cuentas de jade, concha y pirita, al igual que varios fragmentos rectangulares de cerámica pintados de azul que se cree que originalmente formaban un mosaico. Se recuperó un arete de jade asociado a la oreja derecha y un collar con 60 cuentas de jade, dos cuentas de *Spondylus* y nueve cuentas de hueso o caliza. Sobre el pecho destaca también el hallazgo de una cuenta grande de jade y una orejera. En total, se recuperaron 258 cuentas completas de piedra verde/jade y 31 fragmentos; cuatro espinas de raya completas y 11 fragmentos; 106 cuentas rectangulares y redondas de *Spondylus* completas y 36 fragmentos; 127 cuentas completas de pirita y 40 fragmentos; 15 cuentas completas de concha marina (posiblemente *Jenneria*) y 20 fragmentos; cinco caracoles pequeños; ocho fragmentos tallados de concha nácar; 18 fragmentos de pedernal; dos malacates de hueso; diez cuentas de caliza; 32 fragmentos de cerámica de posible mosaico; una placa pequeña tallada de *Spondylus*, y al menos 11 agujas de hueso, así como 53 fragmentos. De igual manera, dos agujas para tejer fueron recuperadas junto a la pierna derecha, una aguja para bordar fue recuperada sobre el abdomen y un mínimo de 8 agujas fueron encontradas asociadas a la parte superior del cráneo, donde destaca una con el texto *u-baak* "su hueso" (D. Stuart com. pers. 2014). Se cree que éstas pudieron haber formado parte de su peinado o tocado. También se recuperaron 19 fragmentos de huesos tallados junto al cráneo, que se cree que formaban uno o varios pinceles (T. Barrientos com. pers. 2014). Otros materiales recuperados incluyeron un fragmento de concha indeterminada, un fragmento de obsidiana, seis fragmentos de lítica indeterminada y diez fragmentos de cerámica.



A)



B)

Figura 8.29 Entierro 13. A) Vista desde la parte superior. B) Vista desde el Oeste
(Fotos por J. Ponce)

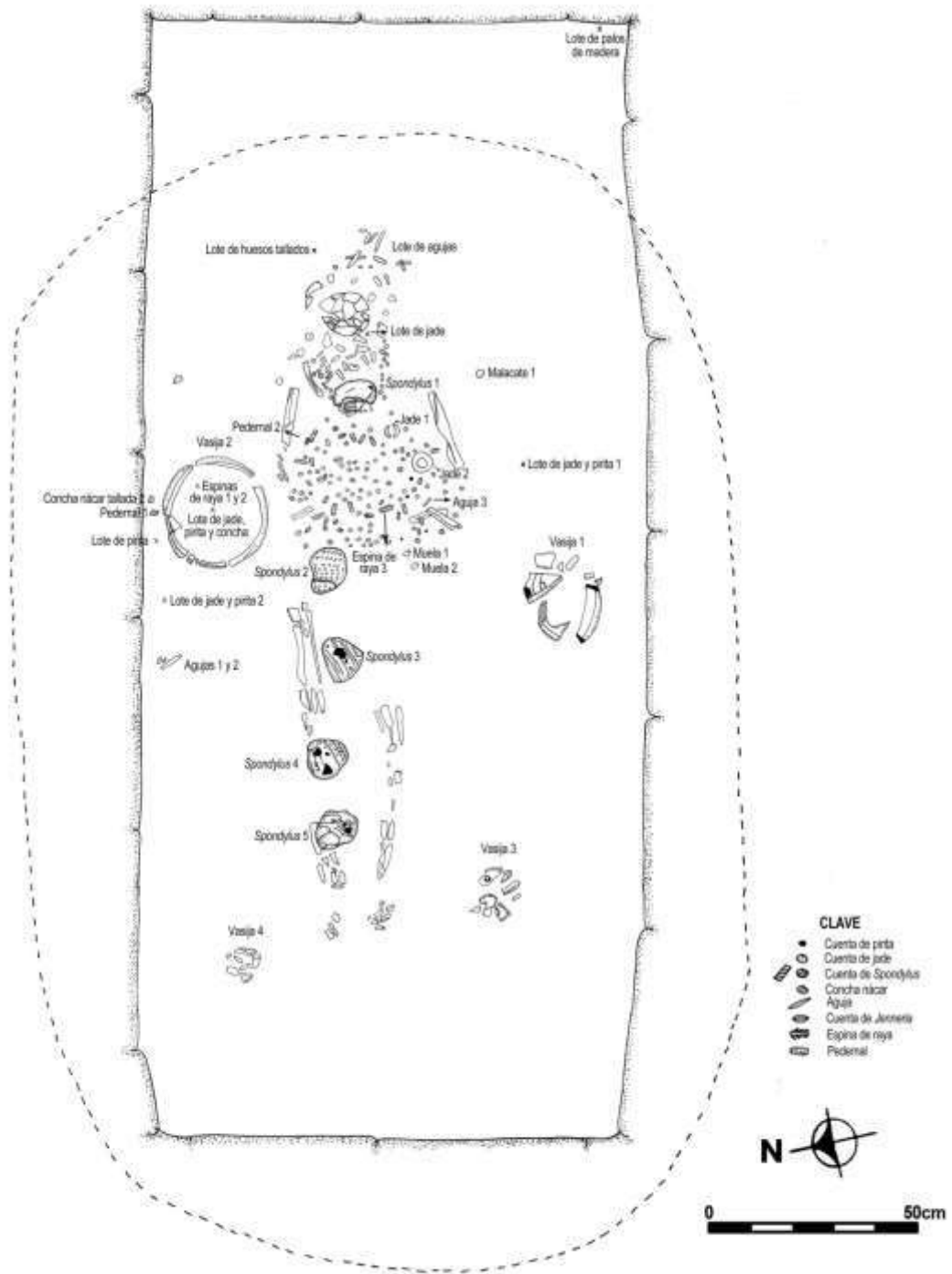
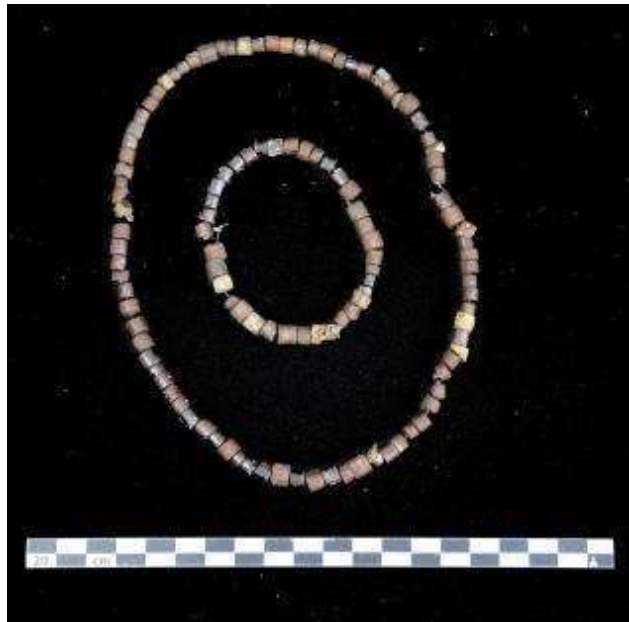


Figura 8.30 Planta del Entierro 13 (Dibujo por J. Ponce)



A)



B)



C)

Figura 8.31. Materiales recuperados en el Entierro 13. A) Cuentas de piedra verde y jade. B) Cuentas de pirita. C) Orejera y cuenta de jade (Fotos por J. Ponce)

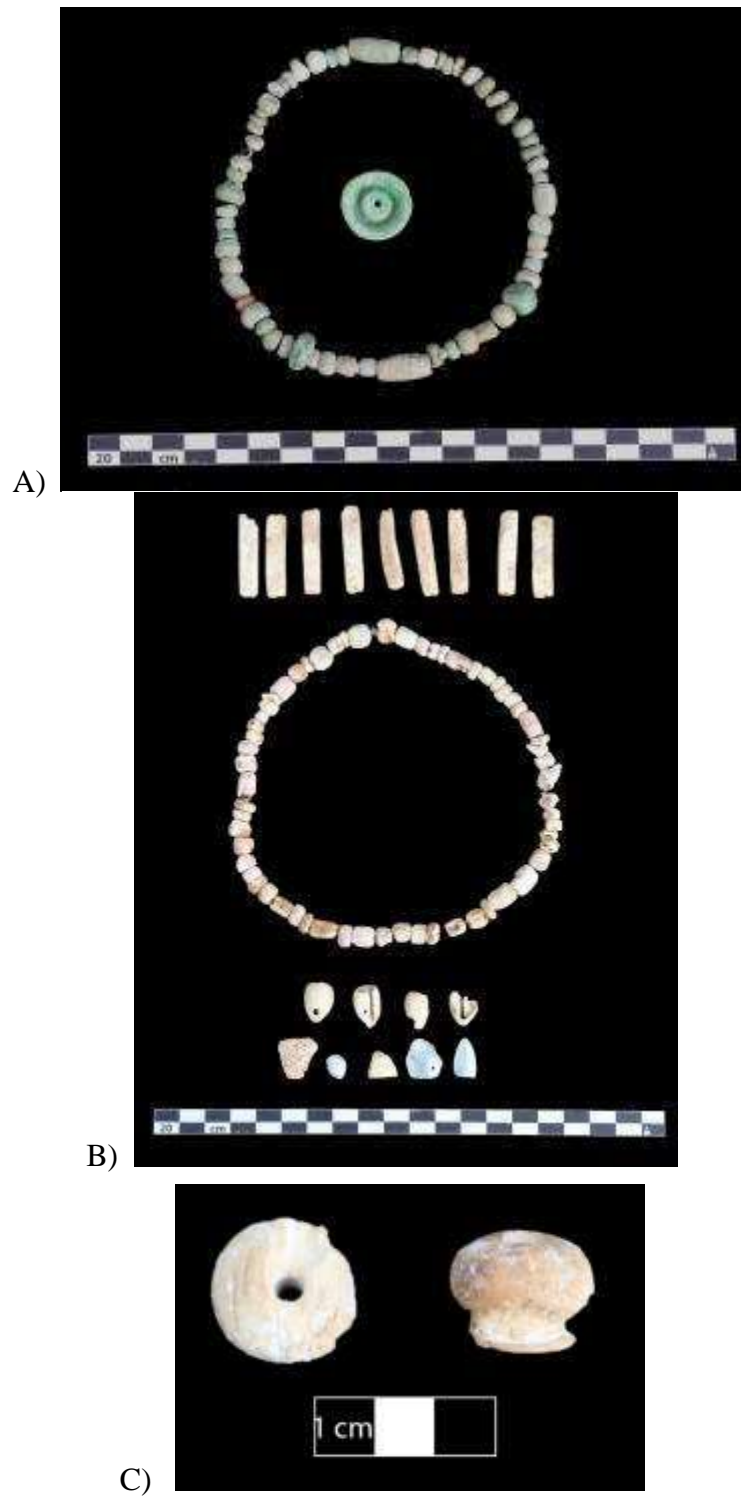


Figura 8.32 Materiales recuperados en el Entierro 13 A) Collar y arte de jade. B) Cuentas de concha. C) Malacates (Fotos por J. Ponce)



A)



B)



C)

Figura 8.33 Materiales recuperados en el Entierro 13. A) Agujas de hueso. B) Huesos tallados. C) Fragmentos de cerámica de posible mosaico. (Fotos por J. Ponce)



Figura 8.34 Detalle de hueso tallado (Dibujo por L. Luin)



Figura 8.35 Espina de raya con texto recuperada en el Entierro 13 (Foto por J. Ponce)

Unidad CR16C-38

Esta unidad se ubicó al norte de la unidad CR16C-34 y al oeste de CR16-33. Se identificaron un total de 16 niveles y 20 lotes y se alcanzó una profundidad máxima de 3.20 m desde la superficie.

Nivel 1-Lote 2: este lote corresponde a la arquitectura de la última fase (Muro Central). Se halló de 0 a 0.6 m de profundidad y se recuperaron 60 fragmentos de cerámica, uno de concha y cuatro de bajareque.

Nivel 2-Lote 3 Piso Guaya: este piso se halló de 0.6 a 0.7 m desde la superficie y no se recuperó material cultural.

Nivel 3-Lote 4: estrato de tierra café mezclada con piedras pequeñas. Se encontró de 0.7 a 0.8 m desde la superficie y no se recuperó material cultural.

Nivel 4-Lote 5 Piso Chico Zapote: este piso se encontró de 0.8 a 0.96 m desde la superficie y se recuperaron 52 fragmentos de cerámica.

Nivel 5-Lote 6: este relleno constó de tierra café compacta con pedrín y piedras medianas. Se encontró de 0.8 a 1.4 m desde la superficie y no se recuperó material cultural.

Nivel 6-Lote 7: corresponde a la nivelación de caliza y estuco. Se encontró de 1.4 a 1.46 m desde la superficie y no se recuperó material cultural.

Nivel 7-Lote 8: este lote corresponde a un relleno de piedras pequeñas, medianas y pedrín con tierra café y arena. Se encontró de 1.46 a 1.66 m desde la superficie y se recuperaron 12 fragmentos de cerámica.

Nivel 8-Lote 9: relleno de tierra café con pedrín y caliza. Se encontró de 1.66 a 1.9 m desde la superficie y se recuperaron 167 tiestos, un fragmento de hueso y uno de pedernal.

Nivel 8-Lote 10: este lote constó de ceniza con tierra café suelta sobre el Piso Aceituno, concentrado en la esquina noroeste del pozo. Se encontró de 1.82 a 1.9 m desde la superficie y no se recuperó material cultural.

Nivel 9-Lote 11 Piso Aceituno: este piso se encontró de 1.9 a 1.94 m desde la superficie y no se recuperó material cultural. Se encontraron dos agujeros de función desconocida: uno de 0.09 x 0.08 m y el otro de 0.1 x 0.11 m. Se cree que éstos no pertenecen a huellas de poste debido a que no se detectó una diferenciación en el relleno al excavar debajo del piso.

Nivel 10-Lote 12: relleno de barro café compacto mezclado con piedras pequeñas. Se encontró de 1.94 a 2.04 m desde la superficie y no se recuperó material cultural.

Nivel 11-Lote 13 Piso Mancuernillo: este piso se encontró de 1.96 a 1.98 m desde la superficie y no se recuperó material cultural.

Nivel 12-Lote 14: este lote constó de tierra café compacta con piedras medianas y pequeñas. Se encontró de 2.04 a 2.40 m de profundidad y no se recuperó material cultural.

Nivel 13-Lote 15 Piso Poité: este piso se encontró de 2.40 a 2.44 m desde la superficie y no se recuperó material cultural. Parte de este piso se encontró cortado y la tierra asociada al corte se encontró quemada, indicando posible actividad ritual.

Nivel 14-Lote 16: este lote constó de tierra café compacta con piedras pequeñas y arena. Se encontró de 2.4 a 2.5 m desde la superficie y no se recuperó material cultural.

Nivel 15-Lote 17 Piso Sacpá: este piso se encontró de 2.5 a 2.54 m desde la superficie y no se recuperó material cultural. Este piso se encontró cortado y debajo se encontró un rasgo tallado en el relleno de caliza el cual será descrito más adelante.

Nivel 16-Lote 18: relleno de tierra café compacta con arena y piedras pequeñas. Se encontró de 2.54 a 2.58 m desde la superficie y no se recuperó material cultural.

Nivel 16-Lote 19: este lote constó de tierra rojiza quemada con arena y piedras pequeñas. Se encontró de 2.58 a 2.62 m desde la superficie y no se recuperó material cultural.

Nivel 16-Lote 20: estrato de arena suelta con piedras pequeñas y medianas en el corte realizado en la piedra caliza. Este corte consta de una trinchera que se amplía en los extremos norte y sur y posee dos escalones que descienden al nivel donde se encuentra la cista del Entierro 13 (Figura 8.36). El primer escalón posee una altura de 0.09 m y el segundo de 0.39 m. El extremo norte posee forma circular, mientras que no es posible determinar la forma del extremo sur debido a que es posible que la cista del Entierro 13 haya cortado este rasgo. El extremo norte tuvo un ancho máximo (E-O) de 0.46 m y el extremo sur de 0.94 m. Se recuperaron 119 tiestos, 30 fragmentos de hueso de fauna, 14 caracoles y fragmentos de concha, nueve fragmentos de pedernal, dos hachas de lítica, un pulidor de lítica y una muestra de carbón. La cerámica recuperada ha sido fechada preliminarmente para el Preclásico Tardío e incluye tipos como Sapote Estriado, Sierra Rojo y Polvero Negro (C. Parris comunicación personal 2014). Aunque se desconoce la naturaleza del rasgo, estos materiales sugieren indicios de actividad ritual y se cree que podrían representar los restos de un evento dedicatorio para la construcción de la primera fase de la estructura.

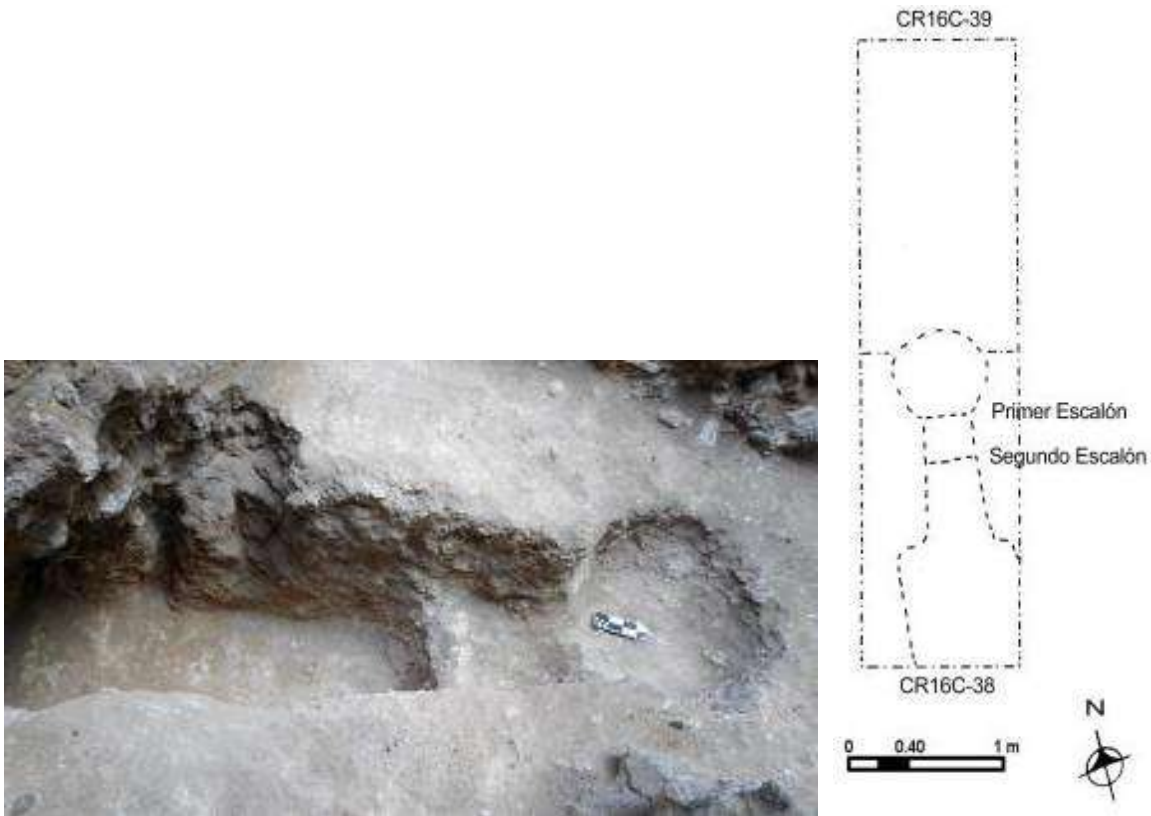


Figura 8.36 Rasgo tallado en la piedra caliza (Dibujo y foto por J. Ponce)

Unidad CR16C-39

Esta unidad se ubicó al norte de la Unidad CR16C-38. Se identificó un total de 16 niveles y 19 lotes, y se alcanzó una profundidad máxima de 2.60 m desde la superficie. Solamente la sección oeste del pozo alcanzó esta profundidad, ya que la sección este se excavó solamente hasta el Piso Guaya.

Nivel 1-Lote 2: este lote constó del relleno de la Banqueta 1, identificada en 2011, y consistió de tierra café mezclada con piedras pequeñas y medianas. Se encontró de 0.1 a 0.62 m desde la superficie. En el interior se encontraron 60 tiestos, un fragmento de obsidiana, 18 de hueso, 16 de bajareque y un pulidor de lítica. Algunas de las piedras y fragmentos de bajareque se encontraron quemados. Entre los huesos de fauna se recuperaron dos astas, posiblemente de venado. Esto, junto con el pulidor de piedra son indicios de posible actividad relacionada a la preparación de pieles de animales o de herramientas líticas.

Nivel 2-Lote 3 Piso Guaya: este piso se encontró de 0.62 a 0.7 m desde la superficie y no se recuperó material cultural.

Nivel 3-Lote 4: estrato de tierra café mezclada con piedras pequeñas. Se encontró de 0.7 a 0.76 m desde la superficie y no se recuperó material cultural.

Nivel 4-Lote 5 Piso Chico-Zapote: este piso se encontró de 0.76 a 0.9 m desde la superficie y se recuperaron 38 tiestos, dos fragmentos de pedernal y uno de cuarzo.

Nivel 5-Lote 6: este lote constó de tierra café compacta con pedrín y piedras medianas. Se encontró de 0.9 a 1.2 m desde la superficie y no se recuperó material cultural.

Nivel 6-Lote 7: corresponde a la nivelación de caliza y estuco. Se encontró de 1.2 a 1.34 m desde la superficie y no se recuperó material cultural.

Nivel 7-Lote 8: relleno de piedras pequeñas, medianas y pedrín con tierra café y arena oscura. Se encontró de 1.34 a 1.6 m desde la superficie y se recuperaron 10 fragmentos de cerámica.

Nivel 8-Lote 9: este relleno constó de tierra café compacta con pedrín y caliza. Se encontró de 1.3 a 1.94 m desde la superficie y se recuperaron 37 tiestos, un fragmento de concha y nueve fragmentos de madera similares a los que fueron encontrados asociados al Entierro 13.

Nivel 8-Lote 10: este lote consistió de ceniza con tierra café suelta. Se encontró de 1.84 a 1.94 m desde la superficie y no se recuperó material cultural.

Nivel 9-Lote 11 Piso Aceituno: este piso se halló de 1.94 a 2 m desde la superficie y no se recuperó material cultural. Sobre el piso se halló un agujero de 0.36 x 0.47 m (Figura 8.37).



Figura 8.37 Agujero sobre el Piso Aceituno (Foto por J. Ponce)

Nivel 9-Lote 12: este lote se le asignó al relleno encontrado dentro de la huella de poste. Se encontró de 2 a 2.05 m desde la superficie y se recuperaron cuatro fragmentos de huesos, dos de pedernal, una lítica indeterminada y una muestra de carbón. En base a este material se cree que el agujero no pertenece a una huella de poste y podría representar algún tipo de depósito de actividad ritual.

Nivel 10-Lote 13: este relleno constó de barro compacto con piedras pequeñas. Se encontró de 2 a 2.1 m desde la superficie y se recuperaron 269 tiestos, cinco fragmentos de obsidiana, 28 de hueso, nueve de concha y 32 de pedernal.

Nivel 11-Lote 14 Piso Mancuernillo: este piso se encontró de 2.15 a 2.17 m desde la superficie. No se recuperó material cultural.

Nivel 12-Lote 15: este lote constó de tierra café compacta con piedras medianas y pequeñas. Se encontró de 2 a 2.5 m desde la superficie y se recuperaron 131 tiestos, un fragmento de hueso, uno de concha y dos de pedernal.

Nivel 13-Lote 16 Piso Poité: este piso se identificó de 2.4 a 2.44 m desde la superficie y no se recuperó material cultural.

Nivel 14-Lote 17: relleno de tierra café compacta con piedras pequeñas y arena. Se encontró de 2.44 a 2.46 m desde la superficie y no se recuperó material cultural.

Nivel 15-Lote 18 Piso Sacpá: este piso se encontró de 2.5 a 2.54 m desde la superficie y no se recuperó material cultural.

Nivel 16-Lote 19: relleno de arena suelta con piedras pequeñas y medianas dentro del corte de caliza identificado en la unidad CR16C-38. En esta unidad expuso el límite norte, el cual ya se describió anteriormente. Se encontró de 2.54 a 2.6 m desde la superficie y se recuperaron 22 fragmentos de cerámica.

Unidad CR16C-41

Esta unidad se trazó al este de la unidad CR16C-39 con el objetivo de obtener más información del interior de la Banqueta 1. Se identificaron dos niveles y tres lotes y se alcanzó una profundidad máxima de 0.62 m desde la superficie.

Nivel 1-Lote 2: este lote corresponde al relleno de la Banqueta 1, y como ya se mencionó anteriormente, constó de tierra café mezclada con piedras pequeñas y medianas. Se encontró de 0.1 a 0.62 m desde la superficie y se recuperaron 25 fragmentos de cerámica,

25 de hueso, 35 de concha y 3 de pedernal. Se descubrió que la banqueta sufrió una remodelación, ya que anteriormente tenía un nicho en su Fachada Este que luego fue cerrado (Figura 8.38).

Nivel 2-Lote 3 Piso Guaya: este piso se encontró a 0.62 m desde la superficie y la excavación finalizó en este nivel. No se recuperó material cultural.



Figura 8.38 Nicho remodelado en Fachada Este de la Banqueta 1 (Foto por J. Ponce)

Unidad CR16C-37

Esta unidad se ubicó al oeste de las unidades CR16C-34 y CR16C-35. Se identificaron un total de 10 niveles y 11 lotes y se alcanzó una profundidad máxima de 2.3 m desde la superficie.

Nivel 1-Lote 2: este lote corresponde a la arquitectura de la última fase (área de almacenaje). Se encontró de 0 a 0.6 m desde la superficie y no se recuperó material cultural.

Nivel 2-Lote 3 Piso Guaya: este piso se halló de 0.6 a 0.7 m desde la superficie y no se recuperó material cultural.

Nivel 3-Lote 4 Piso Chico-Zapote: este piso se encontró de 0.7 a 0.78 m desde la superficie y no se recuperó material cultural.

Nivel 4-Lote 5: este lote corresponde al relleno de tierra café con piedras medianas y piedrín. Se encontró de 0.7 a 1.26 m desde la superficie y se recuperaron 41 tiestos y un fragmento de pedernal.

Nivel 5-Lote 6: corresponde a la nivelación de caliza y estuco. Se encontró de 1.26 a 1.4 m desde la superficie y no se recuperó material cultural. Sobre esta nivelación se encontró la continuación del muro encontrado en las unidades CR16C-35, 34, 30, 29, 24b, 28 y 32.

Nivel 6-Lote 7: este relleno constó de tierra café y arena con piedras pequeñas y medianas. No se recuperó material cultural.

Nivel 7-Lote 8: relleno de tierra café con piedras pequeñas y caliza. Se encontró de 1.5 a 1.8 m desde la superficie y no se recuperó material cultural.

Nivel 8-Lote 9 Piso Aceituno B: este piso corresponde a Aceituno en la forma de plataforma cuadrada/rectangular. Se encontró de 1.8 a 1.88 m desde la superficie y no se recuperó material cultural.

Nivel 9-Lote 10: relleno de tierra café compacta con piedras pequeñas y medianas. Se encontró de 1.88 a 2.06 m desde la superficie y se recuperaron 19 fragmentos de cerámica y 11 de hueso.

Nivel 10-Lote 11 Piso Aceituno A: Aquí fue donde se identificó que este piso formaba una plataforma redonda/ovalada, ya que se encontró el límite oeste de la misma (Figura 8.39). Se encontró de 1.8 a 1.88 m desde la superficie y no se recuperó material cultural.



Figura 8.39 Fachada Oeste de plataforma de Aceituno A (Foto por J. Ponce)

Unidad CR16C-40

Esta unidad se ubicó al oeste de CR16C-38 y se identificaron nueve niveles y 13 lotes:

Nivel 1-Lote 2: corresponde a la arquitectura de la última fase (Muro Oeste). Se encontró de 0 a 0.60 m de profundidad y se recuperaron 27 fragmentos de cerámica y uno de pedernal.

Nivel 2-Lote 3 Piso Guaya: este piso se encontró de 0.6 a 0.7 m de profundidad y no se recuperó material cultural.

Nivel 3-Lote 4: este lote corresponde a un relleno de tierra café mezclada con piedras pequeñas. Se encontró de 0.7 a 0.8 m desde la superficie y no se recuperó material cultural.

Nivel 3-Lote 5: relleno de tierra café compacta con piedras de diferentes tamaños. Fue identificado solamente en el Perfil Oeste, indicando un cambio en los rellenos hacia esa dirección. Se encontró de 0.8 a 1.9 m de profundidad y se recuperaron 16 tiestos cerámicos.

Nivel 4-Lote 6 Piso Chico-Zapote: este piso se encontró de 0.8 a 0.96 m desde la superficie y se recuperaron 63 tiestos, un fragmento de obsidiana, tres de hueso y tres de pedernal.

Nivel 5-Lote 7: este relleno constó de tierra café compacta con piedrín y piedras medianas. Se encontró de 0.8 a 1.4 m desde la superficie y no se recuperó material cultural.

Nivel 6-Lote 8: corresponde a la nivelación de caliza y estuco. Se encontró de 1.4 a 1.46 m desde la superficie y no se recuperó material cultural. Sobre este relleno se encontró un muro similar al que fue encontrado en la Fachada Sur, ya descrito anteriormente. Se cree que esta sección corresponde al límite oeste del mismo, lo que indica que posiblemente rodeaba la plataforma de Aceituno B, por lo que surge la posibilidad que haya sido un rasgo arquitectónico durante esa etapa en vez de solamente un rasgo de contención (Figura 8.40).

Nivel 7-Lote 9: este lote constó de piedras pequeñas, medianas y piedrín con tierra café y arena. Se encontró de 1.46 a 1.66 m desde la superficie y no se recuperó material cultural.

Nivel 8-Lote 10: relleno de tierra café compacta con piedrín y caliza. Se encontró de 1.66 a 1.82 m desde la superficie y no se recuperó material cultural.

Nivel 8-Lote 11: se definió en un relleno muy compacto de ceniza con tierra café sobre el Piso Aceituno. Se encontró de 1.82 a 1.9 m desde la superficie y se recuperaron 30 fragmentos de cerámica, uno de pedernal y diez de madera similares a los que fueron encontrados asociados al Entierro 13.

Nivel 9-Lote 12 Piso Aceituno: este piso se encontró a 1.9 m de profundidad y se encontró el límite oeste de la plataforma de Aceituno B. No se recuperó material cultural.



Figura 8.40 Muro sobre el Piso Aceituno en la Unidad CR16C-40 (Foto por J. Ponce)

Suboperación CR16A: Excavaciones en la Fachada Sur

Unidad CR16A-47

Esta unidad se ubicó al lado oeste de la unidad CR16C-23 (excavada en 2013) y fue de 2 m (N-S) x 1.5 m (E-O) (Figura 8.41). Alcanzó una profundidad máxima de 3.54 m desde la superficie y se identificaron 13 niveles y 14 lotes:

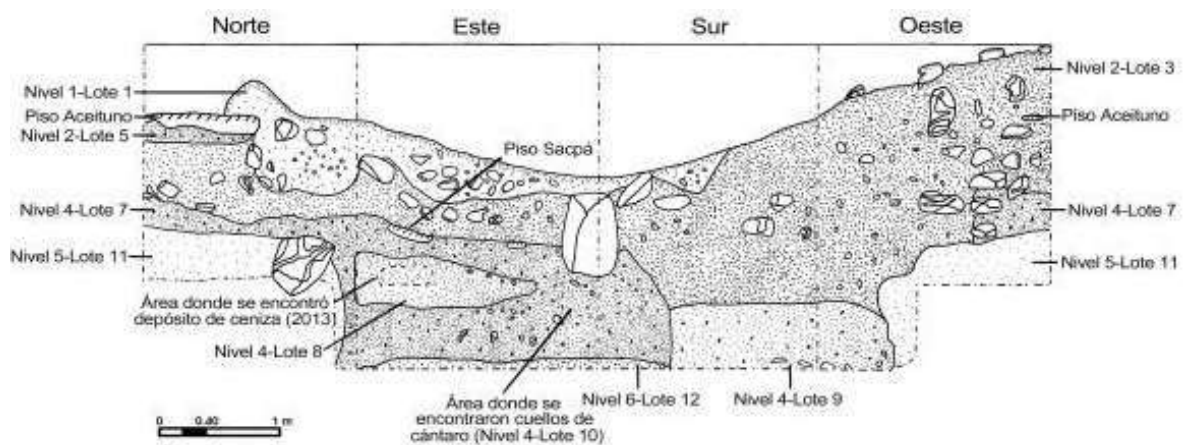


Figura 8.41 Perfiles de la Unidad CR16A-47 (Dibujo por J. Ponce)

Nivel 1-Lote 1: este lote corresponde a la tierra del Saqueo 2, en el área donde se ubicaba la Escalinata Jeroglífica A. Aunque el relleno fue irregular, se encontró a una profundidad promedio de 0 a 0.5 m desde la superficie. Se recuperaron 114 tiestos cerámicos, una esfera lítica y un fragmento de pedernal.

Nivel 1-Lote 2: este relleno constó de tierra café suelta mezclada con escombros. Se encontró a una profundidad de 0 a 0.4 m desde la superficie y se recuperaron 35 tiestos cerámicos, un fragmento de obsidiana, cuatro de pedernal y cuatro de estuco. Asociado a este lote se encontraron tres escalones que corresponden al cuarto, quinto y sexto de la última ocupación de la estructura (ver descripción más adelante).

Nivel 2-Lote 3: este lote corresponde al relleno de la Escalinata Jeroglífica A (Ponce 2014a). Constó de tierra café suelta mezclada con piedras de diferentes tamaños y se encontró a una profundidad de 0.4 a 1.5 m desde la superficie. En el Perfil Oeste se encontraron cuatro piedras alineadas una sobre la otra, de aproximadamente 0.2 x 0.2 m cada una. Se cree que éstas podrían ser parte del muro de contención de la Escalinata Jeroglífica A. No se encontró material cultural.

Nivel 2-Lote 4 Piso Aceituno: Este piso se encontró a una profundidad de 0.3 a 0.46 m desde la superficie. Fue visible solamente en el Perfil Norte y Oeste. No se recuperó material.

Nivel 2-Lote 5: Este lote constó de barro café oscuro mezclado con piedras, debajo del Piso Aceituno. Se encontró a una profundidad de 0.46 a 0.5 m y no se recuperó material cultural.

Nivel 3-Lote 6 Piso Sacpá: Este piso de estuco se encontró a una profundidad de 0.7 a 0.76 m desde la superficie. Se identificó muy fragmentado solamente en el Perfil Este en la superficie de la plataforma de barro del Lote 7. No se encontró material cultural.

Nivel 4-Lote 7 Plataforma de barro: corresponde al relleno de barro compacto mezclado con piedras pequeñas, color café oscuro, identificado previamente como perteneciente a la plataforma de la primera ocupación. Se encontró a una profundidad de 0.7 a 1.90 m desde la superficie. En 2013 se identificó un basurero asociado a este relleno y esta temporada se recuperó más del mismo, el cual incluyó 398 tiestos cerámicos, un fragmento de obsidiana, 17 fragmentos de concha y un fragmento de pedernal.

Nivel 4-Lote 8: Este lote corresponde a un depósito de ceniza suelta identificado en 2013 en el interior de la plataforma de barro. El depósito abarcó un área total de 1.40 m de largo x

0.4 m de ancho y se encontró a una profundidad de 0.96 a 1.4 m desde la superficie. Se cree que está directamente asociado a la ofrenda identificada en 2013 en el interior de la plataforma. No se recuperó material.

Nivel 4-Lote 9: Este lote constó del barro compacto de la plataforma, mezclado con ceniza, por lo que el relleno fue mucho más suelto que el del resto de la plataforma. Se encontró a una profundidad de 1.36 a 1.9 m desde la superficie y no se recuperó material cultural.

Nivel 4-Lote 10: Este lote se le asignó a dos cuellos de cántaro asociados al material del basurero dentro de la plataforma de barro, a 1.4 m desde la superficie. Ambos cuellos se encontraron en la esquina sureste, uno de ellos en posición vertical, a 0.1 m de distancia cada uno y pertenecen al tipo Sierra Rojo (C. Parris com. pers. 2014) (Figura 8.42).



Figura 8.42 Cuellos de cántaro encontrados en el relleno de la plataforma de barro
(Foto por J. Ponce)

Nivel 5-Lote 11: Este lote constó del relleno natural de arena blanca compacta mezclada con piedra caliza y piedrín. Se encontró a una profundidad de 1.44 a 2.5 m desde la superficie y no se recuperó material cultural. Fue evidente que el relleno natural irregular fue nivelado por la plataforma de barro.

Nivel 6-Lote 12: Este relleno corresponde a una nivelación de tierra café claro, amarillenta, y de consistencia arenosa sobre el relleno natural de caliza. Se encontró a una profundidad de 2.4 a 2.5 m desde la superficie. No se recuperó material cultural.

Unidades CR16A-48, 49, 50, 51, 51a, 52, 53 y 53a

Este grupo de unidades se ubicó en la Fachada Sur de la estructura. Las unidades CR16A-48, 49, 52 y 53 fueron de 2 x 2 m. La unidad CR16A-50 fue de 2 m (N-S) x 1.5 m (E-O); las unidades CR16A-51 y 51a de 2 m (E-O) x 1 m (N-S) y la unidad CR16A-53a fue una trinchera de 3 m (N-S) x 1 m (E-O). Se identificó un total de ocho escalones en la Fachada Sur pertenecientes a la última ocupación, los cuales conducían desde la parte superior de la plataforma de la Escalinata Jeroglífica 2 hasta la parte superior de la estructura (Figuras 8.43 y 8.44). Éstos se encontraron ubicados al oeste del Saqueo 2. También se identificó un muro que separaba los primeros tres escalones del resto, al igual que un primer escalón inferior estucado que posiblemente pertenece a una etapa previa.

Unidades CR16A-48 a CR16A-50

En estas unidades se excavó solamente un lote donde se identificó el cuarto, quinto y sexto escalón, al igual que el muro mencionado anteriormente que tuvo una altura aproximada de 0.3 m.

Nivel 1- Lote 1: este lote constó de tierra café mezclada con escombros. En la unidad CR16A-48 se recuperaron 154 fragmentos de cerámica, uno de concha y uno de pedernal; en la unidad CR16A-49 se encontraron 57 tiestos y un fragmento de hueso, mientras que en la unidad CR16A-50 se recuperaron solamente 125 fragmentos de cerámica. Los escalones fueron realizados de bloques rectangulares porosos de baja calidad, algunos de los cuales fueron de caliza. En promedio cada bloque mide de 0.2 a 0.3 m de largo x 0.1 a 0.2 m de ancho y la calidad contrasta con los bloques de la Escalinata Jeroglífica A, los cuales se cree que se encontraban originalmente al oeste de estos escalones, en el área del Saqueo 2 (ver Ponce 2014a). Esto sugiere la posibilidad que los bloques de la Escalinata Jeroglífica A fueron reposicionados de la misma manera que la Escalinata Jeroglífica 2.

El cuarto escalón tuvo una huella aproximada de 0.55 m y contrahuella de 0.24 m; el quinto 0.61 m de huella y 0.14 m de contrahuella; y el sexto 0.40 m de huella y 0.3 m de contrahuella. Cabe mencionar que un segmento de estos escalones se encontró en la unidad CR16A-47 como parte del mismo lote de tierra café mezclada con escombros. Sin embargo, parte de los escalones fueron destruidos por el Saqueo 2, por lo que se desconoce su largo original. Asimismo, como se mencionó anteriormente, el séptimo y octavo escalón fueron

identificados en la unidad CR16C-35, los cuales conducían a un descanso estucado que es parte del Piso Guaya, en el exterior del Muro Sur.

En la unidad CR16A-49 se hallaron algunos fragmentos de estuco sobre el quinto escalón, lo que indica que posiblemente estuvieron repellados. Cabe mencionar que en la unidad CR16A-50 se encontraron dos alineaciones de piedras que parecen ser continuación del cuarto y quinto escalón. Sin embargo, en la unidad CR16A-49 se encontró lo que parece ser un bloque de esquina del cuarto escalón, por lo que no fue posible confirmar si en realidad los escalones continuaban al este en la unidad CR16A-50, ya que no se halló la continuación del sexto escalón ni del muro en dicha unidad.

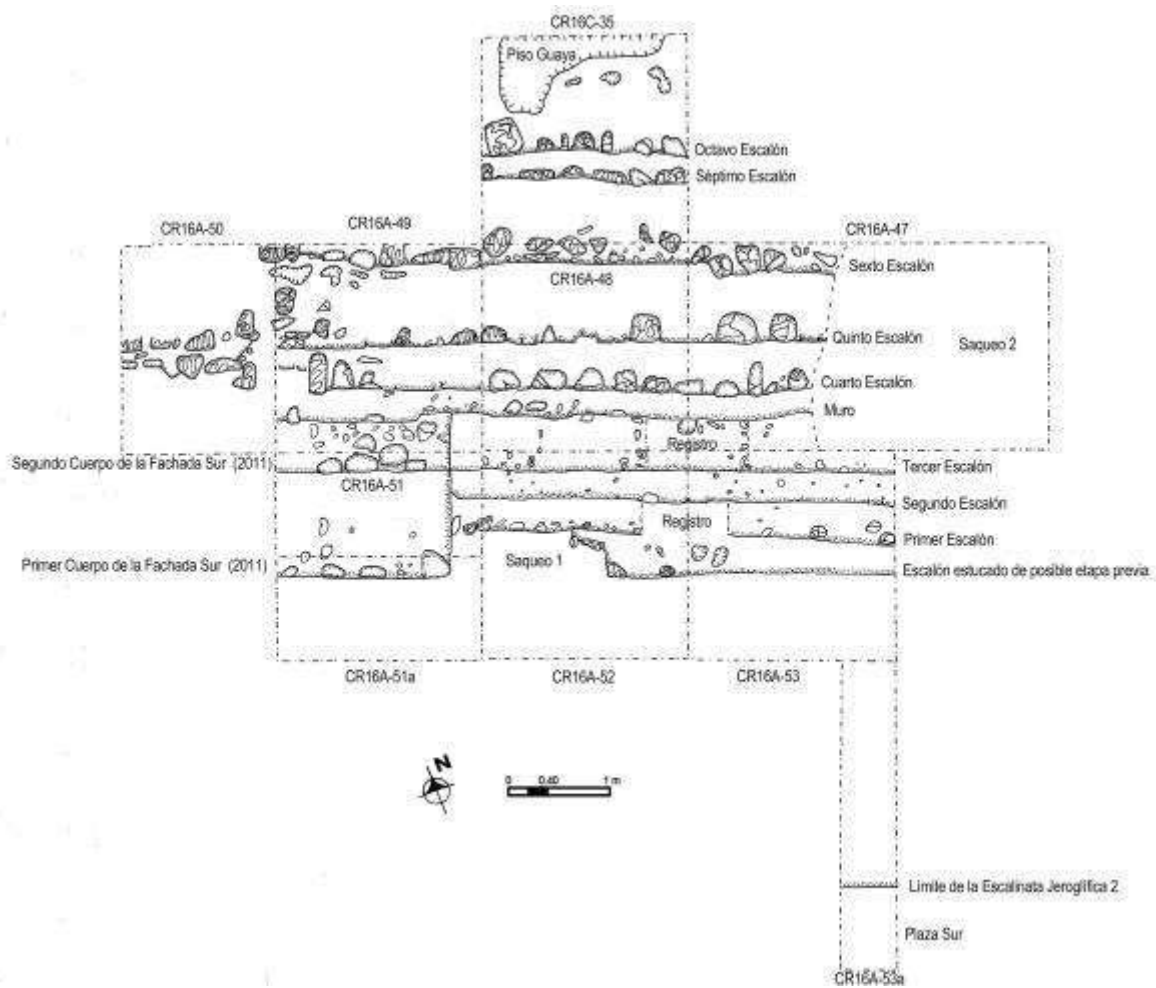


Figura 8.43 Planta de escalones encontrados en la Fachada Sur (Dibujo por J. Ponce)



Figura 8.44 Cuarto a octavo escalón en las unidades CR16A-47, CR16A-48 y CR16C-35
(Foto por J. Ponce)

Unidades CR16A-52, CR16A-53 y CR16A-53a

En estas unidades se identificó el primer, segundo y tercer escalón (Figura 8.45). Sobre el primer y tercer escalón se hicieron dos registros: uno de 1 m (E-O) x 0.5 m (N-S) sobre el tercer escalón y otro de 0.8 m (E-O) x 0.3 m (N-S) sobre el primer escalón. Esto se hizo para determinar si en realidad se trataban de escalones, ya que a diferencia de los demás, se encontraron sin bloques de muro. Los registros permitieron confirmar que sí se trataban de escalones e incluso se identificaron algunos fragmentos pequeños de estuco sobre los mismos. Cabe mencionar que el primer escalón inferior contrasta con los demás debido a que se encontró estucado y con restos de pintura roja, por lo que se cree que se trata de un escalón de una posible etapa previa. Debido a que no fue posible determinar la naturaleza de este rasgo y su relación con las demás gradas, se decidió no asignarle número de escalón. Se cree que es posible que originalmente haya sido un segundo escalón largo que luego fue modificado. Éste fue cortado por el Saqueo 1 en la unidad CR16A-52 y midió aproximadamente 0.47 m de huella x 0.22 m de contrahuella.



Figura 8.45 Posible escalón de etapa previa; primero, segundo y tercer escalón (Foto por J. Ponce)

Por su parte, el primer escalón midió aproximadamente 0.3 m de huella y 0.13 m de contrahuella; el segundo 0.35 m de huella x 0.15 m de contrahuella; y el tercero 0.5 m de huella x 0.14 m de contrahuella. La excavación de la unidad CR16A-53a permitió confirmar que los escalones se encontraban contruidos sobre la plataforma de la Escalinata Jeroglífica 2 y el escalón de la posible etapa previa se encontraba a exactamente 3 m de la fachada de la Escalinata Jeroglífica 2. A continuación se presenta una descripción de los diferentes lotes identificados en cada unidad:

Unidad CR16A-52

Nivel 1-Lote 1: relleno de tierra café mezclada con escombros; no se recuperó material.

Nivel 2-Lote 2: relleno de escalinata excavado como parte de los registros, el cual consistió de tierra café compacta con piedras de diferentes tamaños y no se recuperó material cultural.

Unidad CR16A-53

Nivel 1-Lote 1: este lote consistió de tierra del Saqueo 1 y no se recuperó material cultural.

Nivel 2-Lote 2: relleno de años anteriores

Nivel 2-Lote 3: tierra café mezclada con escombros; se recuperaron 271 fragmentos de cerámica, una figurilla, un fragmento de mano, dos fragmentos de hueso y tres de pedernal.

Nivel 3-Lote 4: relleno de escalinata excavado como parte de los registros, el cual constó de tierra café compacta con piedras de diferentes tamaños. Se recuperaron cuatro tiestos cerámicos.

Unidad CR16A-53a

Nivel 1-Lote 1: este lote constó del relleno de años anteriores y no se recuperó material cultural.

Unidades CR16A-51 y CR16A-51a

En estas unidades se encontró parte del primer y segundo cuerpo de la Fachada Sur, los cuales ya habían sido identificados en 2011 (Ponce y Nájera 2012). Se determinó que los cuerpos fueron construidos al mismo tiempo que el primer, segundo y tercer escalón. Es posible que el tercer escalón haya funcionado como una base para el segundo cuerpo de la fachada y que el muro haya sido de contención para el segundo cuerpo.

Unidad CR16A-51

Nivel 1-Lote 1: estrato de tierra café mezclada con escombros. Se recuperaron 259 tiestos, una figurilla y cuatro fragmentos de pedernal.

Nivel 2-Lote 2: este lote se identificó al tratar de determinar la manera en que los escalones se unían con los cuerpos de la estructura. Consistió del relleno de la escalinata, formado por tierra café mezclada con piedras de diferentes tamaños. Se recuperaron solamente ocho tiestos y una figurilla.

Unidad CR16A-51a

Nivel 1-Lote 1: este lote constó de tierra café mezclada con escombros. Se recuperaron 18 fragmentos de cerámica y un fragmento de pedernal.

Secuencia constructiva

Las excavaciones durante siete temporadas en las estructuras 13R-9 y 13R-10 han permitido identificar una secuencia constructiva que abarca cinco etapas, desde la primera parte del Clásico Temprano hasta el Clásico Terminal, representadas por seis pisos de estuco.

Etapas Constructivas 1: Sacpá-Poité (250-500 d.C.)

La primera etapa pertenece a la primera parte del Clásico Temprano y consiste en una plataforma de barro cubierta por los pisos Sacpá y Poité. Asociado a esta plataforma se encontraron los Entierros 10 y 11 y una ofrenda de dos cuencos labio a labio dentro de un basurero, el cual contenía gran cantidad de caracoles terrestres y cerámica del Preclásico Tardío. Los cuencos encontrados en la ofrenda fechan esta fase para Tzakol 1-2 (250-350 d.C./350-500 d.C.). Es posible que la Fase *Mam* identificada en los templos del Grupo Coronitas haya sido contemporánea con esta etapa y corresponde al momento en que los templos eran plataformas de solamente 3 m de altura.

Etapas Constructivas 2: Aceituno-Mancuernillo (500-650 d.C.)

La segunda etapa identificada está asociada a los Pisos Aceituno y Mancuernillo, y constó inicialmente de una plataforma redonda/ovalada (Aceituno A) que luego fue modificada para ser de forma cuadrada/rectangular (Aceituno B). Se cree que representó un cambio funcional importante debido a la alta calidad del Piso Aceituno en relación a los demás. Sin embargo, aún no se tienen fechas certeras para esta etapa. Fue al cancelar esta ocupación que se hizo un corte ovalado en el Piso Aceituno para colocar el Entierro 13 en una cista cavada en la roca madre. Encima colocaron un relleno con fragmentos tallados de estuco que probablemente fueron traídos de otra parte del sitio. Se cree que este entierro perteneció a una mujer de alto rango de la línea dinástica de *Sak Maas*.

Etapas Constructivas 3: Chicozapote (650-760 d.C.)

Al cancelar la ocupación anterior, la Estructura 13R-10 fue convertida en una plataforma escalonada de aproximadamente 3 m de altura, representada por el Piso Chicozapote. En este momento se construyó la Estructura 13R-9 al oeste, donde se colocó

una ofrenda con material marino y lítico en la superestructura, al igual que los restos de un posible festín ritual en uno de sus rellenos. Éste último contaba con gran cantidad de huesos de fauna, carbón y cerámica polícroma, algunos de los cuales tenían títulos reales, fechados para las fases Tepeu 1 y 2. Asociado a esta etapa se encontraron dos ofrendas en la Estructura 13R-10, una de las cuales tenía un plato polícromo con información epigráfica del sitio La Florida, fechado para la fase Tepeu 1 (600-650 d.C.), indicando relaciones entre las élites de ambos sitios. Estas evidencias apuntan al uso de ambas estructuras por la corte real durante esta etapa, posiblemente para actividades rituales de legitimación de poder. Es posible que esta etapa corresponda a la Fase *K'uh* del Grupo Coronitas y al reinado de *Chakaw Nahb Chan*, cuando se modificaron las estructuras 13R-2, 13R-3 y 13R-4 para cancelar los templos funerarios y volverlos en templos para deidades patronales. Al final de esta etapa, el Piso Chicozapote fue cortado para colocar los entierros 9 y 12, pertenecientes a dos individuos de élite. Éstos fueron colocados sobre el Piso Aceituno y parecen haber sido intencionalmente alineados con el Entierro 13. Una posible imitación de un cuenco Gris Fino Chablekal formó parte de las ofrendas funerarias del Entierro 12 y fecha el entierro para después de 760 d.C.

Etapa Constructiva 4: Guaya (760-830 d.C.)

Durante la segunda mitad del Clásico Tardío se construyó el Piso Guaya después de la colocación de los entierros 9 y 12. Las excavaciones realizadas en 2011 y 2012 indican que durante esta etapa se hicieron modificaciones a la arquitectura de la Estructura 13R-10 para hacerla más privada. La ofrenda de los dos comales labio a labio, recuperada en 2011, sugiere un cambio de función a uno más doméstico. Asimismo, fue también después de 760 d.C. que se realizó un festín, cuyos restos fueron depositados en un *chultun* en la parte posterior de la Estructura 13R-10. Se cree que este festín pudo haber estado directamente relacionado a la recolocación de la Escalinata Jeroglífica 2, Escalinata Jeroglífica A y el Panel de Dallas en la fachada principal de la Estructura 13R-10. Esta etapa posiblemente corresponde a la Fase *Unen* del Grupo Coronitas, cuando también se hicieron una serie de modificaciones arquitectónicas a los templos.

Etapa Constructiva 5: Clásico Terminal (830-900 d.C.)

La última ocupación está representada por dos viviendas que se asentaron sobre la Plaza Sur. La presencia de cerámica Naranja Fino Altar fecha esta ocupación para después de 830 d.C. Los materiales recuperados en 2011 asociados a estas viviendas y en las habitaciones de la Estructura 13R-10 reflejan actividades domésticas y económicas de elaboración de artefactos a pequeña escala. Se cree que esta etapa representa una reocupación de un área ritual para actividades domésticas, posiblemente después que el sector ya había sido abandonado.

Conclusiones

Las excavaciones realizadas durante siete temporadas han demostrado que las Estructuras 13R-9 y 13R-10 fueron de gran importancia ritual e ideológica para la corte real de La Corona. Aunque se percibe un cambio de función a lo largo del tiempo hacia uno más doméstico, el hallazgo de cinco entierros y diez ofrendas, junto con la evidencia epigráfica de sus escalinatas, indica que los eventos rituales asociados a las estructuras 13R-9 y 13R-10 durante el Clásico Temprano y Tardío pudieron haber estado relacionados con la legitimación de poder basada en la veneración ancestral y rituales auspiciados por la corte real, donde los gobernantes actuaron como figuras carismáticas y religiosas. La evidencia apunta hacia la formación de identidad de la corte real de La Corona por medio del parentesco y vínculos con la dinastía *Kaan* por más de dos siglos.

El fechamiento de radiocarbono de cada una de las fases identificadas permitirá refinar la secuencia constructiva de estas estructuras y correlacionar de mejor manera los datos con las fases identificadas en los templos del Grupo Coronitas y los eventos históricos registrados en las inscripciones. Para futuras investigaciones en el Grupo Coronitas se recomienda la excavación de la Estructura 13R-7 y 13R-11 para tener una perspectiva más amplia y mejor entendimiento del uso de este sector del sitio a través del tiempo.

CAPÍTULO IX

OPERACIÓN CR116: EXCAVACIONES EN EL GRUPO 13R-I, ESTRUCTURAS 13R-13 Y 13R-43, TEMPORADA 2014

Alejandra Roche Recinos

Introducción

Las excavaciones pertenecientes a la operación CR116 se realizaron en el Grupo 13R-I, en las estructuras 13R-13 y 13R-43. Se tuvo como objetivo hallar basureros en contexto residencial de élite y con fechamiento de inicios del Clásico Tardío para la obtención de material lítico. La metodología utilizada consistió en unidades de excavación de 2 x 1 m para lograr cubrir mayor terreno y tener más posibilidad de encontrar basureros. Se realizaron sobre las estructuras 13R-13, 13R-43 y en la posible plaza que se forma entre ellas. Todas las unidades de la Operación CR116 se colocaron sobre el eje este-oeste (Figura 9.1).

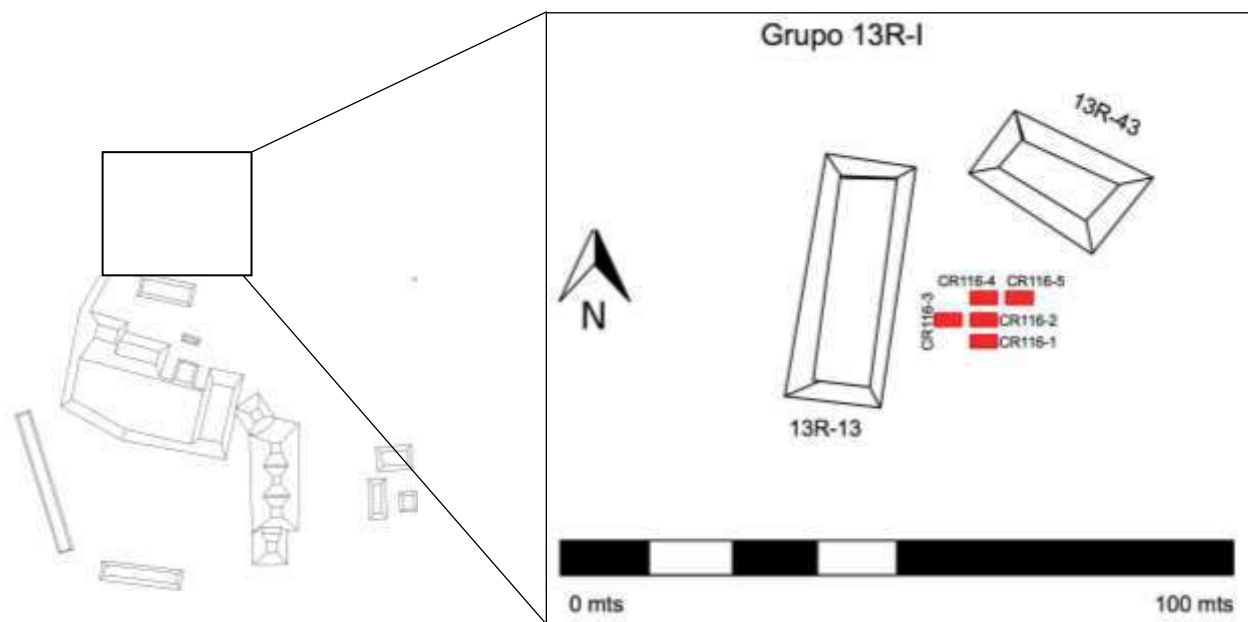


Figura 9.1 Localización de las unidades de la Operación CR116 (Tomado de Guzmán 2012, editado por A. Roche)

Unidad CR116-1

Unidad de 2 x 2 m orientada en un eje este-oeste y ubicada en lo que se cree que era la plaza entre las estructuras 13R-13 y 13R-43. Se obtuvieron 8 lotes. El lote 1 consistió de una

pequeña capa de humus café oscuro con raíces y el lote 1a fue de tierra café oscura sin raíces. En ambos se halló cerámica y una figurilla. El lote 2 fue de tierra café oscura más clara que el humus; se halló cerámica, una figurilla y un fragmento de pedernal. El lote 3 fue de tierra café oscura con piedras de tamaño mediano, a 0.28 m aproximadamente de la superficie; se halló cerámica y dos fragmentos de obsidiana. El lote 4 tuvo la misma tierra café oscura con la variante de pequeñas piedras blancas a aproximadamente 0.49 m de la superficie; se halló solamente cerámica. El lote 5 estaba compuesto por la misma tierra café oscura con piedra blanca pero más compacta, con textura de lodo, y al igual que en el lote 4 solamente se halló cerámica. En el lote 6 se encontró un piso a aproximadamente 0.87 m de la superficie, por lo que se decidió dejar la mitad del pozo con el piso y continuar en la otra mitad. Se halló cerámica, tres fragmentos de obsidiana y un pedernal. Por último, los lotes 7 y 8 fueron también de piso, a aproximadamente 0.99 m y 1.19 m del suelo respectivamente. En el primero se halló cerámica, pedernal, obsidiana y hueso de fauna y en el segundo, el lote 8, se halló cerámica y lítica. El lote 8a se definió debajo del piso, compuesto por suelo blancuzco duro y estéril. La mayor cantidad de material se encontró entre los lotes 1 y 2, considerando su profundidad. Seguidamente, se recolectó también una gran cantidad dentro de los pisos. Se alcanzó una profundidad máxima de 1.5 m (Figura 9.2).

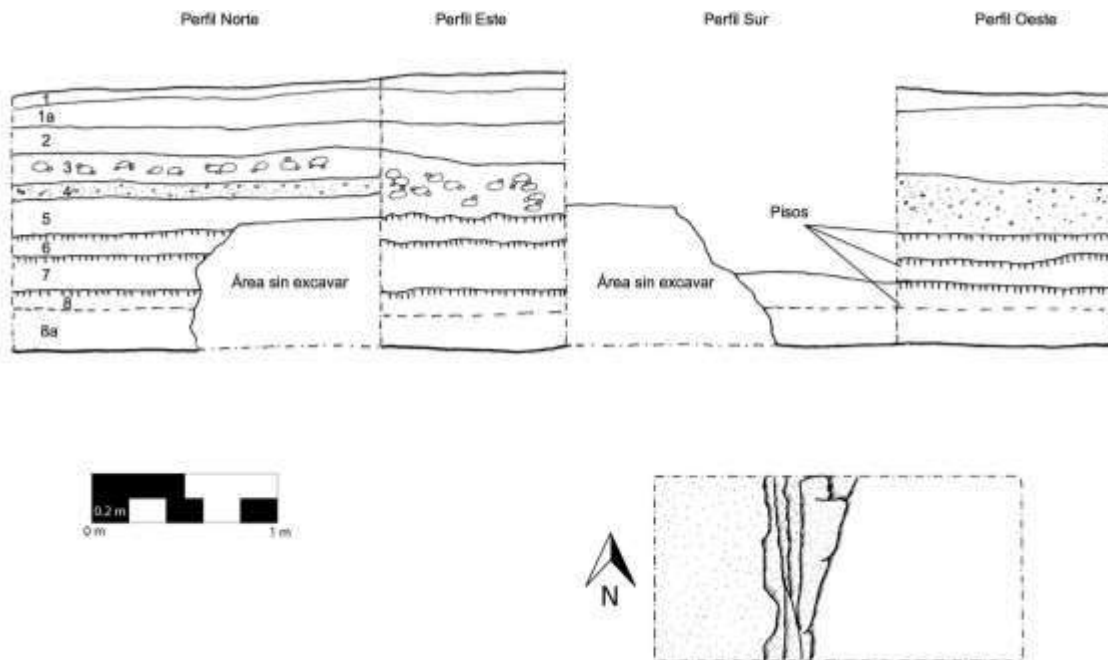


Figura 9.2 Perfiles y planta de la unidad CR116-1 (Dibujo y calco por A. Roche)

Unidad CR116-2

Unidad de 2 x 2 m orientada con eje este-oeste y ubicada al norte de la unidad CR116-1. Se excavaron 6 lotes. El lote 1 estuvo compuesto por humus café oscuro; se halló cerámica y obsidiana. El lote 2 tuvo la misma tierra café oscuro del lote 1 pero con piedras de tamaño mediano y se halló solamente cerámica; llegando al final del lote se hallaron en el perfil norte algunas piedras grandes estucadas. El lote 3 fue visible solamente en el perfil norte (que luego fue removido al excavar la unidad CR116-4) y se tomó desde debajo de las piedras hasta llegar al lote 4, el cual también fue visible solamente en el perfil norte y compuesto por la misma tierra café oscura pero con pequeñas inclusiones blancas. Se halló solamente cerámica. El lote 5 se tomó desde que empezaron a salir muestras de estuco al norte de la unidad y se halló cerámica. El último lote, el lote 6, fue visible en el perfil norte y luego removido por estar adyacente a la unidad CR116-4; estuvo compuesto por tierra entre café clara y ocre clara y solamente se halló cerámica. Se excavó hasta antes del último piso (lote 8) de la unidad CR116-1 y en general se encontró bastante material, pero se halló mayor cantidad entre los lotes 3 y 4. Se alcanzó una profundidad máxima de 1 m hasta llegar a un suelo café claro duro y estéril (Figura 9.3).

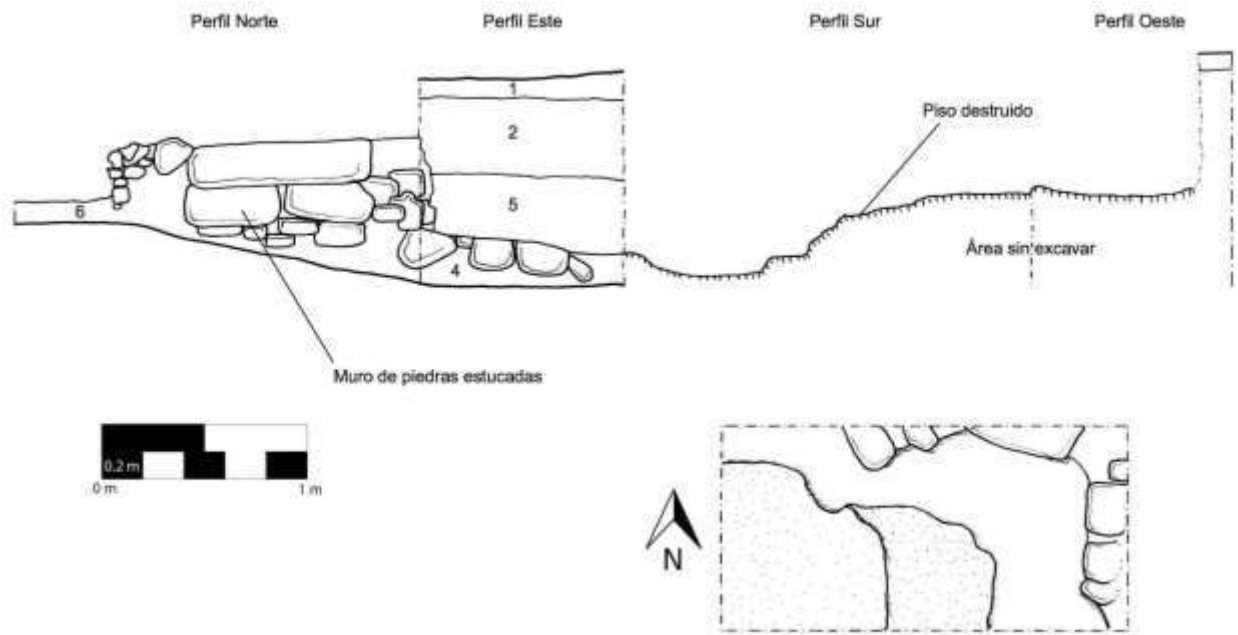


Figura 9.3 Perfiles y planta de la unidad CR116-2 (Dibujo y calco por A. Roche)

Unidad CR116-3

Unidad de 2 x 2 m ubicada al oeste de CR116-2 con orientación este-oeste. Se detectaron 3 lotes. El lote 1 estuvo compuesto por humus café oscuro, y el lote 1a tuvo tierra café rojiza oscura. En ambos se halló cerámica y una figurilla. El lote 2 corresponde al piso, mientras que el lote 2a estuvo compuesto por la misma tierra café rojiza del lote 1 pero con piedras de tamaño mediana y pequeñas de un posible derrumbe; solamente se halló cerámica. Por último, el lote 3 fue también piso y el lote 3a tuvo la misma tierra café rojiza pero con piedras pequeñas de color blanco. Del lote 2, se halló cerámica, hueso, dos figurillas y 4 fragmentos de obsidiana; no se hallaron rasgos arquitectónicos. En general se halló bastante material. Se alcanzó una profundidad máxima de 0.95 m hasta llegar a suelo estéril (Figura 9.4).

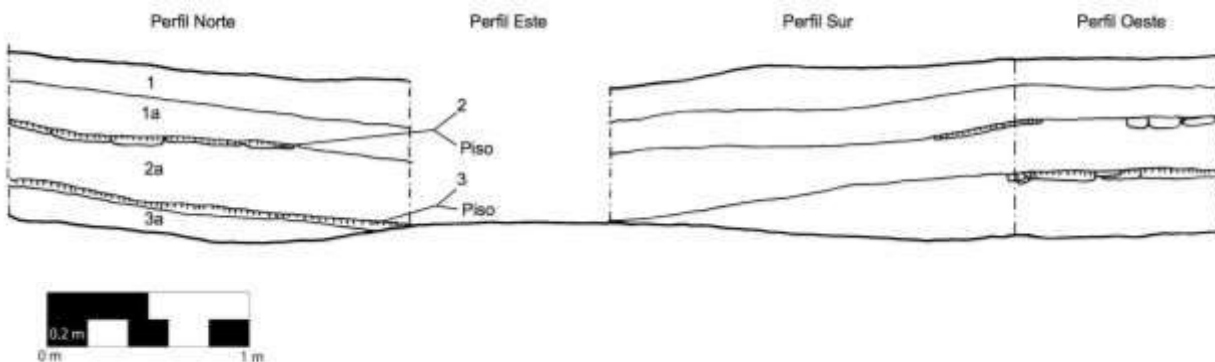


Figura 9.4 Perfiles de la unidad CR116-3 (Dibujo y calco por A. Roche)

Unidad CR116-4

Unidad de 2 x 2 m ubicada al norte de CR116-2 con orientación este-oeste. Se excavaron 4 lotes. El lote 1 consistió de humus café oscuro y contuvo material cerámico y un fragmento de hueso de fauna. El lote 2 fue de tierra café oscura más clara que el humus, la cual llegó hasta una superficie de piedras y estuco con forma de una pequeña estructura cuadrada en donde se halló cerámica y obsidiana (Figura 9.5). El lote 3 se excavó alrededor desde donde se encontró la superficie de piedras estucadas, entre un aglomerado de argamasa con material cerámico y una figurilla. El último lote, el lote 4, consistió en tierra café rojiza oscura con piedra pequeña de color blanco hasta el mismo piso hallado en el lote CR116-1-6. Se halló solamente cerámica. En general se recuperó mucho material, pero menos que en las unidades aledañas. Se alcanzó una profundidad máxima de 0.8 m (Figura 9.6).



Figura 9.5 Estructura estucada de piedra, unidad CR116-4 (Foto: A. Roche)

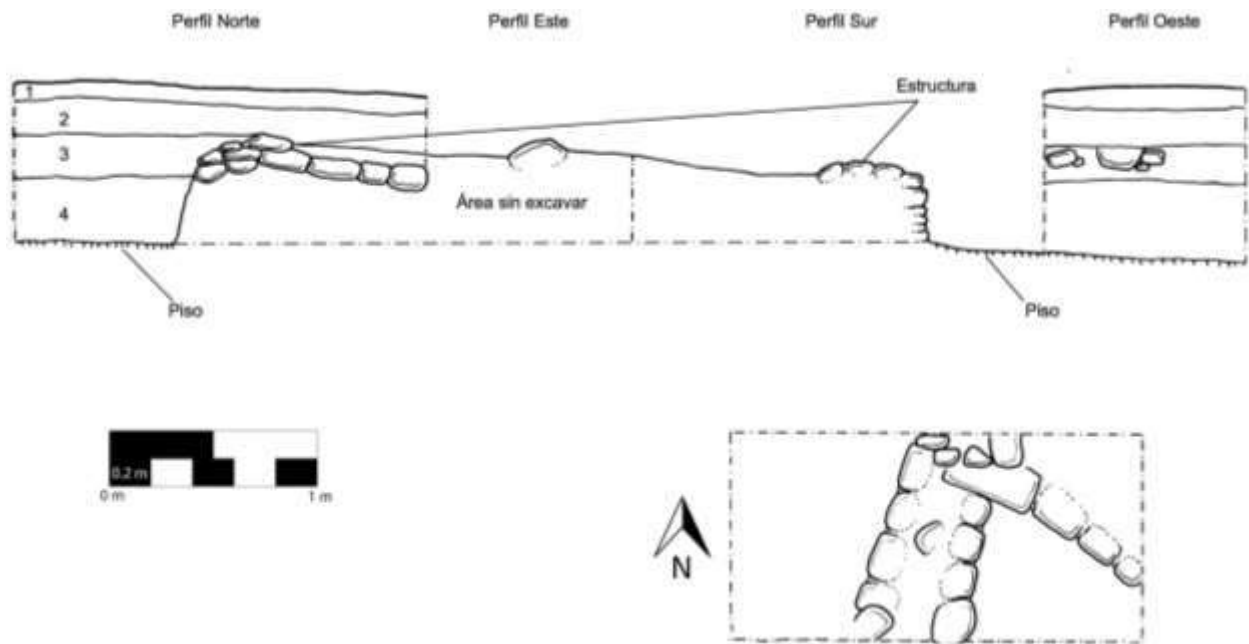


Figura 9.6 Perfiles y planta de la unidad CR116-4 (Dibujo y calco por A. Roche)

Unidad CR116-5

Unidad de 2 x 2 m localizada al este de la unidad CR116-4 con orientación este-oeste. Se excavaron 2 lotes. El lote 1 consta de humus y el lote 1a fue de tierra café oscura más clara que el humus. En este lote se llegó hasta unas piedras alineadas en la esquina sur de la unidad, donde se halló gran cantidad de cerámica y pedernal. El lote 2 consistió de tierra café oscura con piedras pequeñas de color blanco, y abarcó desde las piedras estucadas alineadas en la esquina sur hasta el piso (lote 6) de la unidad CR116-1. Se halló solamente cerámica, aunque la mayor cantidad provino del lote 1. Se alcanzó una profundidad máxima de 0.76 m (Figura 9.7).

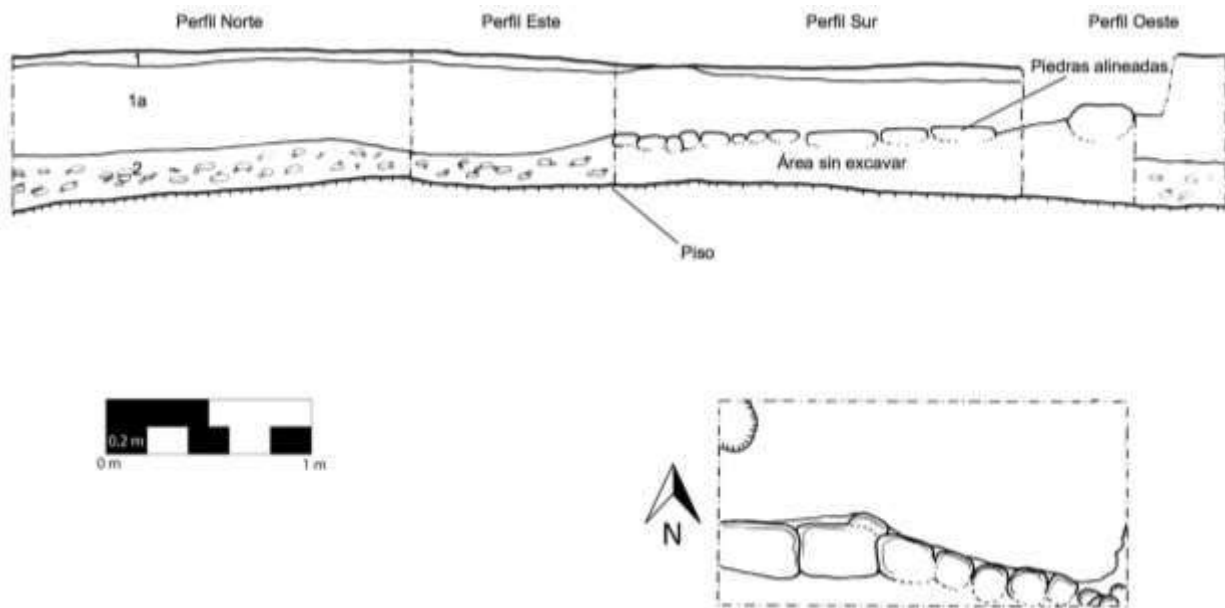


Figura 9.7 Perfiles y planta de la unidad CR116-5 (Dibujo y calco por A. Roche)

Suboperación CR116A: excavaciones sobre la Estructura 13R-13

La sub-operación CR116A consistió en excavaciones encima de la Estructura 13R-13. Todas las 4 unidades fueron alineadas en un eje norte-sur (Figura 9.8).

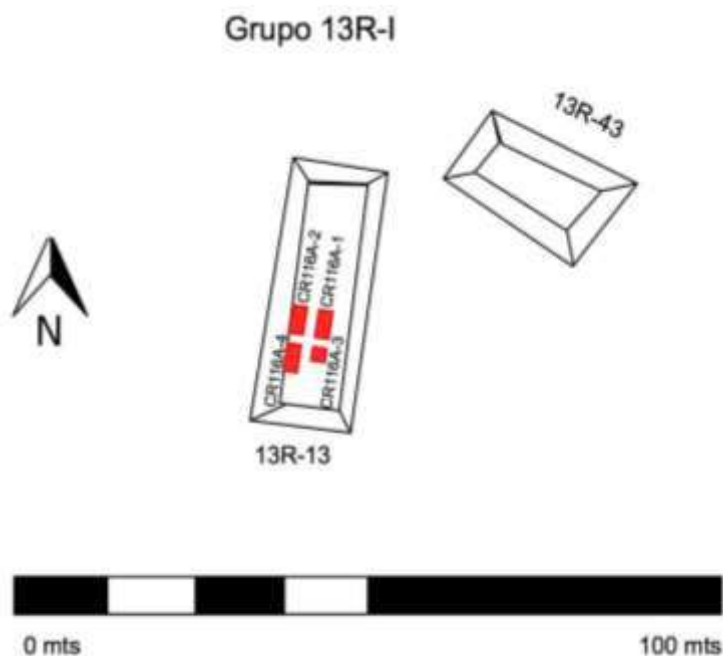


Figura 9.8 Localización de la Suboperación CR116A (Tomado de Guzmán 2012, editado por A. Roche)

Unidad CR116A-1

Unidad de 2 x 2 m localizada sobre la Estructura 13R-13 y con orientación norte-sur. Se excavó un total de 4 lotes (Figura 9.9). En el lote 1, de humus, se halló solamente cerámica. El lote 2 fue de tierra café oscura hasta que se encontró el inicio de piedras grandes; se recuperó cerámica y una obsidiana. El siguiente lote 3 tuvo la misma tierra café oscura pero entre piedras grandes y se halló una gran cantidad de cerámica, huesos de fauna, una obsidiana y un pedernal. Se encontró una fila de piedras al oeste, por lo que se continuó en otra unidad por la fila de piedras. Luego de excavar la unidad CR116-2, se regresó a terminar las excavaciones en esta unidad y se encontró el Entierro 15 en el lote 4 (Figura 9.10). Este lote estaba formado por tierra café clara y arenosa y el entierro se encontró aproximadamente a 0.58 m en el eje norte-sur de la Estructura 13R-13, asociado a un muro localizado al oeste de la unidad. La sepultura estuvo llena de tierra y con dimensiones de 0.35 m de ancho por 1.80 m de largo y 0.15 m de alto. El rostro se

encontró mirando hacia el sur con la cabeza orientada hacia el norte. Se encontró un plato debajo del cráneo, el cual se identificó como vasija CR-V62 (Figura 9.11). También se encontró una lasca de pedernal entre la tierra del entierro, en el húmero derecho. El contexto es primario ya que todos los huesos se encontraban articulados. Tampoco hay indicaciones de disturbios después de su deposición final. El cuerpo se encontraba en posición de cúbito supina, extendido, manos sobre cadera y pies uno encima del otro. Para sacar el entierro se hizo una extensión CR116A-3, el cual se siguió excavando junto con CR116A-1 como una sola unidad. Se alcanzó una profundidad máxima de 0.98 m.

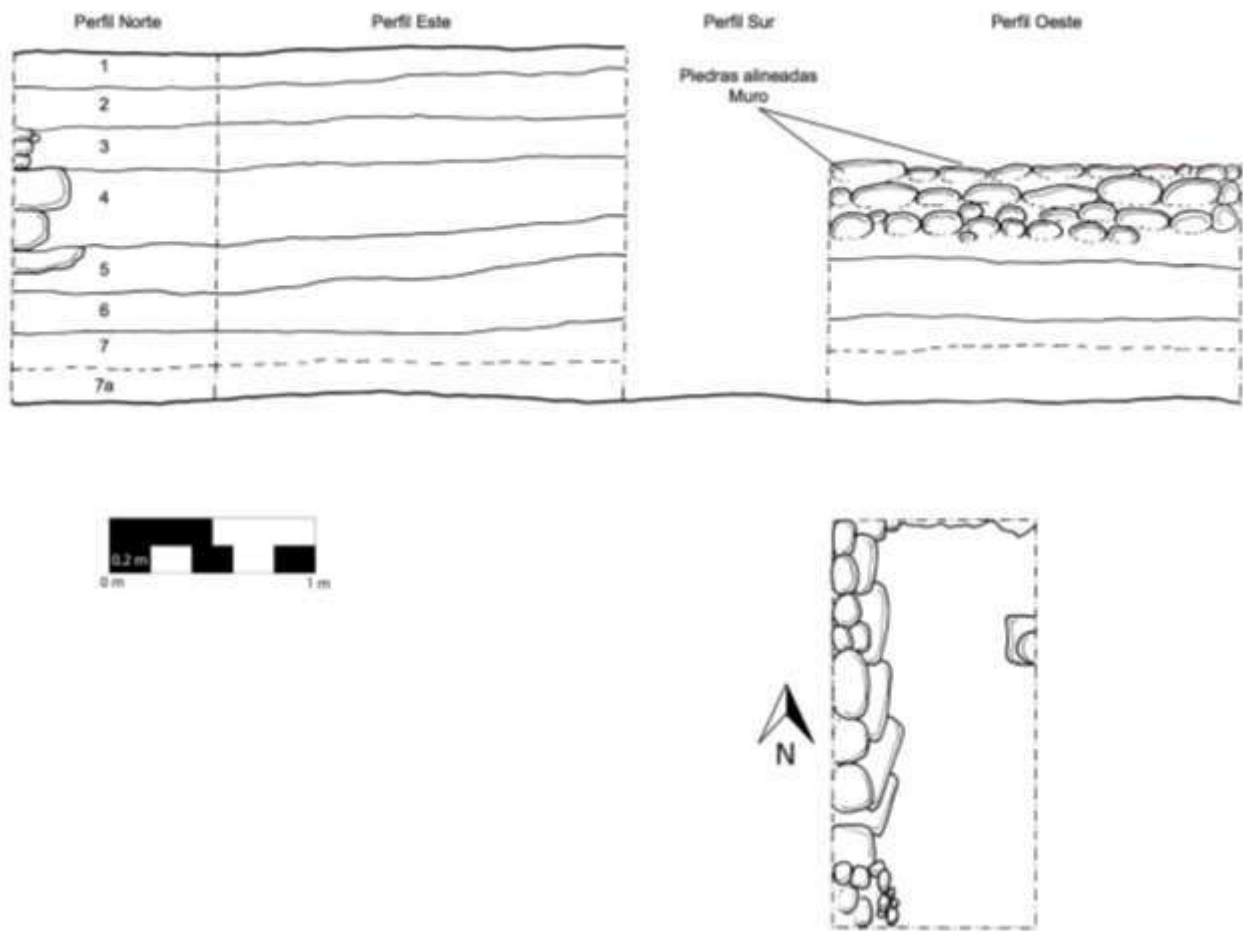


Figura 9.9 Perfiles y planta de la unidad CR116A-1 (Dibujo y calco por A. Roche)

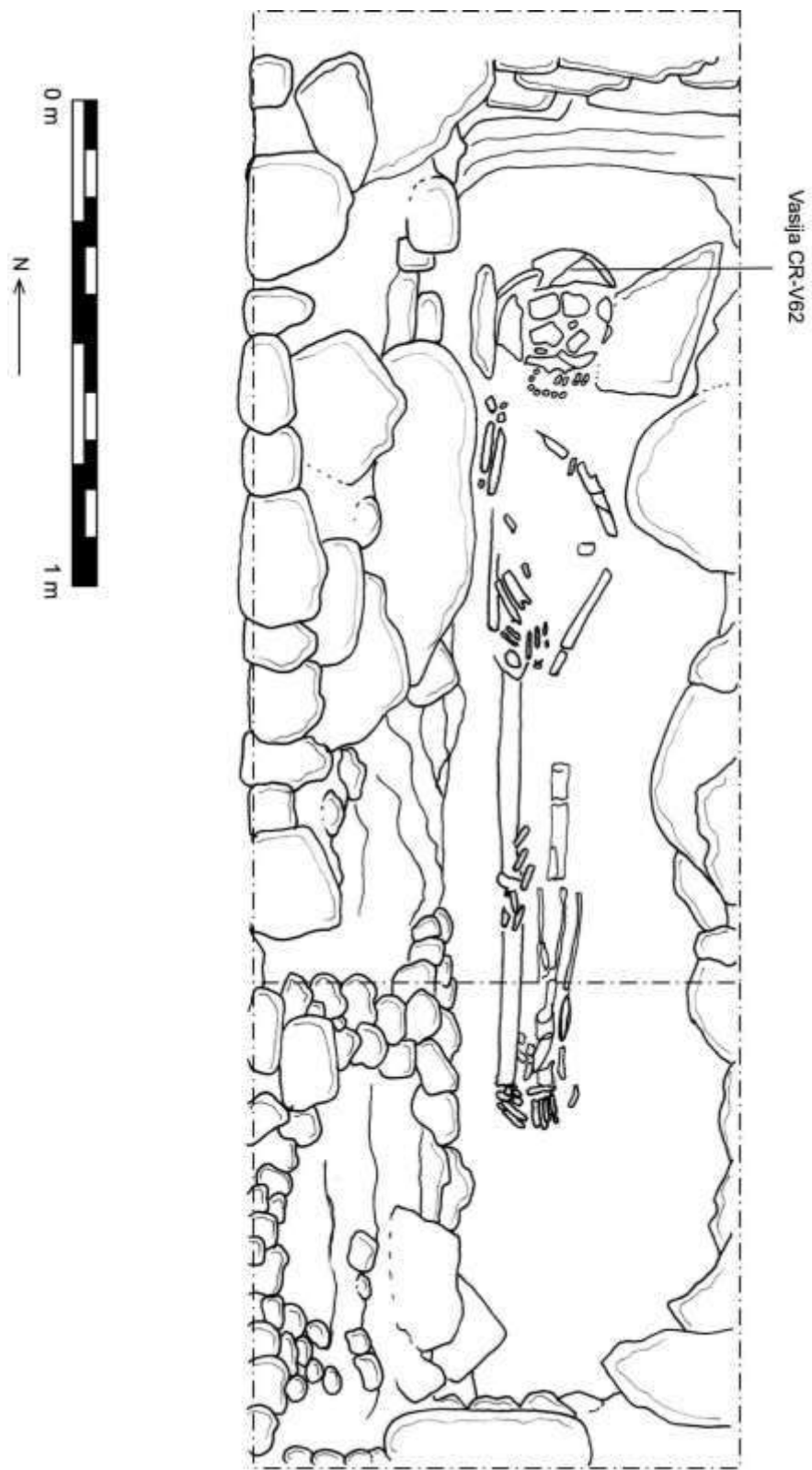


Figura 9.10 Entierro 15, unidades CR116A-1 y CR116A-3
(Dibujo y calco por A. Roche)

Vasija CR-V62



Figura 9.11 Entierro 15, unidades CR116A-1 y CR116A-3
(Foto por A. Roche)

Unidad CR116A-2

Unidad de 2 x 1 m ubicada al oeste de CR116A-1 con orientación norte-sur. Se excavó un total de 7 lotes. En el lote 1 de humus se halló cerámica y obsidiana. El lote 2 fue de tierra café oscura con piedras pequeñas, donde se halló cerámica, hueso de fauna y obsidiana. El lote 3 consistió de tierra café oscura entre piedras grandes, en donde se recuperó bastante material, la mayoría de cerámica, obsidiana y hueso de fauna. El lote 4 contó con tierra café oscura debajo de piedras grandes, hasta la división de piso que se definió en el lote CR116A-3- 4; se halló cerámica, lítica, pedernal y hueso de fauna. El lote 5 estuvo compuesto por arena café oscura que se encontró debajo del piso; se halló gran cantidad de cerámica, concha, obsidiana y pedernal. El lote 6 fue un estrato de arena café con piedras, donde se halló cerámica y pedernal. El lote 7 estuvo compuesto por barro con arena, y por último, el lote 7a fue de barro estéril. Se encontró la mayor cantidad de cerámica en el lote 5, el cual se cree que era un posible basurero. No se hallaron rasgos arquitectónicos. Se alcanzó una profundidad máxima de 1.80 m (Figura 9.12).

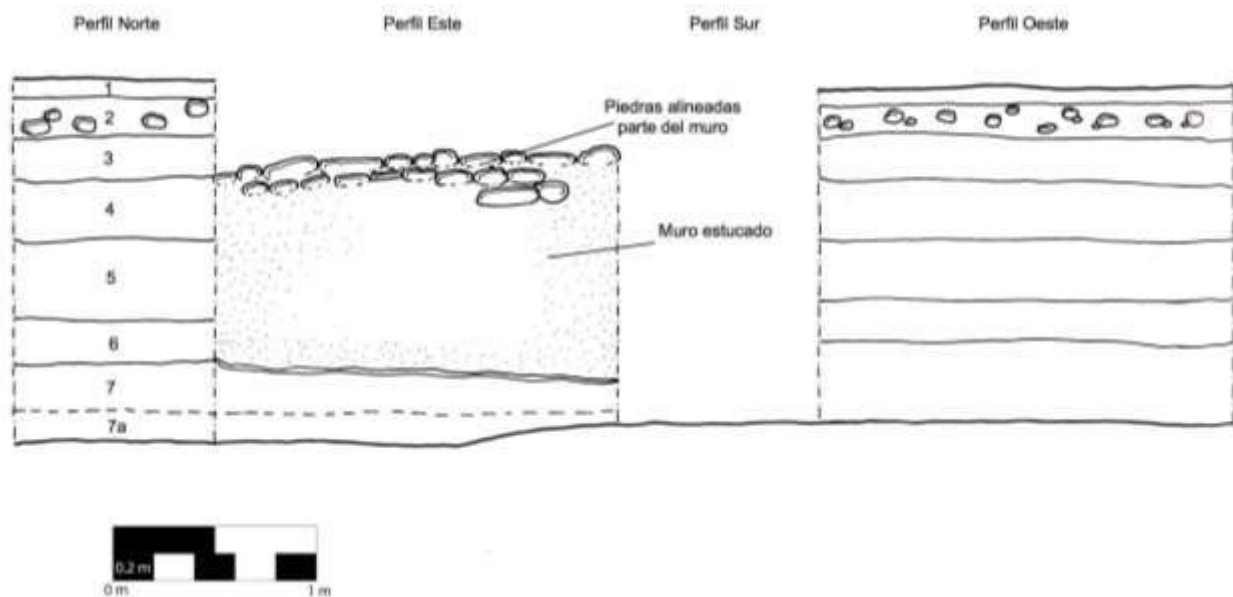


Figura 9.12 Perfiles de la unidad CR116A-2 (Dibujo y calco por A. Roche)

Unidad CR116A-3

Unidad de 1 x1 m ubicada al sur de CR116A-1, con orientación norte-sur. Se continuó la unidad después de extraer el Entierro 15 del lote 4 como una sola unidad (CR116A-1/3). Se

excavaron 3 lotes antes del entierro. El lote 1 de humus contuvo cerámica, mientras que el lote 2 fue de tierra café oscura con piedras grandes, donde se recuperó cerámica, obsidiana y hueso de fauna. El lote 3 se definió entre las piedras grandes y se halló cerámica y obsidiana. En el lote 4 se llegó a un fragmento de piso encima del Entierro 15, entre tierra arenosa café oscura. Se excavó a una profundidad máxima de 0.66 m (Figura 9.13).

La unión de las unidades CR116A-1 y CR116A-3 se denominó CR116A-1/3 y tuvo dimensiones de 3 x 1 m y orientación norte-sur. Después de extraer el Entierro 15 se excavaron 3 lotes después de los 4 lotes excavados en las unidades anteriores. El lote 5 se definió debajo del piso y tuvo tierra café oscura con piedra pequeña blanca; se halló cerámica, pedernal, obsidiana y hueso posiblemente todavía parte del entierro. El lote 6 fue de arena café clara con piedra pequeña, y se halló gran cantidad de cerámica, obsidiana, pedernal, hueso y concha. El lote 7 fue de lodo café oscuro con piedras pequeñas; se halló cerámica, pedernal y fragmentos de hueso de fauna. El lote 7a fue barro estéril. Se encontró gran cantidad de cerámica en el lote 6, el cual posiblemente era un basurero. Se alcanzó una profundidad máxima de 1.76 m (Figuras 9.9 y 9.13).

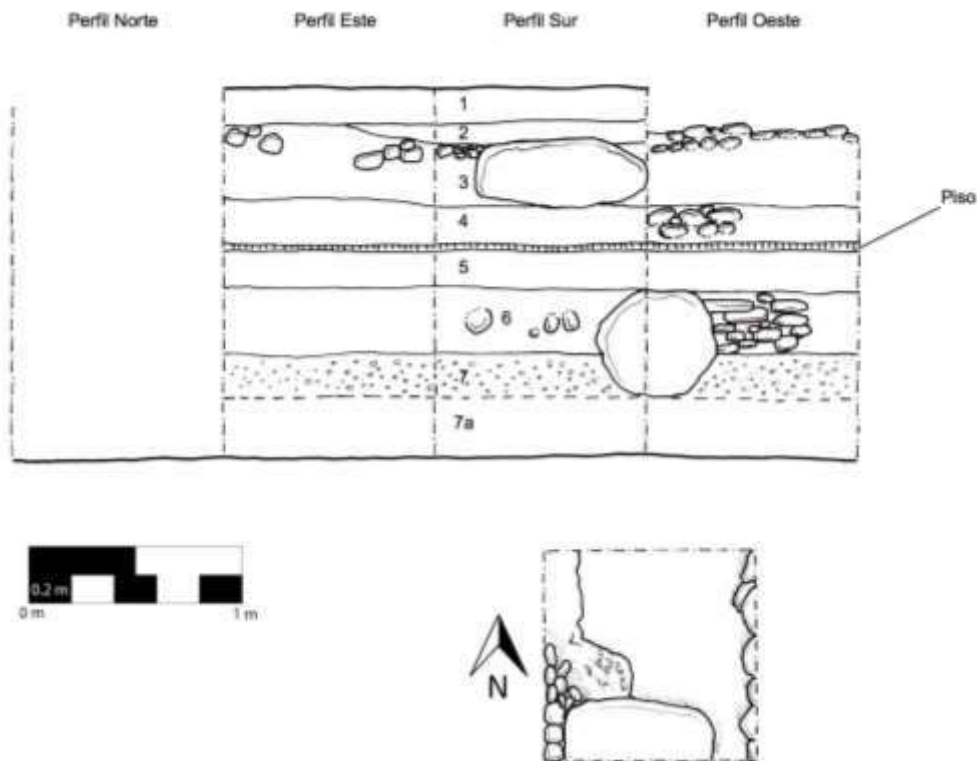


Figura 9.13 Perfiles y planta de la unidad CR116A-3 (Dibujo y calco por A. Roche)

Unidad CR116A-4

Unidad de 2 x 1 m que siguió el muro al este de la unidad, al igual que en CR116A-2. El pozo se localizó contiguo al sur de la unidad CR116A-2, con orientación norte-sur. Puede ser un posible cuerpo más antiguo, con basurero como relleno. Se excavó un total de 6 lotes. El lote 1 fue de humus y se halló cerámica. El lote 2 tuvo tierra café oscura con piedras pequeñas y material cerámico. El lote 3 también fue de tierra café oscura debajo de la capa de piedras pequeñas y se halló cerámica, hueso de fauna y obsidiana. El lote 4 consistió en un piso, mientras que el lote 4a se definió debajo del piso, compuesto de tierra arenosa color gris, donde se halló cerámica y obsidiana. El lote 5 fue de arena café oscura con cerámica y carbón, y el lote 6 de arena con piedras, donde se recuperó con material cerámico, pedernal, hueso de fauna, obsidiana, concha y una figurilla. Finalmente se llegó a barro estéril café oscuro con piedras. Se encontró gran cantidad de material de 1.06 m a 1.6 m (lote 6), posible basurero. Se excavó una profundidad máxima de 1.76 m (Figura 9.14).

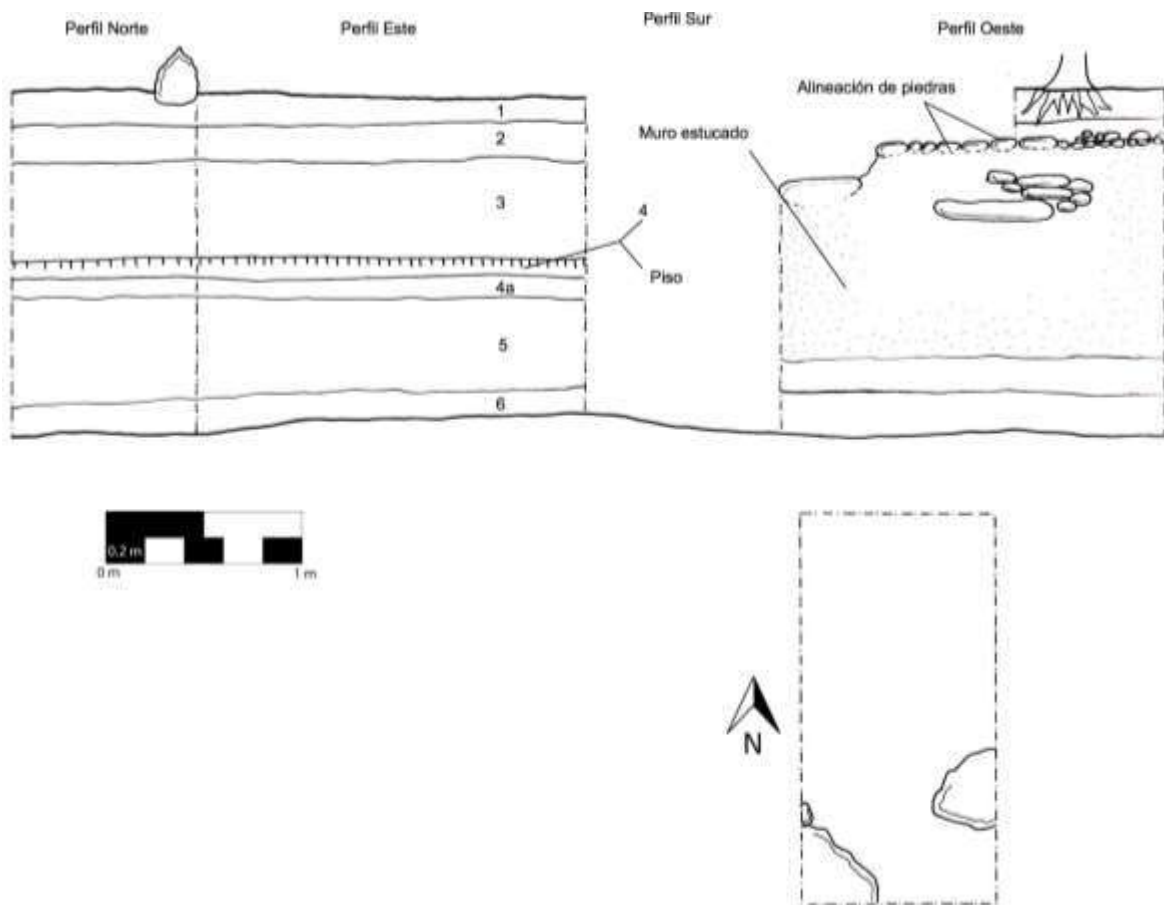


Figura 9.14 Perfiles y planta de la unidad CR116A-4 (Dibujo y calco por A. Roche)

Suboperación CR116B: excavaciones sobre la Estructura 13R-43

La suboperación CR116B consistió en excavaciones encima de la Estructura 13R-43, ubicada al noreste. Las 3 primeras unidades se alinearon en un eje este-oeste y la última unidad se localizó fuera de la estructura en la parte trasera (Figura 9.15).

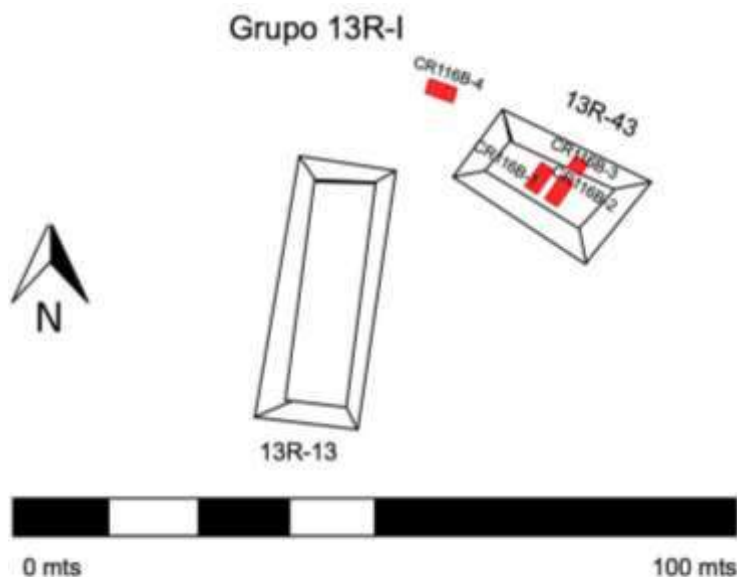


Figura 9.15 Suboperación CR116B (Tomado de Guzmán 2012, editado por A. Roche)

Unidad CR116B-1

Unidad de 2 x 1 m ubicada encima de la Estructura 13R-43 y con orientación este-oeste. Se excavó un total de 6 lotes (Figura 9.16). El lote 1 fue de humus, mientras que el lote 2 estuvo compuesto por tierra café oscura. En el lote 3 se encontró un piso a 0.42 m y el lote 3a se definió debajo del piso, con un relleno de tierra café con piedra blanca. El lote 4 tuvo tierra café oscura; el lote 5 con tierra color ocre/amarillo oscuro; y finalmente el lote 6 de tierra color ocre pálido. En general se halló cerámica, obsidiana, hueso y pedernal. Al final de esta unidad se encontraron huesos de mano humana, por lo que se extendió otra unidad al sur, CR116B-2, y otra unidad al este, CR116B-3. El Entierro 14 se definió entonces en lote 6 de las tres unidades, ubicado abajo de piso, entre relleno de construcción y relleno natural (Figura 9.18 y 9.19). No tenía ninguna construcción asociada más que una posible cista parcial de la pelvis hacia arriba (Figura 9.17). La sepultura estaba llena de tierra y con una orientación hacia el este, midiendo 0.4 m de ancho, 1.5 m de largo y 0.15 m de altura, con la cabeza orientada hacia el este y cara hacia el oeste. No tenía artefactos asociados. Se encontró en un contexto primario (huesos articulados) y en buenas

condiciones del fémur hacia abajo. Su posición fue cúbito supina extendida, manos entre cadera, cabeza viendo hacia el oeste y pies juntos. No se encontró el húmero izquierdo en la posición anatómica pero posiblemente este fue el hueso que se encontró detrás del cráneo. Se cree que la estructura 13R-43 era una plataforma construida sobre una elevación natural del terreno. Se alcanzó una profundidad máxima de 1.3 m.

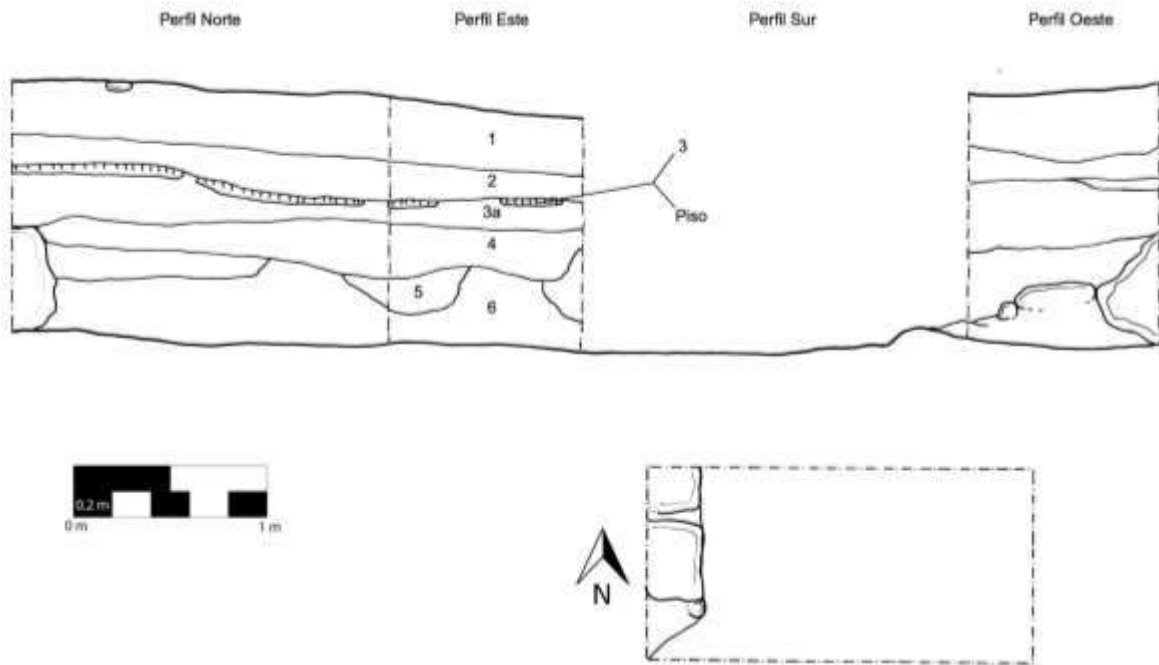


Figura 9.16 Perfiles y planta unidad CR116B-1 (Dibujo y calco por A. Roche)



Figura 9.17 Entierro 14, unidades CR116B-1, CR116B-2 y CR116B-3 (Fotografía por A. Roche)



Figura 9.18 Entierro 14. Unidades CR116B-1, CR116B-2 y CR116B-3 (Foto por A. Roche)

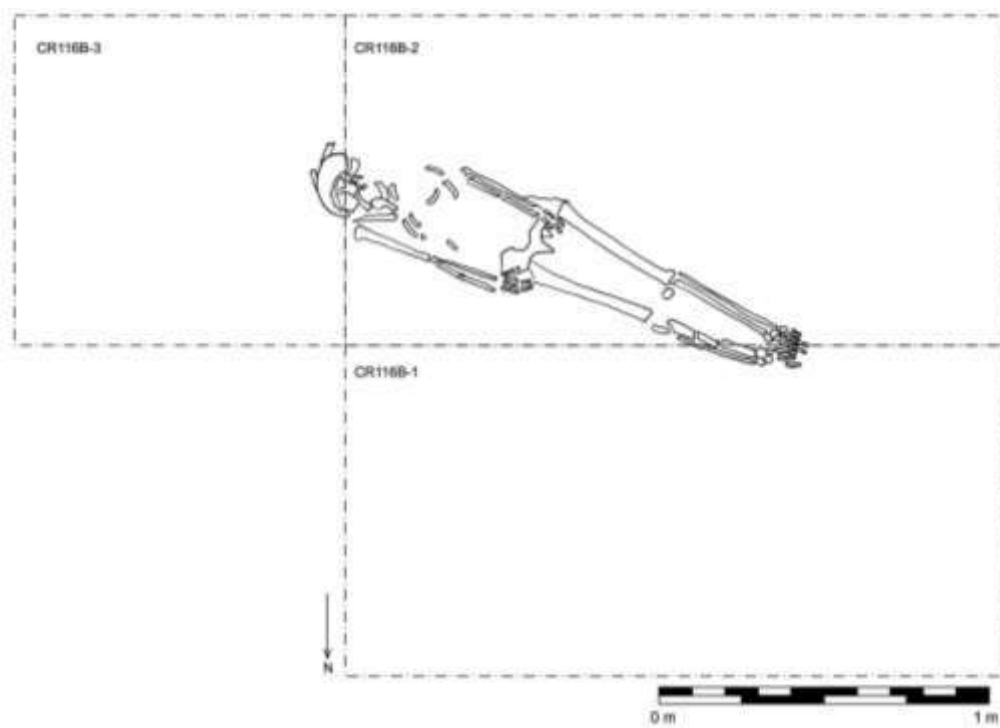


Figura 9.19 Entierro 14, unidades CR116B-1, CR116B-2 y CR116B-3 (Dibujo y calco por A. Roche)

Unidad CR116B-2

Ampliación al sur de la unidad CR116B-1 con orientación este-oeste, de 2 x 1 m. Se excavó un total de 6 lotes. En el lote 1 de humus se halló cerámica. El lote 2 fue de tierra café oscura y solamente se halló cerámica. En el lote 3 se halló el mismo piso de la unidad CR116B-1, pero en mal estado, sólo fragmentos. El lote 3a se definió debajo del piso, compuesto por relleno de piedra café oscura con piedras blancas y se recuperó material cerámico y obsidiana. El lote 4 tuvo tierra café oscura y se halló cerámica, obsidiana y hueso. El lote 5 fue de tierra ocre y contuvo cerámica, obsidiana y hueso. El lote 6 fue de tierra ocre clara y dura; se halló cerámica, pedernal y obsidiana. En general se recuperó una cantidad moderada de cerámica y se alcanzó una profundidad máxima de 1.1 m hasta alcanzar tierra estéril dura de color ocre claro (Figura 9.20).

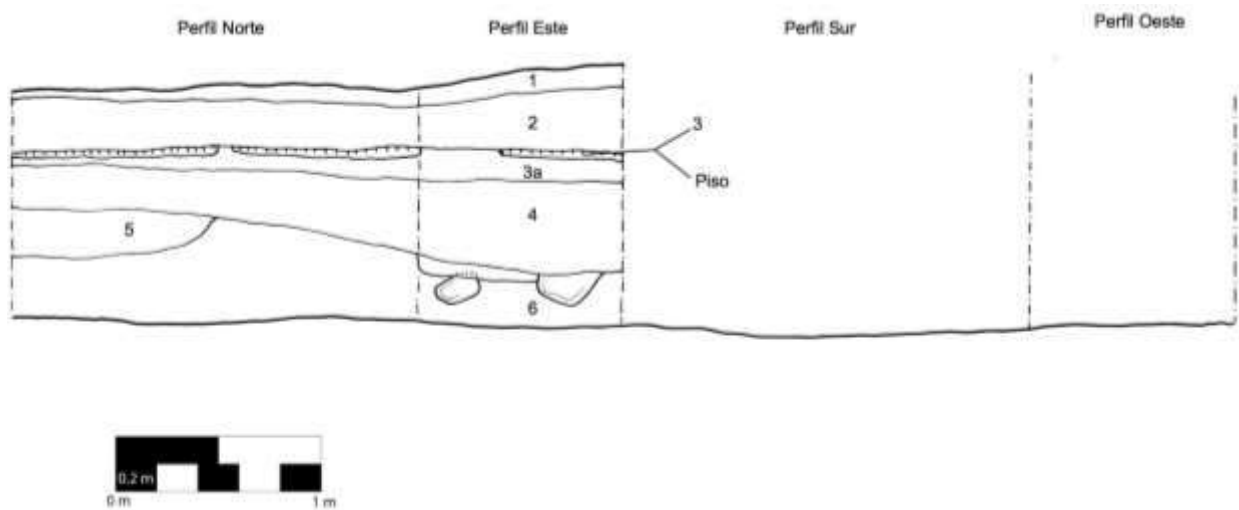


Figura 9.20 Perfiles de la unidad CR116B-2 (Dibujo y calco por A. Roche)

Unidad CR116B-3

Extensión de 1 x 1 m hacia el este de CR116B-2, con orientación este-oeste. Se excavó un total de 4 lotes. El lote 1 de humus no tuvo material, mientras que en el lote 2 de tierra café oscura se halló cerámica y obsidiana. El lote 3 fue de tierra café amarillenta oscura y con material cerámico, obsidiana y lítica. El lote 4 fue un estrato café amarillento mezclado con tierra café amarillenta clara; tuvo cerámica y un fragmento de hueso. Se alcanzó una profundidad máxima de 1.2 m hasta alcanzar suelo estéril (Figura 9.21).

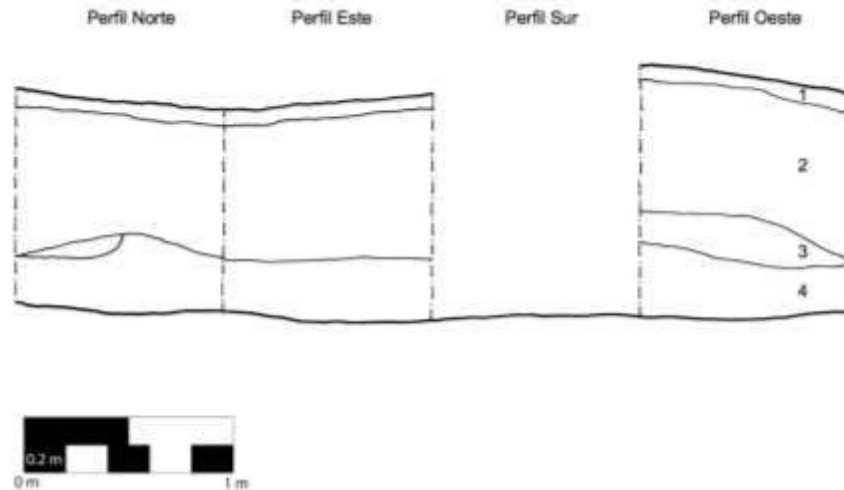


Figura 9.21 Perfiles de la unidad CR116B-3 (Dibujo y calco por A. Roche)

Unidad CR116B-4

Unidad localizada hacia el norte, en la parte trasera de la estructura 13R-13 y con orientación noreste. Se excavó un total de 5 lotes. En el lote 1 de humus se halló cerámica. El lote 2 fue de tierra café oscura y produjo algo de cerámica. El lote 3 tuvo tierra café amarillenta y se halló cerámica y una figurilla. El lote 4 fue de tierra café oscura amarillenta, con material cerámico. Finalmente el lote 5 de tierra café amarillenta clara tuvo una pequeña cantidad de cerámica. En general se encontró una cantidad moderada de material y no se hallaron rasgos arquitectónicos. Se alcanzó una profundidad máxima de 1.1 m hasta alcanzar suelo estéril (Figura 9.22).

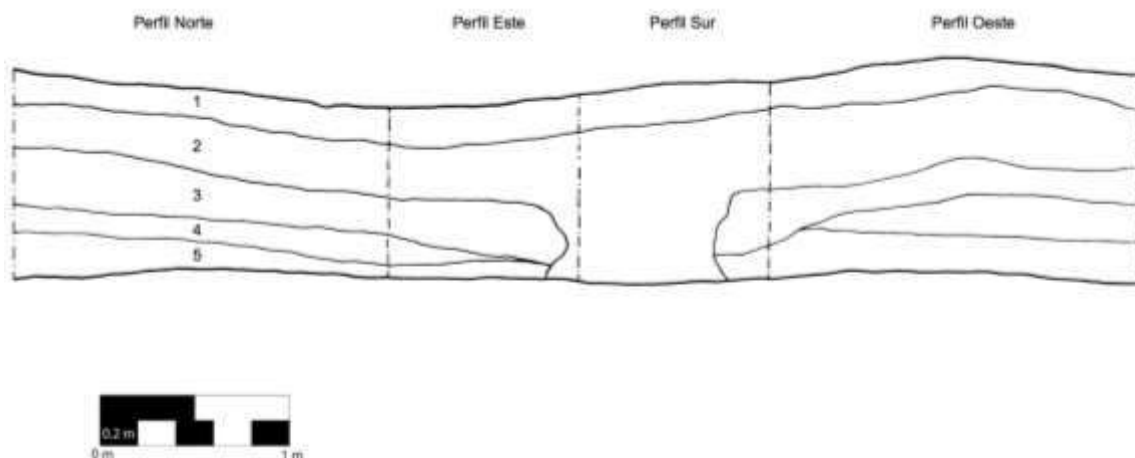


Figura 9.22 Perfiles de la unidad CR116B-4 (Dibujo y calco por A. Roche)

Conclusiones

Después de las excavaciones realizadas en las estructuras 13R-13, 13R-43 y la plaza localizada entre ambas, se llegó a la conclusión que el área pudo haber sido un área de servicio para el área del Grupo Coronitas. La Estructura 13R-43 posiblemente era una plataforma construida sobre una elevación natural del terreno. El Entierro 14 encontrado en esta plataforma, sin ninguna ofrenda, fue posiblemente la ofrenda para la construcción de la misma. El otro entierro, encontrado en la unidad CR116A de la Estructura 13R-13, fue posiblemente una de las personas dedicadas al servicio, ya que no tenía más ofrenda que un plato en la cabeza y estaba colocado encima de un basurero que posiblemente era el relleno entre estructuras anteriores. Por último, las excavaciones en la plaza mostraron varios pisos y una pequeña estructura o altar de piedras estucadas, de la cual no se pudo identificar una forma definida ni uso específico. No se continuó excavando cerca de la estructura estucada debido a que, como se mencionó anteriormente, el objetivo de las excavaciones no era la comprensión de la arquitectura (Figura 9.23). En general en la plaza se encontró mucho material pero es recomendable realizar más excavaciones en el grupo para tener una mejor visión.

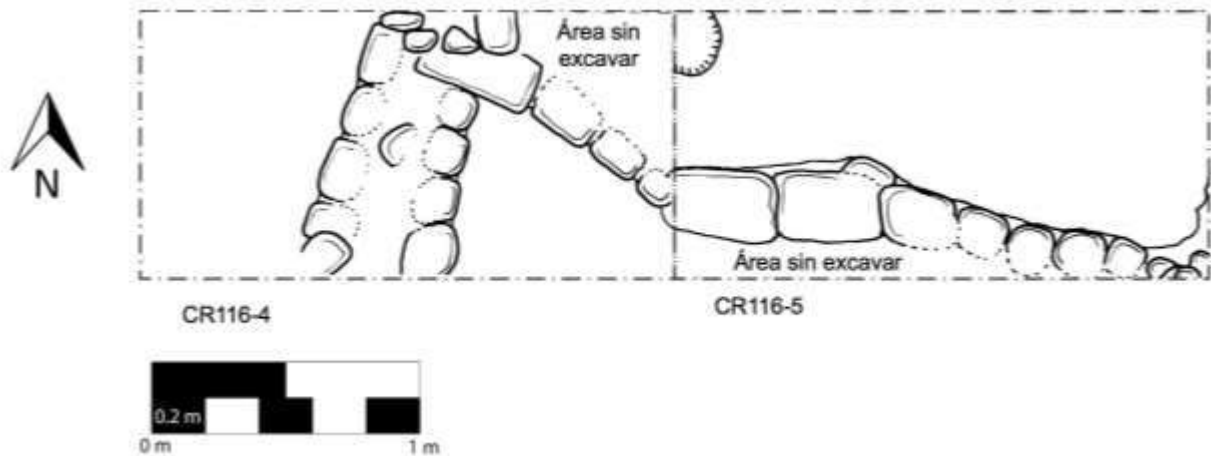


Figura 9.23 Estructura estucada de piedra, unidades CR116-4 y CR116-5 (Dibujo por A. Roche)

CAPÍTULO X

OPERACIÓN CR120: EXCAVACIONES EN EL GRUPO 12R-II, ESTRUCTURA 12R-9

Alejandra Roche Recinos

Introducción

Las excavaciones de la Operación CR120A se realizaron en el Grupo 12R-II. Se tuvo como objetivo hallar basureros en contexto residencial de élite y con fechamiento para inicios del Clásico Tardío, para la obtención de material lítico. La metodología utilizada consistió en unidades de excavación de 2 x 1 m para lograr cubrir mayor terreno y tener más posibilidad de encontrar basureros. Por la limitación del tiempo, se decidió excavar sólo una estructura de las cuatro que son parte del grupo, la Estructura 12R-9. Las unidades se realizaron en su parte trasera y al final se excavó un total de 7 pozos (Figura 10.1).

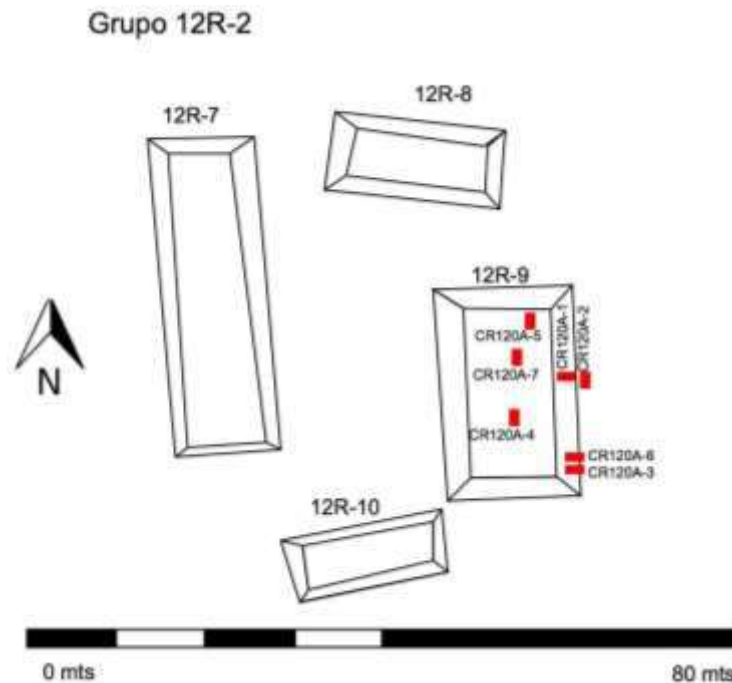


Figura 10.1 Localización de la Suboperación CR120A (Tomado de Marken 2008, editado por A. Roche)

Unidad CR120A-1

Unidad de 2 x 1 m localizada en la parte trasera de la Estructura 12R-9, con orientación este-oeste. Se excavó un total de 3 lotes. El lote 1 de humus tuvo cerámica, obsidiana y pedernal;

el lote 2 de tierra café rojiza oscura recuperó cerámica, obsidiana y pedernal; y el lote 3 de tierra café rojiza oscura con piedras pequeñas blancas tuvo material cerámico. Se encontró un cuerpo trasero de la estructura (Figura 10.2), pero como no se tenía interés en exponer arquitectura, no se excavó más allá. Se alcanzó una profundidad máxima de 0.66 m (Figura 10.3).



Figura 10.2 Cuerpo posterior de la Estructura 12R-9, unidad CR120A-1 (Fotografía por A Roche)

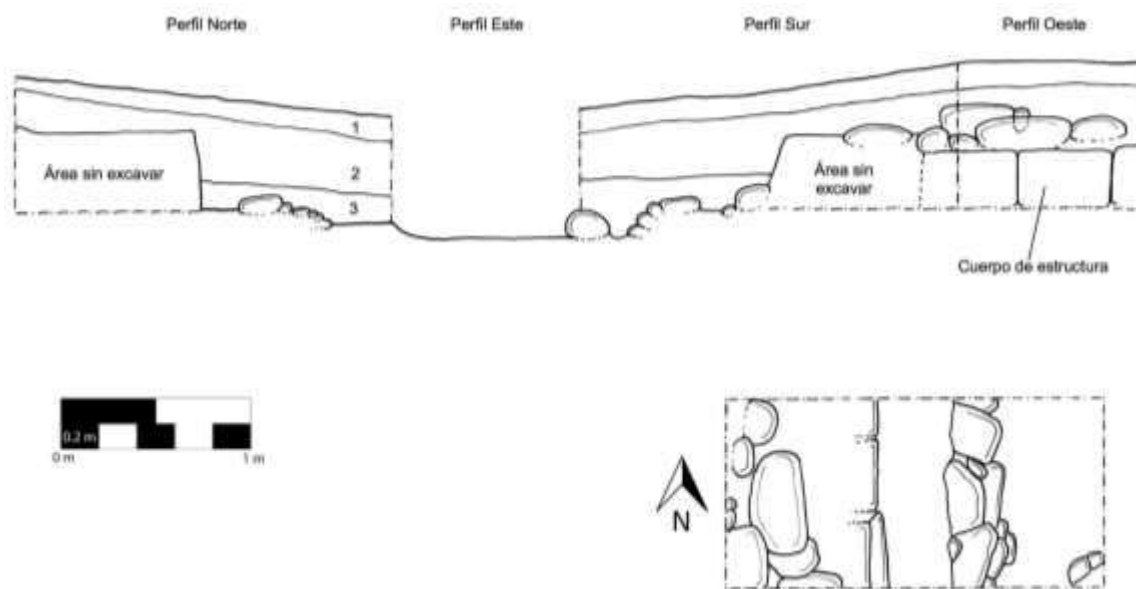


Figura 10.3 Perfiles y planta de la unidad CR120A-1 (Dibujo y calco por A. Roche)

Unidad CR120A-2

Unidad de 2 x 2 m ubicada al este de CR120A-1, con orientación norte-sur. Se excavó un total de 4 lotes. El lote 1 de humus tuvo solo material cerámico, mientras que el lote 2 de tierra café rojiza oscura, tuvo cerámica, pedernal, dos hachuelas de piedra verde y obsidiana. El lote 3 fue de tierra café rojiza oscura, con las mismas piedras pequeñas que fueron removidas en la unidad CR120A-1. El lote 4 fue de tierra café rojiza mezclada con piedras blancas, hasta llegar a suelo blancuzco duro y estéril. Solo se halló cerámica en los últimos dos lotes y no se hallaron rasgos arquitectónicos. Se alcanzó una profundidad máxima de 0.88 m (Figura 10.4).

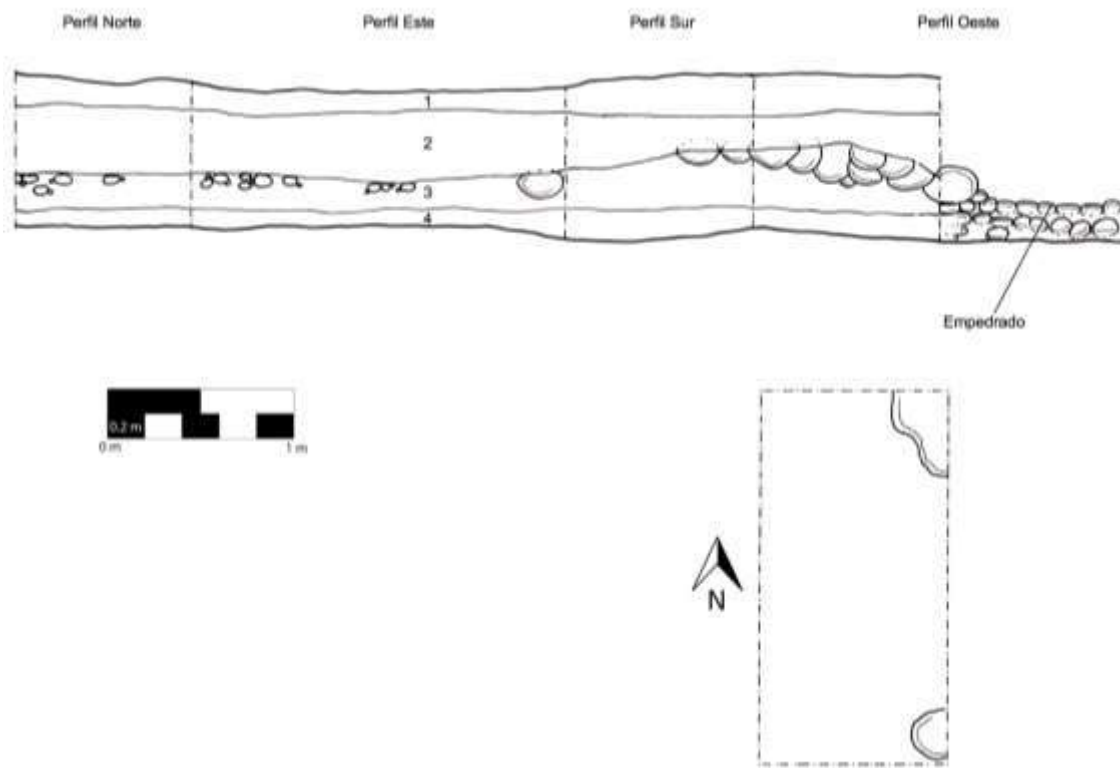


Figura 10.4 Perfiles y planta de la unidad CR120A-2 (Dibujo y calco por A. Roche)

Unidad CR120A-3

Unidad de 2 x 2 m ubicada cerca de la esquina sureste de la Estructura 12R-9, con orientación este-oeste. Se excavó un total de 5 lotes. El lote 1 de humus tuvo cerámica y obsidiana. El lote 2 fue de tierra café rojiza hasta llegar a piedras (lote de 0.08 m de altura) y se halló cerámica y pedernal. El lote 3 tuvo tierra café rojiza oscura entre piedras de derrumbe grandes, y se encontró el inicio de un cuerpo a 0.52 m de la superficie. El lote 4 fue de tierra café

rojiza oscura y se definió debajo de las piedras; se encontró variedad de material por lo que se cree que pudo ser un pequeño basurero, ya que incluyó cerámica, pedernal, 3 figurillas, obsidiana, un fragmento de lítica tallada, concha y hueso de fauna. Por último el lote 5 fue de tierra café rojiza oscura con piedra blanca, y se halló cerámica, pedernal, obsidiana y hueso de fauna. Se alcanzó una profundidad máxima de 0.74 m hasta llegar a suelo estéril (Figura 10.5).

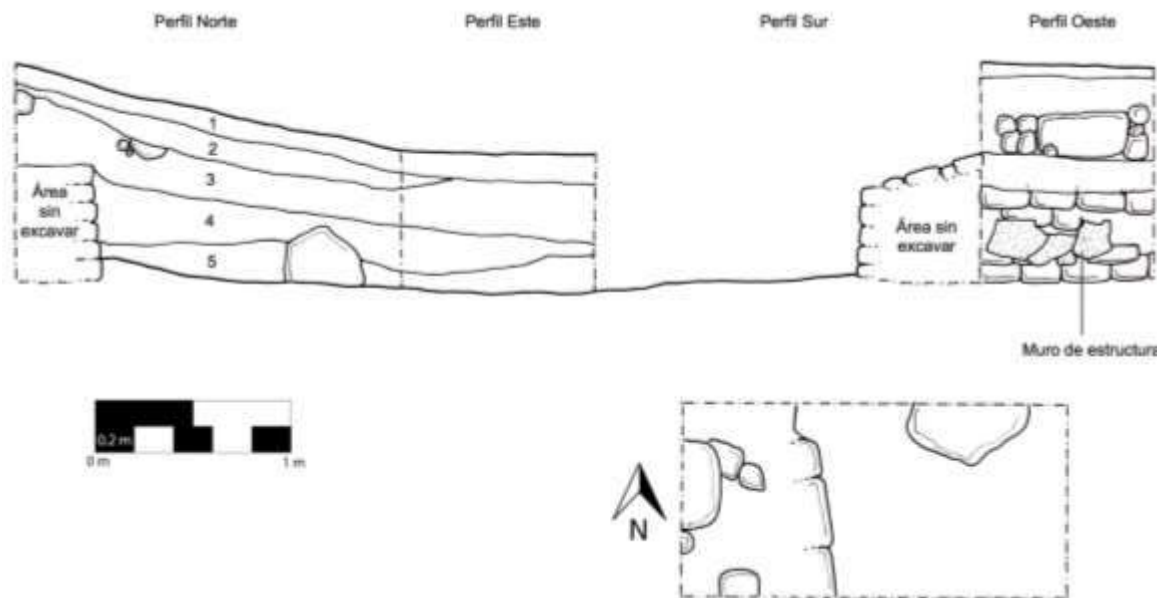


Figura 10.5 Perfiles y planta de la unidad CR120A-3 (Dibujo y calco por A. Roche)

Unidad CR120A-4

Unidad de 2 x 1 m ubicada en la parte más alta de la Estructura 12R-9, con una orientación de norte a sur. Se excavó un total de 5 lotes. El lote 1 de humus no tuvo material, mientras que el lote 2 de tierra café oscura con piedras tuvo cerámica, pedernal, concha y lítica. El lote 3 de tierra café amarillenta clara tuvo cerámica y obsidiana. El lote 4 fue un piso encontrado de 0.9 a 1.04 m de la superficie, el cual solamente se vio en el perfil sur de la unidad. Bajo éste se halló cerámica, obsidiana, fragmentos de mano de moler, concha y pedernal. En el lote 5 de tierra café arenosa se halló un muro, así como material cerámico, pedernal, obsidiana, una figurilla y un hueso de fauna. El lote 5a estuvo compuesto por barro arenoso estéril. En el interior de la Estructura 12R-9 se llegó a un piso, y bajo éste se encontró un muro al este y norte de la unidad, posiblemente parte de un cuerpo más antiguo. Se alcanzó una profundidad máxima de 2 m (Figura 10.6).

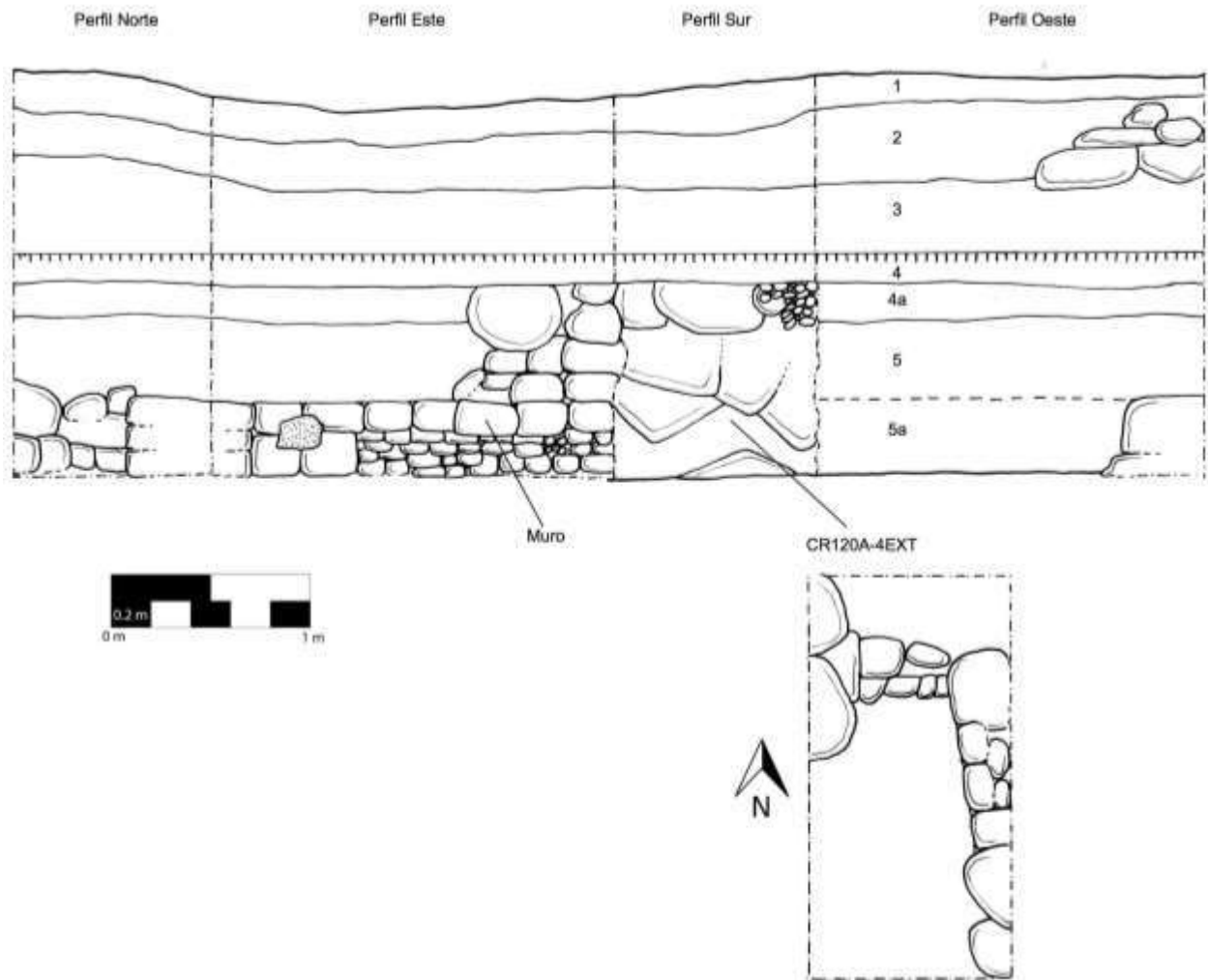


Figura 10.6 Perfiles y planta de las unidades CR120A-4 y CR120A-4EXT (Dibujo y calco por A. Roche)

Unidad CR120A-4 EXT

Extensión al sur de CR120A-4, de 1 x 1.08m (Figura 10.6). Esta ventana se realizó debajo del piso en el perfil sur de la unidad CR120-4 y se llegó a un muro con orientación este-oeste (Figura 10.7). Todo el material se etiquetó como un solo lote (lote 5 de la unidad CR120-4). El lote consistió de tierra café clara arenosa y se encontró mucho material: 363 tiestos de cerámica, pedernal, concha y obsidiana. Se alcanzó una profundidad máxima de 0.9 m hacia el sur.



Figura 10.7 Unidad CR120A-4EXT (Foto por A. Roche)

Unidad CR120A-5

Unidad de 2 x 1 m con orientación norte-sur, localizada sobre la fachada este de la Estructura 12R-9, en lo que pareciera ser un descanso. Se excavó un total de 4 lotes. El lote 1 de humus contuvo cerámica. En el lote 2 de tierra café rojiza oscura se encontró material cerámico, lítico y obsidiana. El lote 3 fue de tierra café rojiza oscura entre piedras y tuvo material cerámico. Finalmente el lote 4 fue un estrato de tierra café rojiza oscura mezclada con material blanco, donde todavía se recuperó material cerámico. No se encontró ningún rasgo arquitectónico y se alcanzó una profundidad máxima de 1.06 m hasta alcanzar suelo estéril (Figura 10.8).

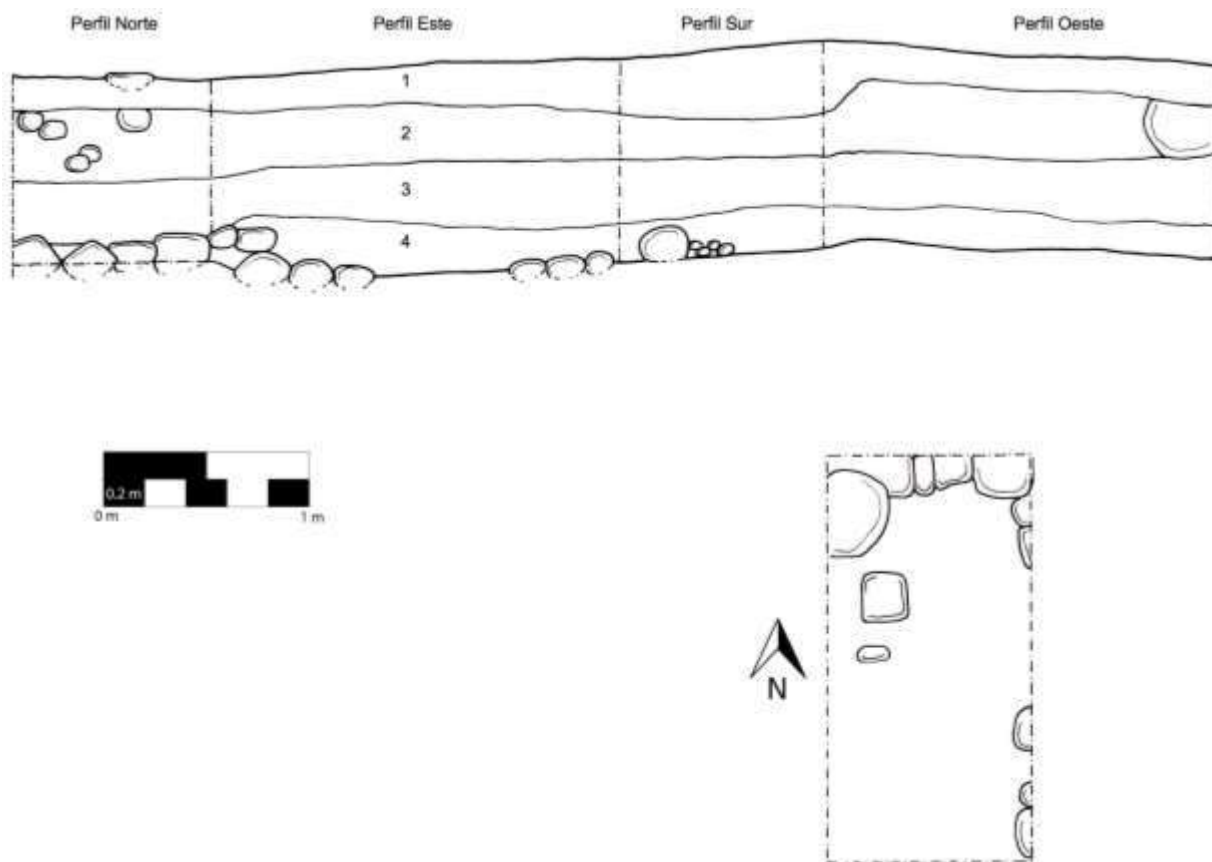


Figura 10.8 Perfiles y planta de la unidad CR120A-5 (Dibujo y calco por A. Roche)

Unidad CR120A-6

Unidad de 2 x 1 m localizada al sur de CR120A-3 con orientación este-oeste. Se excavó un total de 4 lotes. El lote 1 de humus tuvo cerámica y obsidiana, mientras que el lote 2 de tierra café rojiza oscura tuvo cerámica y pedernal. El lote 3 fue de tierra café rojiza oscura entre lo que parecen ser piedras de derrumbe y un posible basurero por la diversidad de material: cerámica, obsidiana, concha, lítica, una figurilla, hueso y pedernal. Finalmente el lote 4 fue de tierra café rojiza oscura con material blanco, donde se recuperó cerámica, hueso de fauna y obsidiana. Se expuso la continuación al sur del cuerpo de la fachada este de la Estructura 12R-9 (hallado en CR120A-3), a 0.52 m de la superficie aproximadamente (Figura 10.9). Se alcanzó una profundidad máxima de 0.69 m hasta llegar a suelo estéril (Figura 10.10).



Figura 10.9 Fachada trasera de la Estructura 12R-9, unidades CR120A-3 y CR120A-6 (Foto por A. Roche)

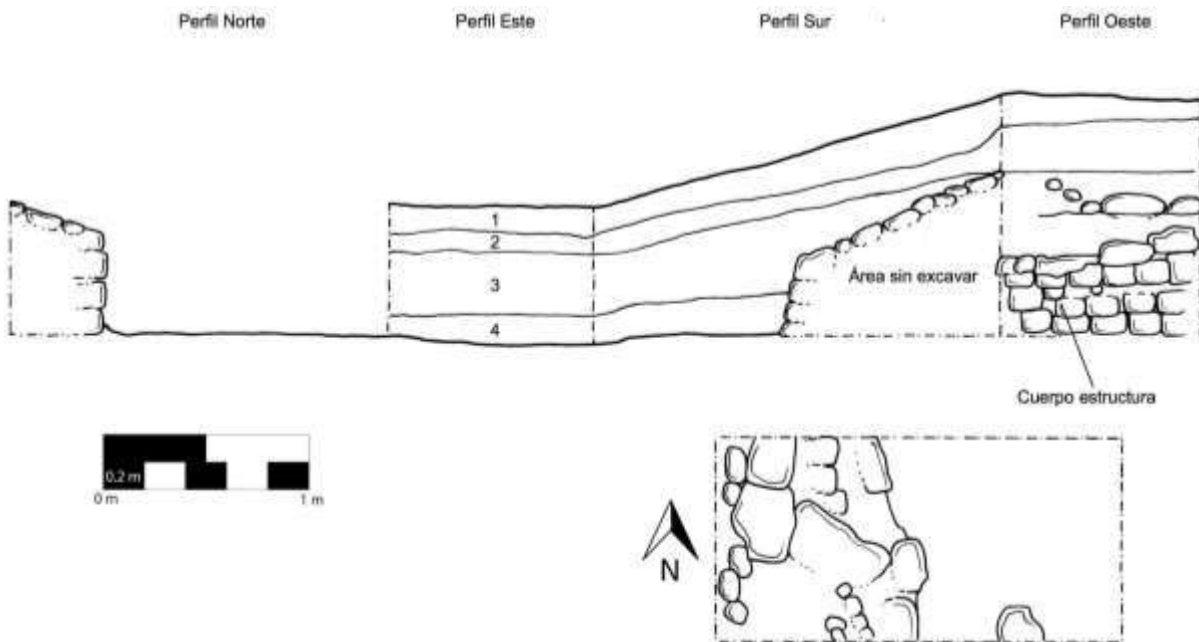


Figura 10.10 Perfiles y planta de la unidad CR120A-6 (Dibujo y calco por A. Roche)

Unidad CR120A-7

Unidad de 2 x 1 m con orientación norte-sur, localizada 2 m hacia el sur y 1 m al oeste de CR120A-5. Se excavó un total de 5 lotes. El lote 1 de humus contuvo cerámica, y el lote 2 de tierra café rojiza oscura produjo cerámica, un fragmento de hueso de fauna y obsidiana. El lote 3 fue de tierra arenosa café claro con material cerámico. El lote 4 estuvo compuesto de tierra café oscura con piedras muy grandes, donde se recuperó material cerámico, pedernal y obsidiana. Finalmente el lote 5 fue de tierra café amarillenta oscura, en donde se halló cerámica, hueso de fauna y lítica hasta llegar a un suelo estéril de caliza. No se halló ningún rasgo arquitectónico. Se alcanzó una profundidad máxima de 1.16 m (Figura 10.11).

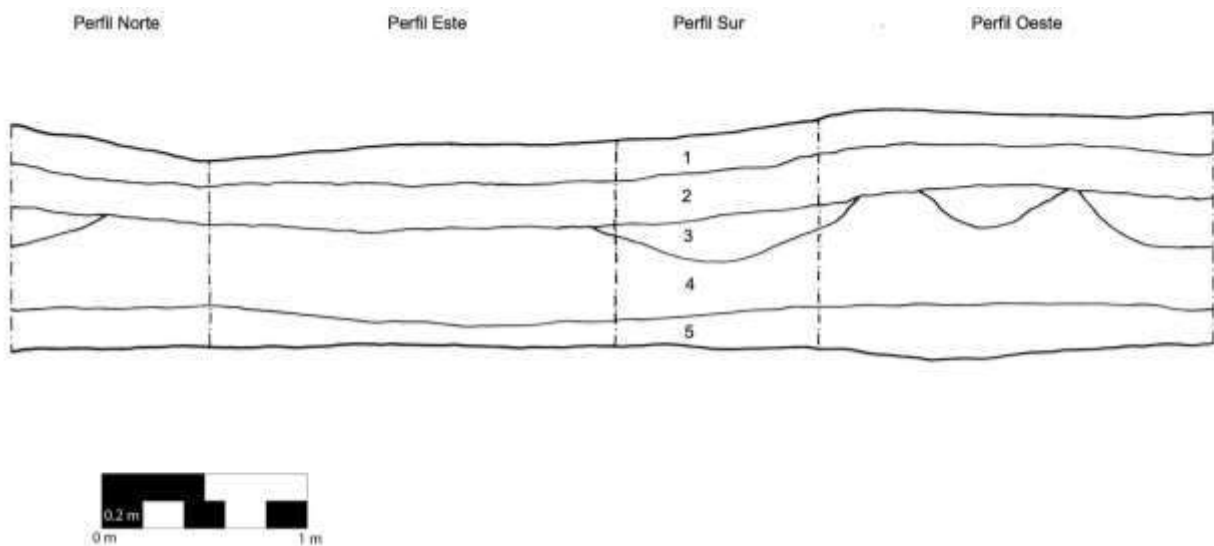


Figura 10.11 Perfiles de la unidad CR120A-7 (Dibujo y calco por A. Roche)

Conclusiones

Después de analizar la información recabada en las excavaciones realizadas en la Estructura 12R-9 se puede concluir que el grupo probablemente era un asentamiento de élite. Esto se puede notar en la presencia de rasgos arquitectónicos formales, por la calidad de la cerámica y en la diversidad de otros materiales como hachas de piedra verde, pedernal café oscuro, figurillas, etc. Sin embargo, es necesario que se lleven a cabo más excavaciones en el área.

CAPÍTULO XI

ANÁLISIS PRELIMINAR DE LAS VASIJAS COMPLETAS, TEMPORADA 2014

Caroline A. Parris

Introducción

Durante la temporada de campo de 2014 se excavaron veintinueve vasijas completas o parcialmente completas en los sitios La Corona y La Cariba. Dichas vasijas fueron recuperadas de una gran cantidad de contextos: depósitos de escondites bajo pisos de plaza, ofrendas dedicatorias asociadas con fases constructivas, y entierros. Estas vasijas poseen diferentes niveles de conservación, los cuales van desde vasijas completas, sin ninguna quebradura y con erosión mínima, hasta vasijas parcialmente completas, altamente fragmentadas y moderadamente erosionadas. Este capítulo presenta un análisis preliminar de estas vasijas, enfocándose en la descripción, tipología y datación tentativa. Más información sobre los contextos y detalles de excavación de cada vasija pueden ser encontrados en los capítulos correspondientes a las excavaciones en este mismo informe.

CR-V048

Procedencia: CR-20F-8-13

Contexto: Entierro 16, Estructura 13Q-4F

Vasijas Asociadas: Ninguna

Descripción: CR-V048 es un cuenco pequeño con paredes ligeramente pintadas; presenta borde directo, labio redondeado y base plana. El exterior presenta un acabado sin engobe con una banda negra a la altura del labio que se extiende hacia el interior. Una segunda banda negra rodea la base en el exterior. Marcas de quemado están presentes tanto en el interior como en el exterior. El grosor de las paredes varía y los rollos con los que se formaron las paredes de la vasija son detectables en las ondulaciones del grosor de las paredes.

Comparaciones:

Smith 1995 Vol. 2, Figura 19c3 (Tepeu 3) –un cuenco de engobe rojo del grupo Tinaja, pero similar en forma y dimensiones.

Culbert 1993, figura 54b2 y 55a2-3 (Complejo Imix) –forma similar, pero tratamiento de superficie distinto.

Grupo: Indeterminado

Tipo: Indeterminado

Variedad: Indeterminada

Fecha Cerámica: Clásico Tardío (Tepeu 2-3)

Foto: Figura 11.1

Perfil: Figura 11.1

Dimensiones:

Diámetro al borde (cm):	12.5
% circunferencia:	83
Diámetro de la base (cm):	9
% circunferencia:	100
Altura (cm):	6.3
Grosor del borde (mm):	4.2
Grosor de la pared (mm):	6.2
Grosor de la base (mm):	5.5
Número de fragmentos:	4
Arqueólogo:	M. Lamoureux-St. Hilaire
Año de Excavación:	2014



Figura 11.1 Foto y perfil de CR-V048 (Fotografía y dibujo por C. Parris)

CRV-049

Procedencia: CR-16C-31-5-7

Contexto: Ofrenda en la Estructura 13R-10

Vasijas Asociadas: CR-V050; CR-V052

Descripción: CR-V049 es un plato policromo con paredes divergentes, borde engrosado en el exterior, labio biselado y base plana. El exterior no posee engobe. El interior posee un baño color crema como base, con engobes color naranja claro y rojo-naranja oscuro, y líneas negras pintadas. Una técnica negativa (de resistividad) fue utilizada para preservar las áreas color crema y naranja claro. Las paredes internas poseen un anillo naranja claro a la altura del borde que se encuentra enmarcado por dos líneas negras. La pared interior se encuentra delineada a altura de la base por una banda enmarcada por dos líneas negras. La pared interna se encuentra dividida en octavos por bandas verticales color crema que presentan zonas alternadas de decoración. Cuatro de las zonas decoradas presentan cuadros de pintura naranja suave sobre un

fondo rojo-naranja con pseudoglifos delineados en negro y relleno de pintura rojo-naranja. El resto de las cuatro zonas contienen pintura rojo-naranja con motivos circulares delineados en negro y pintados en naranja claro. La base en el interior muestra un gran pseudoglifo que recuerda a un glifo tipo-calendárico delineado en negro y pintado en naranja claro, crema y rojo-naranja, todo sobre un fondo rojo-naranja.

<i>Grupo:</i>	Santa Rosa
<i>Tipo:</i>	Santa Rosa Crema Policromo
<i>Variedad:</i>	Negro
<i>Fecha cerámica:</i>	Clásico Tardío.
<i>Fotografía:</i>	Figura 11.2
<i>Perfil:</i>	Figura 11.2
<i>Dimensiones:</i>	
Diámetro al borde (cm):	30
% circunferencia:	100
Diámetro de la base (cm):	21
% circunferencia:	100
Altura (cm):	5.5
Grosor del borde (mm):	7.5
Grosor de la pared (mm):	5.6
Grosor de la base (mm):	4.1
<i>Número de fragmentos:</i>	24
<i>Arqueólogo:</i>	J. Ponce
<i>Año de Excavación:</i>	2014



Figura 11.2 Fotografía y perfil de CR-V049 (Fotografía y dibujo por C. Parris)

CR-V050

Procedencia: CR16C-31-5-7
Contexto: Ofrenda en Estructura 13R-10
Vasijas Asociadas: CR-V049; CR-V052

Descripción: CR-V050 es un cuenco de paredes pintadas, borde directo, labio redondeado, base ligeramente redondeada y con decoración polícroma tanto en el interior como en el exterior. Las paredes internas y externas se encuentran decoradas con un engobe naranja claro, y se encuentran expuestos bajo un engobe rojo mediante una técnica negativa (de resistividad). Pintura negra acentúa la decoración. La base interior muestra un pseudoglifo que se asemeja a un glifo calendárico delineado con líneas negras y acentuadas con secciones pintadas en crema, naranja claro y rojo-naranja. Las paredes interiores y exteriores se encuentran divididas en ocho secciones por bandas verticales color crema. Cuatro secciones, alternadas, exhiben pseudoglifos delineados en negro y rellenos con engobe rojo-naranja sobre cuadros naranja claro en una zona de engobe rojo-naranja. Las cuatro secciones restantes no presentan decoración con engobe rojo-naranja en el interior, con las secciones exteriores correspondientes con “X” pintadas en naranja claro y delineadas en negro sobre un fondo de engobe rojo-naranja. La vasija se encuentra “matada” con un agujero localizado cerca del centro de la vasija, el cual fue creado punzando la vasija desde el exterior

Grupo: Santa Rosa
Tipo: Santa Rosa Crema Policromo
Variedad: Negra
Fecha cerámica: Clásico Tardío
Fotografía: Figura 11.3
Perfil: Figura 11.4

Dimensiones:

Diámetro al borde (cm):	28
% circunferencia:	36
Diámetro de la base (cm):	~20
% circunferencia:	Indeterminado
Altura (cm):	5
Grosor del borde (mm):	5.8
Grosor de la pared (mm):	6.3
Grosor de la base (mm):	5.7 (dentro del anillo); 6.5 (fuera del anillo)
Diámetro del agujero “matado”:	8.0 mm

Número de fragmentos: 33
Arqueólogo: J. Ponce
Año de Excavación: 2014

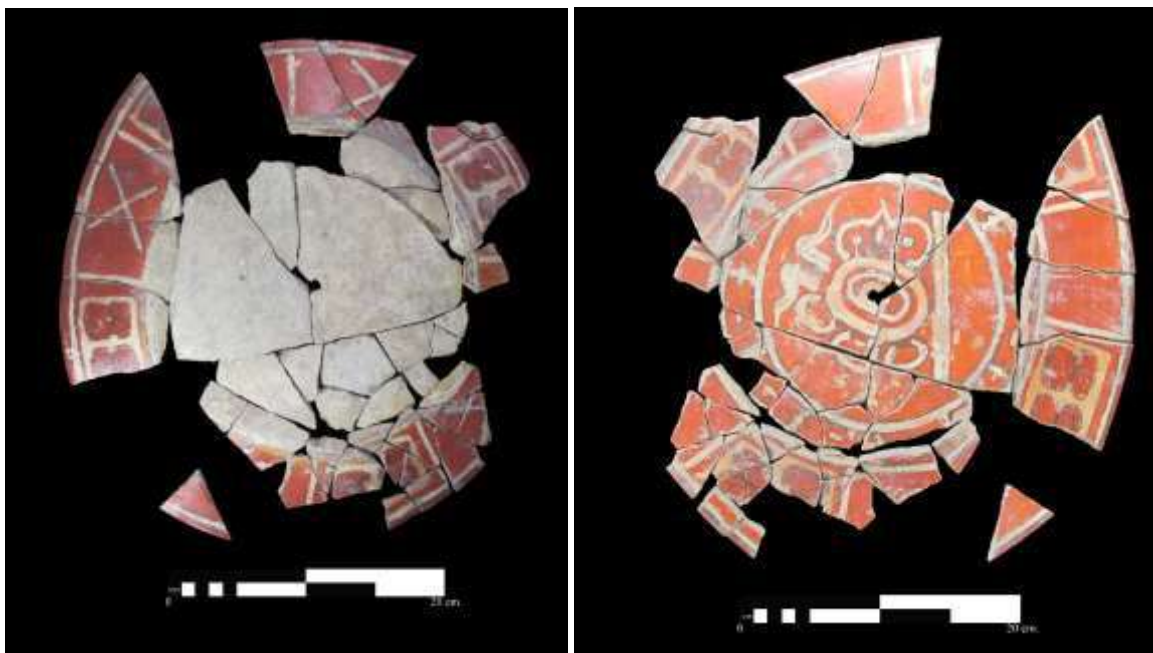


Figura 11.4 Fotografía de CR-V050. Izquierda: interior. Derecha: exterior (Fotografías por C. Parris)



Figura 11.5 Perfil de CR-V050 (dibujo por C. Parris)

CR-V051

Procedencia:

CR200-1-2

Contexto:

Entierro 17, sobre mano derecha del individuo, Estructura 13Q-40

Vasijas Asociadas: CR-V053

Descripción: CR-V051 es un plato de paredes pintadas con borde engrosado en el exterior, labio redondeado y base ligeramente redondeada. El exterior se encuentra sin engobe. El interior presenta engobe naranja con pintura roja y negra. Una banda roja circunda la vasija a altura del labio y un diseño ("Elemento La Corona") está pintado en negro en la base interior. Un pequeño parche de pintura azul se encuentra presente en una porción de la pared interior.

Grupo: Saxche-Palmar
Tipo: Saxche-Palmar Naranja Policromo
Variedad: Indeterminada
Fecha cerámica: Clásico Tardío
Fotografía: Figura 11.6
Perfil: Figura 11.6
Dimensiones:
 Diámetro al borde (cm): 21
 % circunferencia: 100
 Diámetro de la base (cm): 14
 % circunferencia: 100
 Altura (cm): 4.3
 Grosor del borde (mm): 7.3
 Grosor de la pared (mm): 4.5
 Grosor de la base (mm): 6.3
Número de fragmentos: 2
Arqueólogo: E. Bustamante
Año de Excavación: 2014



Figura 11.6 Fotografía y perfil de CR-V051 (Fotografía por C. Parris)

CR-V052

Procedencia: CR16C-31-5-7
Contexto: Ofrenda en Estructura 13R-10
Vasijas Asociadas: CR-V049; CR-V050

Descripción: CR-V052 es un cilindro con paredes verticales, de borde directo, labio redondeado y base plana. El interior carece de engobe. El exterior presenta engobe naranja sobre un engobe naranja-crema. El exterior se encuentra decorado con pintura roja, negra y gris. Esta decoración consiste en una banda roja a altura del labio, con el borde inferior negro. Dos bandas negras pintadas a altura de la base enmarcan la parte baja de la pared de la vasija. La mayor parte de la pared exterior presenta una imagen delineada en negro y acentuada con rojo y gris. La imagen es el "Trono Tiburón", uno de los tres tronos asentados al principio de la creación (Marc Zender, comunicación personal 2014).

Grupo: Saxche-Palmar
Tipo: Saxche-Palmar Naranja Policromo
Variedad: Indeterminada
Fecha cerámica: Clásico Tardío
Fotografía: Figura 11.7
Perfil: Figura 11.7

Dimensiones:

Diámetro al borde (cm):	11
% circunferencia:	89%
Diámetro de la base (cm):	11
% circunferencia:	71%
Altura (cm):	16
Grosor del borde (mm):	3.6
Grosor de la pared (mm):	4
Grosor de la base (mm):	4.4

Número de fragmentos: 25
Arqueólogo: J. Ponce
Año de Excavación: 2014



Figura 11.7 Fotografía y perfil de CR-V052 (Fotografía por C. Parris)

CR-V053

Procedencia: CR200-1-2

Contexto: Entierro 17, sobre la cabeza del individuo, Estructura 13Q-40

Vasijas Asociadas: CR-V051

Descripción: CR-V053 es un plato de paredes pintadas, borde evertido, labio biselado hacia el exterior y base ligeramente redondeada. En el interior presenta engobe naranja-café con marcas de quema. El exterior no posee engobe. La vasija fue “matada” por lo que un agujero se encuentra cerca del centro de la base, el cual fue punzado desde el exterior.

Grupo: Maquina

Tipo: Maquina Café

Variedad: Indeterminado

Fecha cerámica: Clásico Tardío

Fotografía: Figura 11.8

Perfil: Figura 11.8

Dimensiones:

Diámetro al borde (cm): 21

% circunferencia: 100

Diámetro de la base (cm): 16

% circunferencia: 100

Altura (cm): 4.2

Grosor del borde (mm): 6.8

Grosor de la pared (mm): 6.8

Grosor de la base (mm): 6.1

Diámetro del agujero para “matar” (mm): 12.1

Número de fragmentos: 3

Arqueólogo: E. Bustamante

Año de Excavación: 2014



Figura 11.8 Fotografía y perfil del interior de CR-V053 (Fotografía y dibujo por C. Parris)

CR-V054

Procedencia: CR16C-32-7-9
Contexto: Entierro 12, Estructura 13R-10
Vasijas Asociadas: CR-V055

Descripción: CR-V054 es un cuenco de paredes decoradas, borde directo, labio redondeado y base de doble fondo. La base interior es plana mientras que la base exterior se curva desde la base de la pared a una base plana. Se observan tres pequeños agujeros de ventilación en la porción plana de la base exterior. Aún se conservan algunos cascabeles en el interior del doble fondo. Tanto el exterior como el interior no presentan engobe. El exterior presenta una banda circunferencial incisa y las paredes se encuentran divididas en cuatro secciones por líneas verticales incisas. Dos de las secciones se encuentran vacías, mientras que las otras dos presentan cada una un mono inciso con un estampado de líneas punteadas denticuladas en el fondo. Esta vasija es una imitación de las vasijas Infierno Negro y Chablekal Gris variedad Monos, las cuales son prominentes hacia el final del Clásico Tardío. Sin embargo el tipo de esta vasija aún no ha sido determinado, pero posiblemente date para el final del Clásico Tardío o al Clásico Terminal.

Grupo: Indeterminado
Tipo: Indeterminado
Variedad: Indeterminada
Fecha cerámica: Clásico Tardío a Clásico Terminal
Fotografía: Figura 11.9
Perfil: Figura 11.9

Dimensiones:

Diámetro al borde (cm):	18.5
% circunferencia:	100
Diámetro de la base (cm):	12.3 (interior de la base interna), 7.6cm (base externa)
% circunferencia de la base:	100
Altura (cm):	9.2
Grosor del borde (mm):	3.9
Grosor de la pared (mm):	4.1
Grosor de la base (mm):	4.8 (base interna) 3.6 (base externa)

Número de fragmentos: 7
Arqueólogo: J. Ponce
Año de Excavación: 2014



Figura 11.19 Fotografía y perfil de CR-V054 (Fotografía y dibujo por C. Parris)

CR-V055

Procedencia: CR16C-32-7-5

Contexto: Entierro 12, Estructura 13R-10

Vasijas Asociadas: CR-V054

Descripción: CR-V055 es un plato de paredes decoradas con un borde ligeramente evertido, labio en punta y base ligeramente redondeada. La vasija fue “matada” por lo que un agujero se observa cerca del centro de la base, el cual fue punzado desde el exterior. El exterior del plato no presenta engobe y el interior posee engobe naranja. Una banda en el borde rodea la parte alta de la pared de la vasija, mientras 10 óvalos negros ocupan el labio del plato. La base del plato presenta un pez pintado en negro y acentuado con pinturas negra y roja.

Grupo: Saxche-Palmar

Tipo: Saxche-Palmar Naranja Policromo

Variedad: Indeterminada

Fecha cerámica: Clásico Tardío

Fotografía: Figura 11.10

Perfil: Figura 11.10

Dimensiones:

Diámetro al borde (cm): 25

% circunferencia: 100

Diámetro de la base (cm): 18

% circunferencia: 100

Altura (cm): 4.4

Grosor del borde (mm): 6.8

Grosor de la pared (mm): 6.7

Grosor de la base (mm): 5.5

Diámetro del agujero para “matar” (mm): Largo = 16.6, Ancho = 10.7

Número de fragmentos: 15

Arqueólogo: J. Ponce

Año de Excavación: 2014



Figura 11.10 Fotografía y perfil de CR-V055 (Fotografía y dibujo por C. Parris)

CR-V056

Procedencia: CR16C-33-9-12

Contexto: Ofrenda en Piso Aceituno, Vasija superior, Estructura 13R-10

Vasijas Asociadas: CR-V057

Descripción: Cuenco de paredes decoradas de borde directo, labio de sección cuadrada y base plana. La vasija tiene engobe rojo-naranja en el interior y en el exterior. La base exterior no presenta engobe. Muy similar a CR-V033 y CR-V034 (Parris y Barrientos 2014:156-158). La asignación de grupo y tipo es tentativa.

Grupo: Águila

Tipo: Águila Naranja

Variedad: Indeterminada

Fecha cerámica: Clásico Temprano

Fotografía: Figura 11.11

Perfil: Figura 11.12

Dimensiones:

Diámetro al borde (cm): 18

% circunferencia: 100

Diámetro de la base (cm): 11

% circunferencia: 100

Altura (cm): 4.6

Grosor del borde (mm): 5.4

Grosor de la pared (mm): 4.6

Grosor de la base (mm): 3.4

Número de fragmentos: 28

Arqueólogo: J. Ponce

Año de Excavación: 2014

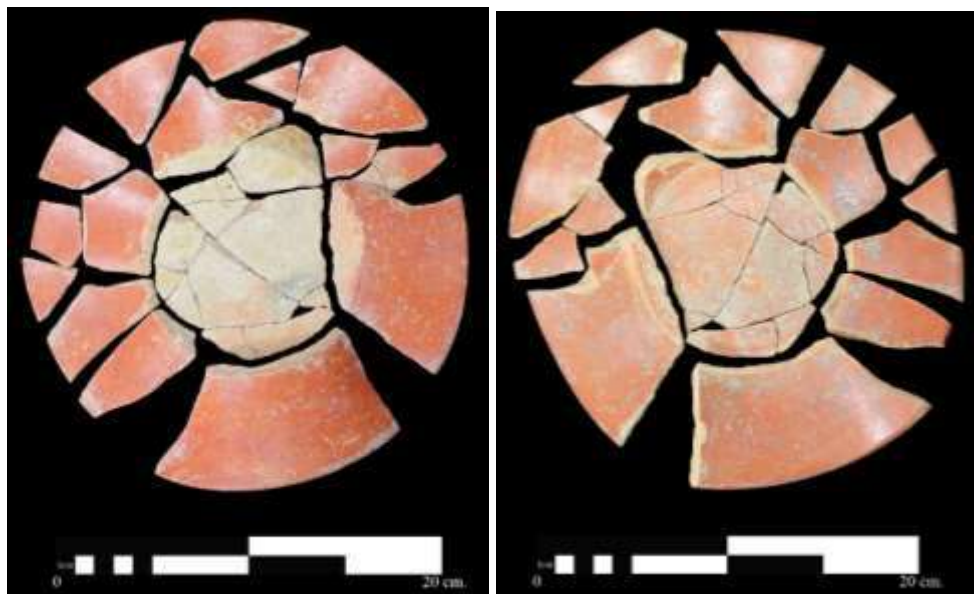


Figura 11.11 Fotografía de CR-V056. Izquierda: exterior, Derecha: interior (Fotografías por C. Parris)



Figura 11.12 Perfil de CR-V056 (dibujo por C. Parris)

CR-V057

Procedencia: CR16C-33-9-12

Contexto: Ofrenda en Piso Aceituno, Vasija inferior, Estructura 13R-10

Vasijas Asociadas: CR-V056

Descripción: CR-V057 es un cuenco de paredes decoradas con borde directo, labio de sección cuadrada y base plana. La vasija presenta engobe rojo-naranja en el exterior y en el interior. La base externa no presenta engobe. Muy similar a CR-V033 y CR-V034 (Parris y Barrientos 2014:156-158). La asignación de grupo y tipo es tentativa.

Grupo: Águila

Tipo: Águila Naranja

Variedad: Indeterminada

Fecha cerámica: Clásico Temprano

Fotografía: Figura 11.13

Perfil: Figura 11.14

Dimensiones:

Diámetro al borde (cm):	21
% circunferencia:	100
Diámetro de la base (cm):	11
% circunferencia:	100
Altura (cm):	5.3
Grosor del borde (mm):	5.4
Grosor de la pared (mm):	4.6
Grosor de la base (mm):	4.4

Número de fragmentos:

30

Arqueólogo:

J. Ponce

Año de Excavación:

2014

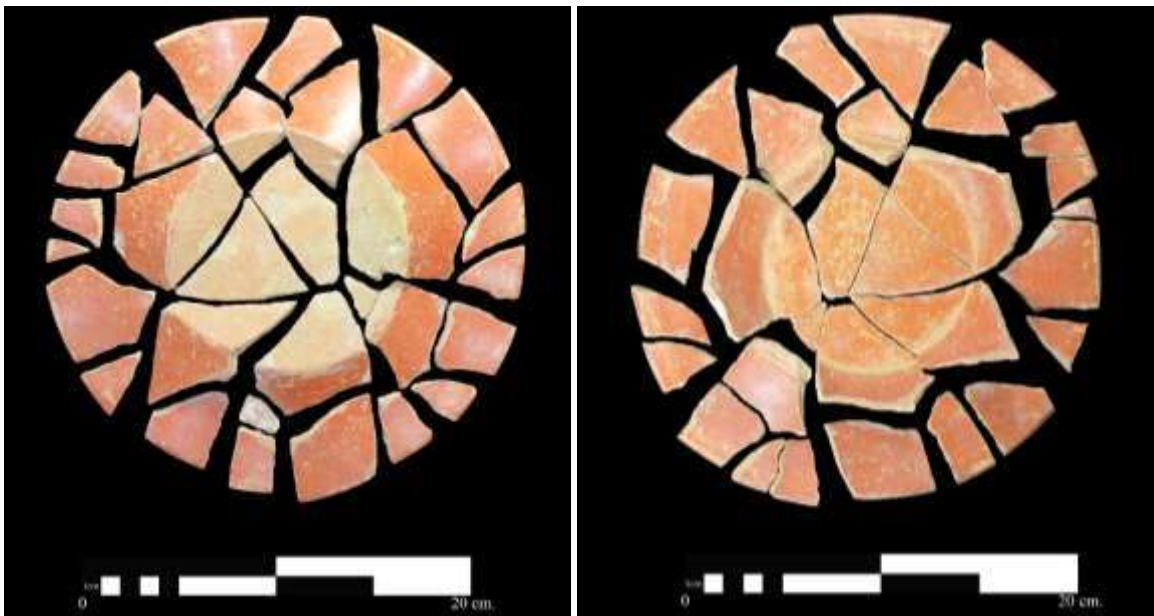


Figura 11.13 Fotografía de CR-V057. Izquierda: exterior. Derecha: interior
(Fotografías por C. Parris)

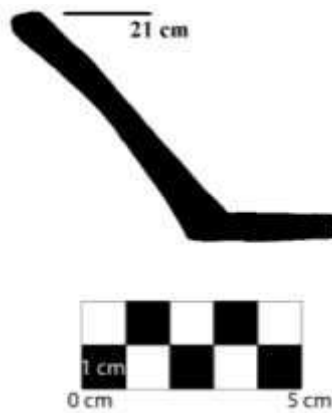


Figura 11.14 Perfil de CR-V057 (Dibujo por C. Parris)

CR-V058

Procedencia: CR16C-34-11-12
Contexto: Entierro 13, Estructura 13R-10
Vasijas Asociadas: CR-V059; CR-V060; CR-V061

Descripción: CR-V058 es una vasija de paredes ligeramente evergentes, borde directo, labio redondeado y base plana. El interior no posee engobe pero posee una banda gruesa de pintura roja a la altura del labio. El exterior presenta elementos en forma de “U” pintados en rojo y naranja. El interior se encuentra erosionado (posiblemente sin engobe). El exterior de la vasija se encuentra estucada y pintada con rojo (o rosado) y azul, aunque los diseños específicos pintados no han sido determinados.

Grupo: Zacatal Crema
Tipo: Zacatal Crema Policromo
Variedad: Indeterminada
Fecha cerámica: Clásico Tardío
Fotografía: Figura 11.15
Perfil: Figura 11.15

Dimensiones:

Diámetro al borde (cm):	14
% circunferencia:	84
Diámetro de la base (cm):	12.5
% circunferencia:	casi completo
Altura (cm):	12.5
Grosor del borde (mm):	5.5
Grosor de la pared (mm):	3.2
Grosor de la base (mm):	2.6

Número de fragmentos: 33
Arqueólogo: J. Ponce
Año de Excavación: 2014



Figura 11.15 Fotografía y perfil de CR-V058 (Fotografía y dibujo por C. Parris)

CR-V059

Procedencia: CR16C-34-11-12

Contexto: Entierro 13, Estructura 13R-10

Vasijas Asociadas: CR-V058; CR-V060; CR-V061

Descripción: CR-V059 es un plato de paredes decoradas con borde evertido, labio redondeado y base ligeramente curvada. El exterior no posee engobe y el interior se encuentra muy erosionado, pero con engobe negro/café y con posibles evidencias de quemado y un área pintada.

Grupo: Máquina

Tipo: Máquina Café

Variedad: Indeterminada

Fecha cerámica: Clásico Tardío

Fotografía: Figura 11.16

Perfil: Figura 11.16

Dimensiones:

Diámetro al borde (cm): 23

% circunferencia: 100

Diámetro de la base (cm): 17

% circunferencia: 100

Altura (cm): 3.8

Grosor del borde (mm): 6.7

Grosor de la pared (mm): 5.7

Grosor de la base (mm): 4.0

Número de fragmentos: 22

Arqueólogo: J. Ponce

Año de Excavación: 2014



Figura 11.16 Fotografía y perfil de CR-V059 (Fotografía y dibujo por C. Parris)

CR-V060

Procedencia: CR16C-34-11-12

Contexto: Entierro 13, Estructura 13R-10

Vasijas Asociadas: CR-V058; CR-V059; CR-V061

Descripción: CR-V060 es un “pichel” miniatura con cuerpo globular, cuello evergente, pico abierto, base de anillo y dos asas. La vasija no tiene engobe en el interior ni en el exterior. Las asas se encuentran localizadas en lados opuestos de la vasija a 90° del pico

Grupo: Cambio

Tipo: Cambio sin Engobe

Variedad: Indeterminada

Fecha cerámica: Clásico Temprano a Clásico Tardío

Fotografía: Figura 11.17

Perfil: Ninguno

Dimensiones:

Diámetro al borde (cm):	exterior= 3.9 interior= 2
% circunferencia:	100
Diámetro de la base (cm):	4.3
% circunferencia:	100
Altura (cm):	7.3
Grosor del borde (mm):	2.7
Grosor del cuello (mm):	7.1
Grosor de la pared (mm):	2.6
Grosor de la base (mm):	No fue posible medirlo
Diámetro máximo del cuerpo (cm):	6.2

Número de fragmentos: 17

Arqueólogo: J. Ponce

Año de Excavación: 2014



Figura 11.17 Fotografía de CR-V060 (fotografía por C. Parris)

CR-V061

Procedencia: CR16C-34-11-12

Contexto: Entierro 13, Estructura 13R-10

Vasijas Asociadas: CR-V058; CR-V059; CR-V060

Descripción: CR-V061 es una jarra miniatura con base ovalada y plana, costados y hombros redondeados, cuello evertido, borde directo y labio de sección cuadrada. El exterior se encuentra erosionado, pero un baño de engobe crema aún se conserva. El cuello exterior exhibe remanentes de pintura roja.

Grupo: Zacatal

Tipo: Indeterminado

Variedad: Indeterminada

Fecha cerámica: Clásico Tardío

Fotografía: Figura 11.18

Perfil: Ninguno

Dimensiones:

Diámetro al borde (cm): interior= 2; Exterior- 3.5

% circunferencia: 80

Diámetro de la base (cm): Largo= 5.2; Ancho=3.4

% circunferencia: 100

Altura (cm): 7

Grosor del borde (mm): 6.1

Grosor del cuello (mm): 4.9

Grosor de la pared (mm): 5.6 en áreas más gruesas, 3.3 en áreas más delgadas

Grosor de la base (mm): 6.2

Número de fragmentos: 20

Arqueólogo: J. Ponce

Año de Excavación: 2014



Figura 11.18 Fotografía de CR-V061 (fotografía por C. Parris)

CR-V062

Procedencia: CR116A-1-4
Contexto: Entierro 15, Estructura 13R-13
Vasijas Asociadas: Ninguna

Descripción: CR-V062 es un plato de paredes decoradas, borde directo, labio redondeado y base plana. El exterior posee engobe. El interior se encuentra bastante erosionado con remanentes pequeños de engobe negro. La vasija fue “matada” por lo que un agujero se encuentra cerca del centro de la base; este agujero fue creado punzando la base desde el exterior.

Grupo: Infierno
Tipo: Infierno Negro
Variedad: Indeterminada
Fecha cerámica: Clásico Tardío
Fotografía: Figura 11.19
Perfil: Figura 11.19

Dimensiones:

Diámetro al borde (cm):	22
% circunferencia:	100
Diámetro de la base (cm):	14
% circunferencia:	100
Altura (cm):	3.9
Grosor del borde (mm):	7.3
Grosor de la pared (mm):	8.1
Grosor de la base (mm):	5
Diámetro del agujero para “matar” (mm):	10.1

Número de fragmentos: 12
Arqueólogo: A. Roche
Año de Excavación: 2014

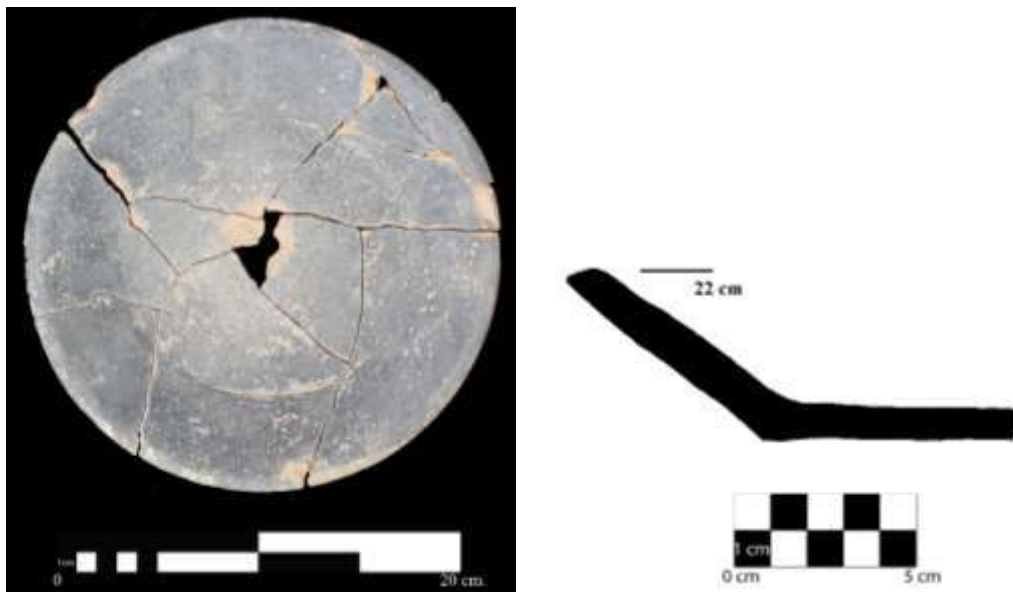


Figura 11.19 Fotografía y perfil de CR-V062 (Fotografía y dibujo por C. Parris)

CR-V063

Procedencia: CR32H-1A-18
Contexto: Entierro 18, Estructura 13Q-2
Vasijas Asociadas: CR-V064

Descripción: Plato de paredes decoradas con borde directo, labio biselado hacia el interior y base plana. El exterior no presenta engobe y el interior se encuentra erosionado, pero su engobe naranja y crema aún se preserva. Una banda roja fue pintada en el borde interno. Cerca de 10 óvalos negros decoran el labio interno y algunas manchas de pintura negra se encuentran presentes en la base interior, pero se desconoce su diseño.

Grupo: Saxche-Palmar
Tipo: Saxche-Palmar Naranja Policromo
Variedad: Indeterminada
Fecha cerámica: 550 d.C. (Clásico Tardío)
Fotografía: Figura 11.20
Perfil: Figura 11.20

Dimensiones:

Diámetro al borde (cm):	20
% circunferencia:	100
Diámetro de la base (cm):	12
% circunferencia:	100
Altura (cm):	3.5
Grosor del borde (mm):	8.1
Grosor de la pared (mm):	7.2
Grosor de la base (mm):	9.6

Número de fragmentos: 10
Arqueólogo: E. Gómez
Año de Excavación: 2014

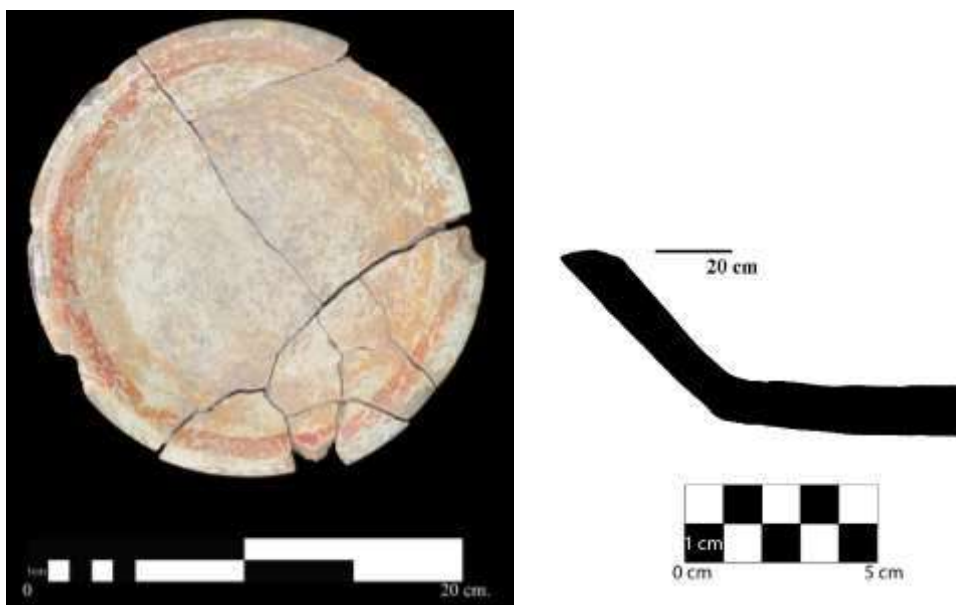


Figura 11.20 Fotografía y perfil de CR-V063 (Fotografía y dibujo por C. Parris)

CR-V064

Procedencia: CR32H-19-18
Contexto: Entierro 18, Estructura 13Q-2
Vasijas Asociadas: CR-V063

Descripción: CR-V064 es un plato de paredes decoradas con borde evertido horizontalmente, labio en punta y base plana. El exterior no posee engobe. El interior presenta engobe diferencial con cuatro cuadrantes de color: dos cuadrantes naranja alternados con dos cuadrantes negros. Es posible que la vasija haya sido “matada” por lo que hay un agujero en la intersección de los cuadrantes. Sin embargo faltan algunos fragmentos de esta área, aunque se observa una marca cónica en el exterior de la base. CR-V064 es similar al plato excavado en el Entierro 8 de El Perú, el cual ha sido datado entre el 500-550 d.C. (Keith Eppich, comunicación personal 2014).

Grupo: Indeterminado
Tipo: Indeterminado
Variedad: Indeterminada
Fecha cerámica: 550-650 d.C.
Fotografía: Figura 11.21
Perfil: Figura 11.21

Dimensiones:

Diámetro al borde (cm):	34
% circunferencia:	100
Diámetro de la base (cm):	Indeterminado
% circunferencia:	100
Altura (cm):	3.8
Grosor del borde (mm):	7.8
Grosor de la pared (mm):	8.5
Grosor de la base (mm):	9.9
Diámetro del agujero para “matar” (mm):	indeterminado

Número de fragmentos: 53
Arqueólogo: E. Gómez
Año de Excavación: 2014

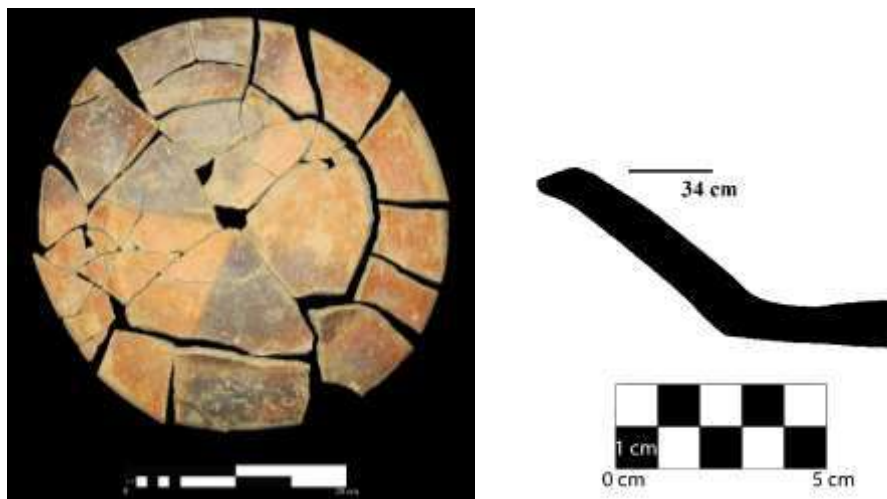


Figura 11.21 Fotografía y perfil de CR-V064 (Fotografía y dibujo por C. Parris)

CR-V065

Procedencia: CR31B-10-4

Contexto: Entierro 19, Estructura 13Q-1

Vasijas Asociadas: CR-V066; CR-V067; CR-V068; CR-V069; CR-V070; CR-V071

Descripción: CR-V065 es un plato de paredes decoradas, con borde engrosado en el interior, labio biselado hacia el exterior y base plana. El exterior no presenta engobe. El interior tiene engobe naranja con una base crema. Una banda roja circula el borde interno y un diseño pintado en negro se encuentra en la base del interior.

Grupo: Saxche-Palmar

Tipo: Saxche-Palmar Naranja Policromo

Variedad: Indeterminada

Fecha cerámica: Clásico Tardío

Fotografía: Figura 11.22

Perfil: Figura 11.22

Dimensiones:

Diámetro al borde (cm): 26

% circunferencia: 100

Diámetro de la base (cm): 18

% circunferencia: 100

Altura (cm): 3.2

Grosor del borde (mm): 8.6

Grosor de la pared (mm): 7.2

Grosor de la base (mm): 7.1

Número de fragmentos: 16

Arqueólogo: C. Álvarez

Año de Excavación: 2014

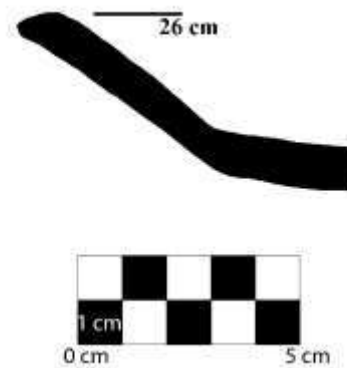


Figura 11.22 Fotografía y perfil de CR-V065 (Fotografía y dibujo por C. Parris)

CR-V066

Procedencia: CR31B-10-4

Contexto: Entierro 19, encontrada en el interior de CR-V067, Estructura 13Q-1

Vasijas Asociadas: CR-V065; CR-V067; CR-V068; CR-V069; CR-V070; CR-V071

Descripción: CR-V066 es un cuenco pequeño con paredes verticales que se curvan a una base plana ligeramente mellada, borde directo y labio redondeado. En el interior presenta engobe con una banda negra delgada pintada en el borde. El exterior presenta engobe naranja oscuro con múltiples franjas rojas verticales y una banda negra delgada en el borde, la cual se extiende desde el interior.

Grupo: Saxche-Palmar

Tipo: Saxche-Palmar Naranja Policromo

Variedad: Indeterminado

Fecha cerámica: Clásico Tardío

Fotografía: Figura 11.23

Perfil: Figura 11.23

Dimensiones:

Diámetro al borde (cm):	7.5
% circunferencia:	93 (solo falta una astilla en el labio)
Diámetro de la base (cm):	3.67
% circunferencia:	100
Altura (cm):	5.4
Grosor del borde (mm):	2.5
Grosor de la pared (mm):	No se pudo medir
Grosor de la base (mm):	No se pudo medir

Número de fragmentos: 1

Arqueólogo: C. Álvarez

Año de Excavación: 2014

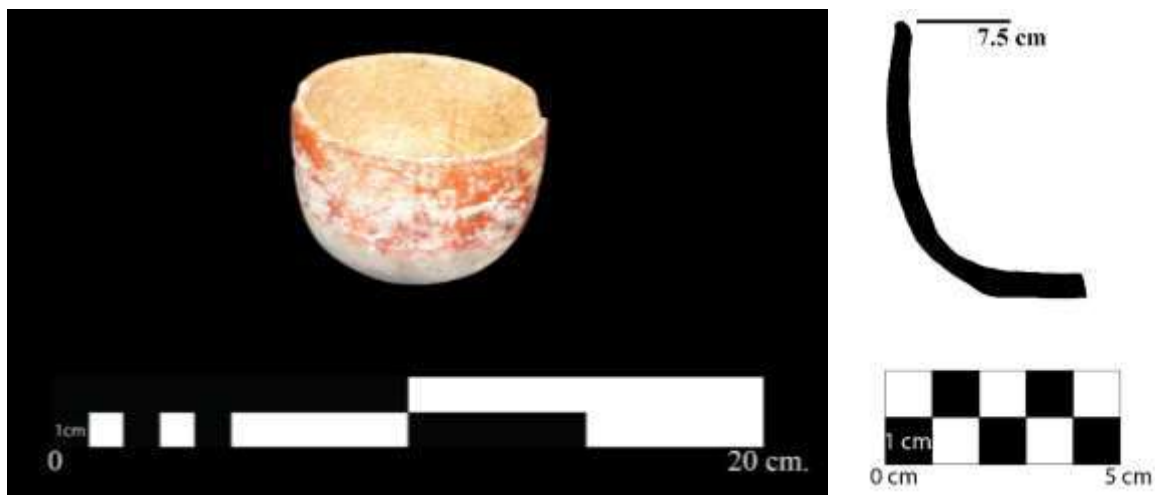


Figura 11.23 Fotografía y perfil de CR-V066 (Fotografía y dibujo por C. Parris)

CR-V067

Procedencia: CR31B-10-4

Contexto: Entierro 19, Estructura 13Q-1

Vasijas Asociadas: CR-V066; CR-V067; CR-V068; CR-V069; CR-V070; CR-V071

Descripción: CR-V067 es un cuenco de paredes verticales que se curvan levemente a una base plana, borde directo, y labio redondeado. Tanto el interior como el exterior presentan engobe café. El engobe no es uniforme en el color, posiblemente debido a la aplicación de un diferencial o a condiciones de la cocción.

Comparaciones: Ball 1977:24, Figura 8p – Forma casi idéntica y tratamiento de superficie datado al Complejo Sabucan (~ 450-600 d.C.).

Grupo: Pucté

Tipo: Pucté Café

Variedad: Indeterminada

Fecha cerámica: Clásico Temprano (Tzakol 2-3)

Fotografía: Figura 11.24

Perfil: Figura 11.24

Dimensiones:

Diámetro al borde (cm):	9
% circunferencia:	100
Diámetro de la base (cm):	5.3
% circunferencia:	100
Altura (cm):	7.7
Grosor del borde (mm):	3.4
Grosor de la pared (mm):	No se pudo medir
Grosor de la base (mm):	No se pudo medir

Arqueólogo: C. Álvarez

Año de Excavación: 2014



Figura 11.24 Fotografía y perfil de CR-V067 (Fotografía y dibujo por C. Parris)

CR-V068

Procedencia: CR31B-10-4

Contexto: Entierro 19, Estructura 13Q-1

Vasijas Asociadas: CR-V066; CR-V067; CR-V068; CR-V069; CR-V070; CR-V071

Descripción: CR-V068 es un cilindro de paredes verticales con borde directo, labio redondeado y base plana. El interior y exterior presentan engobe café con la porción inferior del engobe exterior jaspeado con naranja. Este jaspeado naranja puede ser debido que se pudo modificar la pintura naranja para producir café y la porción inferior de la vasija se oxidó durante la cocción. Pequeñas cantidades de estuco se encontraron en el exterior con remanentes de pintura azul.

Grupo: Máquina

Tipo: Máquina Café

Variedad: Indeterminada

Fecha cerámica: Indeterminada

Fotografía: Figura 11.25

Perfil: Figura 11.25

Dimensiones:

Diámetro al borde (cm): 10

% circunferencia: 100

Diámetro de la base (cm): 9.5

% circunferencia: 100

Altura (cm): 15

Grosor del borde (mm): 4

Grosor de la pared (mm): 4.5

Grosor de la base (mm): 5.7

Número de fragmentos: 55

Arqueólogo: C. Álvarez

Año de Excavación: 2014



Figura 11.25 Fotografía y perfil de CR-V068 (Fotografía y dibujo por C. Parris)

CR-V069

Procedencia: CR31B-10-4

Contexto: Entierro 19, Estructura 13Q-1

Vasijas Asociadas: CR-V066; CR-V067; CR-V068; CR-V069; CR-V070; CR-V071

Descripción: CR-V069 es un plato de paredes decoradas y curvadas hacia afuera, con borde directo, labio redondeado y base plana. Una banda rodea el borde interno y se encuentran pintados óvalos negros en el labio interno. Un diseño pintado en negro se encuentra presente en la base del interior, que representa el "Elemento La Corona".

Grupo: Saxche-Palmar

Tipo: Saxche-Palmar Naranja Policromo

Variedad: Indeterminado

Fecha cerámica: Clásico Tardío

Fotografía: Figura 11.26

Perfil: Figura 11.26

Dimensiones:

Diámetro al borde (cm): 25

% circunferencia: 100

Diámetro de la base (cm): 17

% circunferencia: 100

Altura (cm): 3.9

Grosor del borde (mm): 5.3

Grosor de la pared (mm): 7.3

Grosor de la base (mm): 5.7

Número de fragmentos: 18

Arqueólogo: C. Álvarez

Año de Excavación: 2014

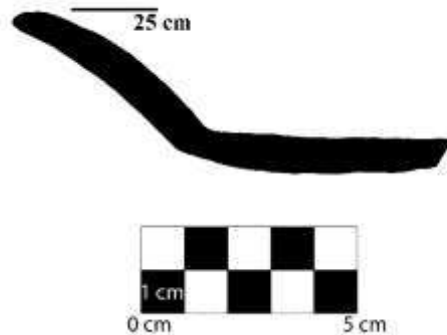


Figura 11.26 Fotografía y perfil de CR-V069 (Fotografía y dibujo por C. Parris)

CR-V070

Procedencia: CR31B-10-4

Contexto: Entierro 19, Estructura 13Q-1

Vasijas Asociadas: CR-V066; CR-V067; CR-V068; CR-V069; CR-V070; CR-V071

Descripción: CR-V070 es un cilindro de paredes verticales con borde directo, labio redondeado y base plana. La vasija tiene engobe café tanto en el interior como en el exterior, con la sección inferior del exterior con jaspeado naranja. Este jaspeado naranja puede ser debido que se modificó la pintura naranja para producir café y la porción inferior de la vasija se oxidó durante la cocción. Se encontraron pequeñas cantidades de estuco en el exterior, con remanentes de pintura azul.

Grupo: Máquina

Tipo: Máquina Café

Variedad: Indeterminado

Fecha cerámica: Indeterminada

Fotografía: Figura 11.27

Perfil: Figura 11.27

Dimensiones:

Diámetro al borde (cm):	10
% circunferencia:	100
Diámetro de la base (cm):	9.5
% circunferencia:	100
Altura (cm):	15.5
Grosor del borde (mm):	3.2
Grosor de la pared (mm):	3.6
Grosor de la base (mm):	5.2

Número de fragmentos: 43

Arqueólogo: C. Álvarez

Año de Excavación: 2014



Figura 11.27 Fotografía y perfil de CR-V070 (Fotografía y dibujo por C. Parris)

CR-V071

Procedencia: CR31B-10-4

Contexto: Entierro 19, Estructura 13Q-1

Vasijas Asociadas: CR-V066; CR-V067; CR-V068; CR-V069; CR-V070; CR-V071

Descripción: CR-V071 es un plato de paredes ligeramente curvadas hacia el exterior, borde directo, labio redondeado y base plana. El interior del plato presenta engobe negro con evidentes marcas de quemado. El exterior no posee engobe.

Grupo: Infierno

Tipo: Infierno Negro

Variedad: Indeterminado

Fecha cerámica: Indeterminado

Fotografía: Figura 11.28

Perfil: Figura 11.28

Dimensiones:

Diámetro al borde (cm):	23
% circunferencia:	100
Diámetro de la base (cm):	16
% circunferencia:	100
Altura (cm):	3.6
Grosor del borde (mm):	7.7
Grosor de la pared (mm):	7
Grosor de la base (mm):	6

Número de fragmentos: 21

Arqueólogo: C. Álvarez

Año de Excavación: 2014

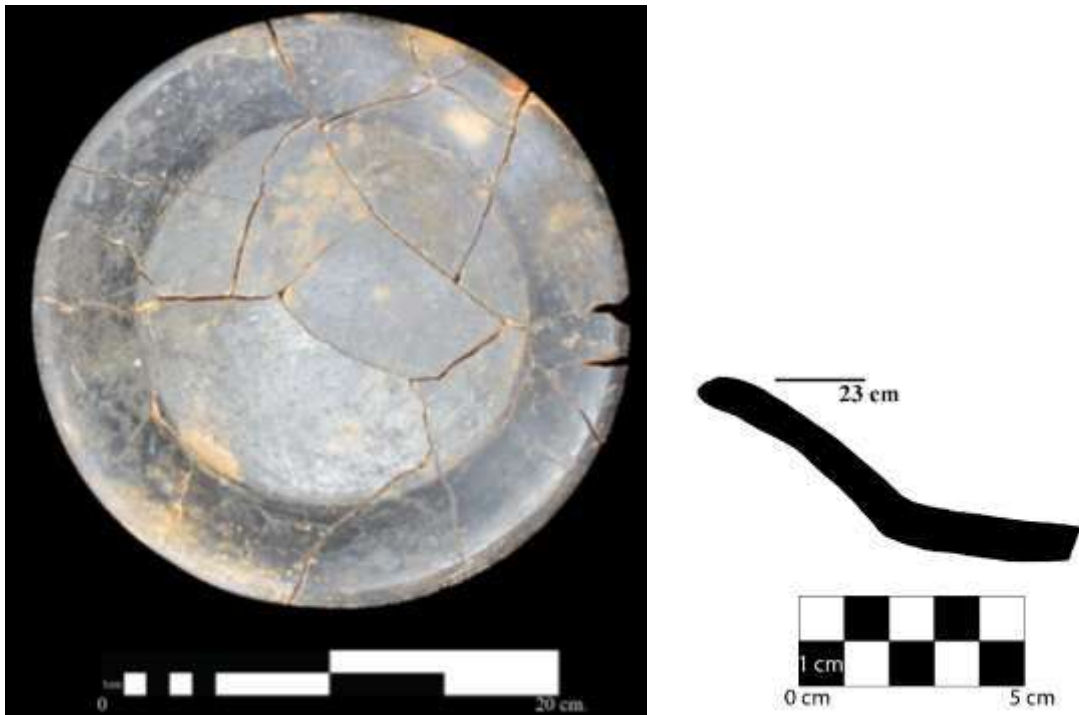


Figura 11.28 Fotografía y perfil de CR-V071 (Fotografía y dibujo por C. Parris)

CAR-V001

Procedencia: CAR13A-1-4 (La Cariba)

Contexto: Escondite 1

Vasijas Asociadas: Ninguna

Descripción: CAR-V001 es un cuenco de paredes ligeramente convergentes y decoradas en el exterior, con borde directo, labio redondeado y base de disco hendido. El exterior de esta vasija se encuentra muy erosionado, pero aún hay rastros de baño crema y engobe naranja, así como pintura roja aún preservada en la superficie. El interior tiene un engobe negro. Esta vasija fue “matada” por lo que un agujero se encuentra cerca del centro de la base, el cual fue punzado desde el exterior.

Grupo: Indeterminado

Tipo: Indeterminado

Variedad: Indeterminada

Fecha cerámica: Clásico Tardío

Fotografía: Figura 11.30

Perfil: Figura 11.29

Dimensiones:

Diámetro al borde (cm):	18
% circunferencia:	100
Diámetro de la base (cm):	13
% circunferencia:	Indeterminado
Altura (cm):	~6
Grosor del borde (mm):	5.2
Grosor de la pared (mm):	3.6
Grosor de la base (mm):	3.4 (porción hendida de la base) 4.7 (porción en relieve de la base)

Diámetro de agujero para “matar” (mm): Largo= 9.1; Ancho= 7.4

Número de fragmentos: 23

Arqueólogo: D. Chatelain

Año de Excavación: 2014

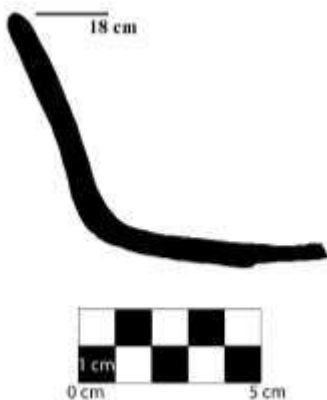


Figura 11.29 Perfil de CAR-V01 (Dibujo por C. Parris)



Figura 11.30 Fotografía de CAR-V01. Izquierda: exterior. Derecha: interior (Fotografías por C. Parris)

CAR-V002

Procedencia: CAR-13A-1-11

Contexto: Escondite 3

Vasijas Asociadas: Ninguna

Descripción: CAR-V002 es un cuenco de paredes decoradas, con borde directo, labio redondeado y una base de disco hendido. El interior presenta engobe naranja con baño crema. Una banda negra en el labio y dos bandas rojas en el borde rodean la sección superior de las paredes interiores. El exterior posee engobe naranja con un baño crema y presenta un patrón de líneas verticales: un grupo de líneas verticales negro-naranja-negro-naranja-negro-naranja-negro; una línea vertical más gruesa color naranja con una línea de puntos negros en el centro; un grupo de líneas rojo-naranja-rojo-naranja-rojo; y una línea vertical naranja más gruesa con una línea de puntos negros en el centro. Este patrón se repite cuatro veces. La vasija fue “matada” con un agujero cerca del centro de la base (punzado desde adentro hacia afuera). Esta vasija es muy similar en forma, tamaño, tratamiento de superficie y decoración a la vasija CR-V027 (Pontaza y González 2013, Figura 12.9).

Grupo: Saxche-Palmar

Tipo: Saxche-Palmar Naranja Policromo

Variedad: Indeterminada

Fecha cerámica: Clásico Tardío

Fotografía: Figura 11.31

Perfil: Figura 11.32

Dimensiones:

Diámetro al borde (cm): 20

% circunferencia: 100

Diámetro de la base (cm): 14.5
 % circunferencia: 100
 Altura (cm): 6.9
 Grosor del borde (mm): 5.8
 Grosor de la pared (mm): 5.1
 Grosor de la base (mm): 6.3 (inset portion); 5.8 (outer base)
 Diámetro fuera de la base (cm): 7.5
 Diámetro de agujero para “matar” (mm): Largo=10.3; Ancho= 8.2
 Número de fragmentos: 24
 Arqueólogo: D. Chatelain
 Año de Excavación: 2014

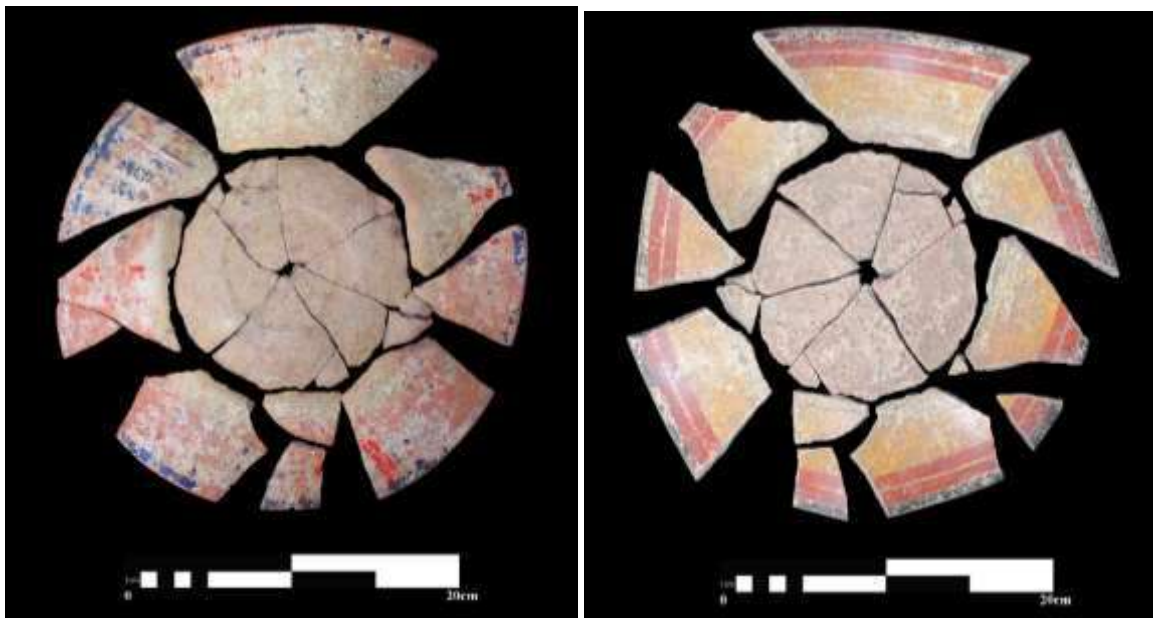


Figura 11.31 Fotografía de CAR-V002. Izquierda: exterior. Derecha: interior (Fotografías por C. Parris)

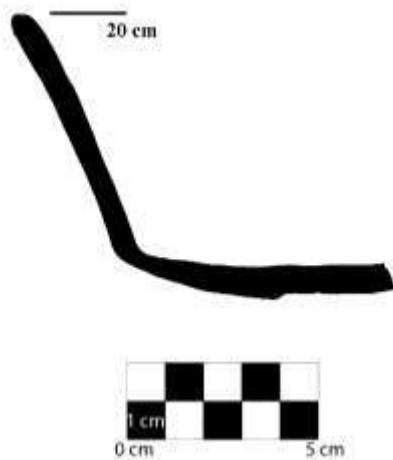


Figura 11.32 Perfil de CAR-V002 (Dibujo por C. Parris)

CAR-V003

Procedencia: CAR13A-1-11

Contexto: Escondite 4

Vasijas Asociadas: Ninguna

Descripción: CAR-V003 es un cilindro de paredes verticales con borde directo, labio de sección cuadrada y base plana. El interior presenta engobe naranja con una banda roja pintada debajo del labio. El exterior se encuentra medianamente erosionado. El exterior presenta engobe naranja con un baño crema y diseños pintados en rojo y negro. Los diseños no han sido determinados.

Grupo: Saxche-Palmar

Tipo: Saxche-Palmar Naranja Policromo

Variedad: Indeterminada

Fecha cerámica: Clásico Tardío

Fotografía: Figura 11.33

Perfil: Figura 11.33

Dimensiones:

Diámetro al borde (cm):	9.5
% circunferencia:	100
Diámetro de la base (cm):	9
% circunferencia:	100
Altura (cm):	11.5
Grosor del borde (mm):	4.2
Grosor de la pared (mm):	3.1
Grosor de la base (mm):	3.9

Número de fragmentos: 29

Arqueólogo: D. Chatelain

Año de Excavación: 2014

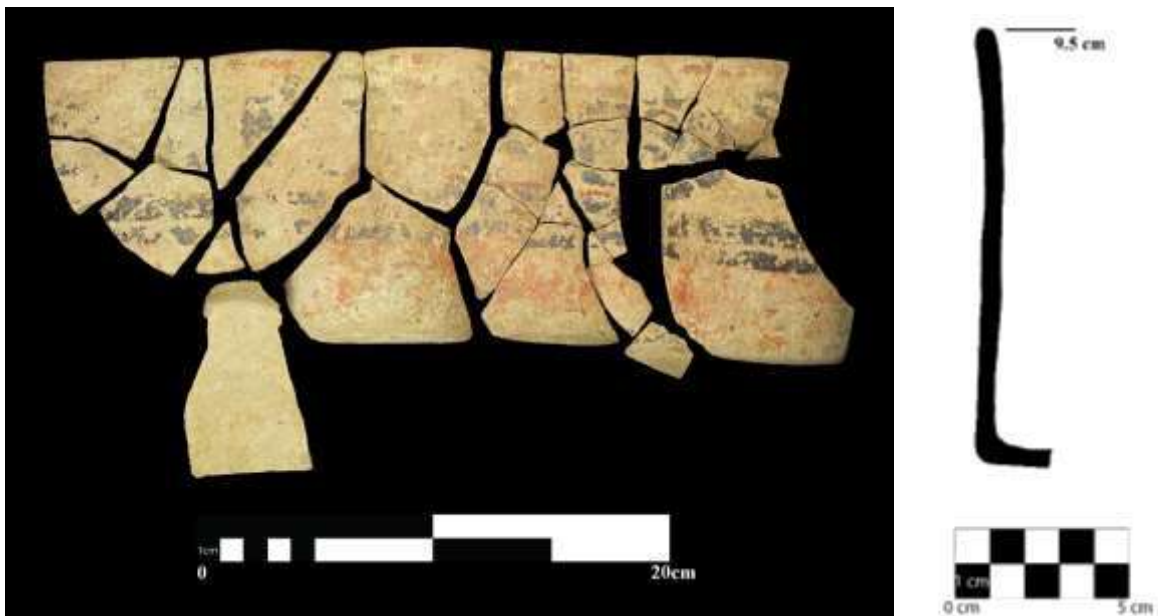


Figura 11.33 Fotografía y perfil de CAR-V003 (Fotografía y dibujo por C. Parris)

CAR-V004

Procedencia: CAR1A-2-14

Contexto: Escondite

Vasijas Asociadas: CAR-V005; CAR-V004 colocada como “tapadera” de CAR-V005

Descripción: CAR-V004 es un plato de paredes decoradas, con borde evertido horizontalmente, labio redondeado y base convexa. La vasija presenta engobe rojo ceroso tanto en el exterior como en el interior.

Comparaciones: Forsyth (1989) Figura 9A – similar en forma.

Grupo: Sierra

Tipo: Sierra Rojo

Variedad: Indeterminada

Fecha cerámica: Preclásico Tardío

Fotografía: Figura 11.34

Perfil: Figura 11.35

Dimensiones:

Diámetro al borde (cm):	18
% circunferencia:	80
Diámetro de la base (cm):	12
% circunferencia:	100
Altura (cm):	3.4
Grosor del borde (mm):	9.4
Grosor de la pared (mm):	8.0
Grosor de la base (mm):	9.7

Número de fragmentos: 13

Arqueólogo: D. Chatelain

Año de Excavación: 2014

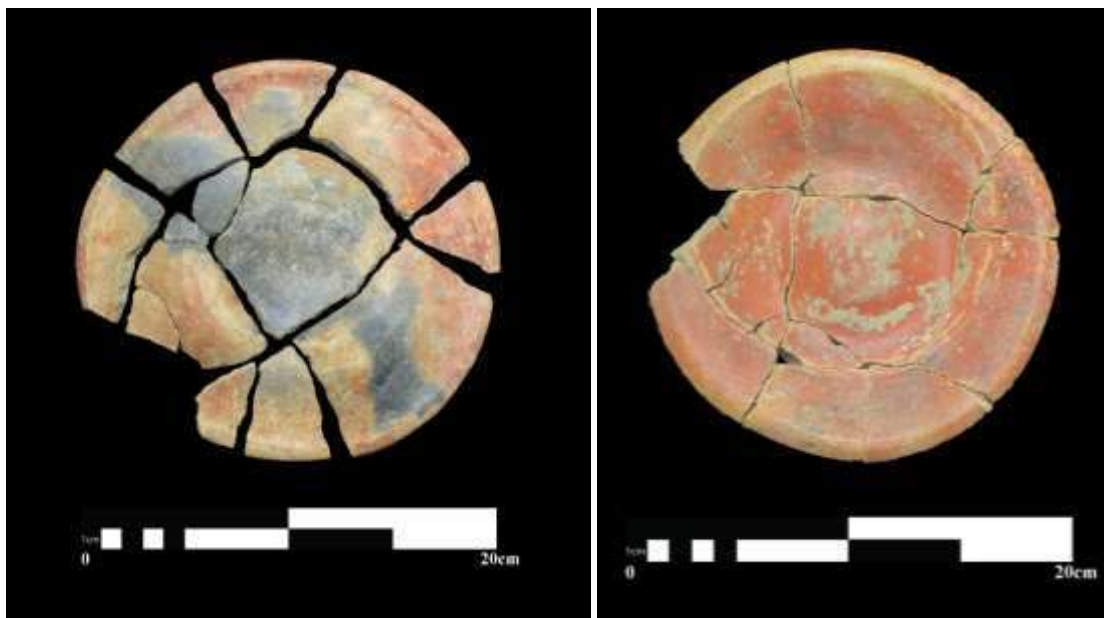


Figura 11.34 Fotografía de CAR-V004. Izquierda: exterior. Derecha: interior (Fotografías por C. Parris)

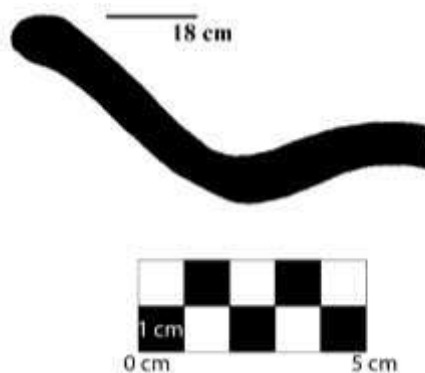


Figura 11.35 Perfil de CAR-V004 (Dibujo por C. Parris)

CAR-V005

Procedencia: CAR-1A-2-14

Contexto: Escondite

Vasijas Asociadas: CAR-V004; CAR-V004 fue colocada como tapadera de CAR-V005

Descripción: CAR-V005 es un cuenco de paredes decoradas, con borde engrosado en el exterior, labio de sección cuadrada, base convexa y un acanalado superficial en el exterior. La vasija posee engobe en el exterior hasta justo bajo el borde en el interior, este es un engobe rojo ceroso que contiene hematita especular.

Grupo: Sierra

Tipo: Altamira Acanalado

Variedad: Indeterminada

Fecha cerámica: Preclásico Tardío

Fotografía: Figura 11.36

Perfil: Figura 11.36

Dimensiones:

Diámetro al borde (cm):	14
% circunferencia:	100
Diámetro de la base (cm):	7.5
% circunferencia:	100
Altura (cm):	6.9
Grosor del borde (mm):	No se pudo medir
Grosor de la pared (mm):	No se pudo medir
Grosor de la base (mm):	No se pudo medir

Número de fragmentos: 1

Arqueólogo: D. Chatelain

Año de Excavación: 2014

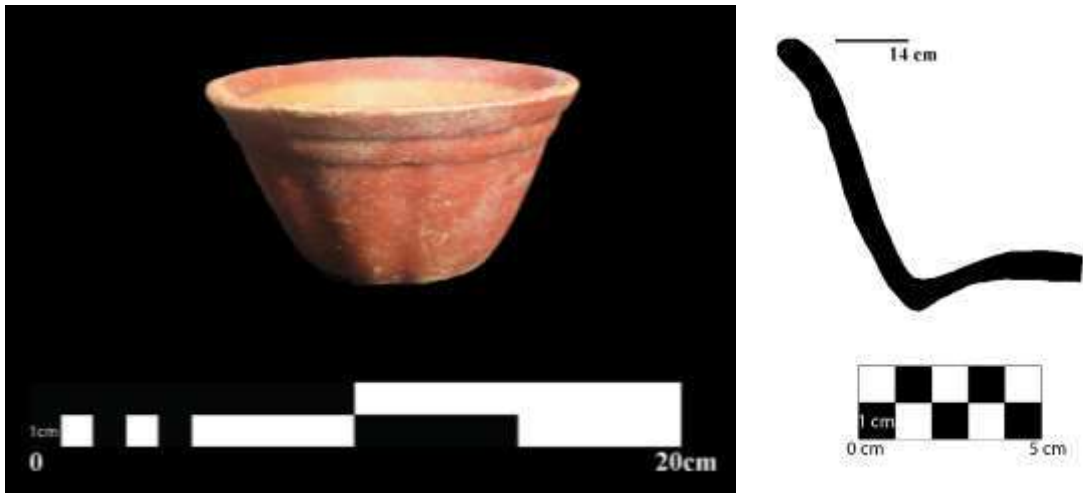


Figura 11.36 Fotografía y perfil de CAR-V005 (Fotografía y dibujo por C. Parris)

CAPÍTULO XII

ANÁLISIS DEL MATERIAL LÍTICO DE LA CORONA Y LA CARIBA

Chloé Andrieu y Alejandra Roche

Introducción

El análisis que se presenta a continuación tiene dos objetivos. El primero es entender la organización económica local de la zona de La Corona en cuanto a la disposición de la producción lítica y de la distribución de los artefactos. Para esto se hará una comparación entre la colección de La Corona y la del sitio periférico La Cariba, lo que permitirá aportar elementos de reflexión sobre la relación entre centros y sitios secundarios o periféricos.

En segundo lugar se quiere determinar el papel que tuvo La Corona en los intercambios a larga distancia. Se sabe por los datos epigráficos que el sitio estaba aliado con el Reino *K'aanal* durante el Clásico Tardío; sin embargo se debe determinar cuál era el papel económico de las alianzas políticas y matrimoniales y el impacto que tuvieron sobre la organización de las rutas de intercambio a larga distancia. En particular, se espera determinar a través de un análisis tecnológico y cuantitativo del material lítico de La Corona, la hipótesis según la cual La Corona pudo haber servido de intermediario para el intercambio de bienes tales como la obsidiana o el jade hacia Calakmul.

El estudio de la colección de la Corona aporta muchos elementos de respuesta para contribuir al mapeo de las rutas de intercambio dentro de las Tierras Bajas Mayas y su evolución durante el Clásico, y establecer las variedades de relaciones políticas y económicas a partir del análisis de los sitios que se conocen por información epigráfica y que estaban en contacto. Por lo tanto, a largo plazo, se debe comparar esta colección con las de Calakmul, Cancuén y *Waka/El Perú* para establecer las eventuales prerrogativas de cada uno de estos sitios sobre las materias importadas desde las Tierras Altas.

Metodología

Este análisis se hizo según el método de tecnología lítica, cuyo principio reside en clasificar los artefactos en función de su posición en la cadena operativa (Leroi Gourhan, 1945), desde la preforma, el desecho, el uso, el rejuvenecimiento o re-uso. Para la obsidiana se utilizó la terminología empleada por Clark y Bryant (1997). Para el pedernal, se refirió a los análisis de

Chauchat y Pelegrin (2004), así como a la terminología usada por la escuela de estudios tecnológicos de Prehistoria Francesa (Inizan et al. 1995). Se clasificaron los pedernales cruzando datos como la presencia de corteza, el espesor de la corteza, su regularidad, su aspecto, las inclusiones, los colores, la homogeneidad y la translucidez. La obsidiana ha sido clasificada visualmente, en función de su color y de su translucidez.

Composición de la colección

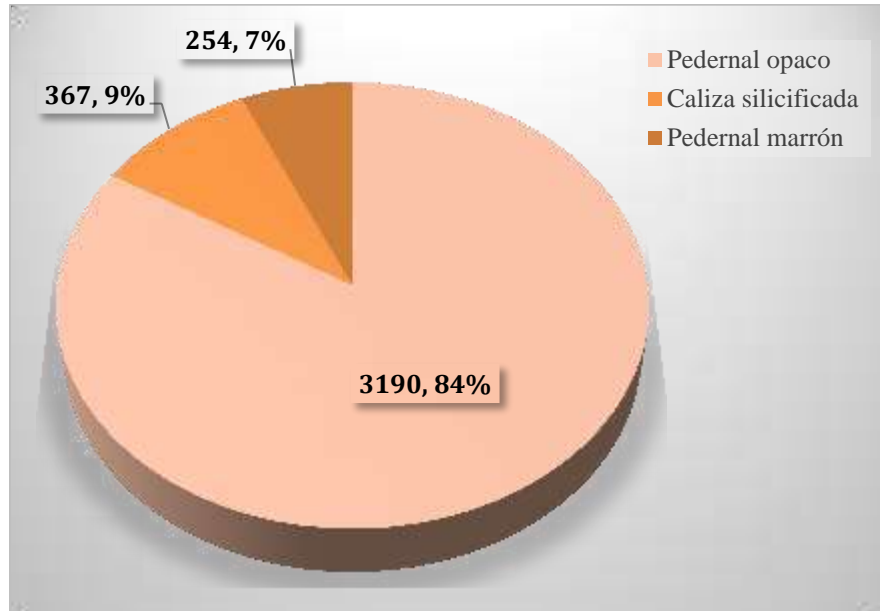
La colección de La Corona es relativamente pequeña, lo cual permitió analizar la totalidad del material excavado desde 2006 hasta la temporada 2014. En total se estudiaron 6,927 piezas (2,091 por Alejandra Roche y 4,836 por Chloé Andrieu), de las cuales 5,553 son de pedernal, caliza y obsidiana (5,348 procedente de La Corona y 205 de La Cariba); 1,147 de jade o piedra verde y 227 de pirita (todos procedente de La Corona). A pesar de su tamaño, es una colección de interés para el entendimiento de los intercambios en las Tierras Bajas Mayas por su riqueza. Destaca la abundancia de la obsidiana en este sitio, ya que esta materia representa 25 % de la colección, un rango muy alto para los sitios de esta región, al igual que el jade y la pirita. Todo esto muestra que La Corona tuvo un acceso privilegiado a ciertas riquezas importadas.

Pedernal

La primera especificidad de la colección de La Corona es la relativa escasez de pedernal (n= 3,811) en comparación con otros sitios de las Tierras Bajas calizas, donde este material tiende a ser muy abundante. Esto aparece en la escasez de lascas, el importante grado de uso y reuso de los artefactos de pedernal, así como la escasez de piezas con corteza en el sitio (11.2% n= 426), lo cual indica que el pedernal llegaba ya parcialmente trabajado a La Corona. Se pueden distinguir tres tipos de pedernales en La Corona:

- Pedernal grueso de calidad mediana que se parece al pedernal más común en las Tierras Bajas Mayas. Es opaco con una gran variedad de colores que van del blanco al marrón y rojo opaco, y se vuelve rosado cuando esta quemado (n= 3,190 en La Corona).
- El segundo no es propiamente un pedernal, sino una caliza silicificada gruesa de color naranja/ beige opaco, con fracturas que son apenas concoidales (n= 367 en La Corona y n= 45 en La Cariba)

- El último es un pedernal muy fino, de color marrón-café-chocolate semi-translucido con una corteza arenosa blanca primaria muy delgada (n= 254 en La Corona, n= 11 en La Cariba). Este pedernal es de fuente desconocida, pero tiende a ser más común en el área de Calakmul-Rio Bec y fue intercambiado en todas las Tierras Bajas Mayas.



Gráfica 12.1 Distribución de los tipos de pedernal en La Corona

Pedernal opaco grueso

La primera categoría de pedernal es la más común en La Corona, pero varios indicadores muestran que probablemente no era local y que fue importado. Destaca la cantidad relativamente baja de material (n=3,190), de hecho una gran parte de esta muestra viene de un contexto especial (Entierro 6), el cual solo fue muestreado para tener una idea de su composición; contenía 1,487 piezas de pedernal quemado (Figura 12.1). Si ponemos aparte esta muestra, solo quedan 1,703 piezas de este pedernal en el resto del sitio, y muchos corresponden a desechos de rejuvenecimiento (n= 108) y a lascas de percusión dura, la mayoría inferior a 5 cm de largo. La ausencia de núcleos (n=1) es sorprendente e indica que el material era producido fuera de la zona de excavación.

Todos estos indicadores muestran claramente que La Corona no era un sitio productor de artefactos de pedernal y que las herramientas se importaban ya hechas. Las herramientas son en su mayoría bifaciales largos, muy fragmentados (n= 181 en La Corona y n=18 en La Cariba). Las puntas de proyectil hechas de este pedernal son muy escasas (n= 18 sobre un total de 144 hojas

de laurel y 4 sobre un total de 22 puntas de lanza). La mayoría de este pedernal era probablemente utilizado bajo la forma de lascas usadas tal cual, sin retoque, ya que solo se pudo reconocer 51 lascas con retoque y un punzón. Otro elemento que tiende a confirmar la escasez de pedernal en La Corona es el grado de uso muy elevado de los bifaces, la mayoría siendo retrabajado con percusión para ser usados como percutores. Todos estos indicadores confirman que el pedernal grueso no era local. Esto se debe probablemente a que La Corona esta ubicada en una zona cuaternaria, semejante a las franjas de Yucatán, llamadas “*Chert-free zone*” (Hearth y Fedick 2010), por ser demasiado recientes geológicamente para la formación de pedernales. Si podemos confirmar que La Corona estaba ubicada sobre una zona reciente, esto implicaría que todo pedernal presente en este sitio estaba siendo intercambiado desde por lo menos 10 o 20 kilómetros de distancia.



Figura 12.1 Pedernal opaco. Contexto: Unidad CR15A-1a-3 (2011) entierro 6 (Fotografías J. Ponce)

Caliza silicificada

El uso, aunque limitado, de una caliza silicificada de muy mala calidad es otro argumento a favor de la hipótesis anterior. Este material es muy difícil de trabajar porque no se quiebra con fracturas concoidales, sin embargo representa el 6,5 % de la colección total de La Corona y fue usado para hacer lascas de varios tamaños (Figura 12.2). De manera interesante La Cariba, a pesar de ser ubicada a aproximadamente 4.6 km de La Corona, presenta el mismo patrón: poco pedernal, herramientas muy reusadas y el uso de caliza silicificada de mala calidad. De hecho,

esta caliza silicificada representa un porcentaje ligeramente más alto en la colección de La Cariba que en la de La Corona, ya que representa el 22% de la muestra total (n=45) y el 29.5% de la colección de pedernal de La Cariba, mientras que en La Corona solo representa el 11.5% de la colección de pedernal (n=367). Sin embargo, si apartamos el material del depósito especial sobre el Entierro 6 de La Corona, que agranda artificialmente la colección, entonces la proporción de caliza silicificada parece ser más semejante entre los dos sitios (el 20.5% de la colección de pedernal de La Corona). Esta tendencia debería ser confirmada por el análisis de una muestra más amplia que podría indicar que la “*Chert-free zone*” se extiende hacia La Cariba por lo menos, y confirmar que el pedernal era ya un bien de intercambio en esta microrregión. Se deberá confirmar esta información en el futuro con un mapa geológico con más detalles. Sería importante delimitar precisamente el área sin pedernal, ya que contribuirá a establecer los límites del territorio de adquisición de materias de uso común de La Corona.



Figura 12.2 Punta de Caliza calcificada. Contexto: Unidad CR11C-4-4-4 (2009), escondite en la estructura 13R-9 (Fotografía: J. Ponce)

Pedernal marrón fino

El pedernal marrón fino revela mucho acerca de los intercambios. Este pedernal de excelente calidad y de fuente desconocida se encuentra en la mayoría de los sitios de las Tierras Bajas en el Clásico (Andrieu 2009: 117-123; 2013: 29) y fue exclusivamente usado para la fabricación de puntas de lanzas y de hojas de laurel (Figura 12.3). Sin embargo tiene la particularidad de estar más presente en los sitios del sur de Campeche y en Dzibanche que en

otras partes (Andrieu 2013). En el sur de Campeche ha sido intercambiado bajo el aspecto de preformas, que probablemente fueron trabajadas localmente a través de redes de artesanos itinerantes. Esto se puede confirmar por la presencia de lascas diagnósticas de la fabricación de objetos bifaciales que se encuentran en abundancia en sitios como Río Bec o Calakmul en el Clásico Tardío y Terminal, pero también en Becan (*Ibíd.*) y Dzibanche (Salvador Avendaño 1994), mientras que en otras regiones solo aparece este pedernal bajo forma de objetos acabados en pocas cantidades (Andrieu 2009: 118-119). Por lo tanto el análisis de esta materia prima así como de la manera en que fue intercambiada en La Corona puede indicar si este sitio pertenecía a la misma esfera de intercambios de Calakmul o no.

Este pedernal parece ser bastante común en La Corona: a pesar de la distancia de este sitio con el sur de Campeche, se contaron 254 piezas de este material, representando el 6,6% de la colección. Si se aparta la muestra de pedernal del depósito sobre el Entierro 6, que fecha del Clásico Temprano y que agranda artificialmente la colección, el pedernal marrón representa el 13.5% de la muestra total de pedernal en La Corona, lo cual es bastante alto. La gran mayoría de las armas encontradas en estos sitios es de pedernal marrón importado ya que el 87% de las armas de La Corona fueron hechas sobre este material (126 hojas sobre un total de 144, y 18 sobre un total de 22 puntas de lanzas están hechas de pedernal marrón fino). Se destaca que hay 106 lascas y desechos de producción de este material, lo cual es también muy alto en comparación con otros sitios (Andrieu 2009) y solo es comparable con lo que se encuentra en la zona entre Calakmul y Dzibanche. Este pedernal está también representado en La Cariba, donde se encontraron 11 piezas, que son el 7.2 % de la colección de pedernal. Una vez mas, La Cariba tiene un patrón muy semejante al de La Corona.

Todos estos elementos asocian claramente a La Corona y su sitio periférico a la esfera de intercambio de Calakmul. El intercambio de este material parece seguir reglas distintas a las distancias geográficas. Por ejemplo, en el sitio de Naachtun, que está ubicado a 60 km de Calakmul, este pedernal es sumamente escaso, ya que solo representa el 1% de la colección, y solo está presente bajo la forma de objetos acabados (Andrieu y Sion en prensa). Los datos de La Corona confirmarían que la diferencia social y política eran mucho más importantes para la distribución de esta materia que la distancia geográfica, y muestran que el intercambio de pedernal marrón fino parece más relacionado a sitios que pertenecen a la esfera política de los *Kaanul*.



Figura 12.3 Bifacial de Pedernal Marron Fino. Contexto: Unidad CR16A-45-8-15 (2013)
Ofrenda bajo Escalinata Jeroglífica 2 (Fotografía J. Ponce)

Obsidiana

La obsidiana, por ser un vidrio volcánico importado desde las Tierras Altas de Guatemala o del México Central, es un marcador primordial para el entendimiento de las rutas de intercambios entre sitios. La cantidades de obsidiana en particular son un criterio importante para entender el papel de La Corona en las rutas de intercambio en las Tierras Bajas, dado el hecho de que más y más estudios muestran la presencia de una especie de frontera entre Calakmul y Tikal en cuanto a la distribución de este material.

En efecto, Tikal parece haber tenido obsidiana gracias a un acceso privilegiado a las rutas de intercambio de las Verapaces hacia las fuentes de El Chayal (Woodfill y Andrieu 2012). Al contrario, en Calakmul la obsidiana es muy escasa para todas las épocas de ocupación. Esta especificidad ha sido observada a partir de dos colecciones distintas, la del proyecto de la Universidad de Campeche (dir. Folan), analizada por Braswell (Braswell *et al.* 2004; Braswell 2013) y la del proyecto INAH (dir. Carrasco) (Andrieu 2009). En el caso de la colección estudiada por Andrieu, la obsidiana en Calakmul se conforma de 601 piezas, es decir menos de 5% de la colección lítica total, con una frecuencia de 0.2 piezas de obsidiana por unidad excavada (en comparación con Tikal que presenta una tasa de 9 piezas por unidad excavada (Moholy Nagy 2003).

Así como Calakmul parece tener un acceso limitado a la obsidiana (Braswell 2013), lo mismo sucede con sitios vecinos tales como Río Bec, donde la escasez de este material es más notable ya que solo representa el 1% de la colección de Río Bec con menos de 150 piezas

(Andrieu 2009), lo cual es menos de 0.05 pieza por unidad excavada. El mismo patrón aparece en la colección de Becan, donde es solamente el 1% de la colección global (Rovner y Lewenstein 1997). Los sitios del sur de Campeche tienen todos la particularidad de presentar proporciones de obsidiana muy bajas para el Clásico Tardío y Terminal. Hasta la fecha, el único sitio del sur de Campeche que presenta altas proporciones de obsidiana es Uxul (Braswell 2013), pero de manera interesante, estas cantidades están fechadas para el Clásico Temprano, es decir una época anterior a la integración de Uxul en el ámbito de Calakmul. Se desconocen las cantidades de obsidiana para el Clásico Tardío en Uxul, pero parecen mucho más bajas a partir del momento en que este sitio entra en el ámbito del Reino *Kaan* (*Ibíd.*). Los datos actuales convergen para mostrar que tanto Calakmul, como los sitios integrados en su seno político, tenían un acceso más restringido a la obsidiana.

Sin embargo, La Corona presenta un patrón distinto, ya que tiene un porcentaje muy alto de obsidiana, con un total de 1,373 piezas, que es el 25% de la colección total y 2.2 piezas por unidad excavada, más de 10 veces la frecuencia de obsidiana de Calakmul. La mayoría de la colección de obsidiana se pudo atribuir visualmente a la fuente del Chayal, Guatemala; las otras son Ixtepeque (n=7), San Martín Jilotepeque (n=4) y fuentes mexicanas desconocidas, probablemente Zaragoza (n=4). Otro elemento destacado es la presencia de 83 fragmentos de núcleos prismáticos en el sitio y de uno en La Cariba, lo cual es muy alto en comparación con otros sitios vecinos, sabiendo que se contabilizaron 24 núcleos en Calakmul en la colección excavada entre 1995-2005 (Andrieu 2009: 203) y 30 en Dzibanche (Salazar Avendaño 1994). Si se toma como base el radio medio de 100 navajas por núcleos, que es frecuentemente usado (Aoyama 2001), estos núcleos corresponderían a la producción de 8,300 navajas. Aún si se toma como base un radio mínimo de 50 navajas por núcleo, esta cantidad correspondería a la producción de 4,150 navajas, es decir 3 veces la cantidad de navajas encontradas en el sitio. Este dato permite proponer que en algún momento de su ocupación, La Corona fue un sitio exportador de navajas prismáticas en su micro región.

La Cariba tiene un radio de obsidiana relativamente alto también, con 51 piezas, que representan el mismo porcentaje (el 25%) de la colección total, al igual que en la colección de La Corona. La colección de La Cariba, aunque restringida, cuenta con un núcleo prismático. Este dato tiende a indicar que toda la micro región tenía un acceso fácil a la fuente de El Chayal, Guatemala.

Estas conclusiones generan muchas preguntas, ya que en el caso del pedernal marrón, La Corona parece estar integrada en la esfera de intercambio de Calakmul, pero por el otro tiene un acceso tres veces mayor a la obsidiana. Una posibilidad es que esta diferencia se deba a discrepancias cronológicas entre los contextos, ya que en Calakmul hacen falta contextos bien fechados, al igual que en La Corona. En particular el 79.5% de los fragmentos de núcleos prismáticos registrados en la colección de La Corona (n=66) provienen del depósito sobre el Entierro 6 fechado para Clásico Temprano, anterior a la alianza de La Corona con el Reino *Kaan*. En el futuro se deberá mejorar el análisis por época para observar eventuales diferencias en el abastecimiento en obsidiana a través del tiempo.

Contextos especiales

Los desechos de producción de obsidiana se encontraron mayormente en contextos especiales:

Entierro 6

Este entierro se encontró dentro de una versión más temprana de la Estructura 13R-2 del Grupo Coronitas y contuvo los restos de un gobernante de finales del Clásico Temprano. El entierro se colocó en una cista cavada dentro de la roca madre, y fue cubierta con un techo precedero, el cual fue sellado por una capa de materiales líticos (Baron 2012). La muestra lítica que se analizó del Entierro 6 consiste de 1,487 piezas de pedernal grueso opaco y 283 de obsidiana. Sin embargo, es importante mencionar que las 1,487 piezas de pedernal abarcan aproximadamente una quinta parte del material extraído del entierro, la cual es a su vez una tercera parte de la capa que cubrió el techo de la tumba. En el caso de la obsidiana, se analizó la totalidad de la muestra extraída de la tumba. La mayoría del material depositado encima de este entierro está compuesto de desechos de producción. Estos depósitos de desechos de talla son relativamente comunes en las Tierras Bajas Mayas, y se encuentran generalmente asociados a contextos de la realeza en edificios cívico ceremoniales (Andrieu 2009 ; 2011). Se componen habitualmente de material extraído de talleres, que corresponde a la producción de piezas bifaciales de pedernal (*Ibíd.*) y de navajas prismáticas para la obsidiana, probablemente en el marco de producción de tributos (ver Carballo 2013 para una hipótesis semejante en Teotihuacan). En este caso, el análisis del material muestra que este depósito tiene una composición distinta, ya que los desechos de pedernal en particular no se pueden relacionar con

una producción específica, debido a que la mayoría son desechos de percusión dura muy quemados y las lascas de percusión tierna son muy pequeñas, que probablemente corresponden más a lascas de rejuvenecimiento que de producción.

Descripción	Cantidad
Lascas de percusión dura grandes (más de 8 cm)	27
Lascas de percusión dura medianas (entre 6 y 8 cm)	60
Lascas de percusión dura pequeñas (menos de 5 cm)	768
Lascas de percusión tierna medianas (entre 6 y 8 cm)	58
Lascas de percusión tierna pequeñas (menos de 5 cm)	319
Bifaciales	2
Hoja de laurel (pedernal marrón)	1
Trozos sin clasificar	252
Total	1487

Tabla 12.1 Composición de la muestra analizada de pedernal del Entierro 6

Se debe tomar en cuenta que si el pedernal no es local de La Corona, tiene un valor distinto que en otros lugares de las Tierras Bajas. Además, si La Corona no era un sitio productor de artefactos de pedernal, parece lógico que no haya tenido acceso a lascas de producción bifaciales que son las que comúnmente se encuentran en estos tipos de depósito (Andrieu 2011). Entonces se podría interpretar este depósito como una versión del material que se encuentra tradicionalmente en los depósitos de lascas de la realeza, pero en un sitio consumidor con un acceso restringido al pedernal. Solo un fragmento de pedernal marrón fino fue encontrado en este contexto que fecha del Clásico Temprano, y es posiblemente intrusivo.

La colección de obsidiana de este depósito es interesante también. Se estudiaron 283 piezas de obsidiana, todas menos una atribuidas visualmente a la fuente de El Chayal. A excepción de 50 navajas prismáticas que presentan huellas de uso, todo el material de obsidiana depositado en este entierro corresponde a desechos asociados a la producción de navajas prismáticas. Se calculó un NMI de fragmentos de 66 núcleos prismáticos y 137 desechos de destrucción de núcleos, ya sea en la parte transversal o perpendicular al núcleo. La ausencia de navajas de primera o de segunda serie es notable, y muestra que este depósito tiene más que ver

con la destrucción de desechos de producción que con el acto mismo de hacer navajas, lo cual es también muy común en estos contextos (Andrieu 2011).

Descripción	Cantidad
Lascas pequeñas (inf. a 2 cm)	15
Navaja de percusión	1
Lasca de destrucción de núcleos (rodaja)	35
Lasca de destrucción de núcleos (trozos)	108
Fragmentos de núcleos	66
Fragmentos sin clasificar	7
Guijarro	1
Navaja prismática	50
Total	283

Tabla 12.2 Composición de la muestra analizada de obsidiana del Entierro 6

En todos los casos, destaca la gran concentración de núcleos en este entierro real, ya que concentran el 79,5% de la colección del sitio; sin embargo estos fueron ritualmente destruidos. El estudio de este depósito indica que si los habitantes de La Corona no tenían acceso a las lascas de producción bifacial habitualmente depositadas en tales contextos, es debido a que no tenían artesanos locales que produjeran estos implementos en el sitio, pero si tenían artesanos trabajando la obsidiana durante el Clásico Temprano.

Chultun de la Estructura 13R-10

Otro depósito de sumo interés, es el chultun que se ubicaba en la parte posterior de la Estructura 13R-10, en el Grupo Coronitas (Fernández 2011). En este contexto se encontró 67 navajas de segunda serie, que vinieron de un mismo núcleo. Esto indicaría que el desecho del núcleo se hizo en el lugar, probablemente sobre una piel, y que los micro desechos fueron luego tirados en el chultun. Se tiene entonces un índice directo de producción en el lugar. Se hace notar que la producción de navajas se hizo en un contexto especial, ya que el análisis de la cerámica demostró que se trataba probablemente de los restos de un festín. Este dato refuerza las hipótesis según las cuales ciertas producciones se hacían en contextos rituales (Hruby 2007).

Ofrenda en el eje central de la Estructura 13R-10

Este depósito contiene 50 fragmentos de obsidiana, de los cuales 37 son navajas de segunda serie, 6 navajas prismáticas de tercera serie y 7 fragmentos sin clasificar, todos atribuidos a la fuente de El Chayal.

Estos dos depósitos proveen, aunque de manera indirecta, información sobre la organización de la producción en el sitio. Es notable que la gran mayoría de los desechos relacionados a la producción de artefactos de obsidiana fueron encontrados en ofrendas o depósitos; el 100 % de las navajas de segunda serie y el 79.5% de los núcleos se han recuperado de estos contextos. Esto indica un posible control de una parte de la producción de este material, o por lo menos una centralización importante. Hasta la fecha, y a pesar de más de 25 años de excavación en el epicentro de Calakmul, nunca se ha podido documentar contextos semejantes de depósitos de núcleos o de desecho de talla de obsidiana. Este dato es un elemento más que indica que La Corona tuvo, en algún momento por lo menos, un acceso a obsidiana más importante que Calakmul, y que a pesar de su integración en el ámbito político del Reino *Kaan*, se benefició en algún momento de las distintas redes de intercambio.

Pirita

Otra particularidad de la colección de La Corona es la relativa abundancia de pirita (Figura 12.4). Se contabilizaron 227 fragmentos, de los cuales hay 170 cuentas, 34 teselas y 23 pequeños fragmentos de pirita octaedra, sin trabajar, del tamaño de las cuentas. La presencia de fragmentos naturales de pirita octaedra en el sitio, así como la abundancia de este material en comparación con otros sitios, permite considerar que esta materia estaba disponible localmente o que La Corona tenía contactos importantes con zonas de yacimientos de este material. Como punto de comparación, la pirita es más abundante en La Corona que en los sitios considerados como productores como Aguateca (Aoyama 2007) y Cancuén. La eventual presencia de fuentes locales de pirita se tendrá que averiguar en el futuro, pero podría ser un elemento importante para entender la posición de La Corona en las rutas de intercambio a larga distancia.

Jade

El análisis de las huellas de fabricación de estas piezas esta todavía en proceso. Sin embargo, los descubrimientos de objetos de jade en 2014, especialmente de los entierros 13, 18 y 19, permite afirmar que el jade y las piedras verdes en general eran abundantes en este sitio. Con todo se contabilizaron 1,123 piezas de jade o piedra verde, de los cuales son: 1,035 cuentas, 16 orejeras, 4 discos, 2 figurillas, 2 "huunales" y 62 fragmentos. También se encontró 1 cuenta de aragonita, 16 placas de roca metamórfica y 3 hachuelas de serpentina.

En particular se destaca la gran calidad de trabajo de los "huunales", que deben considerarse dentro de las obras de arte de jade mas finas encontradas en las Tierras Bajas. Aún no se puede determinar si estas piezas fueron producidas localmente, lo cual implica que se tenían artesanos de muy alto nivel en La Corona. Ninguna pieza encontrada en Calakmul o en Dzibanche presenta esta calidad de trabajo. Esto una vez más podría indicar que La Corona se beneficiaba de redes propias y genera muchas preguntas en cuanto al tipo de relación que se tenía con Calakmul. Se encontró este año un pulidor de cuentas de jade en La Corona, lo cual implica que hubo artesanos lapidarios en este sitio.



Figura 12.4 Fragmentos de Pirita. Contexto: Unidad CR16A-32-7-10 (2012)
Ofrenda en Estructura 13R-10 (Fotografía J. Ponce)

Conclusión

Este análisis muestra que La Corona se benefició de un acceso importante a redes de intercambio a larga distancia, pero también implica que tuvo una tradición artesanal propia, ya que en algún momento de su ocupación se produjo y probablemente se exportaron navajas

prismáticas a sus alrededores. La presencia de un pulidor de jade muestra también que este pequeño sitio tenía artesanos lapidarios. No podemos saber si los "huunales" encontrados los entierros 18 y 19 fueron hechos localmente, pero su presencia indica sin duda que la corte real tenía a su disposición artistas de gran valor. La cantidad de pirita y la presencia de fragmentos octaedros de pirita sin trabajar hace pensar que fueron hechas localmente, y es otro elemento para entender la economía de La Corona. Por otro lado, el alto porcentaje de pedernal marrón fino en La Corona indica que este sitio estuvo probablemente muy bien integrado en redes de intercambio con el sur de Campeche.

De manera interesante, la muestra de La Cariba presenta un patrón muy semejante al de La Corona, con un porcentaje alto de obsidiana, lo cual refuerza la impresión que estos sitios tenían un acceso fácil a la ruta de intercambio del El Chayal, y una relativa escasez de pedernal, al igual que la importación de pedernal marrón fino.

En el estado actual, los datos de La Corona presentan un patrón complejo y aparentemente contradictorio: por un lado hay indicios de importante interacción con la zona de Calakmul, por el pedernal marrón, y por el otro, las tasas de obsidiana y pirita son más altas que en la sede de poder de los *Kaanul*. El jade también da lugar a muchas preguntas, ya que unas piezas presentan una delicadeza de trabajo que no es en nada comparable al arte lapidario de Calakmul o Dzibanche y que parece contradecir la hipótesis según la cual este material llegó al sitio gracias a las alianzas que los dirigentes de La Corona establecieron con el Reino *Kaan*. Para terminar, es claro que estas contradicciones solo se podrán entender tomando en cuenta la cronología de cada contexto, para observar eventuales cambios en función de las alianzas políticas.

CAPÍTULO XIII

ANÁLISIS PRELIMINAR DE LOS RESTOS HUMANOS DE LA CORONA Y LA CARIBA, TEMPORADAS DE CAMPO 2013 Y 2014

Erin Patterson y Emily Kate

Introducción

Las últimas dos temporadas de campo se han caracterizado por un marcado incremento en la cantidad de materiales óseos recuperados por el Proyecto La Corona. El número total de entierros es ahora veinte y consiste en al menos 22 individuos. Restos humanos también han sido recuperados en otros contextos, incluyendo varias ofrendas y escondites. La temporada de campo 2014 fue significativa por dos razones: por primera vez en la historia del Proyecto, un entierro fue recuperado en el sitio satélite de La Cariba y restos de sub-adultos fueron encontrados en entierros de contexto primario (tanto en La Corona como en La Cariba). Todos los restos de 2013 fueron analizados por Erin Patterson, y los huesos de la temporada de campo 2014 fueron analizados por Erin Patterson y Emily Kate. Todos los huesos fueron evaluados siguiendo los estándares descritos Buikstra y Ubelaker (1994). Patterson participó en la excavación de los Entierros 9 y 12 y todos los otros contextos fueron excavados por los arqueólogos a cargo de las correspondientes operaciones.

Operación CR16 (Estructura 13R-10, La Corona)

Ofrenda 1 (CR16C-23-6-9)

Esta ofrenda, localizada en la Estructura 13R-10, fue excavada por Jocelyne Ponce en 2013 (Ponce 2014a). Los restos de este contexto son en su mayoría de uno o más sub-adultos. Los huesos incluyen fémur, vertebras, costillas, cráneo, y dientes (Tabla 13.1). El fémur izquierdo tiene dos marcas de mordidas causadas por roedores, sugiriendo que al menos algunos de los restos debieron estar expuestos por algún tiempo antes del entierro. Si los restos pertenecen a un solo sub-adulto, el desarrollo de tres dientes de leche y un diente permanente sugieren una edad aproximada de dos años +/- ocho meses al tiempo de la muerte (Buikstra y Ubelaker 1994).

Ofrenda 2 (CR16C-23-8-13)

Esta ofrenda fue recuperada de la Estructura 13R-10 en 2013 (Ponce 2014a). El depósito se encontraba dividido en dos áreas: ‘huesos asociados a plato’ y ‘pozo en cuarto 1’.

Huesos asociados a plato: Los huesos de esta parte del depósito incluyen falanges, escápula, clavícula, costillas, vertebras, cráneo, mandíbula, y dientes (Tabla 13.2). No fue posible determinar cuántos individuos están representados en los restos, pero el número mínimo de individuos es uno. Varias de las vértebras, de las regiones cervical y torácica, presentan crecimientos óseos, lo que sugiere que el individuo (o individuos) eran adultos o adultos mayores. Varios de los dientes presentan uso extensivo y las cúspides se encuentran aplanadas. Dos incisivos superiores tienen incisiones circulares taladradas en la superficie labial en el patrón V-1. (Buikstra y Ubelaker 1994). Una de las incisiones aún retiene una incrustación de jade (Figura 13.1).

Pozo en cuarto 1. En la otra parte del depósito, los restos humanos incluyen huesos de la mano, costillas, vertebras, brazo, pierna, y cráneo (Tabla 13.2). Ninguno de los elementos se repite con los del sub-depósito o con los huesos ‘asociados al plato’ con la posible excepción de un diente. El segundo incisivo maxilar fue recuperado, el cual tiene una incisión circular (en patrón V-1) para una incrustación, la cual no fue recuperada.



Figura 13.1 Maxilar derecho, primer incisivo, Ofrenda 2, CR16C-23-8-13
(Fotografía por E. Patterson)

Entierro 9 (CR16C-24b-11-17)

Los restos pobremente preservados y muy fragmentados de una mujer adulta fueron encontrados en la Estructura 13R-10 en 2013 (Ponce 2014a; 2014b). Este es un entierro primario, y el individuo fue enterrado en una posición supina extendida con la cabeza orientada al este. Los húmeros se encontraban a los lados, y debido a la pobre conservación no fue posible determinar la posición de los antebrazos.

El sexo de individuo fue determinado y se trata de una mujer, basado el foramen ciático mayor de la pelvis y en varios elementos del cráneo. Un fragmento del cuerpo de una vértebra exhibe crecimientos óseos, lo que sugiere que este individuo era adulto de mediana edad al momento de su muerte.

La mayoría de la dentición fue recuperada (Tabla 13.3). Los dientes maxilares anteriores se encontraban incisos y/o rellenos (Figura 13.2). Tres de ellos aún conservaban las incrustaciones, las cuales son de diferentes piedras, probablemente jade, piedra verde, y pirita. Algunas lesiones de caries fueron observadas y la mayoría de los dientes exhiben cálculos medios a moderados. El cóndilo izquierdo de la mandíbula se encuentra aplanado y el cóndilo derecho se encontraba dañado y no pudo ser observado. El cráneo se encontraba muy fragmentado y deformado, por lo que no se puede determinar deformación craneal.



Figura 13.2 Dientes maxilares anteriores, Entierro 9 de La Corona
(Fotografía por E. Patterson)

Varios huesos recuperados del área de los pies los cuales no pertenecen al ocupante primario de la cripta. Estos huesos provienen de varias partes del cuerpo y no se encontraban anatómicamente posicionados cuando fueron excavados. No hay manera de determinar si estos huesos representan a un individuo o a múltiples individuos, puesto que no hay elementos repetidos. Tampoco es seguro si estos representan un ‘entierro secundario’ o una ‘ofrenda’, puesto que el contexto no es claro. Sin embargo es posible que se trate de un depósito posterior e intrusivo que pudo estar o no relacionado con el entierro.

Entierro 10 (CR16C-24a-13-33)

Este entierro fue encontrado en la Estructura 13R-10 en 2013 (Ponce 2014a), y los restos se encuentran pobremente preservados y muy fragmentados. El individuo fue enterrado en una posición supina extendida con la cabeza hacia el sur. Esta persona era un adulto joven de sexo indeterminado. Varios elementos del esqueleto fueron utilizados para la estimación del sexo y proporcionan datos ambiguos para su determinación. La edad fue estimada en base al cierre de las suturas craneales y las epífisis de los huesos largos, las cuales aún muestran líneas de fusión. Hiperostosis porótica fue visible en ambos huesos parietales y un fragmento de ulna presenta una reacción perióstica. Se recuperaron seis dientes (Tabla 13.4), los cuales muestran uso extensivo, una posible fractura y una pérdida de diente *antemortem*. Es notable también que todos los molares inferiores izquierdos se perdieron *antemortem*. En general, la salud dental fue pobre, y el estado fragmentado del cráneo imposibilitó la observación de modificaciones craneales.

Entierro 11 (CR16C-24a-13-35)

Consiste de los restos de un adulto joven o de edad media, recuperado en 2013 (Ponce 2014a). Los restos presentan una preservación pobre y muy fragmentada. La cabeza se encontraba orientada al sur y los pies al norte, pero dada la pobre preservación, la posición de los brazos es incierta. Es posible que esta persona sea una mujer, ya que la cresta occipital no es muy pronunciada y los huesos son relativamente gráciles. La presencia de muchas suturas abiertas sugiere que esta persona no era mayor al momento de la muerte. No se observaron patologías, aunque la pobre preservación impidió la observación de muchas de las superficies de los huesos. No se recuperaron dientes. Una vasija cerámica colocada sobre el rostro del individuo aplastó el cráneo, por lo que no se recuperó ningún hueso facial que pudiera ser identificado.

Lote CR16C-27-5-5a9

Un diente fue recuperado debajo del piso Chico Zapote en la Estructura 13R-10 durante la temporada de campo 2014 (Tabla 13.5). Este diente se encuentra completo y en buenas condiciones, por lo que fue identificado como un segundo incisivo maxilar izquierdo, aún de leche.

Lote CR-16C-31-5-7

Estos restos, excavados en 2014 en la Estructura 13R-10, consisten en la parte de un fémur, fragmentos de huesos largos, y piezas de costillas y vértebras (Tabla 13.5). Los fragmentos de costillas y vertebras se encuentran mejor preservados y presentan un color más amarillo que el resto de los huesos. La secuencia del depósito no es clara, pero es posible que los dos grupos de huesos fueran depositados en diferentes momentos o que los huesos fueron previamente enterrados en una locación diferente con diferentes tipos de suelo.

Entierro 12 (CR16C-32-7-9)

Este contexto de la Estructura 13R-10 fue excavado por Jocelyne Ponce y Erin Patterson en 2014. Es un entierro primario; los huesos de un solo individuo fueron encontrados en posición anatómica. El individuo fue enterrado en una posición supina, extendido, con los codos flexionados y las manos colocadas sobre el pecho (Figura 13.3). El esqueleto se orientó a lo largo del eje del edificio, con la cabeza hacia el este. La arquitectura de la tumba consistía en una cista hecha por un alineamiento de piedras pequeñas.

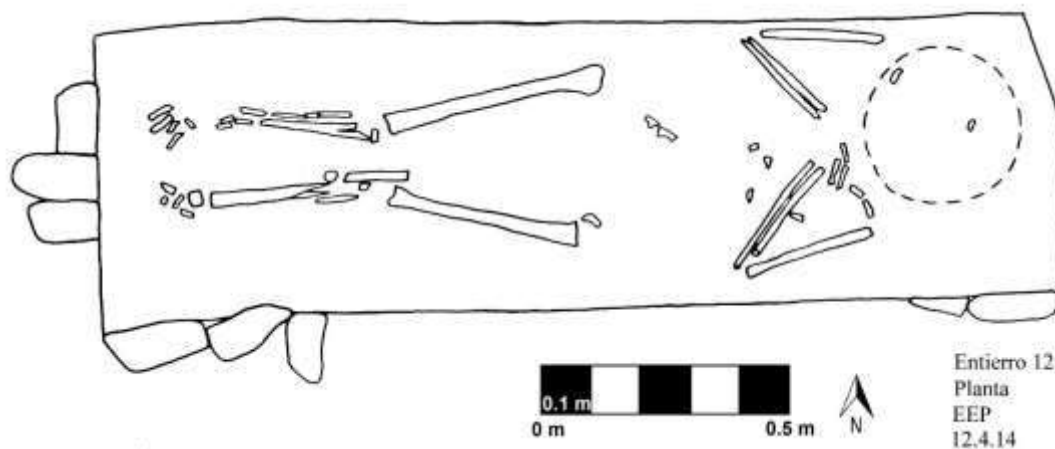


Figura 13.3 Entierro 12 de La Corona Entierro, vista de planta (Dibujo por E. Patterson, calco por D. Chatelain)

En general, los huesos se encuentran fragmentados y las articulaciones de los huesos no están preservadas, pero las áreas corticales de los huesos se encontraron intactas. Muy poco de los huesos del cráneo, pelvis, espina o costillas se encontraban preservados. Algunos fragmentos de estos huesos fueron recuperados, pero ninguno de ellos se encontró intacto. No se observaron patologías, a pesar que varias de las superficies de los huesos se encontraron preservadas.

El individuo era un adulto joven o de edad media al momento de la muerte. La edad fue estimada basándose en la falta de evidencias de cambios degenerativos (como artritis) en los huesos y en los fragmentos de vértebras. Indicadores de edad más confiables, como las suturas craneales y la sínfisis púbica, no se encontraron preservados. La determinación del sexo fue más difícil puesto que los indicadores de sexo más confiables, que se encuentran en la pelvis y en el cráneo, no se conservaron. La naturaleza relativamente pequeña y grácil del esqueleto sugiere que posiblemente se trate de una mujer.

Solo cuatro dientes fueron recuperados, incluyendo la parte de un premolar (Tabla 13.6). Los tres dientes maxilares anteriores presentan incisiones circulares en patrón V- (Buikstra y Ubelaker 1994). Uno de estos dientes aún retiene la incrustación de piedra, la cual puede ser pirita (Figura 13.4). Cinco piezas de jade de diferentes formas fueron encontradas en el área de la cabeza. Puesto la naturaleza fragmentada del cráneo, la exacta posición de éstas en la cista no es clara, pero puede que se trate de las piezas de un collar o algo parecido.

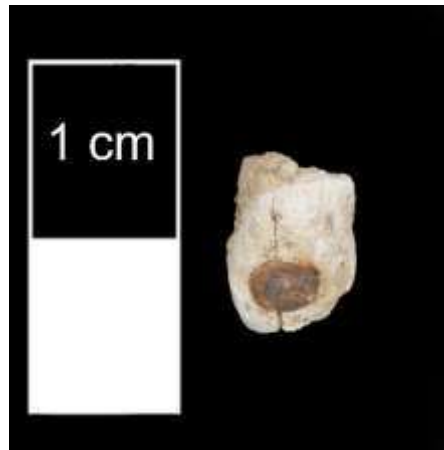


Figura 13.4 Canino maxilar izquierdo, Entierro 12 de La Corona
(Fotografía por E. Kate)

Entierro 13 (CR16C-34-11-12)

Consiste de un entierro primario de un solo individuo, colocado en una cista de piedras alineadas. El individuo fue enterrado en una posición supina extendida con los brazos doblados sobre el abdomen y la cabeza orientada al este. Los huesos se encuentran extremadamente fragmentados y pobremente preservados. Aunque la mayoría de los huesos largos fueron recuperados, se encontraban muy fragmentados y pocos extremos de las articulaciones se conservaron. Los huesos de la espina y pelvis están ausentes, dada la pobre preservación. Sin embargo, algunos de los huesos de las manos y pies fueron encontrados, en su mayoría intactos. El individuo era un adulto joven a adulto de edad media al momento de la muerte, de acuerdo a la falta de cambios degenerativos en las pocas superficies de articulaciones que se encontraron preservadas y en la morfología de los extremos de las costillas esternales. La glabella y el arco supraorbital fueron los rasgos esqueléticos disponibles para la estimación de sexo. Basándose en éstos rasgos, el individuo sea posiblemente una mujer. La mayoría de los dientes fueron recuperados (Tabla 13.7) y la mayoría de ellos presentaban cálculos medios a moderados. Un fragmento de la mandíbula del área justo al frente del foramen mental izquierdo exhibe porosidades. No se preservó el hueso alveolar, pero la porosidad posiblemente se encuentre relacionada con enfermedad periodontal. Varios de los dientes posteriores presentan caries oclusales y varios de los dientes anteriores presentan hipoplasia linear en el esmalte. No se identificaron otras patologías en los huesos del cráneo o post-craneales. El incisivo y el canino maxilar izquierdos fueron modificados en el patrón V-1 (Buikstra y Ubelaker 1994). El canino aún retiene la incrustación, la cual puede que se trate de piritita (Figura 13.5). El incisivo lateral derecho maxilar y un canino fueron recuperados pero no se encuentran modificados, lo que indica que la decoración dental no presentaba simetría bilateral. No pudo ser identificada modificación craneana dada la pobre preservación y la fragmentación de los huesos.

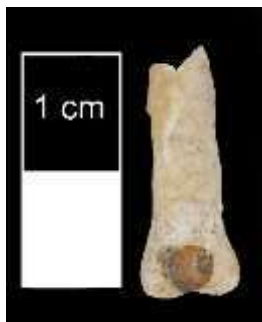


Figura 13.5 Canino maxilar izquierdo, Entierro 13 de La Corona (Fotografía por E. Kate)

Operación CR20 (Estructura 13Q-4, Palacio de La Corona)

Entierro 16 (CR20F-8-13)

Este contexto, localizado en la Estructura 13Q-4F, fue excavado por Maxime Lamoureux St-Hilaire en 2014. Este es el entierro primario de un sub-adulto. El individuo fue encontrado en una posición supina extendida con la cabeza hacia el sur. El esqueleto se encuentra casi completo, incluyendo la dentición (Tabla 13.8). La preservación en general es buena, aunque los huesos largos se encuentran un tanto fragmentados. Basado en el desarrollo dental, este niño probablemente tenía entre 10-12 años de edad al momento de la muerte. El sexo no pudo ser determinado en niños de tan poca edad (a excepción por medio de análisis del ADN).

En general la salud y salud dental parece ser buena, aunque se observó una gran área con porosidades en el hueso occipital (Figura 13.6). Esto posiblemente se encuentra relacionado con la presión hecha por implantes utilizados para la modificación craneal. Los dientes no presentan caries y solo se observaron algunos rastros de cálculos. El canino izquierdo maxilar tiene dos hipoplasias lineares en el esmalte. Los dientes no fueron modificados. Mientras que el hueso frontal se encuentra fragmentado por la presión de un pequeño cuenco colocado sobre el rostro, la mayoría del resto de la bóveda craneana se encuentra preservado, lo que permitió identificar modificación tabular oblicua. Al lado derecho del cráneo le faltó un fragmento del área donde se unen el parietal y el occipital (Figura 13.7). Los bordes fracturados presentan daños *postmortem*, lo que dificulta su análisis, pero es posible que este se trate de un trauma *perimortem*. Una fractura irradia fuera del defecto super-oposterior y el hueso occipital se encuentra separado de los huesos parietales y temporales. Una fractura se extiende desde el lado derecho de la sutura lambdoidea a través de la sección superior de la porción escamosa del occipital.

Lote CR20H-1-4

Un quinto metatarso izquierdo fue recuperado de este contexto en la Estructura 13Q-4H en 2014 (Tabla 13.5).



Figura 13.6 Porosidad en el hueso occipital, Entierro 16 de La Corona
(Fotografía por C. Parris)



Figura 13.7 Vista lateral del cráneo, Entierro 16 de La Corona
(Fotografía por C. Parris)

Lote CR20I-1-2

Este contexto contenía huesos humanos de cráneo y dientes (Tabla 13.5). Los restos fueron excavados por Maxime Lamoureux-St-Hilaire en 2014 en la Estructura 13Q-4I. Los fragmentos de cráneo no son diagnósticos, por lo cual no se obtuvo información de la edad o sexo. Los cuatro dientes recuperados de este contexto sugieren, si este es un solo individuo, que la salud dental era buena. Los dientes tienen cálculos medios y no presentan caries.

Lote CR20I-1-4

Un segundo molar izquierdo mandibular (Tabla 13.5) fue recuperado de este contexto, que fue excavado por Maxime Lamoureux-St-Hilaire en la Estructura 13Q-4I en 2014. El diente no tenía caries o cálculos.

Entierro 17 (CR20O-1-2)

Los huesos recuperados de este contexto representan un solo individuo adolescente. Este entierro fue excavado por Eduardo Bustamante en 2014. En general los huesos se encuentran en buenas condiciones pero fragmentados; los huesos largos, con la excepción de la fíbula, se encuentran erosionados. La edad fue determinada usando el desarrollo y la fusión de las epífisis, ya que las siguientes fueron observadas: distal del fémur, distal y proximal de la tibia, proximal y distal de la fíbula, proximal y distal de la ulna, varios cuerpos de las vértebras, metacarpos, metatarsos, falanges y el isquion. Basado en estos elementos, la edad es estimada es entre los 15 y 19 años. A pesar que a menudo la falta de una prominente cresta occipital sugiere que la persona era mujer, en este caso el sexo no pudo ser determinado con confianza dada la edad joven del individuo. El occipital es muy plano, indicando que la forma del cráneo fue modificada. La mayoría de la dentición fue recuperada (Tabla 13.9), por lo que se determinó que los dientes son muy grandes y no han sido modificados. El incisivo central maxilar presenta un defecto en el borde oclusal que aparentemente es natural (Figura 13.9). No se observó ninguna patología en los huesos, sin embargo la dentición presenta varias patologías. Muchos de los molares tienen caries oclusales y se observaron cálculos medios en muchos de los dientes anteriores mandibulares. Hipoplasia del esmalte se identificó en seis dientes.

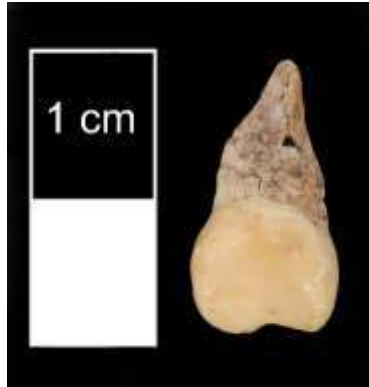


Figura 13.8 Incisivo central derecho maxilar, Entierro 17 de La Corona
(Fotografía por E. Kate)

Lote CR200-2-1-2

Los restos humanos de este contexto consisten en algunos huesos y dientes. El número mínimo de individuos es uno, puesto que ningún elemento se encuentra duplicado; aun así los restos pueden representar a múltiples individuos. No hay indicaciones que éste sea un entierro primario y los huesos recuperados en su mayoría son huesos largos, algunos fragmentos de costillas y ocho dientes. Se observaron pocos calculas en los dientes y solo hay una carie en un molar. El primer incisivo derecho maxilar se encuentra relleno en el patrón II-4 (Buikstra y Ubelaker 1994), en los bordes oclusal y distal (Figura 13.10).



Figura 13.9 Primer incisivo derecho maxilar, CR200-2-1-2
(Fotografía por E. Kate)

Lote CR200-2-2

El cráneo de un solo individuo fue recuperado de este contexto, y la mandíbula, dientes mandibulares, o huesos post-craneales no estaban. Puede verse un inventario esquelético en la Tabla 13.11. Basándose en el desarrollo dental, este individuo era un adolescente al momento de la muerte, con una edad alrededor de quince años (+/- 3 años) (Moorrees *et al.* 1963). Varios de los rasgos utilizados para la determinación de sexo fueron observados: cresta occipital, proceso mastoideo, y arco supraorbital/gabela. La expresión de estos rasgos sugiere que el individuo era una mujer, pero dada la edad joven de la persona, la estimación de sexo es bastante tentativa. El cráneo muestra evidencias de modificación intencional, aunque su naturaleza no pudo ser determinada debido a que éste se encuentra fragmentado e incompleto. La falta de restos post-craneales impidió la observación de otros indicadores de edad y sexo. Los ocho dientes maxilares (Tabla 13.12) se encuentran en buenas condiciones y la salud dental era buena, ya que se observaron cálculos leves en sólo dos dientes y ninguna caries.

Lote CR210-1-5-2

Una parte de una tibia fragmentada fue encontrada por Eduardo Bustamante en 2014. Aunque la erosión removió la mayoría de la superficie cortical, el hueso parece haber estado afectado por periostitis.

Operación CR31 (Estructura 13Q-1, La Corona)

Entierro 19 (CR31B-10-4)

Un cráneo humano muy mal preservado fue recuperado por Camilo Álvarez en 2014, el cual provino de una tumba colapsada y removido como un bloque de barro. Es posible que este haya sido un entierro primario, pero muy pocos restos óseos fueron recuperados. Los huesos eran muy suaves, húmedos e impregnados con una cobertura de caliza, por lo que no fue posible extraer mucho hueso del bloque de barro. Solo siete dientes (Tabla 13.13) fueron recuperados, y éstos fueron muy frágiles. La edad y el sexo no pudieron ser determinados por el limitado material esquelético disponible. No se observaron patologías.

Operación CR32 (Estructura 13Q-2, La Corona)

Lote CR32D-74-6

Los restos humanos de este contexto (Tabla 13.5) son principalmente fragmentos de un cráneo, muchos de los cuales se encontraron cubiertos por un pigmento rojo. También se recuperó un conjunto de dentición casi completo y no se encontró ningún diente duplicado, por lo que puede que representen a solo un individuo. Algunos huesos, incluyendo varios fragmentos de huesos largos, se encontraron cubiertos en un barro más anaranjado que el observado en el resto de huesos de este contexto.

Entierro 8 (CR32H-19-18)

Este entierro primario de un individuo fue excavado en 2014 por Erika Gómez. La cabeza del individuo se encontraba apuntado al este. Los restos se encontraron severamente fragmentados y muy pobremente preservados, con huesos y dientes erosionados. Este individuo era un adulto, aunque no es posible dar una estimación más específica de la edad. El sexo, basándose en un número limitado indicadores esqueléticos en el cráneo, puede que se trate de una mujer. No fue posible determinar la salud dada la pobre preservación. Veintinueve dientes fueron recuperados, sin embargo se encuentran erosionados y varios presentaron cálculos medios. No se observaron caries. Varios de los dientes inferiores fueron encontrados en una concha (#4) y esto, combinado con diferentes tipos de modificación dental entre los dientes superiores e inferiores, sugiere que los dientes inferiores provienen de una persona o personas diferentes. Los caninos superiores y los incisivos laterales se encontraron rellenos en el patrón I-4, y los incisivos centrales se encuentran rellenos en el patrón II-4 (Buikstra y Ubelaker 1994). Finalmente, la mayoría de los dientes anteriores inferiores se encuentran rellenos en una forma distinta, el patrón III-9.

Operación CR116 (Grupo 13R-II, La Corona)

Entierro 15 (CR116A-1/3-4)

Este entierro contuvo los restos de un adulto de sexo indeterminado, los cuales se encontraron pobremente conservados y fragmentados, cubiertos por una capa de barro duro. Pocas superficies de articulaciones estuvieron preservadas, y ninguna de ellas presentó signos de artritis. La única patología notada fue una periostitis curada en la tibia izquierda. La mayoría de

los dientes fueron recuperados y se encontraron en buenas condiciones (Tabla 13.14). La mayoría de estos presentaron cálculos medianos o moderados, y solo una carie fue observada. Varios de los dientes se encuentran modificados. El incisivo central derecho maxilar y ambos caninos maxilares (Figura 13.10) se encuentran modificados en los bordes distales y tienen incrustaciones circulares, posiblemente de pirita. Los incisivos laterales maxilares se encuentran tallados en la parte baja paralelo a la superficie oclusal.

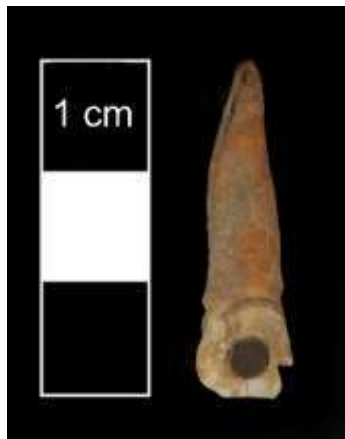


Figura 13.10 Canino izquierdo maxilar, Entierro 15 de La Corona
(Fotografía por E. Kate)

CR116B-1/2/3-6: Entierro 14.

Los restos de un adulto de mediana edad o adulto de edad avanzada fueron encontrados en este contexto. Elementos diagnósticos del cráneo y el tamaño en general de los huesos indican que esta persona posiblemente sea una mujer. La estimación de la edad se encuentra basada en las suturas craneales clausuradas y el crecimiento óseo ligero en los bordes de varias superficies de articulaciones. Pocos dientes fueron recuperados (Tabla 13.15); los molares y premolares tienen caries, lo que sugiere que la higiene dental debió de ser pobre. La pérdida de dientes *antemortem* puede explicar los pocos dientes que fueron recuperados, pero esto no puede ser confirmado, puesto que no se preservó el hueso alveolar. Los caninos exhiben hipoplasia linear en el esmalte, y varios dientes mandibulares presentan cálculos medianos. El incisivo lateral izquierdo mandibular y el canino perdieron sus esquinas disto-oclusal. Esto parece algo intencional causado por el uso más que una modificación intencional. No se observó ninguna modificación intencional.

Lote CR116B-2-5

Este contexto contenía huesos humanos de varias partes del cuerpo, incluyendo el cráneo, clavículas y huesos largos (Tabla 13.5). Una parte del hueso temporal tiene un pequeño proceso mastoideo, sugiriendo que el individuo era una mujer, pero los restos pueden pertenecer a más de una persona.

Operación CAR1 (Grupo A, La Cariba)

Lote CARIB-1-1

Algunos fragmentos de huesos largos fueron recuperados de una trinchera de saqueo en la Estructura A-5 de La Cariba (Tabla 13.16). Uno de los fragmentos tiene una superficie modificada la cual muy posiblemente fue causada por periostitis o un trauma que fue sanado antes de la muerte.

Pozo dentro del saqueo de la Estructura A-5 (CARIB-1-3)

La parte de una tibia fue excavada de este contexto (Tabla 13.16). Sólo la epífisis proximal fue recuperada, la cual no se encuentra fusionada, por lo que este hueso perteneció a un sub-adulto.

Entierro 1 (CARIB-1-14/16/17)

Este contexto fue excavado por David Chatelain en 2014. El número mínimo de individuos es tres. El entierro contiene un adulto, un niño joven, y un feto o infante. Tanto el adulto como el niño fueron enterrados en posición flexionada sobre sus costados izquierdos. Dada la pobre preservación, la fragmentación, y la estratigrafía compleja, no fue posible determinar la localización original del infante.

Individuo A: Este individuo fue un adulto joven al tiempo de la muerte, basado en la falta de cambios degenerativos en las articulaciones. Indicadores esqueléticos en el cráneo sugieren que esta persona era una mujer. Los restos del infante o feto fueron encontrados mezclados con los huesos de este individuo. En su mayoría el hueso cortical se encuentra en buenas condiciones, a pesar que muchos de los huesos se encontraron fragmentados. El adulto parece haber tenido mala salud y parece haber tenido una infección crónica, ya que hay periostitis en todos los huesos

largos mayores. El inventario dental se presenta en la Tabla 13.17, y en general se encontraron en pobres condiciones, con varias caries y cálculos significativos. Basándose en el largo de los huesos, el feto o infante se encontraba alrededor de las 40 semanas de gestación. No es claro si éste ya había nacido o si se encontraba *in utero* al momento de la muerte. No se notó ninguna patología.

Individuo B: La edad de este niño se estima entre los 4 años +/- 12 meses, basado en el desarrollo de los dientes (Buikstra y Ubelaker 1994). Una mezcla de dientes de leche y dientes permanentes fueron recuperados (Tablas 13.18 y 13.19). La salud dental de este individuo era pobre, ya que varios de los dientes de leche tenían caries. La carie en el primer molar izquierdo maxilar es tan grande que removió la mayor parte de la corona. Se observaron cálculos en muchos de los dientes de leche, y un defecto en el esmalte fue encontrado en el diente de leche canino izquierdo maxilar. No se observó ninguna patología en los huesos.

Lote CARIB-3-2

Un fragmento de costilla y varios fragmentos no identificados de hueso fueron recuperados de este contexto (Tabla 13.16).

Lote CARIB-3-2

Un fragmento de costilla y parte de un húmero fueron encontrados en una trinchera de saqueo en la Estructura A-2 (Tabla 13.16).

Saqueo de Estructura A-2 (CARIB-3-3)

El borde distal de la ulna de un adulto, varias astillas de costillas, y parte de un metacarpo fueron recuperados del relleno de una trinchera de saqueo en la Estructura A-2 (Tabla 13.16). En general los restos se encuentran en buenas condiciones.

Operación CAR13 (Grupo B, La Cariba)

Escondite 1 (CAR13A-1-4)

Los huesos humanos de este escondite, excavado por David Chatelain en 2014, incluyen varios dientes (Tablas 13.20 y 13.21) y varios fragmentos de huesos y dientes (Tabla 13.16). Ninguno de los dientes está duplicado, indicando que pudieron haber pertenecido a un solo

individuo. Basándose en el desarrollo de los dientes, la persona tenía dos años de edad (+/- 8 meses) al momento de la muerte. El diente de leche incisivo derecho maxilar presentó un defecto en el esmalte con forma de media luna en la superficie labial (Figura 13.11). El antimero puede que tenga un defecto similar, pero es difícil de confirmar puesto que la corona está rota y erosionada.

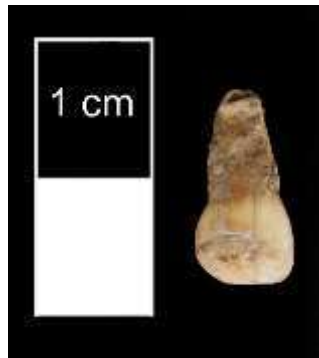


Figura 13.11 Diente de leche incisivo derecho maxilar, con defecto en el esmalte, CAR13A-1-4
(Fotografía por E. Kate)

Escondite 3 CAR13A-1-11

Un cuenco que contenía huesos de cráneo, dos fragmentos de vértebra (Tabla 13.16) y varios dientes (Tabla 13.22) fu excavado por David Chatelain en 2014. Ninguno de los elementos se repite, por lo que los huesos pueden representar a un individuo. Dados los tipos de huesos presentes, es posible que originalmente se haya colocado un cráneo completo dentro del cuenco. Ninguna patología fue visible en los huesos de la bóveda craneana. Solo cuatro dientes fueron recuperados, pero basándose en su desarrollo, la edad al momento de muerte ha sido estimada entre los 9 meses (+/- 3 meses) y un año (+/- 4 meses) (Buikstra y Ubelaker 1994).

Sumario

Desde el inicio de las excavaciones en 2006, diecinueve entierros han sido descubiertos en La Corona, y un entierro ha sido encontrado en La Cariba. La suma de varios sub-adultos a la población de entierros incrementa significativamente la diversidad de la muestra. El Entierro 1 de La Cariba es el único con varios individuos que se ha encontrado hasta ahora en ambos sitios. Se espera que las temporadas de campo subsecuentes continúen incrementando el tamaño y la diversidad de la muestra, lo que proporcionará una mejor vista a las vidas y la salud de las poblaciones de ambos sitios.

Leyenda de tablas

Lado	I (izquierdo) D (derecho) A (ambos) LM (línea media) ? (lado desconocido)
Segmento	EP (epífisis proximal) P $\frac{1}{3}$ (tercio proximal de diáfisis) M $\frac{1}{3}$ (tercio medial de diáfisis) D $\frac{1}{3}$ (tercio distal de diáfisis) ED (epífisis distal) C (cuerpo vertebral o centrum) AN (arco neural)
Integridad	1 (75-100% completo) 2 (25-75% completo) 3 (menos de 25% completo)
Dientes	di/I (incisivo) dc/C (canino) P (premolar) dm/M (molar)

Tabla 13.1 Inventario Ofrenda 1 (CR16C-23-6-9)

Hueso	Lado	Segmento	Integridad	Cantidad	Edad	Notas
temporal	D		3	1		
falange de mano	?	EP dañado	1	1	subadulto	
clavícula	I	mitad lateral	2	1	subadulto	
clavícula?	?	mitad medial	1	1	subadulto	
fragmentos de cuerpos de costillas				2		
fragmentos de cuerpos de costillas				5	subadulto	es posible que no es humano
fragmentos vertebrales	LM	AN	todos: 2	3	subadulto	
fragmento de hueso largo				2		los fragmentos encajan juntos; marcas de dientes de roedor
fémur	I	P $\frac{1}{3}$	P $\frac{1}{3}$:1	1	subadulto	marcas de dientes de roedor
fémur?	?	M $\frac{1}{3}$, D $\frac{1}{3}$	M $\frac{1}{3}$:3, D $\frac{1}{3}$:2	1	subadulto	es posible que no es humano
fragmentos de huesos largos				10		
fragmentos de huesos largos				3		es posible que no es humano; posible fibula de subadulto
primer molar mandibular, deciduo	L		1	1	subadulto	
segundo molar mandibular, deciduo	L?		1	1	subadulto	
segundo molar mandibular,	D		1	1	subadulto	

deciduo						
incisivo	?					probablemente incisivo segundo mandibular
occipital	LM		2	2	subadulto	los fragmentos encajan juntos
fragmentos de la bóveda craneal				22		subadulto, por mayor parte
fragmentos craneales				4		
fragmentos no identificados				100+		

Tabla 13.2 Inventario Ofrenda 2 (CR16C-23-8-13)

Ubicación	Hueso	Lado	Segmento	Integridad	Cantidad	Notas
Huesos asoc. a plato	primer falange distal de mano	?		1	1	
Huesos asoc. a plato	falange proximal de mano	?	mitad proximal	2	1	
Huesos asoc. a plato	falange de mano	?	falta ambos extremos	2	1	erosionado
Huesos asoc. a plato	omóplato	?	cavidad glenoidea parcial	3	1	
Huesos asoc. a plato	fragmentos de cuerpos de costillas				2	
Huesos asoc. a plato	cabezas de costillas				2	
Huesos asoc. a plato	clavícula	D?	falta ambos extremos	2	1	
Huesos asoc. a plato	primera vértebra cervical	LM		3	1	
Huesos asoc. a plato	segunda vértebra cervical	LM	parte anterior	3	1	
Huesos asoc. a plato	primera vértebra cervical	LM		3	1	
Huesos asoc. a plato	fragmentos de vértebras				10	cervicales y dorsales; viejo
Huesos asoc. a plato	mandíbula	LM	cuerpo	2	3	los fragmentos encajan juntos; dañados y erosionados
Huesos asoc. a plato	occipital	LM	parte basilar parcial	3	1	
Huesos asoc. a plato	fragmentos de la bóveda craneal				46	
Huesos asoc. a plato	fragmentos no identificados				100+	
Huesos asoc. a plato	segundo molar mandibular	I			3	dañado
Huesos asoc. a plato	canino mandibular	I			1	erosionado
Huesos asoc. a plato	segundo incisivo	D			1	dañado y erosionado

a plato	mandibular					
Huesos asoc. a plato	primer premolar mandibular	D			1	
Huesos asoc. a plato	segundo premolar mandibular	D			1	
Huesos asoc. a plato	primer molar mandibular	D			1	erosionado
Huesos asoc. a plato	primer premolar maxilar	I			1	desgaste severo
Huesos asoc. a plato	segundo premolar maxilar	I			1	
Huesos asoc. a plato	segundo molar maxilar	D			1	desgaste severo, erosionado, falta un pedazo de esmalte
Huesos asoc. a plato	segundo premolar maxilar	D			1	
Huesos asoc. a plato	segundo incisivo maxilar	D			1	agujero circular para incrustación
Huesos asoc. a plato	primer incisivo maxilar	R			1	incrustación circular de jade
Huesos asoc. a plato	raíz del diente				1	
Pozo en cuarto 1	fragmentos de la bóveda craneal				2	
	fragmentos de vértebras				2	
	fragmentos de cuerpos de costillas				7	
	mandíbula	LM		3	1	
	fragmentos de huesos largos				42	
	tibia	?	M ¹ / ₃	M ¹ / ₃ :2	1	
	fémur	?	M ¹ / ₃	M ¹ / ₃ :2	3	los fragmentos encajan juntos
	húmero	?	M ¹ / ₃	M ¹ / ₃ :1	2	los fragmentos encajan juntos
	cúbito	?	D ¹ / ₃ , DE	D ¹ / ₃ :1, DE:1	2	los fragmentos encajan juntos
	quinto metacarpiano	D		1	1	
	quinta falange media de mano	?		1	1	
	falange intermedia de mano	?	EP dañado	1	1	
	fragmentos de metacarpianos				3	
	falange de mano	?	falta EP	2	1	
	fragmentos de carpianos				4	
	fragmentos no identificados				100+	
	segundo incisivo maxilar	D?		2	1	agujero circular para incrustación; falta la raíz

Tabla 13.3 Inventario Dental del Entierro 9 de La Corona

	Derecho								Izquierdo							
	M3	M2	M1	P2	P1	C	I2	I1	I1	I2	C	P1	P2	M1	M2	M3
Maxilar	X	X		X		X	X	X	X	X	X		X	X		
Mandibular	X	X	X	X	X	X	X	X	X	X	X	X	X		X	X

Tabla 13.4 Inventario Dental del Entierro 10 de La Corona

	Derecho								Izquierdo							
	M3	M2	M1	P2	P1	C	I2	I1	I1	I2	C	P1	P2	M1	M2	M3
Maxilar				X		X										
Mandibular						X		X	X		X					

Tabla 13.5 Inventario de las operaciones CR16, CR20, CR32 y CR116, La Corona, Temporada 2014

Lote	Descripción	Hueso	Lado	Segmento	Integridad	Cantidad	Notas
CR16C-27-5-5a9	Estr. 13R-10, lotes bajo piso Chico Zapote	segundo incisivo maxilar, deciduo	I		1	1	
CR16C-31-5-7	ofrenda, Estr.13R-10	fémur	?	~1/2 de diáfisis	2	2	los fragmentos encajan juntos; erosionado
CR16C-31-5-7	ofrenda, Estr.13R-10	fragmentos de diáfisis de huesos largos				4	
CR16C-31-5-7	ofrenda, Estr.13R-10	fragmentos de cuerpos de costillas				1	mejor conservado y más de color amarillo de fémur o fragmentos de huesos largos
CR16C-31-5-7	ofrenda, Estr.13R-10	fragmento de cuerpo de vértebra				1	mejor conservado y más de color amarillo de fémur o fragmentos de huesos largos
CR16C-31-5-7	ofrenda, Estr.13R-10	fragmentos no identificados				28	
CR20H-1-4	Estr.13Q-4H	quinto metatarsiano	I	falta ED	1	2	los fragmentos encajan juntos
CR20I-1-2	Estr. 13Q-4I	fragmentos no identificados				6	1 fragmento quemado (negro)
CR20I-1-2	Estr. 13Q-4I	parietal	?		3	1	
CR20I-1-2	Estr. 13Q-4I	fragmentos de la bóveda craneal				12	2 los fragmentos encajan juntos
CR20I-1-2	Estr. 13Q-4I	temporal	?		3	1	
CR20I-1-2	Estr. 13Q-4I	canino maxilar	D		1	1	
CR20I-1-2	Estr. 13Q-4I	canino maxilar	I		1	1	
CR20I-1-2	Estr. 13Q-4I	Segundo incisivo maxilar	D		1	1	
CR20I-1-2	Estr. 13Q-4I	primer premolar maxilar	D		1	1	
CR20I-1-4	Estr.13Q-4I	segundo molar mandíbula	I		1	1	
CR21O-1-5-2	sobre piso	tibia	?	2/3 de diáfisis		7	los fragmentos encajan juntos;

																	infección
CR32D-74-6		fragmentos no identificados														~75	algunos son fragmentos craneales, algunos tienen pigmento rojo
CR32D-74-6		fragmentos de diáfisis de huesos largos														4	la tierra es más café/naranja que en los otro huesos del mismo contexto
CR32D-74-6		fragmentos no identificados														15	la tierra es más café/naranja que en los otro huesos del mismo contexto
CR32D-74-6		fragmentos no identificados														82	
CR32D-74-6		fragmentos craneales														4	hueso alveolar
CR32D-74-6		fragmentos de diáfisis de huesos largos														2	
CR32D-74-6		fragmentos craneales														3	
CR32D-74-6		fragmentos de la bóveda craneal														5	
CR32D-74-6		temporal	?							3						3	
CR32D-74-6		fragmentos de la bóveda craneal														4	la mayoría tienen pigmento rojo
CR32D-74-6		fragmentos no identificados														25	la mayoría tienen pigmento rojo
CR116B-2-5	Estr.13R-13	clavícula	?				sólo diáfisis			2						1	
CR116B-2-5	Estr.13R-13	metacarpiano	?				falta EP, falta ED dañado			2						1	
CR116B-2-5	Estr.13R-13	fragmentos de la bóveda craneal														4	
CR116B-2-5	Estr.13R-13	fragmento de hueso largo														1	erosión leve
CR116B-2-5	Estr.13R-13	temporal	I							2						1	mastoides: 2 (femenino?)

Tabla 13.6 Inventario Dental, Entierro 12 de La Corona

	Derecho								Izquierdo							
	M3	M2	M1	P2	P1	C	I2	I1	I1	I2	C	P1	P2	M1	M2	M3
Maxilar							X			X	X					
Mandibular																

Tabla 13.7 Inventario Dental, Entierro 13 de La Corona

	Derecho								Izquierdo							
	M3	M2	M1	P2	P1	C	I2	I1	I1	I2	C	P1	P2	M1	M2	M3
Maxilar	X	X		X	X	X	X		X	X	X	X	X	X	X	X
Mandibular	X	X	X	X	X	X	X	X	X	X	X	X	X	X	X	X

Tabla 13.8 Inventario Dental, Entierro 16 de La Corona

	Derecho								Izquierdo							
	M3	M2	M1	P2	P1	C	I2	I1	I1	I2	C	P1	P2	M1	M2	M3
Maxilar	X	X	X	X	X		X	X	X	X	X	X	X	X	X	X
Mandibular		X	X	X	X	X	X	X	X	X	X	X	X	X	X	

Tabla 13.9 Inventario Dental, Entierro 17 de La Corona

	Derecho								Izquierdo							
	M3	M2	M1	P2	P1	C	I2	I1	I1	I2	C	P1	P2	M1	M2	M3
Maxilar	X	X	X	X	X		X	X	X	X	X	X	X	X	X	X
Mandibular	X	X	X	X	X	X	X	X	X	X	X	X		X	X	X

Tabla 13.10. Inventario del lote CR200-2-1-2

Hueso	Lado	Segmento	Integridad	Cantidad	Notas
húmero	I	P $\frac{1}{3}$, M $\frac{1}{3}$	P $\frac{1}{3}$: 1, M $\frac{1}{3}$: 1	2	los fragmentos encajan
cúbito	I?	P $\frac{1}{3}$, M $\frac{1}{3}$	P $\frac{1}{3}$: 2, M $\frac{1}{3}$: 2	2	los fragmentos encajan
fragmentos de huesos largos				2	probablemente tibia; los fragmentos encajan juntos
fragmento de hueso largo				1	infección
fragmentos de huesos largos				21	
fragmentos de cuerpos de costillas				5	
fragmentos de vértebras				9	
fragmentos no identificados				50	
segundo incisivo mandibular	D?		1	1	
primer incisivo maxilar	D		1	1	limado en el estilo II-4
Segundo incisivo maxilar	I		1	1	
canino maxilar	D		1	1	
primer premolar maxilar	I		1	1	
segundo premolar maxilar	D		1	1	
segundo molar maxilar	D		1	1	
molar maxilar			2	1	falta mayor parte de corona

Tabla 13.11 Inventario Esquelético, lote CR200-2-2

Hueso	Lado	Integridad	Cantidad
frontal, parietal	LM	2	3
temporal	I	1	1
parietal	I	1	2
occipital	LM	2	4
parietal, temporal	D	1	1
temporal, esfenoides	D	2	3
esfenoides	LM	3	2
cigomático	D	1	2
fragmentos de la bóveda craneal			15
fragmentos no identificados			60

Tabla 13.12 Inventario Dental, lote CR200-2-2

	Derecho								Izquierdo							
	M3	M2	M1	P2	P1	C	I2	I1	I1	I2	C	P1	P2	M1	M2	M3
Maxilar	X	X	X		X	X			X		X		X			
Mandibular																

Tabla 13.13 Inventario Dental, Entierro 19 de La Corona

	Derecho								Izquierdo							
	M3	M2	M1	P2	P1	C	I2	I1	I1	I2	C	P1	P2	M1	M2	M3
Maxilar			X	X				X	X	X	X	X				
Mandibular																

Tabla 13.14. Inventario Dental, Entierro 15 de La Corona

	Derecho								Izquierdo							
	M3	M2	M1	P2	P1	C	I2	I1	I1	I2	C	P1	P2	M1	M2	M3
Maxilar		X	X	X	X	X	X	X		X	X		X		X	
Mandibular	X	X	X	X	X	X	X	X	X	X	X	X	X	X	X	X

Tabla 13.15 Inventario Dental, Entierro 14 de La Corona

	Derecho								Izquierdo							
	M3	M2	M1	P2	P1	C	I2	I1	I1	I2	C	P1	P2	M1	M2	M3
Maxilar														X		
Mandibular						X		X		X	X	X	X			

Tabla 13.16. Inventario de las operaciones 1 y 13, La Cariba, Temporada 2014

Lote	Descripción	Hueso	Lado	Segmento	Integridad	Cantidad	Edad	Notas
CAR1B-1-1	trincheras de saqueo, Estr. A-5	fragmento de diáfisis de hueso largo				1		muy recto (posible fémur); posible infección/trauma sanado
CAR1B-1-1	trincheras de saqueo, Estr. A-5	fragmento de diáfisis de hueso largo				2		los fragmentos encajan juntos; fémur/tibia/húmero?; erosión moderada
CAR1B-1-3	pozo adentro del saqueo de Estr. A-5; siguiendo Tumba 1	tibia	I	EP	2	1	subadulto	no fusionado; probablemente humano
CAR1B-3-2		fragmento de cuerpo de costilla				1		
CAR1B-3-2		fragmentos no identificados				7		
CAR1B-3-2	trincheras de saqueo, Estr. A-5	fragmento de cuerpo de costilla				1		
CAR1B-3-2	trincheras de saqueo, Estr. A-5	húmero	I?	M $\frac{1}{3}$, D $\frac{1}{3}$	cada parte: 2	3		los fragmentos encajan juntos
CAR1B-3-3	saqueo de Estr. A-2	cúbito	I	ED, D $\frac{1}{3}$	cada parte: 1	1	adulto	epífisis fusionado, no artritis

CAR1B-3-3	saqueo de Estr. A-2	fragmentos de cuerpos de costillas				3		
CAR1B-3-3	saqueo de Estr. A-2	metacarpiano	?	falta ambos extremos	2	1		
CAR1B-3-3	saqueo de Estr. A-2	fragmento no identificado				1		
CAR13A-1-4	Cache 1 (adentro)	fragmentos de esmalte				3		otros dientes enumerados en Tablas 20 y 21
CAR13A-1-4	Cache 1 (adentro)	fragmentos no identificados				18		
CAR13A-1-11	Cache 3 (adentro del tazón)	temporal	D		3	1	subadulto	
CAR13A-1-11	Cache 3 (adentro del tazón)	temporal	I		3	1	subadulto	
CAR13A-1-11	Cache 3 (adentro del tazón)	fragmentos de la bóveda craneal				1		sin patología
CAR13A-1-11	Cache 3 (adentro del tazón)	(probablemente) fragmentos de la bóveda craneal				4		sin patología
CAR13A-1-11	Cache 3 (adentro del tazón)	arcos neurales	LM	AN		2	subadulto	
CAR13A-1-11	Cache 3 (adentro del tazón)	fragmentos no identificados				14		

Tabla 13.17 Inventario Dental, Entierro 1A de La Cariba (adulto)

	Derecho								Izquierdo							
	M3	M2	M1	P2	P1	C	I2	I1	I1	I2	C	P1	P2	M1	M2	M3
Maxilar		X	X	X	X	X	X			X	X	X		X	X	X
Mandibular	X		X	X	X	X	X	X		X	X	X	X	X	X	

Tabla 13.18 Inventario Dental Deciduo, Entierro 1B de La Cariba

	Derecho					Izquierdo				
	dm2	dm1	dc	di2	di1	di1	di2	dc	dm1	dm2
Maxilar	X		X					X	X	X
Mandibular	X	X					X		X	X

Tabla 13.19 Inventario Dental Permanente, Entierro 1B de La Cariba

	Derecho								Izquierdo							
	M3	M2	M1	P2	P1	C	I2	I1	I1	I2	C	P1	P2	M1	M2	M3
Maxilar			X		X	X	X				X			X		
Mandibular				X	X			X		X				X	X	

Tabla 13.20 Inventario Dental Deciduo, Escondite 1 (CAR13A-1-4)

	Derecho					Izquierdo				
	dm2	dm1	dc	di2	di1	di1	di2	dc	dm1	dm2
Maxilar	X	X		X	X	X			X	X
Mandibular	X	X							X	X

Tabla 13.21 Inventario Dental Permanente, Escondite (CAR13A-1-4)

	Derecho								Izquierdo							
	M3	M2	M1	P2	P1	C	I2	I1	I1	I2	C	P1	P2	M1	M2	M3
Maxilar			X						X	X				X		
Mandibular			X											X		

Tabla 13.22 Inventario Dental, Escondite 3 (dentro del cuenco, CAR13A-1-11)

	Derecho					Izquierdo				
	dm2	dm1	dc	di2	di1	di1	di2	dc	dm1	dm2
Maxilar	X		X					X		X
Mandibular										

INVESTIGACIONES ARQUEOLÓGICAS EN LA CARIBA, TEMPORADA 2014

David Chatelain

Introducción

El sitio de la Cariba se localiza a 4.21 km al suroeste de la plaza principal de La Corona, en una elevación natural con vista sobre el Río La Cariba hacia el suroeste. El sitio fue inicialmente descubierto y parcialmente mapeado por Damien Marken durante la temporada de campo 2009 (Marken 2010). El centro del sitio fue completamente mapeado por David Chatelain, Maxime Lamoureux St-Hilaire, y Evan Parker durante la temporada 2012 (Chatelain et al. 2013). El centro del sitio consiste en cinco grupos arquitectónicos en un área de 27,550 m², o 2.76 hectáreas.

Los objetivos de la temporada 2014 fueron obtener un entendimiento básico de la cronología en distintas áreas de La Cariba. Las excavaciones consistieron en pozos exploratorios en cuatro de los cinco grupos arquitectónicos, así como la limpieza de una trinchera de saqueo en la acrópolis principal, y excavaciones intensivas en la Estructura A-5 de la acrópolis principal (Figura 14.1).

Las investigaciones en la Cariba durante la temporada 2014 fueron comprendidas en cinco suboperaciones: CAR-1A, CAR-1B, CAR-11A, CAR-12A, y CAR-13A. Las suboperaciones CAR-1A y CAR-1B fueron definidas en la acrópolis principal, o grupo A. La suboperación CAR-11A se definió en el Grupo B, al norte de la acrópolis principal. La suboperación CAR-12A se localiza en el grupo C, al sur de la acrópolis. La suboperación CAR-13A se localizó en el grupo D, en el área más suroriental del sitio.

Se realizó un análisis preliminar para la mayoría de la cerámica recolectada en las excavaciones. Los datos obtenidos incluyen cantidad y peso por lote; frecuencia de partes de vasija; frecuencias en análisis tipo variedad; y notas y observaciones generales respecto a la forma de las vasijas, tratamientos de superficie, y decoración. Los resultados de estos análisis preliminares fueron suficientes para formar una cronología general del sitio.

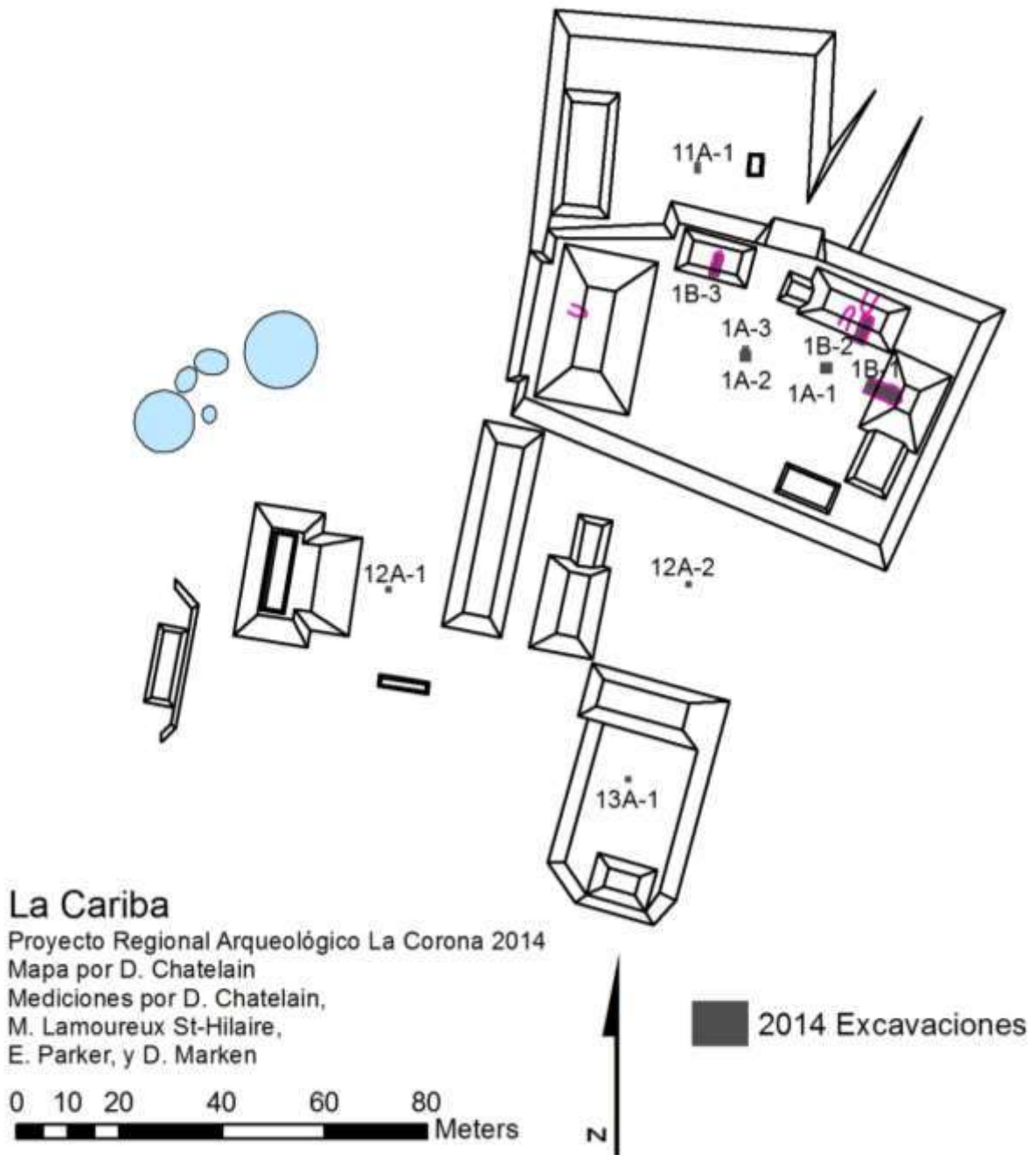


Figura 14.1 Ubicación de excavaciones en La Cariba (Mapa por D. Chatelain).

Suboperación CAR-1A

La suboperación CAR-1A consistió en dos pozos de sondeo (unidades CAR-1A-1 y CAR-1A-2) localizados en la plaza principal de La Cariba (Plaza A) y un tercer pozo (unidad CAR-1A-3), que es la extensión de uno de los pozos de sondeo. El objetivo fue obtener la cronología constructiva de la plaza.

Excavaciones

La unidad CAR-1A-1 fue un pozo de sondeo de 2 x 2 m situado en la Plaza A, en la intersección de los ejes centrales de las estructuras A-4 y A-5. Las excavaciones llegaron hasta la profundidad de 4.1 m, terminado en roca madre y revelando dos fases constructivas de esta plaza (Figura 14.2). Se excavó utilizando una combinación de niveles culturales y naturales. La roca madre en esta unidad fue una piedra caliza suave. La fase de construcción más temprana se asienta sobre un estrato de aproximadamente 0.6 m de espesor conformado por suelo estéril tipo barro de un color café rojizo oscuro. Esta fase constructiva exhibe algunos cambios de relleno a lo largo de la unidad, pero en general se trata de un relleno inicial café-rojizo (de cerca de 0.7 m de espesor) que se convierte gradualmente en una capa final de relleno café grisáceo de 0.4 m. En el área este de la unidad, el relleno café rojizo contiene una capa de 0.15 m. de grosor conformada por pedrín y piedras pequeñas sin barro o arena. En el área oeste de la unidad, el relleno empieza en lo más bajo como un relleno gris compactado (cerca de 0.3 m de ancho) que gradualmente cambia en un relleno naranja grisáceo en la parte superior (cerca de 0.4 m de ancho), y finalmente cambia a un relleno café grisáceo sobre éste (cerca de 0.4 m. de ancho). A lo largo de estos 1.1 m de relleno se encontraron tres depósitos de barro negro pegajoso. El piso estucado de la fase más temprana (Piso 2), presentaba una pobre conservación pero fue claramente visible en los perfiles, con tiene un grosor de 0.05 m. La fase constructiva tardía consiste en dos depósitos de relleno: el relleno inferior se conforma de barro café-amarillento con una gran cantidad de incrustaciones de pedrín; y el relleno superior consiste en un relleno de barro café claro con pequeñas piedras. El piso de esta fase tardía (Piso 1) se encontraba muy mal preservado, pero era visible en parches a lo largo de la unidad y en los perfiles. El Piso 1 tuvo de 0.05 m de grosor.

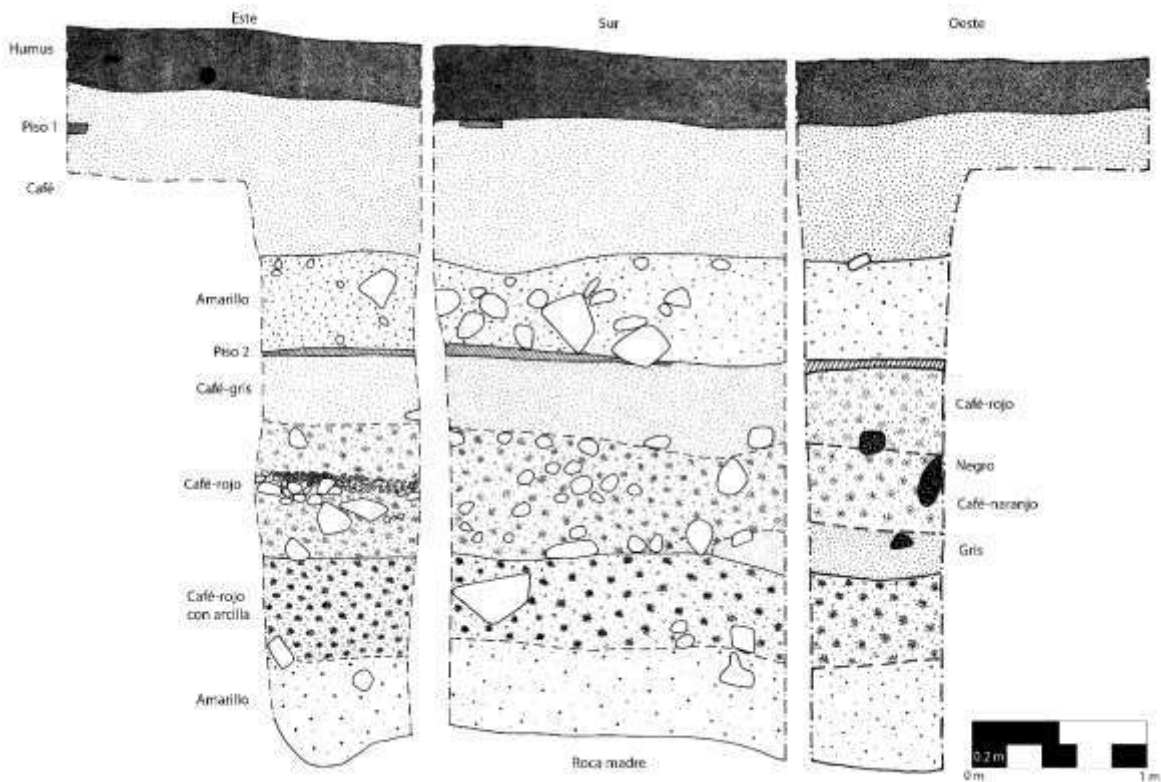


Figura 14.2. Perfil de la Unidad 1A-1 (Dibujo por D. Chatelain y L. Auld-Thomas, calco por D. Chatelain).

En la excavación de la unidad CAR-1A-1 también fueron encontrados un grupo de piedras y un rasgo de estuco (Rasgo CAR-1A-1-1; Figuras 14.3 y 14.4). Se puede tratar de algún tipo de altar, pedestal o portaestandarte, colocado directamente sobre el Piso 1. El rasgo CAR-1A-1-1 consistía en dos niveles de materiales. El primero era una plataforma semicircular hecha con pequeños bloques (menores de 0.2 m) de piedra caliza sin tallar. Esta pudo haber sido más redondeada en la antigüedad, puesto que muchos de los bloques se encontraban altamente erosionados y otros fueron equivocadamente removidos durante la excavación. La pequeña plataforma de piedra tenía un diámetro de 1.3 m y una altura de 0.08 m. Sobre esta base de piedra, el nivel superior se encontraba totalmente hecho de estuco, con una apariencia tipo “dona” o “cuenco”. Este rasgo de estuco tenía 0.55 m de diámetro y cerca de 0.08 m de altura. El lado este de esta superficie de estuco se encontraba dañado por una raíz, lo cual dificultó la identificación exacta de su forma. En una vista de corte vertical se observa como la superficie fue re-estucada al menos dos veces. En conclusión, este rasgo constaba de una pequeña

plataforma circular construida con bloques, que presentaba un pequeño “cuenco” en su parte superior. Puede que este rasgo se trate de un pequeño altar donde las ofrendas podían ser puestas o inclusive quemadas, sin embargo no se encontró evidencias claras de quemaduras en el estuco. También pudo haber funcionado como un pedestal, siendo el anillo de estuco la base para un estandarte de material perecedero. Ejemplos de rasgos similares ha sido encontrados en Cerros (Reese-Taylor 2002), Blue Creek (Guderjan 1998), Copan (Fash et al. 1992) y Dos Pilas (Demarest et al. 2003).

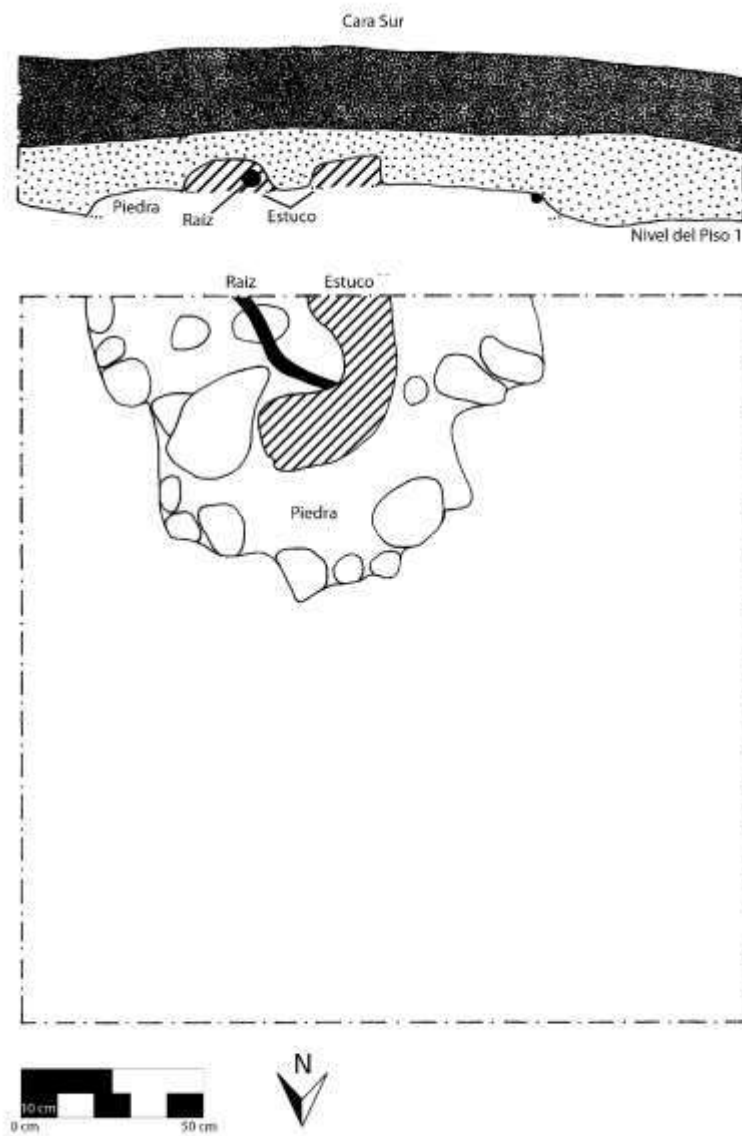


Figura 14.3 Perfil y planta del Rasgo 1A-1-1 (Dibujo y calco por D. Chatelain).



Figura 14.4 Rasgo 1A-1-1 (Foto por D. Chatelain).

La unidad CAR-1A-2 de 2 x 2 m fue un pozo de sondeo situado cerca del centro de la Plaza A, a lo largo del eje central de la Estructura A-1. La excavación alcanzó una profundidad de 4.93 m, finalizando en la roca madre (Figura 14.6). La excavación fue realizada usando una combinación de niveles culturales y arbitrarios. La estratigrafía de la unidad CAR-1A-2 es muy similar a la observada en la unidad anterior, confirmando la existencia de dos fases constructivas en la plaza. La fase constructiva temprana, tal como en la unidad CAR-1A-1, fue construida sobre una capa de suelo estéril conformada por sedimentos ricos en arcilla color café rojizo. El relleno de la fase temprana fue el mismo que el del nivel inferior café rojizo (grosor de 0.8 m) que topa con un relleno café grisáceo de 0.65 m de grosor. El piso de esta fase temprana (Piso 2) presentó un nivel de preservación pobre pero visible en algunos parches durante la excavación. Directamente sobre este piso se encontró un muro de construcción rudimentaria hecho de bloques medianos y largos de piedra sin tallar. Este muro alcanzó los 0.84 m de altura y se extendía entre los perfiles este y oeste de la unidad. No fue inmediatamente claro si este muro se

trataba de un muro de contención para la construcción de la fase tardía de la plaza, o si se trataba del costado de una plataforma baja asociada a la fase constructiva temprana. Excavaciones posteriores en la unidad CAR-1A-3 confirmaron que este muro se trataba del costado de una plataforma baja construida directamente sobre el Piso 2 (Figura 14. 5). Directamente bajo este muro y bajo el Piso 2 se encontró un escondite, designado como Escondite 1, que consistía en un cuenco estriado Altamira colocado boca arriba con un plato Sierra Roja colocado boca abajo y directamente sobre el primero (a manera de tapa) (C. Parris, comunicación personal 2014). Una descripción completa de los platos puede consultarse en el Capítulo 11 de este informe. Ambos tipos datan para el período Preclásico Tardío, aunque su presencia continúa hasta el Clásico Temprano. No se encontraron huesos u otros artefactos dentro de los platos, pero de igual manera se tomó una muestra de suelo para realizar flotaciones y otros análisis. La construcción de la fase tardía consiste en los mismos dos estratos observados en la unidad CAR-1A-1: un estrato grueso de barro café amarillento bajo un relleno de barro café claro con piedrín. En el área oeste de la unidad, el estrato café-amarillento no continúa, sino se encontró barro café claro con depósitos de piedra caliza. El piso estucado de esta fase tardía estaba totalmente erosionado, pero el cambio en la estratigrafía fue relativamente claro.

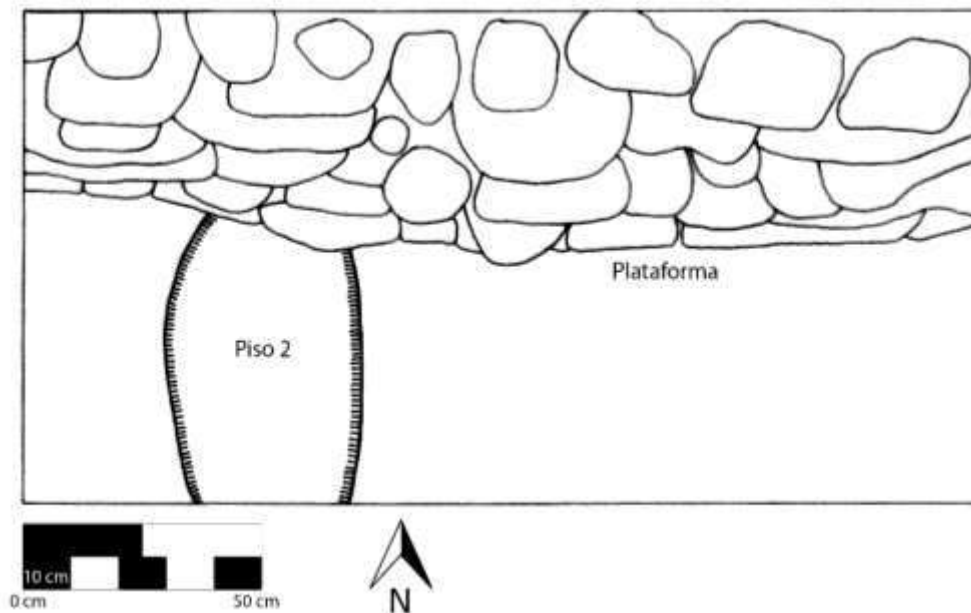


Figura 14.5 Planta de plataforma, Unidad 1A-2 (Dibujo y calco por D. Chatelain).

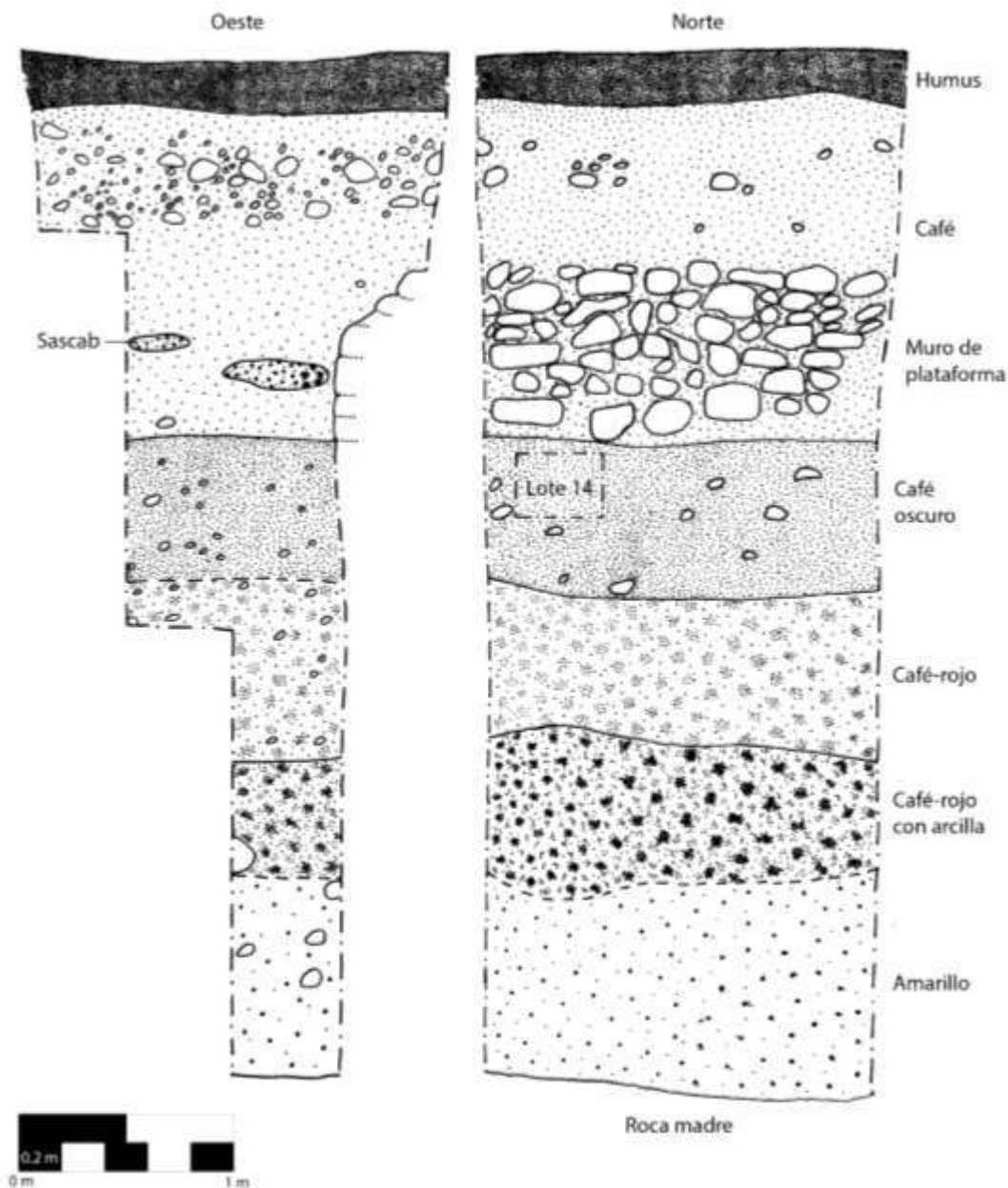


Figura 14.6 Perfil de Unidad 1A-2 (Dibujo y calco por D. Chatelain).

La unidad CAR-1A-3 de 1 x 1 m se extiende desde el límite norte de la unidad CAR-1A-2 y alcanzó una profundidad máxima de 1.92 m. La excavación utilizada combinó niveles culturales y arbitrarios. El objetivo de esta unidad fue confirmar si el muro descubierto en la unidad CAR-1A-2 se trataba de un muro de retención asociado a la fase tardía de la plaza o parte

de una plataforma asociada con el piso de la fase temprana. Las excavaciones confirmaron que el muro se trataba del costado de una plataforma baja, asociada al Piso 2, en la fase constructiva temprana de la plaza (Figura 14.7). La parte superior del muro se extendía entre la unidad CAR-1A-2 y la unidad CAR-1A-3, este fue rudimentariamente construido con pequeñas piedras (Figura 14.8). No se encontró evidencia alguna de estuco en la superficie de la plataforma. Bajo la superficie, el relleno dentro de la plataforma fue diferente al observado en el resto de la plaza, siendo un relleno compacto de color café claro con una gran cantidad de incrustaciones de pedrín de caliza. Las excavaciones continuaron hasta que se alcanzó el estrato café grisáceo encontrado bajo el Piso 2. No se encontró evidencia del estuco del Piso 2, lo que sugiere que la construcción de la plataforma debió ser al mismo tiempo que la construcción de la plaza, por lo que solo el piso alrededor de la plataforma fue estucado.

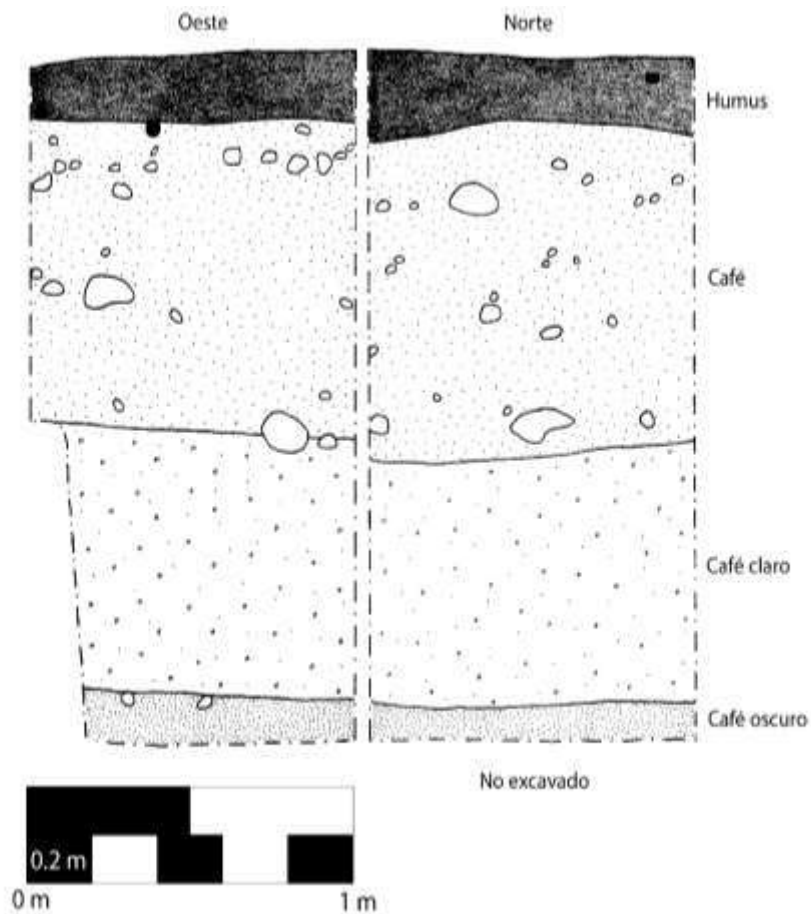


Figura 14.7. Perfil de la Unidad 1A-3 (Dibujo y calco por D. Chatelain).



Figura 14.8. Plataforma asociada con Piso 2 en Plaza A, unidades 1A-2 y 1A-3 (Fotografía por D. Chatelain).

Resultados/Conclusiones

Las excavaciones de la suboperación CAR-1A fueron exitosas en identificar dos fases constructivas en la Plaza A, ambas bastante impresionantes en cuanto a la profundidad a la que se encontraron. El relleno constructivo entre las dos fases puede ser datado mayormente al Preclásico Tardío, aunque una pequeña cantidad de cerámica Clásico Temprano también fue encontrada. Estos datos sugieren fechas en la transición entre el Preclásico Tardío y el Clásico Temprano, anterior a cualquier estructura conocida en La Corona. Algunos tipos cerámicos del Clásico Tardío fueron encontrados cerca de la superficie en ambas unidades, incluyendo una vasija parcial tipo Carmelita Inciso variedad Monos en la unidad CAR-1A-1. La presencia de cerámica del Clásico Tardío sobre el piso terminal en ambas unidades sugiere que la ocupación continuó o que hubo una reocupación en el período Clásico Tardío.

Las excavaciones también revelaron que la acrópolis principal del sitio fue construida sobre una plataforma, y no construida sobre una elevación natural de la roca madre. La suboperación CAR-1A también reveló dos rasgos interesantes. Un posible altar o portaestandarte fue encontrado entre los ejes centrales de las estructuras A-4 y A-5, asociado con el piso tardío de la plaza. Dado el nivel de preservación de este rasgo, y el hecho que las estructuras en los

alrededores parecen datar al período Clásico Tardío, este rasgo pareciera corresponder a este período. Que este rasgo fuera re-estucado dos veces demuestra que fue mantenido y usado durante un período considerable de tiempo. Una plataforma baja, de 0.84 m de alto, fue descubierta cerca del centro de la plaza y se encuentra asociada con la fase constructiva temprana. Desafortunadamente el tiempo no permitió la extensión de las excavaciones que permitieran determinar la extensión horizontal de la misma. La cerámica encontrada en el relleno dentro de esta plataforma incluye tipos tanto del Preclásico Tardío como unos pocos del Clásico Temprano, lo que sugiere una fecha transicional entre estos dos períodos.

Suboperación CAR-1B

La suboperación CAR-1B se enfocó en las trincheras de saqueo encontradas en el Grupo A. La limpieza de la trinchera de saqueo encontrada en la estructura A-5 fue designada como la unidad CAR-1B-1; la limpieza de la trinchera de saqueo en la estructura A-4 fue designada como unidad CAR-1B-2; y la limpieza de la trinchera de saqueo en la estructura A-2 fue cubierta por la unidad CAR-1B-3. Los objetivos también incluyeron la perfilación de las trincheras en la búsqueda e identificación de fases arquitectónicas expuestas por los saqueos. Excavaciones adicionales fueron implementadas bajo el nivel de la trinchera de saqueo en la Estructura A-5.

Unidad CAR-1B-1

Como se mencionó anteriormente, la limpieza de la trinchera de saqueo en la Estructura A-5 fue designada como la unidad CAR-1B-1. El lado sur de la trinchera de saqueo fue extendido medio metro desde el perfil original, lo que permitió una mayor vista de los rasgos arquitectónicos (Figura 14.9). Se pudo distinguir un claro rasgo arquitectónico en la base de la estructura. Lo más probable es que se trate de una escalinata, con posiblemente cuatro escalones visibles, aunque puede tratarse de una balaustrada o inclusive la terraza de un muro. Cerca de 1.2 m atrás del escalón superior se puede apreciar claramente un muro constructivo el cual retiene el relleno dentro de la estructura. Este muro fue visible en ambos lados de la trinchera de saqueo y fue construido por bloques medianos (0.1-0.2 m) de piedra sin tallar. Inmediatamente atrás de este muro se encontró la cámara abovedada de una tumba, desafortunadamente esta se encontraba saqueada y casi completamente destruida (Figura 14.10).

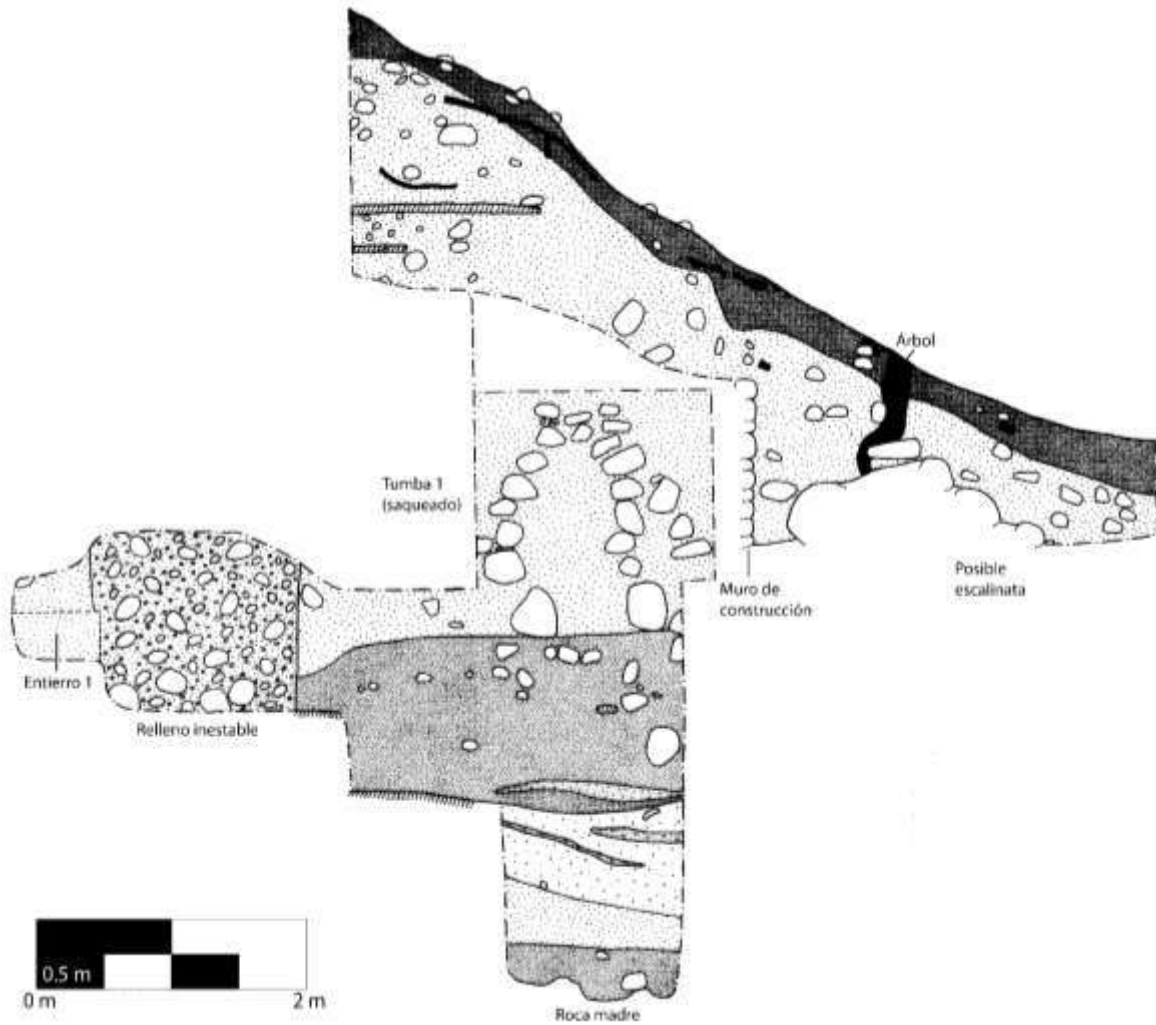


Figura 14.9. Perfil sur de la trinchera de saqueo de Estr. A-5, Unidad CAR-1B-1 (Dibujo por D. Chatelain y L. Auld-Thomas, calco por D. Chatelain).

La bóveda de esta tumba fue construida con piedras largas, con un tallado rudimentario en el lado interno de la cámara. La excavación de una ventana en el interior de la cámara de la tumba descubrió que la cámara no tenía una pared trasera, así como ninguna línea extra de piedras de bóveda. Cerca de 1.5 m sobre la cima de la cámara de la tumba se encontró un piso estucado, probablemente la cima de la estructura, aunque puede tratarse también de un descanso previo a la cima. Aunque que no se encontró la arquitectura de una superestructura, la cantidad de derrumbe encontrado sobre el piso sugiere que hubo una superestructura al menos parcialmente construida con mampostería (Figura 14.11). Un piso más temprano de una subestructura también fue encontrado 0.3 m bajo el piso tardío. Desafortunadamente fue

imposible seguir este piso sobre el nivel de la tumba, puesto que la excavación podría haber causado un colapso de ésta. Dado esto, fue imposible verificar si este piso se unía con algún rasgo arquitectónico más adentro del montículo.



Izquierda: Figura 14.10 Tumba 1, Saqueo de la Estructura A-5 (Fotografía por D. Chatelain).

Derecha: Figura 14.11 Escalinata, muro de construcción, y cima de la Estructura A-5 (Fotografía por D. Chatelain).

Un pozo de 1.5 x 0.9 m (con el lado largo en eje E-0) fue excavado bajo el nivel de la trinchera de saqueo y fue considerado como una extensión de la unidad CAR-1B-1. Este pozo tuvo el objetivo inicial de encontrar el piso de la cámara de la tumba, pero luego de encontrarlo continuó en búsqueda de fases constructivas más tempranas. El piso de la tumba fue encontrado casi de inmediato, dando las dimensiones internas de la cámara con un ancho máximo de 0.7 m y una altura máxima de 1.4 m. Un cambio en el relleno fue notado inmediatamente bajo la tumba, variando de un relleno café claro a un café más oscuro; este último relleno corresponde en elevación al Piso 1 de la plaza, por lo que pareciera que la fase final de esta estructura,

incluyendo la tumba, fueron construidos directamente sobre el piso terminal de la plaza. Bajo este nivel, el relleno café oscuro persiste y se encuentra piedrín de tamaño variable hasta el nivel de un piso estucado temprano. Este piso posee una elevación muy cercana a la correspondiente en el Piso 2 en la plaza, aunque el relleno encontrado en esta última es diferente. Bajo el piso se encontró un relleno café claro amarillento (de unos 0.85 m de grosor), con bandas café-rojizo, y bajo este se encontró un relleno café más oscuro. Bajo este estrato de relleno se encontró suelo estéril café rojizo oscuro (de cerca de 0.4 m de grosor) dispuesto sobre la roca madre. La roca madre encontrada aquí fue de consistencia dura, a diferencia de la de consistencia suave encontrada en la plaza.

Luego que la roca madre fuera alcanzada, se relleno la unidad hasta el nivel del Piso 2, y se inicio la excavación de un túnel a este nivel, el cual se dirigió al este con el objetivo de hallar una fase constructiva temprana que se asocie a este piso. El túnel fue excavado de 0.9 m. de ancho y 1.7 m. de alto. Casi inmediatamente se encontró una sección del Piso 2 muy bien preservado, por lo que se decidió seguirlo. A 1 m otro piso fue descubierto a 0.6 m sobre el Piso 2, por lo que se le llamó Piso 2A; y bien puede tratarse de un escalón que precedía un edificio, por lo que el túnel se continuo a este nivel. A 1.4 m del escalón se observó que la estratigrafía cambio en el perfil sur del túnel, y el estrato de relleno compacto cambio abruptamente a un relleno suelto mayormente compuesto de piedras y poco barro entre ellas. Esta área de relleno inestable continuo a lo largo del área sur del túnel hasta 2.8 m del inicio del túnel. Inmediatamente pasado este punto se encontró un entierro, designado como Entierro 1. El Entierro 1 contenía tres individuos: una mujer adulta, los restos de un subadulto (sexo no identificado) y el de un infante (Figura 14.12). El cuerpo del infante no fue reconocido hasta que se realizó un análisis osteológico de los restos recuperados, conducido por Erin Patterson (comunicación personal 2014). El túnel se expandió en el área del entierro para que éste se pudiera excavar desde arriba y también para realizar una mejor planta del mismo. Los restos del joven se encontraban pobremente preservados, pero claramente se encontraban dispuestos en una posición flexionada sobre su costado izquierdo, con la cabeza hacia el sur y la cara viendo al oeste. Los restos de la mujer adulta se encontraban en mejores condiciones y estaba dispuesta bajo los restos del subadulto, también en una posición flexionada sobre su costado izquierdo con la cabeza al sur y viendo al oeste. Desafortunadamente, puesto que no se reconocieron los restos del infante durante la excavación, su posición y ubicación en relación a los otros dos individuos

es incierta. No se encontraron vasijas parciales o completas, ni fragmentos de cerámica alrededor del entierro. Parece que ningún artefacto acompañó a estos individuos. El contexto estratigráfico del Entierro 1 no es claro, en parte por el área con relleno inestable. Sin embargo, el piso de plaza terminal (Piso 1) parece bajar a unos 1.5 m al oeste del entierro, sugiriendo que el entierro se localiza sobre el piso temprano y dentro del relleno de la fase arquitectónica terminal de la Estructura A-5. Pero este contexto es incierto y el entierro pudo haber sido intrusivo en el nivel de plaza temprano bajo la estructura. Inmediatamente sobre el entierro se encontró un estrato de estuco, posiblemente un piso, con una delgada capa de carbón sobre él. Una muestra de carbón fue tomada del entierro mismo, lo que ayudará a fecharlo. La excavación del túnel será continuada en futuras temporadas con el objetivo de obtener un mejor contexto del entierro así como buscar arquitectura temprana.

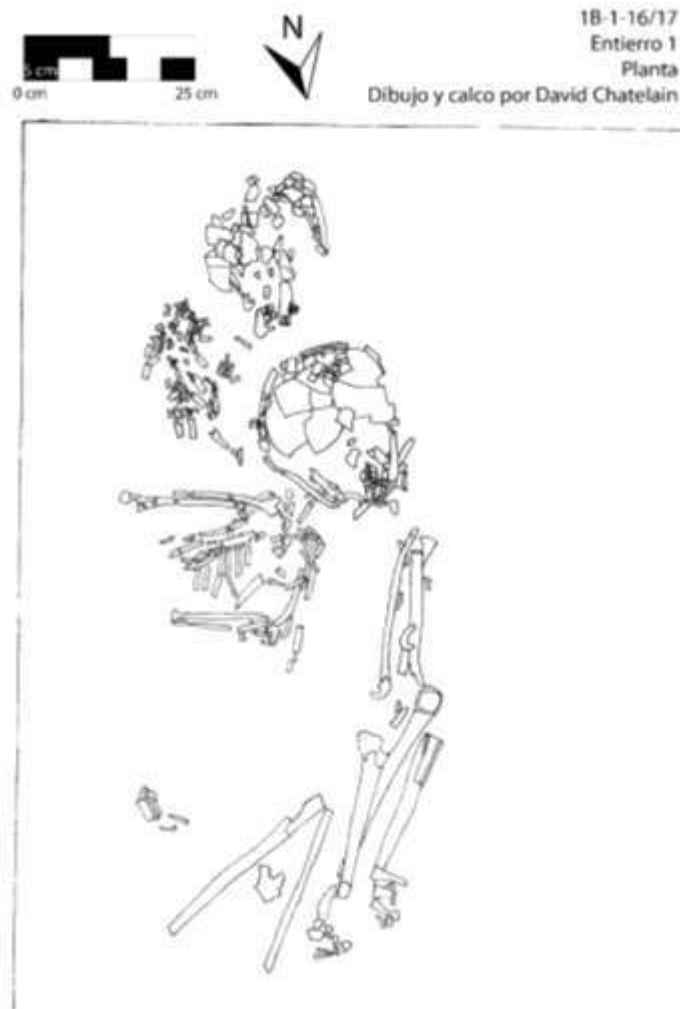


Figura 14.12 Planta de Entierro 1 (Dibujo y calco por D. Chatelain).

Unidad CAR-1B-2

La unidad CAR-1B-2 fue designada para limpiar y perfilar la trinchera de saqueo este que se encuentra en la Estructura A-4. En la estructura se pueden observar tres trincheras de saqueo, y la Trinchera Este, que se encuentra en la fachada frontal del edificio, fue escogida puesto que era la más accesible de las tres y además la más invasiva en la estructura. Solo lado oeste de la trinchera fue perfilado, puesto que el lado este se encuentra inhabilitado por la presencia de árboles. Como el perfil oeste no era recto, la excavación se extendió ampliando la trinchera hasta un metro, con el objetivo de crear un perfil parejo que permitiera una mejor observación de los componentes arquitectónicos (Figura 14.13). Luego de que la trinchera de saqueo fuera limpiada y excavada, se pudo observar claramente la presencia del muro de una terraza ubicada en el perfil, este aún presentaba una gran cantidad de estuco preservado. Dos gradas son visibles en la parte más baja de la trinchera, cada una ascendiendo gradualmente hacia la siguiente. Una tercera grada permite la presencia de un descanso que se extiende horizontalmente por 2.6 m. Al final de este descanso, una cuarta y última grada baja remata en un piso que se extiende fuera del rango de la trinchera de saqueo. Este piso se considera que se trata de la cima de la estructura, donde una superestructura pudo haber sido construida. Sin embargo, ninguna superestructura pudo ser observada, pero considerando una pequeña capa de piedras de derrumbe encontradas sobre el piso, puede que haya sido una superestructura con cimientos contruidos de mampostería y el resto construido de materiales perecederos en la parte superior.

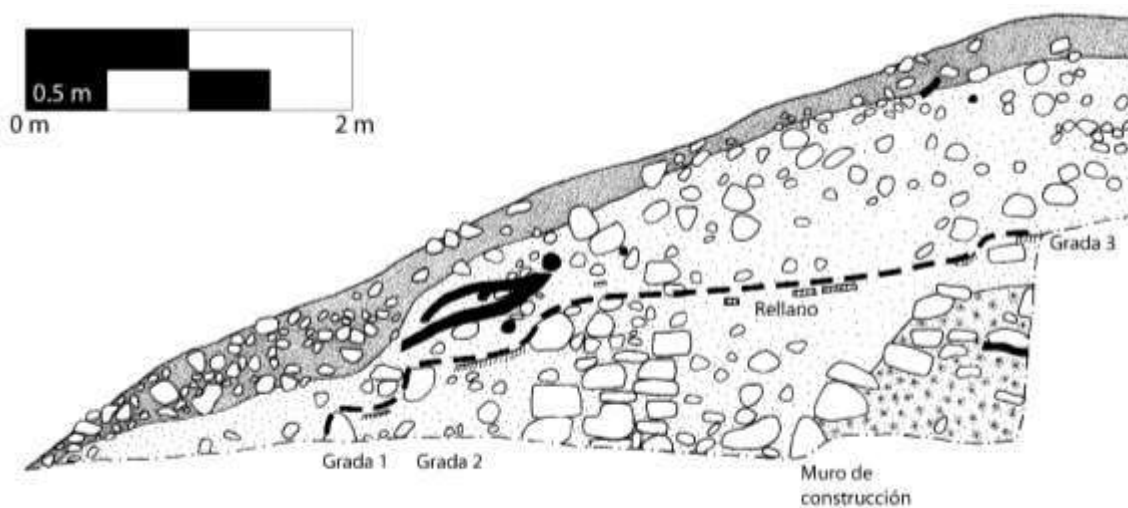


Figura 14.13 Perfil oeste de la trinchera de saqueo de Estructura A-4, Unidad CAR-1B-2 (Dibujo y calco por D. Chatelain).

Bajo el nivel del descanso se pudo encontrar un muro inclinado. Este muro fue posible identificarlo en ambos perfiles y parece de una arquitectura más rudimentaria, por lo que no quedó claro si se trataba de una fase más temprana o simplemente un muro de contención asociado con la construcción de la fase arquitectónica final. El relleno cambió tras este muro a un barro café-anaranjado suave, por lo que es posible que se trate de una fase más temprana, en cambio su construcción rudimentaria sugiere que solo se trata de un muro de contención

Unidad CAR-1B-3

La limpieza de la trinchera de saqueo en la Estructura A-2 fue asignada como la Unidad CAR-1B-3. El lado este de la trinchera de saqueo fue extendida un metro, buscando tener una mejor vista de la arquitectura y crear un perfil parejo (Figura 14.14). Desafortunadamente el interior de la trinchera fue ampliamente dañado por los saqueadores, y posteriormente la arquitectura sufrió serios daños causados por las raíces de árboles cercanos. Un muro totalmente vertical, que forma parte de la arquitectura de la última fase de la estructura, fue visible en el perfil este, y aún preservaba pequeñas partes del recubrimiento de estuco original. Tras este muro se identificaron cuatro pisos, indicando cuatro eventos de remodelación en la estructura. Una piedra tallada grande fue encontrada y pareciera ser parte de un muro, o posiblemente la jamba de una puerta, que se asienta directamente sobre el Piso 2 en el perfil. Esta posible puerta o jamba permite la entrada a un cuarto, que dadas las dimensiones del montículo puede ser el único en la superestructura. El Piso 1 en el perfil se asienta sobre el nivel de este cuarto, por lo que posiblemente luego que el cuarto fuera sellado y relleno se construyó una estructura hecha en material perecedero durante la fase terminal de construcción.

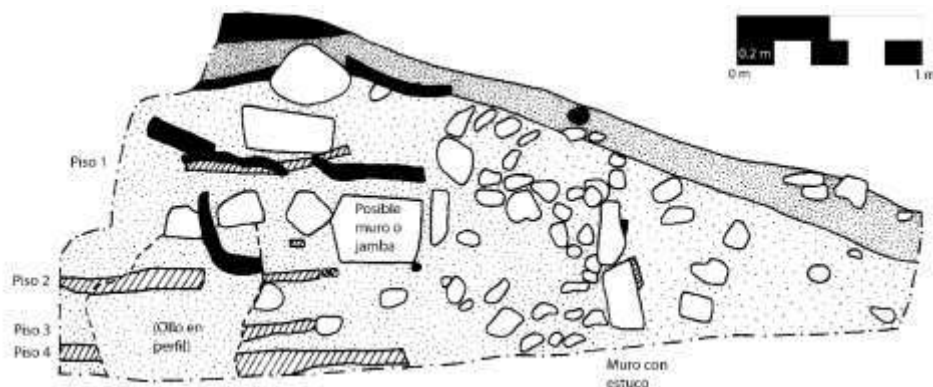


Figura 14.14 Perfil este de la trinchera de saqueo de Estructura A-2, Unidad CAR-1B-3 (Dibujo por D. Chatelain y L. Auld-Thomas, calco por D. Chatelain).

Resultados/Conclusiones

La Suboperación CAR-1B proveyó información de la arquitectura en tres estructuras saqueadas. Solamente se encontró una fase constructiva en la Estructura A-5, localizada en el lado este de la Plaza A, por lo que futuras excavaciones tratarán de identificar fases más tempranas. En la fase terminal fue hallada una la cámara abovedada de una tumba (previamente saqueada), ubicada tras la escalinata y sobre el nivel de plaza. Un entierro (Entierro 1) que no poseía tumba también fue encontrado en el interior de esta estructura, muy cerca del centro de la misma, y probablemente se asocie con la fase terminal de construcción. El entierro contenía tres individuos: una mujer adulta, un subadulto y un infante. Tanto la mujer adulta como el subadulto se encontraban en posición flexionada sobre sus costados izquierdos, y con el rostro viendo al oeste; los restos se hallaron uno sobre el otro, estando la mujer abajo y el subadulto arriba de ella. La cerámica encontrada en la trinchera de saqueo en la Estructura A-5 es una combinación de tipos del Preclásico Tardío y Clásico tardío, con presencia de algunos pocos ejemplos de tipos del Clásico Temprano también. Esto sugiere fechas del Clásico Tardío para la fase arquitectónica terminal de la estructura, con algunos fragmentos de cerámica del Preclásico Tardío que pudieron provenir del relleno constructivo del piso de plaza más temprano. Cerámica diagnóstica encontrada en el relleno alrededor del Entierro 1 fueron tipos claramente del Clásico Temprano, aunque las formas de algunos polícromos y de cerámica sin engobe pueden ser encontrados tanto en el Clásico Temprano como en el Tardío

Al menos una fase constructiva, o posiblemente dos, fueron encontradas en la Estructura A-4, ubicada en el lado norte de la plaza. Un muro con terraza fue encontrado, el cual presenta un descanso largo frente una grada que asciende a la cima de la estructura. Un muro identificado bajo el descanso puede ser parte de una fase más temprana, aunque también cabe la posibilidad de que se trate de un muro de retención asociado a la construcción de una superestructura. La cerámica diagnóstica encontrada en la Trinchera de saqueo de la Estructura A-4 presenta formas y tipos principalmente del Clásico Tardío. Cuatro fases o renovaciones fueron identificadas en la trinchera de saqueo de la Estructura A-2. Una de ellas pareciera ser el piso de una estructura de un solo cuarto, que posteriormente fue rellenada y cubierta por un piso estucado con el objetivo de construir sobre éste. La cerámica diagnóstica encontrada en esta trinchera de saqueo es toda del Clásico Tardío, tanto en formas como en tipos, incluyendo varios ejemplos de cerámica polícroma Saxche-Palmar.

Suboperación CAR-11A

La Suboperación CAR-11A consiste en un solo pozo de sondeo, la unidad CAR-11A-1, ubicado en la plaza del Grupo B. El objetivo de esta suboperación fue el de obtener la cronología de esta plaza.

Unidad CAR-11A-1

La unidad CAR-11A-1 fue un pozo de sondeo de 2 x 1 m (a lo largo del eje N-S) localizado en la plaza del Grupo B, entre las estructuras B-1 y B-2. La excavación presentó una combinación de niveles culturales y arbitrarios y una fase constructiva fue revelada para esta plaza (Figura 14.15). No se encontraron remanentes de un piso estucado, pero el relleno bajo el estrato de humus empezó con barro café oscuro con piedras pequeñas (0.1-0.2 m), alcanzando un grosor de 0.6 m. Este relleno cambio gradualmente a un barro café-rojizo con algunas piedras grandes (0.2-0.4 m), alcanzando un grosor de 0.9 m. Estos dos niveles parecieran ser parte de un gran estrato de relleno, dispuestos sobre un estrato compacto de 0.1 m de grosor de barro café oscuro y estéril que se encuentra sobre la roca madre.

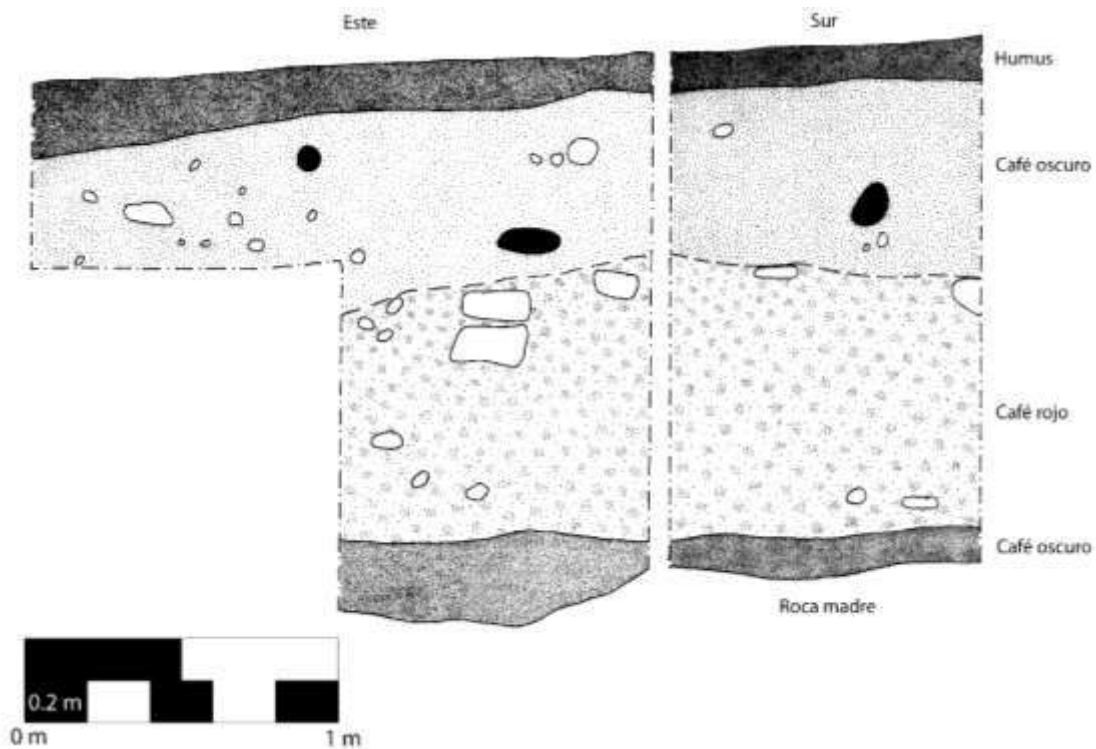


Figura 14.15 Perfil de la Unidad CAR-11A-1 (Dibujo y calco por D. Chatelain).

Resultados/Conclusiones

La unidad CAR-11A-1 reveló un solo episodio constructivo para la Plaza B, que se encuentra sobre un estrato delgado de suelo estéril oscuro. La cerámica diagnóstica encontrada en el relleno constructivo de la plaza data para el Preclásico Tardío, aunque algunos tipos y formas del Clásico Tardío fueron encontrados sobre la superficie.

Suboperación CAR-12A

La Suboperación CAR-10A consiste en dos pozos de sondeo excavados en el Grupo C, que es un área localizada al sur de la acrópolis principal. La unidad CAR-12A-1 se localizó en el centro de la plaza creada por el espacio entre las estructuras C-1, C-2, y C-3. La unidad CAR-12A-2 se ubicó en el espacio abierto al este de la estructura C-4. El objetivo de esta suboperación era crear una cronología básica para este grupo. Adicionalmente, puesto que el Grupo C no se encuentra definido por una gran plataforma basal y contiene múltiples espacios potenciales para plazas, estos dos pozos de sondeo buscaban determinar cuándo y cómo estos espacios fueron construidos en relación uno al otro.

Unidad CAR-12A-1

La unidad CAR-12A-1 fue un pozo de sondeo de 1 x 1 m localizado en el espacio de plaza formado entre las estructuras C-1, C-2, y C-3. Este pozo alcanzó una profundidad máxima de 1.43 m. La excavación fue realizada usando una combinación de estratos culturales y arbitrarios. Esta unidad fue colocada directamente frente a la Estructura C-1 y alineada con el eje central de la estructura. La excavación reveló 3 o 4 fases de construcción en este espacio de plaza (Figura 14.16). La primera fase o fases corresponden a un simple piso blanco de estuco, de 0.04 m de grosor, construido directamente sobre la roca madre, sin balastro bajo el piso o relleno alguno. La roca madre bajo este piso era totalmente plana, aunque no parecía haber sido modificada. De manera extraña este estuco blanco no aparece en la mayor parte de la unidad, concentrándose solo en el área suroeste de la misma. Directamente sobre este piso se encontró otro piso de estuco, también de 0.04 m de grosor, de color gris y gran dureza. Este estuco era de una muy buena calidad y con incrustaciones finas de color negro. Donde el piso de estuco blanco no continuaba, y debajo de otro piso de estuco gris, se pudo observar una capa delgada de balastro color café amarillento. Puede que ambos pisos sean parte de un mismo episodio, siendo

el estuco blanco parte del balastro que soporta el piso gris. En cualquier caso, estos pisos no pudieron ser fechados, puesto que no se encontró relleno alguno bajo ellos. Sobre estos dos pisos se encontró un estrato de 0.48 m de grosor consistente en relleno café claro mezclado con piedras pequeñas y medianas (0.1-0.3 m). Este estrato de relleno remata en un piso estucado erosionado, pero claramente visible. Sobre este piso se encontró un estrato final de relleno café (que cambia entre café claro a café oscuro a medida que asciende) mezclado con pequeñas piedras (0.1-0.2 m). No se encontró un piso preservado sobre este estrato de relleno; en cambio se halló un estrato de humus de 0.2 m de grosor aproximadamente.

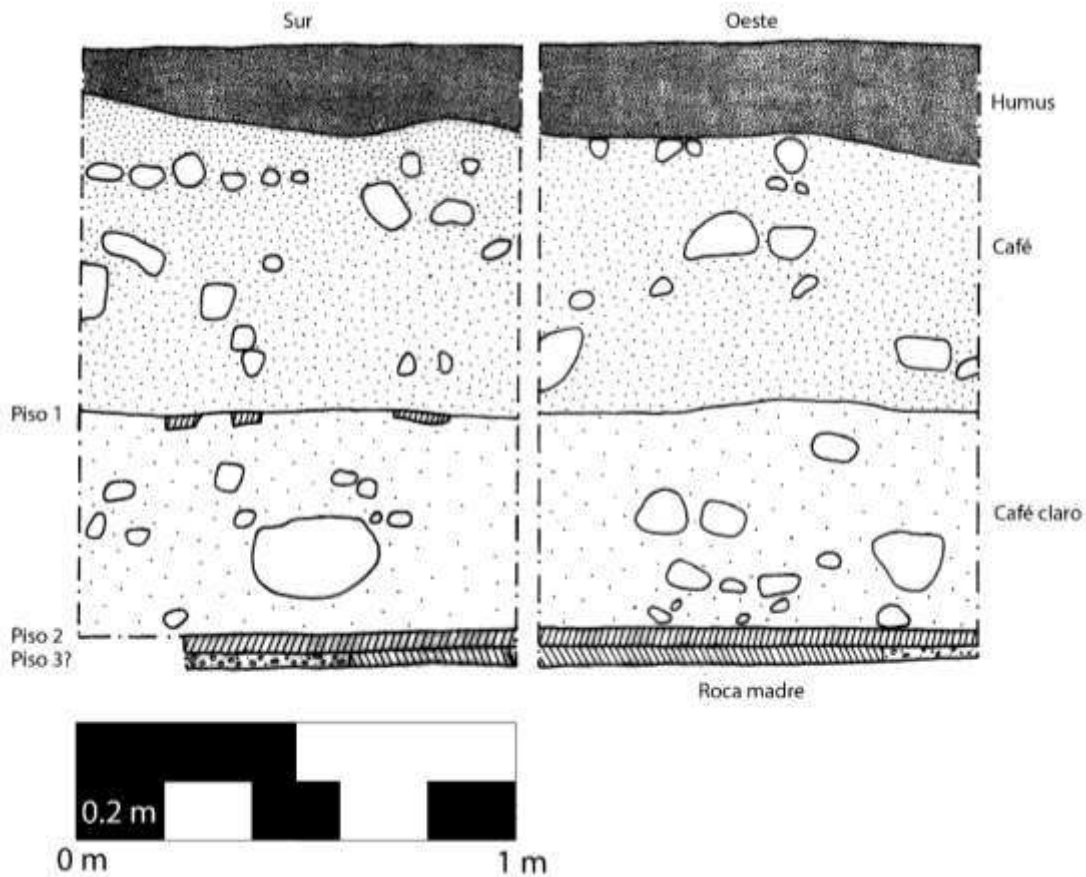


Figura 14.16. Perfil de la Unidad CAR-12A-1 (Dibujo y calco por D. Chatelain).

Unidad CAR-12A-2

La unidad CAR-12A-2 es un pozo de sondeo de 1 x 1 m localizado directamente al este de la Estructura C-4 y al norte de la Estructura D-1, al sur de la acrópolis principal. Este posible espacio de plaza es problemático de interpretar, puesto que se observa una pendiente que baja gradualmente de oeste a este, y no se encuentra bien definido en el área este. Las excavaciones en esta unidad combinaron niveles culturales y arbitrarios, alcanzando una profundidad máxima de 1.41 m. La excavación reveló un solo episodio de construcción bajo un estrato de humus de 0.2 m de grosor (Figura 14.17). El estrato de relleno encontrado fue de 1 m de grosor y no se parece a ninguno de los estratos de relleno observados en la Unidad CAR-12A-1. El sedimento era un barro compacto café oscuro con varias incrustaciones de piedra caliza (mayores a 0.03 m). No se encontró evidencia de un piso estucado sobre el estrato de relleno, y bajo éste se encontró un suelo estéril café grisáceo y rico en arcilla. Se terminaron las excavaciones cerca de 0.12 m bajo el inicio del suelo estéril.

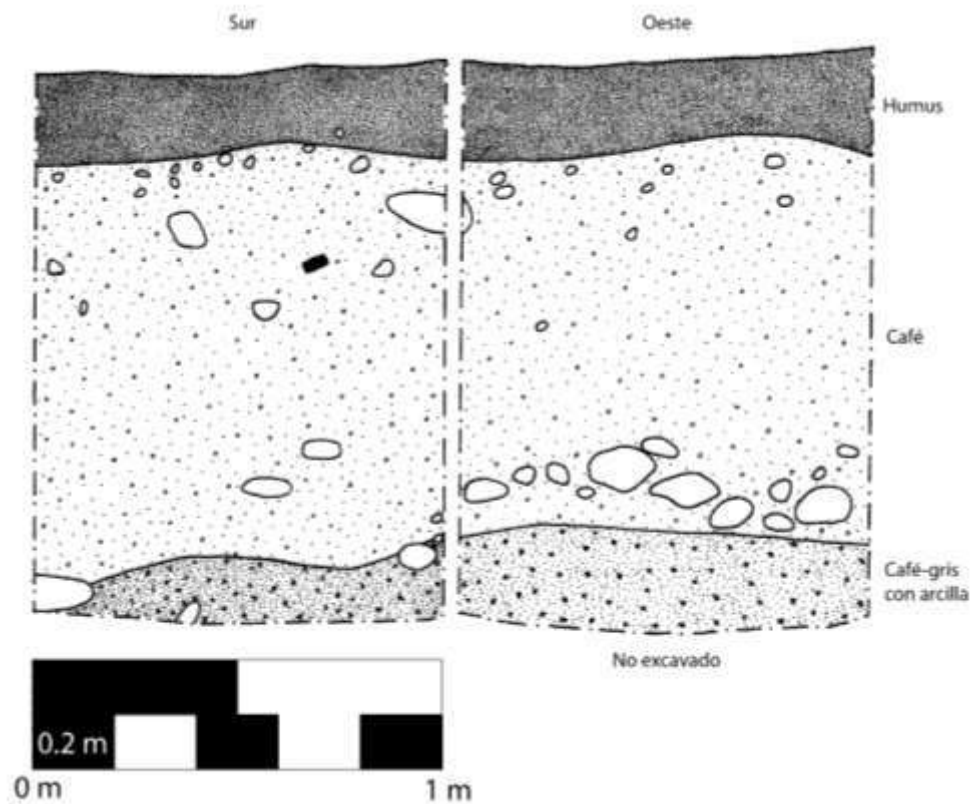


Figura 14.17. Perfil de la Unidad CAR-12A-2 (Dibujo y calco por D. Chatelain).

Resultados/Conclusiones

Tres, o posiblemente cuatro fases constructivas fueron identificadas en la Plaza C, correspondiente al espacio entre las estructuras C-1, C-2 y C-3. Por lo tanto, este grupo parece tener una historia de renovación y ocupación en el sitio. La cerámica encontrada bajo todos los pisos fue del Preclásico Tardío, aunque muchas formas y tipos del Clásico tardío fueron encontradas sobre el Piso 1. En la unidad CAR-12A-2 solo se encontró una fase de construcción, con un estrato de relleno diferente a todos los encontrados en la Plaza C. La cerámica recolectada en esta unidad se encuentra altamente erosionada, por lo que fue difícil de analizar, pero parece presentar una combinación de formas y tipos del Preclásico Tardío y del Clásico en general. Pareciera que el espacio fue artificialmente elevado, pero no se encontró evidencia de un piso de estuco. Este hecho, sumado con una topografía en pendiente en esta área, sugiere que se trataba de un espacio construido informalmente. Sin embargo, la mayoría de los estucos de La Cariba presentan niveles pobres de preservación, especialmente los pisos terminales, por lo que puede que el piso de esta área simplemente se haya degradado. Como el espacio de la unidad CAR-12A-2 posiblemente fue construido en un episodio diferente que la Plaza C, fue denominado como Plaza F.

Suboperación CAR-13A

La Suboperación CAR-13A comprende de un solo pozo de sondeo, la unidad CAR-13A-1, ubicada en el centro de la plaza del Grupo D. Dicho grupo se encuentra definido por una plataforma baja pero bien definida en el área sureste del sitio. Esta presenta una estructura baja y alargada en el límite norte (Estructura D-1) y una pequeña estructura piramidal en el límite sur del grupo. El objetivo de la suboperación CAR-13A fue entender la cronología de la Plaza D.

Unidad CAR-13A-1

La unidad CAR-13A-1 fue un pozo de sondeo de 1 x 1 m que alcanzó una profundidad máxima de 3.08 m. Dos episodios de construcción fueron identificados en la plaza, separados por un estrato estéril (Figura 14.18). El estrato de humus alcanzó una profundidad de 0.36 m bajo la superficie, seguido por un estrato de 1.16 m de grosor compuesto por barro café oscuro con pocas piedras. Dentro del estrato, cerca de 0.7 m. bajo la superficie, se encontró una ofrenda con

cinco vasijas, algunas de ellas completas y otras fragmentadas (Ver una descripción completa de las vasijas en el Capítulo 11 de este informe). A cada vasija se le asignó un número:

CAR-V001: cuenco policromo de 19 cm de diámetro que se encontró boca abajo cerca de la esquina noroeste de la unidad (Figura 14.19). Estaba completo e *in situ*, pero fragmentado debido al relleno sobre él. Dentro del cuenco se encontraron 18 dientes de un infante (E. Patterson, comunicación personal 2014). Una muestra de suelo fue tomada del interior del cuenco.

CAR-V002: plato Sierra Rojo, el cual se encontraba roto, posiblemente desde que fue posicionado en el escondite, y las piezas fueron depositadas cerca de la esquina sureste de la unidad. En esta área también se halló el fragmento de una figurilla.

CAR-V003: cuenco que fue visible en el perfil sur de la unidad, el cual se recuperó mediante una ventana de 0.3 m de alto y 0.4 m de ancho. El cuenco es del tipo naranja policromo Saxche-Palmar y se encontró completo, dispuesto boca abajo (C. Parris, comunicación personal 2014). Dentro de este cuenco se encontraron 16 dientes y fragmentos de hueso del cráneo de un infante (E. Patterson, comunicación personal 2014). Una muestra de suelo fue tomada del interior de este cuenco y durante la excavación de este nicho se encontraron otras dos vasijas.

CAR-V004: a unos pocos centímetros al oeste de la vasija *CAR-V003* se encontró *in situ* un vaso cilíndrico policromo del tipo Saxche-Palmar (C. Parris, comunicación personal 2014). Este se encontró asentado directamente sobre la mitad de otro cuenco sin engobe dispuesto boca abajo, al cual se le asignó el número *CAR-V005*. La otra mitad de este cuenco no fue encontrada.

Bajo este estrato de relleno, de 1.16 m de grosor, se encontró una capa de 0.8 m de sedimento estéril café amarillento claro, y los últimos 0.4 m de este estrato contenían varias piedras largas (0.2-0.4 m.). Este estrato no contuvo gran cantidad de artefactos, aunque no parece ser natural y puede que se trate de un relleno inicial que antecede al estrato café oscuro posterior. Bajo este estrato se encontró otro de aproximadamente 0.5 m de grosor compuesto de barro café con grandes cantidades de ceniza y carbón. Muestras tanto de carbón como de cenizas fueron tomadas. En el perfil este se presentaron bolsas de ceniza bien definidas a 2.55 m bajo la superficie. Una notable cantidad de huesos de animal fueron recuperados de este nivel, que incluyeron huesos de venado cola blanca, pavo, roedores, tortugas, armadillos, otros mamíferos pequeños (D. Fridberg, comunicación personal 2014), algunos de los cuales presentan evidencias de quema. Bajo este estrato se encontró suelo estéril color café rojizo y rico en arcilla que se encontraba a su vez asentado sobre la roca madre.

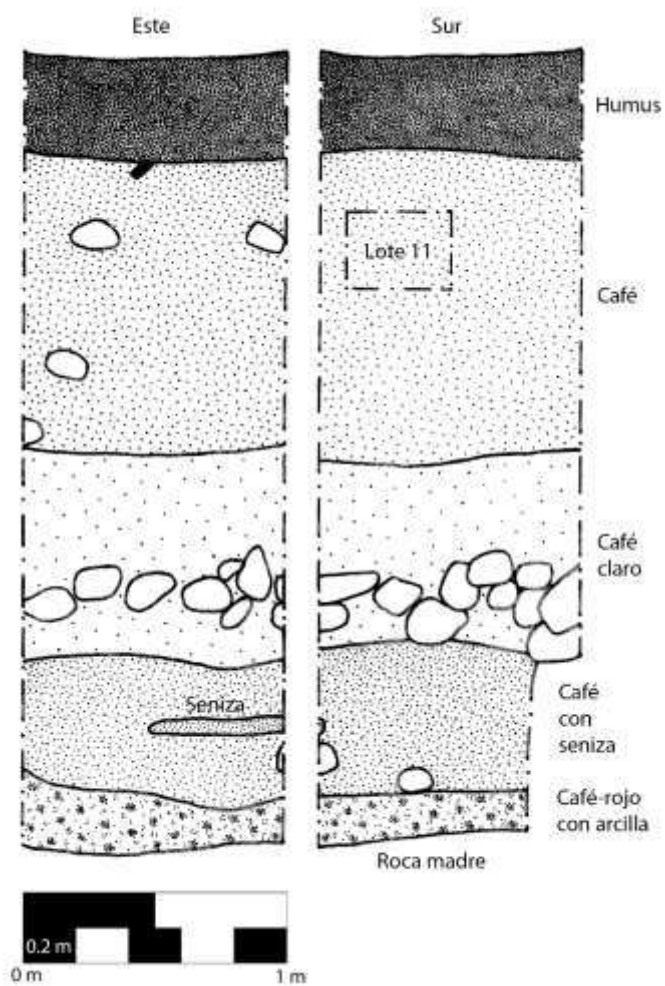


Figura 14.18 Perfil de la Unidad CAR-13A-1 (Dibujo y calco por D. Chatelain).



Figura 14.19. Vasija CAR-V001, *in situ* (Fotografía por D. Chatelain).

Resultados/Conclusiones

La unidad CAR-13A-1 reveló dos episodios de construcción en la Plaza D. La fase temprana contiene una gran cantidad de ceniza, carbón, y huesos de animal, lo que sugiere que este espacio haya servido como un área para cocinar. La cerámica diagnóstica encontrada en esta primera fase da fechas para el Preclásico. La fase tardía pudo haber incluido un estrato de relleno estéril inicial donde se encontró una gran cantidad de piedras, al que le siguió un estrato grueso de relleno color café. La cerámica diagnóstica de esta fase incluye una mezcla de tipos y formas del Preclásico Tardío y Clásico Tardío, lo que sugiere fechas para este último período. Durante la construcción de esta fase terminal de la plaza se colocó una ofrenda grande de al menos cinco vasijas, algunas completas y otras parciales, tanto intactas como fragmentadas. Algunas de estas vasijas pueden ser fechadas para el Clásico Tardío (C. Parris, comunicación personal 2014) y este sugiere una fuerte inversión ritual en la plataforma. Claramente este grupo bien definido se tuvo algún tipo de significado importante para los habitantes de La Cariba.

Conclusiones Generales

Las excavaciones de la temporada 2014 fueron exitosas para construir una cronología general del sitio de La Cariba. La mayoría de las construcciones grandes en el sitio ocurrieron durante el período Preclásico Tardío. La plaza del Grupo A fue construida en dos episodios, ambos fechados para el Preclásico Tardío o para la transición entre el Preclásico Tardío y el Clásico Temprano. La Plaza B fue construida en una sola fase durante el Preclásico Tardío. La Plaza C fue construida en 3 o 4 fases, todas fechadas para el Preclásico Tardío. En la Plaza D se identificaron dos fases constructivas, una fechada para el Preclásico Tardío, y otra para el Clásico Tardío. La Plaza F fue probablemente construida en algún tiempo durante el período Clásico. Todos los espacios de plaza presentaron cerámica del Clásico Tardío cerca de la superficie y en el estrato de humus.

Pareciera que el plano general del centro del sitio de la Cariba fue completado durante el período Preclásico Tardío. En este momento los grupos A, B, C, y D fueron establecidos en uno o más episodios constructivos. En el Grupo A, la Acrópolis Principal, el nivel de plaza más temprano incluyó una plataforma baja cerca del centro de la plaza, bajo la cual se encontró un escondite con dos vasijas colocadas labio-a-labio.

Durante el período Clásico Tardío, la plaza D fue ampliada e incluyó una gran ofrenda de al menos cinco vasijas completas o parciales. Aunque la Plaza A no presenta ningún episodio constructivo durante el Clásico Tardío, las estructuras A-2, A-4, y A-5 fueron construidas en este período. Es probable que éstas hayan sido construidas sobre estructuras más tempranas del Preclásico pero estas fases anteriores aún no han sido encontradas. En la Estructura A-5, cerca de su centro, se encontró un entierro conformado por los restos de tres individuos, una mujer adulta, un joven y un infante, los que pudieron haber estado asociados con la fase arquitectónica terminal. Una tumba con una bóveda rudimentaria también fue construida durante la fase arquitectónica terminal de esta estructura, la cual se encontró cerca del eje central y posiblemente bajo una escalinata. Desafortunadamente la cámara de esta tumba fue saqueada y casi completamente destruida. Mientras la construcción de plazas mayores no fue una práctica del Clásico Tardío en La Cariba, la investidura ceremonial de los lugares sí ocurrió.

Menos claro es el rol de La Cariba durante el Clásico Temprano, ya que se ha encontrado poca cerámica de esta fase fue encontrada en el sitio. Lo que sí es claro es la menor cantidad de tipos y formas comparado con los del Preclásico Tardío. La poca cerámica encontrada en el contexto del Entierro 1 provee la mayor evidencia de tipos del Clásico Temprano en el sitio. Futuras excavaciones y una mayor cantidad de muestras ayudarán a resolver las interrogantes sobre la ocupación del período Clásico Temprano en la Cariba. Por el momento La Cariba parece haber sido mayormente construida durante el período Preclásico Tardío, con una ocupación continua hasta el Clásico Tardío o una reocupación en este último período.

RECONOCIMIENTO Y MAPEO EN EL SITIO LAS GUACAMAYAS

Ernesto Arredondo, Alejandro Gillot y Eduardo Bustamante

Introducción

El proyecto de Reconocimiento y Mapeo Arqueológico Las Guacamayas tuvo como objetivo principal iniciar las investigaciones del sitio arqueológico Las Guacamayas. Como objetivo paralelo se pretende lograr con estas intervenciones iniciales, el contribuir a la puesta en valor del sitio, previendo trabajos de excavación y conservación del mismo. Las Guacamayas se ubica en el Municipio de San Andrés, El Petén, con coordenadas N 90° 22', 55.4 O 17° 47' 8.4, y a una altura aproximada de unos 100 m sobre el nivel del mar. Se localiza en la Unidad de Manejo Triángulo Candelaria, Zona de Uso Múltiple contemplada dentro de la Reserva de la Biósfera Maya (Figuras 15.1 y 15.2). El acceso se logra desde la Comunidad de Carmelita, rumbo noroeste hacia Santa Elena y continuando por una brecha hacia la estación Dos Hongos. El sitio se encuentra a unos 7 km de la frontera con México en las cercanías de la Laguna Larga.

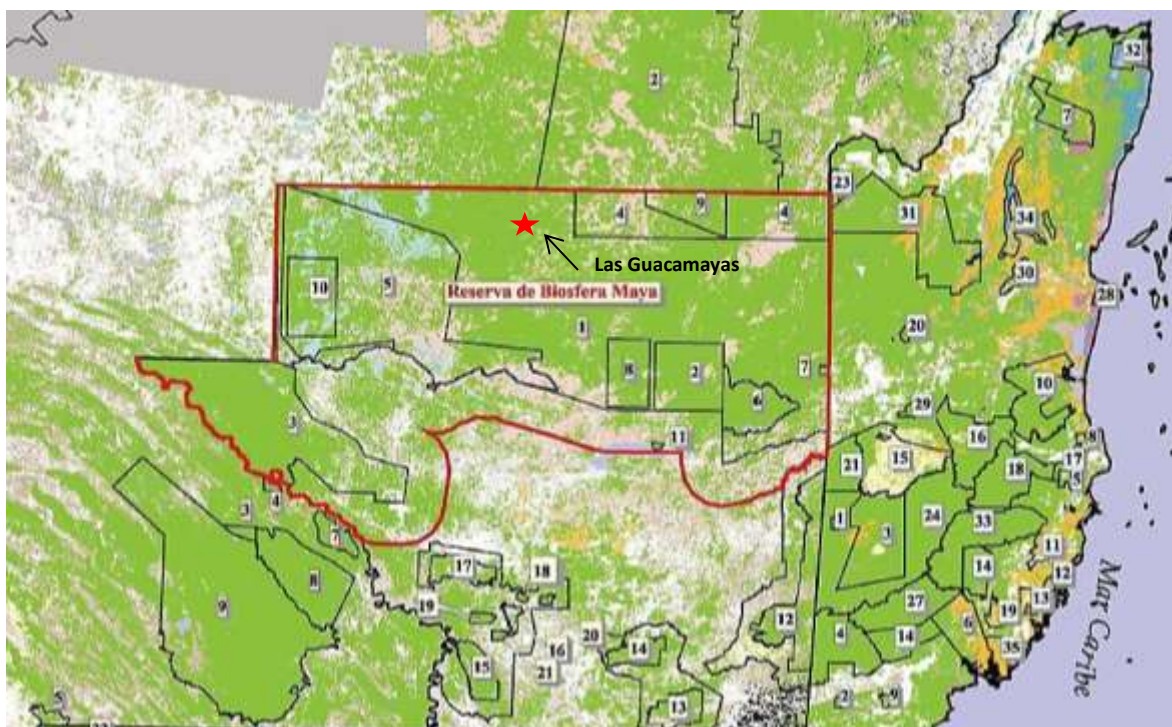


Figura 15.1 Reserva de la Biósfera Maya y localización del sitio Las Guacamayas (Modificado de CONAP 2001: Fig. 1).

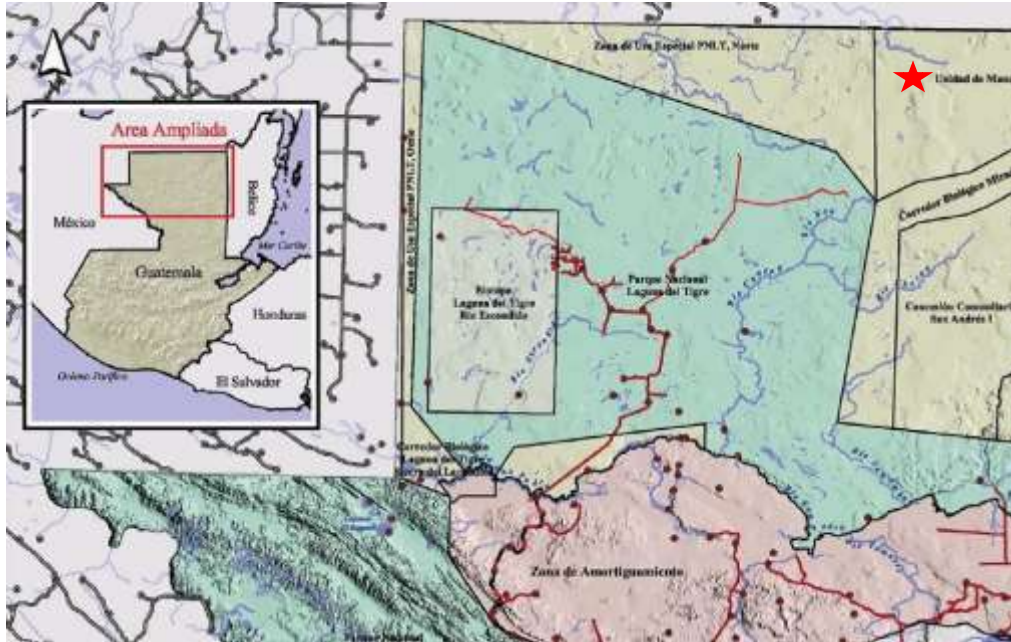


Figura 15.2 Ubicación de Las Guacamayas y el Triángulo Las Candelarias, Zona de Uso Múltiple (Modificado de CONAP 2001: fig. 5).

Antecedentes

El reconocimiento y mapeo arqueológico en el sitio Las Guacamayas formó parte de las actividades propuestas por el Proyecto Regional Arqueológico La Corona (PRALC) en la Temporada 2014, pero no pudo ser posible llevarlas a cabo por la conflictividad en el área. Sin embargo, fue posible retomar la propuesta inicial por medio del proyecto F13/2014/FONACON “Recuperación de la Gobernabilidad en el Triángulo Candelaria, Zona de Usos Múltiples, Reserva de la Biósfera Maya” cuyo propósito es iniciar un proceso de recuperación de la gobernabilidad en la zona mencionada en vista de las múltiples amenazas que ponen en riesgo el patrimonio natural y cultura (FONACON 2014).

Por su localización, a escasos kilómetros de la frontera con México, Las Guacamayas se encuentra bajo amenazas de saqueo de bienes arqueológicos, además de los consiguientes daños a por intrusiones ilegales. Según el Consejo Nacional de Áreas Protegidas, Las Guacamayas se encuentra en un área susceptible a asentamientos humanos (CONAP 2006) y se encuentra en una de las rutas críticas según el análisis de amenazas de la RBM (Figuras 15.3 y 15.4). Una muestra de estas intromisiones ilegales es la Finca Bol de la Cruz, caracterizada como tierra usurpada por el CONAP (2006: fig. 18) y que se encuentra a pocos kilómetros al oeste del sitio.

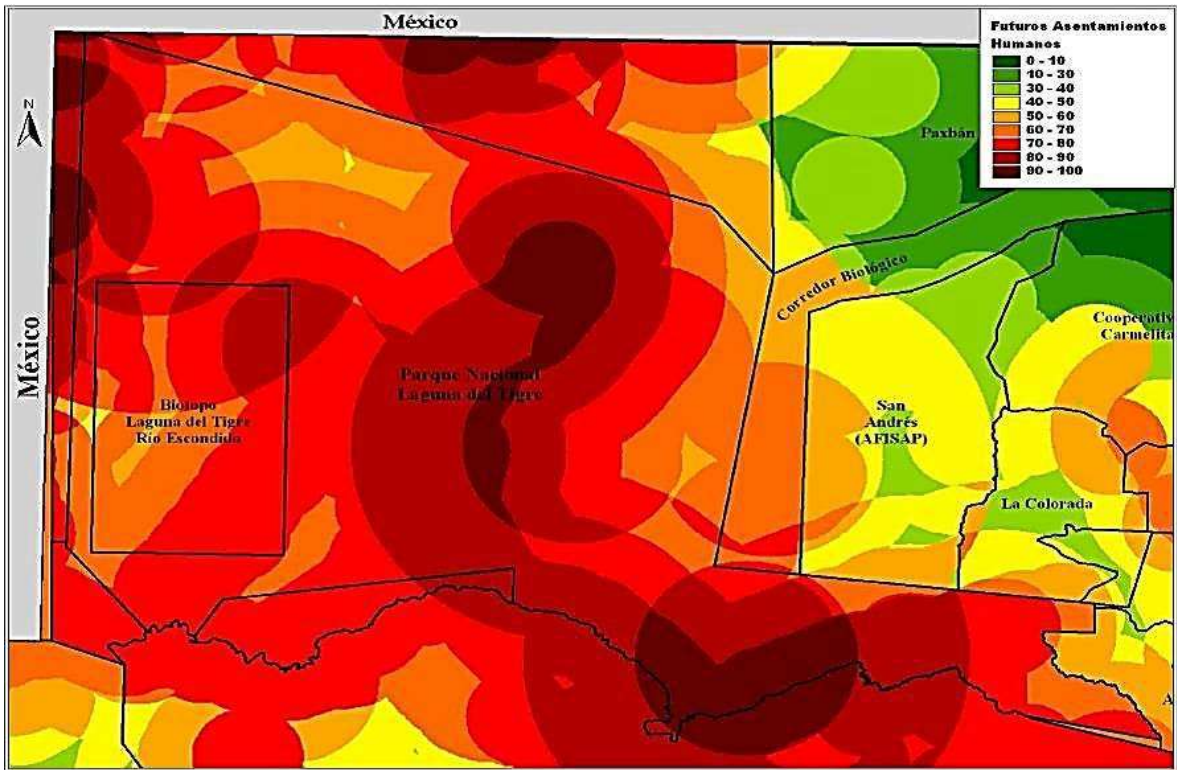


Figura 15.3 Áreas susceptibles a invasiones dentro de la RBM (CONAP 2003: fig. 16).

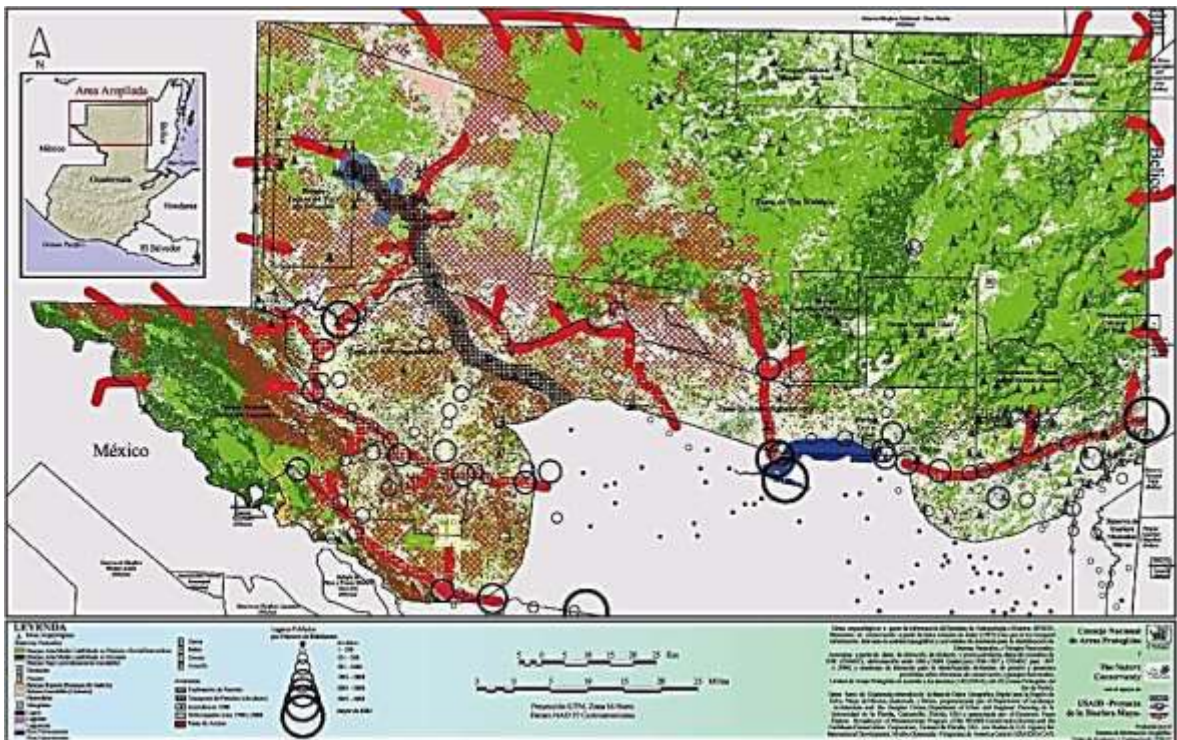


Figura 15.4 Rutas de amenazas a la RBM (CONAP 2001: fig. 4).

Asimismo, se encuentra el asentamiento El Reloj, sobre el límite territorial entre Guatemala y México, a unos 9 km al noroeste de las Guacamayas (Figura 15.5). Otra amenaza la representan las cercanas poblaciones mexicanas de Santa Rosa y Solidaridad ubicadas al norte. Finalmente, otro ejemplo lo constituye el ataque del que fueron víctimas guardarecursos de CONAP en 2014, cuando el campamento base de Dos Hongos fue quemado por individuos pertenecientes a los asentamientos en avanzada.

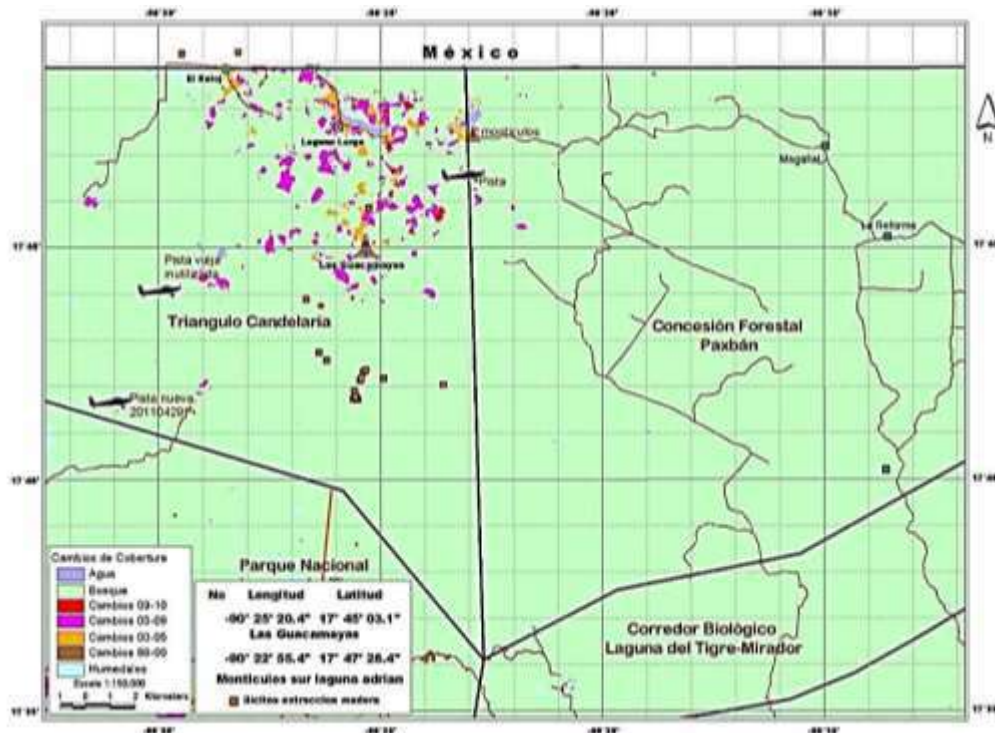


Figura 15.5 Ubicación del asentamiento El Reloj y el área de Las Guacamayas (Cortesía de WCS).

Antes de esta expedición se habían detectado, por medio de fotografía aérea, varias estructuras, entre las cuales se identificaban estructuras piramidales y otras posiblemente de función palaciega y habitacional. A la fecha, no ha existido ninguna investigación arqueológica previa en el sitio, aunque se ha considerado como uno de los sitios mayores de la región (CONAP 2013). Las Guacamayas fue reportado por guardarecursos de CONAP en años anteriores, y por Roan Balas de la *World Conservation Society* durante un vuelo sobre el área realizado en 2014 y en conjunto con el Consejo Nacional de Seguridad (Figura 15.6). En ese momento no solo se logró avistar el sitio, sino se pudo constatar la quema del bosque en el área, además de caminamientos observables desde el aire.



Figura 15.6 Vista aérea del sitio Las Guacamayas (Foto cortesía de WCS).

Metodología de campo

Para el reconocimiento general del sitio se realizaron caminamientos en el área reportada del asentamiento, haciendo una recolección de datos exhaustiva dentro de las limitantes del tiempo. Se levantó un mapa preliminar del sitio por medio de GPS, con el fin de desarrollar una descripción de las estructuras y monumentos presentes, la cual incluyó rasgos arquitectónicos particulares, dimensiones, orientación, altura aproximada, estado de conservación y daños. Así mismo se integraron los elementos naturales relevantes en la zona próxima al sitio y dentro del mismo. Para la obtención de una cronología general del sitio, se hizo una recolección de superficie de materiales cerámicos, líticos y de otra índole. En cuanto a la evaluación del estado de conservación del sitio e impacto por intrusiones ilegales, se hizo registro de saqueos presentes en las estructuras del sitio.

Es importante mencionar algunas circunstancias que tuvieron incidencia en las actividades llevadas a cabo en el sitio Las Guacamayas. La primera fue la presencia de vegetación secundaria intensa no reportada con anterioridad (Figura 15.7) y la segunda, la presencia de comunitarios dentro del sitio. En el primer caso, antes de iniciar la expedición se previó la existencia de vegetación diferente a la reportada por las fotografías aéreas y

reportes obtenidos. Por lo tanto se planteó enfocar las actividades en dos áreas particulares del sitio: el conjunto de edificios piramidales hacia el oeste y la Acrópolis al este, reportada por DEMOPRE en 2013 (Burgos 2013; Figura 10). Esta perspectiva no cambió al arribar, aunque se reconoció que la ubicación de las estructuras sería mucho más difícil de lo planeado por la presencia de guamil tan alto. Sin embargo, la segunda circunstancia de incidencia fue la más importante, la presencia de comunitarios en el sitio. Bajo las circunstancias descritas antes, se mantuvo el enfoque sobre la acrópolis y sobre el conjunto de edificios piramidales como objetivos principales de reconocimiento e investigación.



Figura 15.7 Estado de la vegetación secundaria en el sitio y áreas aledañas
(Fotografías por A. Gillot y E. Arredondo).

Mapa del sitio

Originalmente se contaba con tres días de recolección de datos, sin embargo dado los imprevistos ya mencionados, el tiempo se vio reducido a medio día de trabajo efectivo. Esto tuvo un impacto en la elaboración posterior del mapa, ya que la toma de menos puntos significó una pérdida en la definición de los rasgos topográficos. La recolección de datos fue realizada con un GPS de última generación, Garmin Colorado 3000. Se prefirió la recolección de datos con un GPS y no con una Estación Total o Teodolito ya que el GPS es más transportable, y teniendo siempre la amenaza latente de la presencia de comunitarios en la zona, el GPS permite una movilidad más rápida del equipo de trabajo. Dado el nivel de depredación de los bosques en el área, la exactitud de la toma de puntos GPS pudo ser maximizada a su mayor nivel.

Con el objetivo de cumplir las metas principales de la toma de puntos, se desarrolló un plan de trabajo de acuerdo a lo requerido. Para ello se dividió el trabajo en dos etapas descritas a continuación. La primera etapa constó en la recolección de datos con técnica de “Estrella” o ejes “intersectantes” (Figura 15.8). Esta técnica consiste en la elaboración de dos ejes, preferiblemente perpendiculares, que se intersectan en la cima de las estructuras. De esta manera, se toma una serie de puntos (los necesarios según las características de cada estructura) que forman un eje norte-sur, y luego se procede a la toma similar de puntos pero ahora en un eje este-oeste. Este proceso se llevó a cabo en todas las estructuras de la plaza principal. Con ella, se pudo tener una clara vista de las dimensiones totales de cada uno de los elementos arquitectónicos, así como su ubicación espacial y en referencia a los demás. Se aprovechó esta toma de puntos para localizar también trincheras de saqueo visibles en los edificios.

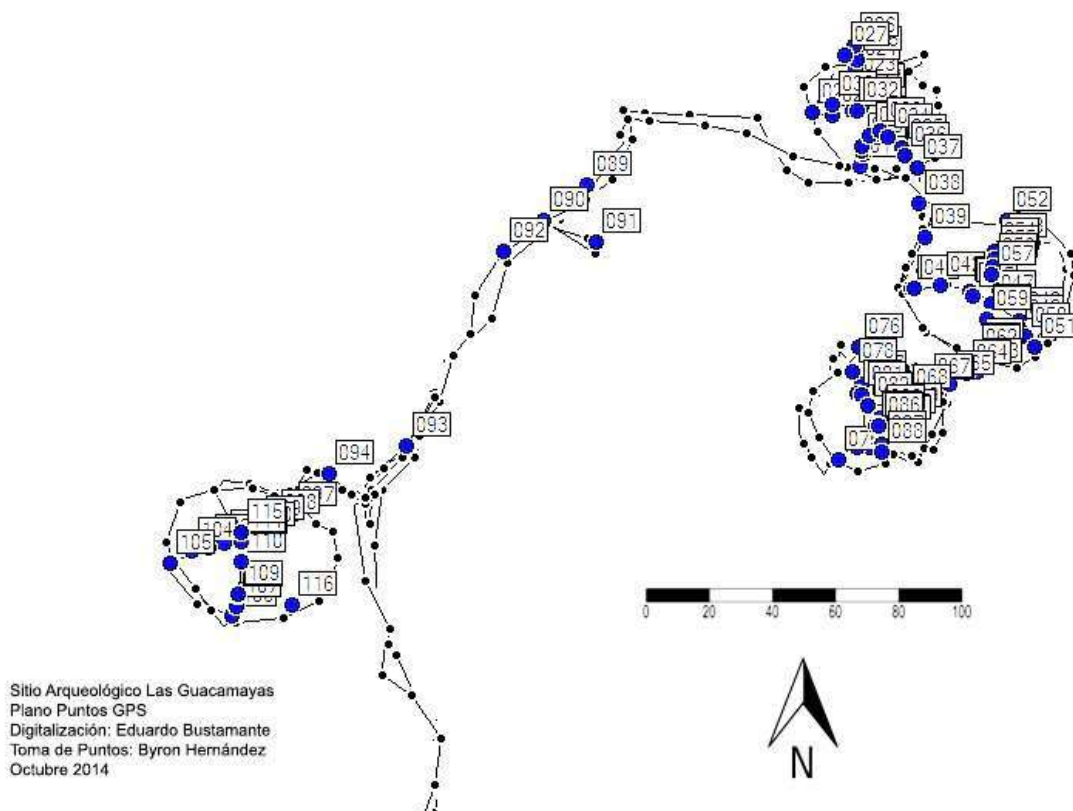


Figura 15.8 Plano de puntos GPS (Digitalización E. Bustamante).

Por los problemas experimentados con las comunidades aledañas al sitio, no se pudo realizar la recolección de datos de soporte, que consiste en la detección de rasgos arquitectónicos como esquinas, inicios de cuerpos de estructura, localización de gradas, localización de superestructuras y paredes, etc.

Los datos recolectados fueron tomados bajo medidas en el sistema de coordenadas Universales Transversales de Mercator o UTM por sus siglas en ingles. Debido a que Guatemala no posee su propio sistema de proyecciones mundiales para la creación de mapas, se utilizó la proyección WGS84, correspondiente a los Estados Unidos, en su zona 15 para la colocación de coordenadas en mapas internacionales. Como resultado, los datos en su forma GPS, fueron obtenidos en base a grados oeste y norte y fueron transformados a un sistema decimal mediante una hoja de datos automatizada para este propósito, con lo cual pudieron ser transferidas a coordenadas X-Y para admitirles con cualquier programa especializado en la elaboración de curvas de nivel.

El programa escogido fue *Surfer 10*, de la empresa *Golden Software*, en vista de su versatilidad para la elaboración de mapas de distintos tipos y su compatibilidad con formatos “.dxf” correspondientes al programa AutoCAD, y requeridos por el DEMOPRE en los asuntos propios del mapeo de sitios arqueológicos en Guatemala. De esta manera, se presenta una serie de mapas: un mapa de curvas de nivel (Figura 15.9) y cuatro mapas volumétricos con distintas vistas del sector mapeado (Figuras 15.10 a 15.11). Dadas las dificultades de tiempo mencionadas anteriormente, los montículos presentan formas cónicas con picos pronunciados, lo que se debe a la poca cantidad de puntos; sin embargo, estos planos aun presentan dimensiones de altura y diámetro correcto de los montículos mapeados.

Tabla 15.1 Diámetros y alturas de las estructuras mapeadas (E. Bustamante)

Estructura	Diámetro		Altura
	E-0	N-S	
1	24 m.	28 m.	12 m
2	24 m.	25 m.	13 m
3	29 m.	19 m.	13 m
4	30.09 m	23.83 m.	11 m

Tabla 15.2 Dimensiones del patio interno del Grupo Triádico (E. Bustamante)

Rasgo	Dimensiones E-O	Dimensiones N-S
Patio interno Grupo Triádico	26.6 m	37.38 m

Tabla 15.3 Distancias entre estructuras (de cima a cima) (E. Bustamante)

Estructuras	Distancia entre estructuras
1-2	36.79 m
1-3	53.08 m
2-3	29.53 m
3-4	118.69 m

El mapeo claramente deja observar una plaza con cuatro montículos, tres hacia el este, formando un posible grupo triádico, y un montículo hacia el oeste. Teniendo en cuenta la existencia de este grupo triádico, conformado por las estructuras 1, 2 y 3 podemos pensar en la existencia de un pequeño patio en este grupo.

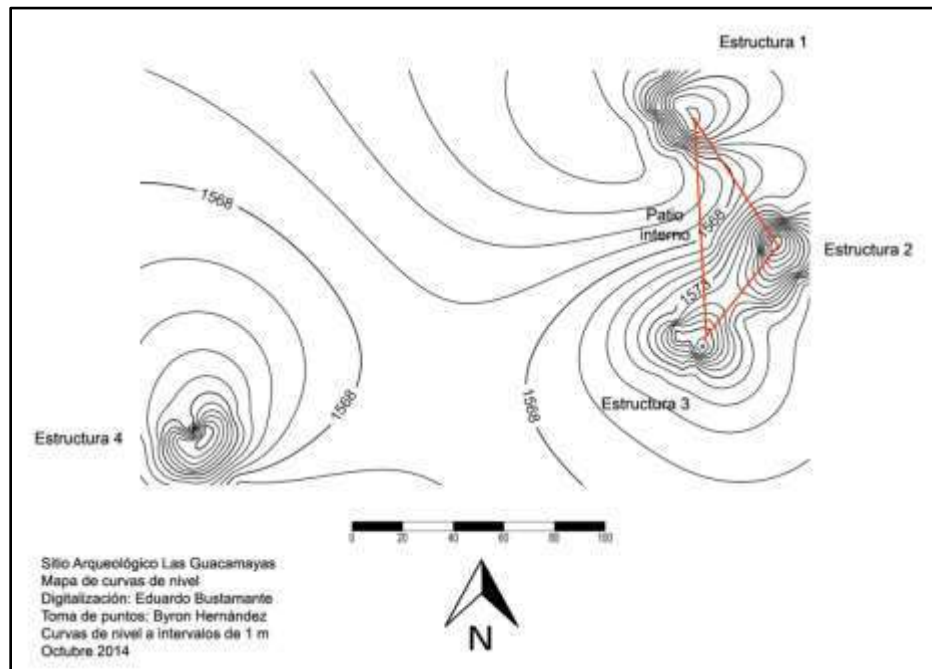


Figura 15.9 Mapa de curvas de nivel, indicando el Grupo Triádico (Dibujo por E. Bustamante).

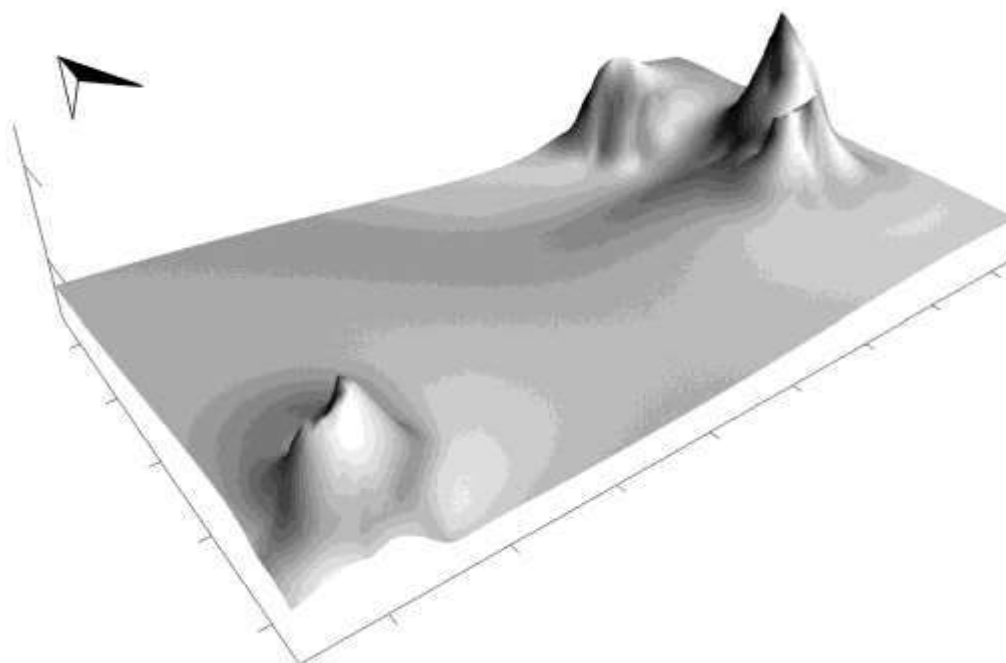


Figura 15.10 Levantamiento volumétrico del grupo principal de Las Guacamayas, vista hacia el noreste (Dibujo por E. Bustamante).

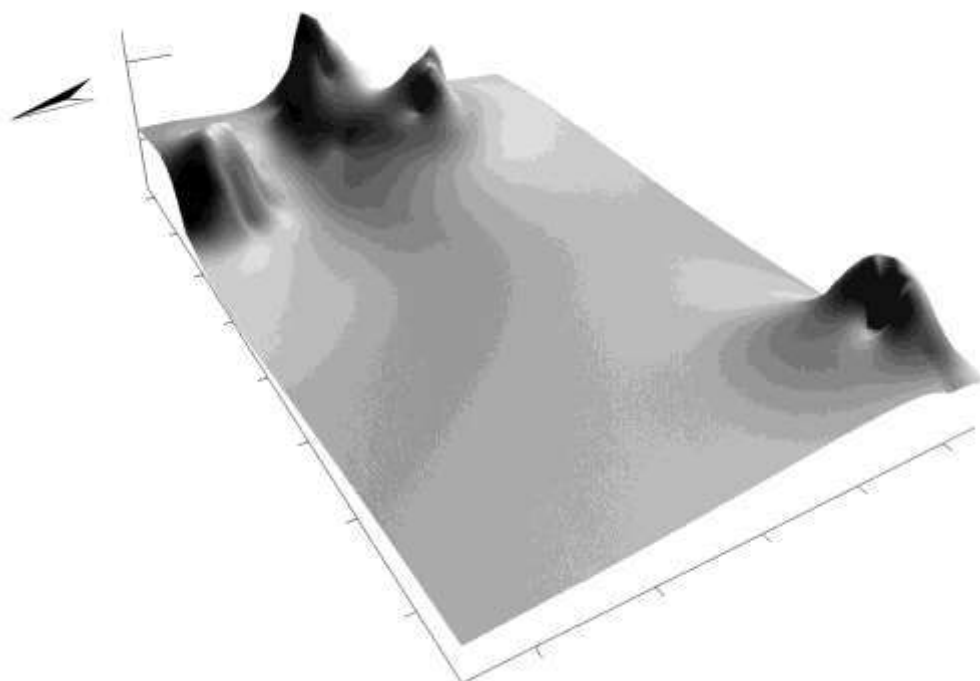


Figura 15.11 Levantamiento volumétrico del grupo principal de Las Guacamayas, vista hacia el sureste (Dibujo por E. Bustamante).

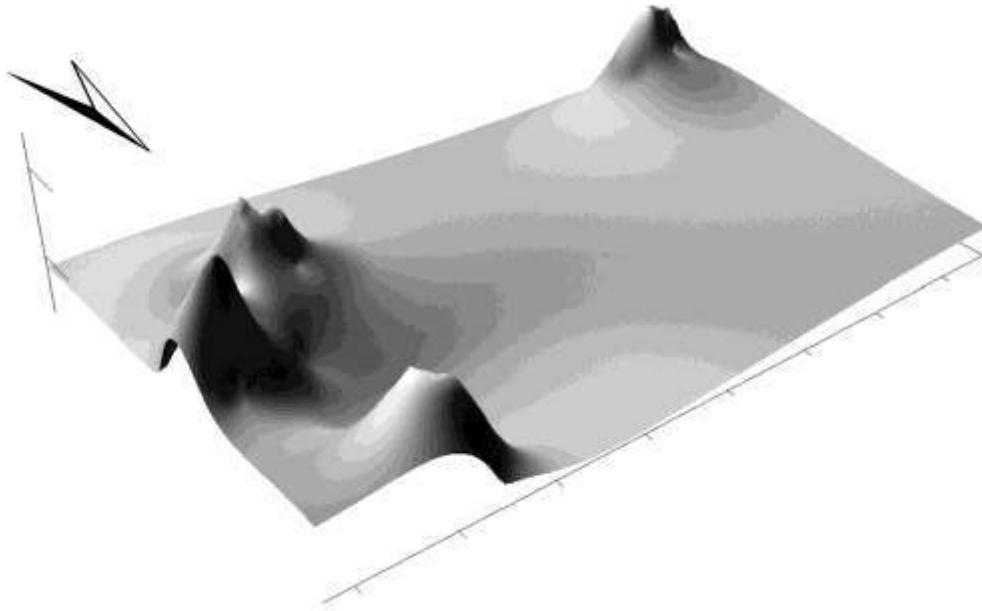


Figura 15.12 Levantamiento volumétrico del grupo principal de Las Guacamayas, vista hacia el suroeste (Dibujo por E. Bustamante).

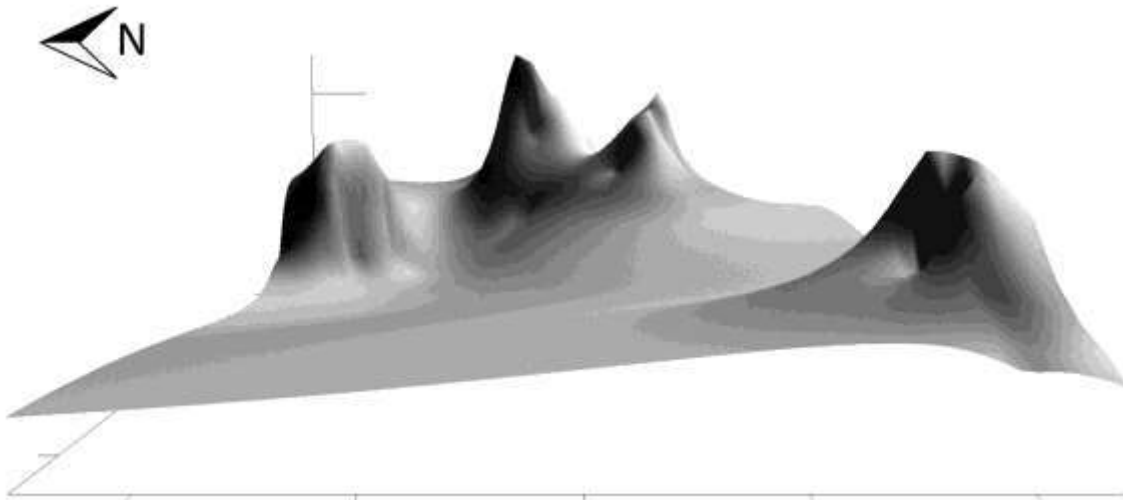


Figura 15.13 Levantamiento volumétrico del grupo principal de Las Guacamayas, vista hacia el este (Dibujo por E. Bustamante).

Registro de saqueos e información arquitectónica

La Operación 1 Suboperación B, tuvo como objetivo la identificación de saqueos en el sitio arqueológico Las Guacamayas, así como la descripción arquitectónica de las estructuras presentes. Con dicho fin, se llevó a cabo un reconocimiento del asentamiento y se procedió a realizar un mapa planimétrico que cubriera la mayor parte del sitio conocido. Estos mapas son, por lo regular, el primer paso al entendimiento de los espacios construidos, y un acercamiento a su relación con los espacios naturales que enmarcan los asentamientos arqueológicos. Para la realización de dicho mapa se requiere una visita al campo y la utilización de brújula y cinta métrica, aunque también se utilizan mediciones a base de pasos controlados (Hester *et al.* 1988; Renfrew y Bahn 1996). Sumado a estos procedimientos, la fotografía aérea constituye otro método de soporte que proporciona datos importantes en la creación de un banco de información preliminar (Renfrew y Bahn 1996). En nuestro caso, se tuvo a disposición fotografías aéreas de tres sobrevuelos llevados a cabo en 2011, 2012 y 2014, las cuales fueron utilizadas como material de soporte para el bosquejo de plano llevado a cabo en campo. Al igual que la Suboperación A, de la operación de mapeo, nuestra investigación se enfocó en el sector principal del sitio, un Complejo Triádico al este del mismo, y en el sector oeste en donde, según una visita previa por DEMOPRE, se localizaba una Acrópolis. Esta última, no fue tal, y se localizaron únicamente dos estructuras separadas entre sí y las cuales serán descritas más adelante. Se llevaron a cabo recorridos en otros sectores del sitio, especialmente hacia el noreste, y aunque no todas las estructuras pudieron ser visitadas, se pudieron recolectar datos (por los medios indicados antes) que complementan la información requerida para el mapa planimétrico propuesto. El mayor reto de nuestra investigación la constituyó la alta densidad de vegetación secundaria la cual retrasó y en algunos casos detuvo nuestro avance de los recorridos. Aun así, se logró el objetivo principal y a continuación hacemos una revisión de la arquitectura presente, enfocándonos principalmente en sus formas y posibles funciones en tiempos prehispánicos.

RASGOS ARQUITECTÓNICOS DEL SITIO LAS GUACAMAYAS

El sitio arqueológico Las Guacamayas tiene una disposición este-oeste que abarca unos 400 m aproximadamente, y si se tiene en cuenta un montículo reportado más al este,

alcanza una extensión mínima sobre ese eje de unos 700 m. En su eje norte-sur alcanza al menos unos 500 m. Está compuesto de al menos 14 estructuras avistadas durante nuestro trabajo de campo, aunque el número bien puede aumentar a 19 como mínimo, siempre en el área visitada (Figura 15.14). Es de tomarse en cuenta que los sitios tienden a cubrir áreas mayores a su áreas centrales dada la disposición urbana que muestran en toda la región del Área Maya que implica la existencia de áreas residenciales separadas por áreas de cultivo. El área central tiende a ser más compacta, mientras el área de ocupación circundante tiende a tener más espacios vacíos entre las estructuras presentes. Otra circunstancia a tomar en cuenta son las estructuras “invisibles”, las cuales por su poca altura pueden quedar cubiertas con el pasar de los años, haciendo su identificación posible únicamente por medio de excavaciones. De las catorce estructuras reportadas durante nuestra visita en 2014, tres conforman un Conjunto Triádico, otras cinco son de forma piramidal y se encuentran dispersas en toda el área investigada, una tiene características de ser un edificio de tipo palaciego al oeste del asentamiento, mientras otras cinco plataformas bajas, principalmente rectangulares, pueden representar estructuras habitacionales al noreste, sureste y sur del asentamiento principal (Figura 15.15).

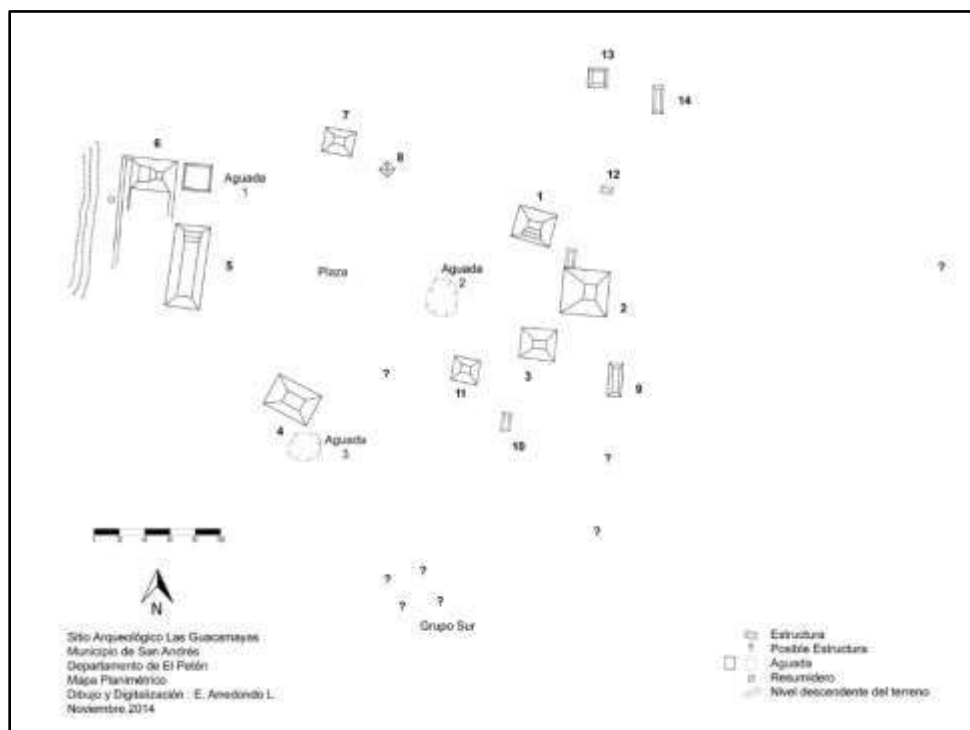


Figura 15.14 mapa planimétrico general del sitio Las Guacamayas (dibujo y digitalización por E. Arredondo).

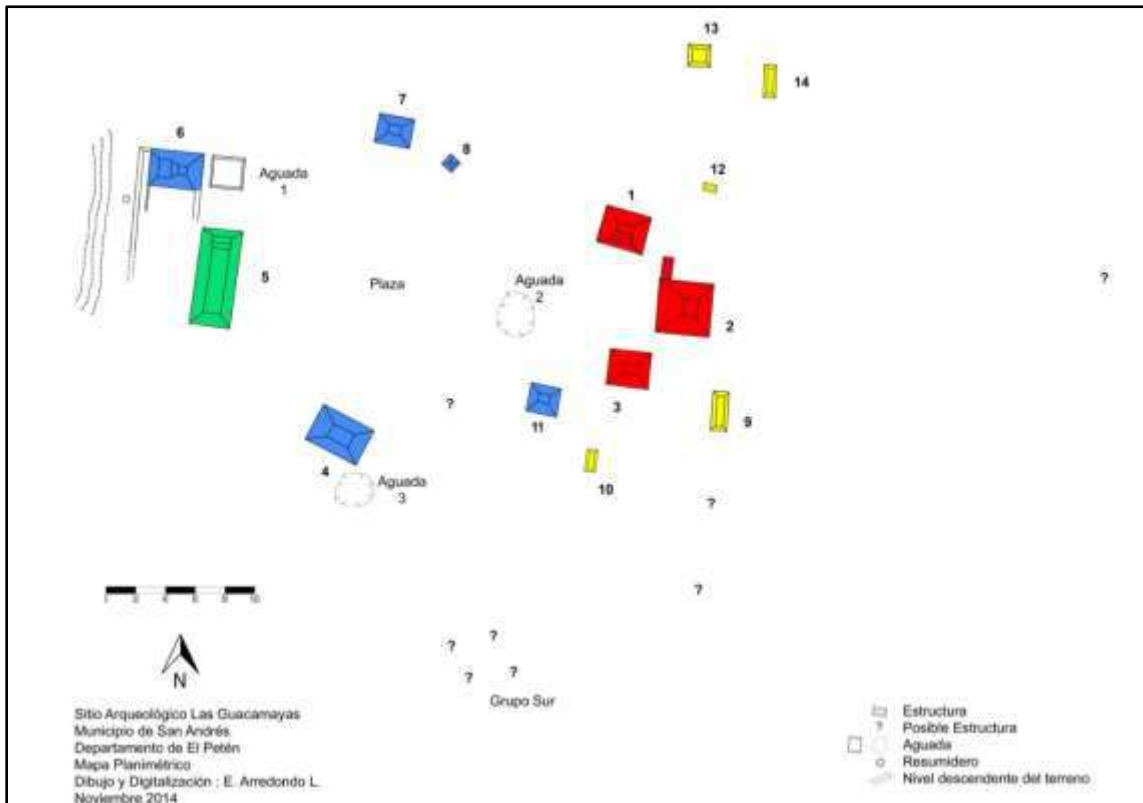


Figura 15.15 identificación de estructuras por su forma y posible función, el Grupo Triádico en rojo, los edificios piramidales en azul, la estructura palaciega en verde y las plataformas habitacionales en amarillo (dibujo y digitalización por E. Arredondo).

Se reportaron tres aguadas, dos de ellas posiblemente naturales, mientras una más tiene signos de alteraciones humanas y bien puede ser un espacio construido (como se observa en otros sitios como Cancuen) o natural/modificado. El sitio tiene al menos ocho saqueos de dimensiones varias y cuyas características nos hacen pensar en saqueos que no son recientes, a excepción de uno en la Estructura 4. Se observó un resumidero al oeste de la Estructura 6 y allí mismo una pendiente pronunciada hacia el oeste, que bien puede representar un área de cantera o una depresión natural aprovechada, ya sea para fines de extracción de material y/o como reservorio, a modo del Reservorio del Palacio, al sur de la Acrópolis Centra de Tikal, un comportamiento observado también en otros sitios de Tierras Bajas. Al momento no se reportan monumentos, aunque el testimonio de un informante indica la presencia y extracción de dos monumentos en el pasado (Luis Morales comunicación personal 2014). La arquitectura se encuentra en forma de montículo y no se observó arquitectura expuesta, es decir, paredes o plataformas cuyos sillares tuvieran expuestas sus fachadas. Sí fue notable la presencia de piedras amorfas en todo el sitio,

quizás como parte del relleno constructivo ya derrumbado. En términos aproximados el sitio muestra una orientación de 10° *Azimuth* sobre su eje norte-sur y de unos 280° *Azimuth* sobre su eje este-oeste. La limitación de tiempo y la presencia de de vegetación abundante no permiten al momento tener un dato más exacto sobre este punto. Finalmente, un gran espacio de Plaza se encuentra entre el Complejo Triádico al este, y las estructuras 5 y 6, al oeste, cubriendo unos 200 m aproximadamente.

El mapa planimétrico se obtuvo al manipular información obtenida por medio de tres fuentes: 1) recorridos en el sitio acompañados de mediciones por medio de cinta métrica y brújula; 2) toma de puntos GPS para la elaboración de un mapa topográfico del sector principal del sitio; y 3) fotos aéreas de tres sobrevuelos realizados en 2011, 2012 y 2014, y cedidas amablemente por WCS (Figuras 15.16-12). En dicha secuencia, el trabajo dio inicio con la elaboración de un bosquejo llevado a cabo en campo, éste incluyó todos los edificios visitados y algunos observables a distancia cuyas características los hicieron fácilmente distinguibles. Este bosquejo fue luego analizado en laboratorio, redibujado y digitalizado. El siguiente paso consistió en la elaboración de un mapa basado en el levantamiento topográfico obtenido por GPS (ver Figura 15.8). La falta de mayor cantidad de puntos mostró algunas incongruencias con los datos observados en campo y se recurrió a la creación de un tercer mapa. Este se realizó tomando el mapa de puntos GPS sin información topográfica (ver Figura 15.9). Su elección se basó en que el topógrafo designado basó la toma de puntos en base a rasgos observados en campo, rasgos principalmente de esquinas aproximadas, algo que un mapa topográfico por GPS tiende a perder si la cantidad de puntos no es lo suficientemente alta o realizada por medio de un teodolito o Estación Total. Posteriormente, se trabajó con las fotos aéreas. Con ellas se realizaron levantamientos en perspectiva y en plano que proporcionaron información que pudo compararse con los mapas anteriores (Figura 15.10). Otro dato importante proporcionado por las fotografía fue que demostraron la presencia o ausencia de algunas estructuras reportadas previamente a nuestra visita. Gracias a que éstas fueron realizadas en años diferentes, se pudo comprobar que algunas supuestas estructuras corresponden a acumulaciones altas de vegetación, y no a estructuras reales. Finalmente, se comparó nuestra información con un mapa realizado en 2013, una secuencia de puntos que indicaban estructuras y que fue documentado por el T. U. Pedro Pablo Burgos, quien en su momento

lo geoposicionó en una imagen *Google Earth*. Esto nos permitió confirmar nuestras observaciones y agregar la estructura más lejana al este, y confirmar nuestra observación de al menos dos estructuras al sur del epicentro del sitio. Con todos estos datos, se logró el objetivo de obtener un mapa planimétrico preliminar, que será la base de estudios posteriores y permite la planificación de investigaciones en campo, así como la postulación de preguntas de investigación previas.



Figura 15.16 vista aérea de 2014 ligeramente hacia el norte del oeste (cortesía de WCS).



Figura 15.17 vista aérea de 2014 hacia el noroeste (cortesía de WCS).



Figura 15.18 vista aérea de 2014 vista hacia el norte (cortesía de WCS).



Figura 15.19 vista aérea del Complejo Triádico (cortesía de WCS).



Figura 15.20 fotografía aérea con montaje de arquitectura observada (fotografía cortesía WCS; montaje E. Arredondo).

Con la obtención del mapa, se procedió a geoposicionarlo, tanto en las imágenes de *Google Earth* como en la hoja 1:50,000 del Instituto Geográfico Militar (IGM). Con esto fue posible ubicarlo en relación a elementos naturales, tanto bajos, lagunas, poblados y elementos topográficos (Figura 15.22), dando como resultado –en la hoja IGM- de su reposicionamiento, unos 25 m al sur, coincidiendo tanto con la hoja 1:50,000 como con nuestras observaciones del terreno (Figura 15.21). Esta variante se explica tanto por las diferencias de certeza de los aparatos GPS utilizados, así como las diferencias entre los registros utilizados por *Google Earth* y los mapas del IGM.

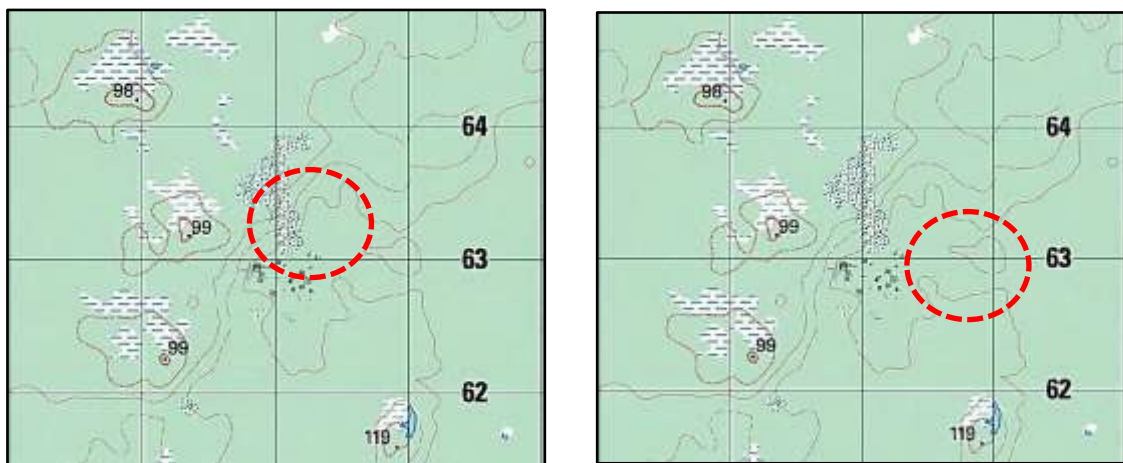


Figura 15.21 ubicación del sitio Las Guacamayas (rodeado por círculo rojo) en base a coordenadas GPS y su relocalización en base al mapa 1:50,000 (dibujo y digitalización por E. Arredondo).

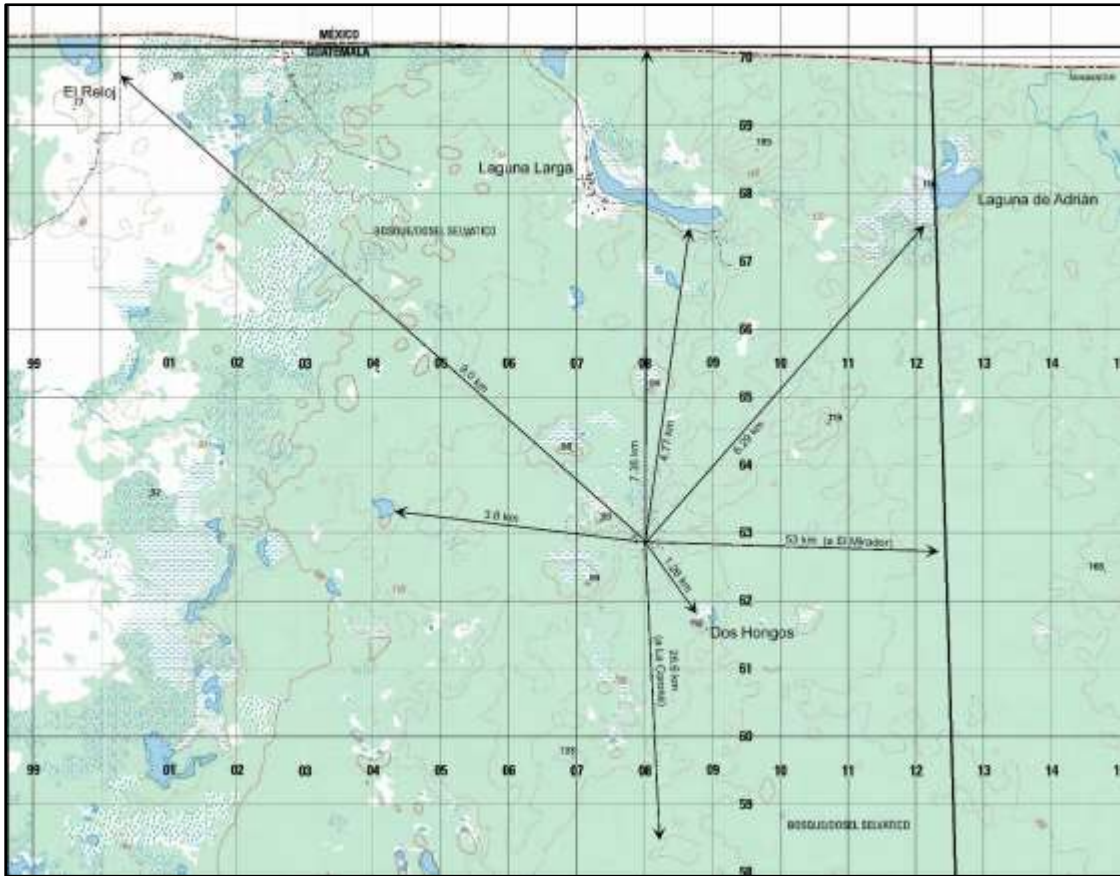


Figura 15.22 distancias entre el sitio Las Guacamayas y elementos del entorno natural y construido (dibujo y digitalización por E. Arredondo).

Finalmente, la creación del mapa planimétrico nos permite tener un primer acercamiento a la arquitectura del sitio, comparando disposiciones monumentales y exponiendo datos que en campo fueron difíciles de observar. Con su elaboración, es posible ahora hacer comparaciones con la distribución de otros sitios y poder proponer temporalidades previas, comparables a los datos cerámicos preliminares, solo a ser confirmadas por medio de la excavación controlada. Hay que advertir que las medidas mencionadas en el texto son aproximaciones y no siempre son exactas, existen discrepancias entre las mediciones en campo y las realizadas por medio del mapa topográfico. Esto se debe a que éstas últimas se basan en curvas de nivel que, por la cantidad de puntos GPS, pueden mostrar alteraciones no siempre existentes en campo; por otro lado, las realizadas en el sitio, son tomadas en base a rasgos visibles e incluso a cálculos que se realizan en base a la altura y declive de las estructuras. Con este procedimiento se intenta aproximar a las medidas reales del edificio, un método que puede

reducir en hasta dos metros los largos y los anchos de los edificios, pero que ha sido exitoso al momento de excavar. Por lo tanto, las medidas que puedan aparecer en el presente informe no son concluyentes y solo nos proveen de una idea de las dimensiones reales que puedan poseer los edificios. Otro problema es la simetría de los edificios, pues mientras se cree que éstos son totalmente simétricos, la realidad es otra, el trabajo de excavación ha demostrado las variaciones notables entre distintos lados de los edificios. Por tal motivo, se incluyen en algunos casos y sólo en forma preliminar, mientras no alteran las implicancias en cuanto a su forma y función propuesta. Lo mismo aplica para las orientaciones azimutales. Existen discrepancias entre las orientaciones realizadas en campo y las basadas en el mapa topográfico. Las razones son: la falta de mayor cantidad de puntos GPS que puede dar falsas orientaciones, la presencia de vegetación densa contribuye a errores en campo, y finalmente a la experiencia de los investigadores en campo y laboratorio, lo cual puede derivar en divergencias que son de poca importancia al momento de elaborar un mapa planimétrico. Las orientaciones reales sólo se obtienen por medio de la excavación de rasgos arquitectónicos como esquinas y fachadas, y de la exposición extensiva de las superestructuras. Las orientaciones incluidas aquí, se mencionan en cuanto existen datos cotejables que apunten a un estimado aproximado considerado válido. A continuación hacemos una revisión de cada uno de los elementos arquitectónicos y naturales observados durante nuestra Temporada de Campo 2014.

Complejo Triádico

Las estructuras más notables del sitio Las Guacamayas son el conjunto de tres edificios piramidales ubicados al este del asentamiento (Figura 23). Con alturas que alcanzan los 13 m de alto y su disposición compacta son notables desde la distancia. La observación en campo muestra a estos edificios confrontados hacia un espacio entre ellos. Esta distribución es semejante a la mostrada por los Complejos o Grupos Triádicos encontrados a lo largo de la historia constructiva maya y en toda la extensión de las Tierras Bajas Mayas.

Estructura 1

El primero de los edificios, La Estructura 1, se encuentra al norte del conjunto. Esta estructura es de forma piramidal y ronda entre los 28 y 30 m por lado, con una altura aproximada de 12 m. Está orientada hacia el sur cercana a los 290° *Azimut*. El edificio parece tener a mitad de su

elevación un descanso, evidenciado por el cambio notable de pendiente. Su anchura es poco comprobable sin excavación, pero es un rasgo que ocurre en edificios que conforman este tipo de conjuntos. Casos como Naachtun, Naranjo o Yaxuná pueden ser incluidos en esta lista (Figuras 15.30 y 15.31). En su cima, no se detectó evidencia de ninguna superestructura, sin embargo, esta instancia es difícil de asegurar debido a la densa vegetación, por otro lado, las fotografías realizadas a través de los años, muestra a este edificio, siempre cubierto con vegetación. Los edificios piramidales pueden tener dos funciones: una como oratorios que replican las montañas naturales o *witz* en maya, con sus cuevas y lugares de rituales; y como edificios mortuorios que a su vez poseen y replican las cualidades mencionadas.



Figura 15.23 vista del Complejo Triádico desde el sector noreste (fotografía A. Gillot).



Figura 15.24 Estructura 1 vista desde el sector noreste (Fotografía A. Gillot).



Figura 15.25 vista 180° del Complejo Triádico desde el oeste (fotografía y montaje E. Arredondo).

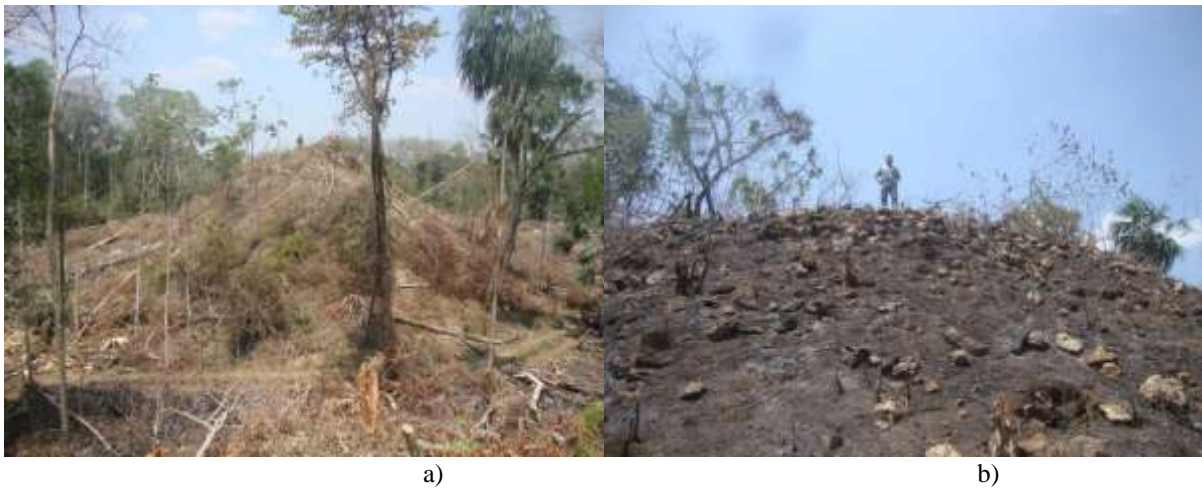
Estructura 2

La segunda estructura localizada hacia el este, es la mayor de las tres. Con una altura de 13 m, su base es de proporciones similares a la Estructura 1 aunque bien puede ser mayor. Es un edificio piramidal, sin evidencia de superestructura y en la cual no fue posible identificar cuerpos basales a pesar de contar con fotografías del montículo totalmente desmontado (Figura 15.26). Se orienta hacia el oeste con un eje que se encuentra entre los 275° y 269° *Azimuth*.

A diferencia de los otros dos edificios cercanos, éste cuenta con una extensión, aunque quizás bien pudiera tratarse de una estructura separada, en su costado norte, al momento denominada Estructura 2a. Esta es una plataforma baja (no distinguible en el mapa topográfico que se extiende por unos 10 m y con una altura estimada de unos 1.5 a 2 m. Esta plataforma, por su localización y forma, puede representar un edificio tipo *Palacio de Presentación*, definido ya antes por Juan Antonio Valdés (1993) y discutido por aparte por Arthur Demarest (Demarest *et al.* 2003; Arredondo 2010). Son básicamente estructuras contiguas a edificios piramidales que tienen como fin el acoger a los gobernantes, presentándolos o exponiéndolos a un público o audiencia situado en los espacios de plaza o patio. Los Palacios de Presentación pueden tener una banca sólida y proveer simplemente un escenario sobre el cual pueden ser colocados tronos móviles. Los ejemplos de Dos Pilas de las estructuras N5-71 y N5-7 son casos característicos de esta función (Figura 15.28), y bien pudieran compararse con las características encontradas en la Estructura 2 de Las Guacamayas. Nuevamente, la Estructura 2 representa una “Montaña Sagrada” o *witz* y pudiera ser solamente un oratorio o un templo funerario como discutiremos más adelante.



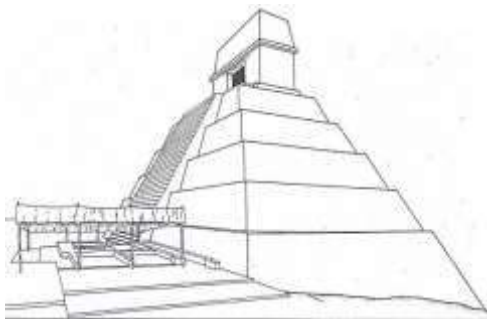
Figura 15.26 Estructura 2 vista desde el oeste (fotografía E. Arredondo).



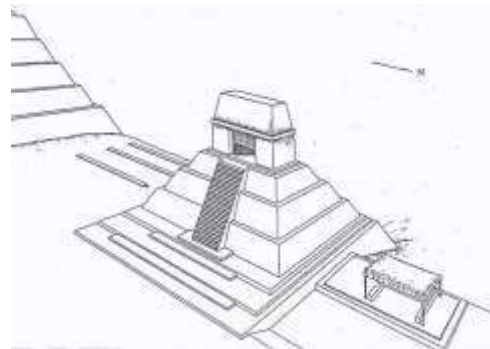
a)

b)

Figura 15.27 Estructura 2, a) vista desde Estructura 3 (cortesía WCS 2011); y b) cima de Estructura 1 (cortesía WCS 2011).



a)



b)

Figura 15.28 Estructuras tipo “palacio de presentación”, a) estructura piramidal 5N-7 y la plataforma N5-3A (Demarest *et al.* 2003: fig. 5.13), y b) plataforma N5-7 (Demarest *et al.* 2003: fig. 13).

Estructura 3

Esta estructura se localiza al sur de las anteriores. Su fachada principal se orienta al norte entre 5° y 7° *Azimuth* sobre su eje central. Sus dimensiones entre los 20 y 30 m pero es menor en su base a las anteriores. Su altura está entre los 12 y 13 m. No se pueden identificar plataformas basales, incluso con las fotos de esta estructura totalmente al descubierto, como fue el caso de la Estructura 1 y las fotos de 2011 (Figura 15.29). Al igual que ésta, es un edificio piramidal sin superestructura identificable al momento y completa la disposición triádica del conjunto, aunque con mayor simetría en cuanto a la Estructura 2 que en referencia a la Estructura 1. Nuevamente, por su forma piramidal sería considerada una “Montaña Sagrada” como en el caso de los otros edificios descritos.



Figura 15.29 Estructura 3, a) vista desde la base de la Estructura 2 (cortesía WCS 2011); y b) vista de Estructura 3 desde su base (cortesía WCS 2011).

Plataforma Basal

Hacia la esquina noroeste de la Estructura 1, se detectó lo que parece ser una plataforma basal que sostendría la estructura piramidal. En campo se sugirió la presencia de esta plataforma por debajo de la totalidad del complejo, aunque los recorridos hacia el centro del espacio triádico no revelaron nada en esta dirección. Nuevamente, la densa vegetación pudo haber causado esta pérdida de información. Aun así, el mapa topográfico muestra que las estructuras, sobre todo las 2 y 3 pueden estar sobre una plataforma, lo cual argumentaría en favor de la existencia de ésta en el sector noroeste de la Estructura 1.

Con o sin ella, el espacio formado por las estructuras 1, 2 y 3, formarían un espacio que podemos considerar como una “plaza”, “patio” o “corte”, el cual en este tipo de conjuntos está destinado a proporcionar espacio para una audiencia de élite, separada de una audiencia mayor compuesta por la población común del asentamiento y que ocuparía el espacio de plaza del sitio (a discutir más adelante). En Las Guacamayas el espacio ronda los 50 m de ancho y los 25 m de profundidad. No se reportaron monumentos, aunque no se descarta que puedan estar cubiertos por el material de saqueo colocado al frente de los mismos.

Comentarios sobre los Complejos Triádicos y el caso de Las Guacamayas

Como hemos discutido antes, los Complejos Triádicos han sido considerados en la literatura académica como los “centros de poder” de los asentamientos prehispánicos, y su presencia o ausencia en los sitios puede apuntar a la “categoría” política del mismo dentro del escenario geopolítico de las Tierras Bajas Mayas. A su vez, la disposición en el espacio, su volumetría y complejidad arquitectónica nos proporcionan datos sobre la comunidad que los ha erigido. Hay que hacer la salvedad que, hasta no tener un mejor mapa, realizado con Estación Total, y no tengamos excavaciones en el sitio, su identificación puede ser discutible. Sin embargo, y en base a datos comparativos, el argumento de su identificación como tal, es válida y puede ser propuesto por el momento como tal.

Como también ya mencionamos, los Complejos Triádicos han sufrido variantes en su forma y simetría a través de la historia maya de Tierras Bajas. De grandes plataformas basales con cuerpos piramidales en su cima, en la cual uno es mayor a los otros dos (caso El Mirador), a simetrías y volúmenes parejos hacia el Clásico Temprano; mientras en el final de dicho período y durante el Clásico Tardío, abundan ejemplos de Complejos Triádicos con formas variables. Aquí podemos citar los casos observados en Yaxuná en Yucatán, Naachtun al norte de El Petén, Naranjo en el este, y Piedras Negras hacia el oeste, entre otros (Figuras 15.30 y 15.31). El caso del mapa topográfico preliminar de Las Guacamayas, y el mapa planimétrico parecen apuntar en esta dirección, hacia un Complejo Triádico construido a finales del Clásico Temprano, o durante el Clásico Tardío. La

variación de tamaños y hasta formas en Las Guacamayas no dista de los casos mencionados, pero la diferente orientación de las estructuras y la falta hasta el momento sin terminar de definir de una plataforma basal notable, bien puede que tenga alguna relación con el proceso constructivo y podríamos pensar en un proyecto de construcción a largo plazo, o incluso la presencia de subestructuras que inciden en las formas y tamaños finales de las estructuras, así como alteraciones posteriores al momento de su construcción. En cuanto a sus dimensiones, es notoria la similitud con Yaxuná, cuyas estructuras, sin la plataforma basal, alcanzan alturas de entre 10 y 16 m con un espacio de patio de unos 60 m, no mucho mayor a Las Guacamayas, siendo las más voluminosas las que en nuestro caso corresponde a las estructuras 1 y 2.

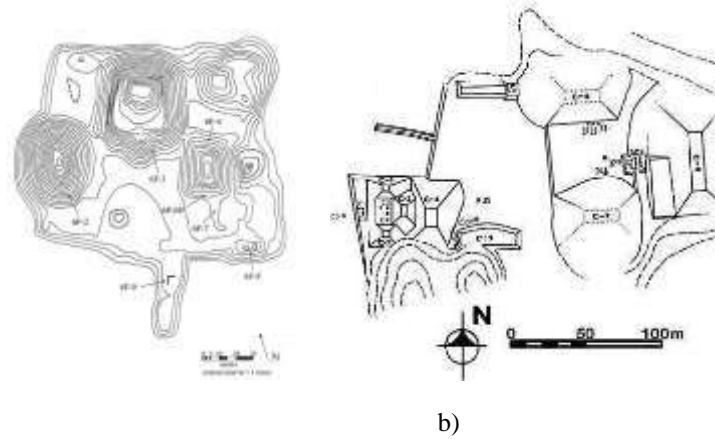


Figura 15.30 Complejos Triádicos, a) Acrópolis Norte de Yaxuná (Suhler *et al.* 2004: fig. 20.4); b) Complejo Triádico en Naranja (modificado de Graham y Von Euw 1975).

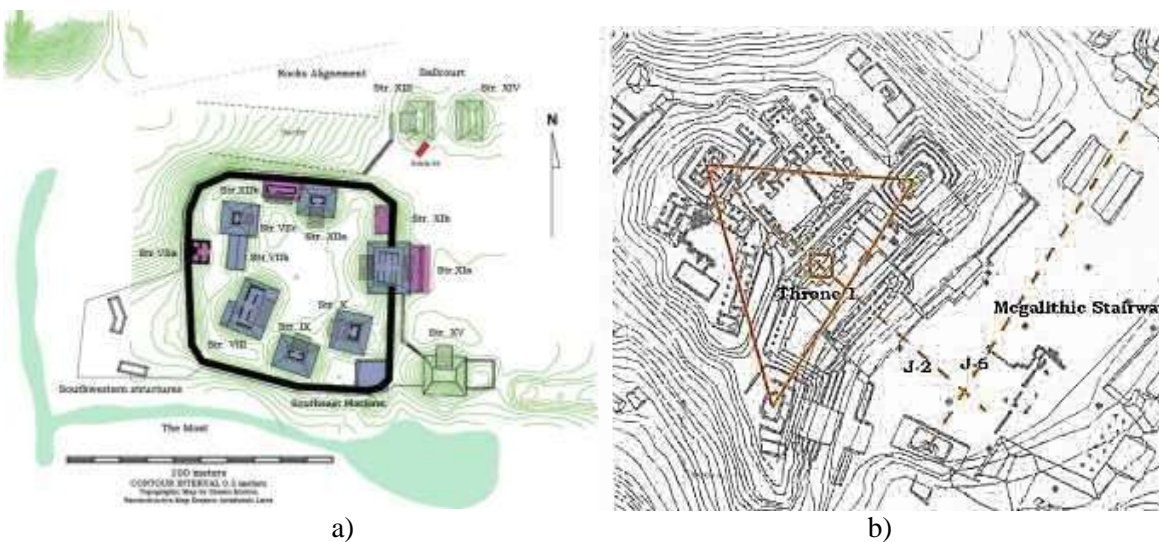


Figura 15.31 Complejos Triádicos, a) Complejo Amurallado de Naachtun (Arredondo 2010); y b) Acrópolis de Piedras Negras (modificado de Garrido 1998: fig. 1).

Otro dato de interés es la presencia de un cuerpo de agua hacia el frente de las estructuras que conforman el triádico. En Las Guacamayas se pudo constatar la presencia de una aguada en esta ubicación, nuevamente similar a la depresión que se encuentra en Yaxuná. La presencia de cuerpos de agua en complejos político religiosos es conocida en el mundo maya. Su relación a éstos y otro tipo de complejos tiene un carácter simbólico-mitológico que se extiende atrás en el tiempo hasta el período Preclásico. Más adelante se discutirá este carácter de dichos elementos, baste con señalar la similitud de estos dos casos por el momento.

La posición de este conjunto, tampoco parece ser casualidad, desde su origen, los Complejos Triádicos se han ubicado en los ejes este-oeste y norte-sur de los sitios. En la Cuenca Mirador, los casos de El Mirador y Nakbe son los más preponderantes. Los edificios en Las Guacamayas ocupan precisamente el sector este del sitio, con un grupo de edificios notables hacia el este. Así, y bajo la luz de estas comparaciones, es posible argumentar en favor de una identificación positiva como un Complejo Triádico para el caso de las estructuras 1, 2 y 3 de Las Guacamayas.

Si bien, hasta el momento, no se puede considerar a Las Guacamayas como un sitio de grande dimensiones (ocupa un 50% del espacio construido por La Corona), la presencia de este tipo de arreglos e incluso su tamaño volumétrico, indican una comunidad con suficiente cohesión social para establecer claramente un “centro de poder” definido, otorgándole una “categoría” que no todos los sitios poseen y que declara una relativa independencia de sitios mayores.

Edificios palaciegos

Otro elemento importante dentro de los sitios arqueológicos mayas, son los edificios palaciegos. Éstos pueden aparecer como estructuras aisladas o en conjuntos llamados *Acrópolis Palaciegas*. El término *acrópolis* ha sido utilizado en arqueología Maya a través del tiempo de forma indiscriminada, para referirse a conjuntos monumentales de edificios que por lo general sobresalen del paisaje y se asientan en grandes plataformas basales, separándolos así del nivel general del terreno. Un ejemplo es la Acrópolis Norte de Tikal, la cual no incluye estructuras residenciales y es más bien un Complejo Triádico convertido en necrópolis; con edificios piramidales en su mayoría, y oratorios. Al definir aquí el

término, nos referimos a aquellas construcciones de carácter político/burocrático que pueden incluir o no facilidades de habitación, y que normalmente sobresalen por su mayor volumen y elaboración en comparación con los edificios de vivienda (ver Arredondo 2010).

Antes de nuestro ingreso al sitio, se reportó la presencia de una “Acrópolis”. Sin embargo, nuestra expedición verificó el área, encontrando dos edificios individuales y de características distintas entre sí. El primero es la Estructura 5, un gran edificio rectangular, y la Estructura 6, un edificio piramidal con una extensión lateral, dispuesto sobre una plataforma. Al este de éste y al norte de la Estructura 5 se encuentra una aguada. La disposición de los edificios pueden sugerir que se trate de una acrópolis, pero al no contar con más detalles arquitectónicos que apunten en esa dirección (accesos, número y disposición de los cuartos, existencia de una plataforma basal o elementos que agrupen a los edificios como un todo, etc...), preferimos tratar a los edificios de forma individual, centrándonos en su forma y función.

Estructura 5

La Estructura 5 es un edificio de plano rectangular de unos 50 m de largo por unos 20 m de ancho. Es posiblemente una gran plataforma basal sosteniendo un edificio que no cubre toda la extensión de aquella superficie, dejando un espacio de plataforma libre al norte. La vegetación no permitió observar rasgos que puedan indicar su fachada frontal, ni accesos, los cuales se asumen hacia el este inicialmente. El edificio es alto, y se encuentra en el rango de los 10 a 13 m. Se encuentra a unos 200 m del Complejo Triádico aunque no está completamente alineado con éste, su orientación es de aproximadamente unos 5° Azimut sobre su eje norte-sur.

En cuanto a su función, es posible que posea un cuarto largo, similar a los edificios de carácter administrativo/gubernamental como los observados en otros sitios (Figura 15.32) o bien que sea un edificio con facilidades habitacionales (Figura 15.33). Su ubicación en el extremo oeste, su cercanía a la Aguada 1 y a la estructura piramidal 6, y su volumen notable, indican su relevancia para el sitio. En el recorrido de ambas fachadas no se observaron monumentos asociados.

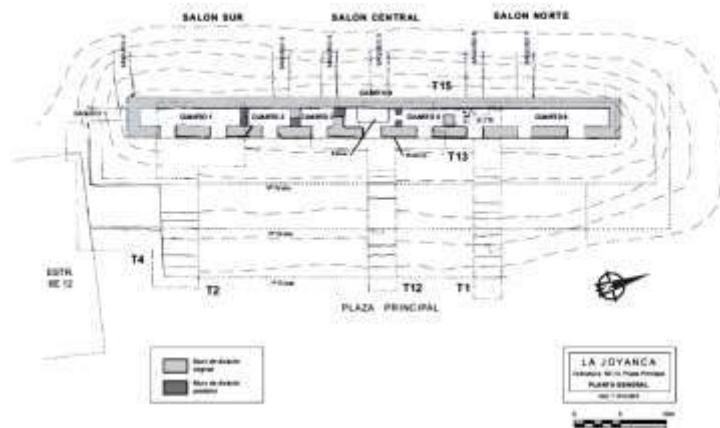


Figura 15.32 Estructura 5E-13 del sitio La Joyanca (Arnauld y Arredondo 2002). Edificio largo de carácter administrativo y de dimensiones similares a la Estructura 5 de Las Guacamayas.

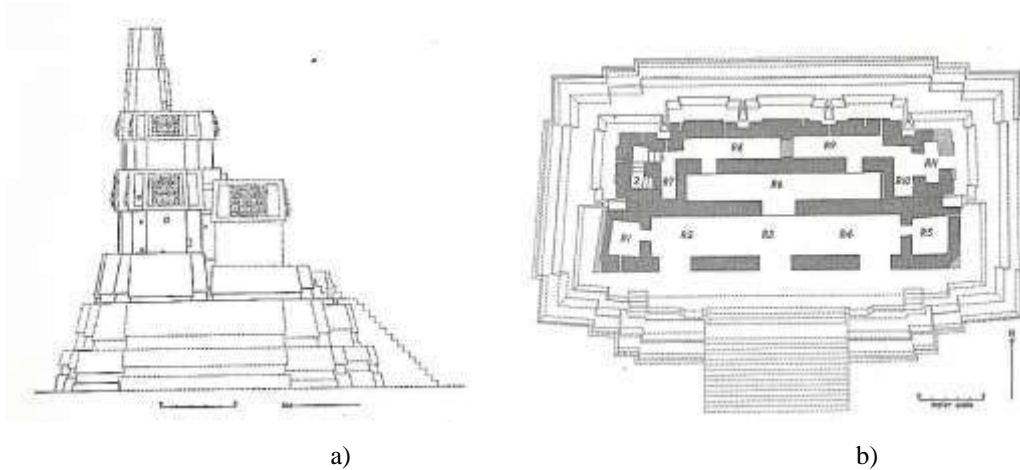


Figura 15.33 Estructura AXVIII de Uaxactun datada para el Clásico Temprano y con funciones habitacionales y de gobierno; a) vista lateral; y b) vista en planta (Smith 1950).

Edificios piramidales

En base a lecturas jeroglíficas (Stuart 1987) y otras evidencias, los edificios piramidales han sido identificados desde hace varios años como “Montañas Sagradas”. Su función principal es de funcionar como espacios rituales, en ocasiones públicas y, en otras, privadas. En el primero de los casos, existen pirámides sin estructuras en su cima, como las *Pirámides Radiales*, estructuras relacionadas a fundaciones y cuentas calendáricas. Mientras los segundos suelen tener un edificio de dimensiones variable que permite realizar ceremonias fuera de la vista del público. Además pueden ser espacios funerarios, como el

caso de las estructuras que componen la Acrópolis Norte de Tikal, el Templo de las Inscripciones de Palenque y muchos casos más.

En Las Guacamayas, fuera de los edificios que componen el Complejo Triádico, se identificaron cinco edificios cuya forma en montículo, revela una estructura piramidal. Un sexto edificio fue notado por las fotografías aéreas y se localiza entre las estructuras 4 y 11. La ubicación de los demás edificios es en los extremos norte y sur de la Plaza. El estado en montículo de los edificios no permite tener certeza de su orientación. En todos los casos combinamos nuestra observación en campo y el análisis de las fotografías aéreas, por lo que las orientaciones presentadas en el mapa planimétrico son más propuestas que datos afinados. El caso más dramático fue la Estructura 4 que aun contando con los datos GPS, fue imposible establecer con certeza su orientación. Esto puede que indique edificios de plantas cuadrangulares.

Estructura 6

Este edificio está situado al noroeste de la Estructura 5. Es un edificio piramidal con una extensión o plataforma hacia su lado oeste. Se asienta sobre una plataforma distinguible hacia el este, el norte y el oeste. Sin embargo su límite sur es confuso. Al mismo tiempo esta plataforma basal parece asentarse sobre una más amplia, o al menos tiene una extensión más baja hacia el oeste, donde el terreno desciende hacia una quebrada proyectándose por unos 11 m. Hacia el este colinda con la Aguada 1. La plataforma basal tiene un alto aproximado de 2 m y un ancho de unos 40 m e este a oeste. Por su parte el edificio piramidal cubre los 40 m de este a oeste y alcanza los 20 m de norte a sur. Su extensión tiene un espacio de unos 10 m en su parte más elevada, siempre de norte a sur. No se observaron superestructuras en la cima, aunque es posible que la posea. Estos edificios piramidales, con plataformas agregadas suelen ser lugares de culto que usualmente tienen oratorios. Por su relación espacial con la Estructura 5 y la Aguada 1, es posible que su acceso principal se diera desde el sur. Su orientación es aproximadamente de unos 5° *Azimuth* y se encuadra bien con las estructuras mencionadas. Finalmente, tiene una altura de unos 5 m desde la cima de la plataforma basal.

Estructura 4

La Estructura 5 se localiza al sur del espacio de plaza del sitio. Es un edificio de forma piramidal, ligeramente rectangular según los puntos GPS, el mapa topográfico y la observación en campo. Sus medidas van de 23 m a 30 por lado y alcanza una altura de 11 m. En cuanto a su orientación, como se describió antes, ha sido el caso más difícil para analizar, pues los datos del mapa topográfico distan de la observación en el sitio. Según éste último la orientación puede ser de 30° Azimut, mientras que otros datos indicarían que enfrenta hacia la Estructura 1 a unos 55° Azimut. Sin embargo hay que tomar en cuenta que bien pudiera enfrentar hacia la Estructura 5, es decir en ese caso, orientándose hacia el noroeste. En este caso, solo la excavación podrá darnos datos ciertos de su orientación. No se registraron datos de edificios en su cima, aunque no se descarta algún cuarto de material perecedero.

Estructura 7

Esta estructura ronda en los 15 m por lado con una altura de unos 7 m. Posiblemente está orientada a 260-270° *Azimut*, enfrentando a la Estructura 4 localizada al sur. La Estructura 7 es el edificio más notable en el sector norte del sitio.

Estructura 8

La Estructura 8 es un edificio bajo de unos 2-3 m de altura. Por su forma aparenta un edificio piramidal y puede, como en otros casos, ser un edificio mortuario. Aparentemente está orientado de manera distinta a la cercana Estructura 7, pero es difícil asegurarlo.

Estructura 11

La Estructura 11 no fue avistada durante nuestra visita. A pesar de su cercanía con el Complejo Triádico, la densa vegetación hizo imposible reconocerla, aun estando a pocos metros de ella. Es una estructura que ronda los 10-15 m por lado y su altura no sobrepasaría los 5 m. Por las fotos aéreas puede suponerse que se trata nuevamente de un edificio piramidal con funciones rituales.

Estructura piramidal “?”

Finalmente, y en base a fotografías aéreas, se detectó un edificio, entre las estructuras 4 y 11. Sin embargo, ésta no es visible en todas las fotografías y nuestro equipo estuvo en el área donde debería encontrarse. El resultado del análisis de la fotografía es confuso y por tal motivo no la hemos incluido como una estructura definida en nuestro mapa planimétrico.

Plataformas habitacionales

Cinco plataformas fueron observadas durante la visita, de ellas, tres fueron sujetas a recolección de superficie en el sector noreste del sitio, las otras dos fueron identificadas por fotografía aérea y visualizadas a distancia durante la temporada de campo. Otras estructuras fueron registradas por medio de puntos GPS aunque se desconocen sus características debido a la alta vegetación.

Las plataformas, normalmente rectangulares, fuera de los epicentros urbanos, son generalmente basamentos donde se erigen cuartos habitacionales o se realizan actividades de producción de artefactos, incluso actividades de cocina. Sus alturas son variables pero generalmente son bajas. En campo, las estructuras rectangulares con altos que rebasan los 50 cm de alto y llegan a alcanzar los 3 m pueden representar plataformas con edificios de piedra en ruinas. Mientras que las de 50 cm o menos casi siempre son bases para edificios de material precedero. En los casos registrados en Las Guacamayas, es posible que tengamos evidencia de edificios colapsados, probablemente de una cámara o cuarto. No se registraron grupos cerrados ni grandes grupos residenciales, lo que nos hace pensar en una concentración de poder en una población muy pequeña. Sin embargo, hace falta un reconocimiento extensivo de la zona para refinar nuestros datos. Al momento, las orientaciones de las plataformas identificadas parecen seguir la orientación del sitio.

Estructura 9

Localizada al sureste del Complejo Triádico, esta es la mayor plataforma presente en el sitio. Por su altura aparente y su volumen, puede identificarse con un edificio de importancia quizás aun conservando en buena altura sus muros. Su largo estimado puede que ronde los 15 m, lo que la convierte en una edificación de importancia. Así mismo su

cercanía con el epicentro del sitio puede apuntar a una relación directa con el grupo de poder en el sitio. Su investigación será de suma importancia para comprender el rol de las estructuras cercanas a los “centros de poder”. El alto de la estructura es desconocido y la vegetación puede crear la impresión de una estructura más alta de lo verdadero.

Estructura 10

Esta es otra estructura avistada en campo e identificada en las fotos aéreas. Su largo es menor a la Estructura 9, quizás de unos 10 m y nuevamente resalta por su cercanía al Complejo Triádico. Se desconoce su altura.

Estructura 12

La Estructura 12 fue visitada por el grupo de investigación desde el primer día, tiene una altura de alrededor de 1.50 m y un largo aproximado de unos 10 m. Está orientada en un eje este-oeste similar al mismo eje de la Estructura 1. No fueron visibles rasgos que pudieran indicar la presencia de cuartos, aunque por su altura puede que haya tenido muros bajos que luego se complementan con material perecedero. No parece estar relacionada a las estructuras 13 y 14 por el amplio espacio entre ellas.

Estructura 14

Es una plataforma baja de entre 1 y 1.50 m. Su largo puede alcanzar los 10 m. Lamentablemente el arado de la tierra presente en el sector dificulta las mediciones y con seguridad ha reducido su altura original. Se orienta al igual que las estructuras 9 y 10 con su fachada frontal posiblemente al oeste.

Estructura 13

La Estructura 13 es de difícil descripción, aparenta una estructura más cuadrangular que rectangular. Sin excavación es poco lo que se puede decir de la misma pues puede tratarse de una plataforma habitacional como de un edificio ritual. Su altura no rebasa los 2 m y parece seguir la orientación general del sitio. Por su cercanía con la Estructura 14, puede que forme con aquella un conjunto residencial abierto.

Otras estructuras

Como hemos discutido en la introducción del presente reporte, la reducción del tiempo disponible de excavación debido a la amenaza de comunitarios en la zona, fue imposible visitar todas las estructuras avistadas. En el caso de dos estructuras o “sitios altos” en el horizonte, se puede presuponer la existencia de dos plataformas más al sur de la Estructura 9. Sin embargo, a su vez pueden ser solo altos de vegetación.

Por otro lado, sobre el camino de acceso al sitio se detectaron elevaciones que fueron incluidas en nuestro registro y que coinciden con la inspección de 2013 por DEMOPRE. En esa ocasión se reportan cuatro puntos GPS, pero desconocemos si se trata de cuatro estructuras distintas o algo totalmente diferente. El equipo de investigación no tuvo tiempo de inspeccionar con detención, pero se sintieron los cambios de elevación del terreno. Los signos de interrogación en nuestro mapa planimétrico indican los puntos GPS del informe de DEMOPRE. Finalmente, ese es el caso de una estructura solitaria al este del sitio, esta fue visitada en 2013 pero no fue descrita, por lo que la hemos dejado, al igual que las otras no visitadas o identificadas por fotografía aérea como un signo de interrogación, para su futura investigación.

Plazas

Uno de los elementos poco entendidos o considerados como espacios construidos son las plazas y patios (en ocasiones llamados “cortes” en los ambientes palaciegos). Al no contar con grupos habitacionales bien definidos en el sitio, es imposible hablar de patios por el momento. De esta forma, el caso del espacio “aparentemente” abierto al oeste de la Estructura 5, podría considerarse como una “corte”. Sin embargo, y sin conocer las características arquitectónicas de esa estructura y su relación con la Estructura 6, es preferible dejarlo en duda.

Por otro lado, es ahora más claro el caso del gran espacio entre el Complejo Triádico y las demás estructuras relevantes del sitio. Entre aquel y la Estructura 5 se extiende un “vacío” limitado al norte por las estructuras 7 y 8 y al sur por las estructuras 4 y 11 (además de una posible edificación entre estas últimas). Este espacio representa con seguridad una plaza de entre 150 m de ancho y al menos 200 m de largo. Estos espacios eran considerados de importancia ritual y mitológica, y se asocian durante el período

Clásico al *Mar Primigenio*, inclusive existe la posibilidad que los mismos fueran, en algunos casos, sectores inundables (Shele y Mathews 1999). Su función principal es la de albergar a los pobladores durante ceremonias y festividades, y se ha sugerido su uso como locaciones ideales para mercados.

Monumentos

Durante nuestra visita no se observaron restos completos o parciales de monumentos. Como referimos antes, se tiene un testimonio que afirma que al menos dos fueron extraídos décadas atrás, durante finales del Siglo XX. Sin embargo, y a pesar de la confiabilidad del informante, es fácil que después de más de veinte años los datos puedan ser confundidos, sobre todo cuando se trata de un sitio no visitado en tanto tiempo. El otro factor es que la información no es de un actor primario, es decir, el informante no vio nunca los monumentos, ni supo de su localización original, por lo que puede tratarse de otro sitio en la región o de una falsa información. Aun así, se recomienda la inspección cuidadosa del sector oeste y del Complejo Triádico, en donde los saqueos pueden fácilmente ocultar alguna evidencia escultórica.

Canchas de Juego de Pelota

Durante la visita de campo, y durante el análisis de las fotografías aéreas, no fue detectada ninguna cancha de juego de pelota. Esto tiene implicaciones en la caracterización del sitio y puede apuntar a un sitio secundario sujeto a otro mayor en la región. Un caso similar es el del sitio La Joyanca, situado al sur del Rio San Pedro. Este sitio, con varios Grupos Residenciales Grandes, una pequeña Acrópolis, un edificio político largo, al menos dos edificios piramidales notables, y un Complejo Triádico en uso durante el Clásico Temprano, no contó con una cancha de Juegos de Pelota durante el período Clásico Tardío, momento en el cual el Complejo Triádico fue clausurado (Arnauld y Arredondo 2002). La Joyanca fue parte del territorio de *Hix Witz*, cuyo poder central parece haberse encontrado en el sitio de Zapote Bobal, y no en La Joyanca –una de sus capitales. Si bien, aun no conocemos las circunstancias geopolíticas del área, ésta es una línea de investigación a ser considerada en el futuro. Las Guacamayas, aun siendo una comunidad cohesionada (lo cual se infiere por la presencia del Complejo Triádico), pudo bien estar sujeta a otra entidad

mayor, justo en una región en donde los Juegos de Pelota fueron utilizados para sellar alianzas durante el Clásico Tardío (Arredondo 2010). Durante este período la dinastía *Kaan* y sus aliados hicieron mención de la conducción de juegos de pelota y de la construcción y/o inauguración de estas canchas en la región.

Aguadas

Las Guacamayas se localiza en la zona de transición a un terreno de humedales, los bajos están presentes de forma constantes y cercanos al sitio. Por las fotos aéreas se puede observar, distintas zonas inundables dentro del sitio. Durante nuestra visita, sin embargo, fueron reconocidas tres aguadas, de las cuales una –Aguada 1- fue modificada por el Hombre.

Aguada 1

Ésta aguada se localiza al este de la Estructura 6 y al norte de la Estructura 5. Su forma general es cuadrangular aunque no perfecta, alcanzando los 20 m aproximadamente por lado (Figuras 13.34 y 15.35). Hacia el sur se observó una serie de escalones que descienden desde el sur hacia el cuerpo acuífero (Figura 15.36). Sin embargo, hacia el sector noreste la orilla de la aguada parece tener una forma natural, limitada por un entorno pedregoso. Siempre en el sur, se encontró una piedra grande de forma semitriangular que podría ser una laja de arranque de bóveda (Figura 15.37). En su superficie expuesta no se notó ninguna modificación escultórica. La “laja” se encontró semihundida y tuvo una sección ancha de 0.70 m por un largo aproximado de unos 1.2 m. Por su posición no se pudo realizar una mejor identificación del rasgo. En ese mismo sector, al inicio de la ubicación de la “laja”, se encontró una formación alargada de piedras amontonadas en dirección noreste-sureste. Se desconoce su función y aunque se realizó un reconocimiento en el sector no se detectó ningún saqueo que pudiera haber producido este rasgo. Otro rasgo similar se observó hacia el límite noroeste de la aguada (Figura 15.39). Allí, otra acumulación larga de piedras destacó en la superficie y alcanzó la orilla de la aguada. Otro rasgo interesantes fue una piedra bola con una perforación a manera de asa encontrada contigua a la “laja” descrita antes (Figura 15.38). Tuvo unas dimensiones aproximadas de 24 x 45 cm.



Figura 15.34 Aguada 1 vista desde el sur (fotografía E. Arredondo).



Figura 15.35 Aguada 1 vista desde la esquina sureste (fotografía A. Gillot).

La Aguada 1, es ciertamente un rasgo modificado o creado por el Hombre. Su presencia no sorprende en cuanto a que existen otros ejemplos de aguadas cuadrangulares cercanas a edificios de tipo palaciego. A su vez, éste cuerpo de agua fue observado en las fotografías aéreas del sitio, desde 2012 a 2014. Las aguadas han sido consideradas como “portales” al inframundo y fueron constantemente utilizadas en rituales relacionados al inframundo (Shele y Mathews 1999).



Figura 15.36 graderío en la sección sur de la Aguada 1 (fotografía E. Arredondo).



Figura 15.37 piedra grande o posible “laja” en la orilla sur de la Aguada 1 (fotografía E. Arredondo).



Figura 15.38 piedra con asa en la orilla sur de la Aguada 1 (fotografía E. Arredondo).



a)

b)

Figura 15.39 apilación de piedras en la orilla noroeste de la Aguada 1, a) vista desde la base de la estructura 6 hacia el sureste; y b) vista desde su inicio a orillas de la aguada (fotografías E. Arredondo).



Figura 15.40 Vista aérea de la Aguada 1 durante el sobrevuelo en 2014, vista hacia el sur (cortesía WCS).

Aguada 2

Hacia el oeste del Complejo Triádico se identificó una segunda aguada (Figura 15.41). Si bien esta es irregular en su forma y es de poca profundidad, su posición hace sospechar sobre su posición y uso. A pesar de no ser identificada con claridad en las fotografías aéreas (siempre el área estuvo cubierta con vegetación), como hemos mencionado antes, la presencia de cuerpos acuíferos frente a Complejos Triádicos es común. No se pudo medir en campo pero se presume un diámetro de unos 15 m.



Figura 15.41 Aguada 2, vista desde el noroeste (fotografía E. Arredondo).

Aguada 3

Finalmente, la Aguada 3 fue avistada hacia el sureste inmediato de la Estructura 4. En este caso, no contamos con evidencia que indique su construcción por los habitantes de Las guacamayas, y fue identificada en los sobrevuelos. Las fotografías muestran un cuerpo de agua cambiante durante los años y puede ser una sección baja de la topografía que ha acumulado agua de forma natural. De igual forma, otros cuerpos de agua fueron reconocidos por medio de las fotografías aéreas, ambos al este inmediato de la Estructura 2 (ver Figuras 15.16 y 15.19). No se cuenta con evidencia que sean aguadas modificadas y pueden bien responder al carácter de humedal presente en la región.

Saqueos

El sitio Las Guacamayas presenta un total de ocho saqueos observados (Figura 15.42). Si bien éstos golpearon los edificios principales del sitio, esta cantidad es considerada como baja o muy baja en comparación a otros sitios del área maya, más aun considerando la presencia humana reportada para la zona. Sin embargo y por esta misma razón, se considera que el sitio debería ser intervenido de manera urgente para poder obtener datos de suma importancia y que suelen desaparecer en otros sitios tocados por los saqueadores. En general, los saqueos aparentan no ser recientes, a excepción del reportado en la Estructura 4 y que no aparece en las fotografías aéreas del presente año ni del 2012. De ser cierta esta situación, se debe entonces considerar que se corre el peligro de nuevos saqueos, y por lo tanto se debe subrayar la importancia de crear las condiciones adecuadas de protección en la zona.

Saqueo 1

Se localiza en el lado norte de la Estructura 1. Abarca desde la cima hasta su base. La cantidad de material acumulado indica una fuerte extracción de material, aunque hoy por hoy la profundidad mayor no llegue a sobrepasar los dos metros en su sector más profundo, lo cual a su vez señala un avanzado estado de derrumbe. Sus dimensiones pueden alcanzar los 10 m de largo por un ancho actual de unos 1.5 m. No se encontraron materiales expuestos y sin una limpieza de los perfiles es imposible notar rasgos arquitectónicos identificables.

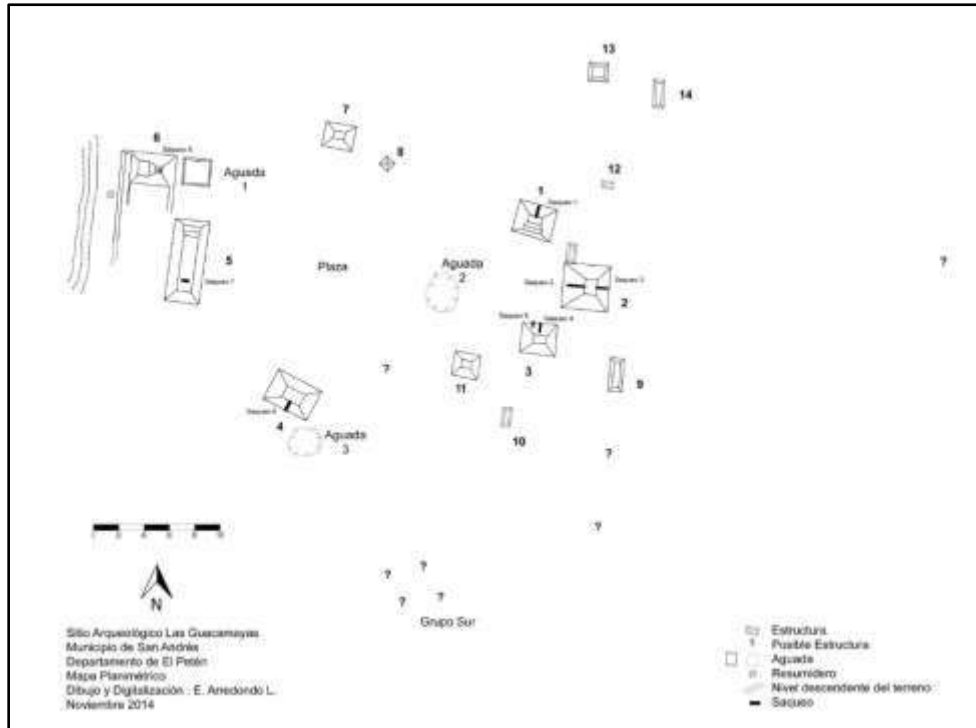


Figura 15.42 Mapa planimétrico general del sitio Las Guacamayas mostrando los saqueos registrados (dibujo y digitalización por E. Arredondo).

Saqueo 2

Ubicado en la fachada frontal (oeste) de la Estructura 2. Este saqueo es de más de 10 m de largo con un ancho similar al Saqueo 1. La densa vegetación no permitió mayores observaciones y nuevamente la gran cantidad de escombros indica una profundidad considerable de excavación. No se detectaron materiales en el mismo.

Saqueo 3

Este saqueo fue encontrado en la parte posterior (este) de la Estructura 2. En cuanto a su largo, es menor al anteriormente descrito aunque en cuanto a su ancho muestra gran similitud. No existen materiales en superficie y puede no haber sido tan profundo como aquel. El daño ocurrió principalmente en la sección más alta del montículo.

Saqueo 4

Este saqueo se ubicó en la fachada principal de la Estructura 3, sobre su eje central. La vegetación impidió su correcta observación aunque el material de desecho indica un daño considerable. El saqueo se extiende por toda la fachada, desde su cima hasta la base. El ancho es considerable, alcanzando unos 1.5 m.



Figura 15.43 Saqueo 4 en 2012 (cortesía WCS).

Saqueo 5

A diferencia del Saqueo 4, esta depredación fue menor. Se ubicó al oeste de la anterior pero más hacia la base del montículo.

Saqueo 6

El Saqueo 6 puede que represente un saqueo realizado en los últimos años, o incluso meses. Si bien estuvo cubierto de vegetación que no permitió una clara observación, éste no aparece en las fotografías realizadas en los dos sobrevuelos anteriores, se ubica al sur del montículo, y al igual que los saqueos anteriores, no mostró material cerámico expuesto.

Saqueo 7

Ubicado en la cima de la Estructura 5, hacia su extremo sur y en un eje este-oeste. Esta depredación fue pequeña, con unos 0.8 de ancho por unos 4 m de largo (Figura 15.44). Su profundidad no superó el metro y no expuso rasgos reconocibles, así tampoco cerámica. Este saqueo cambia el patrón de los anteriores, en cuanto no se localiza en las fachadas o costados, pero en la cima. Además, es notablemente más angosto que aquellos y se compara únicamente con el Saqueo 8.



Figura 15.44 Saqueo 7, vista hacia el norte; el machete a la izquierda indica el ancho del mismo (fotografía E. Arredondo).



Figura 15.45 Saqueo 8 visto desde el este; abajo el machete indica el ancho (fotografía E. Arredondo).

Saqueo 8

Se localizó en la cima de la Estructura 8, hacia su extremo este. En dimensiones alcanza los 0.5 de ancho por unos 5 m aproximadamente de largo orientado en un eje este-oeste (Figura 15.45). Su profundidad mayor tuvo aproximadamente 1.10 m aunque no descubrió ningún rasgo de importancia. A pesar de su más detallada investigación, el saqueo no mostró cerámica expuesta. Es probable que éste y el Saqueo 7 haya sido realizado por la misma persona, dadas sus características tan similares, en cuanto a dimensiones y ubicación. Para ambos, se desconoce la fecha aproximada de su realización.

Otros rasgos del paisaje

La visita a Las Guacamayas permitió identificar dos rasgos del medio ambiente natural presentes en las cercanías del sitio. El primero es un resumidero, una depresión circular común en los sitios arqueológicos, pero poco estudiados. Al momento se desconoce su utilización y origen, aunque se presume que fueran utilizados como contenedores de agua. El resumidero reconocido tuvo un diámetro de unos 5 m y se localizó al suroeste de la Estructura 8, no muy alejado de la plataforma basal.

Por otro lado, en este punto inicia un descenso marcado en el terreno que pertenece al segundo rasgo, una gran depresión que se extiende por al menos 100 m hacia el sur. No fue posible investigarlo, sin embargo puede tratarse de una quebrada natural o incluso una quebrada artificial a manera de reservorio, como los vistos en sitios como Tikal. Estos fueron inicialmente utilizados como canteras, pero luego adaptados para la conservación de agua. Desconocemos por el momento su naturaleza y sus dimensiones reales.

Se avistaron pocos saqueos y éstos se concentraron en el área del epicentro, en especial en el Complejo Triádico. Los demás saqueos se encontraron en el área oeste, pero todos son poco profundos, y no causaron mayores daños a las estructuras. En cuanto a otros rasgos del ambiente construido y natural fueron identificados: se descubrieron dos aguadas más y un posible reservorio al oeste del sitio. No se registraron monumentos, cuevas, ni ningún otro rasgo de relevancia para el análisis arquitectónico, a pesar que en el primer caso se visitaron los puntos donde éstos pudieran esperarse. Aun así, se contó con suficiente información para realizar un bosquejo planimétrico del sitio que complementa la información recolectada por el GPS.

COMENTARIOS SOBRE EL PATRÓN DE ASENTAMIENTO DE LAS GUACAMAYAS

La elaboración del mapa planimétrico del sitio Las Guacamayas, nos ha permitido tener un primer acercamiento a los elementos arquitectónicos más relevantes de su epicentro. El asentamiento cuenta con un Complejo Triádico que indica la existencia de una comunidad suficientemente organizada y con una estructura religiosa/gubernamental formada. El plano de este complejo apunta a una temporalidad enmarcada dentro del período Clásico, quizás desde finales del Clásico Temprano, aunque sólo el análisis de la cerámica proveerá datos más certeros y sólo la excavación podrá darnos información más sólida al respecto. Por otro lado, la presencia de la Estructura 5 que apunta a ser una edificación palaciega, aunque aún no una acrópolis, señala la presencia de una élite gobernante diferenciada del resto de la población. Es posible que esta estructura junto con la Estructura 6 y la Aguada 1, sean parte de un proyecto palaciego mayor aunque por el momento es difícil afirmarlo. Esta área, ubicada al extremo oeste, marca junto al Complejo Triádico el eje del sitio y delimita su epicentro, dejando en el medio un espacio de plaza importante, similar a otros sitios de relevancia en la región.

El plano del sitio muestra un patrón de asentamiento poco complejo, aunque la extensión del epicentro se asemeja a sitios como La Corona y Zapote Bobal (ver imagen comparativa, Figura 15.46). De esa forma, Las Guacamayas es un sitio que pudo haber tenido una población “discreta”, con un nivel bajo de complejidad arquitectónica. No se cuenta con las más intrincadas edificaciones que existen durante el Clásico Tardío y se carece de monumentos y juegos de pelota, lo cual apunta a una comunidad secundaria en términos constructivos, y posiblemente políticos. En base a las definiciones académicas dedicadas a la arquitectura maya, sería un sitio menor. Aun así, debemos completar en el futuro esta visión, pues se carecen de elementos comparativos en la región cercana y por lo tanto es difícil aun conocer el rol de una población así en la zona.



Figura 15.46 imagen comparativa de los sitios Las Guacamayas (arriba derecha), Zapote Bobal (arriba izquierda; Breuil y Gámez 2004: fig. 03) y La Corona (abajo).

Durante visita realizada el 3 y 4 de octubre de 2014, se pudo constatar la presencia de un conjunto de tres pirámides, aparentemente confrontadas sobre su eje, a manera de los Complejos Triádicos. Por tal motivo, se inició la apertura de brechas sobre los ejes del referido conjunto para la elaboración de un plano con cinta métrica y la apropiada toma de mediciones georeferenciales (Figura 15.47). Ante la carencia de tiempo suscitada por las circunstancias de seguridad mencionadas antes, su medición por medio de GPS se volvió fundamental y fue el objetivo primario de nuestra entrada del 7 de octubre.

Por su parte, el área descrita por DEMOPRE (Burgos 2013) como una acrópolis resultó no ser tal. La visita del 7 de octubre reportó la presencia de dos estructuras: una alargada tipo “palacio” y que confronta a las piramidales al este; y una piramidal orientada al sur, junto a la cual se documentó una aguada. La ausencia de una acrópolis en el sitio da un nuevo curso a su interpretación y deja al conjunto de tres grandes montículos como el grupo principal del sitio, y en el cual se centró la atención al momento de interpretar los datos GPS (Figuras 15.48 y 15.49).

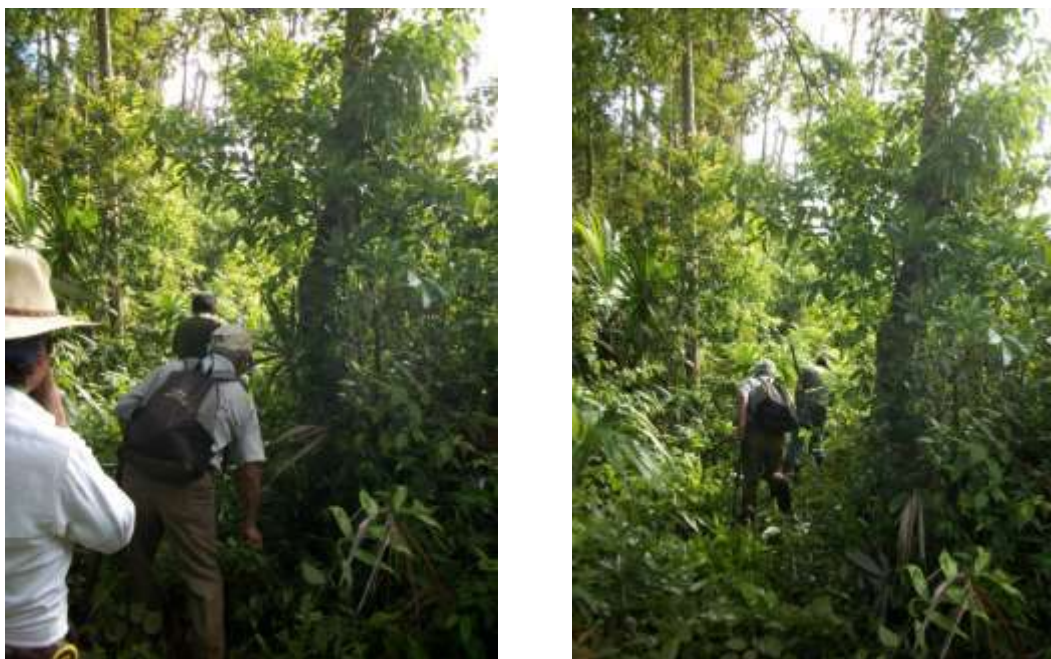


Figura 15.47 Brechas en el complejo principal del sitio (Fotografías por A. Gillot).



Figura 15.48 Montículos principales vista desde el área noreste (Fotografía por A. Gillot).

La supuesta “acrópolis” pudo haber sido mal identificada al estar cubierta de árboles y vegetación cerrada en un área rectangular, lo cual le daría aquél aspecto para un visitante que no la llega a recorrer en su totalidad. Un cuarto edificio piramidal al sur de este conjunto fue observado y mapeado por el equipo de investigación. Un quinto edificio, de aspecto palaciego, aunque de menores dimensiones fue observado al norte de la “acrópolis”. Otros edificios de forma piramidal fueron avistados pero sus dimensiones y su posición afuera de cualquier disposición de las antes mencionadas (Complejo Triádico, Complejo Tipo E o Acrópolis) los hacen preliminarmente ser considerados como oratorios menores. Finalmente, fueron observadas y compiladas en el plano varias plataformas bajas distribuidas hacia el noreste y hacia el sur del complejo principal. Sus dimensiones y distribución las hacen ser clasificadas preliminarmente como plataformas residenciales. Ningún juego de pelota fue identificado durante nuestra visita.



Figura 15.49 9 Vista general del sitio desde el sur (fotografía E. Arredondo).

Recolección de superficie (Operación 2 Suboperación A)

La realización de una recolección de superficie fue exitosa, ya que se cuenta con materiales del conjunto principal, de espacios entre edificios y de todo el sector noreste del sitio. Aunque no se encontraron materiales en superficie, ni siquiera dentro de los saqueos del área oeste, se cuenta con suficiente material diagnóstico que pueda proveer información sobre la cronología preliminar del sitio.

El tercer objetivo del Proyecto de Reconocimiento y Mapeo Arqueológico en el Sitio Las Guacamayas, fue el de realizar una inspección en campo con el fin de recolectar material cerámico que pudiera proporcionar una cronología preliminar del asentamiento. Se recorrió un 40% del sitio y se tomaron muestras en las áreas donde el material estuvo expuesto (Figura 15.50). La densa vegetación impidió obtener muestras de todas las áreas recorridas. Sin embargo, se enfocaron nuestros esfuerzos en el Grupo Triádico, por ser la sección más importante del sitio, y se aprovechó la falta de vegetación y presencia de cultivos en el sector noreste. El oeste del asentamiento así como el gran espacio de plaza, fueron recorridos e investigados, sin embargo no se encontraron tiestos en la superficie, incluso los saqueos no mostraron material cultural visible, nuevamente debido a la presencia de abundante vegetación. Como resultado, se obtuvieron 235 tiestos los cuales fueron analizados en el laboratorio del Proyecto Regional Arqueológico La Corona, los cuales proporcionaron una datación preliminar que apunta a una ocupación, al menos final, para el Clásico Tardío.

RECOLECCIÓN DE SUPERFICIE

Descripción y Objetivos

La Operación 2 Suboperación A, tuvo como objetivo principal el reconocimiento arqueológico para la recuperación de materiales cerámicos que permitan ubicar cronológicamente al sitio Las Guacamayas. Las áreas cubiertas por el sondeo incluyen la mayoría del sitio conocido, aunque la muestra se redujo a una colección del 40% de dicha área debido a la presencia de una densa vegetación que impidió la localización de restos cerámicos. La recolección fue clasificada bajo números de Lote que corresponden al sector o estructura bajo investigación.

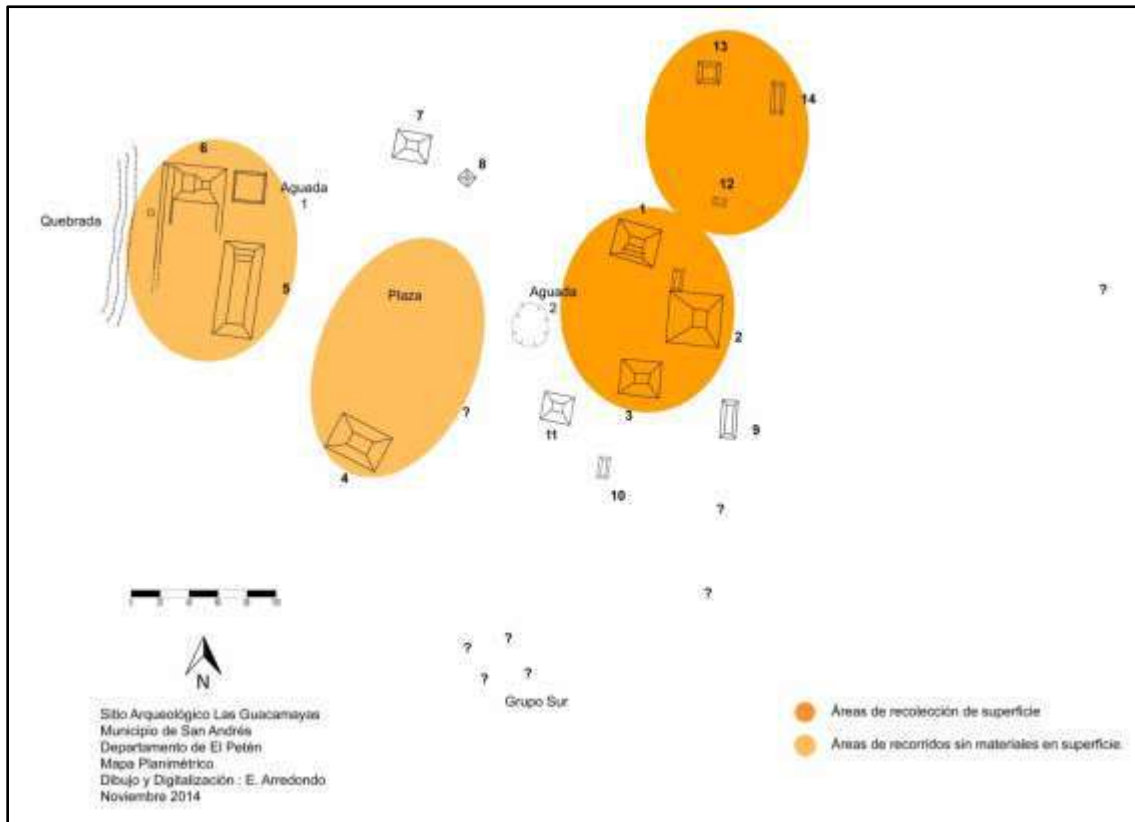


Figura 15.50 ubicación de las zonas de reconocimiento para recolección (mapa por E. Arredondo).

Op. 2 Sub. A Unidad 1

Localización: Estructura 1; es el edificio norte del Complejo Triádico. Se recorrió el edificio en su derredor y se colectaron materiales en su fachada sur, desde su base hasta la cima.

Objetivos: recuperación de evidencia cerámica arqueológica.

Resultados:

Lote 1 [GUAC 2A-1-1]: superficie del humus. Se recolectaron 46 tiestos.

Op. 2 Sub. A Unidad 2

Localización: Estructura 2; es el edificio central (hacia el oeste) del Complejo Triádico. Se recorrió el edificio en su derredor y se colectaron materiales en su fachada oeste y norte, desde su base hasta la cima del mismo.

Objetivos: recuperación de evidencia cerámica para establecer cronología preliminar.

Resultados:

Lote 1 [GUAC 2A-2-1]: superficie del humus. Se recolectaron 15 tiestos.

Op. 2 Sub. A Unidad 3

Localización: Estructura 3; es el edificio sur del Complejo Triádico. Se recorrió el edificio en su derredor mas no se observaron materiales, la colección proviene del área al suroeste de la estructura, junto a su base.

Objetivos: recuperación de evidencia cerámica para establecer cronología preliminar.

Resultados:

Lote 1 [GUAC 2A-3-1]: superficie del humus. Se recolectaron 14 tiestos y se pudo observar un fragmento de mano de moler (no colectada).

Op. 2 Sub. A Unidad 4

Localización: sector noroeste del sitio, al norte franco del Complejo Triádico. La recolección se realizó en un área de unos 100 m de este a oeste y unos 200 m de norte a sur. En el sector se observaron tres plataformas bajas, posiblemente habitacionales.

Objetivos: recuperación de evidencia cerámica para establecer cronología preliminar.

Resultados:

Lote 1 [GUAC 2A-4-1]: superficie del humus. Se recolectaron 160 tiestos. La concentración de artefactos fue notablemente más alta, debido a que todo el sector estuvo libre de vegetación y se ha dedicado a la siembra de pepitoria (Figura 58).



Figura 15.51 área noreste vista desde el sur, nótese que el área ha sido limpiada recientemente (fotografía A. Gillot).

ANÁLISIS CERÁMICO

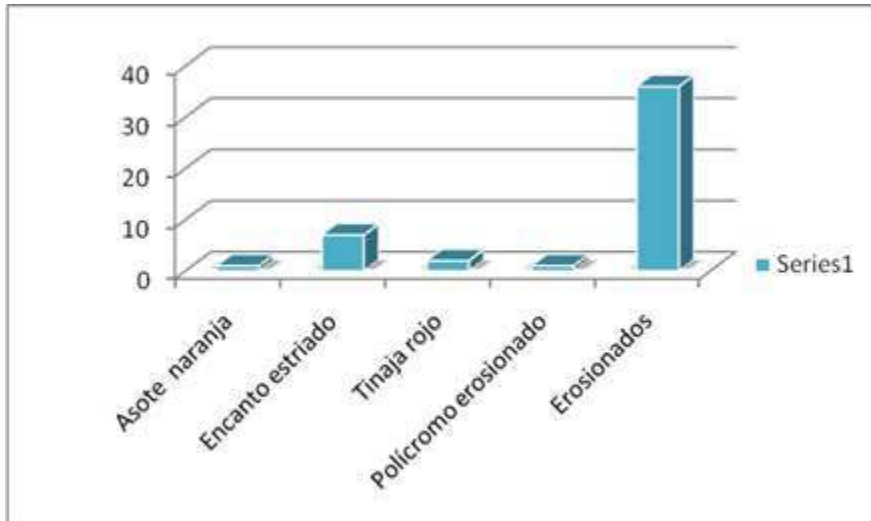
La muestra analizada corresponde a la recolección de superficie de cuatro áreas distintas: Sección noroeste, Triádico #1, #2 y #3, que corresponden a cada uno de los edificios que componen el Complejo Triádico del sitio. El material cerámico presentaba mucha erosión en la superficie, por lo que en algunos casos no fue posible identificar el tipo cerámico.

Para el análisis cerámico, se utilizó el método *Tipo: Variedad*, establecido por James Gifford en 1960 y ha sido el sistema utilizado en las Tierras Bajas Mayas, en el que los principales atributos a tomar en cuenta son el acabado de superficie y la decoración. Sin embargo debido a que la mayoría de cerámica se encuentra muy erosionada, en los estudios cerámicos realizados últimamente en varios sitios arqueológicos, se ha optado por usar el *Tipo: Variedad –Modal*, en el que además de tomar en cuenta los atributos anteriormente descritos, se suman la pasta y las formas, llegando con ello a determinar cronologías y utilidad de la cerámica en los lugares de su ubicación. Este sistema ha sido fuertemente utilizado, debido a la facilidad que brinda para el análisis y fue principalmente expuesto en el área de la Joyanca por la Dra. Melanie Forné (Forné 2006). Tomando en cuenta el sistema modal, se realizó el análisis del material. El cual se describe a continuación.

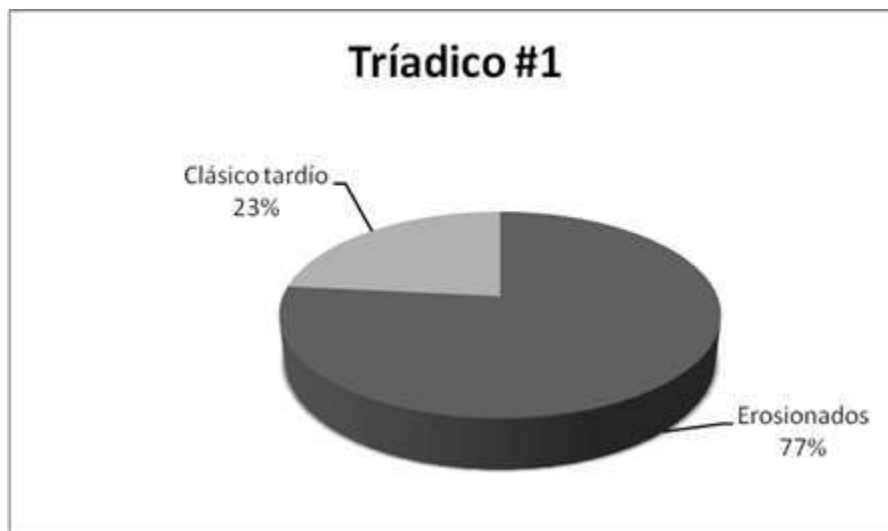
GUAC 2A-1-1 (Triádico #1, recolección de superficie)

Total= 47 tiestos.

La muestra recolectada en este contexto, se encontraba muy erosionada, sin embargo en base a algunos atributos como la pasta y las formas, se pudo identificar temporalidades, esto sumado a algunos tipos cerámicos identificados, pudo brindar una fecha. El material erosionado ocupó un 77% del total (Gráfica 15.1), y dentro de los tipos identificados se pueden mencionar, *Tinaja Rojo*, *Azote Naranja*, *Encanto Estriado* y *Polícromo erosionado* (Gráfica 15.2). Algo muy interesante fue la presencia de una base de tambor, la cual lamentablemente se encontraba muy erosionada y no fue posible identificar el tipo cerámico.



Gráfica 15.1 tipos cerámicos identificados en GUAC 2A-1-1.

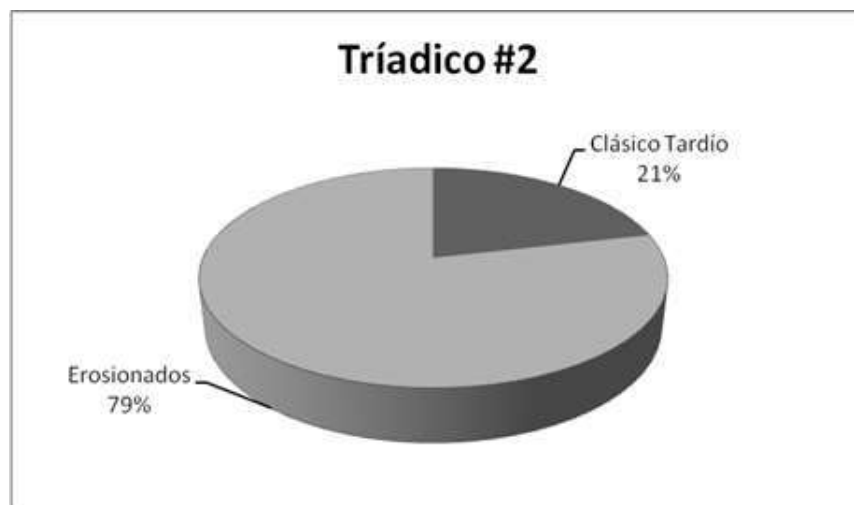


Gráfica 15.2 porcentajes cerámicos en Tríadico #1.

GUAC 2A-2-1 (Tríadico #2, recolección de superficie)

Total= 14 tiestos

En esta área se recolecto escaso material cerámico, por lo que solamente se analizaron 1 *Tinaja Rojo*, 2 *Encanto Estriado* y 11 erosionados, identificando en este último 1 cuenco. Dentro de la cerámica indeterminada, se pudo identificar la presencia total de Clásico Tardío, debido a la identificación de las pastas muy reconocibles para este periodo (Gráfica 15.3).

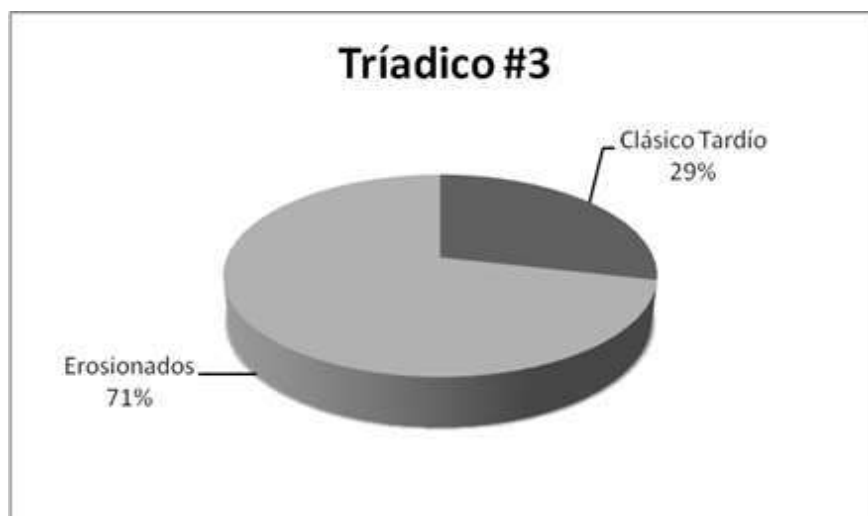


Gráfica 15.3 porcentajes de cerámica analizada proveniente de Tríadico #2.

GUAC 2A-3-1 (Tríadico #3, recolección de superficie)

Total= 14 tiestos

Nuevamente la muestra de este tríadico fue muy escasa y solamente se pudieron identificar 4 de los 14 tiestos que se recolectaron. Dentro de los grupos cerámicos analizados se encontraban: 3 *Encanto Estriado* y 1 *Infierno Negro*, dejando el resto para los erosionados (Gráfica 15.4).

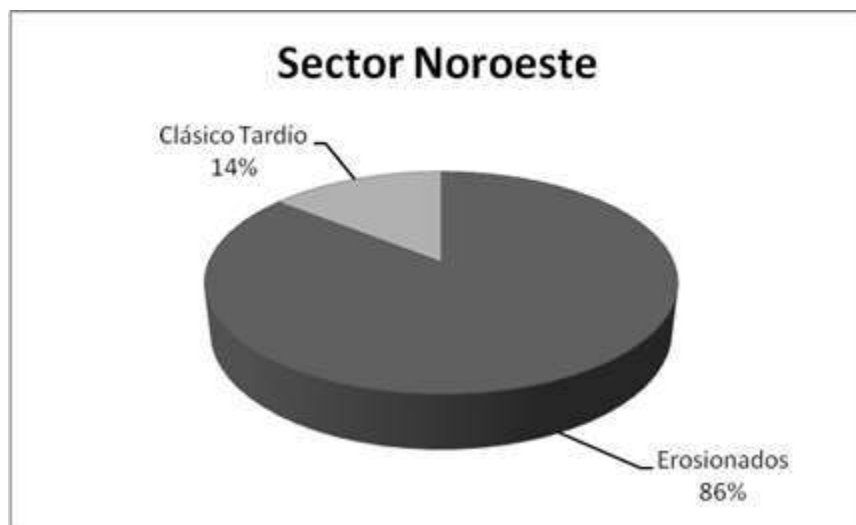


Gráfica 15.4 porcentajes de cerámica analizada proveniente de Tríadico #3.

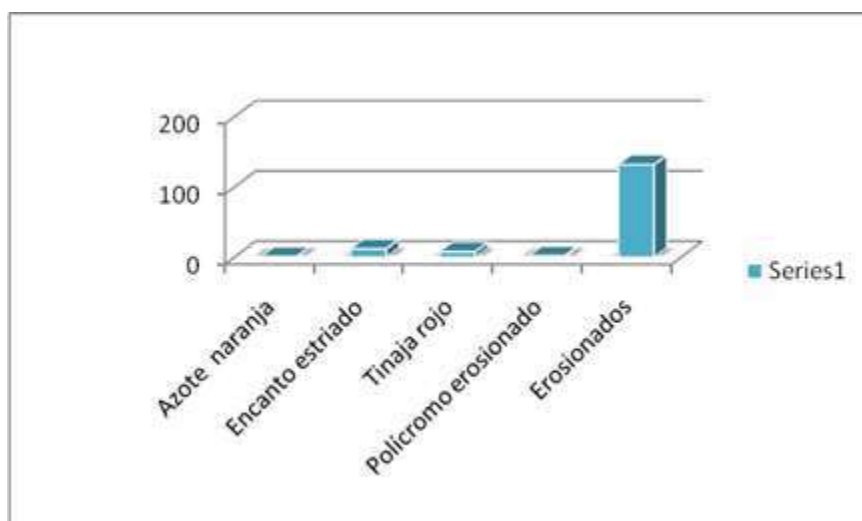
GUAC 2A-4-1 (Sector Noroeste, recolección de superficie)

Total= 154 tiestos

Como se mencionó anteriormente la mayor parte del material se encontraba erosionado, ocupando un 85% del total de la muestra de este contexto (Figura 63). Sin embargo, se pudieron identificar varios tipos cerámicos del Clásico Tardío; *Tinaja Rojo*, *Azote Naranja*, *Encanto Estriado* y 02 *Polícromos erosionados* en los cuales solo se distinguía un pre engobe con restos de engobe de color negro y rojo (Gráfica 15.6).



Gráfica 15.5 porcentajes cerámicos presentes en GUAC 2A-4-1.



Gráfica 15.6 tipos cerámicos presentes en la muestra del sector noreste.

Dentro de las formas identificadas en la cerámica de este contexto se encontró una frecuencia mayor de cuencos con una cantidad de 9, 7 platos, 1 cilindro y 4 cuellos de cántaro. Lo que indica una mayor cantidad de cerámica de servicio. Otra observación interesante fue la presencia de pastas rosadas con abundante calcita, muy común dentro de la cerámica del Clásico Tardío en las Tierras Bajas.



Figura 15.52 cerámica del lote GUAC 2A-1-1; a) Encanto Estriado; b) Engobe Naranja, Azote; c) Polícromo erosionado; d) Tinaja Rojo (fotografía E. Bustamante).



Figura 15.53 cerámica del lote GUAC 2A-2-1; a) Encanto Estriado; b) Tinaja Rojo (fotografía E. Bustamante).



a)



b)

Figura 15.54 cerámica del lote GUAC 2A-3-1; a) Encanto Estriado; b) Infierno Negro (fotografía E. Bustamante).



Figura 15.55 lítica del lote GUAC 2A-3-1; Fragmento de mano de moler (fotografía E. Bustamante).



a)



b)



c)



d)

Figura 15.56 cerámica del lote GUAC 2A-4-1; a) Encanto Estriado; b) Polícromo erosionado; c) y d) Tinaja Rojo (fotografía E. Bustamante).

Conclusiones

Pese al estado de conservación de la cerámica recolectada en superficie, es factible poder determinar que corresponde al Clásico Tardío. Muchas de las pastas que se pudieron identificar, son comunes de las Tierras Bajas Mayas para este periodo. Por ejemplo las pastas rosadas con abundante calcita muy fina como desgrasante, se han localizado también en Piedras Negras, Aguateca, Cancun (Silvia Alvarado comunicación personal 2014) y Sureste de Peten (Laporte 2007). Sin embargo, la mayor parte del material tiene una semejanza con la cerámica de Piedras Negras, reconocible principalmente por las pastas, ya que la erosión era muy fuerte e impedía reconocer su acabado de superficie se realizó el análisis con el *Sistema Modal*.

Es interesante la presencia de cerámica de servicio más que doméstica, lo que implica que no se realizaban actividades domésticas en el área, ya que también por ser triádicos es más factible localizar un tipo diferente de cerámica, y la presencia de un fragmento de tambor, también indica que pudo haber sido un lugar donde se realizaban actividades que conllevan la presencia de música y comida, todo esto reflejado en la cerámica. Solo una muestra mayor podrá terminar de sustentar esta propuesta, esperando que en próximas recolecciones se tengan mejores ejemplares para determinar las actividades que allí se realizaban.

SÍNTESIS DE LA TEMPORADA DE CAMPO Y LABORATORIO 2014, LAS GUACAMAYAS:

CONCLUSIONES PRELIMINARES.

Luego de finalizada la temporada de campo y laboratorio 2014 del *Proyecto de Reconocimiento y Mapeo Arqueológico en el Sitio Las Guacamayas*, apodemos afirmar que se han alcanzado los objetivos principales del mismo. El sitio, localizado en el Triángulo Las Guacamayas de la Reserva de la Biosfera Maya, fue visitado por una expedición organizada bajo el respaldo del Proyecto Regional de Rescate La Corona, y planificada con el respaldo activo de la agencia *World Conservation Society* y el CONAP. La misma se realizó durante los días 1 al 6 de octubre de 2014 e incluyó a dos arqueólogos del PRALC y un inspector de DEMOPRE. Si bien la presencia de comunitarios en el sitio redujo

considerablemente el tiempo de trabajo, los datos recabados permitieron la elaboración de un mapa topográfico de los edificios principales, la realización de un mapa planimétrico de la totalidad de su epicentro, y la recolección y análisis de cerámica en superficie, con la consecuente proyección cronológica inicial del asentamiento prehispánico.

El sitio Las Guacamayas se encuentra localizado en el arranque de la Cuenca del Río Grijalva, en el borde de una zona de humedales, hacia el oeste de las Tierras Bajas mayas. Se identificaron un total de al menos 14 estructuras, número que puede aumentar si se toma en cuenta que la vegetación presente no permitió la visita a toda la extensión del sitio. Entre las estructuras presentes se cuenta con un Complejo Triádico ubicado al este del eje del asentamiento urbano, el cual representa el centro de poder político/ritual de la comunidad y se encuentra asociado a una aguada cercana ubicada hacia el eje central del complejo. Hacia el oeste, y delimitando la extensión arquitectónica en esa zona, se eleva una construcción de tipo palaciego, junto a una edificación piramidal y una aguada con acceso escalonado. Otras cuatro estructuras piramidales delimitan los límites norte y sur, dejando en el medio un espacio de plaza de unos 200 m por lado. Completan el espacio construido, al menos cinco de posible uso habitacional, al noreste y sureste del epicentro. Otras estructuras más alejadas fueron reportadas para el sur y el este, aunque aún identificación no es clara aun. Preliminarmente, la cerámica reporta una ocupación durante el período Clásico Tardío (550 – 900 d.C.), aunque hay que recordar que los tiestos colectados representan la última ocupación y no la totalidad de la secuencia constructiva. En este respecto, sólo la excavación controlada podrá darnos definitivos.

Por su patrón de asentamiento simple, es posible que se trate de un sitio secundario, con una población mediana, quizás similar o ligeramente por debajo de lo observado en el sitio La Corona. Sin embargo, la presencia de grandes proyectos constructivos, como el Complejo Triádico, nos remite a un grupo cohesionado socialmente y quizás relacionado a algún sitio mayor en la zona. La ausencia de monumentos y canchas para el Juego de Pelota, así como la ausencia de un complejo Tipo E, apuntan en esta dirección. Aun así, Las Guacamayas representan el mayor sitio registrado en este sector, por lo que su investigación es de vital importancia para comprender los procesos poblacionales de la zona.

En cuanto a su rol en la geo-política de la sociedad maya del período Clásico, la información con la que contamos es aún limitada. Se sospecha de una participación activa en las rutas de comercio dominadas en la región por la Dinastía *Kan*, establecida durante aquel período en el sitio de Calakmul, México, aunque se desconoce sus alcances. Ciertamente su ubicación en el inicio de una cuenca subraya su potencial logístico y podría ser parte de un eje este-oeste de intercambio.

Por su ubicación y características, el sitio Las Guacamayas es alto de interés arqueológico. La falta de investigaciones en la región inmediata resalta la necesidad de su intervención. La poca depredación es un factor relevante y debe considerarse por lo tanto su protección inmediata. A esto se suma la presencia de comunidades asentadas de forma ilegal en la zona, las cuales constituyen un riesgo latente no solo para el patrimonio cultural, sino para el patrimonio natural de la Nación. La investigación del sitio depende directamente de este factor, por lo que recomendamos la acción de las autoridades correspondientes para la desmovilización de las comunidades ilegales y el establecimiento de un destacamento o base que provea seguridad constante. Otro componente de importancia, es la habilitación de un camino que facilite la movilización de las fuerzas de seguridad que protejan dicho patrimonio, así como para los grupos de investigación futuros. En la actualidad, la ruta transitada por la expedición atraviesa zonas de bajo, y el paso se logra con suma dificultad, deteniendo así un intento efectivo de acceso al sitio.

El presente proyecto constituye el primer intento de comprensión de Las Guacamayas y desde ahora marca las pautas para su desarrollo investigativo. Surgen desde ya más preguntas, se desarrolló el sitio durante el Clásico Tardío, *o cuenta con una ocupación más extensa?, participó y cómo de las rutas de intercambio que conocemos?, es posible que el sitio tuviera un impacto en el comercio sobre un eje este-oeste?, cuál fue su relación con La Corona y la región dominada por la dinastía Kan?, cuál es la historia constructiva del sitio?, existen más estructuras aun no identificadas?, cuál es su interacción con el sistema de humedales?, es posible trazar una secuencia dinástica?*, estas son solo algunas de las líneas investigativas que con seguridad serán seguidas en el futuro. Esperamos que con esta breve visita al sitio y el presente informe, se llame la atención de las autoridades competentes, para que el sitio pueda ser protegido y por consiguiente estudiado a profundidad. Todo esto con el objetivo último de profundizar en nuestros

conocimientos de la cultura maya y el de proteger otro valioso monumento parte de nuestro patrimonio cultural guatemalteco.

Las Guacamayas y las rutas de comercio prehispánicas.

Si bien el conocimiento sobre este sitio es aun básico, se puede proponer una línea de investigación sobre el mismo en cuanto a su participación en las rutas de comercio prehispánicas. Anteriormente se ha propuesto la existencia de una ruta comercial denominada “Camino Real” (Canuto y Barrientos 2013), la cual conectaría el sitio de Calakmul en México, con el distante centro de Cancuén. Desde la segunda mitad del Siglo VII d.C. las tensiones entre los dos grandes centros hegemónicos de Tikal y Calakmul, llevaron a la ruptura de relaciones políticas y de dominio previas dando como resultado la creación de nuevas alianzas en el suroeste de las Tierras Bajas mayas. Dio inicio entonces, una expansión de la dinastía *Kaan*, asentada desde entonces en el sitio de Calakmul, hacia el oeste y sureste de El Petén. Esta dinastía logró obtener una ruta que le permitió obtener bienes foráneos a las Tierras Bajas por medio de la inclusión en su red de sitios asociados o subordinados entre ellos, Cancuén, Dos Pilas, El Perú-Waka’, La Corona y Uxul, todos ellos relacionados en un eje norte-sur y a distancias relativamente constantes en cuanto a su ubicación entre unos y otros. En los últimos años se ha sospechado de la existencia de un sitio, aún no identificado en la zona entre La Corona y Uxul (Barrientos Comunicación Personal 2013). Si bien es cierto que Las Guacamayas está unos pocos kilómetros al oeste de la ubicación esperada, es un candidato de consideración en vista de la alta concentración de arquitectura, similar a la de La Corona y ante la falta de otro candidato en la región. Por otro lado, su localización hace suponer su participación en otra ruta comercial aun no estudiada, la de un eje este-oeste que conectaría la región de El Petén Norte y el Petén Campechano con la Laguna de Términos y la región del Golfo de México.

En este sentido, la importancia de Las Guacamayas radicaría en su rol como partícipe de una ruta comercial que bien pudiera estar presente desde el período Preclásico (2000 a.C. – 250 d.C.), momento en el cual la región de El Mirador habría establecido sus contactos con la región olmeca, y más aún, los contactos a larga distancia entre el Golfo de México y el Mar Caribe. Es bien conocida la presencia de bienes de ambas regiones desde épocas muy tempranas entre las dos zonas, y ha sido ya discutida la amplia posibilidad de

ser ésta la ruta comercial esperada para entonces (Masson y Freidel 2002). Las Guacamayas tiene una ubicación similar a la de La Corona, ya que ambas se encuentran al inicio de los cauces que constituyen dos vertientes que tienen como destino final, el Golfo de México (Figura 15.57). El último, se encuentra justo en el inicio norte de la vertiente del Río San Pedro, la cual fue utilizada con seguridad por Tikal durante el Clásico Temprano (250 - 550 d.C.) y subsecuentemente por Calakmul en el Clásico Tardío (550 - 850 d.C.). La presencia de La Corona en dicha localización responde posiblemente a las intenciones de la dinastía *Kaan* de controlar ese inicio de vertiente para así facilitarse el acceso a dicha ruta comercial.

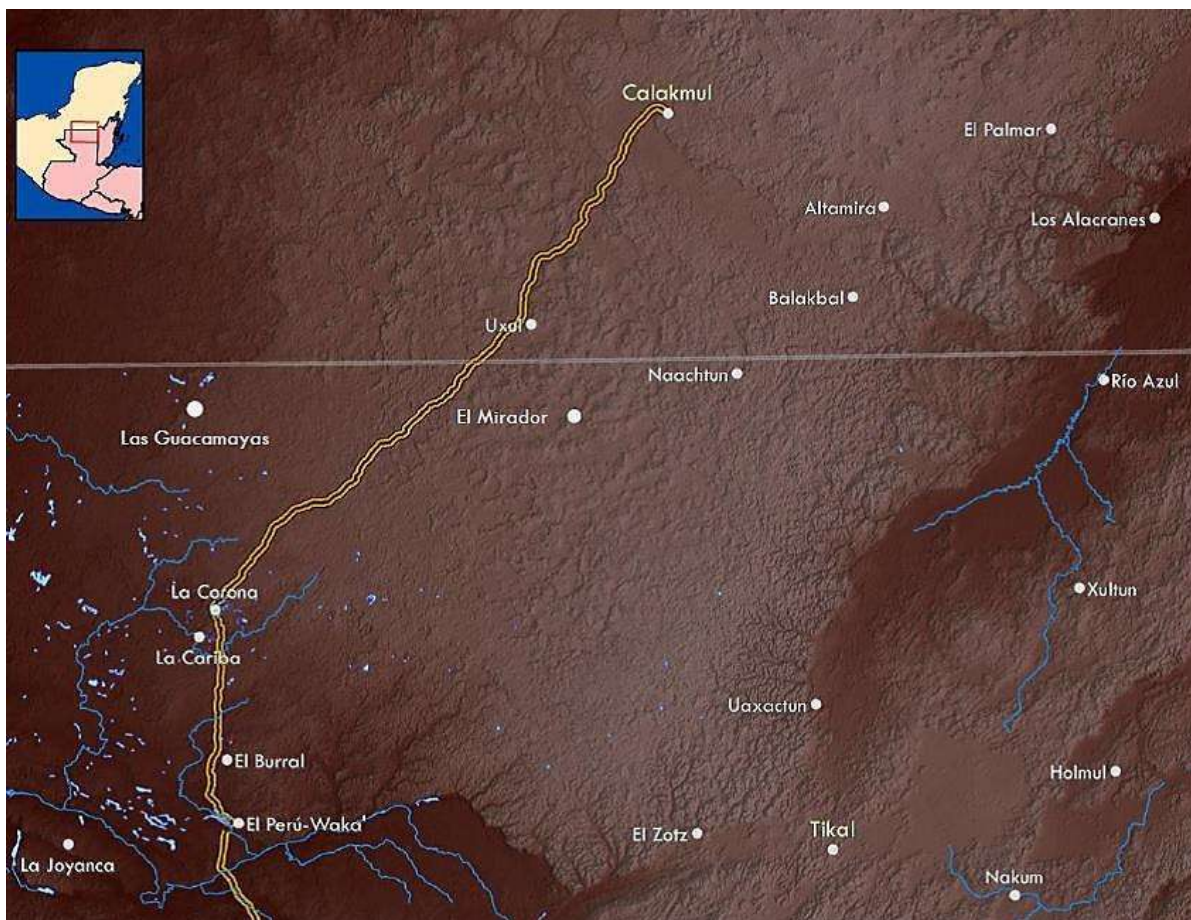


Figura 15.57 Ubicación de las Guacamayas y la ruta comercial entre sitios de El Petén (Mapa por M. Canuto)

En el caso de Las Guacamayas, la posición respecto al inicio de otra vertiente es altamente semejante. Allí, el asentamiento se encuentra al inicio de la vertiente del río

Candelaria, una ruta directa para Calakmul y sitios de El Petén del norte para acceder a la Laguna de Términos y la región del Golfo. Más aún, hay que resaltar que de existir un sitio en la ruta La Corona-Uxul, Las Guacamayas estaría a la misma distancia que éste de La Corona, lo cual sustenta la hipótesis de la localización de sitios equidistantes sobre una ruta comercial, solo que en este caso, Las Guacamayas sería el primer sitio en una ruta este-oeste, algo que favorece nuestra propuesta y coincidiría bien con el tamaño del sitio y su posición geográfica. Si nuestra idea es correcta, entonces el sitio bien pudo ser la puerta hacia el oeste para tres regiones: la de Calakmul, la zona de El Mirador y la de la misma Corona.

CAPÍTULO XVI

PROYECTO REGIONAL ARQUEOLÓGICO LA CORONA: RESULTADOS GENERALES Y CONCLUSIONES DE LA TEMPORADA 2014

Tomás Barrientos Q. y Marcello Canuto

Introducción

La séptima temporada de campo y laboratorio del Proyecto Regional Arqueológico La Corona finalizó con importantes aportes a los objetivos del proyecto. En primer lugar, las excavaciones en las principales estructuras de la Plaza Principal han ampliado el conocimiento del crecimiento arquitectónico del sitio y han aportado nuevos datos para la reconstrucción cronológica de La Corona. Además, se han obtenido importantes insumos de información con respecto a la naturaleza de la Corte Real de La Corona y sus relaciones con su región circundante y los aliados más distantes. En cuanto a las investigaciones en el Grupo Coronitas, finalmente se concluyeron las excavaciones de la Estructura 13R-10, cuyos resultados han sido sorprendentes pero al mismo tiempo concordante con los hallazgos de temporadas pasadas. Aunque a pequeña escala, se continuaron las excavaciones en dos áreas residenciales, lo que ha aportado nuevos datos con respecto a la población general del sitio. A nivel regional, se iniciaron las excavaciones en La Cariba y también se cuenta ya con los primeros datos correspondientes al sitio Las Guacamayas. En cuanto al análisis de laboratorio, ha sido sumamente importante contar con los primeros resultados del análisis lítico, así como datos interesantes provenientes de algunas vasijas cerámicas provenientes de contextos funerarios y ceremoniales. Finalmente, cabe destacar que se ha logrado establecer una nomenclatura apropiada para nombrar las diferentes esculturas provenientes de La Corona pero que se han encontrado en contextos de todo tipo. A continuación se presentan los resultados más relevantes de cada componente del proyecto:

Aspectos Regionales

Las investigaciones en La Cariba por David Chatelain han proporcionado datos importantes relacionados al desarrollo de los sitios secundarios a La Corona. Es relevante el hallazgo de materiales fechados para el Preclásico Tardío (Figura 16.1), asociados con las construcciones más voluminosas del sitio y sus ofrendas asociadas. Esto definitivamente llama la atención como un elemento importante para interpretar el surgimiento de La Corona en su

región, así como su relación con otros asentamientos de menores dimensiones pero que pudieron existir antes de su fundación. En cuanto a su ocupación para el Clásico Tardío, se han encontrado algunos paralelos importantes en cuanto al tipo de cerámica y artefactos líticos, aunque definitivamente algunas diferencias significativas en lo que respecta a arquitectura monumental y monumentos esculpidos. Por lo tanto, aunque la historia inicial de ambos sitios parece ser distinta, durante el Clásico Tardío se evidencia una integración como resultado del surgimiento de La Corona como capital regional de la región.

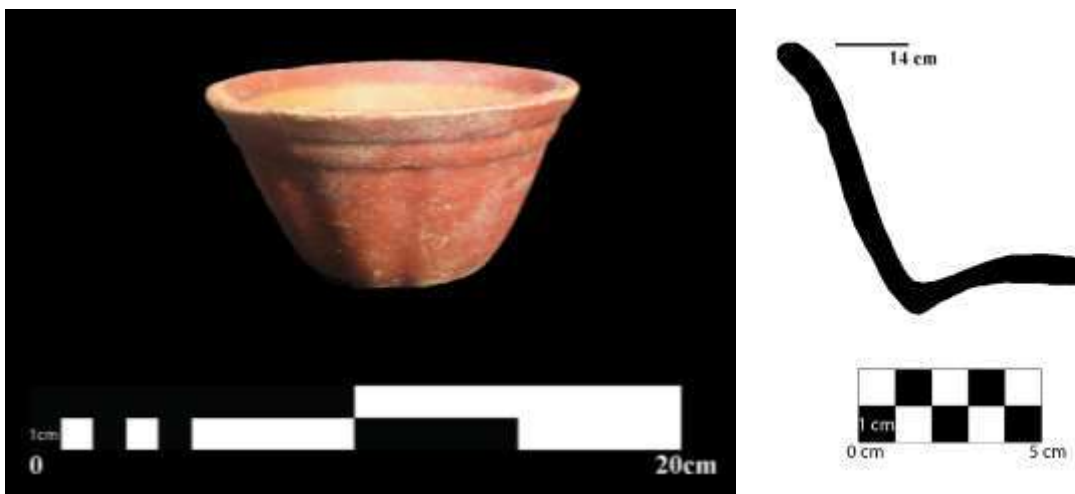


Figura 16.1 Vasija tipo Altamira Acanalado (CAR-V005) del Preclásico Tardío, proveniente de un escondite en el Grupo D del sitio La Cariba (Fotografía y dibujo por C. Parris)

El reconocimiento inicial de Ernesto Arredondo en el sitio de Las Guacamayas ha proporcionado el primer plano del centro del sitio, y se ha confirmado su fechamiento para el Clásico Tardío. A pesar de ser una visita muy corta, se pudo constatar la presencia de arquitectura monumental distribuida en un patrón de plaza que si bien puede ser similar a otros sitios de la región durante ese momento, parece mostrar patrones locales. Su patrón arquitectónico está dominado por un Grupo Triádico y una amplia plaza rodeada por varias estructuras de regular tamaño (Figura 16.2). Aunque esta visita ha confirmado que el sitio ha sido poco saqueado, también ha indicado que las condiciones de la zona del Triángulo Candelaria todavía no son las apropiadas para una investigación a gran escala, por lo que se espera que este reporte inicial pueda apoyar las acciones para establecer un control en la región, y que en un futuro no muy lejano se puedan realizar excavaciones en el sitio.



Figura 16.2 Fotografía aérea del sitio Las Guacamayas, con montaje de arquitectura observada (Fotografía cortesía WCS; montaje E. Arredondo).

Los análisis de artefactos de obsidiana, pedernal y piedra verde por Chloé Andrieu y Alejandra Roche han confirmado la importancia de las redes de comercio a larga distancia, lo que se evidencia en la presencia del pedernal marrón y una cantidad considerable de objetos de jade. Sin embargo, llama la atención los altos porcentajes de obsidiana en comparación con Calakmul, Dzibanché y los sitios del sur de Campeche, así como la calidad en la elaboración de los objetos de jade encontrados en las tumbas descubiertas en 2014, la cual es superior a la de los objetos de piedra verde de Calakmul y su región circundante. En cuanto al pedernal, se ha confirmado que no fue un recurso local en la zona de La Corona, por lo que tuvo que existir una red de intercambio local que permitió la accesibilidad e importación de pedernal de baja calidad para actividades de uso diario.

En cuanto a los restos humanos, la temporada de 2014 fue muy fructífera no solo por el descubrimiento de seis entierros, sino por su diversidad. Se recuperaron los restos de un infante, dos subadultos, dos adolescentes y posiblemente cinco mujeres, lo que es importante para tener un mejor acercamiento a la antigua población de La Corona y sus alrededores.

La Elite de La Corona

La mayor parte de las investigaciones en la Temporada 2014 fue enfocada en el estudio del grupo gobernante de La Corona, mediante el análisis cronológico y funcional de la arquitectura del epicentro, así como la distribución de bienes exóticos en depósitos dentro de

edificios, basureros, ofrendas funerarias y escondites. De esta manera se está mejorando nuestro entendimiento de las dinámicas internas de los líderes de La Corona y las estrategias que los vincularon al Reino *Kaan* y el resto de las Tierras Bajas.

En el inicio del VI siglo d.C. el destino y suerte del sitio La Corona cambió notoriamente por la llegada de una princesa de la dinastía *Kaan*, cuya capital en ese momento era Dzibanché (Martin 2008). Prometida al rey *Buitre* de La Corona, esta mujer representó el primer capítulo en larga historia entre la dinastía *Kaan* y La Corona. El comienzo de este vínculo se ha sabido gracias a la evidencia epigráfica, pero todavía falta un entendimiento profundo de qué tan contundentes fueron estas alianzas, es decir ¿Qué impacto visible y empírico en la vida cotidiana de La Corona tuvo su tan celebrada alianza política con el Reino *Kaan*?

Hasta la fecha continúa un gran debate sobre la estructura y organización política de las Tierras Bajas (para resúmenes véase a Foias 2013; Iannone y Morris 2009; Lucero 1999; Marcus 1993), el cual se centra en la oposición de modelos que promueven la idea que los Mayas clásicos estaban organizados en ciudades-estados y los que definen estados territoriales (Iannone 2009). Esta dicotomía abarca la mayoría de los modelos propuestos por varios autores, los cuales se basan en los conceptos de estados segmentarios (Ball y Taschek 1991; Fox *et al.* 1996; Houston 1997), ciudades-estados (Grube 2000; Hammond 1991), estados galácticos (Demarest 1992), estados feudales (Adams y Smith 1981), estados regionales (Braswell *et al.* 2004) y estados centralizados (Chase y Chase 1996).

Para empezar a resolver estos desacuerdos, las investigaciones en La Corona pretenden enfocarse en el papel que tuvieron los sitios secundarios para la integración política en las Tierras Bajas. Por lo tanto se pretende comparar lo que los textos jeroglíficos sugieren y lo que la cultura material de los sitios secundarios indica. El caso de La Corona y su alianza con *Kaan* ofrece una buena oportunidad de estudiar cómo y cuánto se transformó La Corona bajo esta influencia, control, asociación o dominio.

La Era Dorada de La Corona

Empezando con el inicio del VI siglo d.C., La Corona se vuelve un aliado fiel a el Reino *Kaan*, sea en Dzibanché o en Calakmul, momento en que inicia una “época dorada” en la historia del sitio (Barrientos Q. y Canuto 2010; Canuto y Barrientos Q. 2009, 2011, 2013, 2014; Canuto, *et al.* 2011; Canuto, *et al.* 2012). Sin embargo, dado que este periodo ha sido mayormente

definido y caracterizado por textos de carácter histórico (Figura 16.3), las investigaciones en el epicentro de La Corona pretenden mostrar si el material arqueológico refleja o no estos cambios políticos. Entonces, para profundizar más allá de los textos, muchas investigaciones se han enfocado en el desarrollo arquitectónico del sitio para sondear si las fases de construcción monumental en el sitio coinciden con la historia dinástica. También, se ha evaluado el impacto real o visible de esta alianza mediante la ausencia o presencia de bienes exóticos en el sitio, específicamente en ofrendas funerarias y dedicatorias. Mediante estos datos se puede precisar si La Corona tuvo acceso a las redes de intercambio a larga distancia y su relación con los gobernantes locales. De forma más simplificada, se quiere comprobar si todos los cambios históricos, arquitectónicos, económicos y políticos en La Corona coinciden en el inicio del siglo VI d.C.

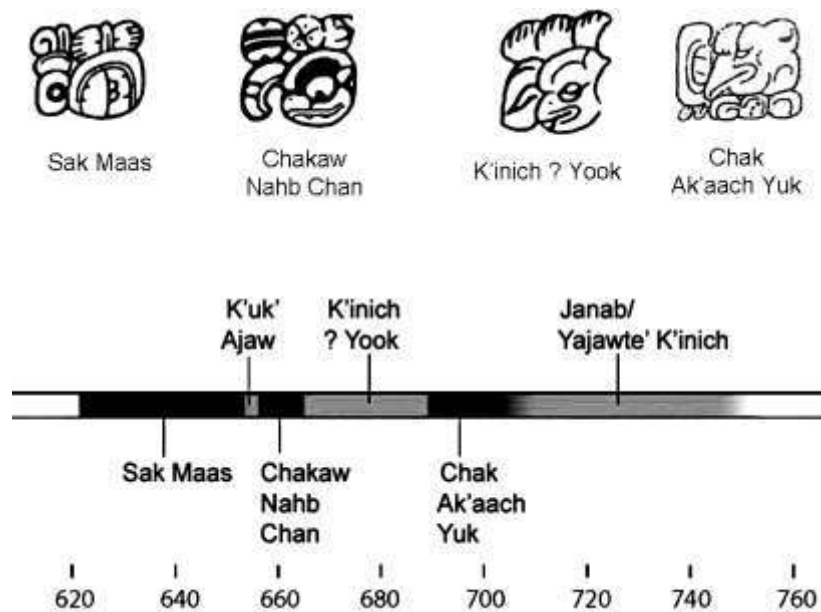


Figura 16.3 Secuencia dinástica de La Corona durante la “Era Dorada” (Gráfica por J. Baron)

Arquitectura

A través de un sondeo de las fases de construcción monumental en el sitio, se han detectado cambios arquitectónicos en La Corona que parecen coincidir con su historia dinástica. Esta coincidencia ha sido reconocida mayormente en los dos conjuntos arquitectónicos más grandes del sitio – la Plaza Principal y el Grupo Coronitas.

En el caso de la Plaza Principal, las excavaciones sugieren que la mayoría de la construcción monumental fecha después del final del Clásico Temprano – ósea que empieza durante la transición entre las fases cerámicas Tzakol y Tepeu. Este período coincide con la inauguración de la alianza con *Kaan*, a través del matrimonio de la primera princesa de esta dinastía que llegó a La Corona. La consecuencia de este dato es que el ritmo de la construcción pública se acelera en esta época. En el caso del Grupo Coronitas, el acercamiento a *Kaan* impactó mucho su función. Lo más importante fue cancelar importantes edificios funerarios dedicados al legado de un linaje local, ya que éstos fueron re-dedicados a tres nuevos dioses patronos (Baron 2008, 2012a; Baron 2013).

Estudios en el Palacio

Las excavaciones de Eduardo Bustamante en la sección sur del Palacio (Estructura 13Q-4) se han enfocado en el estudio de la Fase Cocochán por medio de túneles. Esta fase del Palacio consiste principalmente de un patio cerrado y delimitado por cuatro estructuras (*Ayiin, Ahk, Wo e Iguana*), así como uno o varios patios ubicados al norte y noroeste. Este conjunto fue cancelado y parcialmente cubierto por un episodio constructivo conocido como Fase Halcón, el cual se caracteriza por una gran plataforma que se colocó sobre el patio de la fase anterior (Figura 16.4). Aunque todavía no se tienen fechas absolutas para estas dos fases, algunos indicadores cerámicos y estratigráficos indican que estas dos fases pertenecen a los siglos VI y VII d.C., que corresponden a la "Era Dorada". Por lo tanto, aunque estas dos fases todavía no se puedan asociar a los hechos históricos de las inscripciones, si evidencian la existencia de cambios significativos en la configuración arquitectónica del Palacio. Uno de los hallazgos más significativos de la Temporada 2014 se dio en el límite suroccidental del Palacio, en la Estructura 13Q-4O. Originalmente se pensó que esta era una fachada "posterior" del complejo palaciego, pero los trabajos de Bustamante en esta zona revelaron una estructura con una fachada decorada con elementos escultóricos en piedra y estuco. Por otro lado, una versión previa del edificio, posiblemente contemporánea con la Fase Halcón, mostró un patrón elaborado en el interior de sus cámaras, que incluye la presencia de banquetas y pinturas murales (Figura 16.5). Aunque todavía falta investigar más esta área del palacio para entender su naturaleza, es claro por ahora que no se trata de su lado posterior, sino que pudo ser una fachada y acceso tan importante como el lado este, que comunica directamente con la Plaza Principal.

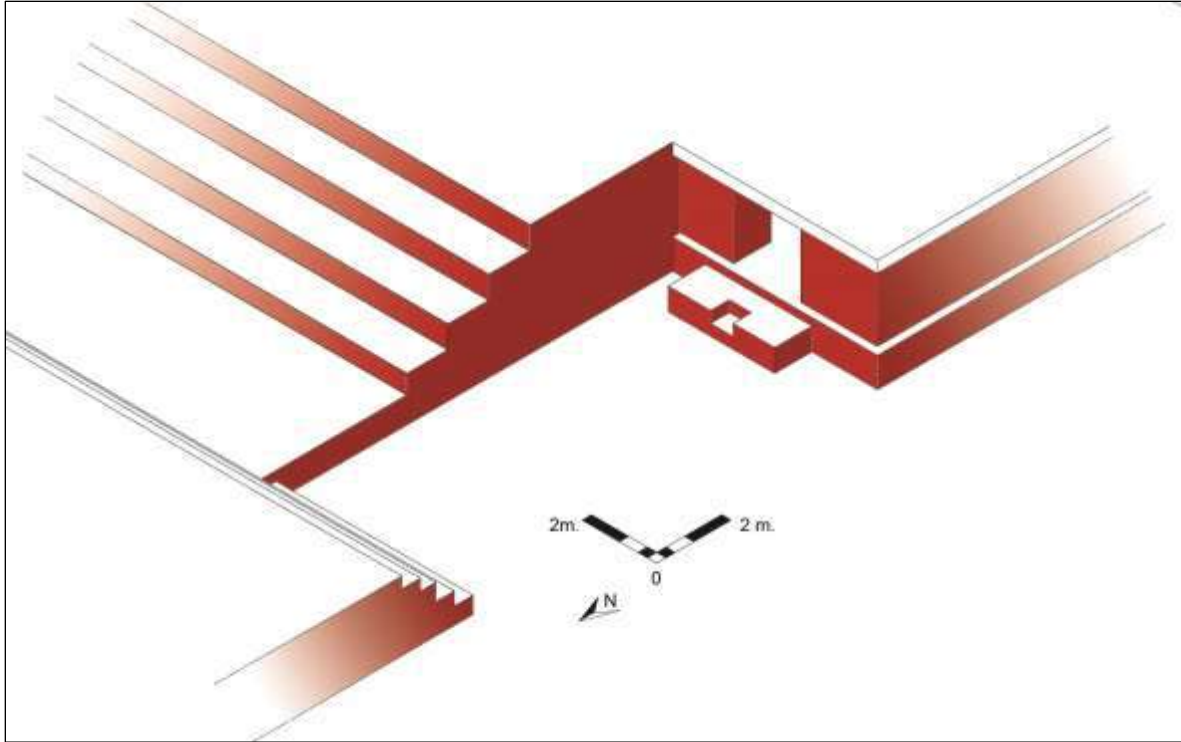


Figura 16.4 Reconstrucción hipotética de la plataforma Halcón. Vista de noroeste a suroeste
(Dibujo por E. Bustamante)



Figura 16.5 Pinturas murales en la pared norte del Cuarto 1, Subestructura 13Q-40-Sub1
(Collage fotográfico por E. Bustamante)

La parte norte del Palacio ha sido investigada por Maxime Lamoreux-St. Hilaire, especialmente la Estructura 13Q-4F y su patio hundido asociado (Patio Noreste) (Figura 16.6). Las excavaciones han determinado que esta fue la residencia real de La Corona, por lo menos durante la fase final en la ocupación del Palacio. Esto se ha determinado por la calidad de su construcción y la presencia de bancas, depósitos de artefactos y otros contextos propios de residencias y áreas de actividad de la élite, así como un patrón de acceso bastante restringido. Además, las investigaciones han definido el Patio Noroeste como un área de servicio directamente asociada a esta residencia, donde se pudieron almacenar y procesar alimentos. No obstante, todavía falta continuar con las investigaciones para definir de mejor forma los tipos de actividad que se llevaron a cabo en esta área del palacio.

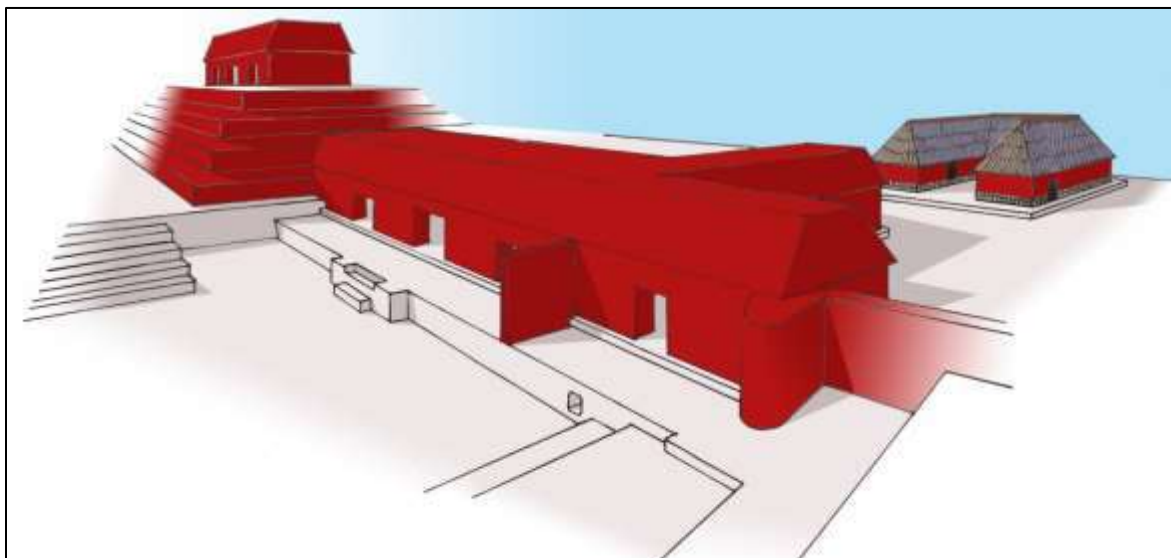


Figura 16.6 Reconstrucción arquitectónica de la Estructura 13Q-4F, con la Estructura 13Q-4E a su izquierda y la Estructura 13Q-3I a la derecha. La vista es hacia el suroeste (Dibujo por M. Lamoreux St-Hilaire)

Templos Funerarios

Las investigaciones realizadas en las estructuras 13Q-1 y 13Q-2 durante la Temporada 2014 han confirmado que estos dos edificios cumplieron con funciones funerarias. Aunque la Estructura 13Q-2 ya había sido investigada desde 2008, fueron las excavaciones de 2014, dirigidas por Erika Gómez, las que finalmente confirmaron la presencia de una tumba real (Entierro 18). En cuanto a la Estructura 13Q-1, sus características sugerían que se trata de un templo funerario, por lo que las investigaciones dirigidas por Camilo Álvarez fueron encaminadas para comprobar dicha hipótesis. Efectivamente, al final de la temporada se

descubrió una tumba real (Entierro 19), estableciendo así la naturaleza del edificio. No obstante, la investigación de estos dos edificios reveló aspectos importantes en cuanto a su historia arquitectónica, lo cual tiene implicaciones importantes para la reconstrucción de los eventos que afectaron a todo el sitio.

Las investigaciones pasadas en la Estructura 13Q-2 se habían enfocado en la definición de su fachada oeste, por lo que ya se conocían las características de su escalinata de acceso, terrazas del basamento y superestructura (Guenter 2009), así como la adición de una plataforma en la fase constructiva final, la cual nunca se finalizó (Cajas 2014). También se había constatado que la base de la escalinata contuvo escalones con bloques de contrahuella finamente trabajados, los cuales fueron removidos entre los años 760 y 850 d.C. (Guirola y Slowing 2013). Por esta razón se considera que este fue el lugar original de algunos de los bloques jeroglíficos que formaron parte de la Escalinata Jeroglífica 2 de la Estructura 13R-10, así como algunos de los bloques saqueados que se encuentran actualmente en museos y colecciones privadas. Durante las investigaciones de este edificio en 2011 ya se había notado la presencia de una escalinata previa, así como restos de una plataforma y otros rasgos que se asemejaban a columnas. Es por ello que habiendo definido la fachada de la fase final, se procedió a investigar las subestructuras. Como se esperaba, las excavaciones de Erika Gómez revelaron que los rasgos previamente identificados pertenecieron a una versión anterior de la Estructura 13Q-2 (13Q-2-Sub2), la cual incluyó columnas decoradas con relieves en estuco, uno de los cuales parece ser el retrato de un gobernante (Figura 16.7).



Figura 16.7 Relieve del lado norte de la columna sur, Estructura 13Q-2-Sub2 (Foto por E. Gómez)

Dentro de una serie de modificaciones aún poco comprendidas, se agregó una plataforma burda (13Q-2-Sub1), la cual fue colocada sobre el Entierro 18. Este entierro consistió de una cista cavada en forma curvada dentro de la roca madre, la cual pudo contar con una construcción formal a su alrededor. Por el tipo de ofrendas funerarias se considera que se trata de un gobernante, en especial por una joya o diadema de jade con la efigie del Dios *K'awiil* (Figura 16.8).



Figura 16.8 Joya de jade ("Huunal") proveniente del Entierro 18
(Dibujo y fotografía por L. Luin)

Sin embargo, esta tumba fue accedida y exhumada en un momento posterior, lo que perturbó completamente la disposición original de su construcción y contenido. La estratigrafía de la plataforma 13Q-2-Sub1 mostró evidencia que esta re-entrada no solo cortó una escalinata acceso, sino que fue sellada por tres pisos de estuco, cada uno con evidencia de actividad de quema (Figura 16.9). Estos pisos fueron encontrados hundidos, posiblemente por el colapso del relleno que recubrió la tumba. Dado que el contenido del Entierro 18 no se encontró en una forma ordenada, como es de esperarse de las tumbas reales, no está claro todavía cuál fue la naturaleza de la re-entrada. Tampoco se ha podido determinar la fecha del entierro, así como las diferentes subestructuras, pero se espera que con fechas de radiocarbono se pueda reconstruir de mejor forma estos eventos.



Figura 16.9 Excavación de las subestructuras 13Q-2Sub1 y 13Q-2Sub2
(Imagen por R. Campollo, cortesía de PACUNAM)

En base a la evidencia cerámica, al Entierro 18 se le ha asignado una fecha preliminar de 550 a 650 d.C., lo que colocaría este individuo al principio de la "Era Dorada". Una evidencia de suma importancia es la presencia de un plato (CR-V063) que es idéntico a uno encontrado en el Entierro 8 de El Perú/*Waka'*, fechado entre 500 y 550 d.C. (Keith Eppich, comunicación personal). Por lo tanto uno de los candidatos para la identidad del individuo del Entierro 19 es la mujer llamada *Ix ζ Naah Ek*, quien se supone llegó a La Corona en 520 d.C. y probablemente murió entre 550 y 600 d.C.

La investigación de la Estructura 13Q-1 y el descubrimiento de una tumba real (Entierro 19) proporcionaron evidencia interesante en cuanto a su historia constructiva y al patrón funerario de La Corona. Este edificio no se había investigado anteriormente, pero cuenta con una gran trinchera de saqueo que es la mayor del sitio. Por lo tanto era muy probable que los saqueadores habían descubierto una tumba, dada la escala de la depredación. A pesar que se inició la limpieza de la trinchera de saqueo, no fue allí donde se descubrió el Entierro 19. Al igual que en la Estructura 13Q-2, el Entierro 19 se descubrió bajo la escalinata de acceso, lo que sugiere que este puede ser un patrón funerario propio de La Corona, por lo menos a inicios del Clásico Tardío. Las excavaciones de Camilo Álvarez en el basamento del edificio revelaron la orientación y dimensiones de tres de sus cuerpos en su lado sur (Figura 16.10), pero se

complicaron en la definición de la fachada oeste, ya que no se encontró evidencia del arranque de la escalinata de acceso. En su lugar, se expusieron los restos de una plataforma adosada, la cual se colocó sobre el Entierro 19 y eliminó la escalinata en un momento tardío en la ocupación del sitio (Figura 16.11).



Figura 16.10 Excavación en el lado sur de la Estructura 13Q-1 (Imagen por R. Campollo, cortesía de PACUNAM)



Figura 16.11 Excavación de la fachada oeste de la Estructura 13Q-1 (Imagen por R. Campollo, PACUNAM)

La excavación de esta plataforma reveló una estratigrafía compleja, que evidenció un relleno intruso que la atravesó e incluso rompió el piso de plaza, llegando hasta la tumba. De hecho, fue el seguimiento de esta intrusión la que llevó al descubrimiento del Entierro 19. Este entierro mostró características muy similares al Entierro 18, no solo por su ubicación bajo la escalinata, sino también porque contó con una cista de fondo curvado, cavada dentro de la roca madre (Figura 16.12).



Figura 16.12 Joya de jade ("Huunal") proveniente del Entierro 19
(Dibujo y foto por L. Luin)

Se considera que el ocupante de la tumba también fue un gobernante por la presencia de una joya o diadema de jade con la efigie de una deidad. No obstante, el contenido de la tumba no mostró un patrón tan desordenado como en el Entierro 18, y la cantidad de ofrendas fue significativamente menor, lo que sugiere que la re-entrada a esta tumba pudo incluir la remoción de objetos y huesos. La falta de fechas de radiocarbono no ha permitido asociar el Entierro 19 con la historia escrita de La Corona, aunque por la evidencia cerámica se ha fechado tentativamente para finales del siglo VI d.C., lo que la haría contemporánea con el Entierro 18 y el inicio de la "Era Dorada". Esto se confirma por la similitud de su cista y la joya real de jade.

Estructura 13R-10

A pesar de haberse investigado intensivamente por más de cinco años, no se había considerado que la Estructura 13R-10 había tenido una función funeraria. Ya en 2013 se había descubierto un par de entierros sencillos y varias ofrendas dedicatorias, pero la presencia de dos escalinatas jeroglíficas apuntaba a que esta estructura tuvo funciones más ceremoniales. No obstante, las excavaciones de Jocelyne Ponce en 2014 revelaron que además de albergar datos históricos y ceremoniales, este edificio también cumplió una función funeraria bastante relevante. Además, la continuación de las excavaciones permitió definir de mejor forma sus cinco etapas constructivas, las cuales están asociadas con una secuencia de pisos bien definidos. De éstos, es el piso y fase Aceituno el más importante, ya que se relaciona directamente con el Entierro 13, que albergó los restos de una reina. De todos los entierros conocidos hasta ahora en La Corona, éste es el que contiene la cista más elaborada, ya que sus paredes fueron hechas con piedras rectangulares de caliza colocadas en posición vertical.

Sus ofrendas también fueron particulares, ya que además de los objetos de concha y jade, contaba con dos vasijas miniatura o "veneneras" que pudieron haber tenido tabaco o algún otro contenido especial. También contenía 2 malacates de hueso y al menos 11 agujas de hueso, que generalmente se encuentran en entierros femeninos. Lo que no es tan común en entierros femeninos son las espinas de pez raya, y este entierro contuvo varias. Una de estas espinas tiene un texto inciso que identifica la pieza y su dueño, que en este caso se lee como *K'uh Ix Yax ¿? K'ik'* ("Divina Mujer Azul ¿? Sangre") —un nombre que hasta la fecha se desconocía en la historia de La Corona (Figura 16.13). De acuerdo al texto de la espina de raya, es posible identificar a la mujer del Entierro 13 como una reina, ya que los dos títulos que acompañan su nombre indican que tuvo el rango más alto para una mujer de la realeza del período Clásico.

Por su posición estratigráfica y vasijas cerámicas, se sugiere que el Entierro 13 tuvo una fecha para el inicio del VII siglo d.C. Ahora bien, dado que su nombre no corresponde a ninguna reina conocida, ya sea local o proveniente de *Kaan*, es posible que se trate de una reina local anterior a la esposa de *Sak Maas*, que bien podría ser su madre. De cualquier forma, el descubrimiento de una nueva reina en la historia dinástica de La Corona afirma que es una de las antiguas ciudades mayas con el mayor registro de mujeres en sus inscripciones (Tabla 16.1).

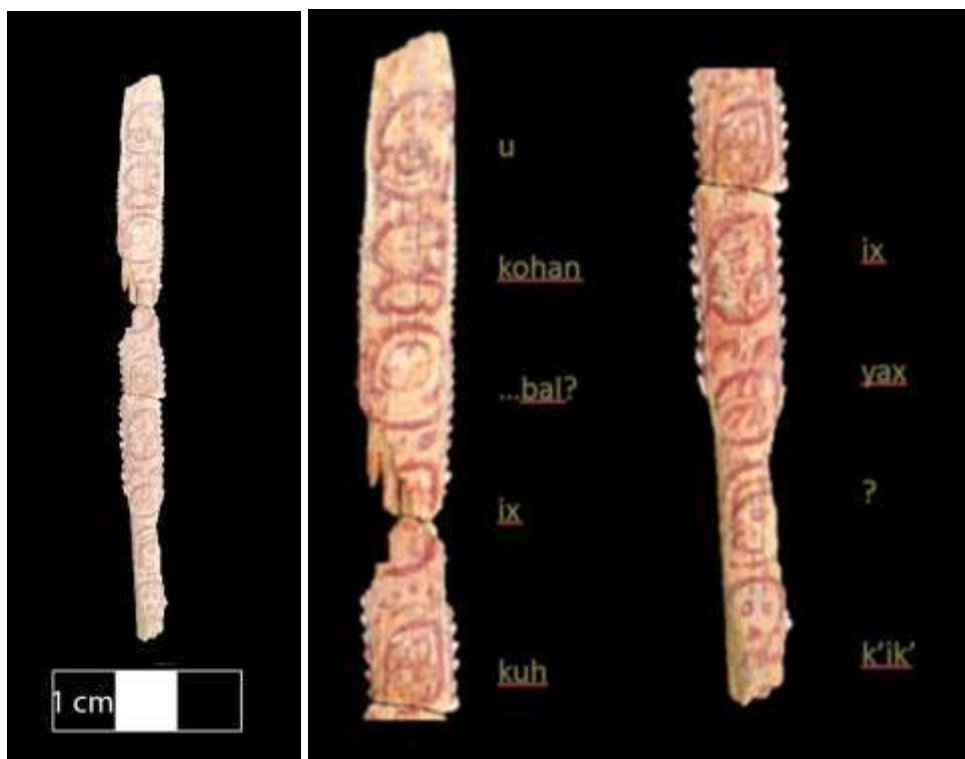


Figura 16.13 Espina de raya con texto recuperada en el Entierro 13 (Fotos por J. Ponce)

Nombre	Información conocida	Fecha asociada
<i>Ix ζ Naah Ek</i>	Princesa de <i>Kaan</i> (Dzibanché)	520 d.C.
	Esposa de "Buitre"	
	Entierro 18?	
<i>K'uh Ix Yax ζ? K'ik'</i>	Reina del Entierro 13	?
	(Madre de <i>Sak Maas</i> ?)	
<i>Ox Kan</i>	Esposa de <i>Sak Maas</i>	615 d.C.
	Madre de <i>Chakaw Nahb Chan</i>	
<i>Wak Chan ? Ajaw</i>	Esposa de <i>Chakaw Nahb Chan</i>	645-667 d.C.
	Madre de <i>K'inich ? Yook</i>	
<i>Sra. Tzibnal</i>	Princesa de <i>Kaan</i> (Calakmul)	679 d.C.
	Esposa de <i>K'inich ? Yook</i>	
	Madre de <i>Yajawte' K'inich</i>	
<i>Sra. Ti' Kan</i>	Princesa de <i>Kaan</i> (Calakmul)	721 d.C.
	Esposa de <i>Yajawte' K'inich</i>	
<i>Sra. Mutal Ajaw</i>	Princesa de <i>Mutal</i> (Tikal)	791 d.C.

Tabla 16.1 Listado de mujeres conocidas en la historia de La Corona

Consideraciones Finales

Anteriormente ya se había sugerido que en La Corona hubo un cambio notorio en el acceso a material exótico durante la primera mitad del siglo VII d.C. Este cambio se había percibido claramente en la comparación de dos entierros que fechan antes y después de la “Era Dorada” –Entierro 6 (Baron 2012b) y Entierro 3 (Desailly-Chanson 2012). Sin embargo, el hallazgo de los entierros 13, 18 y 19 parece confirmar de manera más contundente esta hipótesis.

Además de las características ya descritas asociadas a los entierros, hay otros patrones generales que vale la pena anotar. Uno de estos es la orientación este-oeste (con la cabeza al este) de las tres tumbas, que en este caso coincide con el Entierro 6, posiblemente indicando que todas estas pertenecen a la realeza.

Otro patrón interesante es un diseño pintado que aparece en los platos policromados del Entierro 3 (Vasija 1, CR-V006), Entierro 19 (Vasija 1, CR-V065 y Vasija 5, CR-V069) y posiblemente el Entierro 18 (Vasija 1, CR-V063). Este diseño, nombrado "Elemento La Corona", es de forma simétrica y parece contener el signo asociado al agua, también fue encontrado en otro plato del Entierro 17 (Vasija 1, CR-V051). Aunque no se ha identificado como un signo conocido en otros sitios o colecciones, su frecuencia en el sitio sugiere que es un signo con significado local, posiblemente asociado al ambiente acuático que lo caracteriza (Figura 16.14).



Figura 16.14 Presencia del "Elemento La Corona" en cinco platos policromados (Fotografías por C. Parris)

Finalmente, cabe destacar que en los entierros 18 y 19 es notorio el contraste entre la alta calidad del jade y el tipo de vasijas. Esto parece sugerir que las vasijas corresponden a una tradición local cerámica y los jades reflejan las nuevas redes de acceso a materiales exóticos (Figura 16.15). Inicialmente se pensó que estos jades representan regalos directos por parte de los gobernantes de *Kaan*, pero su calidad es superior a los objetos hasta ahora encontrados en las tumbas de Dzibanché y Calakmul, lo que hace necesario replantear el patrón de distribución de jade en esta época y la posibilidad que La Corona tenía otros nexos fuera de su relación directa con el Reino *Kaan*. Por otro lado, en La Corona todavía no hay evidencia de una tradición lapidaria local, aunque la aparición de un pulidor de orejeras en la Estructura 13R-10 podría sugerir que si existió. Además, si las tumbas son anteriores al año 630 d.C., la presencia de estos objetos de jade evidencian la existencia de una red de intercambio a larga distancia que precede al “Camino Real” creado por *Yuknoom Ch’een*, que tuvo como uno de sus objetivos principales el obtener acceso al jade y otros productos de las Tierras Altas mediante la fundación de la ciudad de Cancuén en 657 d.C.

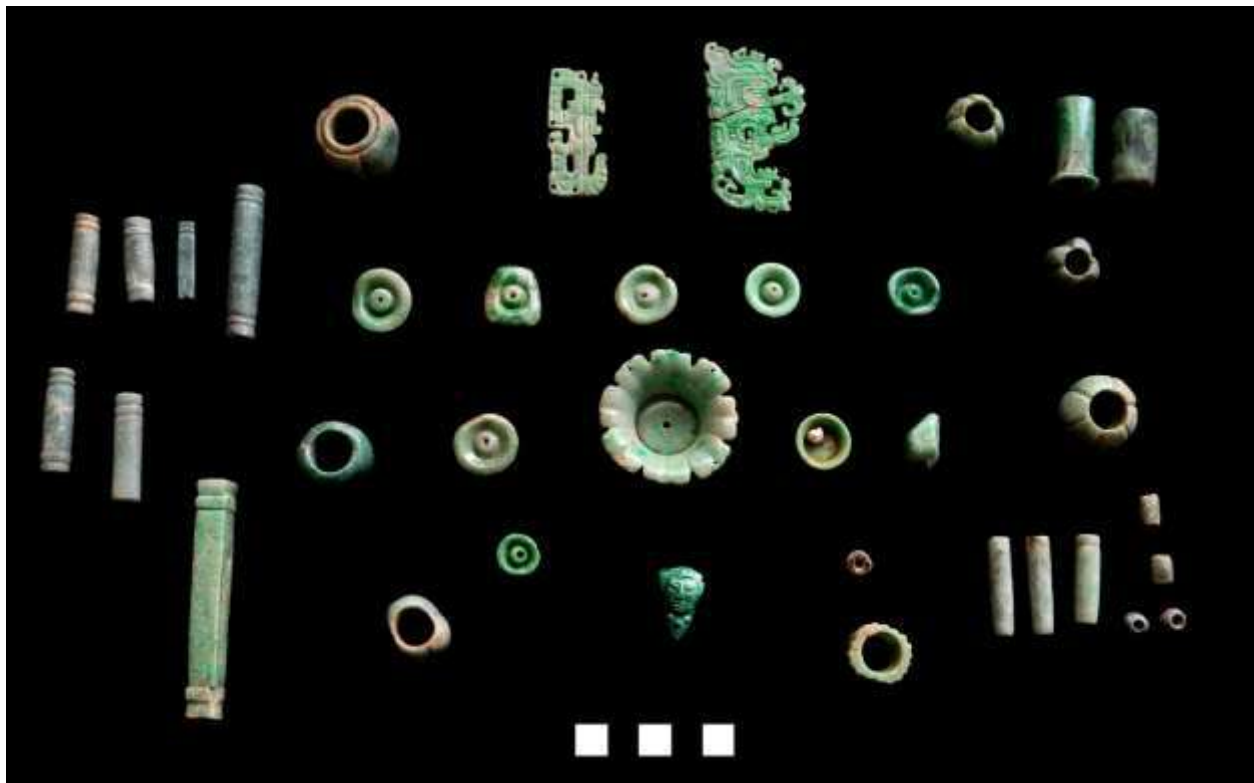


Figura 16.15 Selección de objetos de jade del Entierro 18 (Fotografía por E. Gómez)

Finalmente, cabe recalcar que todos estos datos arquitectónicos, materiales y funerarios sugieren que los gobernantes de La Corona subieron de rango debido a un apoyo contundente de la dinastía de *Kaan*, ya sea de forma directa o indirecta. En cierta manera, estos cambios en La Corona tan coordinados y alineados sugieren que la alianza inscrita en el registro epigráfico identificaba una relación muy estrecha, desmintiendo a la vez la idea que cada sitio Maya era una isla políticamente autónoma. Es muy posible pensar entonces en La Corona como una extensión territorial del Reino *Kaan* hacia el sur y oeste. Si fuera cierto, se tendrá que regresar a los argumentos que favorecen los modelos que dan espacio para la existencia de estados fuertes, centralizados, expansivos y estables.

BIBLIOGRAFÍA

Acuña, Mary Jane

- 2007 “Capítulo 14. CR-ES: Excavaciones de sondeo en los grupos A, B y C de La Corona”. En *Proyecto Arqueológico El Perú-Waka’: Informe No.4, Temporada 2006*, editado por H. Escobedo y D. Freidel, pp.457-466. Instituto de Antropología e Historia, Guatemala.
- 2009 “Capítulo VII: Operación CR 11A: Limpieza de trinchera de saqueo en la Estructura 13R-9”. En *Proyecto Regional Arqueológico La Corona: Informe Final Temporada 2008*, editado por Marcello Canuto y Tomás Barrientos, pp.109-128. Instituto de Antropología e Historia, Guatemala.

Adams, Richard E. W. y Woodruff D. Smith

- 1981 *Feudal Models for Classic Maya Civilization. In Lowly Maya Settlement Patterns*, editado por W. A. Ashmore, pp. 335-349. University of New Mexico Press, Albuquerque.

Andrieu, Chloé

- 2009 *Outils mayas, distribution et production du silex et de l’obsidienne dans les Basses Terres*. Tesis de doctorado. Université Paris Ouest Nanterre-La Défense, Nanterre.
- 2011 “La interpretación económica de los depósitos de lascas”. En *XXIV Simposio Internacional de Arqueología*, editado por B. Arroyo, A. Linares Palma y L. Paiz Aragon, pp. 321-344. MUNAE, Guatemala.
- 2013 “Classic Maya bifacial production at Río Bec y Calakmul, Campeche, Mexico”. En *Journal of Field Archaeology* 38: 21-37.

Andrieu, Chloé y Julien Sion

- e.p. “En un cruce de camino: los intercambios en Naachtun vistos desde el análisis del material lítico”. En *Naachtun-Uxul en el contexto de las tierras bajas mayas y más allá*, editado por P. Nondédéo y D. Michelet. Centros de Estudios Maya, México.

Andrews, George

- 1975 *Maya Cities: Place Making y Urbanization*. Norman: University of Oklahoma Press.

Aoyama, Kazuo

- 2007 “Elite Artists y Craft Producers in Classic Maya Society: Lithic Evidence from Aguateca, Guatemala”. En *American Antiquity* 18: 3–26.

Arnauld, Charlotte y Ernesto Arredondo

- 2002 “Plaza Principal Estructuras 6E-3 y 6E-1. Excavaciones y Descripción, Operación 123”. En *Proyecto Petén Noroccidente, Informe No. 4*, editado por V. Breuil-Martínez, T. Saint-Dizier y S. López. Guatemala: CEMCA.

Arredondo, Ernesto

- 2010 *Archaeological Investigations of a Walled Compound at Naachtun: architecture, politics y warfare*. Tesis doctoral, Escuela de Arqueología, Facultad de Ciencias Sociales, Universidad La Trobe, Victoria, Australia.
- 2014 *Cronograma General y Propuesta del Plan de Trabajo del Proyecto “Caracterización arqueológica de estructuras principales del sitio arqueológico Las Guacamayas”*, Proyecto F13/2014/FONACON. Fondo Nacional para la Conservación de la Naturaleza.

Ashmore, Wendy

- 1981 "Some Issues of Method y Theory in Lowly Maya Settlement Archaeology". En *Lowly Maya Settlement Patterns*, editado por W. Ashmore, pp. 37-69. Albuquerque: University of New Mexico Press.
- 1989 "Construction y Cosmology: politics y ideology in lowly Maya settlement patterns. En *Word y Image in Maya Culture: Explorations in Language, Writing y Representation*, editado por W.H Hanks y D. S. Rice, pp. 272-286. Salt Lake City: University of Utah Press.
- 1991 "Site-planning principles y concepts of directionality among the ancient Maya". En *Latin American Antiquity*, 2: 199-226.
- 1992 "Deciphering Maya Architectural Plans". En *New Theories on the Ancient Maya*, editado por E.C. Damien y R. J. Sharer, pp. 173-184. Philadelphia: University Museum Publications, University of Pennsylvania.
- 2004 "Ancient Maya Lyscapes". En *Continuities y Changes in Archaeology: Perspectives at the Millennium*, editado por C. W. Golden y G. Borgstede, pp. 97-111. New York: Routledge.

Ashmore, Wendy y Gordon R. Willey

- 1981 "A Historical Introduction to the Study of Lowly Maya Settlement Patterns". En *Lowly Maya Settlement Patterns*, editado por W. Ashmore, pp. 3-18. Albuquerque: University of New Mexico Press.

Ball, Joesph W.

- 1977 *The Archaeological Ceramics of Becan, Campeche, Mexico*. Middle American Research Institute, Publication 43. Tulane University, New Orleans.

Ball, Joseph W. y Jennifer T. Taschek

- 1991 "Late Classic Lowly Maya Political Organization y Central Place Analysis: New Insights from the Upper Belize Valley". En *Ancient Mesoamerica* 2:149-165.

Baron, Joanne

- 2008 "Excavaciones en Estra. 13R-3". En *Proyecto Regional Arqueológico La Corona No. 1, Temporada 2008*, editado por M. A. Canuto y T. Barrientos Q. Yale University y Universidad del Valle, New Haven y Guatemala City.
- 2012 "Operaciones CR14, CR15 y CR17: Excavaciones en el Grupo Coronitas, Estructuras 13R-2, 13R-3, 13R-4 y 13R-5". En *Proyecto Regional Arqueológico La Corona No. 4, Temporada 2011*, Editado por T. Barrientos Q., M. A. Canuto y J. Ponce, pp. 231-264. Tulane University y Universidad del Valle, Guatemala, New Orleans y Guatemala City.
- 2013 *Patrons of La Corona: Deities y Power in a Classic Maya Community*. PhD thesis, Department of Anthropology, University of Pennsylvania, Philadelphia.

Barrientos, Isaac, Julien Sion, Chloé Andrieu, Daniel Salazar y Julio Cotom

- s/f "Evidencias de reingreso a los espacios sepulcrales en grupos habitacionales del Clásico Tardío-Terminal en Naachtun, Petén, Guatemala". *Ponencia presentada en el XXVIII Simposio de Investigaciones arqueológicas en Guatemala, 2014*, Museo Nacional de Arqueología y Etnología, Guatemala. En preparación.

Barrientos Q., Tomás y Marcello A. Canuto

- 2010 "Proyecto Arqueológico La Corona, Resultados de las Investigaciones en 2009". En *XXIII Simposio de Investigaciones Arqueológicas en Guatemala, 2009*, editado por B. Arroyo, A. Linares Palma y L. Paiz Aragón, pp. 402-419. Asociación Tikal, Guatemala.

- Boot, Erik
2011 "A New La Corona Panel". En *The PARI Journal* XII(2):1-7.
- Boucher, Jeanne
1966 *Sculpture Maya*. Galerie Jeanne Bucher, Paris.
- Braswell, Geoffrey E.
2013 "Ancient obsidian procurement y production in the Petén Campechano: Uxul y Calakmul during the Early Classic to Terminal Classic Periods". En *Indiana* 30: 149-171.
- Braswell, Geoffrey E., Christian M. Prager, Cassyra R. Bill, Sonia A. Scwake y Jennifer B. Braswell
2004 *The Rise of Secondary States in the Southeastern Periphery of the Maya World: A Report on Recent Archaeological and Epigraphic Research at Pusilha, Belize*. *Ancient Mesoamerica* 15:219-233.
- Braswell, Geoffrey E, Joel D. Gunn, Maria del Rosario Dominguez Carrasco, William J. Folan, Loraine A. Fletcher, Abel Morales Lopez y Michael D. Glascock
2004 "Defining the Terminal Classic at Calakmul". En *The Terminal Classic in the Maya Lowlys, Collapse, Transition, y Transformation*, editado por A. A. Demarest, P. M. Rice, D. S. Rice, pp. 162-194. University Press of Colorado, Boulder.
- Breuil-Martínez, Veronique y Laura Gámez
2004 *Proyecto Petén Noroccidente (PNO). Informe de la 6ª Temporada de Campo 2004 en los sitios arqueológicos de Zapote Bobal y La Joyanca, Municipio de La Libertad, Petén, Guatemala*, editado por V. Breuil-Martínez y L. Gámez. Guatemala: CEMCA.
- Buikstra, Jane E. y Douglas H. Ubelaker
1994 *Styads for Data Collection from Human Skeletal Remains*. Arkansas Archeological Survey Research Series No. 44. Arkansas Archeological Survey, Fayetteville, Arkansas.
- Burgos, Pedro Pablo
2013 *Oficio 021-2013. Ref. EPPBT*, dirigido a DEMOPRE y entregado el 1 de abril de 2013.
- Bustamante, Eduardo
2013 "Operación CR-20: Excavaciones en el Palacio de La Corona, Temporada 2012". En *Informe Final: Temporada 2012*. Editado por T. Barrientos, M. Canuto, y J. Ponce, pp. 57-78. Instituto de Antropología e Historia, Guatemala.
2014 "Operaciones CR-20E y CR-20R: Excavaciones en los Túneles del Palacio de La Corona". En *Informe Final: Temporada 2013*. Editado por M. Canuto, T. Barrientos, y J. Ponce. pp. 21-40. Instituto de Antropología e Historia, Guatemala.
- Cajas, María Antonieta
2012 "Capítulo X. Operación 11B: Excavaciones en la Estructura 13R-9, Temporada 2011". En *Proyecto Regional Arqueológico La Corona: Informe Final Temporada 2011*, editado por T. Barrientos, M. Canuto y J. Ponce, pp. 265-278. Instituto de Antropología e Historia, Guatemala.
2013 "Capítulo VII. Operaciones CR11D y CR11C: Excavaciones en la Estructura 13R-9, Temporada 2012". En *Proyecto Regional Arqueológico La Corona: Informe Final Temporada 2012*, editado por T. Barrientos, M. Canuto y J. Ponce, pp. 125-140. Instituto de Antropología e Historia, Guatemala.

2014 “Operación CR32: Excavaciones en las Estructuras 13Q-2 y 13Q-25, Temporada 2013”. En *Proyecto Arqueológico La Corona: Informe Final Temporada 2013*, editado por T. Barrientos, M. Canuto y J. Ponce, pp. 61-82. Instituto de Antropología e Historia, Guatemala.

Canuto, Marcello A. y Tomás Barrientos Q.

2009 “Proyecto Regional Arqueológico La Corona: Objetivos generales y resultados preliminares de las investigaciones en el ‘Sitio Q’”. En *XXII Simposio de Investigaciones Arqueológicas en Guatemala, 2008*, editado por J. P. Laporte, B. Arroyo y H. Mejía, pp. 738-758. Ministerio de Cultura y Deportes, Instituto de Antropología e Historia, Asociación Tikal, Fundación Arqueológica del Nuevo Mundo, Guatemala.

2011 “La Corona: un acercamiento a las políticas del reino Kaan desde un centro secundario del noroeste del Peten”. En *Estudios de cultura maya*, Vol. 37, pp. 11-43. UNAM, Mexico, D.F.

2013 “La Corona: Una Adivinanza Envuelta En Un Misterio Dentro De Un Engima”. En *XXVI Simposio de Investigaciones Arqueológicas en Guatemala, 2012*, editado por B. Arroyo, L. Paíz Aragón y H. Mejía. Museo Nacional de Arqueología y Etnología, Guatemala.

2014 “Hallazgos e interpretaciones recientes en el sitio La Corona y el Noroccidente de Petén”. En *XXVII Simposio de Investigaciones Arqueológicas en Guatemala, 2012*, editado por B. Arroyo, L. Paíz Aragón y H. Mejía. Museo Nacional de Arqueología y Etnología, Guatemala.

Canuto, Marcello A., Tomás Barrientos Q., Mary Jane Acuña, Carlos Chiriboga y Caroline Parris

2011 “Siguiendo las Huellas del Reino Kan: Estudios Regionales y Definición de Rutas de Comunicación en el Noroccidente de Petén”. En *XXIV Simposio de Investigaciones Arqueológicas en Guatemala, 2010*, editado por B. Arroyo, L. Paíz Aragón, A. Linares Palma y A. L. Arroyave, pp. 320-335. Museo Nacional de Arqueología y Etnología, Guatemala.

Canuto, Marcello A., Tomás Barrientos Q., Joanne Baron, Yann Desailly-Chanson, Lilliana Padilla, Jocelyn Ponce y Rodrigo Guzmán

2012 “Hallazgos e Interpretaciones Recientes en el Sitio La Corona”. En *XXV Simposio de Investigaciones Arqueológicas en Guatemala, 2011*, editado por B. Arroyo, L. Paíz Aragón y H. Mejía, Museo Nacional de Arqueología y Etnología, Guatemala.

Carballo David M.

2013 “The Social Organization of Craft Production y Interregional Exchange at Teotihuacan”. En *Merchant, Markets, y Exchange in the Precolumbian World*, editado por K. G. Hirth, J. Pillsbury, pp. 113-140. Dumbarton Oaks Precolumbian Symposia y Colloquia, Dumbarton Oaks.

Chase, Arlen F. y Diane Z. Chase

1996 *More than Kin y King: Centralized Political Organization among the Late Classic Maya*. *Current Anthropology* 37:803-810.

Chase, Diane y Arlen Chase

2005 “Secular, sagrado y ‘revisitado’: La profanación, alteración y reconsagración de los antiguos entierros mayas”. En *Antropología de la Eternidad: la muerte en la cultura maya*, editado por A. Ciudad, M. Ruz y M. Iglesias, pp. 255-277. Universidad Nacional Autónoma de México.

- Chatelain, David, Maxime Lamoureux St-Hilaire, y Evan Parker
 2013 “Investigación arqueológica en La Cariba”. En *Proyecto Regional Arqueológico La Corona: Informe Final Temporada 2012*, editado por Tomás Barrientos Q., Marcello A. Canuto, y Jocelyne Ponce, pp. 47-56. Instituto de Antropología e Historia, Guatemala.
- Chauchat Claude y Jacques Pélegrin
 2004 *Projectile Point Technology y Economy, A Case Study from Paijan, North Coastal Peru*. Centre for the Study of First Americans, Texas A&M University Press, College Station TX.
- Clark John E., Douglas Donne Bryant
 1997 “Technological Typology of Prismatic Blades y Debitage from Ojo de Agua, Chiapas, Mexico”. En *Ancient Mesoamerica* 8: 111-136.
- Coe, Michael D.
 1973 *The Art of the Maya Scribe*. Grolier Club, New York
- Consejo de Áreas Protegidas (CONAP)
 s.f. “Integrantes del Consejo de Seguridad Nacional y de la Secretaria de Asuntos Estratégicos de la Presidencia de la República de Guatemala, conjuntamente con El CONAP, Visitan la Reserva de Biosfera Maya”. Página web visitada en agosto de 2014.
<http://www.conap.gob.gt/index.php/servicios-en-linea/noticias/240-integrantes-del-consejo-de-seguridad-nacional-y-de-la-secretaria-de-asuntos-estrategicos-de-la-presidencia-de-la-republica-de-guatemala-conjuntamente-con-el-conap-visitando-la-reserva-de-biosfera-maya.html>
- Culbert, T. Patrick
 1993 *Tikal Report No. 25, Part A, The Ceramics of Tikal: Vessels from the Burials, Caches y Problematic Deposits*. The University Museum, University of Pennsylvania, Philadelphia.
- De la Garza, Mercedes, Guillermo Bernal y Martha Cuevas
 2012 *Palenque-Lakamha: una presencia inmortal del pasado indígena*. Fondo de Cultura Económica, México.
- Delvendahl, Kai
 2010 “Los conjuntos palaciegos reales de las tierras bajas mayas del sur: una evaluación de los datos arqueológicos e iconográficos”. En *Estudios de Cultura Maya* 36:87-116.
- Demarest, Arthur A.
 1992 *Ideology in Ancient Maya Cultural Evolution. In Ideology y Pre-Columbian Civilizations*, editado por A. A. Demarest y G. W. Conrad. School of American Research Press, Santa Fe, NM.
- Demarest, Arthur, Kim Morgan, Claudia Wolley, y Héctor Escobedo
 2003 “The Political Acquisition of Sacred Geography: The Murciélagos Complex at Dos Pilas”. En *Maya Palaces y Elite Residences: an Interdisciplinary Approach*, editado por J. Joyce, pp. 120-153. Austin: University of Texas Press.

- Demarest, Arthur, Tomás Barrientos y Federico Fahsen
 2006 “El Apogeo y el Colapso del Reinado de Cancuen: Resultados e Interpretaciones del Proyecto Cancuen, 2004- 2005”. En *XIX Simposio de Investigaciones Arqueológicas en Guatemala, 2005*, editado por J. P. Laporte, B. Arroyo y H. Escobedo, pp. 757-768. Guatemala: Museo Nacional de Arqueología y Etnología.
- Desailly-Chanson, Yann
 2012 “Operación CR33: Excavación del Entierro 3, Estructuras 13Q-3”. En *Proyecto Arqueológico La Corona: Informe Final Temporada 2011*, editado por T. Barrientos, M. Canuto y J. Ponce, pp. 201-230. Instituto de Antropología e Historia, Guatemala.
- Fernández, Enrique
 2011 “Excavaciones en la Estructura 13R-10 del Grupo 13R-II”. En *Proyecto Arqueológico La Corona: Informe Final, Temporada 2010*, editado por T. Barrientos, M. Canuto y M.J. Acuña, pp.277-304. Instituto de Antropología e Historia, Guatemala.
- Fash, Barbara, William Fash, Sheree Lane, Rudy Larios, Linda Schele, Jeffrey Stomper, y David Stuart
 1992 “Investigations of a Classic Maya Council House at Copán”. En *Journal of Field Archaeology* 19:419-442.
- Fitszimmmons, James
 2009 *Death y the Classic Maya Kings*. University of Texas Press, Austin
- Foias, Antonia E.
 2013 *Ancient Maya Political Dynamics*. Maya Studies series. University Press of Florida, Gainesville.
- Folan, William J., Joel D. Gunn, y Maria del Rosario Dominguez Carrasco
 2001 “Triadic Temples, Central Plazas y Dynastic Palaces: A Diachronic Analysis of the Royal Court Complex, Calakmul, Campeche, Mexico”. En *Royal Courts of the Ancient Maya Volume 2: Data y Case Studies*, Editado por T. Inomata y S. D. Houston. pp.223-265. Westview Press, Boulder.
- Folan, William J., Joyce Marcus, Sophia Pincemin, María del Rosario Domínguez, Laraine Fletcher y Abel Morales López
 1995 Calakmul: New Data from an Ancient Maya Capital in Campeche, Mexico. En *Latin American Antiquity*, 6(4): 310-334.
- Forné, Mélanie
 2006 *Cronología cerámica en La Joyanca, Noroccidente del Petén, Guatemala*. BAR International Series, N°17, Oxford.
- Forsyth, Donald F.
 1989 *The Ceramics of El Mirador, Petén, Guatemala. El Mirador Series, Part 4*. Papers of the New World Archaeological Foundation, No. 63, Brigham Young University, Provo.
- Fox, John W., Garrett W. Cook, Arlen F. Chase y Diane Z. Chase
 1996 “Questions of Political y Economic Integration: Segmentary versus Centralized States among the Ancient Maya”. En *Current Anthropology* 37(5):795-801.

Garrido, Lilian

1998 "PN 12: Excavaciones de Sondeo en La Plaza del Grupo Oeste". En *Proyecto Arqueológico Piedras Negras, Informe Preliminar No. 2, Segunda temporada, 1998*, editado por H. Escobedo y S. Houston. pp. 55-81. Guatemala: Universidad de Brigham Young y Universidad del Valle de Guatemala.

Gifford, James

1960 "The Type-Variety Method of Ceramic Classification as an Indicator of Cultural Phenomena". En *American Antiquity* 25(3):341-347.

Gómez, Erika

2010 "Operaciones CR11 y CR13: Excavaciones en el Sector Oeste del Grupo 13R de La Corona". En *Proyecto Arqueológico La Corona: Informe Final, Temporada 2009*, editado por M. Canuto y T. Barrientos, pp.159-198. Instituto de Antropología e Historia, Guatemala.

Grazioso, Liwy

1993 "Entierros Clásico Tardío de un grupo residencial en el noreste de Petén. Ponencia presentada". En *VI Simposio de Investigaciones arqueológicas en Guatemala, 1992*, editado por J.P. Laporte, H. Escobedo y S. Villagrán, pp. 122-132. Museo Nacional de Arqueología y Etnología de Guatemala.

Graham, Ian

1975 *Corpus of Maya Hieroglyphic Inscriptions, Volume 1: Introduction*. Peabody Museum, Harvard University.

1997 "Mission to La Corona". En *Archaeology* 50(5):46

2010 *The Road to Ruins*. University of New Mexico Press, Albuquerque.

Graham, Ian y Erick Von Euw

1975 *Corpus of Maya Hieroglyphic Inscriptions, Vol. 2, Parte 1*. Cambridge: Peabody Museum of Archaeology y Ethnology, Harvard University.

Grube, Nikolai

2000 "The City-States of the Maya". En *A Comparative Study of thirty City-State Cultures*, editado por H. M. Hansen, pp. 547-565. Royal Danish Academy of Sciences y Letters, Copenhagen.

Grube, Nikolai, Kai Delvendahl, Nicolaus Seefeld y Beniamino Volta

2012 "Under the Rule of the Snake Kings: Uxul in the 7th y 8th Century". En *Estudios de Cultura Maya* 40:11-49.

Guderjan, Thomas H.

1998 "The Blue Creek Jade Cache". En *The Sowing y the Dawning: Termination, Dedication, y Transformation in the Archaeological y Ethnographic Record of Mesoamerica*, editado por Shirley Boteler Mock, pp. 81-100. University of New Mexico Press, Albuquerque.

Guenter, Stanley

2009 "Operación 32: Investigaciones en las Estructuras 13Q-2 y 13Q-6". En *Proyecto Regional Arqueológico La Corona No. 1, Temporada 2008*, editado por M. A. Canuto y T. Barrientos Q., pp. 97-108. Yale University y Universidad del Valle, Guatemala, New Haven y Guatemala City.

2010 “Operación CR32: Investigaciones en las Estructuras 13Q-2, 13Q-2A y 13Q-6”. En *Proyecto Arqueológico La Corona: Informe Final Temporada 2009*, editado por M. Canuto y T. Barrientos, pp. 73-98. Instituto de Antropología e Historia, Guatemala.

Guirola, Cristina

2011 “Operación CR32D: Excavaciones en la estructura 13Q-2A”. En *Proyecto Arqueológico La Corona: Informe Final Temporada 2010*, editado por T. Barrientos, M. Canuto y M. J. Acuña, pp. 195-210. Instituto de Antropología e Historia, Guatemala.

Guirola, Cristina y Christopher Martínez

2012 “Operación CR32: Excavaciones realizadas en la Estructura 13Q-2, Temporada 2011” En *Proyecto Arqueológico La Corona: Informe Final Temporada 2011*, editado por T. Barrientos, M. Canuto y J. Ponce, pp. 173-200. Instituto de Antropología e Historia, Guatemala.

Guirola, Cristina y Olga Slowing

2013 “Operación CR32: Excavaciones en la Estructura 13Q-2, Temporada 2012”. En *Proyecto Regional Arqueológico La Corona No. 5, Temporada 2012*, editado por T. Barrientos Q., M. A. Canuto y J. Ponce, pp. 79-108. Tulane University y Universidad del Valle, Guatemala, New Orleans y Guatemala City.

Hammond, Norman

1991 “Inside the Black Box: Defining the Maya Polity”. En *Classic Maya Political History: Hieroglyphic y Archaeological Evidence*, editado por T. P. Culbert, pp. 253-284. Cambridge University Press, Cambridge.

Hansen, Richard

1998 “Continuity y Disjunction: The Pre-Classic Antecedents of Classic Maya Architecture”. En *Function y Meaning in Classic Maya Architecture*, editado por S. Houston, pp. 49-122. Washington, D.C.: Dumbarton Oaks Research Library y Collection.

2011 “The First Cities- The Beginnings of Urbanization y State Formation in the Maya Lowlys”. En *Maya: Divine Kings of the Rain Forest*, editado por Nikolai Grube, pp. 50-65. Germany: Koenemann.

Harrison, Peter

1970 *The Central Acropolis, Tikal, Guatemala: A Preliminary Study of the Functions of Its Structural Components During the Late Classic Period*. Unpublished doctoral dissertation, University of Pennsylvania.

Hearth, Nicholas F., Scott L. Fedick

2010 “Defining the Chert Paucity Problem in the Northern Maya Lowlys, a First Approximation”. En *Technology of the Maya Civilization, Political Economy and beyond in Lithic Studies*, editado por Z. X. Hruby, G. E. Braswell & O. Chinchilla Mazariegos, pp. 69-75. Equinox, Londres.

Hester, Thomas, Robert F. Heizer y John A. Graham

1988 *Métodos de Campo en Arqueología*. México: Fondo de Cultura Económica.

Houston, Stephen

1997 “Estados débiles y estructura segmentaria: La organización interna de las entidades políticas mayas”. En *Apuntes Arqueológicos* 5(1):67-92.

1998 *Function y Meaning in Classic Maya Architecture*, editado por S. Houston. Washington, D.C.: Dumbarton Oaks Research Library y Collection.

Hruby, Zachary.

2007 "Ritualized Chipped-Stone Production at Piedras Negras, Guatemala". En *Rethinking Craft Specialization in Complex Societies: Archaeological Analyses of the Social Meaning of Production*, editado por Z. X. Hruby & R. K. Flad, pp. 68-87. Archaeological Papers of the American Anthropological Association No. 17, Arlington, VA.

Iannone, Gyles

2009 "The Jungle Kings of Minanha: Constellations of Authority y the Ancient Maya Socio-Political Lyscape". En *Archaeological Inviestigations in the Eastern Maya Lowlys: Papers of the 2008 Belize Archaeology Symposium*, editado por J. Morris, S. Jones, J. Awe, G. Thompson y C. Helmke, pp. 33-42. Research Reports in Belizean Archaeology. vol. 6. Institute of Archaeology, National Institute of Culture y History, Belmopan, Belize.

Iannone, Gyles y John Morris

2009 "Ancient Maya Socio-Political Organization: Perspectives form Belizean Archaeology". En *Archaeological Inviestigations in the Eastern Maya Lowlys: Papers of the 2008 Belize Archaeology Symposium*, editado por J. Morris, S. Jones, J. Awe, G. Thompson y C. Helmke, pp. 3-14. Research Reports in Belizean Archaeology. vol. 6. Institute of Archaeology, National Institute of Culture y History, Belmopan, Belize.

Inizan, Marie Louise, M. Reduron, Hélène Roche y Jacques Tixier

1995 *Technologie de la pierre taillée*. CREP, Meudon.

Inomata, Takeshi y Daniel Triadan

2010 *Burned Palaces y Elite Residences of Aguateca: Excavations y Ceramics*. The University of Utah Press, Salt Lake City.

Inomata, Takeshi y Stephen Houston

2001 "Opening the Royal Maya Court". En *Royal Courts of the Ancient Maya, Volume I: Theory, Comparison, y Synthesis* Editado por T. Inomata y S. D. Houston. pp. 3-26. Westview Press, Boulder.

2001a *Royal Courts of the Ancient Maya. Volume One: Theory, Comparison, y Synthesis*. Colorado: Westview Press.

2001b *Royal Courts of the Ancient Maya, Volume Two: Data y Case Studies*. Colorado: Westview Press.

Joyce Christie, Jessica, ed.

2003 *Maya Palaces y Elite Residences. An Interdisciplinary Approach*, editado por J. Joyce Christie. Austin, Texas: University of Texas Press.

Kowalski, Jeff Karl, ed.

1999 *Mesoamerican Architecture as A Cultural Symbol*, editado por J. K. Kowalski. New York: Oxford University Press.

Kubler, George

1961 "The Design of Space in Maya Architecture". En *Miscellanea Paul Rivet: octogenario dictata*, pp. 515-531. México D.F.: Universidad Autónoma de México.

Lamoureux St-Hilaire, Maxime

2014 "Operación CR20F: Excavaciones en la Estructura 13Q-4F en el Patio Norte del Palacio de La Corona". En *Proyecto Arqueológico La Corona: Informe Final, Temporada 2013*, Editado por M. Canuto, T. Barrientos, y J. Ponce. pp. 41-60. Instituto de Antropología e Historia, Guatemala.

Laporte, Juan Pedro

2007 *La secuencia cerámica del Sureste del Petén: tipos, cifras, localidades, y la historia del asentamiento. Monografía 3*. Atlas Arqueológico de Guatemala, Dirección General del Patrimonio Cultural y Natural, Ministerio de Cultura y Deportes. Guatemala.

Laporte, Juan Pedro, y Vilma Fialko

1995 "Un Reencuentro con Mundo Perdido, Tikal, Guatemala". En *Ancient Mesoamerica*, 6(1): 41-94.

Leroi-Gourhan Yré

1945 *Milieu et techniques*. Albin Michel, Paris.

Liendo Stuardo, Rodrigo

2003 "Access Patterns in Maya Royal Precincts". En *Maya Palaces y Elite Residences: an Interdisciplinary Approach*, editado por J. Joyce, pp. 184-203. Austin: University of Texas Press.

Lucero, Lisa J.

1999 "Classic Lowly Maya Political Organization". En *Journal of World Prehistory* 13(2):211-263.

Marken, Damien

2010 "Programa de Mapeo PRALC 2009: Trabajos en la Zona Este y Oeste de La Corona y el Sitio La Cariba". En *Proyecto Arqueológico La Corona, Informe Final Temporada 2009*, editado por M. Canuto y T. Barrientos, pp. 25-38. Instituto de Antropología e Historia, Guatemala.

Marcus, Joyce

1993 *Ancient Maya Political Organization. In Lowly Maya Civilization in the Eighth Century A.D.*, editado por J. A. Sabloff y J. S. Henderson, pp. 111-184. Dumbarton Oaks, Washington, D.C.

Martin, Simon

2008 "Wives y Daughters on the Dallas Altar". En Mesoweb (artículo en línea).

<http://www.mesoweb.com/articles/martin/Wives&Daughters.pdf>

Mathews, Peter

1998 "Site Q Sculptures". En *Archaeology* (artículo en línea).

<http://archive.archaeology.org/online/features/siteq>

Matteo, Sebastian

2010 "Un monumento atribuido a La Corona, Peten, Guatemala". En *Mexicon*, vol. XXXII: 102-4.

Moholy-Nagy, Hattula

2003 *The artifacts or Tikal: utilitarian artifacts y unworked material*, Tikal Report n°27, Part B. University of Pennsylvania y Museum of Archaeology y Anthropology, Philadelphia.

Moorrees, Coenraad F.A., Elizabeth A. Fanning, y Edward E. Hunt, Jr.

1963 “Age variation of formation stages for ten permanent teeth”. En *Dental Research* 42(6): 1490–1502.

Muñoz, Gaspar y Cristina Vidal

2004 “Análisis comparativo de los diferentes sistemas constructivos en el área maya”. En *XVII Simposio de Investigaciones arqueológicas en Guatemala, 2003*, editado por J.P. Laporte, B. Arroyo, H. Escobedo y H. Mejía, pp. 736-748. Museo Nacional de Arqueología y Etnología de Guatemala.

Padilla, Liliana

2009 “Operación CR 20 y CR21: Excavaciones en el Palacio de La Corona”. En *Proyecto Arqueológico La Corona: Informe Final, Temporada 2009*, Editado por M. Canuto y T. Barrientos, pp. 39-72. Instituto de Antropología e Historia, Guatemala.

2010 “Operación CR 20: Excavaciones en el Palacio de La Corona”. En *Proyecto Arqueológico La Corona: Informe Final, Temporada 2009*, editado por M. Canuto y T. Barrientos, pp. 151-172. Instituto de Antropología e Historia, Guatemala.

Padilla, Liliana y Alejyra Roche

2012 “Operación CR20: Excavaciones en el Palacio de La Corona, Temporada 2011”. En *Informe Final: Temporada 2011* Editado por T. Barrientos, M. Canuto, y M. J. Acuña. pp. 145-166. Instituto de Antropología e Historia, Guatemala.

Parris, Caroline A. y Tomas Barrientos

2014 “Análisis Preliminar de las Vasijas provenientes de la Estructura 13R-10, Temporada 2013”. En *Proyecto Regional Arqueológico La Corona: Informe Final Temporada 2013*, editado por T. Barrientos, M. Canuto y J. Ponce, pp. 155-178. Instituto de Antropología e Historia, Guatemala.

Ponce Stokvis, Jocelyne

2013 “Operación CR16: Excavaciones en la Estructura 13R-10, Temporada 2012”. En *Proyecto Arqueológico La Corona: Informe Final, Temporada 2012*, editado por T. Barrientos, M. Canuto y J. Ponce, pp.141-186. Instituto de Antropología e Historia, Guatemala.

2014a “Operación CR16: Excavaciones en la Estructura 13R-10, Temporada 2013”. En *Proyecto Arqueológico La Corona: Informe Final, Temporada 2013*, editado por T. Barrientos, M. Canuto y J. Ponce, pp.83-144. Instituto de Antropología e Historia, Guatemala.

2014b “Estructura 13R-10 de La Corona. Un área de actividad de la élite maya prehispánica durante el clásico tardío y terminal”. En *XXVII Simposio de Investigaciones Arqueológicas en Guatemala*, Tomo 2, pp. 975-986. Museo Nacional de Arqueología y Etnología, Guatemala.

Ponce, Jocelyne y Camilo Nájera

2012 “Capítulo IX. Operación CR16: Excavaciones en la Estructura 13R-10, Temporada 2011”. En *Proyecto Arqueológico La Corona: Informe Final, Temporada 2011*, editado por T. Barrientos, M. Canuto y J. Ponce, pp.279-318. Instituto de Antropología e Historia, Guatemala.

- Ponce, Jocelyne y María Antonieta Cajas
 2013 “El grupo 13R-II de La Corona: El contexto arqueológico de la escalinata glífica 2”. En *XXVI Simposio de Investigaciones Arqueológicas en Guatemala*, Guatemala.
- Pontaza, Jorge y Alejandro Gonzales
 2013 “Excavacioned en el Grupo 14S-1 ‘El Caballito’, Temporada 2012”. En *Proyecto Regional Arqueológico La Corona: Informe Final Temporada 2012*, editado por T. Barrientos, M. Canuto y J. Ponce, pp. 259-278. Instituto de Antropología e Historia, Guatemala.
- Prensa Libre
 2014 *Condenan ataque a Guardarecursos*. Por R. Escobar. Versión digital visitada en agosto de 2014.
http://www.prensalibre.com/peten/Condenan-ataque-guardarrecursos_0_1130886933.html
- Proskouriakoff, Tatiana
 1946 *An Album of Maya Architecture*. Washington D.C.: Carnegie Institution of Washington.
 1960 “Historical Implications of a Pattern of Dates at Piedras Negras, Guatemala”. En *American Antiquity* 25:454-475
- Reese-Taylor, Kathryn
 2002 “Ritual Circuits as Key Elements in Maya Civic Center Designs”. En *Heart of Creation: The Mesoamerican World y the Legacy of Linda Schele*, editado por Yrea Stone, pp. 143-165. University of Alabama Press, Tuscaloosa.
- Rovner, Irwin y Suzanne Lewenstein
 1997 *Maya stone tools of Dzibilchaltun, Yucatán, y Becan y Chicanna, Campeche*. Middle American Research Institute, Tulane University, Nueva Orleans.
- Salazar Avendaño José Clemente
 1994 “Los artefactos líticos de Dzibanche, Quintana Roo, Análisis preliminar”. En *Informe del Proyecto Arqueológico Sur de Quintana Roo Dzibanche 1993-1994*, editado por E. Nalda, L. E. Campaña, INAH, Mexico.
- Shele, Linda y Peter Mathews
 1999 *The Code of Kings: The language of seven sacred Maya Temples y Tombs*. New York: Touchstone.
- Smith, Robert E.
 1955 *Ceramic Sequence at Uaxactun, Guatemala*. Middle American Research Institute, Publication 20. Tulane University, New Orleans.
- Stuart, David
 2001 “Las ruinas de La Corona y la identificación del ‘Sitio Q’”. Ponencia presentada en el XV Simposio de Investigaciones Arqueológicas en Guatemala, Julio 2001.
 1987 *Ten Phonetic Syllables*. Research Reports on Ancient Maya Writing, 14. Washington D.C.: Center for Maya Research.
- Stuart, David e Ian Graham
 2003 *Corpus of Maya Hieroglyphic Inscriptions, Volume 9, Number 1: Piedras Negras*. Peabody Museum, Harvard University.

Stuart, David y Joanne Baron

2013 “Análisis preliminar de las inscripciones de la Escalinata Jeroglífica 2 de La Corona”. En *Proyecto Regional Arqueológico La Corona: Informe Final Temporada 2012*, editado por T. Barrientos, M. Canuto y J. Ponce, pp. 187-220. Instituto de Antropología e Historia, Guatemala.

Suhler, Charles, Traci Arden, David Freidel, y Dave Johnstone

2004 “The Rise y Fall of Terminal Classic Yaxuna, Yucatán, México”. En *The Terminal Classic in the Maya Lowlys: Collapse, Transition y Transformation*, editado por A. Demarest, P. Rice y D. Rice, pp. 450-484. Colorado: University Press.

Velásquez, Antolín

2011 “Operación CR32D: Excavaciones en la estructura 13Q-2”. En *Proyecto Arqueológico La Corona: Informe Final Temporada 2010*, editado por T. Barrientos, M. Canuto y M. Acuña, pp. 173-194. Instituto de Antropología e Historia, Guatemala

Willey, Gordon

1953 *Prehistoric Settlement Patterns in the Virú Valley, Peru*. Washington D. C.: Smithsonian Institution, Bureau of American Ethnology.

1964 “Problems concerning prehistoric settlement patterns in the Maya Lowlys”. En *Prehistoric Settlement Patterns in the New World*, editado por G. R. Willey, pp. 107-114. Viking Fund Publications. New York : Johnson Reprint Corp.

Willey, Gordon y William R. Bullard, Jr.

1965 “Prehistoric Settlement Patterns in the Maya Lowlys”. En *Handbook of Middle American Indians, Vol. 2*, editado por R. Wauchope y G. R. Willey, pp. 360-377. Austin: University of Texas Press.

Woodfill, Brent y Chloé Andrieu

2012 “Tikal’s Early Classic domination of the Great Western trade route: ceramic, lithic, y iconographic evidence”. En *Ancient Mesoamerica* 23: 189–209.

ANEXO I

Inventario de materiales especiales, Temporada 2014

CONCHA

Operación	Contexto	Nivel	Lote	Cantidad	observaciones
CR-16C-34	Entierro 13	11	12	2	concha nácar tallada
CR-16C-34	Entierro 13	11	12	34	cuentas de concha
CR-16C-34	Entierro 13	11	12	9	cuentas tubulares de concha
CR-16C-34	Entierro 13	11	12	8	cuentas do concha de sección cuadrada
CR-16C-34	Entierro 13	11	12	8	cuentas rectangulares de concha
CR-16C-34	Entierro 13	11	12	5	conchas de caracol
CR-16C-34	Entierro 13	11	12	7	cuentas tubulares de concha
CR-16C-34	Entierro 13	11	12	1	fragmento indeterminado de concha
CR-16C-34	Entierro 13	11	12	19	cuentas de concha
CR-16C-34	Entierro 13	11	12	7	cuentas de concha
CR-16C-34	Entierro 13	11	12	4	concha nácar tallada
CR-16C-34	Entierro 13	11	12	9	cuentas de concha
CR-16C-34	Entierro 13	11	13	14	cuentas de concha
CR-16C-34	Entierro 13	11	12	3	concha nácar tallada
CR-16C-33	ofrenda	9	12	2	cuenta de concha
CR-16C-34	Entierro 13	11	12	3	concha nácar tallada
CR-16C-34	Entierro 13	11	12	2	placa de concha <i>spondylus</i>
CR-16C-34	Entierro 13	11	12	14	cuentas de concha
CR-16C-34	Entierro 13	11	12	2	cuentas de concha
CR-16C-34	Entierro 13	11	12	15	cuentas de concha
CR-16C-34	Entierro 13	11	12	8	cuentas de concha
CR-16C-34	Entierro 13	11	12	1	Concha
CR-32H-19	Entierro 18	19	18	7	conchas <i>spondylus</i>
CR-32H-19	Entierro 18	19	269	1	pendiente de concha
CR-32H-19	Entierro 18	19	252	7	concha nácar tallada
CR-32H-19	Entierro 18	19	18	7	cuentas de concha
CR-32H-19	Entierro 18	19	18	3	colgantes de concha
CR-32H-19	Entierro 18	19	18	7	conchas/cuentas
CR-32H-19	Entierro 18	19	18	80	fragmentos de concha nácar
CR-32H-19	Entierro 18	19	18	22	cuentas de concha
CR-31B-10	Entierro 19		4	5	conchas <i>spondylus</i>
CR-31B-10	Entierro 19		4	1	concha de caracol
CR-31B-10	Entierro 19		4	2	cuentas de concha
CR-11C-4	ofrenda	4	4	1	fragmento de concha de nácar
CR-11C-4	ofrenda	4	4	8	fragmentos de concha nácar
CR-11C-4	ofrenda	4	4	27	fragmentos de concha nácar

CR-11C-4	ofrenda	4	4	20	fragmentos de concha nácar
CR-11C-4	ofrenda	4	4	8	concha nácar tallada
CR-11C-4	ofrenda	4	4	8	fragmentos de concha nácar
cr-11C-1	ofrenda	2	2	1	fragmento de coral
CR-11C-4	ofrenda	4	4	3	fragmento de coral
CR-11C-1	ofrenda	2	2	2	concha
CR-11C-4	ofrenda	4	4	21	fragmentos de concha
CR-11C-4	ofrenda	4	4	5	fragmentos de coral
CR-11C-4	ofrenda	4	4	1	concha
CR-11C-4	ofrenda	4	4	2	caracol
CR-11C.4	ofrenda	4	4	4	fragmentos de concha
CR-11C-4	ofrenda	4	4	5	fragmentos de coral
CR-35C-5	entierro 4		4	3	cuentas de concha
CR-35C-5	entierro 4		4	19	cuentas de concha
CR-35C-5	entierro 4		4	9	fragmentos de concha
CR-35C-5	entierro 4		4	130	cuentas de concha <i>spondylus</i> (naranja)
CR-33A-20	entierro 3	5	9	96	cuentas de concha
CR-33A-20	entierro 3	5	9	7	cuentas de concha
CR-33A-20	entierro 3	5	9	2	Fragmentos de concha
CR-33A-20	entierro 3	5	9	256	cuentas de concha <i>spondylus</i> (morado)
CR-33A-20	entierro 3	5	9	1	fragmento de orejera de concha
CR-33A-20	entierro 3	5	9	4	fragmentos de concha
CR-15A-1a	entierro 6		4	129	fragmentos de concha
CR-33A-20	entierro 3	5	9	6	fragmentos de concha
CR-33A-20	entierro 3	5	9	7	conchas de caracol
CR-33A-20	entierro 3	5	9	7	perla
CR-33A-20	entierro 3	5	9	13	fragmentos de concha nácar
CR-33A-20	entierro 3	5	9	18	fragmentos de concha nácar
CR-33A-20	entierro 3	5	9	3	conchas <i>spondylus</i>
CR-15A-1a	entierro 6		4	4	conchas
CR-15A-1a	entierro 6		4	32	conchas de caracol
CR-15A-1a	entierro 6		4	2	caracol
CR-15A-1a	entierro 6		4	1	concha
CR-15A-1a	entierro 6		4	7	fragmentos de concha
CR-15A-1a	entierro 6		4	11	fragmentos de concha
CR-15A-1a	entierro 6		4	2	fragmentos de concha
CR-15A-1a	entierro 6		4	275	fragmentos de concha de caracol
CR-15A-1a	entierro 6		4	9	fragmentos de concha
CR-15A-1a	entierro 6		4	4	fragmentos de concha
CR-15A-1a	entierro 6		4	12	fragmentos de concha
CR-15A-1a	entierro 6		4	7	fragmentos de concha

CR-15A-1a	entierro 6		4	21	fragmentos de concha
CR-15A-1a	entierro 6		4	5	fragmentos de concha
CR-15A-1a	entierro 6		4	1	fragmento de concha de nácar
CR-15A-1a	entierro 6		4	34	fragmentos de concha
CR-15A-1a	entierro 6		4	9	fragmentos de concha
CR-15A-1a	entierro 6		4	1	fragmento de concha de nácar
CR-15A-1a	entierro 6		4	35	conchas
CR-15A-1a	entierro 6		4	20	fragmentos de concha
CR-15A-1a	entierro 6		4	26	fragmentos de concha
CR-15A-1a	entierro 6		4	10	fragmentos de concha
CR-15A-1a	entierro 6		4	7	conchas de caracol
CR-15A-1a	entierro 6		4	43	fragmentos de concha
CR-15A-1a	entierro 6		4	8	cuentas de concha
CR-15A-1a	entierro 6		4	52	fragmentos de concha
CR-15A-1a	entierro 6		4	9	fragmentos de concha
CR-15A-1a	entierro 6		4	1	fragmento de concha
CR-15A-1a	entierro 6		4	5	fragmentos de concha
CR-15A-1a	entierro 6		4	9	fragmentos de concha
CR-15A-1a	entierro 6		4	108	fragmentos de concha
CR-15A-1a	entierro 6		4	17	conchas
CR-15A-1a	entierro 6		4	21	fragmentos de concha
CR-16A-32	ofrenda	7	10	56	fragmentos de concha
CR-16A-32	ofrenda	7	10	3	fragmentos de cuentas de concha <i>spondylus</i>
CR-16A-45	ofrenda	8	15	25	fragmentos de concha
CR-16C-24b	entierro 9	11	17	236	cuentas de concha
CR-16C-24b	entierro 9	11	17	16	cuentas de concha

FIGURILLAS

Operación	Nivel	Lote	Cantidad	Observaciones
CR-116-3	1		1	fragmento
CR-116-1/3	6		2	fragmento
CR-120A-4	5		1	fragmento
CR-120A-6	3		1	fragmento
CR-120A-3	4		5	fragmento
CR-116-4	3		1	fragmento
CR-116-1	2		1	fragmento
CR-116-3	3		2	fragmento
CR-120A-2	2		1	fragmento
CR-116A-4	6		1	fragmento
CR-116-1	1		1	fragmento

CR-116B-4	3		1	fragmento
CAR-13A-1	7		3	fragmento
CAR-1A-3	3		1	fragmento
CAR-13A-1	6		2	fragmento
CAR-13A-1	11		1	fragmento
CAR-13A-1	5		1	fragmento
CAR-1A-1	10		3	fragmento
CAR-13A-1	9		1	fragmento
CAR-1A-1	9		2	fragmento
CAR-1B-2	1		1	fragmento
CAR-13A-1	3		1	fragmento
CAR-1A-1	4		1	fragmento
CAR-1A-1	5		1	fragmento
CR-200-1	1	7	2	fragmento
CR-20I-1		2	1	fragmento
CR-20H-1		1	1	fragmento
CR-20F-1		3	1	fragmento
CR-31B.9		2	1	fragmento
CR-16A-53	2	3	1	fragmento
CR-16C.32	7	9	1	fragmento
CR-31B-10		2	1	barro modelado
CR-200-1	1	7	1	fragmento
CR-16A-51	1	1	1	fragmento
CR-16A-51	1	1	1	fragmento
CR-31B-7		1	1	fragmento
CR-16A-45	6	13	3	fragmento
CR-16A-45	6	13	1	barro modelado
CR-20F-1		4	1	fragmento
CR-117B-5	2	2	2	fragmento
CR-16A-28	3	6	2	fragmento
CR-117B-6	2	2	1	fragmento
CR-20F-1	2	3	1	fragmento
CR-32B-42	2	2	1	silbato zoomorfo, parcial
CR-41-3	2	1	3	fragmento
CR-14B-22			1	fragmento
CR-42B-1		2	1	fragmento
CR-14A-1		10	1	fragmento
CR-43-9	7	4	1	silbato, fragmento
CR-33A-6		7	1	fragmento
CR-46-2		2	3	fragmento
CR-32D.20		5	1	fragmento

CR-14A-1		2	1	fragmento
CR-41-2		2	1	silbato, parcial y fragmentado
CR-16A-1	2	2	1	fragmento
CR-32D.20		5	1	malacate
CR-33D-1		3	1	fragmento
CR-32D-17		2	1	malacate
CR-42B-2	2	2	1	fragmento

HUESO

Operación	Nivel	Lote	Cantidad	Observaciones
CR-200-1	1	7	2	aguja de hueso, parcial
CR-16C-34	11	12	31	agujas de hueso, fragmentadas
CR-16C-34	11	12	19	hueso tallado, fragmentado
CR-16C-34	11	12	5	aguja de hueso, con texto
CR-16C-34	11	12	12	agujas de hueso, fragmentadas
CR-16C-34	11	12	3	espina de raya
cr-16c-33	9	12	3	espina de raya
CR-16C-34	11	12	4	aguja de hueso
CR16C-34	11	12	1	espina de raya
CR-16C-34	11	12	5	aguja de hueso
CR-16C-34	11	12	3	espina de raya
CR-16C-34	11	12	5	hueso de fauna
CR-16C-34	11	12	1	malacate de hueso
CR-16C-34	11	12	1	malacate de hueso
CR-16C-34	11	12	1	hueso de fauna
CR-16C-34	11	12	1	aguja de hueso
CR-16C-34	11	12	10	espina de raya
CR-16C-34	11	12	2	espina de raya
CR-16C-34	11	12		
CR-16C-34	11	12		

ANEXO II

Inventario y análisis de artefactos de jade

Op.	Unidad	Entierro	Nivel	Lote		Material	Tipo	Color	Cantidad	Peso gr.	Comentario
32	H19	18		1	CR-L75	jade	cuenta	verde gris	1 (2frag)	2.1	
32	H19	18		2	CR-L75	jade	cuenta	verde gris	1	1.56	
32	H19	18		4	CR-L75	jade	cuenta	verde gris	1	0.6	
32	H19	18		5	CR-L75	jade	cuenta	verde oscuro	1	1.52	
32	H19	18		8	CR-L76	jade	cuenta	verde oscuro	1	2.8	tubular
32	H19	18		13	CR-L75	jade	cuenta	verde azul/celeste	1	2.8	
32	H19	18		14	CR-L75	jade	cuenta	verde gris	1	2.02	
32	H19	18		15	CR-L75	jade	cuenta	verde gris	1	2.48	
32	H19	18		16	CR-L75	jade	cuenta	verde gris	1	2.22	
32	H19	18		17	CR-L75	jade	cuenta	verde oscuro	1	1.62	
32	H19	18		18	CR-L76	jade	cuenta	verde claro	1	0.32	
32	H19	18		20	CR-L75	jade	cuenta	verde claro	1	0.6	
32	H19	18		31	CR-L77	jade	cuenta	verde imperial	1	1.16	
32	H19	18		48	CR-L75	jade	cuenta	verde claro	1	2.3	
32	H19	18		62	CR-L76	jade	cuenta	verde gris azul oscuro	1	1.56	
32	H19	18		64	CR-L75	jade	cuenta	verde oscuro	1	1.56	
32	H19	18		66	CR-L75	jade	cuenta	verde negro	1	2.96	
32	H19	18		67	CR-L75	jade	cuenta	verde gris	1	2.96	
32	H19	18		68	CR-L75	Jade	cuenta	verde negro	1	1.12	
32	H19	18		69	CR-L75	jade	cuenta	verde gris azul	1	2.56	
32	H19	18		70	CR-L75	jade	cuenta	verde claro	1	1.86	
32	H19	18		71	CR-L75	jade	cuenta	verde gris	1	1.6	
32	H19	18		72	CR-L75	jade	cuenta	verde gris azul claro	1	2.32	
32	H19	18		73	CR-L75	jade	cuenta	verde azul	1	1.62	
32	H19	18		79	CR-L75	jade	cuenta	verde azul	1	2.08	
32	H19	18		80	CR-L75	jade	cuenta	verde azul	1	1.4	
32	H19	18		81	CR-L75	jade	cuenta	verde gris azul	1	1.02	
32	H19	18		88	CR-L75	jade	cuenta	verde oscuro	1	1.18	

32	H19	18		89	CR-L76	jade	cuenta	verde gris	1	2.04	
32	H19	18		90	CR-L75	jade	cuenta	verde gris	1	2.44	
32	H19	18		91	CR-L76	jade	cuenta	verde gris	1	1.56	
32	H19	18		92	CR-L75	jade	cuenta	verde claro	1	1.28	
32	H19	18		93	CR-L75	jade	cuenta	verde gris	1	1.62	
32	H19	18		94	CR-L75	jade	cuenta	verde azul	1	1.24	
32	H19	18		95	CR-L75	jade	cuenta	verde oscuro	1	3.52	
32	H19	18		96	CR-L76	jade	cuenta	verde gris	1	4.26	
32	H19	18		97	CR-L76	jade	cuenta	verde oscuro	1	4.62	
32	H19	18		98	CR-L75	jade	cuenta	verde gris azul	1	2.38	
32	H19	18		99	CR-L75	jade	cuenta	verde gris azul oscuro	1	3.6	
32	H19	18		100	CR-L75	jade	cuenta	verde claro	1	2.48	
32	H19	18		101	CR-L76	jade	cuenta	verde oscuro	1	4.66	
32	H19	18		102	CR-L75	jade	cuenta	verde gris azul oscuro	1	1.58	
32	H19	18		103	CR-L75	jade	cuenta	verde gris	1	2.68	
32	H19	18		104	CR-L75	jade	cuenta	verde claro	1	2.66	
32	H19	18		105	CR-L75	jade	cuenta	verde gris	1	1.8	
32	H19	18		106	CR-L75	jade	cuenta	verde azul	1	2.5	
32	H19	18		107	CR-L75	jade	cuenta	verde claro	1	3.2	
32	H19	18		108	CR-L75	jade	cuenta	verde gris	1	2.24	
32	H19	18		109	CR-L75	jade	cuenta	verde oscuro	1	1.92	
32	H19	18		110	CR-L76	jade	cuenta	verde gris	1	1.76	
32	H19	18		111	CR-L75	jade	cuenta	verde gris azul claro	1	2.42	
32	H19	18		112	CR-L76	jade	cuenta	verde oscuro	1	4.16	
32	H19	18		113	CR-L75	jade	cuenta	verde claro	1	4.04	
32	H19	18		114	CR-L76	jade	cuenta	verde oscuro	1	5.28	
32	H19	18		115	CR-L76	jade	cuenta	verde claro	1	1.58	
32	H19	18		116	CR-L75	jade	cuenta	verde oscuro	1	3.78	
32	H19	18		117	CR-L75	jade	cuenta	verde claro	1	3.4	
32	H19	18		118	CR-L75	jade	cuenta	verde oscuro	1	2.46	
32	H19	18		119	CR-L75	jade	cuenta	verde oscuro	1	3.82	
32	H19	18		120	CR-L75	jade	cuenta	verde oscuro	1	1.7	
32	H19	18		121	CR-L75	jade	cuenta	verde gris	1	3.66	

32	H19	18		122	CR-L76	jade	cuenta	verde oscuro	1	1.76	
32	H19	18		123	CR-L76	jade	cuenta	verde oscuro	1	3.94	
32	H19	18		124	CR-L75	jade	cuenta	verde oscuro	1	2.54	
32	H19	18		126	CR-L78	jade	cuenta	verde gris azul claro	1	4.84	
32	H19	18		129	CR-L76	jade	cuenta	verde oscuro	1	4.88	
32	H19	18		131	CR-L75	jade	cuenta	verde oscuro	2	2.3	
32	H19	18		131	CR-L75			verde oscuro			
32	H19	18		132	CR-L75	jade	cuenta	verde esmeralda	1	0.6	
32	H19	18		138	CR-L78	jade	cuenta	verde claro	1	2.9	
32	H19	18		139	CR-L75	jade	cuenta	verde gris azul	1	1.28	
32	H19	18		140	CR-L75	pirita	cuenta	café	1	2.34	
32	H19	18		141	CR-L75	jade	cuenta	verde oscuro	1	4.16	
32	H19	18		142	CR-L76	jade	cuenta	verde gris	1	1.6	
32	H19	18		143	CR-L75	jade	cuenta	verde oscuro	1	3.36	
32	H19	18		144	CR-L75	jade	cuenta	verde oscuro	1	1.94	
32	H19	18		145	CR-L76	jade	cuenta	verde oscuro	1	2.54	
32	H19	18		146	CR-L75	jade	cuenta	verde claro	1	1.22	
32	H19	18		147	CR-L75	jade	cuenta	verde gris azul	3	3.18	
32	H19	18		147	CR-L75			verde gris			
32	H19	18		147	CR-L75			verde oscuro			
32	H19	18		148	CR-L75	jade	cuenta	verde gris azul	1	0.92	
32	H19	18		149	CR-L75	jade	cuenta	verde oscuro	3(4frag)	6.24	
32	H19	18		149	CR-L75			verde gris azul oscuro			
32	H19	18		149	CR-L75			verde gris azul claro			
32	H19	18		150	CR-L75	jade	cuenta	verde gris azul claro	3	3.86	
32	H19	18		150	CR-L75			verde gris azul oscuro			
32	H19	18		150	CR-L75			verde gris azul oscuro			
32	H19	18		151	CR-L75	jade	cuenta	verde claro	3	4.78	
32	H19	18		151	CR-L75			verde oscuro			
32	H19	18		151	CR-L75			verde gris azul oscuro			
32	H19	18		154	CR-L75	jade	cuenta	verde claro	2	2.4	
32	H19	18		154	CR-L75			verde gris			
32	H19	18		155	CR-L77	jade	cuenta	verde azul	20	7.18	

32	H19	18		156	CR-L75	jade	cuenta	verde gris azul	1	1.34	
32	H19	18		157	CR-L75	jade	cuenta	verde gris	1	2.28	
32	H19	18		158	CR-L76	jade	cuenta	verde oscuro	1	2.62	
32	H19	18		159	CR-L76	jade	cuenta	verde oscuro	1	4.92	
32	H19	18		160	CR-L75	jade	cuenta	verde claro	3	6.92	
32	H19	18		160	CR-L75			verde gris azul oscuro			
32	H19	18		160	CR-L75			verde oscuro			güicoy
32	H19	18		161	CR-L76	jade	cuenta	verde oscuro	1	1.4	mucha corteza
32	H19	18		162	CR-L75	jade	cuenta	verde oscuro	2	2.78	
32	H19	18		162	CR-L75			verde gris azul claro			
32	H19	18		166	CR-L75	jade	cuenta	verde oscuro	1	3.24	
32	H19	18		167	CR-L79	jade	cuenta	verde gris azul	1	3	
32	H19	18		167	CR-L79			verde gris azul	1	3.62	
32	H19	18		167	CR-L79			verde gris azul	1	2.88	
32	H19	18		169	CR-L75	jade	cuenta	verde oscuro	5	11.98	
32	H19	18		169	CR-L75			verde gris			
32	H19	18		169	CR-L75			verde claro/verde gris			
32	H19	18		169	CR-L75			verde claro			
32	H19	18		169	CR-L75			verde gris azul claro			
32	H19	18		170	CR-L75	jade	cuenta	verde claro	13	29.5	
32	H19	18		170	CR-L75			verde oscuro			
32	H19	18		170	CR-L75			verde gris azul oscuro			
32	H19	18		170	CR-L75			verde claro			
32	H19	18		170	CR-L75			verde gris			
32	H19	18		170	CR-L75			verde gris			
32	H19	18		170	CR-L75			verde claro			
32	H19	18		170	CR-L75			verde gris			
32	H19	18		170	CR-L75			verde gris			
32	H19	18		170	CR-L75			verde gris azul oscuro			
32	H19	18		170	CR-L75			verde gris azul claro			
32	H19	18		170	CR-L75			verde oscuro			
32	H19	18		170	CR-L75			verde gris azul oscuro			
32	H19	18		171	CR-L75	jade	cuenta	verde gris azul	2	3.32	

32	H19	18		171	CR-L75			verde claro			
32	H19	18		171	CR-L75	pirita	cuenta	café/naranja	2	4.24	
32	H19	18		171	CR-L75	pirita	cuenta	café			
32	H19	18		176	CR-L75	Jade	cuenta	verde oscuro	5	7.94	
32	H19	18		176	CR-L75			verde claro			
32	H19	18		176	CR-L75			verde claro			
32	H19	18		176	CR-L75			verde gris			
32	H19	18		176	CR-L75			verde gris			
32	H19	18		177	CR-L76	jade	cuenta	verde claro	3	3.5	
32	H19	18		177	CR-L76			verde gris			
32	H19	18		177	CR-L76			verde gris azul oscuro			güicoy
32	H19	18		178	CR-L76	jade	cuenta	verde gris	3	4.82	
32	H19	18		178	CR-L76			verde gris			
32	H19	18		178	CR-L76			verde oscuro			
32	H19	18		179	CR-L75	jade	cuenta	verde gris	4	8.14	
32	H19	18		179	CR-L75			verde oscuro			
32	H19	18		179	CR-L75			verde negro			
32	H19	18		179	CR-L75			verde oscuro			
32	H19	18		180	CR-L75	jade	cuenta	café	3(6frag)	4.24	
32	H19	18		180	CR-L75			verde gris azul			
32	H19	18		180	CR-L75			verde gris azul			
32	H19	18		181	CR-L75	jade	cuenta	verde gris	6(7frag)	15.48	
32	H19	18		181	CR-L75			verde gris azul			
32	H19	18		181	CR-L75			verde oscuro			
32	H19	18		181	CR-L75			verde azul			
32	H19	18		181	CR-L75			verde gris azul			
32	H19	18		181	CR-L75			verde gris			
32	H19	18		182	CR-L75	jade	cuenta	verde claro	3	8.5	
32	H19	18		182	CR-L75			verde claro			
32	H19	18		182	CR-L75			verde oscuro			
32	H19	18		183	CR-L75	jade	cuenta	verde claro	2	2.82	
32	H19	18		183	CR-L75			verde claro		2.74	
32	H19	18		184	CR-L76	jade	cuenta	verde gris	4	6.92	

32	H19	18		184	CR-L76			verde gris			
32	H19	18		184	CR-L76			verde oscuro			
32	H19	18		184	CR-L76			verde oscuro			
32	H19	18		185	CR-L75	jade	cuenta	verde claro	3	7.78	
32	H19	18		185	CR-L75			verde gris azul oscuro			
32	H19	18		185	CR-L75			verde oscuro			
32	H19	18		186	CR-L79	jade	cuenta	verde esmeralda	1	2.3	
32	H19	18		187	CR-L75	jade	cuenta	verde gris	2	2.74	
32	H19	18		187	CR-L75			verde oscuro			
32	H19	18		191	CR-L75	jade	cuenta	verde oscuro	3	4.78	
32	H19	18		191	CR-L75			verde gris azul oscuro			
32	H19	18		191	CR-L75			verde gris			
32	H19	18		193	CR-L75	jade	cuenta	verde gris azul	3	5.52	
32	H19	18		193	CR-L75			verde azul			
32	H19	18		193	CR-L75			verde claro			
32	H19	18		194	CR-L75	jade	cuenta	verde gris	1	0.8	
32	H19	18		196	CR-L75	jade	cuenta	verde azul /celeste	1	2.26	
32	H19	18		199	CR-L76	jade	cuenta	verde azul	5	2.24	
32	H19	18		199	CR-L76			verde azul		2.12	
32	H19	18		199	CR-L76			verde azul		3.34	
32	H19	18		199	CR-L76			verde azul		2.4	
32	H19	18		199	CR-L76			verde azul		2.46	
32	H19	18		200	CR-L75	Jade	cuenta	verde gris	3	4.88	
32	H19	18		200	CR-L75			verde gris			
32	H19	18		200	CR-L75			verde gris			
32	H19	18		201	CR-L75	jade	cuenta	verde gris	3	2.74	
32	H19	18		201	CR-L75			verde claro			
32	H19	18		201	CR-L75			verde gris			
32	H19	18		203	CR-L75	jade	cuenta	verde gris azul	3	6	
32	H19	18		203	CR-L75			verde claro			
32	H19	18		203	CR-L75			verde gris			
32	H19	18		204	CR-L75	jade	cuenta	verde gris	2	4.8	
32	H19	18		204	CR-L75			verde gris			

32	H19	18		205	CR-L75	jade	cuenta	verde oscuro	3	4.1	
32	H19	18		205	CR-L75			verde gris			
32	H19	18		205	CR-L75			verde oscuro			
32	H19	18		206	CR-L75	jade	cuenta	verde negro	1	0.58	
32	H19	18		207	CR-L75	jade	cuenta	verde gris azul oscuro	2	3.32	
32	H19	18		207	CR-L75			verde gris			
32	H19	18		209	CR-L75	jade	cuenta	verde gris	2	2.5	
32	H19	18		209	CR-L75			verde oscuro			
32	H19	18		213	CR-L78	jade	cuenta	verde gris	1	6.28	
32	H19	18		214	CR-L75	jade	cuenta	verde claro	3	3.56	
32	H19	18		214	CR-L75			verde gris			
32	H19	18		214	CR-L75			verde gris			
32	H19	18		217	CR-L75	jade	cuenta	verde oscuro	6	2.46	
32	H19	18		217	CR-L75			verde claro			
32	H19	18		217	CR-L75			verde imperial			
32	H19	18		217	CR-L75			verde gris azul claro			
32	H19	18		217	CR-L75			verde imperial			
32	H19	18		217	CR-L75			verde imperial			
32	H19	18		220	CR-L75	jade	cuenta	verde gris azul	4	1.96	
32	H19	18		220	CR-L75			verde gris azul		1.24	
32	H19	18		220	CR-L75			verde gris azul		0.78	
32	H19	18		220	CR-L75			verde gris azul		0.76	
32	H19	18		222	CR-L75	Jade	cuenta	verde gris	1	3.6	
32	H19	18		223	CR-L75	jade	cuenta	verde negro	2	1.56	
32	H19	18		223	CR-L75			verde gris azul			
32	H19	18		224	CR-L75	jade	cuenta	verde claro	2	3.1	
32	H19	18		224	CR-L75			verde oscuro			
32	H19	18		225	CR-L75	jade	cuenta	verde gris	5	7.18	
32	H19	18		225	CR-L75			verde gris azul			
32	H19	18		225	CR-L75			verde gris			
32	H19	18		225	CR-L75			verde gris			
32	H19	18		225	CR-L75			verde gris azul			

32	H19	18		226	CR-L75	jade	cuenta	verde claro	3	5.66	
32	H19	18		226	CR-L75			verde claro			
32	H19	18		226	CR-L75			verde gris			
32	H19	18		227	CR-L75	jade	cuenta	verde gris	2	0.88	
32	H19	18		227	CR-L75			verde gris		1.28	
32	H19	18		228	CR-L75	jade	cuenta	verde gris	2	2.48	
32	H19	18		228	CR-L75			verde oscuro			
32	H19	18		229	CR-L75	jade	cuenta	verde gris	5(6frag)	7.8	
32	H19	18		229	CR-L75			verde azul			
32	H19	18		229	CR-L75			verde gris			
32	H19	18		229	CR-L75			verde azul			
32	H19	18		229	CR-L75			verde gris			
32	H19	18		230	CR-L75	jade	cuenta	verde claro	2	2.44	
32	H19	18		230	CR-L75			verde gris azul claro			
32	H19	18		231	CR-L75	jade	cuenta	verde claro	8	13.56	
32	H19	18		231	CR-L75			verde claro			
32	H19	18		231	CR-L75			verde claro			
32	H19	18		231	CR-L75			verde gris			
32	H19	18		231	CR-L75			verde gris			
32	H19	18		231	CR-L75			verde azul			
32	H19	18		231	CR-L75			verde azul			
32	H19	18		231	CR-L75			verde azul			
32	H19	18		232	CR-L75	jade	cuenta	verde gris azul	2	2.6	
32	H19	18		232	CR-L75			verde azul		1.54	
32	H19	18		233	CR-L75	jade	cuenta	verde negro	2	3	
32	H19	18		233	CR-L75			verde claro			
32	H19	18		234	CR-L75	jade	cuenta	verde claro	3	7.08	
32	H19	18		234	CR-L75			verde gris			
32	H19	18		234	CR-L75			verde oscuro			
32	H19	18		235	CR-L75	Jade	cuenta	verde oscuro	3	7.02	
32	H19	18		235	CR-L75			verde oscuro			
32	H19	18		235	CR-L75			verde negro			
32	H19	18		236	CR-L75	jade	cuenta	verde oscuro	3	2.88	

33	H20	18		236	CR-L75	jade	cuenta	verde oscuro	3	2.88	
34	H21	18		236	CR-L75	jade	cuenta	verde oscuro	3	2.88	
32	H19	18		237	CR-L75	Jade	cuenta	verde claro	3	3.88	
32	H19	18		237	CR-L75			verde gris			
32	H19	18		237	CR-L75			verde gris			
32	H19	18		238	CR-L75	jade	cuenta	verde claro	2	3.76	
32	H19	18		238	CR-L75			verde gris			
32	H19	18		239	CR-L79	jade	cuenta	verde esmeralda	1	3.44	
32	H19	18		243	CR-L78	jade	cuenta	verde oscuro	1	12.26	
32	H19	18		248	CR-L75	jade	cuenta	verde azul	2	1.56	
32	H19	18		248	CR-L75			verde gris azul			
32	H19	18		249	CR-L75	jade	cuenta	verde gris azul	4	6.48	
32	H19	18		249	CR-L75			verde gris azul			
32	H19	18		249	CR-L75			verde oscuro			
32	H19	18		249	CR-L75			verde gris			
32	H19	18		251	CR-L75	jade	cuenta	verde azul /celeste	3	4.96	
32	H19	18		251	CR-L75			verde azul /celeste			
32	H19	18		251	CR-L75			verde claro			
32	H19	18		253	CR-L75	jade	cuenta	verde negro	1	1.24	güicoy
32	H19	18		254	CR-L75	jade	cuenta	verde gris azul	2	2.12	
32	H19	18		254	CR-L75			verde claro			
32	H19	18		256	CR-L75	jade	cuenta	verde claro	2(1c, 1frag)	2.32	
32	H19	18		257	CR-L75	jade	cuenta	verde gris	5	7.04	
32	H19	18		257	CR-L75			verde claro			
32	H19	18		257	CR-L75			verde azul			
32	H19	18		257	CR-L75			verde gris			
32	H19	18		257	CR-L75			verde azul			
32	H19	18		258	CR-L75	jade	cuenta	verde claro	7	7.94	
32	H19	18		258	CR-L75			verde oscuro			
32	H19	18		258	CR-L75			verde gris azul oscuro			
32	H19	18		258	CR-L75			verde claro			
32	H19	18		258	CR-L75			verde oscuro			
32	H19	18		258	CR-L75			verde oscuro			

32	H19	18		258	CR-L75			verde gris azul oscuro			
32	H19	18		259	CR-L75	jade	cuenta	verde gris	8	9.92	
32	H19	18		259	CR-L75			verde azul			
32	H19	18		259	CR-L75			verde gris			
32	H19	18		259	CR-L75			verde gris			
32	H19	18		259	CR-L75			verde oscuro			
32	H19	18		259	CR-L75			verde gris azul			
32	H19	18		259	CR-L75			verde gris azul			
32	H19	18		259	CR-L75			verde gris			
32	H19	18		260	CR-L76	jade	cuenta	verde claro	1	0.32	
32	H19	18		261	CR-L75	jade	cuenta	verde gris	1	1.96	
32	H19	18		264	CR-L75	jade	cuenta	verde oscuro	3	2.54	
32	H19	18		264	CR-L75			verde oscuro			
32	H19	18		264	CR-L75			verde gris			
32	H19	18		266	CR-L108	jade	cuenta	verde azul /celeste	1 (5+frag)	19.08	
32	H19	18		268	CR-L78	jade	cuenta	verde gris azul	1	6.14	
32	H19	18		272	CR-L75	jade	cuenta	verde claro	4	3.6	
32	H19	18		272	CR-L75			verde gris azul			
32	H19	18		272	CR-L75			verde gris			
32	H19	18		272	CR-L75			verde oscuro			
32	H19	18		279	CR-L76	jade	cuenta	verde esmeralda	2	2.3	
32	H19	18		279	CR-L76			verde oscuro			
32	H19	18		280	CR-L75	jade	cuenta	verde claro	5	4.76	
32	H19	18		280	CR-L75			verde oscuro			
32	H19	18		280	CR-L75			verde gris azul oscuro			
32	H19	18		280	CR-L75			verde claro			
32	H19	18		280	CR-L75			verde gris azul oscuro			
32	H19	18		286	CR-L76	jade	cuenta	verde gris azul oscuro	1	2.06	
32	H19	18		287	CR-L75	jade	cuenta	verde oscuro	1	2.54	
32	H19	18		293	CR-L76	jade	cuenta	verde claro	1	2.42	
32	H19	18		M		jade	cuenta	verde azul /celeste	1	0.84	
32	H19	18		M				verde oscuro	1	0.66	
16C	34	13	11	12	CR-L114	jade	arete	verde imperial	1	4.92	

16C	34	13	11	12	CR-L115	jade	cuenta	verde imperial	1(2frag)	24.3	
16C	34	13	11	12	CR-L113	jade	orejera	verde claro	1	21.88	
16C	34	13	11	12	CR-L116	jade	cuenta	verde gris azul oscuro	1	29.3	
16C	34	13	11	12	CR-L117			verde claro	1		
16C	34	13	11	12	CR-L117			verde gris	1		
16C	34	13	11	12	CR-L117			verde claro	1		
16C	34	13	11	12	CR-L117			verde gris	1		
16C	34	13	11	12	CR-L117			verde claro	1		
16C	34	13	11	12	CR-L117			verde gris	1		
16C	34	13	11	12	CR-L117			verde gris	1		
16C	34	13	11	12	CR-L117			verde gris azul	1		
16C	34	13	11	12	CR-L117			verde gris	1		
16C	34	13	11	12	CR-L117			verde claro	1		
16C	34	13	11	12	CR-L117			verde imperial	1		
16C	34	13	11	12	CR-L117			verde gris azul	1		
16C	34	13	11	12	CR-L117			verde gris	1		
16C	34	13	11	12	CR-L117			verde gris	1		
16C	34	13	11	12	CR-L117			verde claro	1		
16C	34	13	11	12	CR-L117			verde gris azul	1		
16C	34	13	11	12	CR-L117			verde gris azul	1		
16C	34	13	11	12	CR-L117			verde gris	1		
16C	34	13	11	12	CR-L117			verde gris			
16C	34	13	11	12	CR-L117			verde gris			
16C	34	13	11	12	CR-L117			verde gris azul			
16C	34	13	11	12	CR-L117			verde gris			
16C	34	13	11	12	CR-L117			verde claro			
16C	34	13	11	12	CR-L117			verde claro			
16C	34	13	11	12	CR-L117			verde oscuro			
16C	34	13	11	12	CR-L117			verde claro			
16C	34	13	11	12	CR-L117			verde gris			
16C	34	13	11	12	CR-L117			verde oscuro			
16C	34	13	11	12	CR-L117			verde claro			
16C	34	13	11	12	CR-L117			verde gris			

16C	34	13	11	12	CR-L117			verde oscuro			
16C	34	13	11	12	CR-L117			café			
16C	34	13	11	12	CR-L117			verde oscuro			
16C	34	13	11	12	CR-L117			verde claro			
16C	34	13	11	12	CR-L117			verde oscuro			
16C	34	13	11	12	CR-L117			verde claro			
16C	34	13	11	12	CR-L117		Frag.	verde gris	4 frags		
16C	34	13	11	12	CR-L117	jade	cuenta	verde gris		69.94	
16C	34	13	11	12	CR-L117			verde oscuro			
16C	34	13	11	12	CR-L117			verde claro			
16C	34	13	11	12	CR-L117			verde oscuro			
16C	34	13	11	12	CR-L117			verde oscuro			
16C	34	13	11	12	CR-L117			verde gris			
16C	34	13	11	12	CR-L117			verde oscuro			
16C	34	13	11	12	CR-L117			verde claro			
16C	34	13	11	12	CR-L117			verde negro			
16C	34	13	11	12	CR-L117			verde gris			
16C	34	13	11	12	CR-L117			verde oscuro			
16C	34	13	11	12	CR-L117			verde gris azul			
16C	34	13	11	12	CR-L117			verde gris			
16C	34	13	11	12	CR-L117			verde oscuro			
16C	34	13	11	12	CR-L117			verde gris			
16C	34	13	11	12	CR-L117			verde gris			
16C	34	13	11	12	CR-L117			verde gris claro			
16C	34	13	11	12	CR-L117			verde imperial			
16C	34	13	11	12	CR-L117			verde gris azul			
16C	34	13	11	12	CR-L117			verde imperial			
16C	34	13	11	12	CR-L117			verde claro			
16C	34	13	11	12	CR-L117			verde claro			
16C	34	13	11	12	CR-L117			verde gris			
16C	34	13	11	12	CR-L117			verde gris			
16C	34	13	11	12	CR-L117			verde oscuro			

16C	34	13	11	12	CR-L117			verde gris			
16C	34	13	11	12	CR-L117			verde gris			
16C	34	13	11	12	CR-L117			verde gris azul			
16C	34	13	11	12	CR-L117			verde gris			
16C	34	13	11	12	CR-L117			verde claro			
16C	34	13	11	12	CR-L117			verde oscuro			
16C	34	13	11	12	CR-L117			verde gris			
16C	34	13	11	12	CR-L117			verde oscuro			
16C	34	13	11	12	CR-L117			verde oscuro			
16C	34	13	11	12	CR-L117			verde claro			
16C	34	13	11	12	CR-L117			verde claro			
16C	34	13	11	12	CR-L117			verde oscuro			
16C	34	13	11	12	CR-L117			verde claro			
16C	34	13	11	12	CR-L117			verde claro			
16C	34	13	11	12	CR-L117			verde gris azul			
16C	34	13	11	12	CR-L117			verde oscuro			
16C	34	13	11	12	CR-L117			verde oscuro			
16C	34	13	11	12	CR-L117			verde claro			
16C	34	13	11	12	CR-L117			verde claro			
16C	34	13	11	12	CR-L117			verde claro			
16C	34	13	11	12	CR-L117			verde oscuro			
16C	34	13	11	12	CR-L117			verde oscuro			
16C	34	13	11	12	CR-L117			verde gris			
16C	34	13	11	12	CR-L117			verde oscuro			
16C	34	13	11	12	CR-L117			verde gris			
16C	34	13	11	12	CR-L117		frags.	verde claro	2 frags		
16C	34	13	11	12	CR-L117			verde gris			
16C	34	13	11	12	CR-L117			verde claro			
16C	34	13	11	12	CR-L117			verde gris			
16C	34	13	11	12	CR-L117			verde claro			
16C	34	13	11	12	CR-L117			verde oscuro			
16C	34	13	11	12	CR-L117			verde oscuro			
16C	34	13	11	12	CR-L117			verde gris			

16C	34	13	11	12	CR-L117			verde gris azul			
16C	34	13	11	12	CR-L117			verde claro			
16C	34	13	11	12	CR-L117			verde claro			
16C	34	13	11	12	CR-L117			verde gris			
16C	34	13	11	12	CR-L117			verde oscuro			
16C	34	13	11	12	CR-L117			verde claro			
16C	34	13	11	12	CR-L117			verde oscuro			
16C	34	13	11	12	CR-L117			verde claro			
16C	34	13	11	12	CR-L117			verde oscuro			
16C	34	13	11	12	CR-L117			verde gris			
16C	34	13	11	12	CR-L117			verde gris			
16C	34	13	11	12	CR-L117			verde oscuro			
16C	34	13	11	12	CR-L117			verde oscuro			
16C	34	13	11	12	CR-L117			verde gris			
16C	34	13	11	12	CR-L117			verde gris			
16C	34	13	11	12	CR-L117			verde gris azul			
16C	34	13	11	12	CR-L117			verde esmeralda			
16C	34	13	11	12	CR-L117			verde gris			
16C	34	13	11	12	CR-L117			verde oscuro			
16C	34	13	11	12	CR-L117			verde gris			
16C	34	13	11	12	CR-L117			verde gris azul			
16C	34	13	11	12	CR-L117			verde claro			
16C	34	13	11	12	CR-L117			verde gris			
16C	34	13	11	12	CR-L117			verde gris			
16C	34	13	11	12	CR-L117			verde gris			
16C	34	13	11	12	CR-L117			verde imperial			
16C	34	13	11	12	CR-L117			verde gris			
16C	34	13	11	12	CR-L117			verde gris			
16C	34	13	11	12	CR-L117			verde oscuro			
16C	34	13	11	12	CR-L117			verde gris			
16C	34	13	11	12	CR-L117			verde claro			
16C	34	13	11	12	CR-L117			verde gris			
16C	34	13	11	12	CR-L117			verde claro			

16C	34	13	11	12	CR-L117			verde negro			
16C	34	13	11	12	CR-L117			verde gris azul			
16C	34	13	11	12	CR-L117			verde claro			
16C	34	13	11	12	CR-L117			verde gris			
16C	34	13	11	12	CR-L117			verde oscuro			
16C	34	13	11	12	CR-L117			verde gris azul			
16C	34	13	11	12	CR-L117			verde claro			
16C	34	13	11	12	CR-L117			verde gris azul			
16C	34	13	11	12	CR-L117			verde claro			
16C	34	13	11	12	CR-L117			verde oscuro			
16C	34	13	11	12	CR-L117			verde claro			
16C	34	13	11	12	CR-L117			verde gris			
16C	34	13	11	12	CR-L117	jade	cuenta	verde oscuro	4	2.22	
16C	34	13	11	12	CR-L117			verde gris			
16C	34	13	11	12	CR-L117			verde gris			
16C	34	13	11	12	CR-L117			verde gris			
16C	34	13	11	12	CR-L117			verde claro/verde gris	2frags		
16C	32	13	7	9	CR-L117	jade	cuenta	verde gris	1	0.58	Forma de herradura con un agujero en cada extremo
16C	34	13	11	12	CR-L117	jade	cuenta	verde claro	42	20.04	
16C	34	13	11	12	CR-L117			verde claro			
16C	34	13	11	12	CR-L117			verde claro			
16C	34	13	11	12	CR-L117			verde gris			
16C	34	13	11	12	CR-L117			verde gris			
16C	34	13	11	12	CR-L117			verde gris			
16C	34	13	11	12	CR-L117			verde negro			
16C	34	13	11	12	CR-L117			verde gris			
16C	34	13	11	12	CR-L117			verde gris			
16C	34	13	11	12	CR-L117			verde claro			
16C	34	13	11	12	CR-L117	pirita	cuenta	café			
16C	34	13	11	12	CR-L117			verde gris			

16C	34	13	11	12	CR-L117			verde oscuro			
16C	34	13	11	12	CR-L117			verde claro			
16C	34	13	11	12	CR-L117			verde claro			
16C	34	13	11	12	CR-L117			verde oscuro			
16C	34	13	11	12	CR-L117			verde gris			
16C	34	13	11	12	CR-L117			verde claro			
16C	34	13	11	12	CR-L117			verde gris			
16C	34	13	11	12	CR-L117			verde claro			
16C	34	13	11	12	CR-L117			verde gris			
16C	34	13	11	12	CR-L117			verde oscuro			
16C	34	13	11	12	CR-L117			verde oscuro			
16C	34	13	11	12	CR-L117			verde claro			
16C	34	13	11	12	CR-L117			verde claro			
16C	34	13	11	12	CR-L117			verde gris			
16C	34	13	11	12	CR-L117			verde claro			
16C	34	13	11	12	CR-L117			verde gris			
16C	34	13	11	12	CR-L117			verde oscuro			
16C	34	13	11	12	CR-L117			verde oscuro			
16C	34	13	11	12	CR-L117			verde gris			
16C	34	13	11	12	CR-L117			verde claro			
16C	34	13	11	12	CR-L117			verde claro			
16C	34	13	11	12	CR-L117			verde gris			
16C	34	13	11	12	CR-L117			verde gris			
16C	34	13	11	12	CR-L117			verde negro			
16C	34	13	11	12	CR-L117			verde gris			
16C	34	13	11	12	CR-L117			verde gris			
16C	34	13	11	12	CR-L117			verde gris azul			
16C	34	13	11	12	CR-L117		frag	verde gris	1 frag		
16C	34	13	11	12	CR-L117	jade	cuenta	verde oscuro	33	17.66	
16C	34	13	11	12	CR-L117			verde oscuro			
16C	34	13	11	12	CR-L117			verde gris			
16C	34	13	11	12	CR-L117			verde oscuro	1 (2frag)		

16C	34	13	11	12	CR-L117			verde oscuro			
16C	34	13	11	12	CR-L117			verde oscuro			
16C	34	13	11	12	CR-L117			verde claro			
16C	34	13	11	12	CR-L117			verde oscuro			
16C	34	13	11	12	CR-L117			verde gris azul			
16C	34	13	11	12	CR-L117			verde claro			
16C	34	13	11	12	CR-L117			verde gris azul			
16C	34	13	11	12	CR-L117			verde claro			
16C	34	13	11	12	CR-L117			verde oscuro			
16C	34	13	11	12	CR-L117			verde gris			
16C	34	13	11	12	CR-L117			verde claro			
16C	34	13	11	12	CR-L117			verde oscuro			
16C	34	13	11	12	CR-L117			verde oscuro			
16C	34	13	11	12	CR-L117			verde gris			
16C	34	13	11	12	CR-L117			verde claro			
16C	34	13	11	12	CR-L117			verde claro			
16C	34	13	11	12	CR-L117			verde gris			
16C	34	13	11	12	CR-L117			verde claro			
16C	34	13	11	12	CR-L117			verde gris azul			
16C	34	13	11	12	CR-L117			verde claro			
16C	34	13	11	12	CR-L117			verde gris			
16C	34	13	11	12	CR-L117			verde claro			
16C	34	13	11	12	CR-L117			verde gris azul			
16C	34	13	11	12	CR-L117			verde claro			
16C	34	13	11	12	CR-L117			verde gris			
16C	34	13	11	12	CR-L117			verde claro			
16C	34	13	11	12	CR-L117			verde gris azul			
16C	34	13	11	12	CR-L117			verde oscuro	1 (2frag)		
16C	34	13	11	12	CR-L117		frag	verde gris	1 frag		
16C	34	13	11	12	CR-L117	jade	cuenta	verde oscuro		8.06	
16C	34	13	11	12	CR-L117			verde gris azul			
16C	34	13	11	12	CR-L117			verde negro			
16C	34	13	11	12	CR-L117			verde oscuro			
16C	34	13	11	12	CR-L117			verde claro			

16C	34	13	11	12	CR-L117			verde claro			
16C	34	13	11	12	CR-L117			verde gris			
16C	34	13	11	12	CR-L117			verde claro			
16C	34	13	11	12	CR-L117			verde gris			
16C	34	13	11	12	CR-L117		frag	verde gris	5 frag		
16C	34	13	11	12	CR-L117			verde oscuro	1 (2frag)		
16C	33	13	9	12	CR-L117	jade	cuenta	verde claro	1	1.62	
16C	34	13	11	12	CR-L117	jade	cuenta	verde gris	3 (1frag)	3.3	
16C	34	13	11	12	CR-L117			verde oscuro			
16C	34	13	11	12	CR-L117			verde oscuro			
16C	34	13	11	12	CR-L117		frag	verde gris	1 frag		
16C	34	13	11	12	CR-L117	jade	cuenta	verde claro	6 (1 frag)	4.56	
16C	34	13	11	12	CR-L117			verde oscuro			
16C	34	13	11	12	CR-L117			verde oscuro			
16C	34	13	11	12	CR-L117			verde oscuro			
16C	34	13	11	12	CR-L117			verde oscuro			
16C	34	13	11	12	CR-L117			verde oscuro			
16C	34	13	11	12	CR-L117		frag	verde claro			
16C	34	13	11	12	CR-L117	jade	frags.	verde gris	7 frags	0.28	
16C	34	13	11	12	CR-L117	jade	cuenta	verde gris	22	6.76	
16C	34	13	11	12	CR-L117			verde gris			
16C	34	13	11	12	CR-L117			verde oscuro			
16C	34	13	11	12	CR-L117			verde claro			
16C	34	13	11	12	CR-L117			verde oscuro			
16C	34	13	11	12	CR-L117			verde gris			
16C	34	13	11	12	CR-L117			verde oscuro			
16C	34	13	11	12	CR-L117			verde claro			
16C	34	13	11	12	CR-L117			verde claro			
16C	34	13	11	12	CR-L117			verde claro			
16C	34	13	11	12	CR-L117			verde claro			
16C	34	13	11	12	CR-L117			verde oscuro			
16C	34	13	11	12	CR-L117			verde oscuro			
16C	34	13	11	12	CR-L117			verde gris			

16C	34	13	11	12	CR-L117			verde claro			
16C	34	13	11	12	CR-L117			verde gris			
16C	34	13	11	12	CR-L117			verde gris			
16C	34	13	11	12	CR-L117			verde claro			
16C	34	13	11	12	CR-L117			verde claro			
16C	34	13	11	12	CR-L117			verde gris			
16C	34	13	11	12	CR-L117			verde gris			
16C	34	13	11	12	CR-L117			verde oscuro			

ANEXO III

Inventario de materiales 2014

OPERACIÓN	UNIDAD	CERÁMICA (bolsas)	TIERRA	BAJAREQUE	ESTUCO
CR116A	4	7			
CR120A	4	5			
CR120A	1	3			
CR120A	5	4			
CR120A	3	3			
CR120A	2	4			
CR120A	3	2			
CR120A	6	4			
CR116A	4	1			
CR116B	1	6			
CR116B	4	4			
CR116B	2	6			
CR116B	4	1			
CR116	5	3			
CR116A	4	2			
CR116B	3	3			
CR116	2	2			
CR116A	2	2			
CR116	3	5			
CR116A	3	3			
CR116A	2	7			
CR116A	2	3			
CR116	4	4			
CR116	1	10			
CR116A	1	4			
CR116A	1 y 3	6			
CR116	2	5			
CR120A	4 Ext.	1			
CR120A	7	4			
CAR1B	1	9			
CAR1B	2	3			
CAR1B	3	3			
CAR12A	1	7			
CAR12A	2	3			
CAR13A	1	9			

CAR1A	1	10			
CAR1A	2	6			
CAR1A	2	10			
CAR11A	1	8			
CAR1B	1	4			
CR31A	1	9			
CR31A	2	5			
CR31B	1	2			
CR31B	2	1			
CR31B	3	3			
CR31B	4	2			
CR31B	5	3			
CR31B	6	3			
CR31B	6A	1			
CR31B	6B	2			
CR31B	7	3			
CR31B	8	1			
CR31B	9	1			
CR31B	10	6			
CR20F	4	5			
CR20F	7	9			
CR20F	7	10			
CR20F	8	8			
CR20F	8	10			
CR20F	8	11			
CR20H	1	4			
CR20H	1	4			
CR20H	2	2			
CR20I	1	7			
CAR13A	1	3			
CAR1B	1	4			
CAR1A	3	1			
CAR12A	2	1			
CAR1A	3	1			
CR20E	4	3			
CR20E	6	2			
CR20E	7	4			
CR20E	8	2			
CR20E	superficie	3			
CR20C	1	4			
CR20R	1	6			

CR21O	1	13			
CR21O	1	12			
CR20P	5	3			
CR20E	9	2			
CR20O	1	2			
CR16C	27	5			
CR16C	28	4			
CR16C	29	7			
CR16C	30	6			
CR16C	31	4			
CR16C	32	3			
CR16C	33	8			
CR16C	34	6			
CR16C	35	5			
CR16C	36	3			
CR16C	37	2			
CR16C	38	5			
CR16C	39	9			
CR16A	53	3			
CR16C	40	5			
CR16C	41	1			
CR16A	47	6			
CR16A	48	1			
CR16A	49	1			
CR16A	50	1			
CR16A	51	3			
CR16A	52	1			
CR16C	29			1	
CR16C	32		4		
CR16C	33		1	1	
CR16C	34		1		
CR16C	38		1	1	
CR16C	39		2	1	
CR20F	8		2		
CR20H	2				4
CR20I	1				5
CAR1A	2		1		
CAR13A	1		2		
CR32H	19		4	1	
CR32D	72		1		
CR32D	73			1	

CR200	1		2		
CR32D	72	6	1		
CR32D	73	2			
CR32D	74	6			
CR32D	75	6			
CR32D	76	4			
CR32H	SN	1			
CR32H	15	4			
CR32H	16	1			
CR32H	17	3			
CR32H	18	8			
CR32H	19	24			
CR20 O	1	9	2	2	
CR20 O	2	3			
CR21 O	1	4			
CR20 O	1	6			
CAR1 B	1	2	1		
CAR1B	3	1			
CAR1A	3	1	1		
CAR13A	1	3	2		
CR 32H	R1	3			
CR 32 D	73-R1	1			
CR 32 D	77	3	1		
CR 32H	18-R1	1	1	1	
CR20 E	10	3			
CR20 E	7	1			
CR20 A	10	1			
CR20 R	1	2			
CR20 R	2	1			
CR31 B	10	5			
CR31 B	9	3			

OPERACIÓN	UNIDAD	HUESO	CARBON	MUESTRA CENIZA	CONCHA	FIGURILLA	OBSIDIANA
CAR1B	1	49	1	1			
CAR13A	1	2	1	1	1		
CAR1A	3		1		1	1	1

OPERACIÓN	UNIDAD	HUESO	CARBON	VASIJAS FRAGM.	CONCHA	JADE	HUESO TALLADO
CR20 O	2	2					
CR20 E	10	1					

CR20 O	1	4	1				1
CR21 O	1	1					
CR31 B	10			2	2	3	

OPERACIÓN	UNIDAD	JADE	CONCHA
CR32 H	19	200	42

OPERACIÓN	UNIDAD	HUESO	CARBON	VASIJAS	SPONDILUS	DIENTES	CERÁMICA
CR32 H	19	14	2	1	7	3	2
CR32 H	15-R1		1				

OPERACIÓN	UNIDAD	JADE	PIEDRA VERDE	CONCHA	ESPINA DE RAYA	HUESO
CR31B	9	1				
CR16C	31					
CR16C	32	1	1			
CR16C	33	1		1	1	
CR16C	34	12		21	6	7

OPERACIÓN	UNIDAD	PIRITA	OBSIDIANA	PEDERNAL	CERÁMICA	LÍTICA
CR16C	31					
CR16C	32		1	1		
CR16C	33					
CR16C	34			1		

OPERACIÓN	UNIDAD	HUESOS	VASIJAS
CR116B	1, 2 y 3	14	
CR116B	1, 2 y 3	21	
CR116A	1 y 3	28	
CR16C	34	33	
CR20O	1	27	
CR20F	8	1	
CR20F	8	3	2

OPERACIÓN	UNIDAD	CONCHA	HUESO	CARBÓN	MADERA	FIGURILLAS
CR116	1		1			2
CR116	3		1			2
CR116	4		1			1
CR116A	1		3			
CR116A	2	1	3			1

CR116A	3		1			
CR116A	1 y 3	1	3			
CR116A	4	1	2	1		1
CR116B	1		1			
CR116B	2		2			
CR116B	3		1			
CR116B	4					1
CR120A	2					1
CR120A	3	1	2			1
CR120A	4	2	1			1
CR120A	4 Ext.	1				
CR120A	5	1	2			1
CR120A	7		2			
CR31A	1		3			
CR31B	6	1				
CR31B	7					1
CR31B	9					1
CR20F	4		4	1		
CR20F	7	1	7			1
CR20F	8	2	3			
CR20H	1	1	2			1
CR20H	2					
CR20I	1		4			1
CR32H	15		1			
CR32H	18	2		2		
CR32H	19	1	3	3		
CR32D	72			2		
CR32D	73	1				
CR32D	74	1	4			
CR20C	1		1			
CR20E	superficie		3			
CR20E	7		3			
CR20E	10		2	1		
CR20O	1	1	2	1		
CR20R	1	1	3			
CR21O	1		3			
CR16A	47	1				
CR16A	48	1				
CR16A	49		1			
CR16A	51					2
CR16A	52	1				

CR16A	53	1				1
CR16C	27	2	2	2		
CR16C	28					
CR16C	29	1	1			
CR16C	30	3	1			
CR16C	31	1				
CR16C	32	1	3			1
CR16C	33	1	2			
CR16C	34	6	1	2	2	
CR16C	35	4				
CR16C	36	1				
CR16C	38	3	1	1		
CR16C	39	3	7	1	1	
CR16C	40		1		1	
CR16C	41	1	1			
CAR1A	1	1		3		2
CAR1A	2	1		3		
CAR1B	1		8	19		
CAR1B	3		3			
CAR11A	1		1			
CAR12A	2		1			
CAR13A	1	3	4			3
CR116	1	3	4			1
CR116	2		1			
CR116	3		1			
CR116	4		2			
CR116	5	1				
CR116A	1	2	3			
CR116A	2	2	3			
CR116A	3		2			
CR116A	1 y 3	3	2			
CR116A	4	1	3			
CR116B	1	1	3			
CR116B	2	1	4			
CR116B	3		2			1
CR120A	1	2	2			
CR120A	2	1	1			1
CR120A	3	3	3			1
CR120A	4	3	3			2
CR120A	4 Ext.	1	1			
CR120A	5		1			1

CR120A	6	2	3			1
CR120A	7	1	2			1
CR31A	3	1				1
CR31B	4		1			
CR31B	7		1			
CR20F	4	2	2			
CR20F	7	7	2			2
CR20F	8	6	2			1
CR20H	1	1	3			
CR20H	2	1				
CR20I	1	4	1			1
CR32D	72	2			1	
CR32D	74	2	3			1
CR32D	75	2	1		1	
CR32D	76	1	1			
CR32H	15	1	2			
CR32H	17	1	1			
CR32H	18	1	2			
CR32H	19	6	2			

OPERACIÓN	UNIDAD	PEDERNAL	OBSIDIANA	BAJAREQUE	ESTUCO	LÍTICA
CR20C	1	1	1			
CR20E	superficie		1			
CR20E	7		1			
CR20O	1	3	2			
CR21O	1	1	1			1
CR20R	1		1			
CR16A	47	3	2		1	1
CR16A	48	1				
CR16A	51	2				
CR16A	51a	1				
CR16A	52	1	1			
CR16A	53	1				1
CR16C	27	1	2			1
CR16C	28	2	1			
CR16C	29	2	1			
CR16C	30	3	1			
CR16C	31		1			1
CR16C	32	2				1
CR16C	33	1	2			
CR16C	34	6			1	2

CR16C	35	1	2			
CR16C	36	2	1		1	
CR16C	37	2				
CR16C	38	2				2
CR16C	39	4	1			2
CR16C	40	3	1			
CR16C	41	1				
CAR1A	1	5	2			2
CAR1A	2	8	6			
CAR1A	3	2	2			
CAR1B	1	8	6			4
CAR1B	2	1	1			
CAR1B	3	2	1			
CAR11A	1	5	2			1
CAR12A	1	3	2		2	
CAR12A	2	2	1			
CAR13A	1	5	2			

OPERACIÓN	UNIDAD	VASIJAS	CONCHA
CR16C	31	6	
CR16C	32	2	
CR16C	33	2	
CR16C	34	4	5
CR116A	1	1	
CAR1A	1	1	
CAR1A	2	2	
CAR13A	1	4	
CR20E	-	1	
CR20O	1	2	

OPERACIÓN	UNIDAD	ESTUCO
CR16C	34	1
CR20F	1	1
CR20A	11	1